

Ein und Ausgabe:
 Farbmetrisches Drucker-Reflektiv-System ORS20_95a

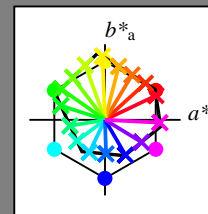
Daten für jede Farbe:
 u^*_e und Nummer *Nr.* = 00 .. 15

Elementar-Bunttontext:
 $u^*_e = 16$ Bunttoene *r00j, r25j, ..., b75r*

Kontrastreduzierungsfaktor:
 $c_R = 1.0$

ORS20_95a; adaptierte CIELAB-Daten

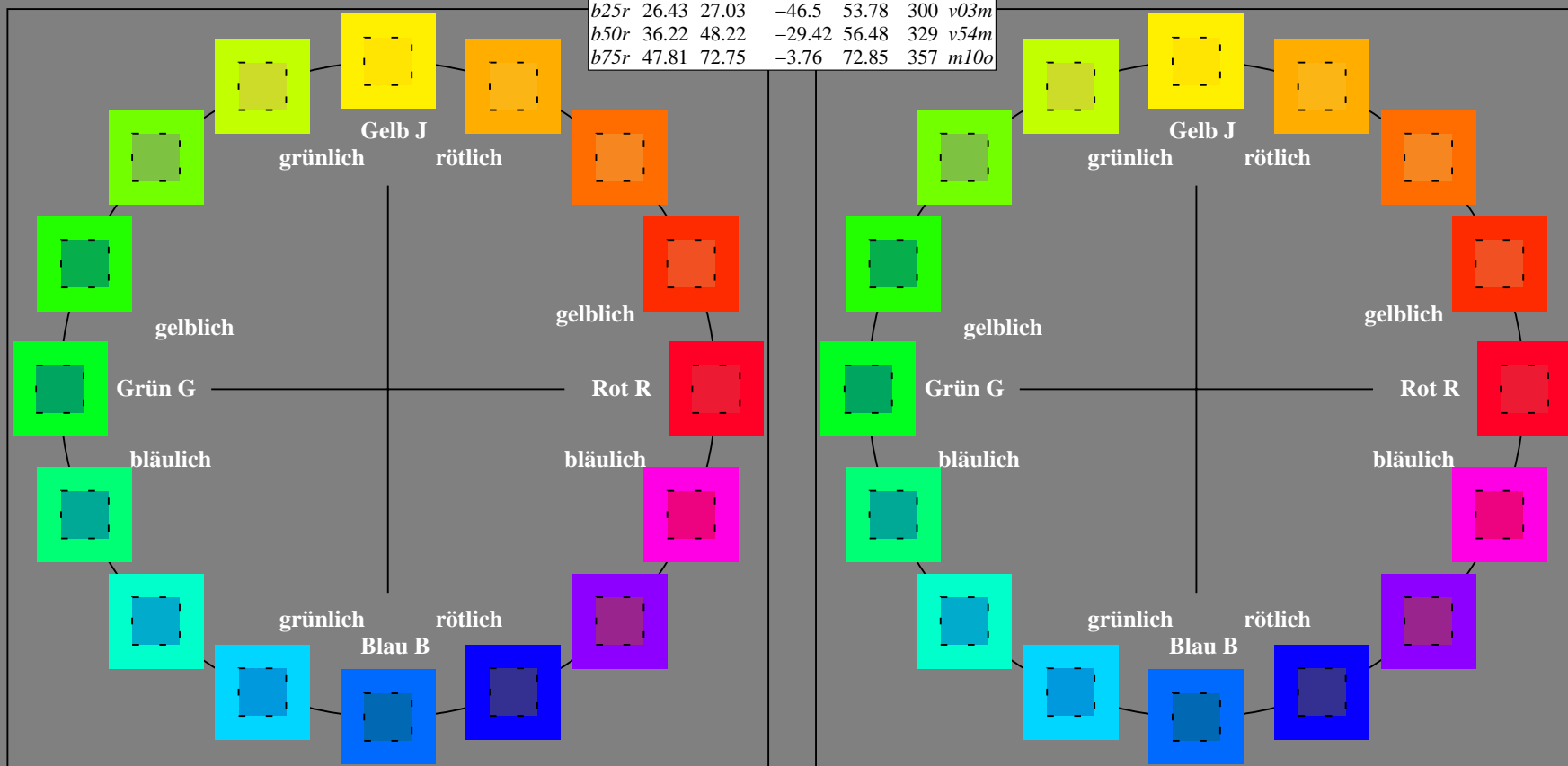
u^*_e	$L^*=L^*_a$	a^*_a	b^*_a	$C^*_{ab,a}$	$h^*_{ab,a}$	u^*_d
r00j	47.06	67.41	32.12	74.67	25	m84o
r25j	53.95	53.38	48.38	72.04	42	o17y
r50j	63.6	35.87	59.45	69.43	59	o42y
r75j	73.37	18.14	70.66	72.95	76	o68y
j00g	85.24	-3.4	84.28	84.35	92	o93y
j25g	78.53	-25.99	72.23	76.76	110	y24l
j50g	68.25	-42.61	56.0	70.37	127	y55l
j75g	58.73	-57.99	40.99	71.02	145	y85l
g00b	55.68	-58.35	18.71	61.27	162	l12c
g25b	58.18	-46.2	-7.82	46.86	190	l45c
g50b	60.08	-37.02	-27.87	46.34	217	l78c
g75b	55.21	-20.63	-42.98	47.67	244	c16v
b00r	41.38	1.37	-45.05	45.07	272	c58v
b25r	26.43	27.03	-46.5	53.78	300	v03m
b50r	36.22	48.22	-29.42	56.48	329	v54m
b75r	47.81	72.75	-3.76	72.85	357	m10o



%Umfang
 $u^*_{rel} = 87$
 %Regularität
 $g^*_{H,rel} = 67$
 $g^*_{C,rel} = 59$

ORS20_95a; adaptierte CIELAB-Daten

Name	$L^*=L^*_a$	a^*_a	b^*_a	$C^*_{ab,a}$	$h^*_{ab,a}$
OMa	46.89	66.19	40.28	77.48	31
YMa	88.66	-9.62	88.21	88.73	96
LMa	54.22	-65.29	33.87	73.56	153
CMa	61.43	-30.53	-42.04	51.96	234
VMa	25.93	25.95	-47.37	54.01	299
MMa	47.92	73.53	-9.02	74.08	353
NMa	20.41	0.0	0.0	0.0	0
WMa	94.64	0.0	0.0	0.0	0
RCIE	39.92	58.74	27.99	65.07	25
JCIE	81.26	-2.89	71.56	71.62	92
GCIE	52.23	-42.42	13.6	44.55	162
BCIE	30.57	1.41	-46.47	46.49	272



Siehe ähnliche Dateien: <http://www.ps.bam.de/Eg39/>; www.ps.bam.de/Eg.HTM
 Technische Information: <http://www.ps.bam.de> Version 2.1, io=1,1, ColSpx=1

BAM-Registrierung: 20081001-Eg39/10L/L39G00NA.PS / .TXT BAM-Material: Code=rh4ta
 Anwendung für Beurteilung und Messung von Drucker- oder Monitorssystemen

Ein und Ausgabe: Farbmetrisches Drucker-Reflektiv-System ORS20_95a für relativen CIELAB-Buntton $h^* = lab^*h^* = h_{ab}/360 = 0.071$ $u^*_e = r00j$

Daten für jede Farbe:

lab^*tch^* und lab^*icu^*

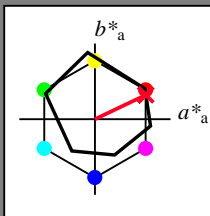
Bunttontexte:

$u^*_e = r00j$ $u^*_d = m84o$

Kontrastreduzierungsfaktor:

$c_R = 1.0$

Dreiecks-Helligkeit i^*



ORS20_95a; adaptierte CIELAB-Daten

	u^*_e	$L^*=L^*_a$	a^*_a	b^*_a	$C^*_{ab,a}$	$h^*_{ab,a}$
O _{Ma}	46.89	66.19	40.28	77.48	31	
Y _{Ma}	88.66	-9.62	88.21	88.73	96	
L _{Ma}	54.22	-65.29	33.87	73.56	153	
C _{Ma}	61.43	-30.53	-42.04	51.96	234	
V _{Ma}	25.93	25.95	-47.37	54.01	299	
M _{Ma}	47.92	73.53	-9.02	74.08	353	
N _{Ma}	20.41	0.0	0.0	0.0	0	
W _{Ma}	94.64	0.0	0.0	0.0	0	
R _{Ma}	39.92	58.74	27.99	65.07	25	
J _{Ma}	81.26	-2.89	71.56	71.62	92	
G _{Ma}	52.23	-42.42	13.6	44.55	162	
B _{Ma}	30.57	1.41	-46.47	46.49	272	

Daten für Maximalfarbe (Ma):

$LAB^*LAB^*_{Ma}$: 47 67 32

$LAB^*LCH^*_{Ma}$: 47 75 25

$lab^*rgb^*_{Ma}$: 1.0 0.0 0.0

$lab^*olv^*_{Ma}$: 1.0 0.0 0.15

Dreiecks-Helligkeit i^*

%Umfang

$u^*_{rel} = 87$

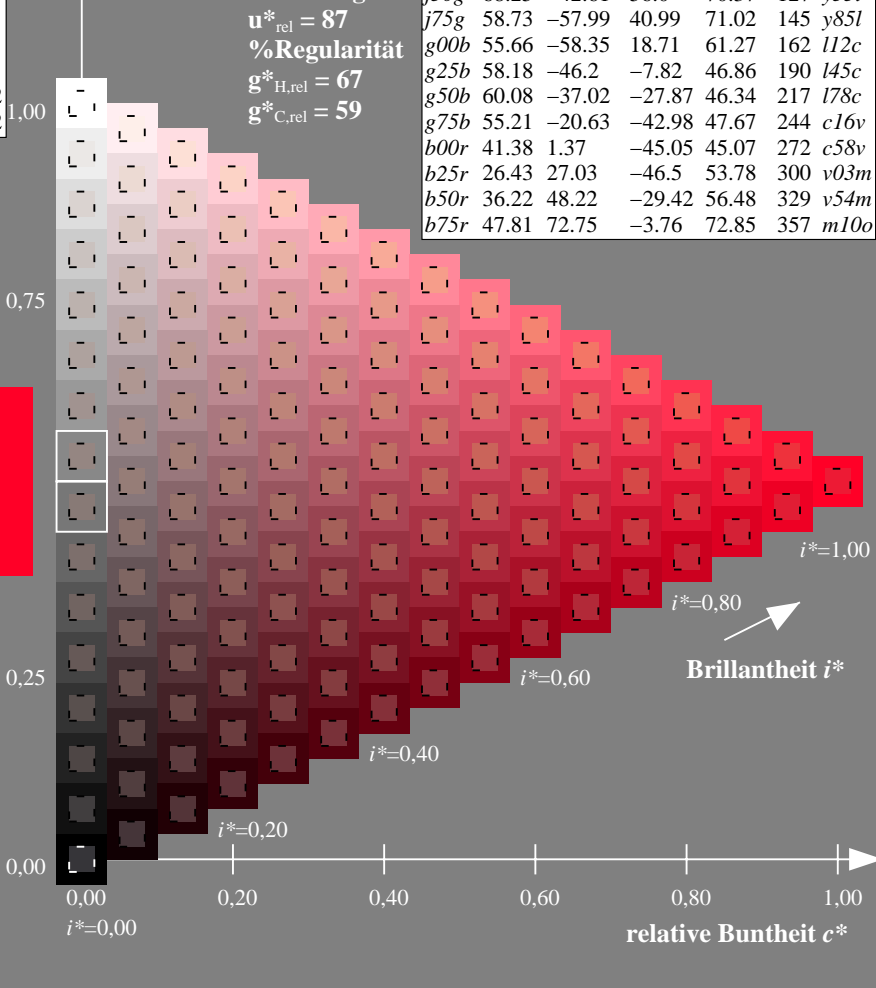
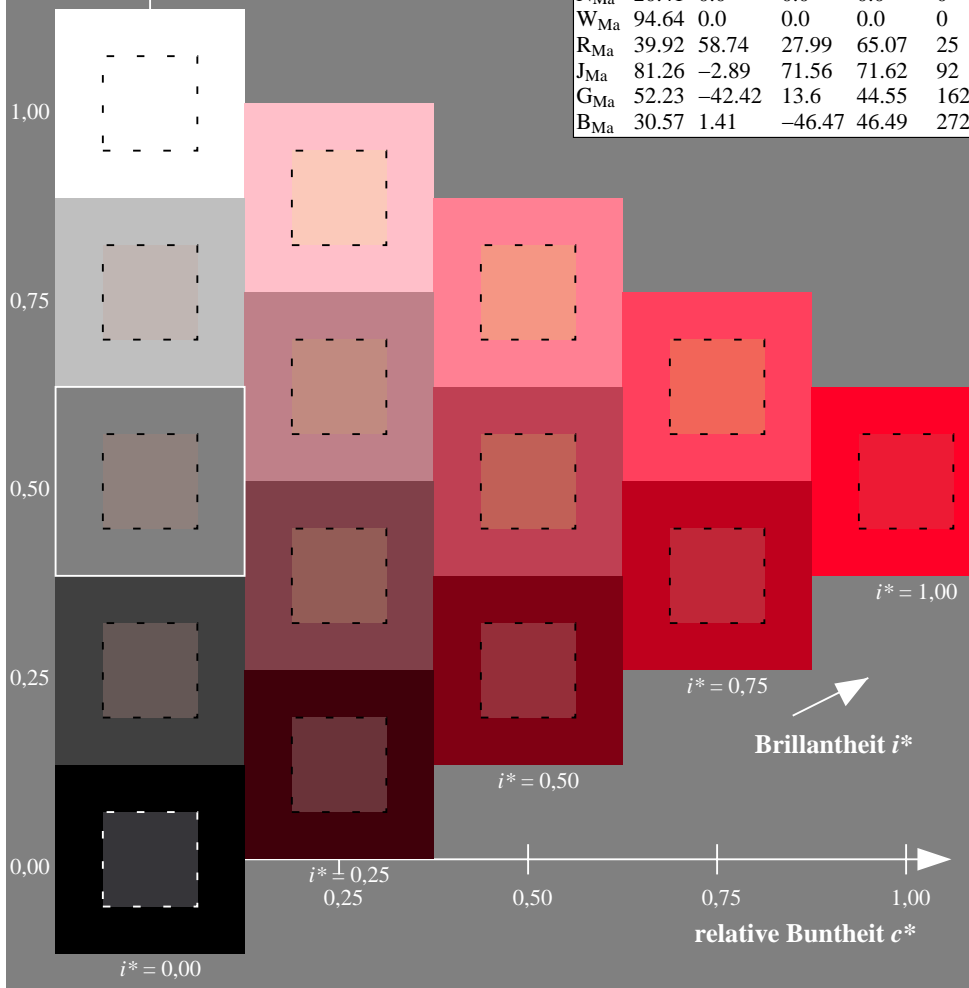
%Regularität

$g^*_{H,rel} = 67$

$g^*_{C,rel} = 59$

ORS20_95a; adaptierte CIELAB-Daten

	u^*_e	$L^*=L^*_a$	a^*_a	b^*_a	$C^*_{ab,a}$	$h^*_{ab,a}$	u^*_d
r00j	47.06	67.41	32.12	74.67	25		m84o
r25j	53.95	53.38	48.38	72.04	42		o17y
r50j	63.6	35.87	59.45	69.43	59		o42y
r75j	73.37	18.14	70.66	72.95	76		o68y
j00g	85.24	-3.4	84.28	84.35	92		o93y
j25g	78.53	-25.99	72.23	76.76	110		y24l
j50g	68.25	-42.61	56.0	70.37	127		y55l
j75g	58.73	-57.99	40.99	71.02	145		y85l
g00b	55.66	-58.35	18.71	61.27	162		l12c
g25b	58.18	-46.2	-7.82	46.86	190		l45c
g50b	60.08	-37.02	-27.87	46.34	217		l78c
g75b	55.21	-20.63	-42.98	47.67	244		c16v
b00r	41.38	1.37	-45.05	45.07	272		c58v
b25r	26.43	27.03	-46.5	53.78	300		v03m
b50r	36.22	48.22	-29.42	56.48	329		v54m
b75r	47.81	72.75	-3.76	72.85	357		m10o



Siehe ähnliche Dateien: <http://www.ps.bam.de/Eg39/>; [www.ps.bam.de/Version 2.1, io=1,1, Colspx=1](http://www.ps.bam.de/Version2.1,io=1,1,Colspx=1)
 Technische Information: <http://www.ps.bam.de>

BAM-Registrierung: 20081001-Eg39/10L/L39G00NA.PS/.TXT BAM-Material: Code=rhatha
 Anwendung für Beurteilung und Messung von Drucker- oder Monitorssystemen

Ein und Ausgabe: Farbmetrisches Drucker-Reflektiv-System ORS20_95a für relativen CIELAB-Buntton $h^* = lab^*h^* = h_{ab}/360 = 0.117$ $u^*_e = r25j$

Daten für jede Farbe:

lab^*tch^* und lab^*icu^*

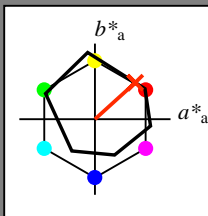
Bunttontexte:

$u^*_e = r25j$ $u^*_d = o17y$

Kontrastreduzierungsfaktor:

$c_R = 1.0$

Dreiecks-Helligkeit i^*



ORS20_95a; adaptierte CIELAB-Daten

	u^*_e	$L^*=L^*_a$	a^*_a	b^*_a	$C^*_{ab,a}$	$h^*_{ab,a}$
O _{Ma}	46.89	66.19	40.28	77.48	31	
Y _{Ma}	88.66	-9.62	88.21	88.73	96	
L _{Ma}	54.22	-65.29	33.87	73.56	153	
C _{Ma}	61.43	-30.53	-42.04	51.96	234	
V _{Ma}	25.93	25.95	-47.37	54.01	299	
M _{Ma}	47.92	73.53	-9.02	74.08	353	
N _{Ma}	20.41	0.0	0.0	0.0	0	
W _{Ma}	94.64	0.0	0.0	0.0	0	
R _{Ma}	39.92	58.74	27.99	65.07	25	
J _{Ma}	81.26	-2.89	71.56	71.62	92	
G _{Ma}	52.23	-42.42	13.6	44.55	162	
B _{Ma}	30.57	1.41	-46.47	46.49	272	

Daten für Maximalfarbe (Ma):

$LAB^*LAB^*_{Ma}$: 54 53 48

$LAB^*LCH^*_{Ma}$: 54 72 42

$lab^*rgb^*_{Ma}$: 1.0 0.25 0.0

$lab^*olv^*_{Ma}$: 1.0 0.17 0.0

Dreiecks-Helligkeit i^*

%Umfang

$u^*_{rel} = 87$

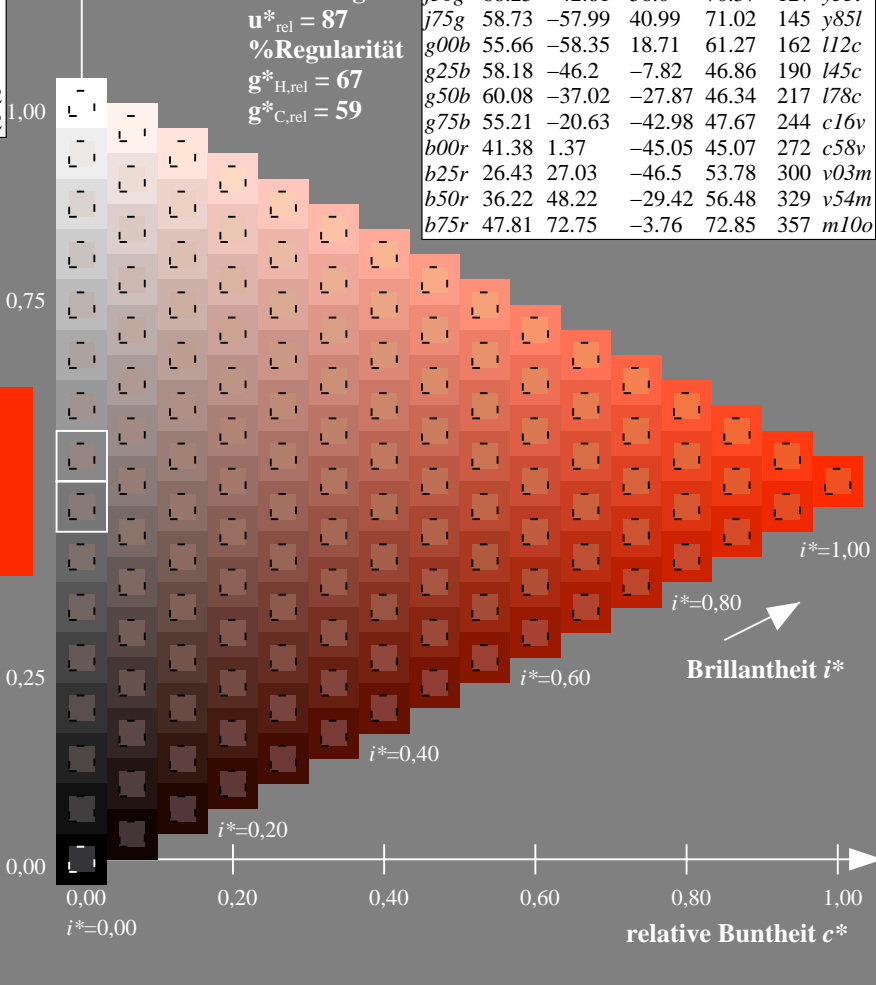
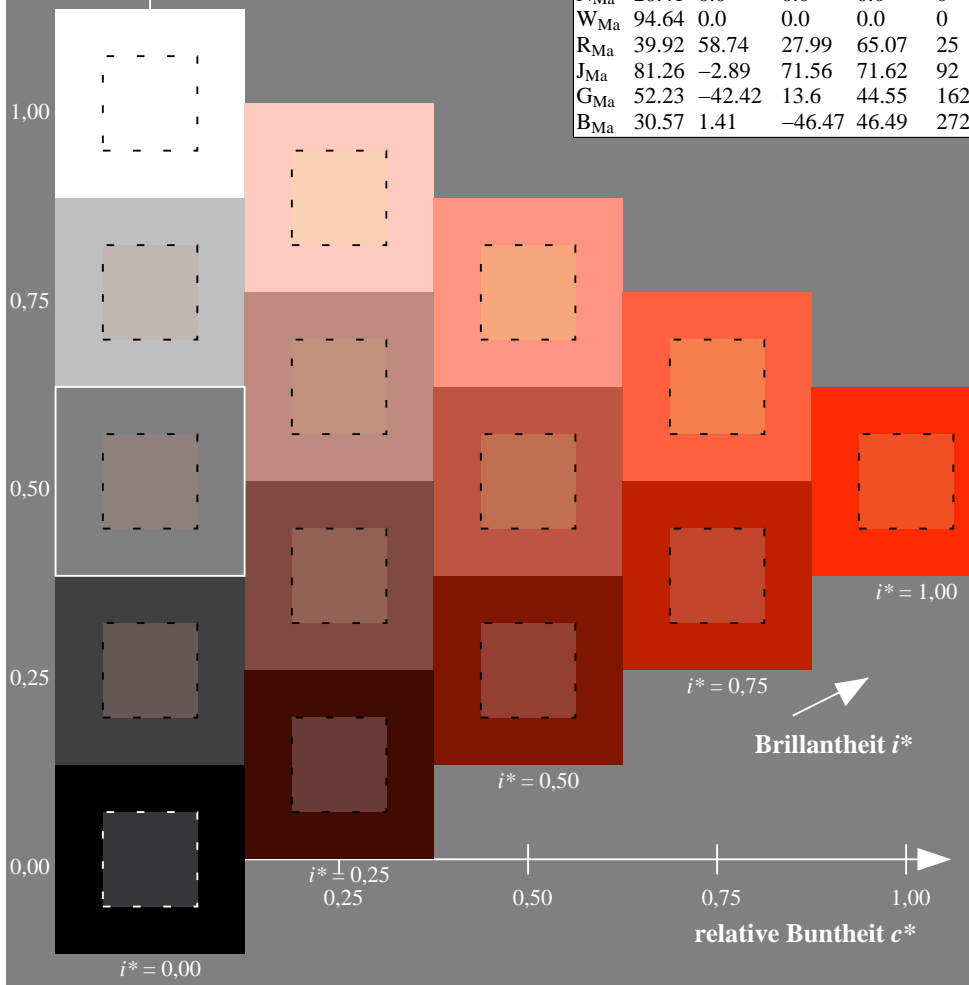
%Regularität

$g^*_{H,rel} = 67$

$g^*_{C,rel} = 59$

ORS20_95a; adaptierte CIELAB-Daten

	u^*_e	$L^*=L^*_a$	a^*_a	b^*_a	$C^*_{ab,a}$	$h^*_{ab,a}$	u^*_d
r00j	47.06	67.41	32.12	74.67	25	m84o	
r25j	53.95	53.38	48.38	72.04	42	o17y	
r50j	63.6	35.87	59.45	69.43	59	o42y	
r75j	73.37	18.14	70.66	72.95	76	o68y	
j00g	85.24	-3.4	84.28	84.35	92	o93y	
j25g	78.53	-25.99	72.23	76.76	110	y24l	
j50g	68.25	-42.61	56.0	70.37	127	y55l	
j75g	58.73	-57.99	40.99	71.02	145	y85l	
g00b	55.66	-58.35	18.71	61.27	162	l12c	
g25b	58.18	-46.2	-7.82	46.86	190	l45c	
g50b	60.08	-37.02	-27.87	46.34	217	l78c	
g75b	55.21	-20.63	-42.98	47.67	244	c16v	
b00r	41.38	1.37	-45.05	45.07	272	c58v	
b25r	26.43	27.03	-46.5	53.78	300	v03m	
b50r	36.22	48.22	-29.42	56.48	329	v54m	
b75r	47.81	72.75	-3.76	72.85	357	m10o	

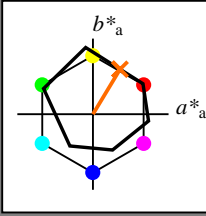


Siehe ähnliche Dateien: <http://www.ps.bam.de/Eg39/>; www.ps.bam.de/Eg.HTM
 Technische Information: <http://www.ps.bam.de> Version 2.1, io=1,1, ColSpx=1

BAM-Registrierung: 20081001-Eg39/10L/L39G00NA.PS/.TXT BAM-Material: Code=rhatha
 Anwendung für Beurteilung und Messung von Drucker- oder Monitorssystemen

Ein und Ausgabe: Farbmetrisches Drucker-Reflektiv-System ORS20_95a für relativen CIELAB-Buntton $h^* = lab^*h^* = h_{ab}/360 = 0.164$ $u^*_e = r50j$

Daten für jede Farbe:
 lab^*tch^* und lab^*icu^*
 Bunttontexte:
 $u^*_e = r50j$ $u^*_d = o42y$
 Kontrastreduzierungsfaktor:
 $c_R = 1.0$
 Dreiecks-Helligkeit i^*



ORS20_95a; adaptierte CIELAB-Daten						
	u^*_e	$L^*=L^*_a$	a^*_a	b^*_a	$C^*_{ab,a}$	$h^*_{ab,a}$
O _{Ma}	46.89	66.19	40.28	77.48	31	
Y _{Ma}	88.66	-9.62	88.21	88.73	96	
L _{Ma}	54.22	-65.29	33.87	73.56	153	
C _{Ma}	61.43	-30.53	-42.04	51.96	234	
V _{Ma}	25.93	25.95	-47.37	54.01	299	
M _{Ma}	47.92	73.53	-9.02	74.08	353	
N _{Ma}	20.41	0.0	0.0	0.0	0	
W _{Ma}	94.64	0.0	0.0	0.0	0	
R _{Ma}	39.92	58.74	27.99	65.07	25	
J _{Ma}	81.26	-2.89	71.56	71.62	92	
G _{Ma}	52.23	-42.42	13.6	44.55	162	
B _{Ma}	30.57	1.41	-46.47	46.49	272	

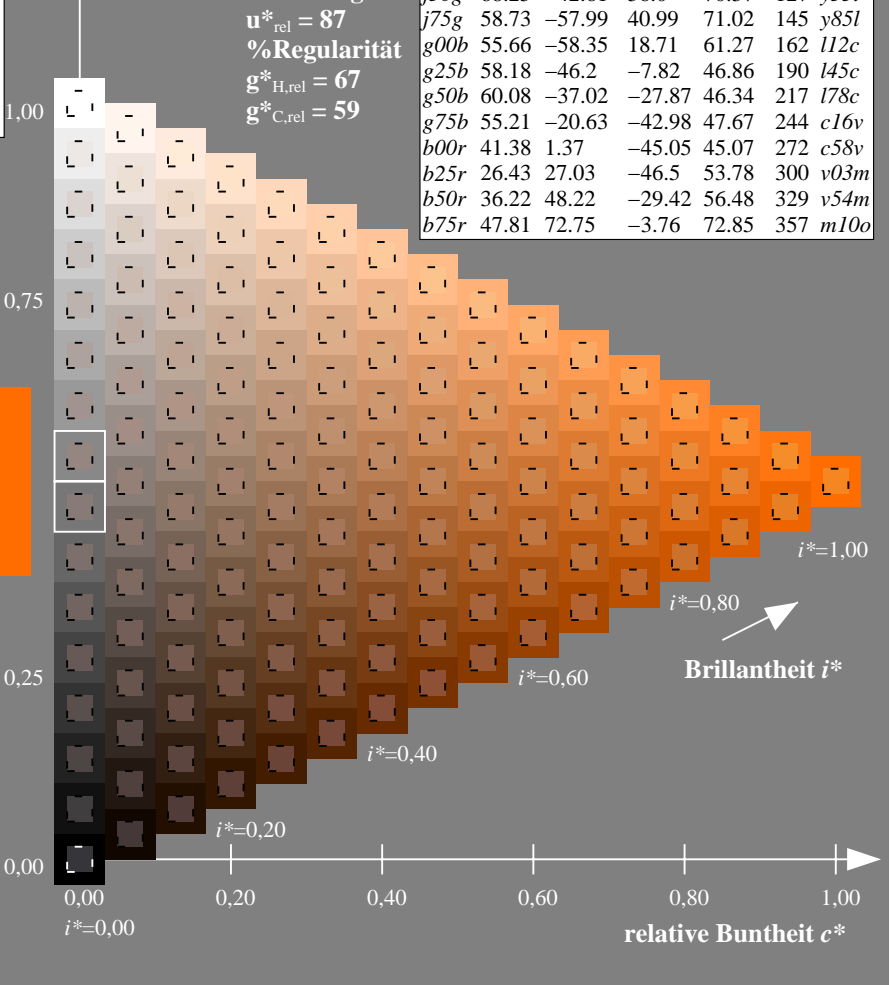
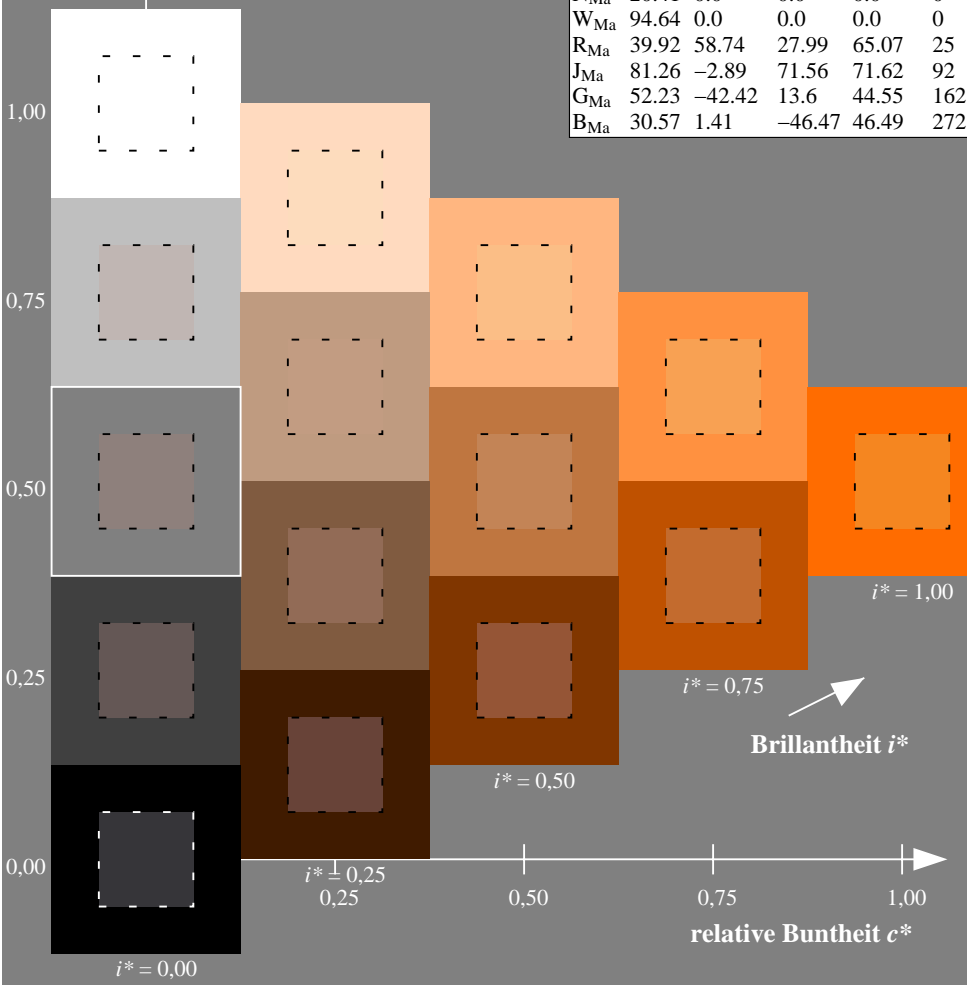
Daten für Maximalfarbe (Ma):

$LAB^*LAB^*_{Ma}$: 64 36 59
 $LAB^*LCH^*_{Ma}$: 64 69 58
 $lab^*rgb^*_{Ma}$: 1.0 0.5 0.0
 $lab^*olv^*_{Ma}$: 1.0 0.42 0.0

ORS20_95a; adaptierte CIELAB-Daten							
	u^*_e	$L^*=L^*_a$	a^*_a	b^*_a	$C^*_{ab,a}$	$h^*_{ab,a}$	u^*_d
r00j	47.06	67.41	32.12	74.67	25	m84o	
r25j	53.95	53.38	48.38	72.04	42	o17y	
r50j	63.6	35.87	59.45	69.43	59	o42y	
r75j	73.37	18.14	70.66	72.95	76	o68y	
j00g	85.24	-3.4	84.28	84.35	92	o93y	
j25g	78.53	-25.99	72.23	76.76	110	y24l	
j50g	68.25	-42.61	56.0	70.37	127	y55l	
j75g	58.73	-57.99	40.99	71.02	145	y85l	
g00b	55.66	-58.35	18.71	61.27	162	l12c	
g25b	58.18	-46.2	-7.82	46.86	190	l45c	
g50b	60.08	-37.02	-27.87	46.34	217	l78c	
g75b	55.21	-20.63	-42.98	47.67	244	c16v	
b00r	41.38	1.37	-45.05	45.07	272	c58v	
b25r	26.43	27.03	-46.5	53.78	300	v03m	
b50r	36.22	48.22	-29.42	56.48	329	v54m	
b75r	47.81	72.75	-3.76	72.85	357	m10o	

Dreiecks-Helligkeit i^*

%Umfang
 $u^*_{rel} = 87$
 %Regularität
 $g^*_{H,rel} = 67$
 $g^*_{C,rel} = 59$



Siehe ähnliche Dateien: <http://www.ps.bam.de/Eg39/>; www.ps.bam.de/Version 2.1, io=1,1, ColSpx=1
 Technische Information: <http://www.ps.bam.de>

BAM-Registrierung: 20081001-Eg39/10L/L39G00NA.PS/.TXT BAM-Material: Code=rhatha
 Anwendung für Beurteilung und Messung von Drucker- oder Monitorssystemen

Ein und Ausgabe: Farbmetrisches Drucker-Reflektiv-System ORS20_95a für relativen CIELAB-Buntton $h^* = lab^*h^* = h_{ab}/360 = 0.21$ $u^*_e = r75j$

Daten für jede Farbe:

lab^*ch^* und lab^*icu^*

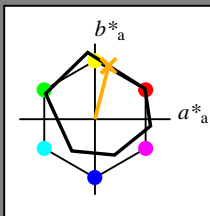
Bunttontexte:

$u^*_e = r75j$ $u^*_d = o68y$

Kontrastreduzierungsfaktor:

$c_R = 1.0$

Dreiecks-Helligkeit i^*



ORS20_95a; adaptierte CIELAB-Daten

	u^*_e	$L^*=L^*_a$	a^*_a	b^*_a	$C^*_{ab,a}$	$h^*_{ab,a}$
O _{Ma}	46.89	66.19	40.28	77.48	31	
Y _{Ma}	88.66	-9.62	88.21	88.73	96	
L _{Ma}	54.22	-65.29	33.87	73.56	153	
C _{Ma}	61.43	-30.53	-42.04	51.96	234	
V _{Ma}	25.93	25.95	-47.37	54.01	299	
M _{Ma}	47.92	73.53	-9.02	74.08	353	
N _{Ma}	20.41	0.0	0.0	0.0	0	
W _{Ma}	94.64	0.0	0.0	0.0	0	
R _{Ma}	39.92	58.74	27.99	65.07	25	
J _{Ma}	81.26	-2.89	71.56	71.62	92	
G _{Ma}	52.23	-42.42	13.6	44.55	162	
B _{Ma}	30.57	1.41	-46.47	46.49	272	

Daten für Maximalfarbe (Ma):

$LAB^*LAB^*_{Ma}$: 73 18 71

$LAB^*LCH^*_{Ma}$: 73 73 75

$lab^*rgb^*_{Ma}$: 1.0 0.75 0.0

$lab^*olv^*_{Ma}$: 1.0 0.68 0.0

Dreiecks-Helligkeit i^*

%Umfang

$u^*_{rel} = 87$

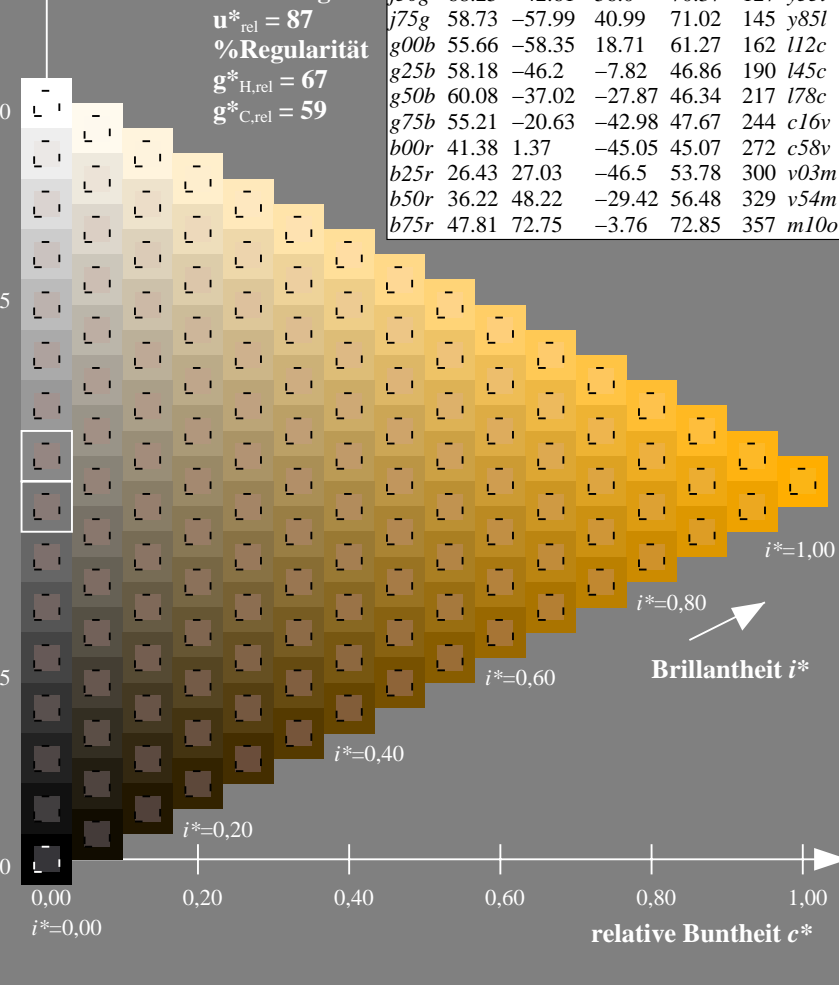
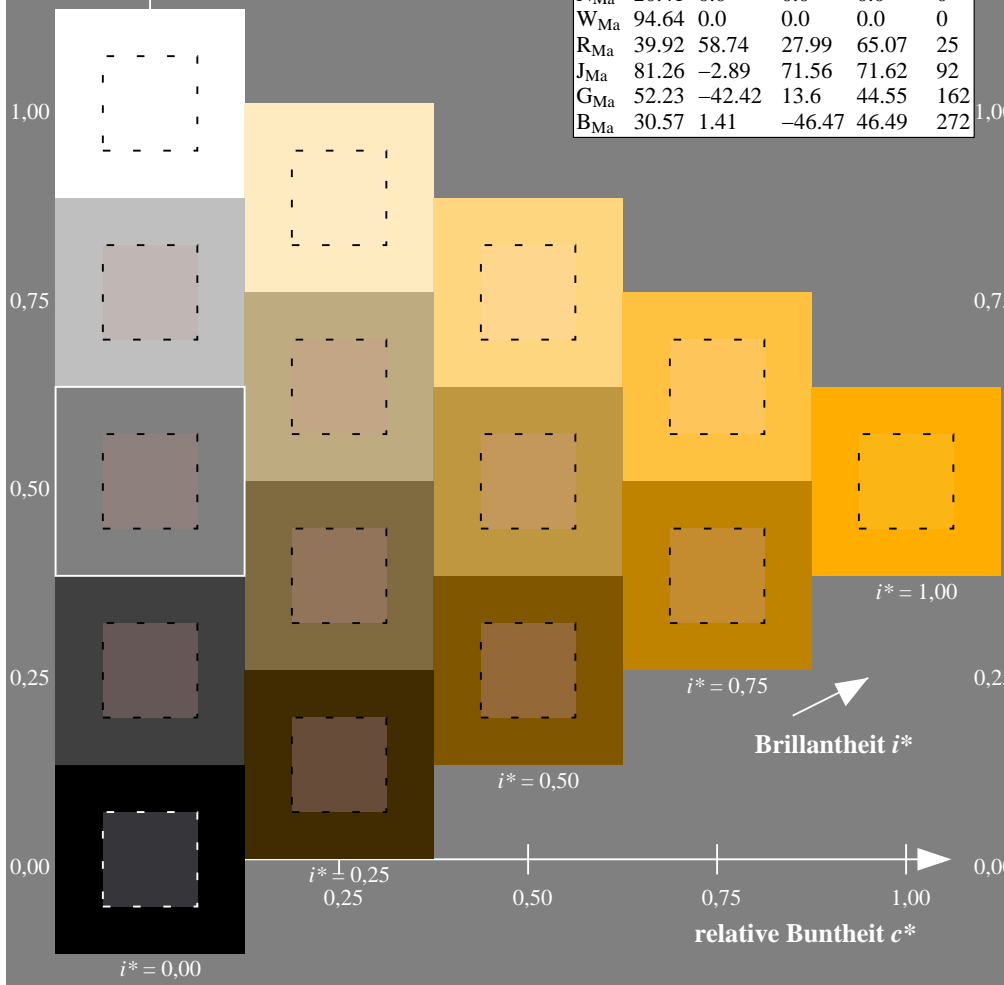
%Regularität

$g^*_{H,rel} = 67$

$g^*_{C,rel} = 59$

ORS20_95a; adaptierte CIELAB-Daten

	u^*_e	$L^*=L^*_a$	a^*_a	b^*_a	$C^*_{ab,a}$	$h^*_{ab,a}$	u^*_d
r00j	47.06	67.41	32.12	74.67	25	m84o	
r25j	53.95	53.38	48.38	72.04	42	o17y	
r50j	63.6	35.87	59.45	69.43	59	o42y	
r75j	73.37	18.14	70.66	72.95	76	o68y	
j00g	85.24	-3.4	84.28	84.35	92	o93y	
j25g	78.53	-25.99	72.23	76.76	110	y24l	
j50g	68.25	-42.61	56.0	70.37	127	y55l	
j75g	58.73	-57.99	40.99	71.02	145	y85l	
g00b	55.66	-58.35	18.71	61.27	162	l12c	
g25b	58.18	-46.2	-7.82	46.86	190	l45c	
g50b	60.08	-37.02	-27.87	46.34	217	l78c	
g75b	55.21	-20.63	-42.98	47.67	244	c16v	
b00r	41.38	1.37	-45.05	45.07	272	c58v	
b25r	26.43	27.03	-46.5	53.78	300	v03m	
b50r	36.22	48.22	-29.42	56.48	329	v54m	
b75r	47.81	72.75	-3.76	72.85	357	m10o	



Siehe ähnliche Dateien: <http://www.ps.bam.de/Eg39/>; www.ps.bam.de/Version 2.1, io=1,1, ColSpx=1

BAM-Registrierung: 20081001-Eg39/10L/L39G00NA.PS/.TXT BAM-Material: Code=rh4ta
 Anwendung für Beurteilung und Messung von Drucker- oder Monitorssystemen

Ein und Ausgabe: Farbmetrisches Drucker-Reflektiv-System ORS20_95a für relativen CIELAB-Buntton $h^* = lab^*h^* = h_{ab}/360 = 0.256$ $u^*_e = j00g$

Daten für jede Farbe:

lab^*ch^* und lab^*icu^*

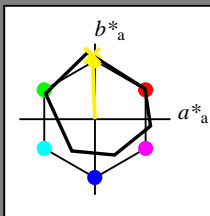
Bunttontexte:

$u^*_e = j00g$ $u^*_d = o93y$

Kontrastreduzierungsfaktor:

$c_R = 1.0$

Dreiecks-Helligkeit i^*



ORS20_95a; adaptierte CIELAB-Daten

	u^*_e	$L^*=L^*_a$	a^*_a	b^*_a	$C^*_{ab,a}$	$h^*_{ab,a}$
O _{Ma}	46.89	66.19	40.28	77.48	31	
Y _{Ma}	88.66	-9.62	88.21	88.73	96	
L _{Ma}	54.22	-65.29	33.87	73.56	153	
C _{Ma}	61.43	-30.53	-42.04	51.96	234	
V _{Ma}	25.93	25.95	-47.37	54.01	299	
M _{Ma}	47.92	73.53	-9.02	74.08	353	
N _{Ma}	20.41	0.0	0.0	0.0	0	
W _{Ma}	94.64	0.0	0.0	0.0	0	
R _{Ma}	39.92	58.74	27.99	65.07	25	
J _{Ma}	81.26	-2.89	71.56	71.62	92	
G _{Ma}	52.23	-42.42	13.6	44.55	162	
B _{Ma}	30.57	1.41	-46.47	46.49	272	

Daten für Maximalfarbe (Ma):

$LAB^*LAB^*_{Ma}$: 85 -3 84

$LAB^*LCH^*_{Ma}$: 85 84 92

$lab^*rgb^*_{Ma}$: 1.0 1.0 0.0

$lab^*olv^*_{Ma}$: 1.0 0.94 0.0

Dreiecks-Helligkeit i^*

%Umfang

$u^*_{rel} = 87$

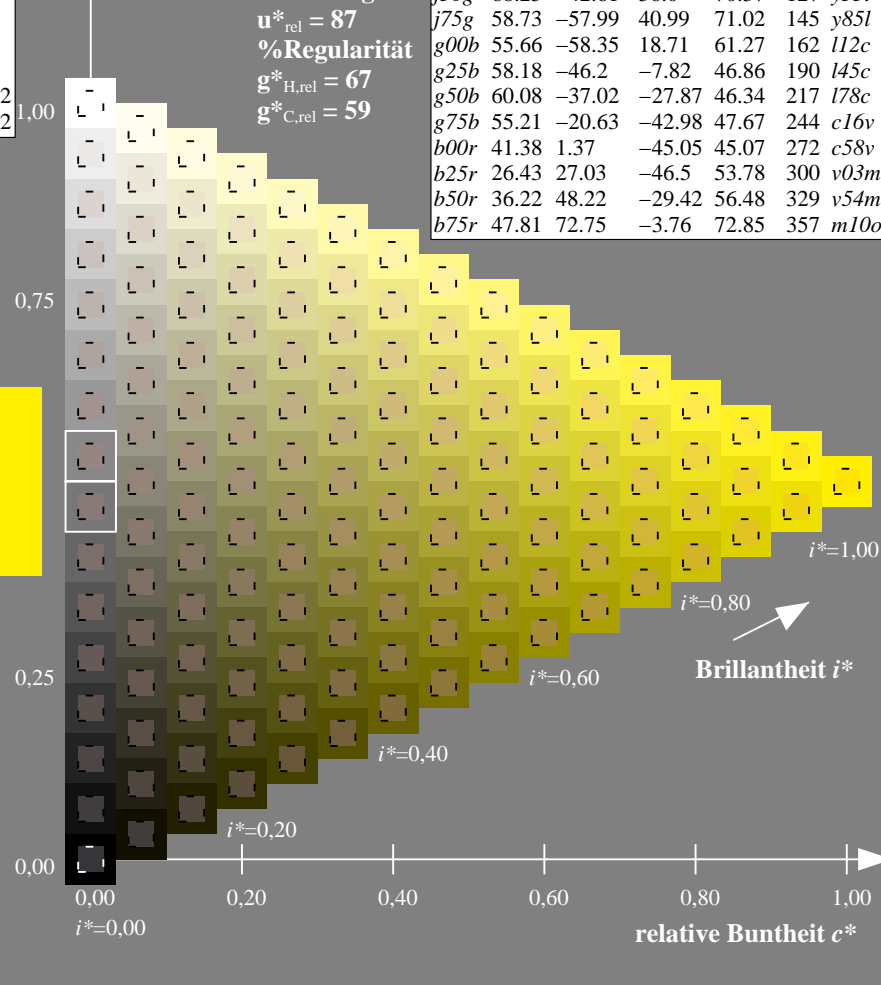
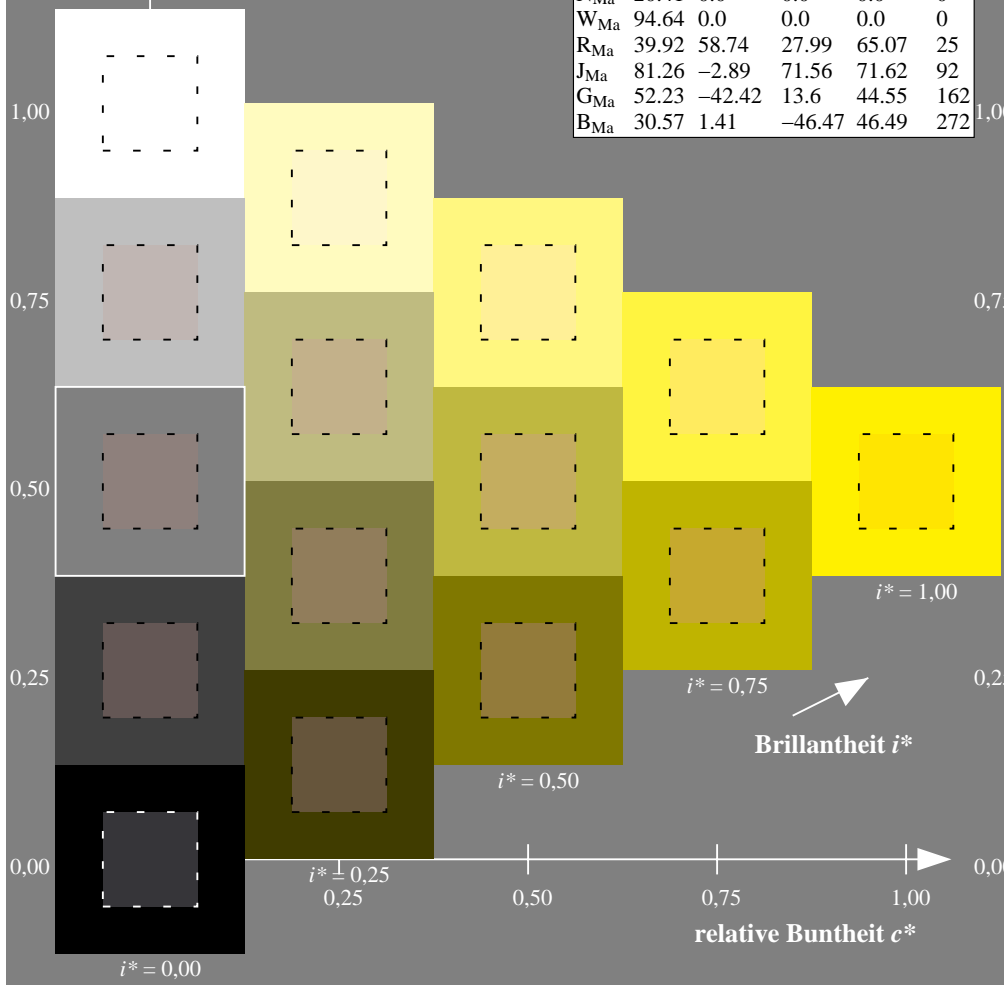
%Regularität

$g^*_{H,rel} = 67$

$g^*_{C,rel} = 59$

ORS20_95a; adaptierte CIELAB-Daten

	u^*_e	$L^*=L^*_a$	a^*_a	b^*_a	$C^*_{ab,a}$	$h^*_{ab,a}$	u^*_d
r00j	47.06	67.41	32.12	74.67	25	m84o	
r25j	53.95	53.38	48.38	72.04	42	o17y	
r50j	63.6	35.87	59.45	69.43	59	o42y	
r75j	73.37	18.14	70.66	72.95	76	o68y	
j00g	85.24	-3.4	84.28	84.35	92	o93y	
j25g	78.53	-25.99	72.23	76.76	110	y24l	
j50g	68.25	-42.61	56.0	70.37	127	y55l	
j75g	58.73	-57.99	40.99	71.02	145	y85l	
g00b	55.66	-58.35	18.71	61.27	162	l12c	
g25b	58.18	-46.2	-7.82	46.86	190	l45c	
g50b	60.08	-37.02	-27.87	46.34	217	l78c	
g75b	55.21	-20.63	-42.98	47.67	244	c16v	
b00r	41.38	1.37	-45.05	45.07	272	c58v	
b25r	26.43	27.03	-46.5	53.78	300	v03m	
b50r	36.22	48.22	-29.42	56.48	329	v54m	
b75r	47.81	72.75	-3.76	72.85	357	m10o	



Siehe ähnliche Dateien: <http://www.ps.bam.de/Eg39/>; www.ps.bam.de/Eg.HTM
 Technische Information: <http://www.ps.bam.de> Version 2.1, io=1,1, ColSpx=1

BAM-Registrierung: 20081001-Eg39/10L/L39G00NA.PS/.TXT BAM-Material: Code=rh4ta
 Anwendung für Beurteilung und Messung von Drucker- oder Monitorssystemen

Ein und Ausgabe: Farbmetrisches Drucker-Reflektiv-System ORS20_95a für relativen CIELAB-Buntton $h^* = lab^*h^* = h_{ab}/360 = 0.305$ $u^*_e = j25g$

Daten für jede Farbe:

lab^*ch^* und lab^*icu^*

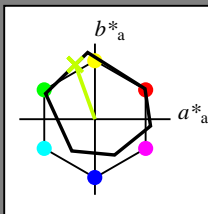
Bunttontexte:

$u^*_e = j25g$ $u^*_d = y24l$

Kontrastreduzierungsfaktor:

$c_R = 1.0$

Dreiecks-Helligkeit i^*



ORS20_95a; adaptierte CIELAB-Daten

u^*_e	$L^*=L^*_a$	a^*_a	b^*_a	$C^*_{ab,a}$	$h^*_{ab,a}$
O _{Ma}	46.89	66.19	40.28	77.48	31
Y _{Ma}	88.66	-9.62	88.21	88.73	96
L _{Ma}	54.22	-65.29	33.87	73.56	153
C _{Ma}	61.43	-30.53	-42.04	51.96	234
V _{Ma}	25.93	25.95	-47.37	54.01	299
M _{Ma}	47.92	73.53	-9.02	74.08	353
N _{Ma}	20.41	0.0	0.0	0.0	0
W _{Ma}	94.64	0.0	0.0	0.0	0
R _{Ma}	39.92	58.74	27.99	65.07	25
J _{Ma}	81.26	-2.89	71.56	71.62	92
G _{Ma}	52.23	-42.42	13.6	44.55	162
B _{Ma}	30.57	1.41	-46.47	46.49	272

Daten für Maximalfarbe (Ma):

$LAB^*LAB^*_{Ma}$: 79 -26 72

$LAB^*LCH^*_{Ma}$: 79 77 109

$lab^*rgb^*_{Ma}$: 0.75 1.0 0.0

$lab^*olv^*_{Ma}$: 0.76 1.0 0.0

Dreiecks-Helligkeit i^*

%Umfang

$u^*_{rel} = 87$

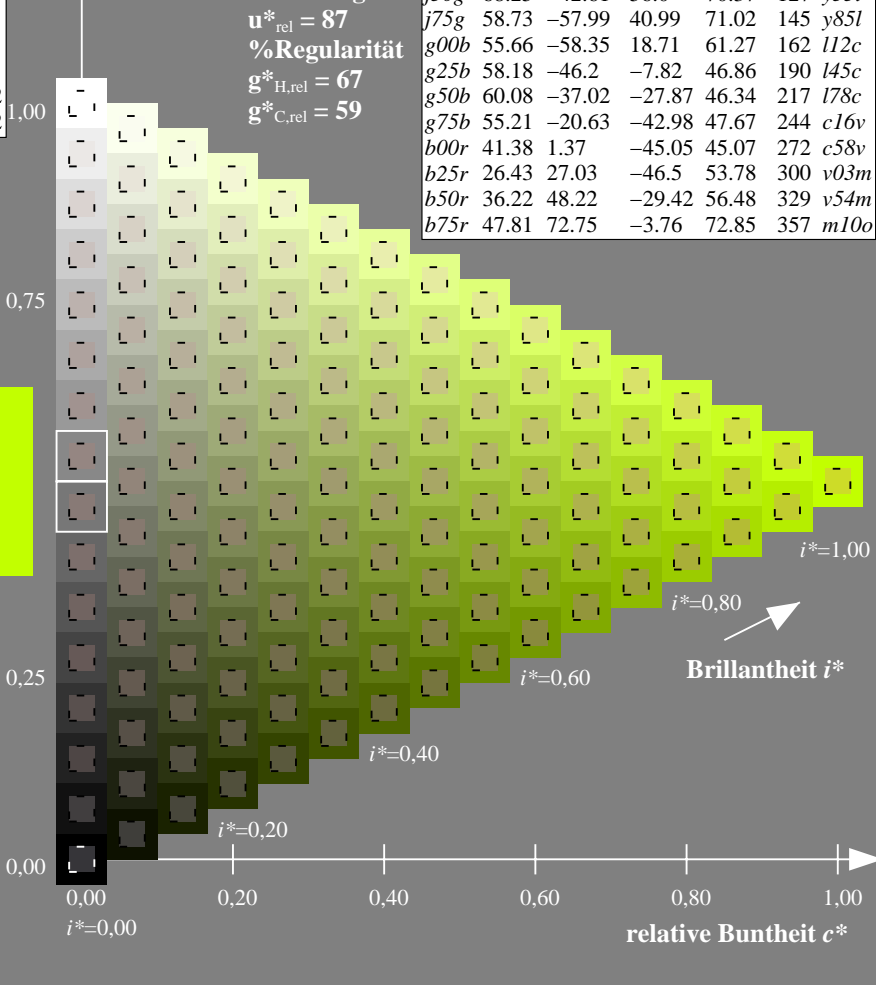
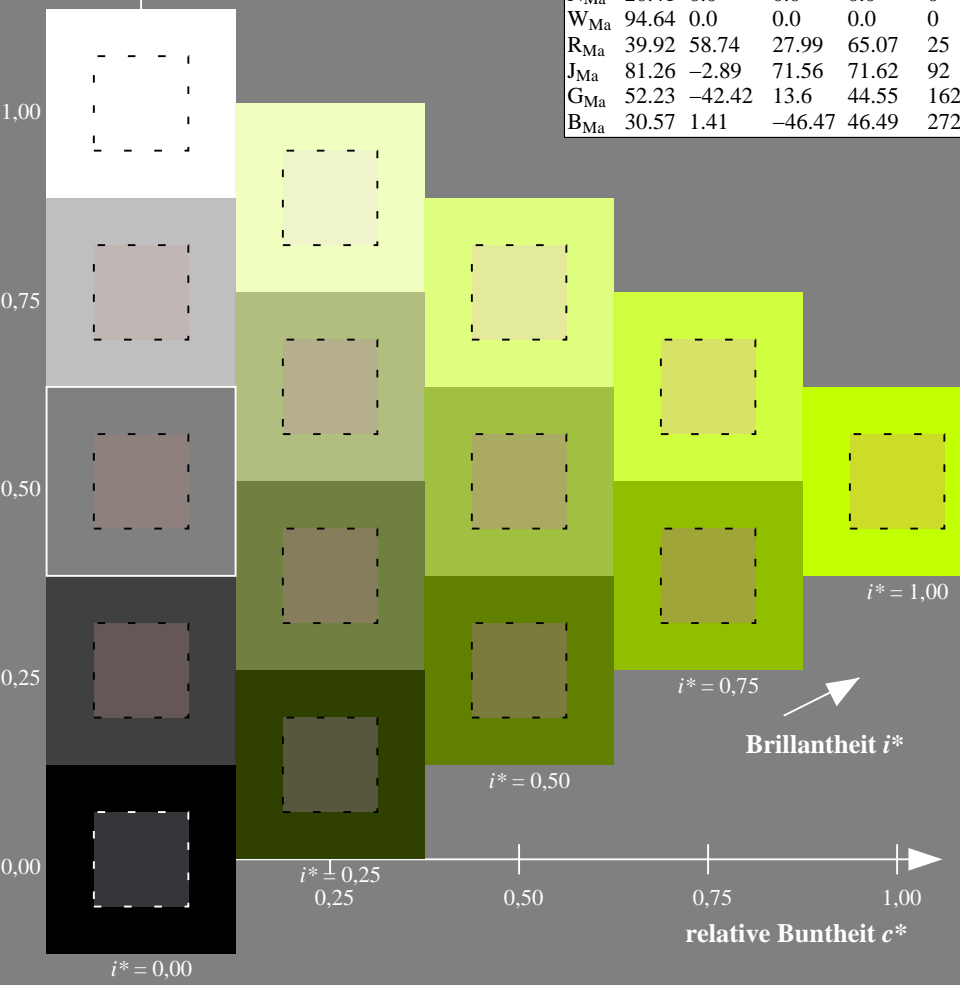
%Regularität

$g^*_{H,rel} = 67$

$g^*_{C,rel} = 59$

ORS20_95a; adaptierte CIELAB-Daten

u^*_e	$L^*=L^*_a$	a^*_a	b^*_a	$C^*_{ab,a}$	$h^*_{ab,a}$	u^*_d
r00j	47.06	67.41	32.12	74.67	25	m84o
r25j	53.95	53.38	48.38	72.04	42	o17y
r50j	63.6	35.87	59.45	69.43	59	o42y
r75j	73.37	18.14	70.66	72.95	76	o68y
j00g	85.24	-3.4	84.28	84.35	92	o93y
j25g	78.53	-25.99	72.23	76.76	110	y24l
j50g	68.25	-42.61	56.0	70.37	127	y55l
j75g	58.73	-57.99	40.99	71.02	145	y85l
g00b	55.66	-58.35	18.71	61.27	162	l12c
g25b	58.18	-46.2	-7.82	46.86	190	l45c
g50b	60.08	-37.02	-27.87	46.34	217	l78c
g75b	55.21	-20.63	-42.98	47.67	244	c16v
b00r	41.38	1.37	-45.05	45.07	272	c58v
b25r	26.43	27.03	-46.5	53.78	300	v03m
b50r	36.22	48.22	-29.42	56.48	329	v54m
b75r	47.81	72.75	-3.76	72.85	357	m10o



Siehe ähnliche Dateien: <http://www.ps.bam.de/Eg39/>; www.ps.bam.de/Eg.HTM
 Technische Information: <http://www.ps.bam.de> Version 2.1, io=1,1, ColSpx=1

BAM-Registrierung: 20081001-Eg39/10L/L39G00NA.PS/.TXT BAM-Material: Code=rhatha
 Anwendung für Beurteilung und Messung von Drucker- oder Monitorssystemen

Ein und Ausgabe: Farbmetrisches Drucker-Reflektiv-System ORS20_95a für relativen CIELAB-Buntton $h^* = lab^*h^* = h_{ab}/360 = 0.354$ $u^*_e = j50g$

Daten für jede Farbe:

lab^*ch^* und lab^*icu^*

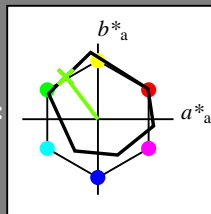
Bunttontexte:

$u^*_e = j50g$ $u^*_d = y55l$

Kontrastreduzierungsfaktor:

$c_R = 1.0$

Dreiecks-Helligkeit i^*



ORS20_95a; adaptierte CIELAB-Daten

	u^*_e	$L^*=L^*_a$	a^*_a	b^*_a	$C^*_{ab,a}$	$h^*_{ab,a}$
O _{Ma}	46.89	66.19	40.28	77.48	31	
Y _{Ma}	88.66	-9.62	88.21	88.73	96	
L _{Ma}	54.22	-65.29	33.87	73.56	153	
C _{Ma}	61.43	-30.53	-42.04	51.96	234	
V _{Ma}	25.93	25.95	-47.37	54.01	299	
M _{Ma}	47.92	73.53	-9.02	74.08	353	
N _{Ma}	20.41	0.0	0.0	0.0	0	
W _{Ma}	94.64	0.0	0.0	0.0	0	
R _{Ma}	39.92	58.74	27.99	65.07	25	
J _{Ma}	81.26	-2.89	71.56	71.62	92	
G _{Ma}	52.23	-42.42	13.6	44.55	162	
B _{Ma}	30.57	1.41	-46.47	46.49	272	

Daten für Maximalfarbe (Ma):

$LAB^*LAB^*_{Ma}$: 68 -43 56

$LAB^*LCH^*_{Ma}$: 68 70 127

$lab^*rgb^*_{Ma}$: 0.5 1.0 0.0

$lab^*olv^*_{Ma}$: 0.45 1.0 0.0

Dreiecks-Helligkeit i^*

%Umfang

$u^*_{rel} = 87$

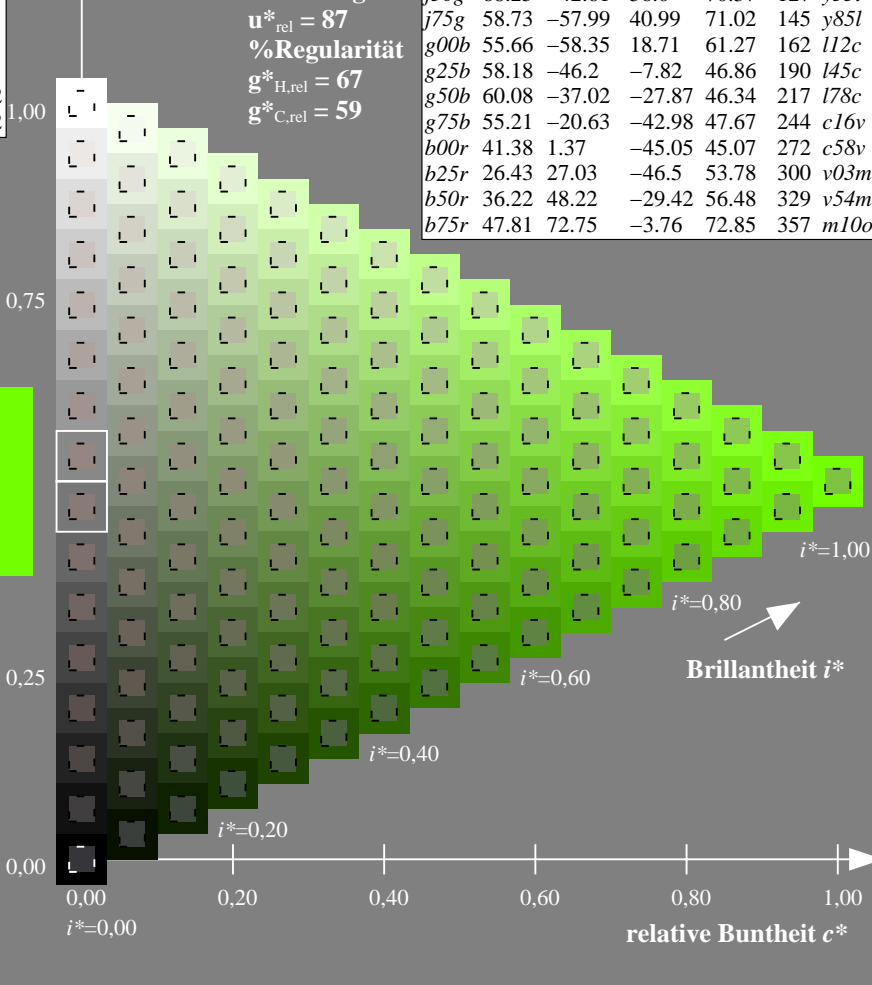
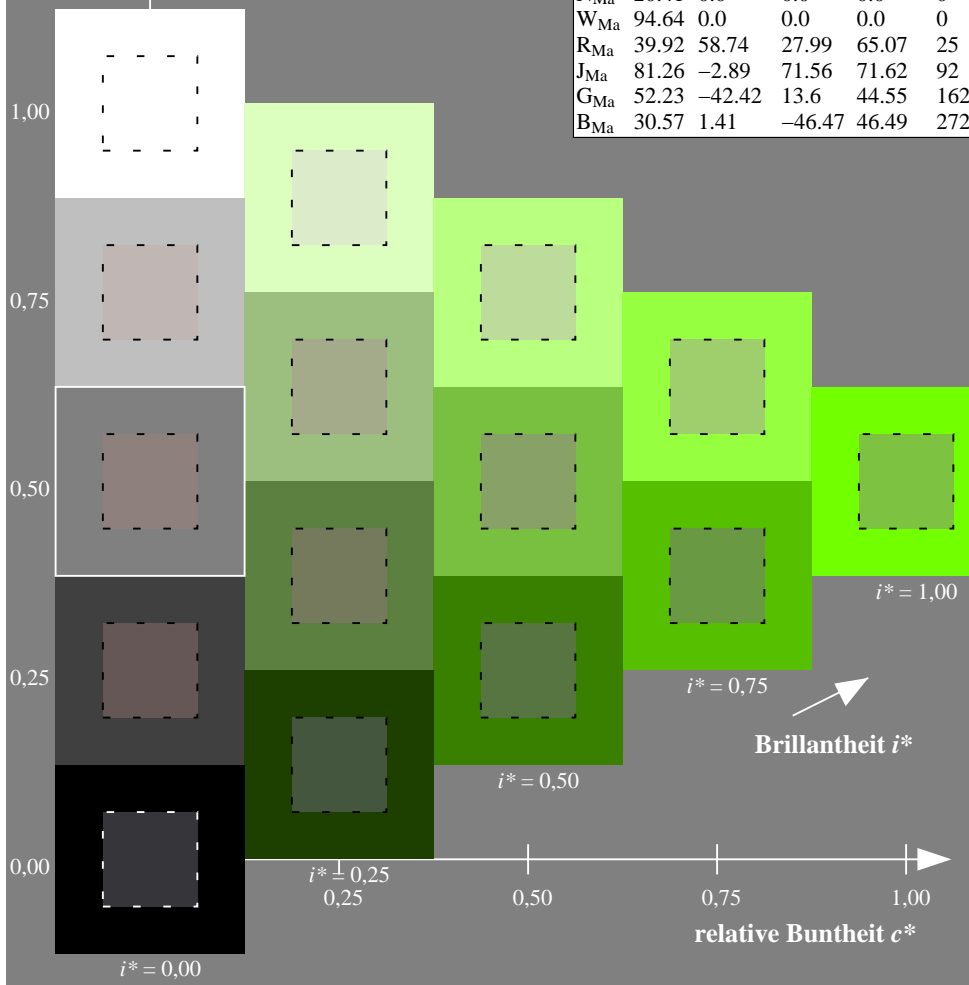
%Regularität

$g^*_{H,rel} = 67$

$g^*_{C,rel} = 59$

ORS20_95a; adaptierte CIELAB-Daten

	u^*_e	$L^*=L^*_a$	a^*_a	b^*_a	$C^*_{ab,a}$	$h^*_{ab,a}$	u^*_d
r00j	47.06	67.41	32.12	74.67	25	m84o	
r25j	53.95	53.38	48.38	72.04	42	o17y	
r50j	63.6	35.87	59.45	69.43	59	o42y	
r75j	73.37	18.14	70.66	72.95	76	o68y	
j00g	85.24	-3.4	84.28	84.35	92	o93y	
j25g	78.53	-25.99	72.23	76.76	110	y24l	
j50g	68.25	-42.61	56.0	70.37	127	y55l	
j75g	58.73	-57.99	40.99	71.02	145	y85l	
g00b	55.66	-58.35	18.71	61.27	162	l12c	
g25b	58.18	-46.2	-7.82	46.86	190	l45c	
g50b	60.08	-37.02	-27.87	46.34	217	l78c	
g75b	55.21	-20.63	-42.98	47.67	244	c16v	
b00r	41.38	1.37	-45.05	45.07	272	c58v	
b25r	26.43	27.03	-46.5	53.78	300	v03m	
b50r	36.22	48.22	-29.42	56.48	329	v54m	
b75r	47.81	72.75	-3.76	72.85	357	m10o	



Siehe ähnliche Dateien: <http://www.ps.bam.de/Eg39/>; www.ps.bam.de/Eg.HTM
 Technische Information: <http://www.ps.bam.de> Version 2.1, io=1,1, ColSpx=1

BAM-Registrierung: 20081001-Eg39/10L/L39G00NA.PS/.TXT BAM-Material: Code=rh4ta
 Anwendung für Beurteilung und Messung von Drucker- oder Monitorssystemen

Ein und Ausgabe: Farbmetrisches Drucker-Reflektiv-System ORS20_95a für relativen CIELAB-Buntton $h^* = lab^*h^* = h_{ab}/360 = 0.402$ $u^*_e = j75g$

Daten für jede Farbe:

lab^*ch^* und lab^*icu^*

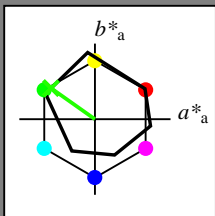
Bunttontexte:

$u^*_e = j75g$ $u^*_d = y85l$

Kontrastreduzierungsfaktor:

$c_R = 1.0$

Dreiecks-Helligkeit i^*



ORS20_95a; adaptierte CIELAB-Daten

	u^*_e	$L^*=L^*_a$	a^*_a	b^*_a	$C^*_{ab,a}$	$h^*_{ab,a}$
O _{Ma}	46.89	66.19	40.28	77.48	31	
Y _{Ma}	88.66	-9.62	88.21	88.73	96	
L _{Ma}	54.22	-65.29	33.87	73.56	153	
C _{Ma}	61.43	-30.53	-42.04	51.96	234	
V _{Ma}	25.93	25.95	-47.37	54.01	299	
M _{Ma}	47.92	73.53	-9.02	74.08	353	
N _{Ma}	20.41	0.0	0.0	0.0	0	
W _{Ma}	94.64	0.0	0.0	0.0	0	
R _{Ma}	39.92	58.74	27.99	65.07	25	
J _{Ma}	81.26	-2.89	71.56	71.62	92	
G _{Ma}	52.23	-42.42	13.6	44.55	162	
B _{Ma}	30.57	1.41	-46.47	46.49	272	

Daten für Maximalfarbe (Ma):

$LAB^*LAB^*_{Ma}$: 59 -58 41

$LAB^*LCH^*_{Ma}$: 59 71 144

$lab^*rgb^*_{Ma}$: 0.25 1.0 0.0

$lab^*olv^*_{Ma}$: 0.14 1.0 0.0

Dreiecks-Helligkeit i^*

%Umfang

$u^*_{rel} = 87$

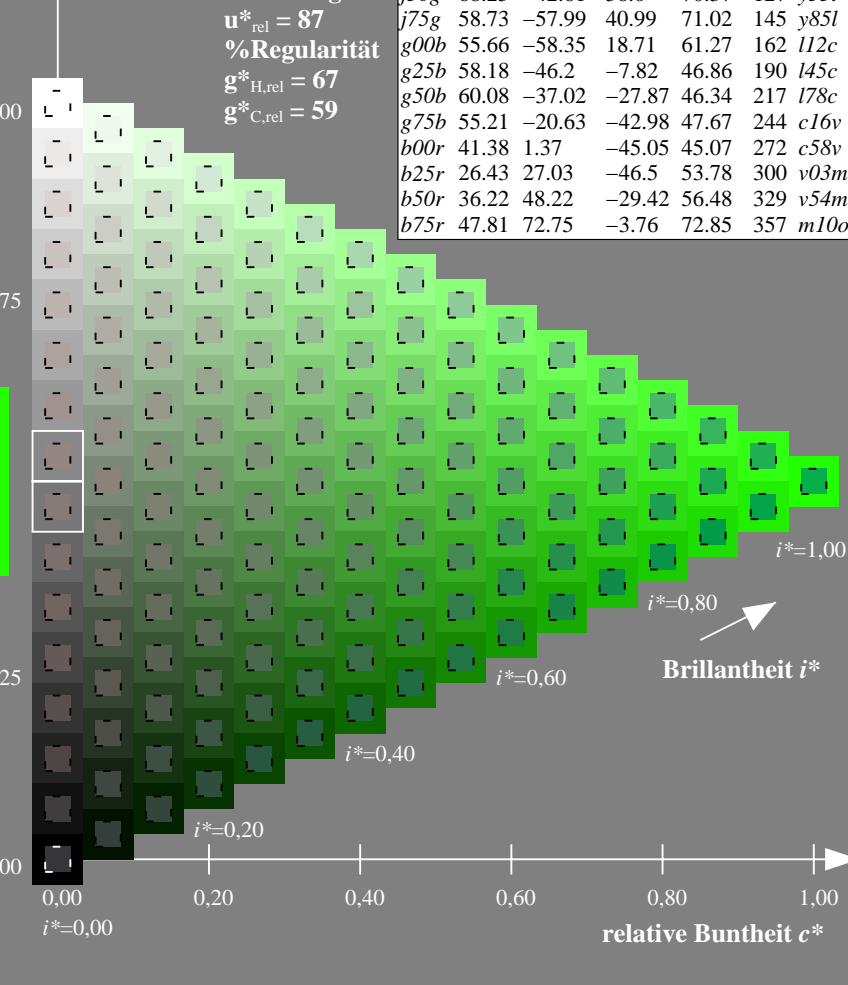
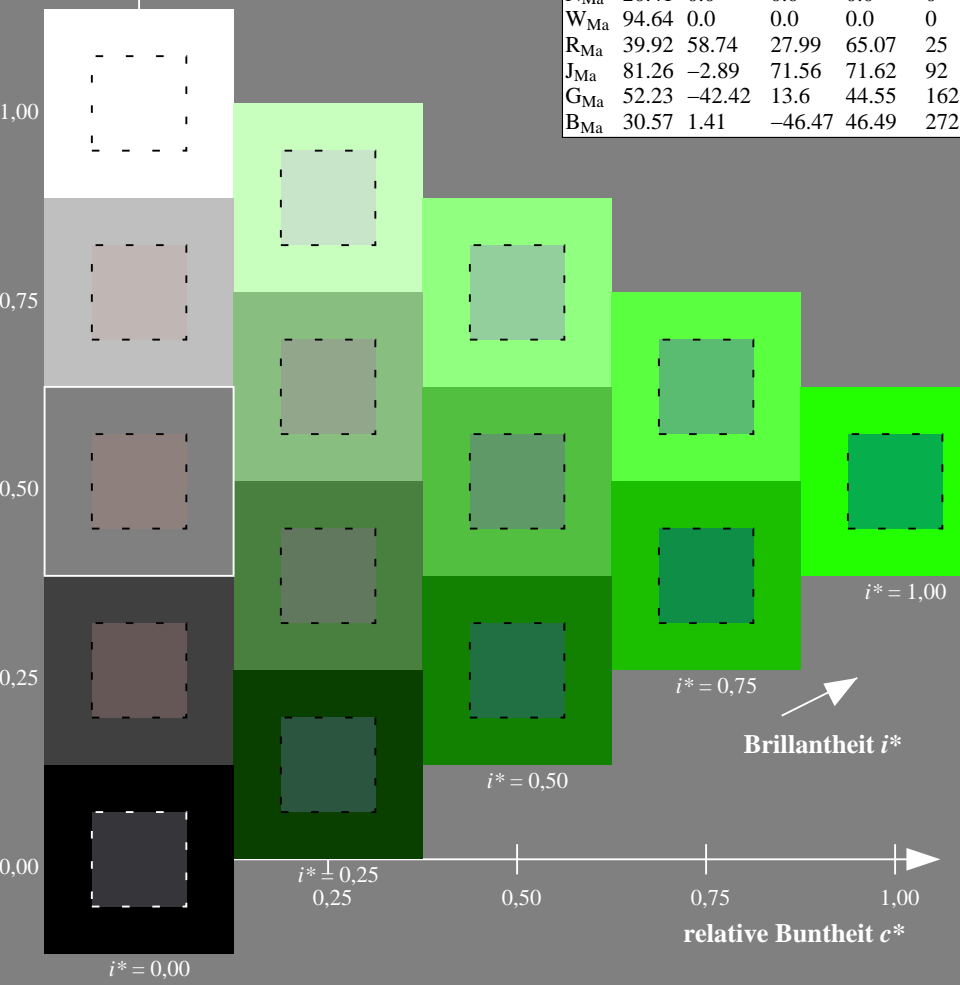
%Regularität

$g^*_{H,rel} = 67$

$g^*_{C,rel} = 59$

ORS20_95a; adaptierte CIELAB-Daten

	u^*_e	$L^*=L^*_a$	a^*_a	b^*_a	$C^*_{ab,a}$	$h^*_{ab,a}$	u^*_d
r00j	47.06	67.41	32.12	74.67	25	m84o	
r25j	53.95	53.38	48.38	72.04	42	o17y	
r50j	63.6	35.87	59.45	69.43	59	o42y	
r75j	73.37	18.14	70.66	72.95	76	o68y	
j00g	85.24	-3.4	84.28	84.35	92	o93y	
j25g	78.53	-25.99	72.23	76.76	110	y24l	
j50g	68.25	-42.61	56.0	70.37	127	y55l	
j75g	58.73	-57.99	40.99	71.02	145	y85l	
g00b	55.66	-58.35	18.71	61.27	162	l12c	
g25b	58.18	-46.2	-7.82	46.86	190	l45c	
g50b	60.08	-37.02	-27.87	46.34	217	l78c	
g75b	55.21	-20.63	-42.98	47.67	244	c16v	
b00r	41.38	1.37	-45.05	45.07	272	c58v	
b25r	26.43	27.03	-46.5	53.78	300	v03m	
b50r	36.22	48.22	-29.42	56.48	329	v54m	
b75r	47.81	72.75	-3.76	72.85	357	m10o	



Siehe ähnliche Dateien: <http://www.ps.bam.de/Eg39/>; www.ps.bam.de/Eg.HTM
 Technische Information: <http://www.ps.bam.de> Version 2.1, io=1,1, ColSpx=1

BAM-Registrierung: 20081001-Eg39/10L/L39G00NA.PS/.TXT BAM-Material: Code=rh4ta
 Anwendung für Beurteilung und Messung von Drucker- oder Monitorssystemen

Ein und Ausgabe: Farbmetrisches Drucker-Reflektiv-System ORS20_95a für relativen CIELAB-Buntton $h^* = lab^*h^* = h_{ab}/360 = 0.451$ $u^*_e = g00b$

Daten für jede Farbe:

lab^*ch^* und lab^*icu^*

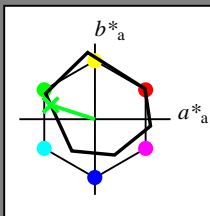
Bunttontexte:

$u^*_e = g00b$ $u^*_d = l12c$

Kontrastreduzierungsfaktor:

$c_R = 1.0$

Dreiecks-Helligkeit i^*



ORS20_95a; adaptierte CIELAB-Daten

	u^*_e	$L^*=L^*_a$	a^*_a	b^*_a	$C^*_{ab,a}$	$h^*_{ab,a}$
O _{Ma}	46.89	66.19	40.28	77.48	31	
Y _{Ma}	88.66	-9.62	88.21	88.73	96	
L _{Ma}	54.22	-65.29	33.87	73.56	153	
C _{Ma}	61.43	-30.53	-42.04	51.96	234	
V _{Ma}	25.93	25.95	-47.37	54.01	299	
M _{Ma}	47.92	73.53	-9.02	74.08	353	
N _{Ma}	20.41	0.0	0.0	0.0	0	
W _{Ma}	94.64	0.0	0.0	0.0	0	
R _{Ma}	39.92	58.74	27.99	65.07	25	
J _{Ma}	81.26	-2.89	71.56	71.62	92	
G _{Ma}	52.23	-42.42	13.6	44.55	162	
B _{Ma}	30.57	1.41	-46.47	46.49	272	

Daten für Maximalfarbe (Ma):

$LAB^*LAB^*_{Ma}$: 56 -58 19

$LAB^*LCH^*_{Ma}$: 56 61 162

$lab^*rgb^*_{Ma}$: 0.0 1.0 0.0

$lab^*olv^*_{Ma}$: 0.0 1.0 0.12

Dreiecks-Helligkeit i^*

%Umfang

$u^*_{rel} = 87$

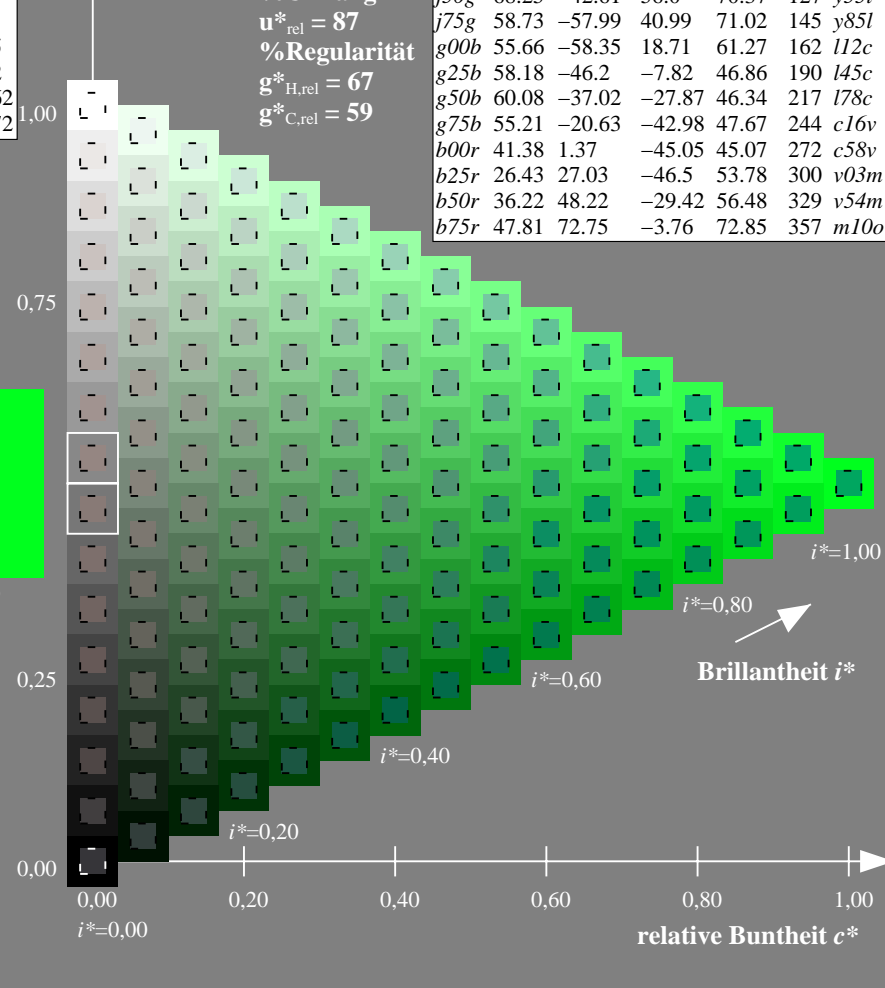
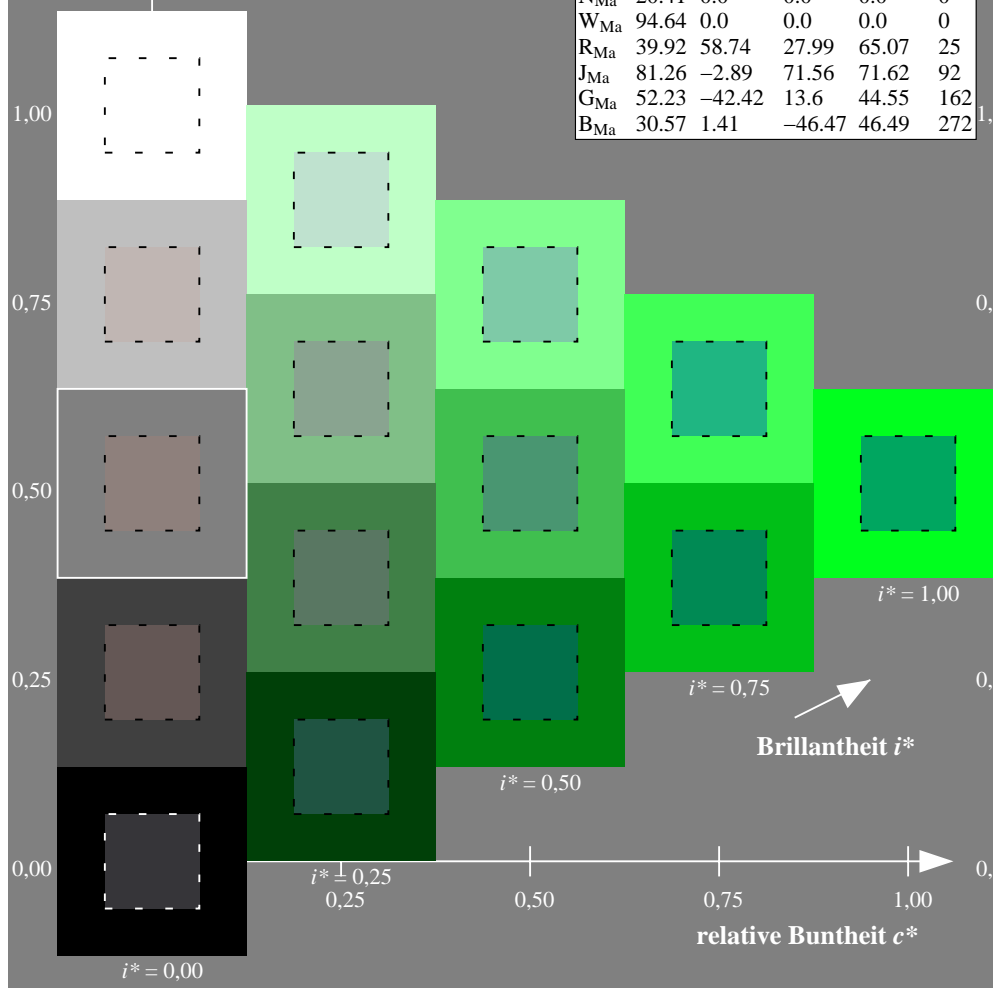
%Regularität

$g^*_{H,rel} = 67$

$g^*_{C,rel} = 59$

ORS20_95a; adaptierte CIELAB-Daten

	u^*_e	$L^*=L^*_a$	a^*_a	b^*_a	$C^*_{ab,a}$	$h^*_{ab,a}$	u^*_d
r00j	47.06	67.41	32.12	74.67	25	m84o	
r25j	53.95	53.38	48.38	72.04	42	o17y	
r50j	63.6	35.87	59.45	69.43	59	o42y	
r75j	73.37	18.14	70.66	72.95	76	o68y	
j00g	85.24	-3.4	84.28	84.35	92	o93y	
j25g	78.53	-25.99	72.23	76.76	110	y24l	
j50g	68.25	-42.61	56.0	70.37	127	y51l	
j75g	58.73	-57.99	40.99	71.02	145	y85l	
g00b	55.66	-58.35	18.71	61.27	162	l12c	
g25b	58.18	-46.2	-7.82	46.86	190	l45c	
g50b	60.08	-37.02	-27.87	46.34	217	l78c	
g75b	55.21	-20.63	-42.98	47.67	244	c16v	
b00r	41.38	1.37	-45.05	45.07	272	c58v	
b25r	26.43	27.03	-46.5	53.78	300	v03m	
b50r	36.22	48.22	-29.42	56.48	329	v54m	
b75r	47.81	72.75	-3.76	72.85	357	m10o	



Siehe ähnliche Dateien: <http://www.ps.bam.de/Eg39/>; www.ps.bam.de/Eg.HTM
 Technische Information: <http://www.ps.bam.de> Version 2.1, io=1,1, ColSpx=1

BAM-Registrierung: 20081001-Eg39/10L/L39G00NA.PS/.TXT BAM-Material: Code=rh4ta
 Anwendung für Beurteilung und Messung von Drucker- oder Monitorssystemen

Ein und Ausgabe: Farbmetrisches Drucker-Reflektiv-System ORS20_95a für relativen CIELAB-Buntton $h^* = lab^*h^* = h_{ab}/360 = 0.527$ $u^*_e = g25b$

Daten für jede Farbe:

lab^*tch^* und lab^*icu^*

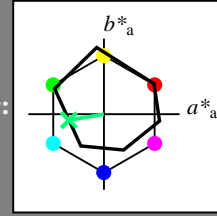
Bunttontexte:

$u^*_e = g25b$ $u^*_d = l45c$

Kontrastreduzierungsfaktor:

$c_R = 1.0$

Dreiecks-Helligkeit i^*



ORS20_95a; adaptierte CIELAB-Daten

	u^*_e	$L^*=L^*_a$	a^*_a	b^*_a	$C^*_{ab,a}$	$h^*_{ab,a}$
O _{Ma}	46.89	66.19	40.28	77.48	31	
Y _{Ma}	88.66	-9.62	88.21	88.73	96	
L _{Ma}	54.22	-65.29	33.87	73.56	153	
C _{Ma}	61.43	-30.53	-42.04	51.96	234	
V _{Ma}	25.93	25.95	-47.37	54.01	299	
M _{Ma}	47.92	73.53	-9.02	74.08	353	
N _{Ma}	20.41	0.0	0.0	0.0	0	
W _{Ma}	94.64	0.0	0.0	0.0	0	
R _{Ma}	39.92	58.74	27.99	65.07	25	
J _{Ma}	81.26	-2.89	71.56	71.62	92	
G _{Ma}	52.23	-42.42	13.6	44.55	162	
B _{Ma}	30.57	1.41	-46.47	46.49	272	

Daten für Maximalfarbe (Ma):

$LAB^*LAB^*_{Ma}$: 58 -46 -8

$LAB^*LCH^*_{Ma}$: 58 47 189

$lab^*rgb^*_{Ma}$: 0.0 1.0 0.5

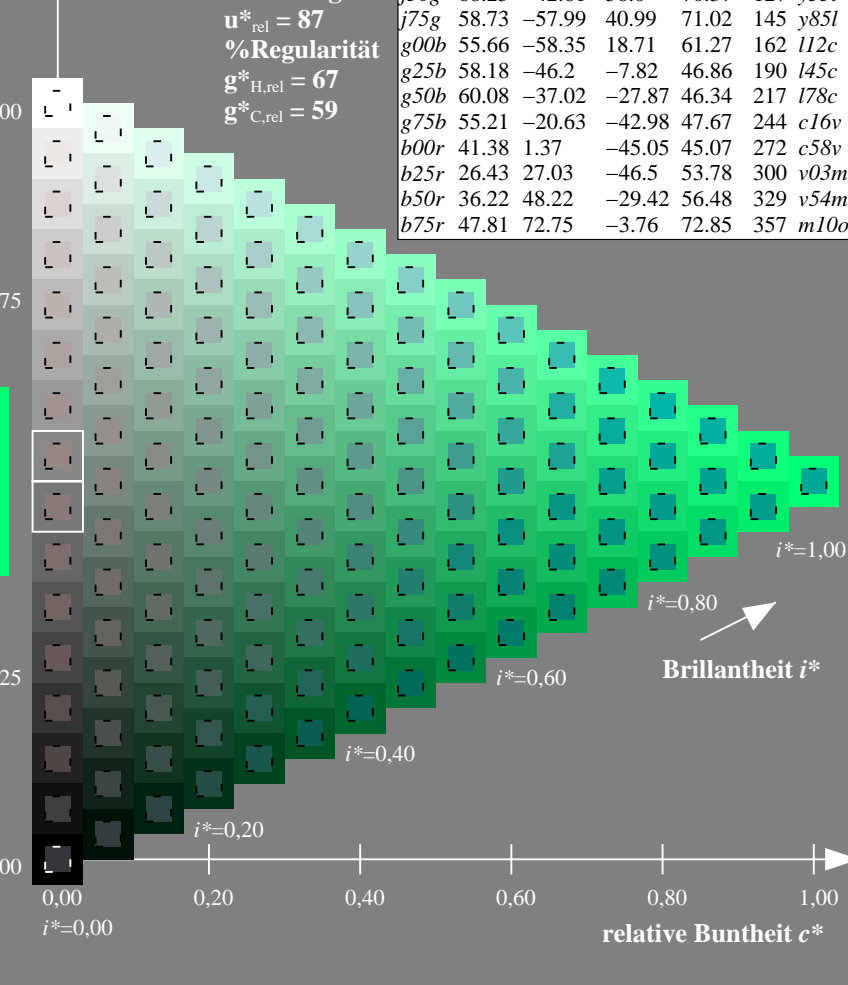
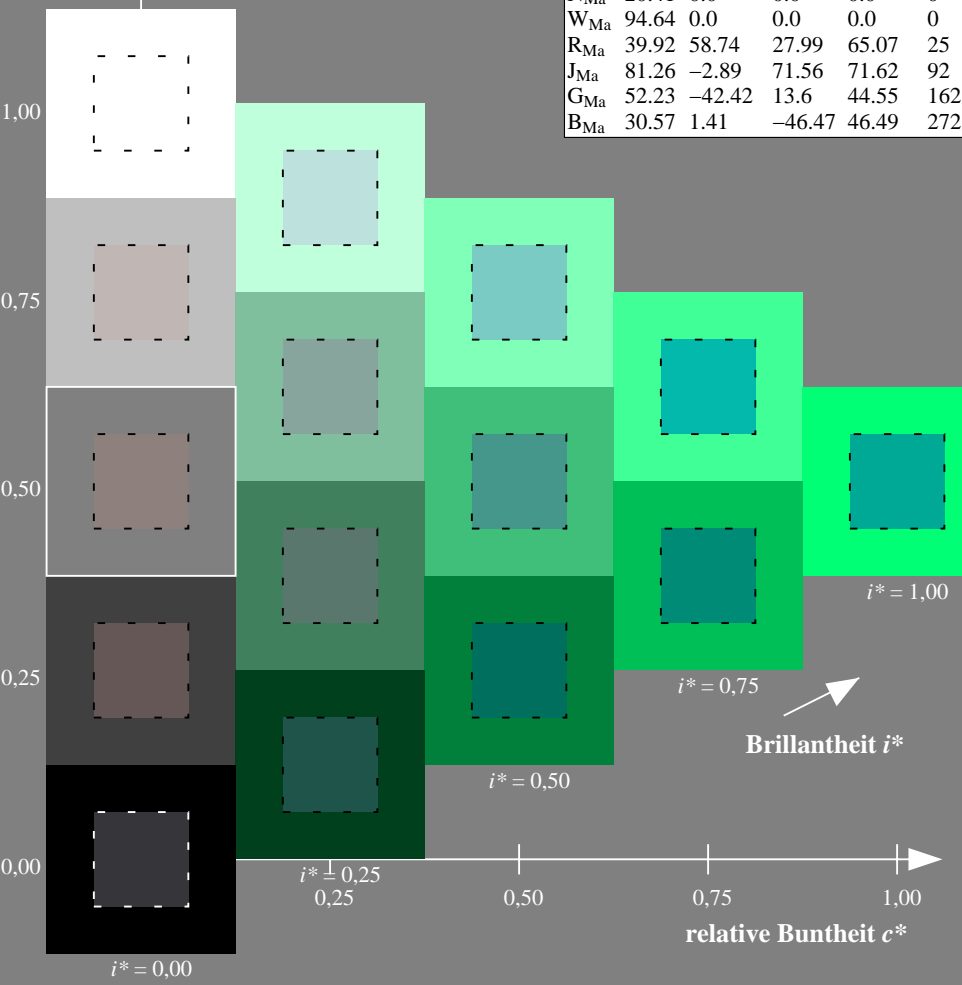
$lab^*olv^*_{Ma}$: 0.0 1.0 0.45

Dreiecks-Helligkeit i^*

%Umfang
 $u^*_{rel} = 87$
 %Regularität
 $g^*_{H,rel} = 67$
 $g^*_{C,rel} = 59$

ORS20_95a; adaptierte CIELAB-Daten

	u^*_e	$L^*=L^*_a$	a^*_a	b^*_a	$C^*_{ab,a}$	$h^*_{ab,a}$	u^*_d
r00j	47.06	67.41	32.12	74.67	25	m84o	
r25j	53.95	53.38	48.38	72.04	42	o17y	
r50j	63.6	35.87	59.45	69.43	59	o42y	
r75j	73.37	18.14	70.66	72.95	76	o68y	
j00g	85.24	-3.4	84.28	84.35	92	o93y	
j25g	78.53	-25.99	72.23	76.76	110	y24l	
j50g	68.25	-42.61	56.0	70.37	127	y55l	
j75g	58.73	-57.99	40.99	71.02	145	y85l	
g00b	55.66	-58.35	18.71	61.27	162	l12c	
g25b	58.18	-46.2	-7.82	46.86	190	l45c	
g50b	60.08	-37.02	-27.87	46.34	217	l78c	
g75b	55.21	-20.63	-42.98	47.67	244	c16v	
b00r	41.38	1.37	-45.05	45.07	272	c58v	
b25r	26.43	27.03	-46.5	53.78	300	v03m	
b50r	36.22	48.22	-29.42	56.48	329	v54m	
b75r	47.81	72.75	-3.76	72.85	357	m10o	



Siehe ähnliche Dateien: <http://www.ps.bam.de/Eg39/>; www.ps.bam.de/Eg.HTM
 Technische Information: <http://www.ps.bam.de> Version 2.1, io=1,1, ColSpx=1

BAM-Registrierung: 20081001-Eg39/10L/L39G00NA.PS/.TXT BAM-Material: Code=rh4ta
 Anwendung für Beurteilung und Messung von Drucker- oder Monitorssystemen

Ein und Ausgabe: Farbmetrisches Drucker-Reflektiv-System ORS20_95a für relativen CIELAB-Buntton $h^* = lab^*h^* = h_{ab}/360 = 0.603$ $u^*_e = g50b$

Daten für jede Farbe:

lab^*ch^* und lab^*icu^*

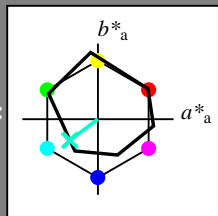
Bunttontexte:

$u^*_e = g50b$ $u^*_d = l78c$

Kontrastreduzierungsfaktor:

$c_R = 1.0$

Dreiecks-Helligkeit i^*



ORS20_95a; adaptierte CIELAB-Daten

	u^*_e	$L^*=L^*_a$	a^*_a	b^*_a	$C^*_{ab,a}$	$h^*_{ab,a}$
O _{Ma}	46.89	66.19	40.28	77.48	31	
Y _{Ma}	88.66	-9.62	88.21	88.73	96	
L _{Ma}	54.22	-65.29	33.87	73.56	153	
C _{Ma}	61.43	-30.53	-42.04	51.96	234	
V _{Ma}	25.93	25.95	-47.37	54.01	299	
M _{Ma}	47.92	73.53	-9.02	74.08	353	
N _{Ma}	20.41	0.0	0.0	0.0	0	
W _{Ma}	94.64	0.0	0.0	0.0	0	
R _{Ma}	39.92	58.74	27.99	65.07	25	
J _{Ma}	81.26	-2.89	71.56	71.62	92	
G _{Ma}	52.23	-42.42	13.6	44.55	162	
B _{Ma}	30.57	1.41	-46.47	46.49	272	

Daten für Maximalfarbe (Ma):

$LAB^*LAB^*_{Ma}$: 60 -37 -28

$LAB^*LCH^*_{Ma}$: 60 46 216

$lab^*rgb^*_{Ma}$: 0.0 1.0 1.0

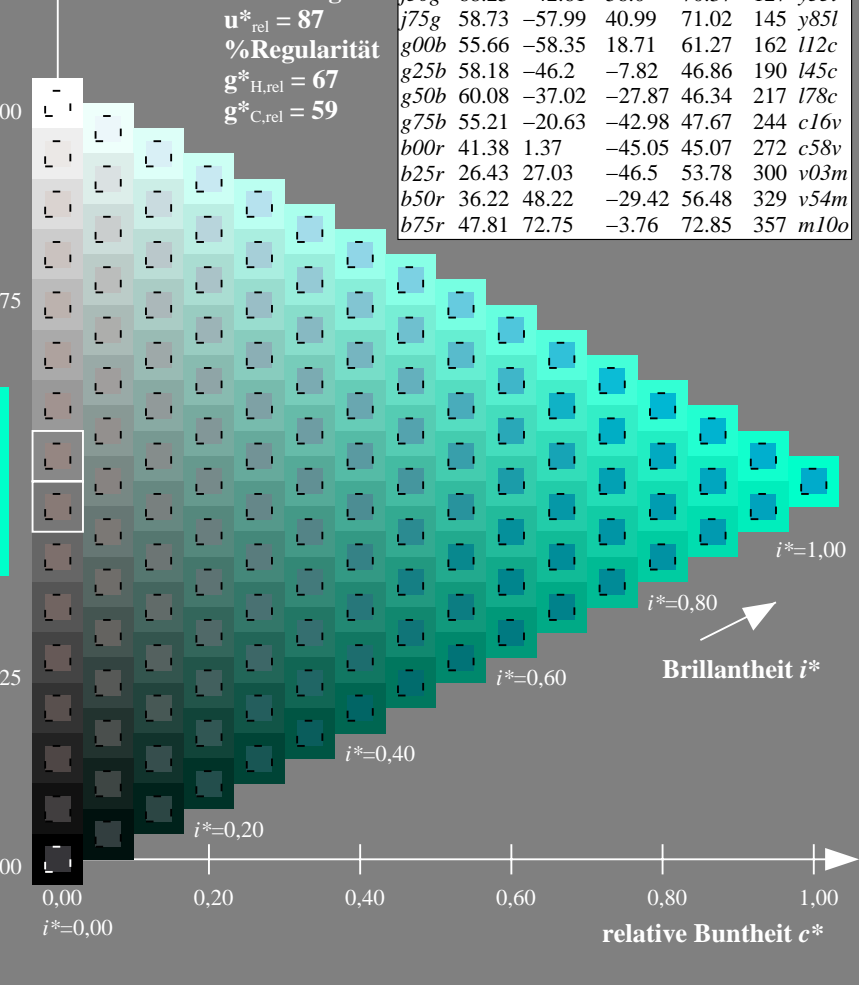
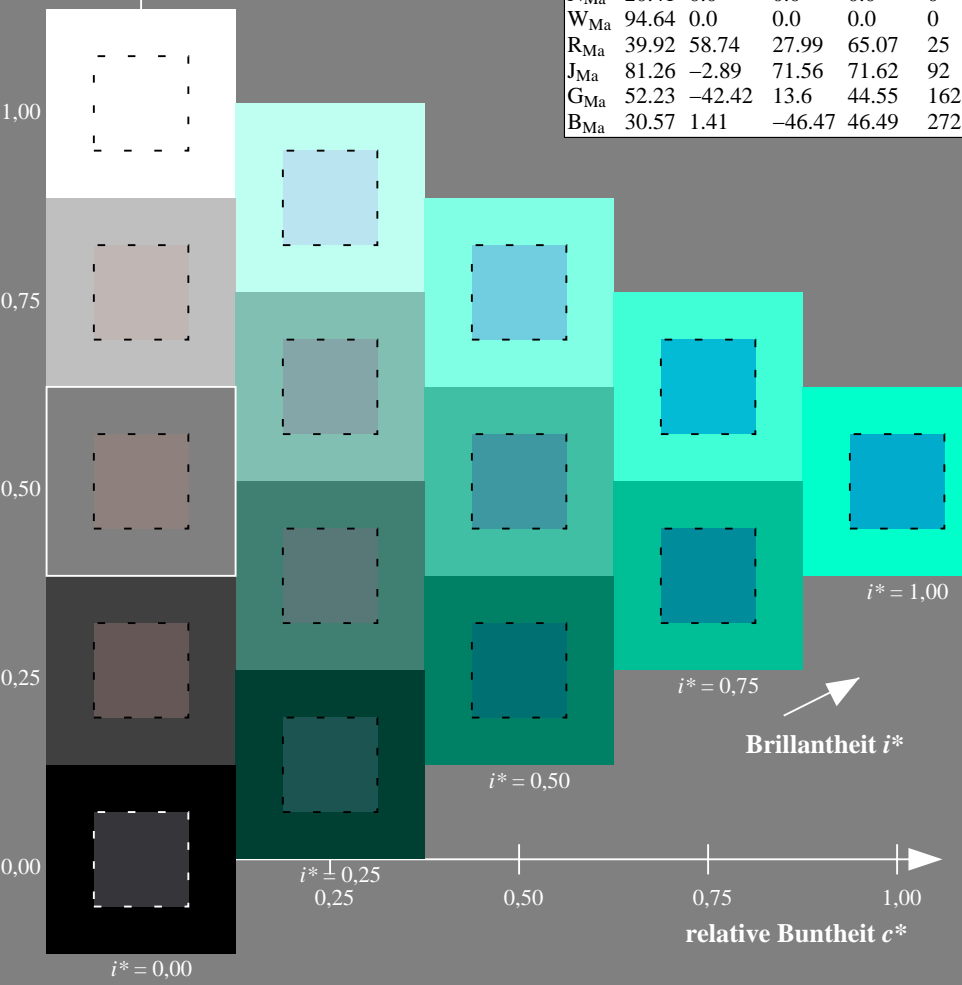
$lab^*olv^*_{Ma}$: 0.0 1.0 0.79

Dreiecks-Helligkeit i^*

%Umfang
 $u^*_{rel} = 87$
 %Regularität
 $g^*_{H,rel} = 67$
 $g^*_{C,rel} = 59$

ORS20_95a; adaptierte CIELAB-Daten

	u^*_e	$L^*=L^*_a$	a^*_a	b^*_a	$C^*_{ab,a}$	$h^*_{ab,a}$	u^*_d
r00j	47.06	67.41	32.12	74.67	25	m84o	
r25j	53.95	53.38	48.38	72.04	42	o17y	
r50j	63.6	35.87	59.45	69.43	59	o42y	
r75j	73.37	18.14	70.66	72.95	76	o68y	
j00g	85.24	-3.4	84.28	84.35	92	o93y	
j25g	78.53	-25.99	72.23	76.76	110	y24l	
j50g	68.25	-42.61	56.0	70.37	127	y55l	
j75g	58.73	-57.99	40.99	71.02	145	y85l	
g00b	55.66	-58.35	18.71	61.27	162	l12c	
g25b	58.18	-46.2	-7.82	46.86	190	l45c	
g50b	60.08	-37.02	-27.87	46.34	217	l78c	
g75b	55.21	-20.63	-42.98	47.67	244	c16v	
b00r	41.38	1.37	-45.05	45.07	272	c58v	
b25r	26.43	27.03	-46.5	53.78	300	v03m	
b50r	36.22	48.22	-29.42	56.48	329	v54m	
b75r	47.81	72.75	-3.76	72.85	357	m10o	



Siehe ähnliche Dateien: <http://www.ps.bam.de/Eg39/>; www.ps.bam.de/Version 2.1, io=1,1, ColSpx=1
 Technische Information: <http://www.ps.bam.de>

BAM-Registrierung: 20081001-Eg39/10L/L39G00NA.PS/.TXT BAM-Material: Code=rh4ta
 Anwendung für Beurteilung und Messung von Drucker- oder Monitorssystemen

Ein und Ausgabe: Farbmetrisches Drucker-Reflektiv-System ORS20_95a für relativen CIELAB-Buntton $h^* = lab^*h^* = h_{ab}/360 = 0.679$ $u^*_e = g75b$

Daten für jede Farbe:

lab^*tch^* und lab^*icu^*

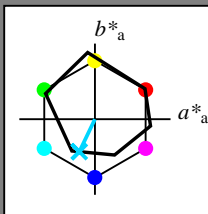
Bunttontexte:

$u^*_e = g75b$ $u^*_d = c16v$

Kontrastreduzierungsfaktor:

$c_R = 1.0$

Dreiecks-Helligkeit i^*



ORS20_95a; adaptierte CIELAB-Daten

	u^*_e	$L^*=L^*_a$	a^*_a	b^*_a	$C^*_{ab,a}$	$h^*_{ab,a}$
O _{Ma}	46.89	66.19	40.28	77.48	31	
Y _{Ma}	88.66	-9.62	88.21	88.73	96	
L _{Ma}	54.22	-65.29	33.87	73.56	153	
C _{Ma}	61.43	-30.53	-42.04	51.96	234	
V _{Ma}	25.93	25.95	-47.37	54.01	299	
M _{Ma}	47.92	73.53	-9.02	74.08	353	
N _{Ma}	20.41	0.0	0.0	0.0	0	
W _{Ma}	94.64	0.0	0.0	0.0	0	
R _{Ma}	39.92	58.74	27.99	65.07	25	
J _{Ma}	81.26	-2.89	71.56	71.62	92	
G _{Ma}	52.23	-42.42	13.6	44.55	162	
B _{Ma}	30.57	1.41	-46.47	46.49	272	

Daten für Maximalfarbe (Ma):

$LAB^*LAB^*_{Ma}$: 55 -21 -43

$LAB^*LCH^*_{Ma}$: 55 48 244

$lab^*rgb^*_{Ma}$: 0.0 0.5 1.0

$lab^*olv^*_{Ma}$: 0.0 0.84 1.0

Dreiecks-Helligkeit i^*

%Umfang

$u^*_{rel} = 87$

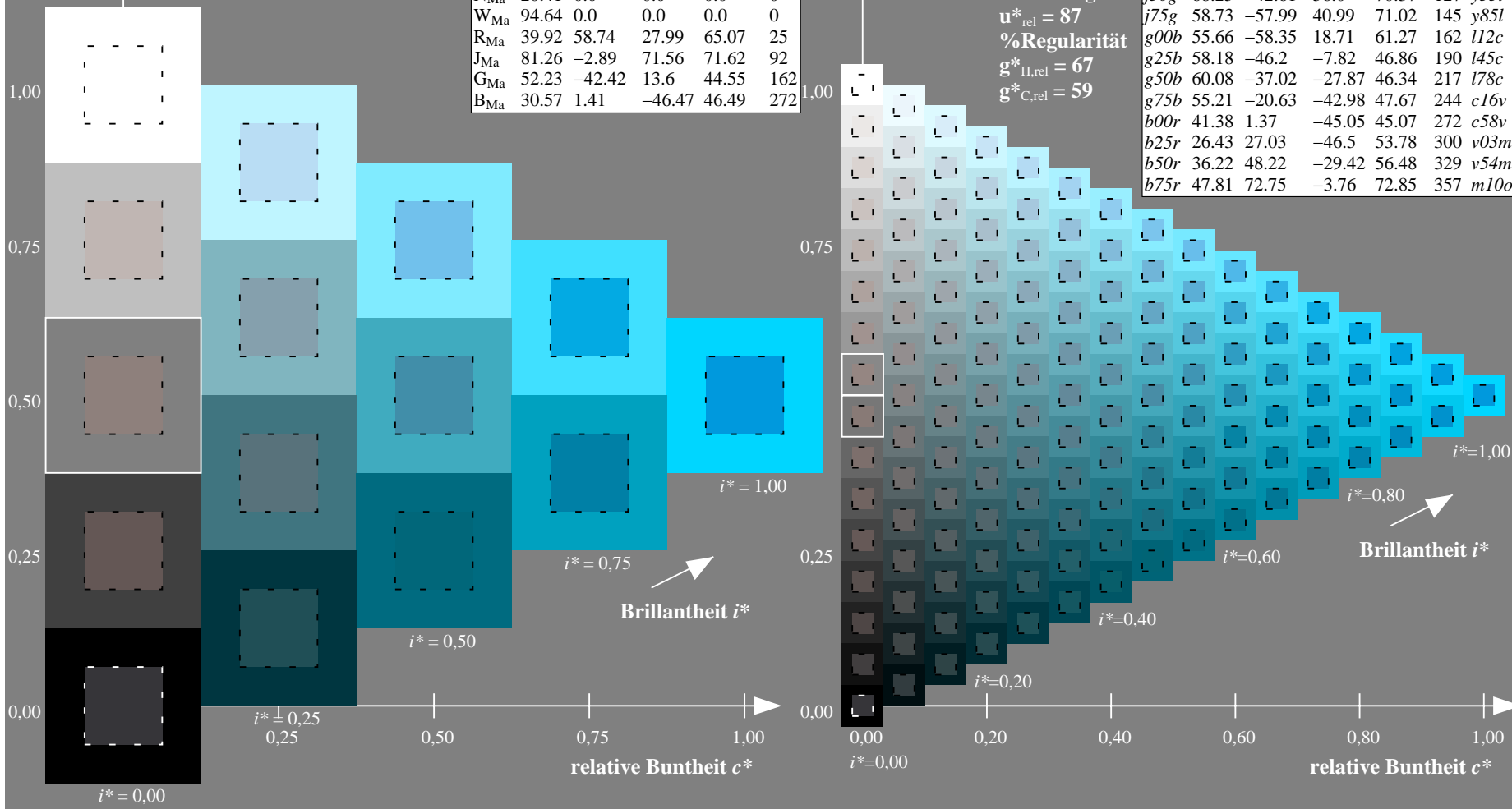
%Regularität

$g^*_{H,rel} = 67$

$g^*_{C,rel} = 59$

ORS20_95a; adaptierte CIELAB-Daten

	u^*_e	$L^*=L^*_a$	a^*_a	b^*_a	$C^*_{ab,a}$	$h^*_{ab,a}$	u^*_d
r00j	47.06	67.41	32.12	74.67	25	m84o	
r25j	53.95	53.38	48.38	72.04	42	o17y	
r50j	63.6	35.87	59.45	69.43	59	o42y	
r75j	73.37	18.14	70.66	72.95	76	o68y	
j00g	85.24	-3.4	84.28	84.35	92	o93y	
j25g	78.53	-25.99	72.23	76.76	110	y24l	
j50g	68.25	-42.61	56.0	70.37	127	y55l	
j75g	58.73	-57.99	40.99	71.02	145	y85l	
g00b	55.66	-58.35	18.71	61.27	162	l12c	
g25b	58.18	-46.2	-7.82	46.86	190	l45c	
g50b	60.08	-37.02	-27.87	46.34	217	l78c	
g75b	55.21	-20.63	-42.98	47.67	244	c16v	
b00r	41.38	1.37	-45.05	45.07	272	c58v	
b25r	26.43	27.03	-46.5	53.78	300	v03m	
b50r	36.22	48.22	-29.42	56.48	329	v54m	
b75r	47.81	72.75	-3.76	72.85	357	m10o	



Siehe ähnliche Dateien: <http://www.ps.bam.de/Eg39/>; [www.ps.bam.de/Version 2.1, io=1,1, Colspx=1](http://www.ps.bam.de/Version2.1,io=1,1,Colspx=1)
 Technische Information: <http://www.ps.bam.de>

BAM-Registrierung: 20081001-Eg39/10L/L39G00NA.PS/.TXT BAM-Material: Code=rh4ta
 Anwendung für Beurteilung und Messung von Drucker- oder Monitorssystemen

Ein und Ausgabe: Farbmetrisches Drucker-Reflektiv-System ORS20_95a für relativen CIELAB-Buntton $h^* = lab^*h^* = h_{ab}/360 = 0.755$ $u^*_e = b00r$

Daten für jede Farbe:

lab^*ch^* und lab^*icu^*

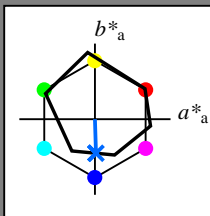
Bunttontexte:

$u^*_e = b00r$ $u^*_d = c58v$

Kontrastreduzierungsfaktor:

$c_R = 1.0$

Dreiecks-Helligkeit i^*



ORS20_95a; adaptierte CIELAB-Daten

	u^*_e	$L^*=L^*_a$	a^*_a	b^*_a	$C^*_{ab,a}$	$h^*_{ab,a}$
O _{Ma}	46.89	66.19	40.28	77.48	31	
Y _{Ma}	88.66	-9.62	88.21	88.73	96	
L _{Ma}	54.22	-65.29	33.87	73.56	153	
C _{Ma}	61.43	-30.53	-42.04	51.96	234	
V _{Ma}	25.93	25.95	-47.37	54.01	299	
M _{Ma}	47.92	73.53	-9.02	74.08	353	
N _{Ma}	20.41	0.0	0.0	0.0	0	
W _{Ma}	94.64	0.0	0.0	0.0	0	
R _{Ma}	39.92	58.74	27.99	65.07	25	
J _{Ma}	81.26	-2.89	71.56	71.62	92	
G _{Ma}	52.23	-42.42	13.6	44.55	162	
B _{Ma}	30.57	1.41	-46.47	46.49	272	

Daten für Maximalfarbe (Ma):

$LAB^*LAB^*_{Ma}$: 41 1 -45

$LAB^*LCH^*_{Ma}$: 41 45 271

$lab^*rgb^*_{Ma}$: 0.0 0.0 1.0

$lab^*olv^*_{Ma}$: 0.0 0.42 1.0

Dreiecks-Helligkeit i^*

%Umfang

$u^*_{rel} = 87$

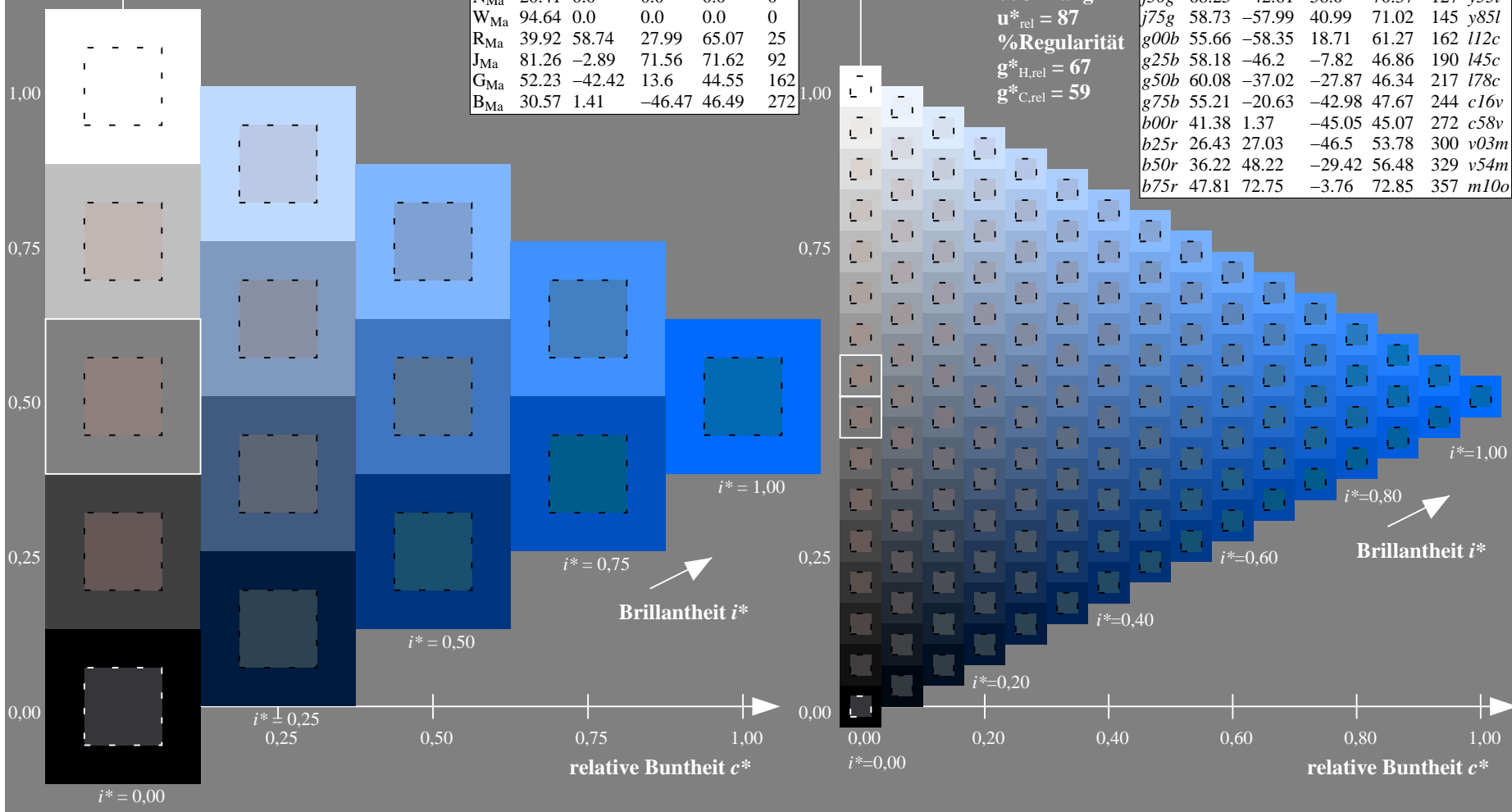
%Regularität

$g^*_{H,rel} = 67$

$g^*_{C,rel} = 59$

ORS20_95a; adaptierte CIELAB-Daten

	u^*_e	$L^*=L^*_a$	a^*_a	b^*_a	$C^*_{ab,a}$	$h^*_{ab,a}$	u^*_d
r00j	47.06	67.41	32.12	74.67	25	m84o	
r25j	53.95	53.38	48.38	72.04	42	o17y	
r50j	63.6	35.87	59.45	69.43	59	o42y	
r75j	73.37	18.14	70.66	72.95	76	o68y	
j00g	85.24	-3.4	84.28	84.35	92	o93y	
j25g	78.53	-25.99	72.23	76.76	110	y24l	
j50g	68.25	-42.61	56.0	70.37	127	y55l	
j75g	58.73	-57.99	40.99	71.02	145	y85l	
g00b	55.66	-58.35	18.71	61.27	162	l12c	
g25b	58.18	-46.2	-7.82	46.86	190	l45c	
g50b	60.08	-37.02	-27.87	46.34	217	l78c	
g75b	55.21	-20.63	-42.98	47.67	244	c16v	
b00r	41.38	1.37	-45.05	45.07	272	c58v	
b25r	26.43	27.03	-46.5	53.78	300	v03m	
b50r	36.22	48.22	-29.42	56.48	329	v54m	
b75r	47.81	72.75	-3.76	72.85	357	m10o	



Siehe ähnliche Dateien: <http://www.ps.bam.de/Eg39/>; [www.ps.bam.de/Version 2.1, io=1,1, Colspx=1](http://www.ps.bam.de/Version2.1,io=1,1,Colspx=1)
 Technische Information: <http://www.ps.bam.de>

BAM-Registrierung: 20081001-Eg39/10L/L39G00NA.PS/.TXT BAM-Material: Code=rhatha
 Anwendung für Beurteilung und Messung von Drucker- oder Monitorssystemen

Ein und Ausgabe: Farbmetrisches Drucker-Reflektiv-System ORS20_95a für relativen CIELAB-Buntton $h^* = lab^*h^* = h_{ab}/360 = 0.834$ $u^*_e = b25r$

Daten für jede Farbe:

lab^*tch^* und lab^*icu^*

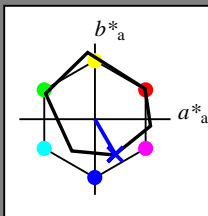
Bunttontexte:

$u^*_e = b25r$ $u^*_d = v03m$

Kontrastreduzierungsfaktor:

$c_R = 1.0$

Dreiecks-Helligkeit i^*



ORS20_95a; adaptierte CIELAB-Daten

	u^*_e	$L^*=L^*_a$	a^*_a	b^*_a	$C^*_{ab,a}$	$h^*_{ab,a}$
O _{Ma}	46.89	66.19	40.28	77.48	31	
Y _{Ma}	88.66	-9.62	88.21	88.73	96	
L _{Ma}	54.22	-65.29	33.87	73.56	153	
C _{Ma}	61.43	-30.53	-42.04	51.96	234	
V _{Ma}	25.93	25.95	-47.37	54.01	299	
M _{Ma}	47.92	73.53	-9.02	74.08	353	
N _{Ma}	20.41	0.0	0.0	0.0	0	
W _{Ma}	94.64	0.0	0.0	0.0	0	
R _{Ma}	39.92	58.74	27.99	65.07	25	
J _{Ma}	81.26	-2.89	71.56	71.62	92	
G _{Ma}	52.23	-42.42	13.6	44.55	162	
B _{Ma}	30.57	1.41	-46.47	46.49	272	

Daten für Maximalfarbe (Ma):

$LAB^*LAB^*_{Ma}$: 26 27 -46

$LAB^*LCH^*_{Ma}$: 26 54 300

$lab^*rgb^*_{Ma}$: 0.5 0.0 1.0

$lab^*olv^*_{Ma}$: 0.03 0.0 1.0

Dreiecks-Helligkeit i^*

%Umfang

$u^*_{rel} = 87$

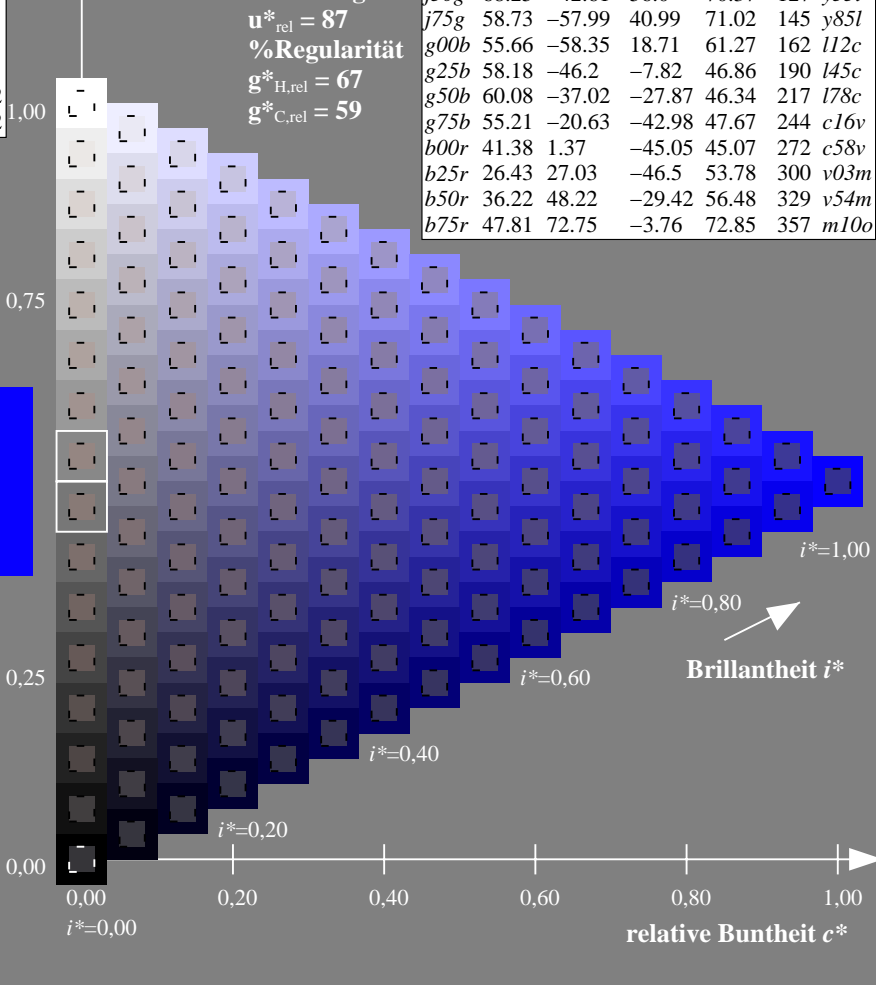
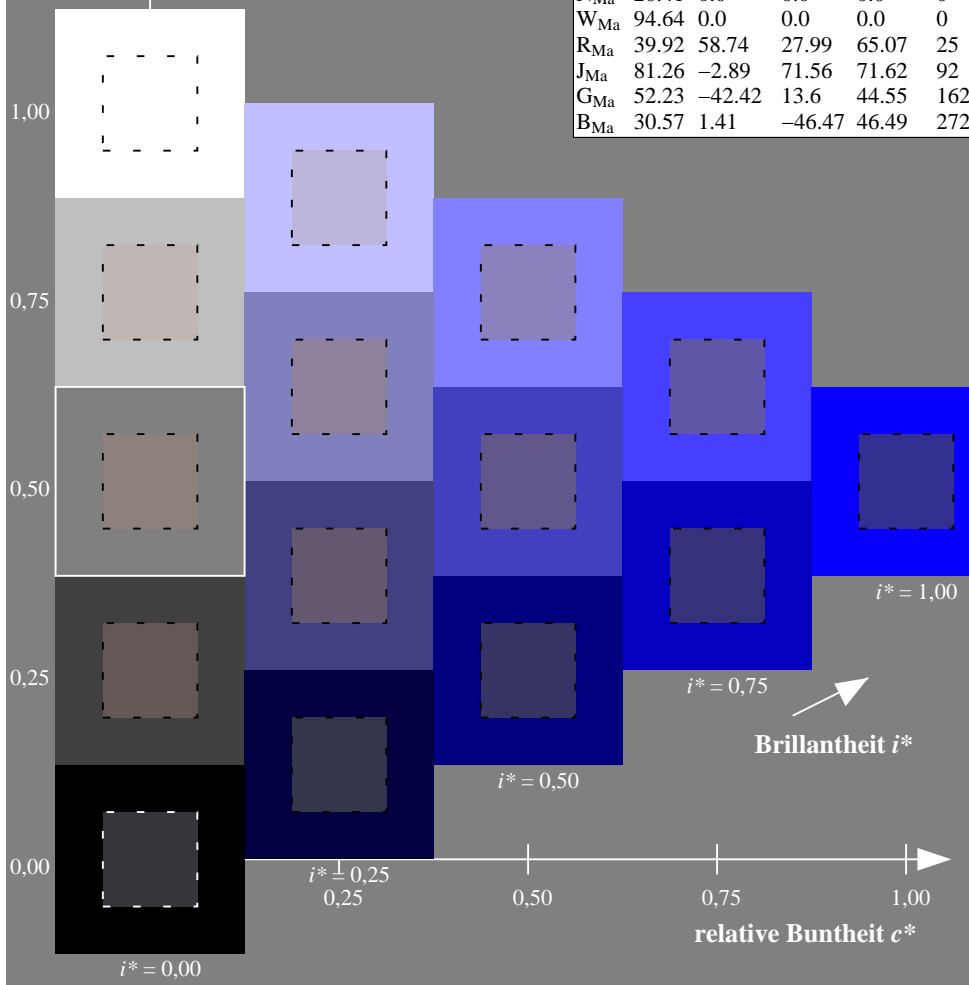
%Regularität

$g^*_{H,rel} = 67$

$g^*_{C,rel} = 59$

ORS20_95a; adaptierte CIELAB-Daten

	u^*_e	$L^*=L^*_a$	a^*_a	b^*_a	$C^*_{ab,a}$	$h^*_{ab,a}$	u^*_d
r00j	47.06	67.41	32.12	74.67	25	m84o	
r25j	53.95	53.38	48.38	72.04	42	o17y	
r50j	63.6	35.87	59.45	69.43	59	o42y	
r75j	73.37	18.14	70.66	72.95	76	o68y	
j00g	85.24	-3.4	84.28	84.35	92	o93y	
j25g	78.53	-25.99	72.23	76.76	110	y24l	
j50g	68.25	-42.61	56.0	70.37	127	y55l	
j75g	58.73	-57.99	40.99	71.02	145	y85l	
g00b	55.66	-58.35	18.71	61.27	162	l12c	
g25b	58.18	-46.2	-7.82	46.86	190	l45c	
g50b	60.08	-37.02	-27.87	46.34	217	l78c	
g75b	55.21	-20.63	-42.98	47.67	244	c16v	
b00r	41.38	1.37	-45.05	45.07	272	c58v	
b25r	26.43	27.03	-46.5	53.78	300	v03m	
b50r	36.22	48.22	-29.42	56.48	329	v54m	
b75r	47.81	72.75	-3.76	72.85	357	m10o	



Siehe ähnliche Dateien: <http://www.ps.bam.de/Eg39/>; [www.ps.bam.de/Version 2.1, io=1,1, Colspx=1](http://www.ps.bam.de/Version2.1,io=1,1,Colspx=1)
 Technische Information: <http://www.ps.bam.de>

BAM-Registrierung: 20081001-Eg39/10L/L39G00NA.PS/.TXT BAM-Material: Code=rhatha
 Anwendung für Beurteilung und Messung von Drucker- oder Monitorssystemen

Ein und Ausgabe: Farbmetrisches Drucker-Reflektiv-System ORS20_95a für relativen CIELAB-Buntton $h^* = lab^*h^* = h_{ab}/360 = 0.913$ $u^*_e = b50r$

Daten für jede Farbe:

lab^*tch^* und lab^*icu^*

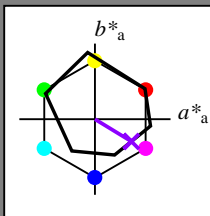
Bunttontexte:

$u^*_e = b50r$ $u^*_d = v54m$

Kontrastreduzierungsfaktor:

$c_R = 1.0$

Dreiecks-Helligkeit i^*



ORS20_95a; adaptierte CIELAB-Daten

	u^*_e	$L^*=L^*_a$	a^*_a	b^*_a	$C^*_{ab,a}$	$h^*_{ab,a}$
O _{Ma}	46.89	66.19	40.28	77.48	31	
Y _{Ma}	88.66	-9.62	88.21	88.73	96	
L _{Ma}	54.22	-65.29	33.87	73.56	153	
C _{Ma}	61.43	-30.53	-42.04	51.96	234	
V _{Ma}	25.93	25.95	-47.37	54.01	299	
M _{Ma}	47.92	73.53	-9.02	74.08	353	
N _{Ma}	20.41	0.0	0.0	0.0	0	
W _{Ma}	94.64	0.0	0.0	0.0	0	
R _{Ma}	39.92	58.74	27.99	65.07	25	
J _{Ma}	81.26	-2.89	71.56	71.62	92	
G _{Ma}	52.23	-42.42	13.6	44.55	162	
B _{Ma}	30.57	1.41	-46.47	46.49	272	

Daten für Maximalfarbe (Ma):

$LAB^*LAB^*_{Ma}$: 36 48 -29

$LAB^*LCH^*_{Ma}$: 36 56 328

$lab^*rgb^*_{Ma}$: 1.0 0.0 1.0

$lab^*olv^*_{Ma}$: 0.55 0.0 1.0

Dreiecks-Helligkeit i^*

%Umfang

$u^*_{rel} = 87$

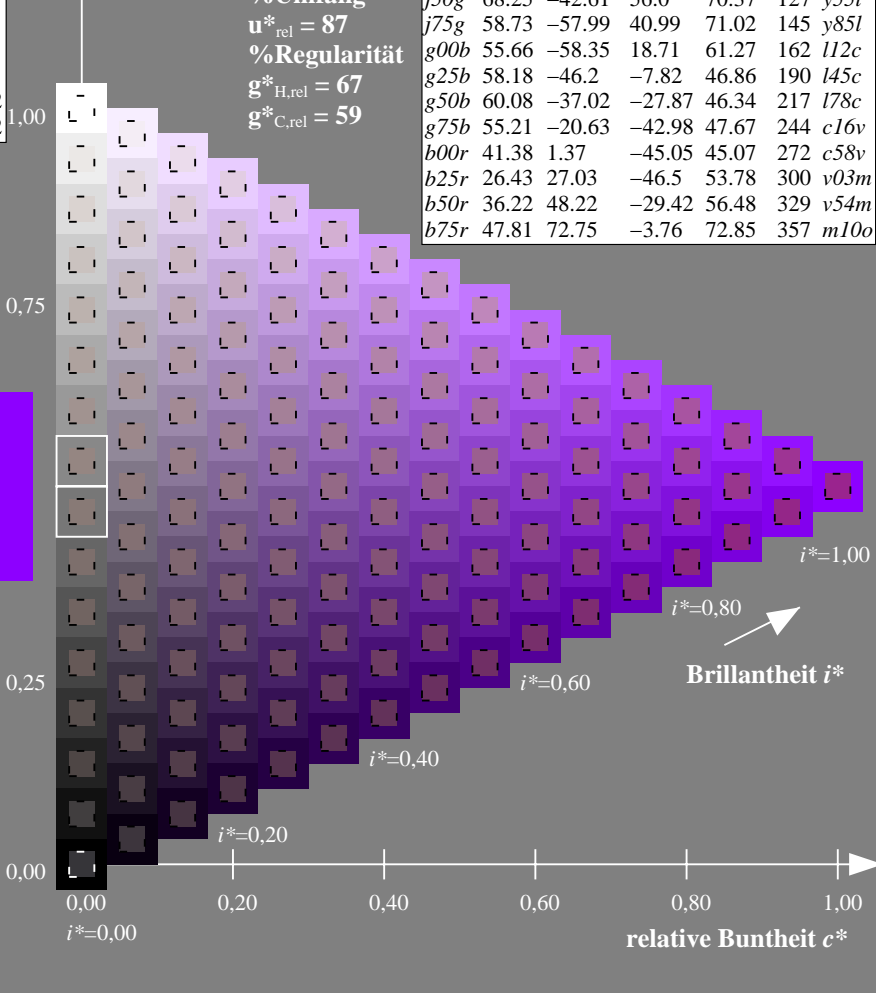
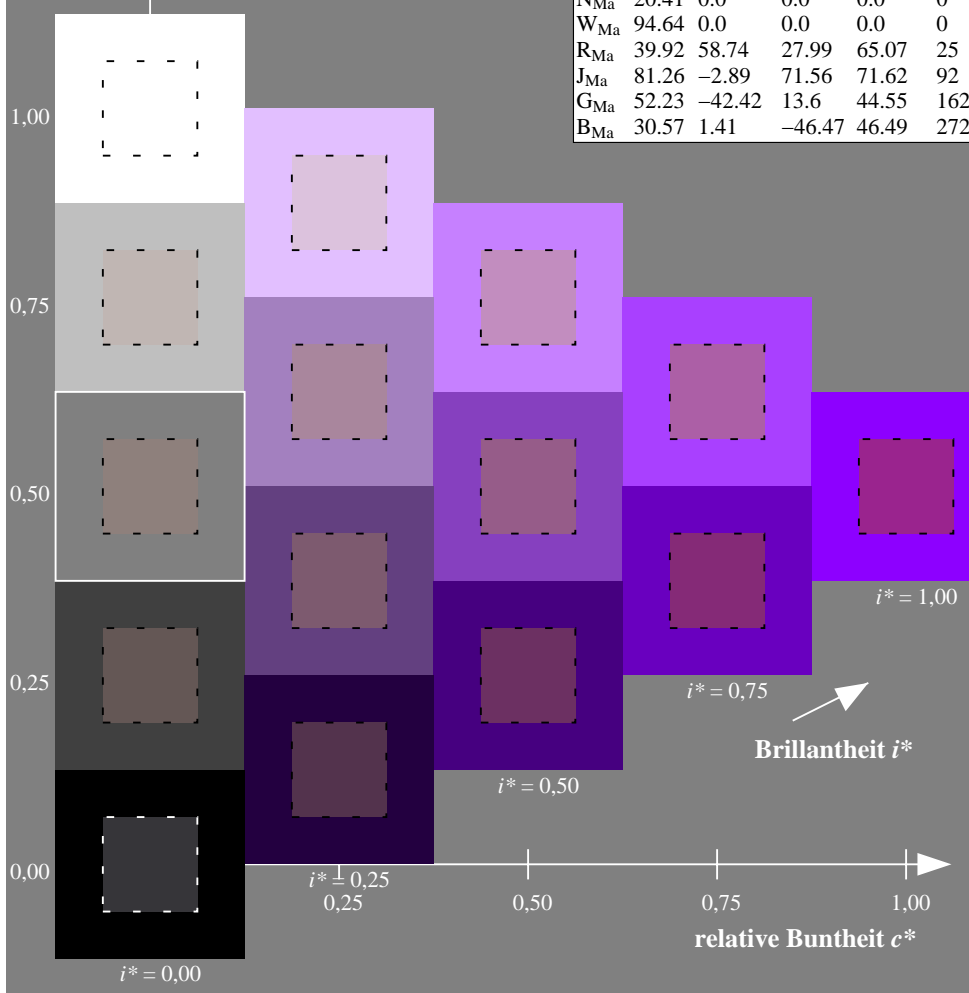
%Regularität

$g^*_{H,rel} = 67$

$g^*_{C,rel} = 59$

ORS20_95a; adaptierte CIELAB-Daten

	u^*_e	$L^*=L^*_a$	a^*_a	b^*_a	$C^*_{ab,a}$	$h^*_{ab,a}$	u^*_d
r00j	47.06	67.41	32.12	74.67	25	m84o	
r25j	53.95	53.38	48.38	72.04	42	o17y	
r50j	63.6	35.87	59.45	69.43	59	o42y	
r75j	73.37	18.14	70.66	72.95	76	o68y	
j00g	85.24	-3.4	84.28	84.35	92	o93y	
j25g	78.53	-25.99	72.23	76.76	110	y24l	
j50g	68.25	-42.61	56.0	70.37	127	y55l	
j75g	58.73	-57.99	40.99	71.02	145	y85l	
g00b	55.66	-58.35	18.71	61.27	162	l12c	
g25b	58.18	-46.2	-7.82	46.86	190	l45c	
g50b	60.08	-37.02	-27.87	46.34	217	l78c	
g75b	55.21	-20.63	-42.98	47.67	244	c16v	
b00r	41.38	1.37	-45.05	45.07	272	c58v	
b25r	26.43	27.03	-46.5	53.78	300	v03m	
b50r	36.22	48.22	-29.42	56.48	329	v54m	
b75r	47.81	72.75	-3.76	72.85	357	m10o	



Siehe ähnliche Dateien: <http://www.ps.bam.de/Eg39/>; [www.ps.bam.de/Version 2.1, io=1,1, Colspx=1](http://www.ps.bam.de/Version2.1,io=1,1,Colspx=1)
 Technische Information: <http://www.ps.bam.de>

BAM-Registrierung: 20081001-Eg39/10L/L39G00NA.PS/.TXT BAM-Material: Code=rhatha
 Anwendung für Beurteilung und Messung von Drucker- oder Monitorssystemen

Ein und Ausgabe: Farbmetrisches Drucker-Reflektiv-System ORS20_95a für relativen CIELAB-Buntton $h^* = lab^*h^* = h_{ab}/360 = 0.992$ $u^*_e = b75r$

Daten für jede Farbe:

lab^*ch^* und lab^*icu^*

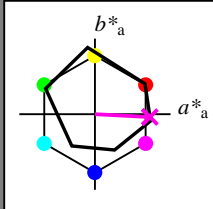
Bunttontexte:

$u^*_e = b75r$ $u^*_d = m10o$

Kontrastreduzierungsfaktor:

$c_R = 1.0$

Dreiecks-Helligkeit i^*



ORS20_95a; adaptierte CIELAB-Daten

	u^*_e	$L^*=L^*_a$	a^*_a	b^*_a	$C^*_{ab,a}$	$h^*_{ab,a}$
O _{Ma}	46.89	66.19	40.28	77.48	31	
Y _{Ma}	88.66	-9.62	88.21	88.73	96	
L _{Ma}	54.22	-65.29	33.87	73.56	153	
C _{Ma}	61.43	-30.53	-42.04	51.96	234	
V _{Ma}	25.93	25.95	-47.37	54.01	299	
M _{Ma}	47.92	73.53	-9.02	74.08	353	
N _{Ma}	20.41	0.0	0.0	0.0	0	
W _{Ma}	94.64	0.0	0.0	0.0	0	
R _{Ma}	39.92	58.74	27.99	65.07	25	
J _{Ma}	81.26	-2.89	71.56	71.62	92	
G _{Ma}	52.23	-42.42	13.6	44.55	162	
B _{Ma}	30.57	1.41	-46.47	46.49	272	

Daten für Maximalfarbe (Ma):

$LAB^*LAB^*_{Ma}$: 48 73 -4

$LAB^*LCH^*_{Ma}$: 48 73 357

$lab^*rgb^*_{Ma}$: 1.0 0.0 0.5

$lab^*olv^*_{Ma}$: 1.0 0.0 0.89

Dreiecks-Helligkeit i^*

%Umfang

$u^*_{rel} = 87$

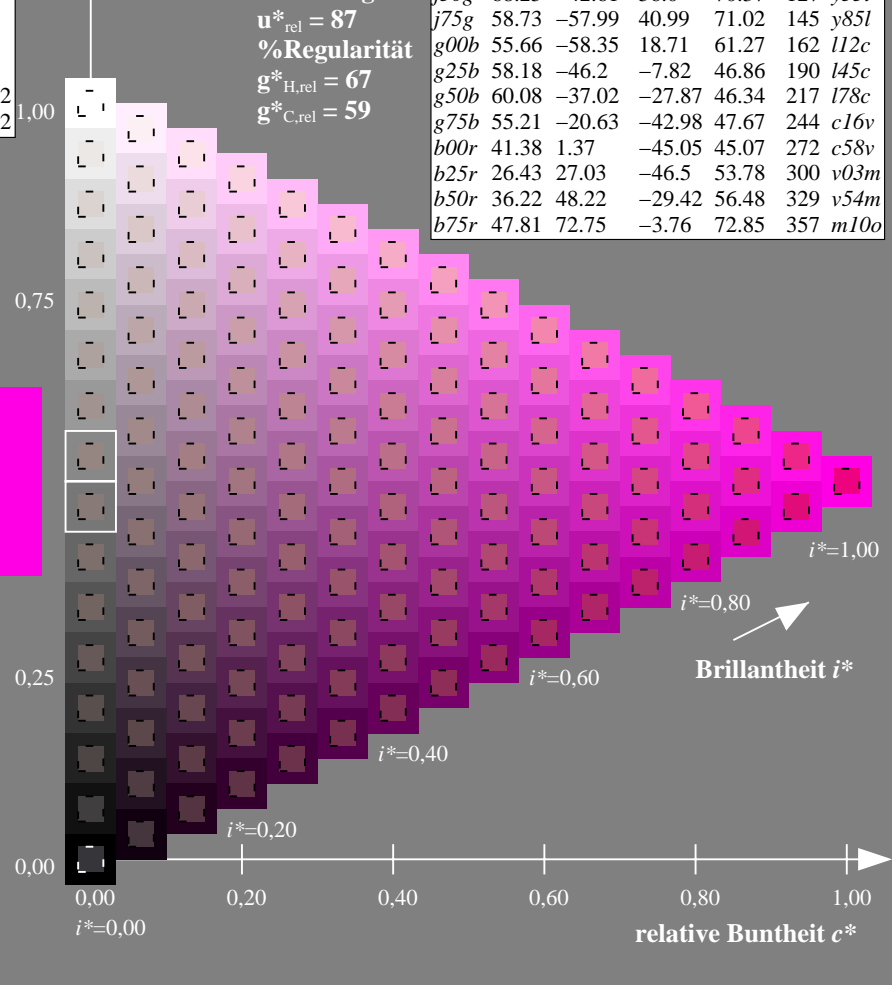
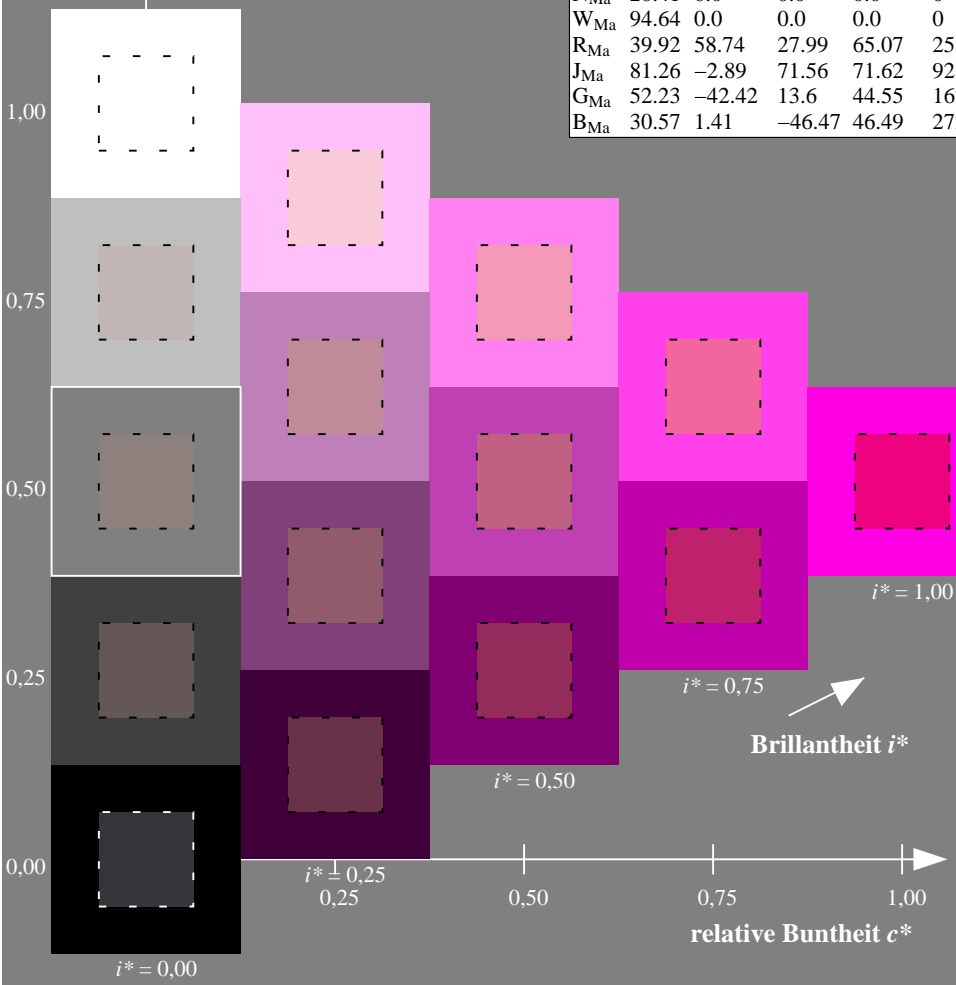
%Regularität

$g^*_{H,rel} = 67$

$g^*_{C,rel} = 59$

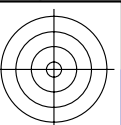
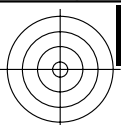
ORS20_95a; adaptierte CIELAB-Daten

	u^*_e	$L^*=L^*_a$	a^*_a	b^*_a	$C^*_{ab,a}$	$h^*_{ab,a}$	u^*_d
r00j	47.06	67.41	32.12	74.67	25	m84o	
r25j	53.95	53.38	48.38	72.04	42	o17y	
r50j	63.6	35.87	59.45	69.43	59	o42y	
r75j	73.37	18.14	70.66	72.95	76	o68y	
j00g	85.24	-3.4	84.28	84.35	92	o93y	
j25g	78.53	-25.99	72.23	76.76	110	y24l	
j50g	68.25	-42.61	56.0	70.37	127	y55l	
j75g	58.73	-57.99	40.99	71.02	145	y85l	
g00b	55.66	-58.35	18.71	61.27	162	l12c	
g25b	58.18	-46.2	-7.82	46.86	190	l45c	
g50b	60.08	-37.02	-27.87	46.34	217	l78c	
g75b	55.21	-20.63	-42.98	47.67	244	c16v	
b00r	41.38	1.37	-45.05	45.07	272	c58v	
b25r	26.43	27.03	-46.5	53.78	300	v03m	
b50r	36.22	48.22	-29.42	56.48	329	v54m	
b75r	47.81	72.75	-3.76	72.85	357	m10o	



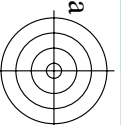
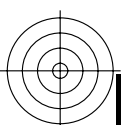
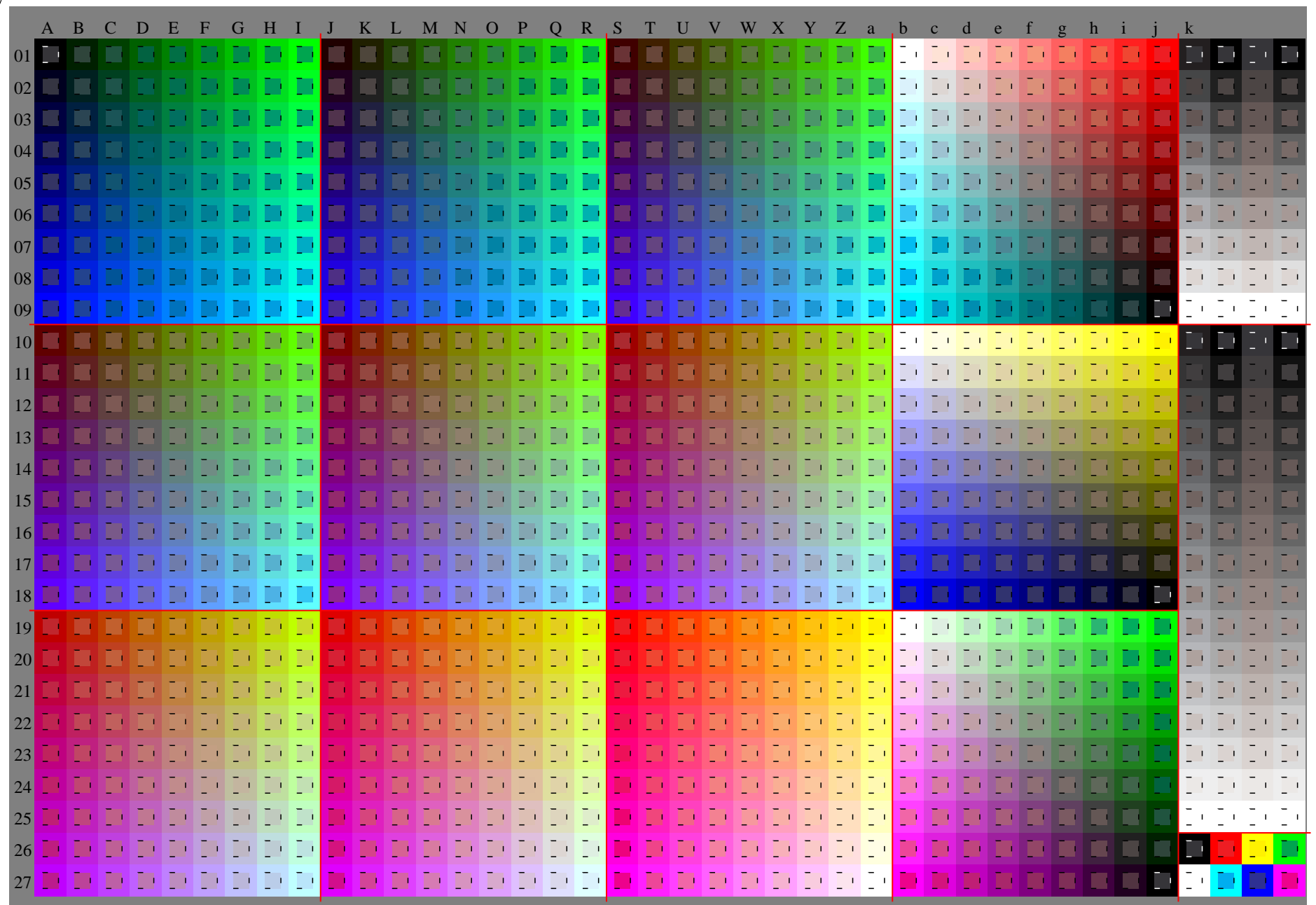
Siehe ähnliche Dateien: <http://www.ps.bam.de/Eg39/>; [www.ps.bam.de/Version 2.1, io=1,1, Colspx=1](http://www.ps.bam.de/Version2.1,io=1,1,Colspx=1)
 Technische Information: <http://www.ps.bam.de>

BAM-Registrierung: 20081001-Eg39/10L/L39G00NA.PS/.TXT BAM-Material: Code=rhatha
 Anwendung für Beurteilung und Messung von Drucker- oder Monitorssystemen



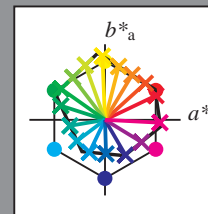
Siehe ähnliche Dateien: <http://www.ps.bam.de/Eg39/>; www.ps.bam.de/Eg.HTM
Technische Information: [http://www.ps.bam.de/Version 2.1, io=1,1, Colspx=1](http://www.ps.bam.de/Version%202.1,%20io=1,1,Colspx=1)

BAM-Registrierung: 20081001-Eg39/10L/L39G00NA.PS/.TXT BAM-Material: Code=rh4ta
Anwendung für Beurteilung und Messung von Drucker- oder Monitorsystemen



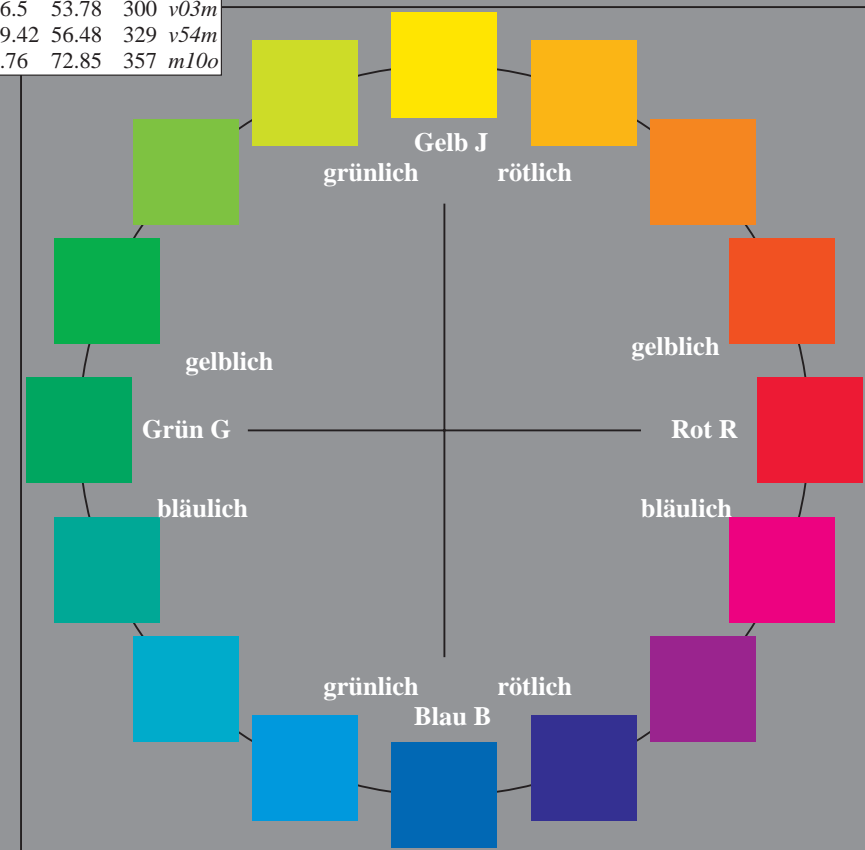
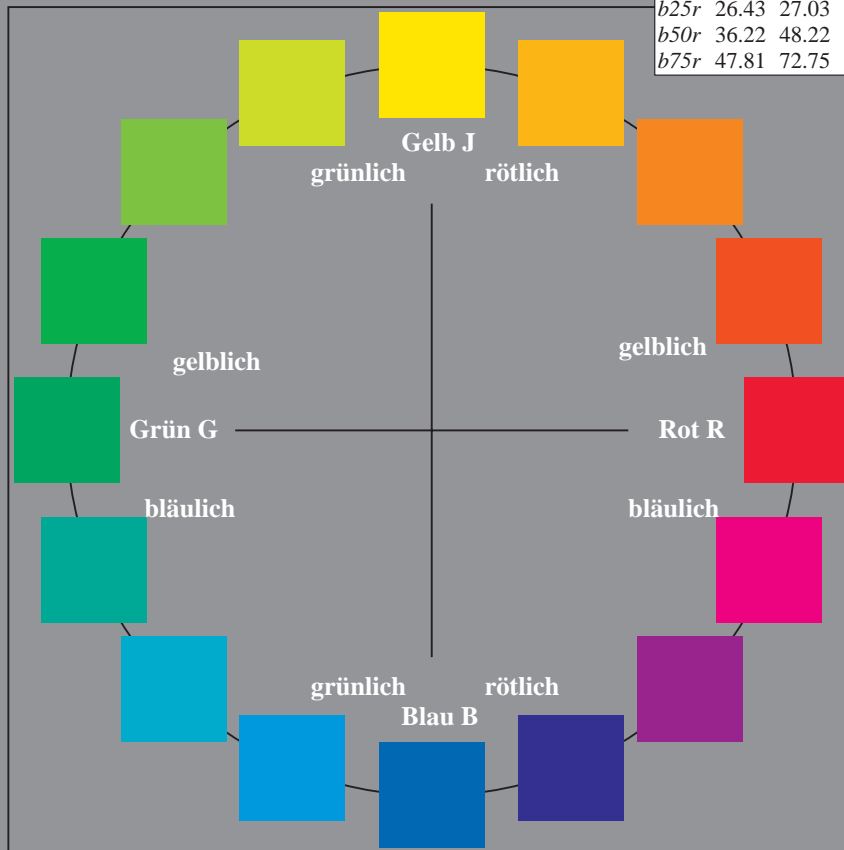
Ein und Ausgabe:
 Farbmatisches Drucker-Reflektiv-System ORS20_95a
 Daten für jede Farbe:
 u^*_e und Nummer *Nr.* = 00 .. 15
 Elementar-Bunttext:
 $u^*_e = 16$ Bunttoene *r00j, r25j, ..., b75r*
 Kontrastreduzierungsfaktor:
 $c_R = 1.0$

ORS20_95a; adaptierte CIELAB-Daten						
u^*_e	$L^*=L^*_a$	a^*_a	b^*_a	$C^*_{ab,a}$	$h^*_{ab,a}$	u^*_d
r00j	47.06	67.41	32.12	74.67	25	m84o
r25j	53.95	53.38	48.38	72.04	42	o17y
r50j	63.6	35.87	59.45	69.43	59	o42y
r75j	73.37	18.14	70.66	72.95	76	o68y
j00g	85.24	-3.4	84.28	84.35	92	o93y
j25g	78.53	-25.99	72.23	76.76	110	y24l
j50g	68.25	-42.61	56.0	70.37	127	y55l
j75g	58.73	-57.99	40.99	71.02	145	y85l
g00b	55.66	-58.35	18.71	61.27	162	l12c
g25b	58.18	-46.2	-7.82	46.86	190	l45c
g50b	60.08	-37.02	-27.87	46.34	217	l78c
g75b	55.21	-20.63	-42.98	47.67	244	c16v
b00r	41.38	1.37	-45.05	45.07	272	c58v
b25r	26.43	27.03	-46.5	53.78	300	v03m
b50r	36.22	48.22	-29.42	56.48	329	v54m
b75r	47.81	72.75	-3.76	72.85	357	m10o



%Umfang
 $u^*_{rel} = 87$
 %Regularität
 $g^*_{H,rel} = 67$
 $g^*_{C,rel} = 59$

ORS20_95a; adaptierte CIELAB-Daten					
Name	$L^*=L^*_a$	a^*_a	b^*_a	$C^*_{ab,a}$	$h^*_{ab,a}$
OMa	46.89	66.19	40.28	77.48	31
YMa	88.66	-9.62	88.21	88.73	96
LMa	54.22	-65.29	33.87	73.56	153
CMa	61.43	-30.53	-42.04	51.96	234
VMa	25.93	25.95	-47.37	54.01	299
MMa	47.92	73.53	-9.02	74.08	353
NMa	20.41	0.0	0.0	0.0	0
WMa	94.64	0.0	0.0	0.0	0
JCIE	39.92	58.74	27.99	65.07	25
JCIE	81.26	-2.89	71.56	71.62	92
GCIE	52.23	-42.42	13.6	44.55	162
BCIE	30.57	1.41	-46.47	46.49	272



Siehe ähnliche Dateien: <http://www.ps.bam.de/Eg39/>; www.ps.bam.de/Eg.HTM
 Technische Information: <http://www.ps.bam.de> Version 2.1, io=1,1, ColSpX=1

BAM-Registrierung: 20081001-Eg39/10L/L39G00NA.PS/.TXT BAM-Material: Code=rh4ta
 Anwendung für Beurteilung und Messung von Drucker- oder Monitorssystemen

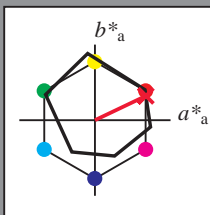
Ein und Ausgabe: Farbmetrisches Drucker-Reflektiv-System ORS20_95a für relativen CIELAB-Buntton $h^* = lab^*h^* = h_{ab}/360 = 0.071$ $u^*_e = r00j$

Daten für jede Farbe:
 lab^*ch^* und lab^*icu^*

Bunttontexte:
 $u^*_e = r00j$ $u^*_d = m84o$

Kontrastreduzierungsfaktor:
 $c_R = 1.0$

Dreiecks-Helligkeit i^*



ORS20_95a; adaptierte CIELAB-Daten						
	u^*_e	$L^*=L^*_a$	a^*_a	b^*_a	$C^*_{ab,a}$	$h^*_{ab,a}$
O _{Ma}	46.89	66.19	40.28	77.48	31	
Y _{Ma}	88.66	-9.62	88.21	88.73	96	
L _{Ma}	54.22	-65.29	33.87	73.56	153	
C _{Ma}	61.43	-30.53	-42.04	51.96	234	
V _{Ma}	25.93	25.95	-47.37	54.01	299	
M _{Ma}	47.92	73.53	-9.02	74.08	353	
N _{Ma}	20.41	0.0	0.0	0.0	0	
W _{Ma}	94.64	0.0	0.0	0.0	0	
R _{Ma}	39.92	58.74	27.99	65.07	25	
J _{Ma}	81.26	-2.89	71.56	71.62	92	
G _{Ma}	52.23	-42.42	13.6	44.55	162	
B _{Ma}	30.57	1.41	-46.47	46.49	272	

Daten für Maximalfarbe (Ma):

$LAB^*LAB^*_{Ma}$: 47 67 32

$LAB^*LCH^*_{Ma}$: 47 75 25

$lab^*rgb^*_{Ma}$: 1.0 0.0 0.0

$lab^*olv^*_{Ma}$: 1.0 0.0 0.15

Dreiecks-Helligkeit i^*

%Umfang

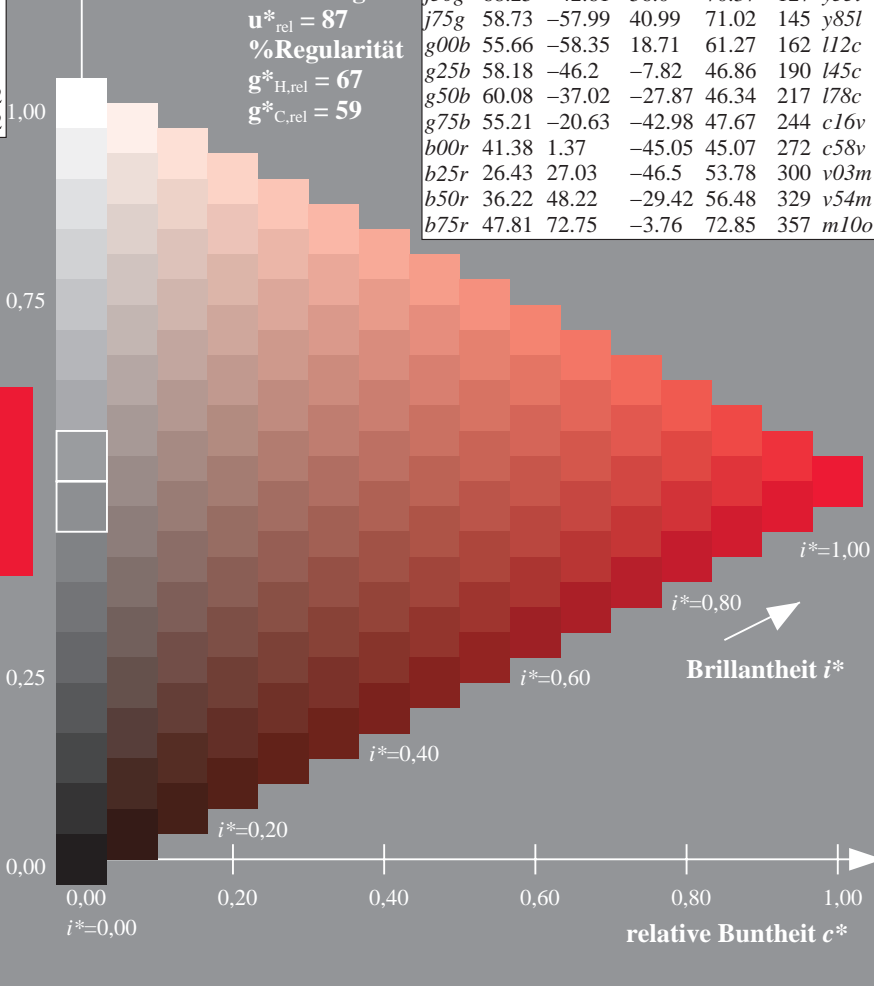
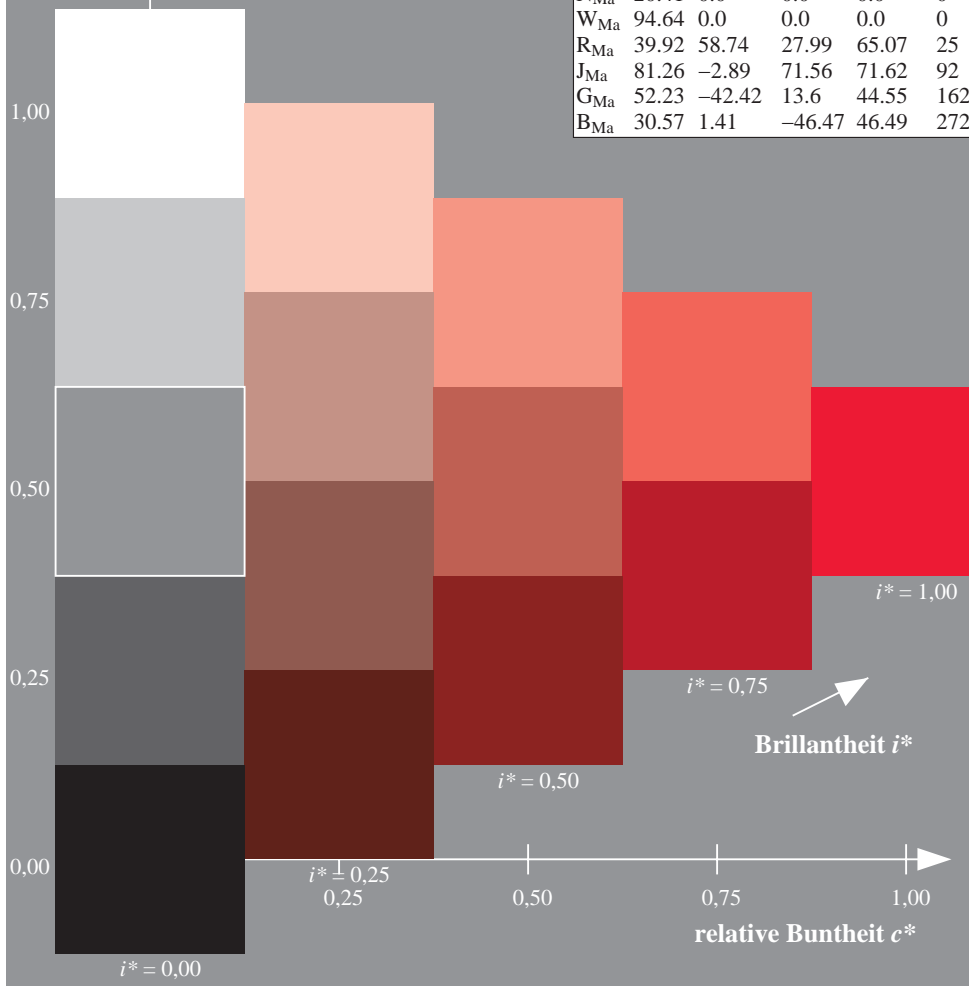
$u^*_{rel} = 87$

%Regularität

$g^*_{H,rel} = 67$

$g^*_{C,rel} = 59$

ORS20_95a; adaptierte CIELAB-Daten							
	u^*_e	$L^*=L^*_a$	a^*_a	b^*_a	$C^*_{ab,a}$	$h^*_{ab,a}$	u^*_d
r00j	47.06	67.41	32.12	74.67	25		m84o
r25j	53.95	53.38	48.38	72.04	42		o17y
r50j	63.6	35.87	59.45	69.43	59		o42y
r75j	73.37	18.14	70.66	72.95	76		o68y
j00g	85.24	-3.4	84.28	84.35	92		o93y
j25g	78.53	-25.99	72.23	76.76	110		y24l
j50g	68.25	-42.61	56.0	70.37	127		y55l
j75g	58.73	-57.99	40.99	71.02	145		y85l
g00b	55.66	-58.35	18.71	61.27	162		l12c
g25b	58.18	-46.2	-7.82	46.86	190		l45c
g50b	60.08	-37.02	-27.87	46.34	217		l78c
g75b	55.21	-20.63	-42.98	47.67	244		c16v
b00r	41.38	1.37	-45.05	45.07	272		c58v
b25r	26.43	27.03	-46.5	53.78	300		v03m
b50r	36.22	48.22	-29.42	56.48	329		v54m
b75r	47.81	72.75	-3.76	72.85	357		m10o



Siehe ähnliche Dateien: <http://www.ps.bam.de/Eg39/>; www.ps.bam.de/Eg.HTM
 Technische Information: <http://www.ps.bam.de> Version 2.1, io=1,1, ColSpx=1

BAM-Registrierung: 20081001-Eg39/10L/L39G00NA.PS/.TXT BAM-Material: Code=rh4ta
 Anwendung für Beurteilung und Messung von Drucker- oder Monitorssystemen

Ein und Ausgabe: Farbmetrisches Drucker-Reflektiv-System ORS20_95a für relativen CIELAB-Buntton $h^* = lab^*h^* = h_{ab}/360 = 0.117$ $u^*_e = r25j$

Daten für jede Farbe:

lab^*ch^* und lab^*icu^*

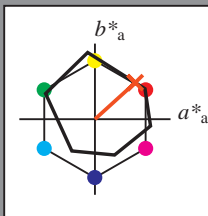
Bunttontexte:

$u^*_e = r25j$ $u^*_d = o17y$

Kontrastreduzierungsfaktor:

$c_R = 1.0$

Dreiecks-Helligkeit i^*



ORS20_95a; adaptierte CIELAB-Daten

	u^*_e	$L^*=L^*_a$	a^*_a	b^*_a	$C^*_{ab,a}$	$h^*_{ab,a}$
O _{Ma}	46.89	66.19	40.28	77.48	31	
Y _{Ma}	88.66	-9.62	88.21	88.73	96	
L _{Ma}	54.22	-65.29	33.87	73.56	153	
C _{Ma}	61.43	-30.53	-42.04	51.96	234	
V _{Ma}	25.93	25.95	-47.37	54.01	299	
M _{Ma}	47.92	73.53	-9.02	74.08	353	
N _{Ma}	20.41	0.0	0.0	0.0	0	
W _{Ma}	94.64	0.0	0.0	0.0	0	
R _{Ma}	39.92	58.74	27.99	65.07	25	
J _{Ma}	81.26	-2.89	71.56	71.62	92	
G _{Ma}	52.23	-42.42	13.6	44.55	162	
B _{Ma}	30.57	1.41	-46.47	46.49	272	

Daten für Maximalfarbe (Ma):

$LAB^*LAB^*_{Ma}$: 54 53 48

$LAB^*LCH^*_{Ma}$: 54 72 42

$lab^*rgb^*_{Ma}$: 1.0 0.25 0.0

$lab^*olv^*_{Ma}$: 1.0 0.17 0.0

Dreiecks-Helligkeit i^*

%Umfang

$u^*_{rel} = 87$

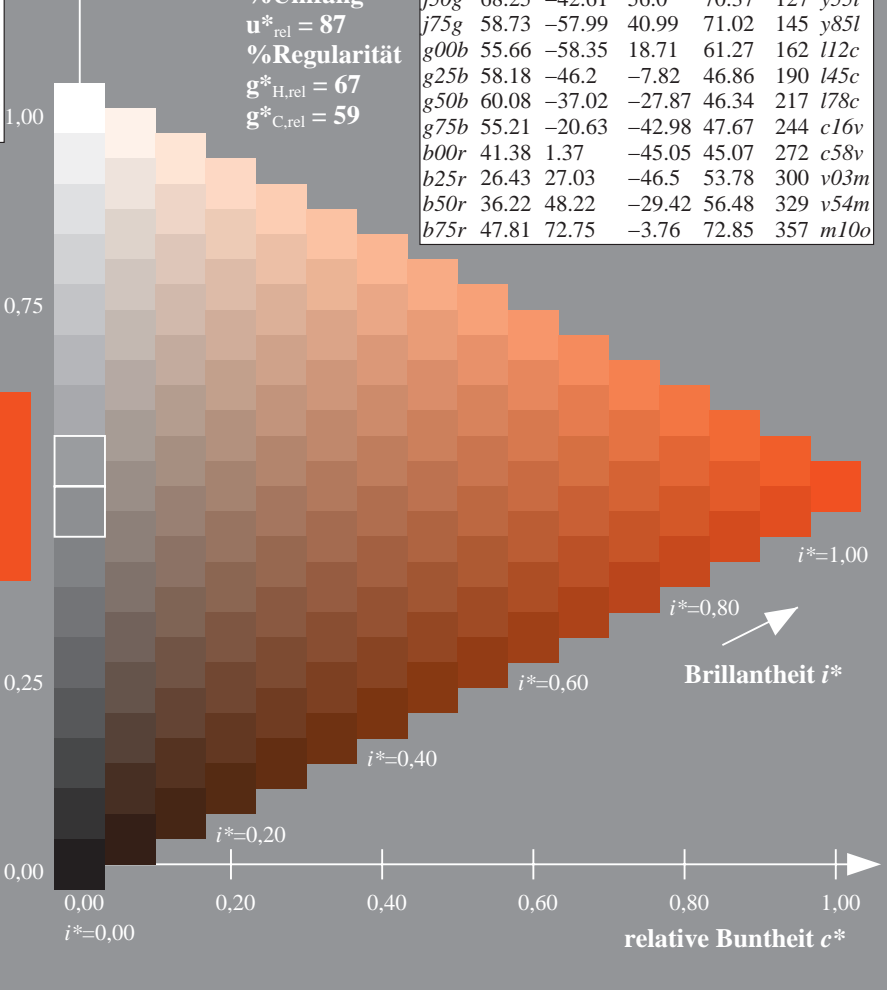
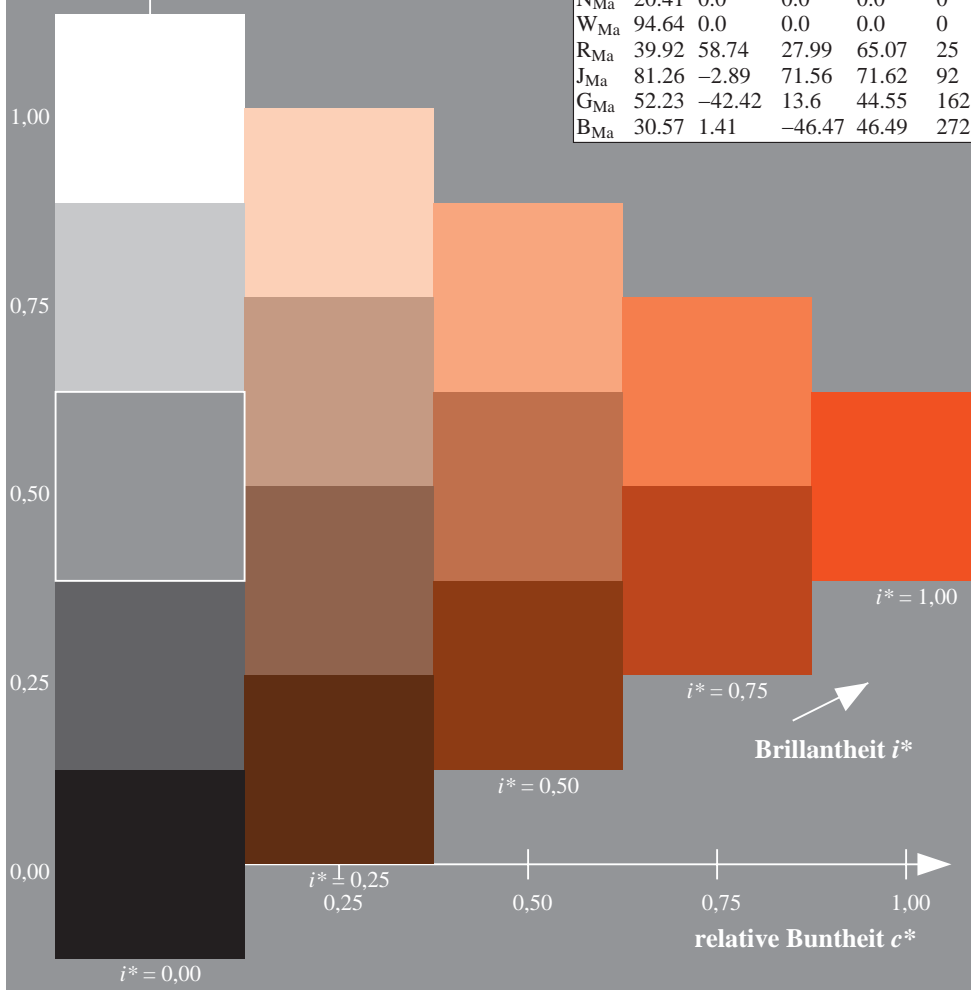
%Regularität

$g^*_{H,rel} = 67$

$g^*_{C,rel} = 59$

ORS20_95a; adaptierte CIELAB-Daten

	u^*_e	$L^*=L^*_a$	a^*_a	b^*_a	$C^*_{ab,a}$	$h^*_{ab,a}$	u^*_d
r00j	47.06	67.41	32.12	74.67	25	m84o	
r25j	53.95	53.38	48.38	72.04	42	o17y	
r50j	63.6	35.87	59.45	69.43	59	o42y	
r75j	73.37	18.14	70.66	72.95	76	o68y	
j00g	85.24	-3.4	84.28	84.35	92	o93y	
j25g	78.53	-25.99	72.23	76.76	110	y24l	
j50g	68.25	-42.61	56.0	70.37	127	y55l	
j75g	58.73	-57.99	40.99	71.02	145	y85l	
g00b	55.66	-58.35	18.71	61.27	162	l12c	
g25b	58.18	-46.2	-7.82	46.86	190	l45c	
g50b	60.08	-37.02	-27.87	46.34	217	l78c	
g75b	55.21	-20.63	-42.98	47.67	244	c16v	
b00r	41.38	1.37	-45.05	45.07	272	c58v	
b25r	26.43	27.03	-46.5	53.78	300	v03m	
b50r	36.22	48.22	-29.42	56.48	329	v54m	
b75r	47.81	72.75	-3.76	72.85	357	m10o	



Siehe ähnliche Dateien: <http://www.ps.bam.de/Eg39/>; www.ps.bam.de/Eg.HTM
 Technische Information: <http://www.ps.bam.de> Version 2.1, io=1,1, ColSpx=1

BAM-Registrierung: 20081001-Eg39/10L/L39G00NA.PS/.TXT BAM-Material: Code=rh4ta
 Anwendung für Beurteilung und Messung von Drucker- oder Monitorssystemen

Ein und Ausgabe: Farbmetrisches Drucker-Reflektiv-System ORS20_95a für relativen CIELAB-Buntton $h^* = lab^*h^* = h_{ab}/360 = 0.164$ $u^*_e = r50j$

Daten für jede Farbe:

lab^*ch^* und lab^*icu^*

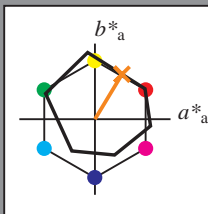
Buntontexte:

$u^*_e = r50j$ $u^*_d = o42y$

Kontrastreduzierungsfaktor:

$c_R = 1.0$

Dreiecks-Helligkeit i^*



ORS20_95a; adaptierte CIELAB-Daten

	u^*_e	$L^*=L^*_a$	a^*_a	b^*_a	$C^*_{ab,a}$	$h^*_{ab,a}$
O _{Ma}	46.89	66.19	40.28	77.48	31	
Y _{Ma}	88.66	-9.62	88.21	88.73	96	
L _{Ma}	54.22	-65.29	33.87	73.56	153	
C _{Ma}	61.43	-30.53	-42.04	51.96	234	
V _{Ma}	25.93	25.95	-47.37	54.01	299	
M _{Ma}	47.92	73.53	-9.02	74.08	353	
N _{Ma}	20.41	0.0	0.0	0.0	0	
W _{Ma}	94.64	0.0	0.0	0.0	0	
R _{Ma}	39.92	58.74	27.99	65.07	25	
J _{Ma}	81.26	-2.89	71.56	71.62	92	
G _{Ma}	52.23	-42.42	13.6	44.55	162	
B _{Ma}	30.57	1.41	-46.47	46.49	272	

Daten für Maximalfarbe (Ma):

$LAB^*LAB^*_{Ma}$: 64 36 59

$LAB^*LCH^*_{Ma}$: 64 69 58

$lab^*rgb^*_{Ma}$: 1.0 0.5 0.0

$lab^*olv^*_{Ma}$: 1.0 0.42 0.0

Dreiecks-Helligkeit i^*

%Umfang

$u^*_{rel} = 87$

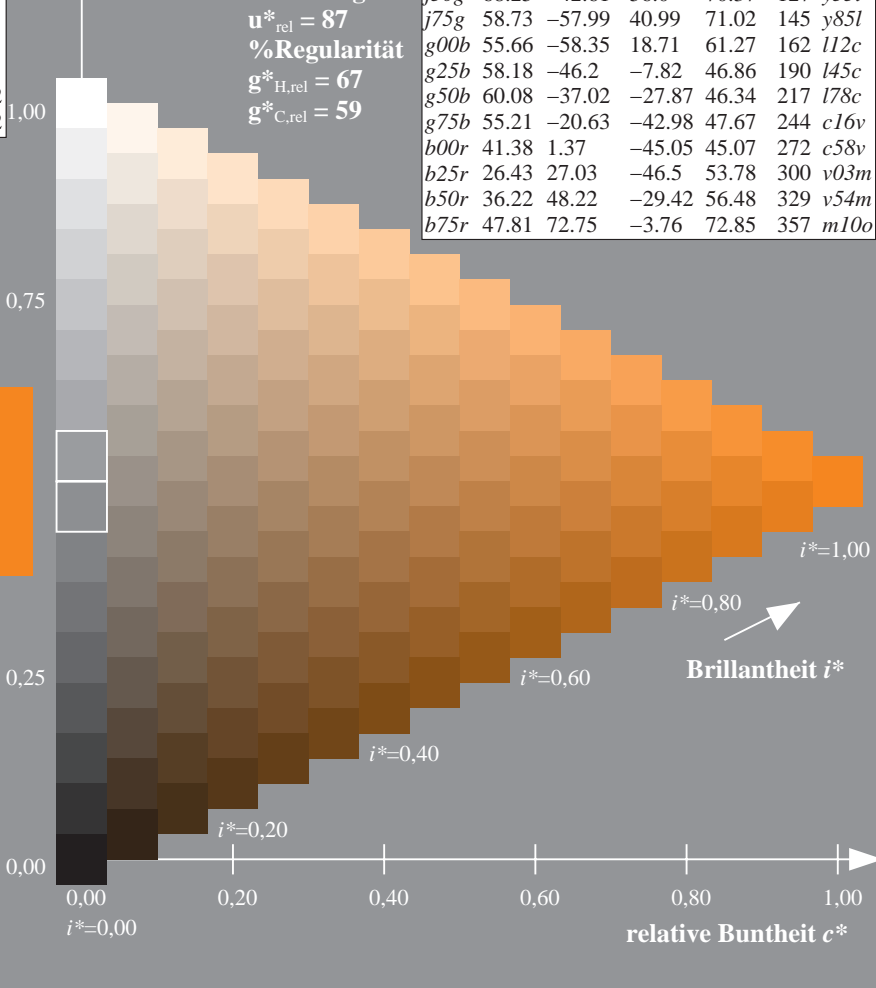
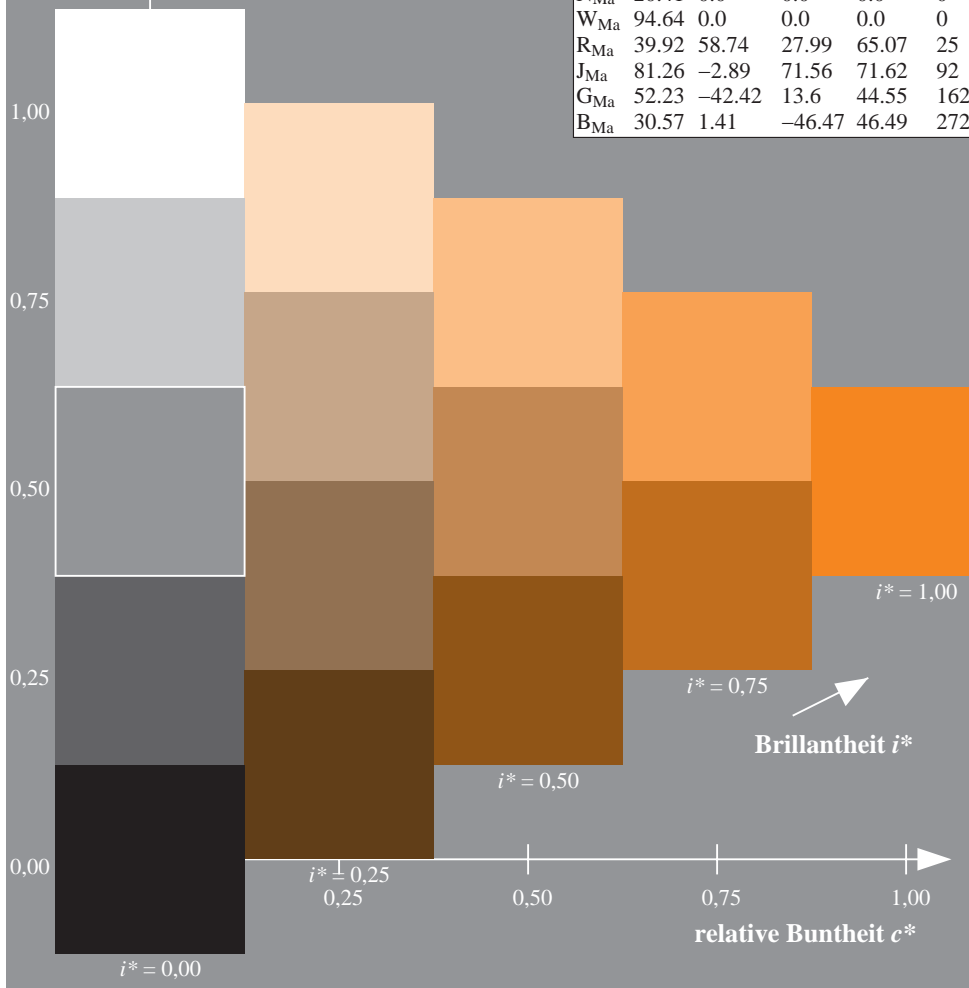
%Regularität

$g^*_{H,rel} = 67$

$g^*_{C,rel} = 59$

ORS20_95a; adaptierte CIELAB-Daten

	u^*_e	$L^*=L^*_a$	a^*_a	b^*_a	$C^*_{ab,a}$	$h^*_{ab,a}$	u^*_d
r00j	47.06	67.41	32.12	74.67	25	m84o	
r25j	53.95	53.38	48.38	72.04	42	o17y	
r50j	63.6	35.87	59.45	69.43	59	o42y	
r75j	73.37	18.14	70.66	72.95	76	o68y	
j00g	85.24	-3.4	84.28	84.35	92	o93y	
j25g	78.53	-25.99	72.23	76.76	110	y24l	
j50g	68.25	-42.61	56.0	70.37	127	y55l	
j75g	58.73	-57.99	40.99	71.02	145	y85l	
g00b	55.66	-58.35	18.71	61.27	162	l12c	
g25b	58.18	-46.2	-7.82	46.86	190	l45c	
g50b	60.08	-37.02	-27.87	46.34	217	l78c	
g75b	55.21	-20.63	-42.98	47.67	244	c16v	
b00r	41.38	1.37	-45.05	45.07	272	c58v	
b25r	26.43	27.03	-46.5	53.78	300	v03m	
b50r	36.22	48.22	-29.42	56.48	329	v54m	
b75r	47.81	72.75	-3.76	72.85	357	m10o	



Siehe ähnliche Dateien: <http://www.ps.bam.de/Eg39/>; www.ps.bam.de/Eg.HTM
 Technische Information: <http://www.ps.bam.de> Version 2.1, io=1,1, ColSpx=1

BAM-Registrierung: 20081001-Eg39/10L/L39G00NA.PS/.TXT BAM-Material: Code=rh4ta
 Anwendung für Beurteilung und Messung von Drucker- oder Monitorssystemen

Ein und Ausgabe: Farbmetrisches Drucker-Reflektiv-System ORS20_95a für relativen CIELAB-Buntton $h^* = lab^*h^* = h_{ab}/360 = 0.21$ $u^*_e = r75j$

Daten für jede Farbe:

lab^*ch^* und lab^*icu^*

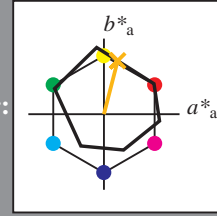
Buntontexte:

$u^*_e = r75j$ $u^*_d = o68y$

Kontrastreduzierungsfaktor:

$c_R = 1.0$

Dreiecks-Helligkeit i^*



ORS20_95a; adaptierte CIELAB-Daten

	u^*_e	$L^*=L^*_a$	a^*_a	b^*_a	$C^*_{ab,a}$	$h^*_{ab,a}$
O _{Ma}	46.89	66.19	40.28	77.48	31	
Y _{Ma}	88.66	-9.62	88.21	88.73	96	
L _{Ma}	54.22	-65.29	33.87	73.56	153	
C _{Ma}	61.43	-30.53	-42.04	51.96	234	
V _{Ma}	25.93	25.95	-47.37	54.01	299	
M _{Ma}	47.92	73.53	-9.02	74.08	353	
N _{Ma}	20.41	0.0	0.0	0.0	0	
W _{Ma}	94.64	0.0	0.0	0.0	0	
R _{Ma}	39.92	58.74	27.99	65.07	25	
J _{Ma}	81.26	-2.89	71.56	71.62	92	
G _{Ma}	52.23	-42.42	13.6	44.55	162	
B _{Ma}	30.57	1.41	-46.47	46.49	272	

Daten für Maximalfarbe (Ma):

$LAB^*LAB^*_{Ma}$: 73 18 71

$LAB^*LCH^*_{Ma}$: 73 73 75

$lab^*rgb^*_{Ma}$: 1.0 0.75 0.0

$lab^*olv^*_{Ma}$: 1.0 0.68 0.0

Dreiecks-Helligkeit i^*

%Umfang

$u^*_{rel} = 87$

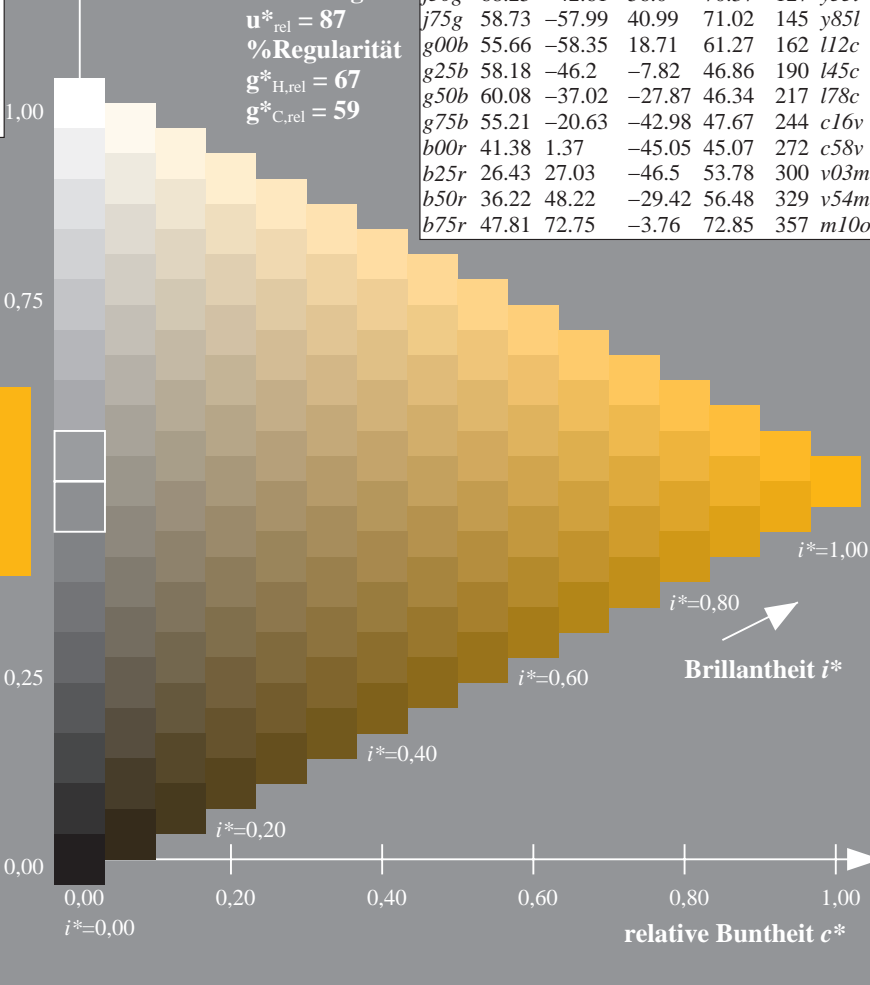
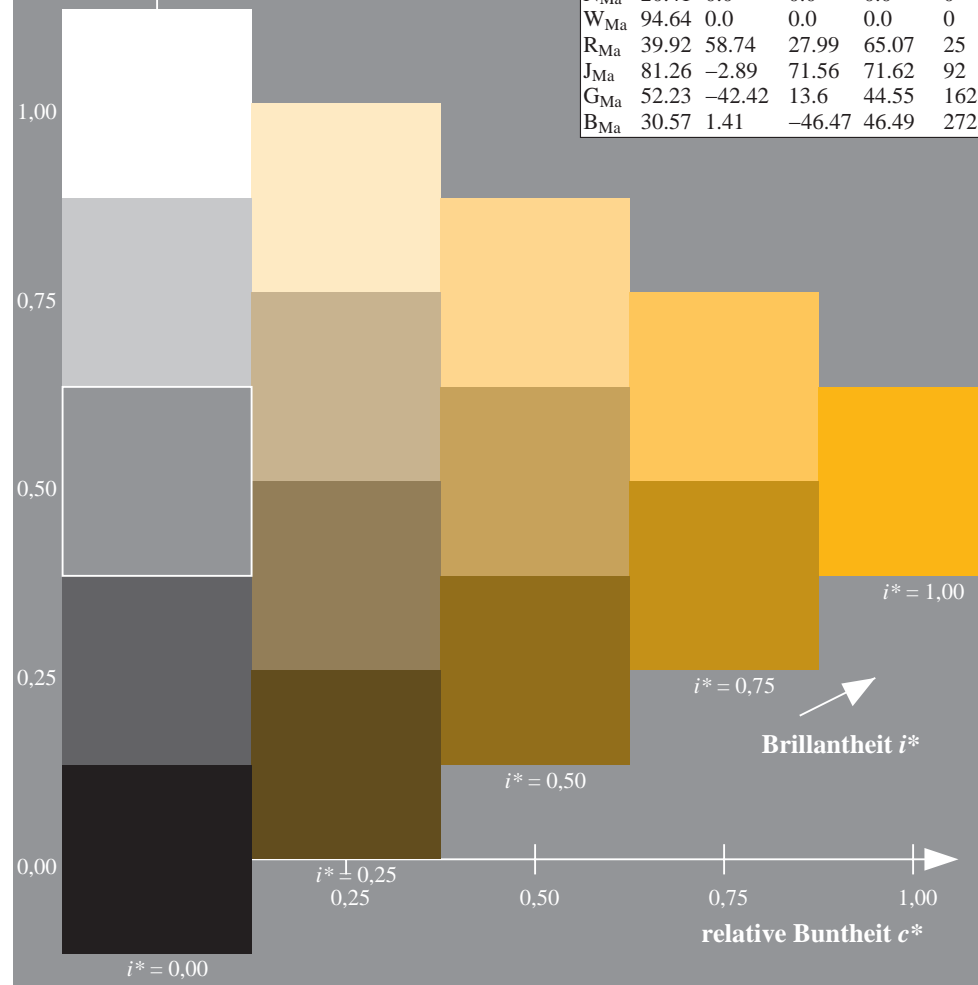
%Regularität

$g^*_{H,rel} = 67$

$g^*_{C,rel} = 59$

ORS20_95a; adaptierte CIELAB-Daten

	u^*_e	$L^*=L^*_a$	a^*_a	b^*_a	$C^*_{ab,a}$	$h^*_{ab,a}$	u^*_d
r00j	47.06	67.41	32.12	74.67	25	m84o	
r25j	53.95	53.38	48.38	72.04	42	o17y	
r50j	63.6	35.87	59.45	69.43	59	o42y	
r75j	73.37	18.14	70.66	72.95	76	o68y	
j00g	85.24	-3.4	84.28	84.35	92	o93y	
j25g	78.53	-25.99	72.23	76.76	110	y24l	
j50g	68.25	-42.61	56.0	70.37	127	y55l	
j75g	58.73	-57.99	40.99	71.02	145	y85l	
g00b	55.66	-58.35	18.71	61.27	162	l12c	
g25b	58.18	-46.2	-7.82	46.86	190	l45c	
g50b	60.08	-37.02	-27.87	46.34	217	l78c	
g75b	55.21	-20.63	-42.98	47.67	244	c16v	
b00r	41.38	1.37	-45.05	45.07	272	c58v	
b25r	26.43	27.03	-46.5	53.78	300	v03m	
b50r	36.22	48.22	-29.42	56.48	329	v54m	
b75r	47.81	72.75	-3.76	72.85	357	m10o	



Siehe ähnliche Dateien: <http://www.ps.bam.de/Eg39/>; www.ps.bam.de/Eg.HTM
 Technische Information: <http://www.ps.bam.de> Version 2.1, io=1,1, ColSpx=1

BAM-Registrierung: 20081001-Eg39/10L/L39G00NA.PS/.TXT BAM-Material: Code=rh4ta
 Anwendung für Beurteilung und Messung von Drucker- oder Monitorssystemen

Ein und Ausgabe: Farbmetrisches Drucker-Reflektiv-System ORS20_95a für relativen CIELAB-Buntton $h^* = lab^*h^* = h_{ab}/360 = 0.256$ $u^*_e = j00g$

Daten für jede Farbe:

lab^*ch^* und lab^*icu^*

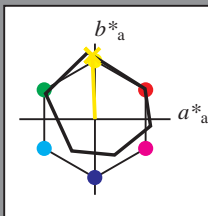
Buntontexte:

$u^*_e = j00g$ $u^*_d = o93y$

Kontrastreduzierungsfaktor:

$c_R = 1.0$

Dreiecks-Helligkeit i^*



ORS20_95a; adaptierte CIELAB-Daten

	u^*_e	$L^*=L^*_a$	a^*_a	b^*_a	$C^*_{ab,a}$	$h^*_{ab,a}$
O _{Ma}	46.89	66.19	40.28	77.48	31	
Y _{Ma}	88.66	-9.62	88.21	88.73	96	
L _{Ma}	54.22	-65.29	33.87	73.56	153	
C _{Ma}	61.43	-30.53	-42.04	51.96	234	
V _{Ma}	25.93	25.95	-47.37	54.01	299	
M _{Ma}	47.92	73.53	-9.02	74.08	353	
N _{Ma}	20.41	0.0	0.0	0.0	0	
W _{Ma}	94.64	0.0	0.0	0.0	0	
R _{Ma}	39.92	58.74	27.99	65.07	25	
J _{Ma}	81.26	-2.89	71.56	71.62	92	
G _{Ma}	52.23	-42.42	13.6	44.55	162	
B _{Ma}	30.57	1.41	-46.47	46.49	272	

Daten für Maximalfarbe (Ma):

$LAB^*LAB^*_{Ma}$: 85 -3 84

$LAB^*LCH^*_{Ma}$: 85 84 92

$lab^*rgb^*_{Ma}$: 1.0 1.0 0.0

$lab^*olv^*_{Ma}$: 1.0 0.94 0.0

Dreiecks-Helligkeit i^*

%Umfang

$u^*_{rel} = 87$

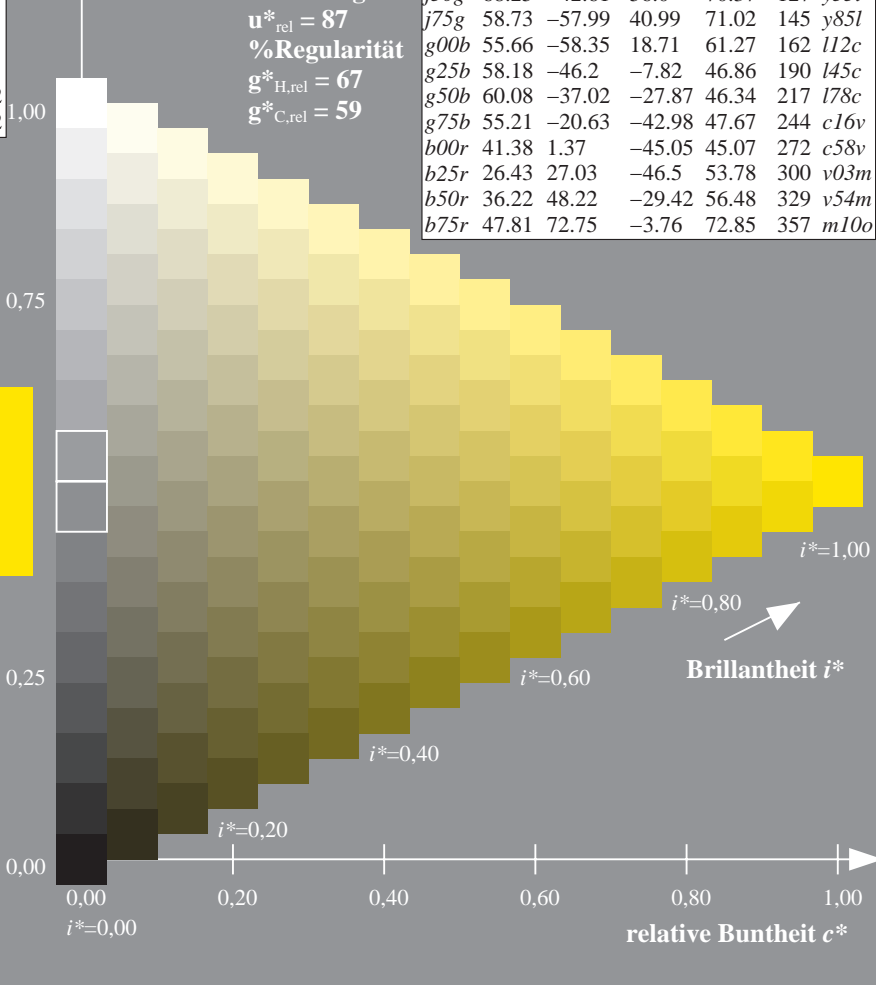
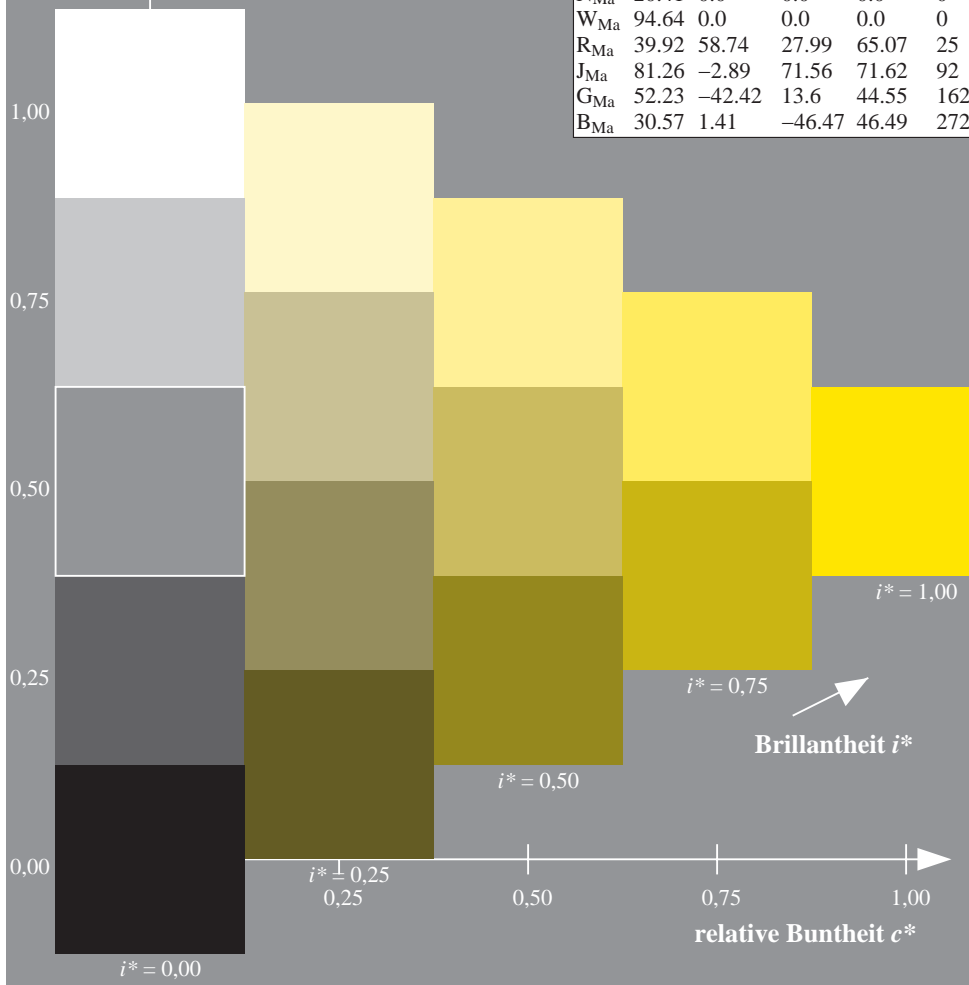
%Regularität

$g^*_{H,rel} = 67$

$g^*_{C,rel} = 59$

ORS20_95a; adaptierte CIELAB-Daten

	u^*_e	$L^*=L^*_a$	a^*_a	b^*_a	$C^*_{ab,a}$	$h^*_{ab,a}$	u^*_d
r00j	47.06	67.41	32.12	74.67	25	m84o	
r25j	53.95	53.38	48.38	72.04	42	o17y	
r50j	63.6	35.87	59.45	69.43	59	o42y	
r75j	73.37	18.14	70.66	72.95	76	o68y	
j00g	85.24	-3.4	84.28	84.35	92	o93y	
j25g	78.53	-25.99	72.23	76.76	110	y24l	
j50g	68.25	-42.61	56.0	70.37	127	y55l	
j75g	58.73	-57.99	40.99	71.02	145	y85l	
g00b	55.66	-58.35	18.71	61.27	162	l12c	
g25b	58.18	-46.2	-7.82	46.86	190	l45c	
g50b	60.08	-37.02	-27.87	46.34	217	l78c	
g75b	55.21	-20.63	-42.98	47.67	244	c16v	
b00r	41.38	1.37	-45.05	45.07	272	c58v	
b25r	26.43	27.03	-46.5	53.78	300	v03m	
b50r	36.22	48.22	-29.42	56.48	329	v54m	
b75r	47.81	72.75	-3.76	72.85	357	m10o	



Siehe ähnliche Dateien: <http://www.ps.bam.de/Eg39/>; www.ps.bam.de/Eg.HTM
 Technische Information: <http://www.ps.bam.de> Version 2.1, io=1,1, ColSpx=1

BAM-Registrierung: 20081001-Eg39/10L/L39G00NA.PS/.TXT BAM-Material: Code=rh4ta
 Anwendung für Beurteilung und Messung von Drucker- oder Monitorssystemen

Ein und Ausgabe: Farbmetrisches Drucker-Reflektiv-System ORS20_95a für relativen CIELAB-Buntton $h^* = lab^*h^* = h_{ab}/360 = 0.305$ $u^*_e = j25g$

Daten für jede Farbe:

lab^*ch^* und lab^*icu^*

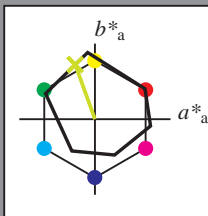
Bunttontexte:

$u^*_e = j25g$ $u^*_d = y24l$

Kontrastreduzierungsfaktor:

$c_R = 1.0$

Dreiecks-Helligkeit i^*



ORS20_95a; adaptierte CIELAB-Daten

	u^*_e	$L^*=L^*_a$	a^*_a	b^*_a	$C^*_{ab,a}$	$h^*_{ab,a}$
O _{Ma}	46.89	66.19	40.28	77.48	31	
Y _{Ma}	88.66	-9.62	88.21	88.73	96	
L _{Ma}	54.22	-65.29	33.87	73.56	153	
C _{Ma}	61.43	-30.53	-42.04	51.96	234	
V _{Ma}	25.93	25.95	-47.37	54.01	299	
M _{Ma}	47.92	73.53	-9.02	74.08	353	
N _{Ma}	20.41	0.0	0.0	0.0	0	
W _{Ma}	94.64	0.0	0.0	0.0	0	
R _{Ma}	39.92	58.74	27.99	65.07	25	
J _{Ma}	81.26	-2.89	71.56	71.62	92	
G _{Ma}	52.23	-42.42	13.6	44.55	162	
B _{Ma}	30.57	1.41	-46.47	46.49	272	

Daten für Maximalfarbe (Ma):

$LAB^*LAB^*_{Ma}$: 79 -26 72

$LAB^*LCH^*_{Ma}$: 79 77 109

$lab^*rgb^*_{Ma}$: 0.75 1.0 0.0

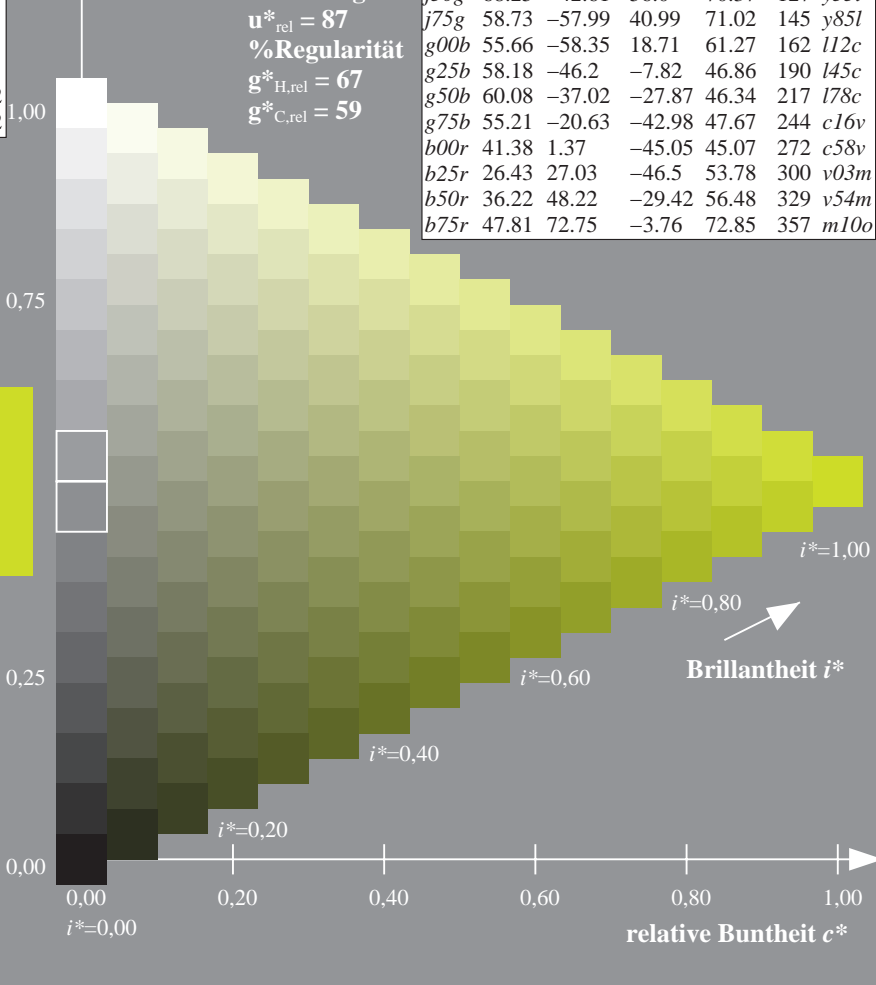
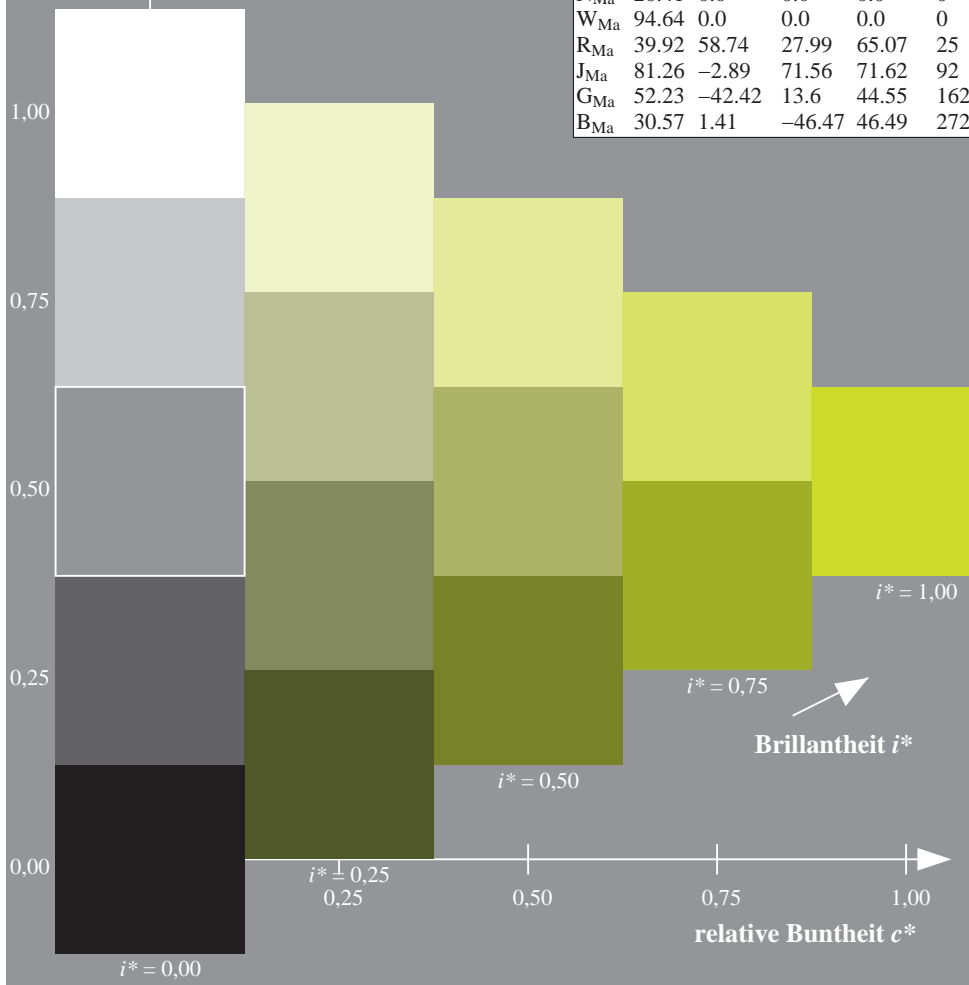
$lab^*olv^*_{Ma}$: 0.76 1.0 0.0

Dreiecks-Helligkeit i^*

%Umfang
 $u^*_{rel} = 87$
 %Regularität
 $g^*_{H,rel} = 67$
 $g^*_{C,rel} = 59$

ORS20_95a; adaptierte CIELAB-Daten

	u^*_e	$L^*=L^*_a$	a^*_a	b^*_a	$C^*_{ab,a}$	$h^*_{ab,a}$	u^*_d
r00j	47.06	67.41	32.12	74.67	25	m84o	
r25j	53.95	53.38	48.38	72.04	42	o17y	
r50j	63.6	35.87	59.45	69.43	59	o42y	
r75j	73.37	18.14	70.66	72.95	76	o68y	
j00g	85.24	-3.4	84.28	84.35	92	o93y	
j25g	78.53	-25.99	72.23	76.76	110	y24l	
j50g	68.25	-42.61	56.0	70.37	127	y55l	
j75g	58.73	-57.99	40.99	71.02	145	y85l	
g00b	55.66	-58.35	18.71	61.27	162	l12c	
g25b	58.18	-46.2	-7.82	46.86	190	l45c	
g50b	60.08	-37.02	-27.87	46.34	217	l78c	
g75b	55.21	-20.63	-42.98	47.67	244	c16v	
b00r	41.38	1.37	-45.05	45.07	272	c58v	
b25r	26.43	27.03	-46.5	53.78	300	v03m	
b50r	36.22	48.22	-29.42	56.48	329	v54m	
b75r	47.81	72.75	-3.76	72.85	357	m10o	



Siehe ähnliche Dateien: <http://www.ps.bam.de/Eg39/>; www.ps.bam.de/Eg.HTM
 Technische Information: <http://www.ps.bam.de> Version 2.1, io=1,1, ColSpx=1

BAM-Registrierung: 20081001-Eg39/10L/L39G00NA.PS/.TXT BAM-Material: Code=rh4ta
 Anwendung für Beurteilung und Messung von Drucker- oder Monitorssystemen

Ein und Ausgabe: Farbmetrisches Drucker-Reflektiv-System ORS20_95a für relativen CIELAB-Buntton $h^* = lab^*h^* = h_{ab}/360 = 0.354$ $u^*_e = j50g$

Daten für jede Farbe:

lab^*ch^* und lab^*icu^*

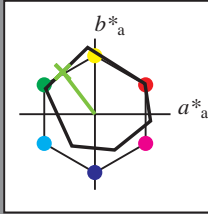
Bunttontexte:

$u^*_e = j50g$ $u^*_d = y55l$

Kontrastreduzierungsfaktor:

$c_R = 1.0$

Dreiecks-Helligkeit i^*



ORS20_95a; adaptierte CIELAB-Daten

	u^*_e	$L^*=L^*_a$	a^*_a	b^*_a	$C^*_{ab,a}$	$h^*_{ab,a}$
O _{Ma}	46.89	66.19	40.28	77.48	31	
Y _{Ma}	88.66	-9.62	88.21	88.73	96	
L _{Ma}	54.22	-65.29	33.87	73.56	153	
C _{Ma}	61.43	-30.53	-42.04	51.96	234	
V _{Ma}	25.93	25.95	-47.37	54.01	299	
M _{Ma}	47.92	73.53	-9.02	74.08	353	
N _{Ma}	20.41	0.0	0.0	0.0	0	
W _{Ma}	94.64	0.0	0.0	0.0	0	
R _{Ma}	39.92	58.74	27.99	65.07	25	
J _{Ma}	81.26	-2.89	71.56	71.62	92	
G _{Ma}	52.23	-42.42	13.6	44.55	162	
B _{Ma}	30.57	1.41	-46.47	46.49	272	

Daten für Maximalfarbe (Ma):

$LAB^*LAB^*_{Ma}$: 68 -43 56

$LAB^*LCH^*_{Ma}$: 68 70 127

$lab^*rgb^*_{Ma}$: 0.5 1.0 0.0

$lab^*olv^*_{Ma}$: 0.45 1.0 0.0

Dreiecks-Helligkeit i^*

%Umfang

$u^*_{rel} = 87$

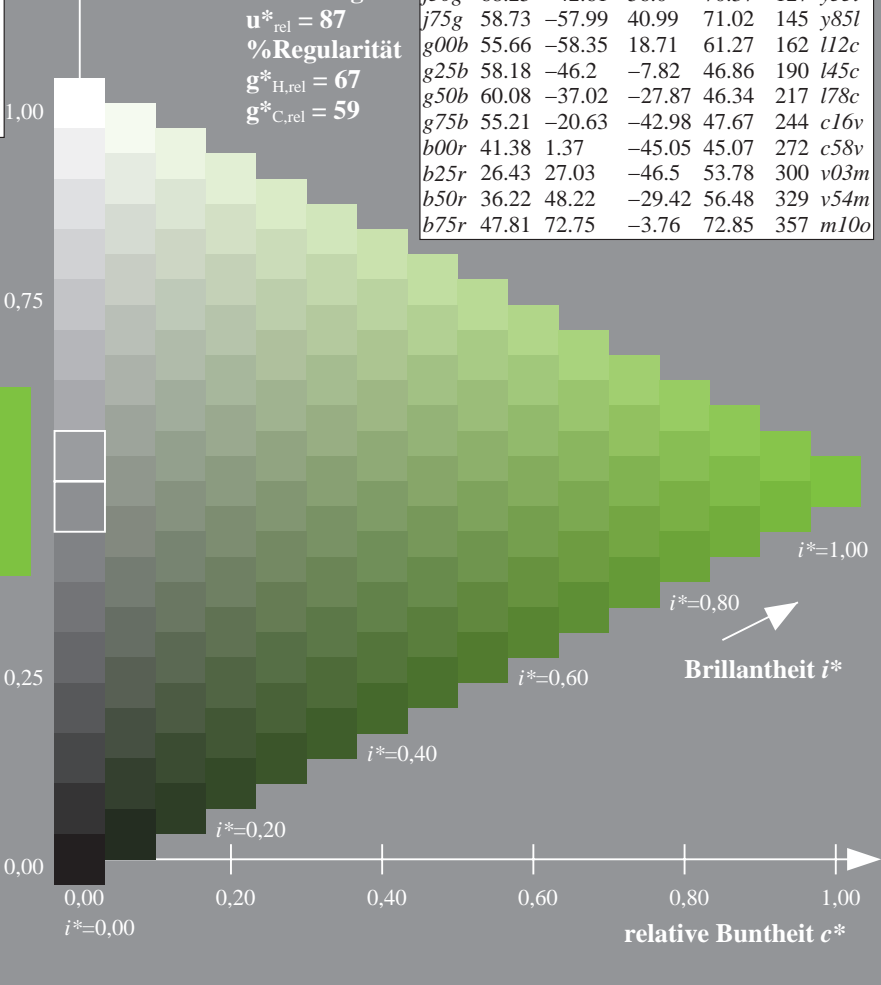
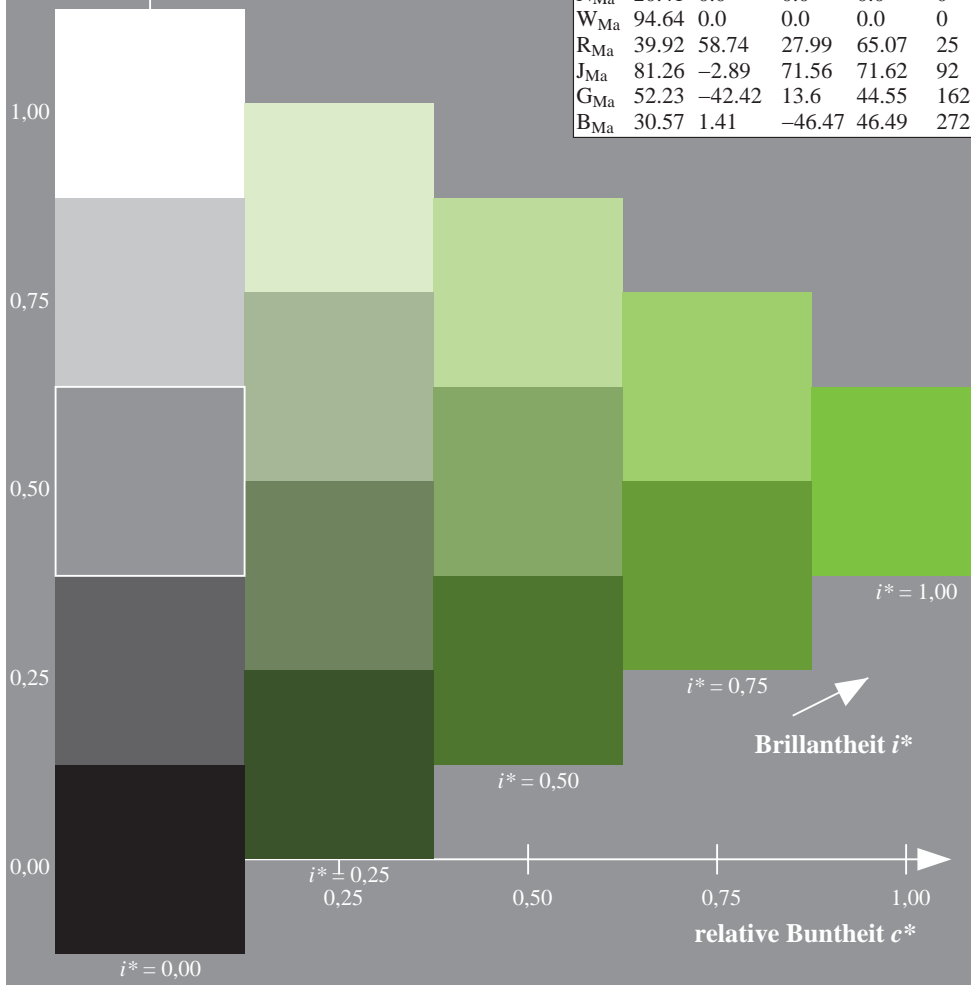
%Regularität

$g^*_{H,rel} = 67$

$g^*_{C,rel} = 59$

ORS20_95a; adaptierte CIELAB-Daten

	u^*_e	$L^*=L^*_a$	a^*_a	b^*_a	$C^*_{ab,a}$	$h^*_{ab,a}$	u^*_d
r00j	47.06	67.41	32.12	74.67	25	m84o	
r25j	53.95	53.38	48.38	72.04	42	o17y	
r50j	63.6	35.87	59.45	69.43	59	o42y	
r75j	73.37	18.14	70.66	72.95	76	o68y	
j00g	85.24	-3.4	84.28	84.35	92	o93y	
j25g	78.53	-25.99	72.23	76.76	110	y24l	
j50g	68.25	-42.61	56.0	70.37	127	y55l	
j75g	58.73	-57.99	40.99	71.02	145	y85l	
g00b	55.66	-58.35	18.71	61.27	162	l12c	
g25b	58.18	-46.2	-7.82	46.86	190	l45c	
g50b	60.08	-37.02	-27.87	46.34	217	l78c	
g75b	55.21	-20.63	-42.98	47.67	244	c16v	
b00r	41.38	1.37	-45.05	45.07	272	c58v	
b25r	26.43	27.03	-46.5	53.78	300	v03m	
b50r	36.22	48.22	-29.42	56.48	329	v54m	
b75r	47.81	72.75	-3.76	72.85	357	m10o	



Siehe ähnliche Dateien: <http://www.ps.bam.de/Eg39/>; www.ps.bam.de/Eg.HTM
 Technische Information: <http://www.ps.bam.de> Version 2.1, io=1,1, ColSpx=1

BAM-Registrierung: 20081001-Eg39/10L/L39G00NA.PS/.TXT BAM-Material: Code=rh4ta
 Anwendung für Beurteilung und Messung von Drucker- oder Monitorssystemen

Ein und Ausgabe: Farbmetrisches Drucker-Reflektiv-System ORS20_95a für relativen CIELAB-Buntton $h^* = lab^*h^* = h_{ab}/360 = 0.402$ $u^*_e = j75g$

Daten für jede Farbe:

lab^*ch^* und lab^*icu^*

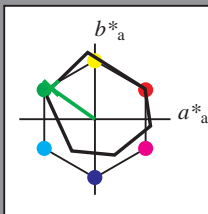
Bunttontexte:

$u^*_e = j75g$ $u^*_d = y85l$

Kontrastreduzierungsfaktor:

$c_R = 1.0$

Dreiecks-Helligkeit i^*



ORS20_95a; adaptierte CIELAB-Daten

	u^*_e	$L^*=L^*_a$	a^*_a	b^*_a	$C^*_{ab,a}$	$h^*_{ab,a}$
O _{Ma}	46.89	66.19	40.28	77.48	31	
Y _{Ma}	88.66	-9.62	88.21	88.73	96	
L _{Ma}	54.22	-65.29	33.87	73.56	153	
C _{Ma}	61.43	-30.53	-42.04	51.96	234	
V _{Ma}	25.93	25.95	-47.37	54.01	299	
M _{Ma}	47.92	73.53	-9.02	74.08	353	
N _{Ma}	20.41	0.0	0.0	0.0	0	
W _{Ma}	94.64	0.0	0.0	0.0	0	
R _{Ma}	39.92	58.74	27.99	65.07	25	
J _{Ma}	81.26	-2.89	71.56	71.62	92	
G _{Ma}	52.23	-42.42	13.6	44.55	162	
B _{Ma}	30.57	1.41	-46.47	46.49	272	

Daten für Maximalfarbe (Ma):

$LAB^*LAB^*_{Ma}$: 59 -58 41

$LAB^*LCH^*_{Ma}$: 59 71 144

$lab^*rgb^*_{Ma}$: 0.25 1.0 0.0

$lab^*olv^*_{Ma}$: 0.14 1.0 0.0

Dreiecks-Helligkeit i^*

%Umfang

$u^*_{rel} = 87$

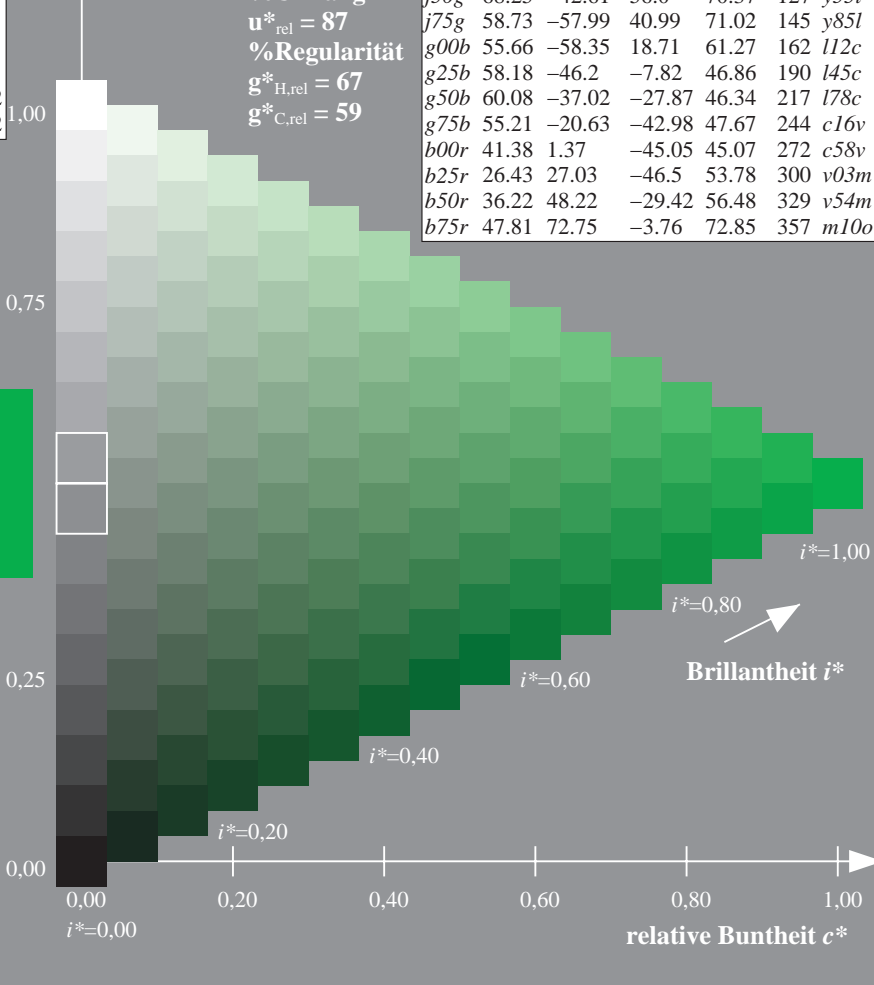
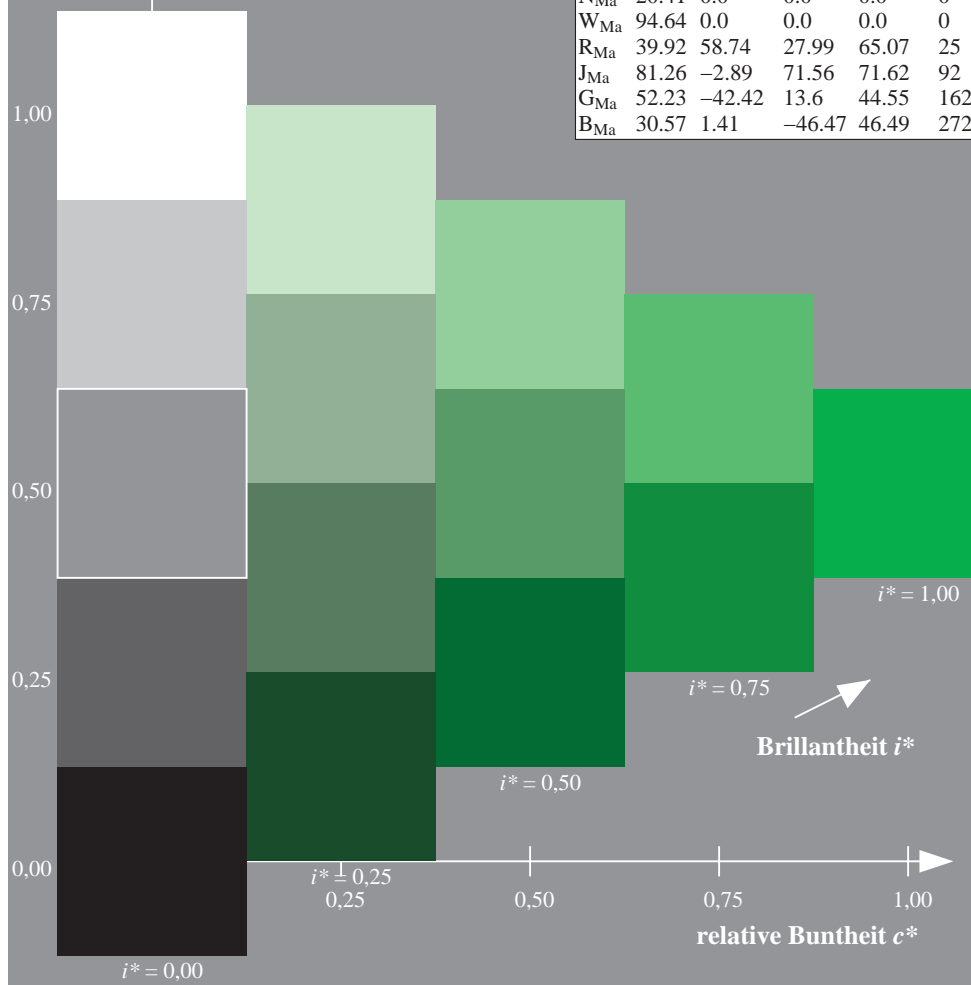
%Regularität

$g^*_{H,rel} = 67$

$g^*_{C,rel} = 59$

ORS20_95a; adaptierte CIELAB-Daten

	u^*_e	$L^*=L^*_a$	a^*_a	b^*_a	$C^*_{ab,a}$	$h^*_{ab,a}$	u^*_d
r00j	47.06	67.41	32.12	74.67	25	m84o	
r25j	53.95	53.38	48.38	72.04	42	o17y	
r50j	63.6	35.87	59.45	69.43	59	o42y	
r75j	73.37	18.14	70.66	72.95	76	o68y	
j00g	85.24	-3.4	84.28	84.35	92	o93y	
j25g	78.53	-25.99	72.23	76.76	110	y24l	
j50g	68.25	-42.61	56.0	70.37	127	y55l	
j75g	58.73	-57.99	40.99	71.02	145	y85l	
g00b	55.66	-58.35	18.71	61.27	162	l12c	
g25b	58.18	-46.2	-7.82	46.86	190	l45c	
g50b	60.08	-37.02	-27.87	46.34	217	l78c	
g75b	55.21	-20.63	-42.98	47.67	244	c16v	
b00r	41.38	1.37	-45.05	45.07	272	c58v	
b25r	26.43	27.03	-46.5	53.78	300	v03m	
b50r	36.22	48.22	-29.42	56.48	329	v54m	
b75r	47.81	72.75	-3.76	72.85	357	m10o	



Siehe ähnliche Dateien: <http://www.ps.bam.de/Eg39/>; www.ps.bam.de/Eg.HTM
 Technische Information: <http://www.ps.bam.de> Version 2.1, io=1,1, ColSpx=1

BAM-Registrierung: 20081001-Eg39/10L/L39G00NA.PS/.TXT BAM-Material: Code=rh4ta
 Anwendung für Beurteilung und Messung von Drucker- oder Monitorssystemen

Ein und Ausgabe: Farbmetrisches Drucker-Reflektiv-System ORS20_95a für relativen CIELAB-Buntton $h^* = lab^*h^* = h_{ab}/360 = 0.451$ $u^*_e = g00b$

Daten für jede Farbe:

lab^*ch^* und lab^*icu^*

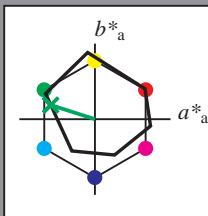
Bunttontexte:

$u^*_e = g00b$ $u^*_d = l12c$

Kontrastreduzierungsfaktor:

$c_R = 1.0$

Dreiecks-Helligkeit i^*



ORS20_95a; adaptierte CIELAB-Daten

	u^*_e	$L^*=L^*_a$	a^*_a	b^*_a	$C^*_{ab,a}$	$h^*_{ab,a}$
O _{Ma}	46.89	66.19	40.28	77.48	31	
Y _{Ma}	88.66	-9.62	88.21	88.73	96	
L _{Ma}	54.22	-65.29	33.87	73.56	153	
C _{Ma}	61.43	-30.53	-42.04	51.96	234	
V _{Ma}	25.93	25.95	-47.37	54.01	299	
M _{Ma}	47.92	73.53	-9.02	74.08	353	
N _{Ma}	20.41	0.0	0.0	0.0	0	
W _{Ma}	94.64	0.0	0.0	0.0	0	
R _{Ma}	39.92	58.74	27.99	65.07	25	
J _{Ma}	81.26	-2.89	71.56	71.62	92	
G _{Ma}	52.23	-42.42	13.6	44.55	162	
B _{Ma}	30.57	1.41	-46.47	46.49	272	

Daten für Maximalfarbe (Ma):

$LAB^*LAB^*_{Ma}$: 56 -58 19

$LAB^*LCH^*_{Ma}$: 56 61 162

$lab^*rgb^*_{Ma}$: 0.0 1.0 0.0

$lab^*olv^*_{Ma}$: 0.0 1.0 0.12

Dreiecks-Helligkeit i^*

%Umfang

$u^*_{rel} = 87$

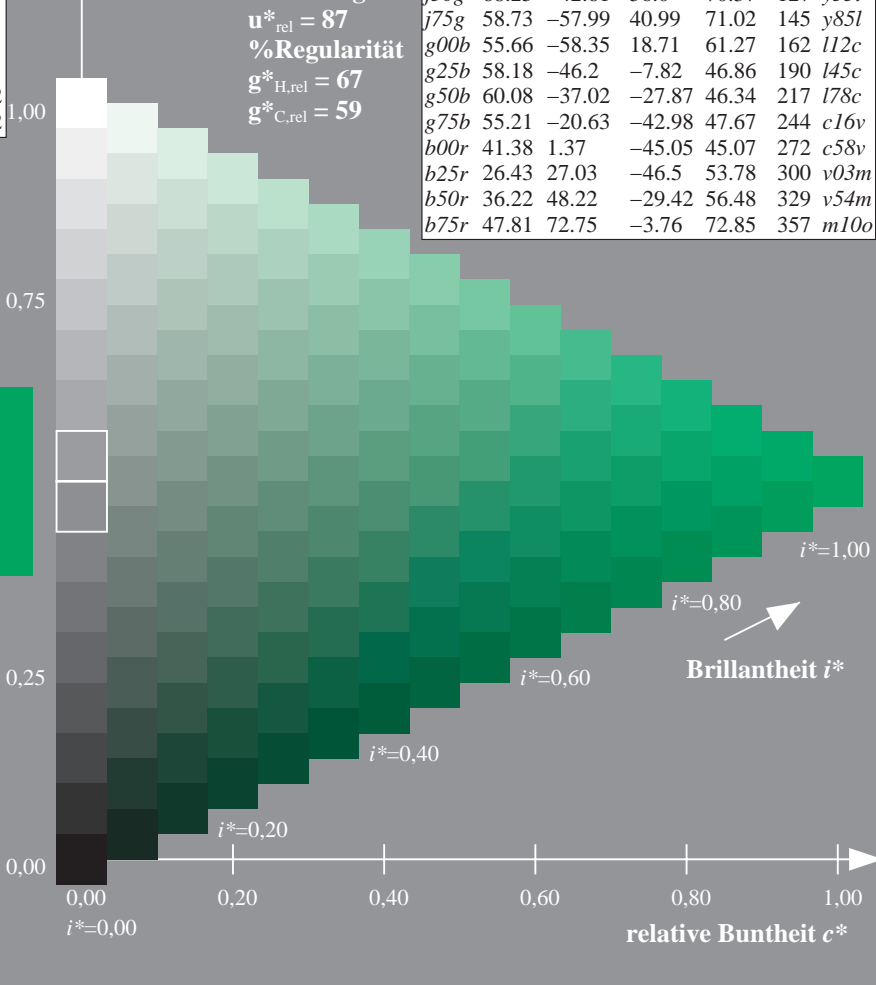
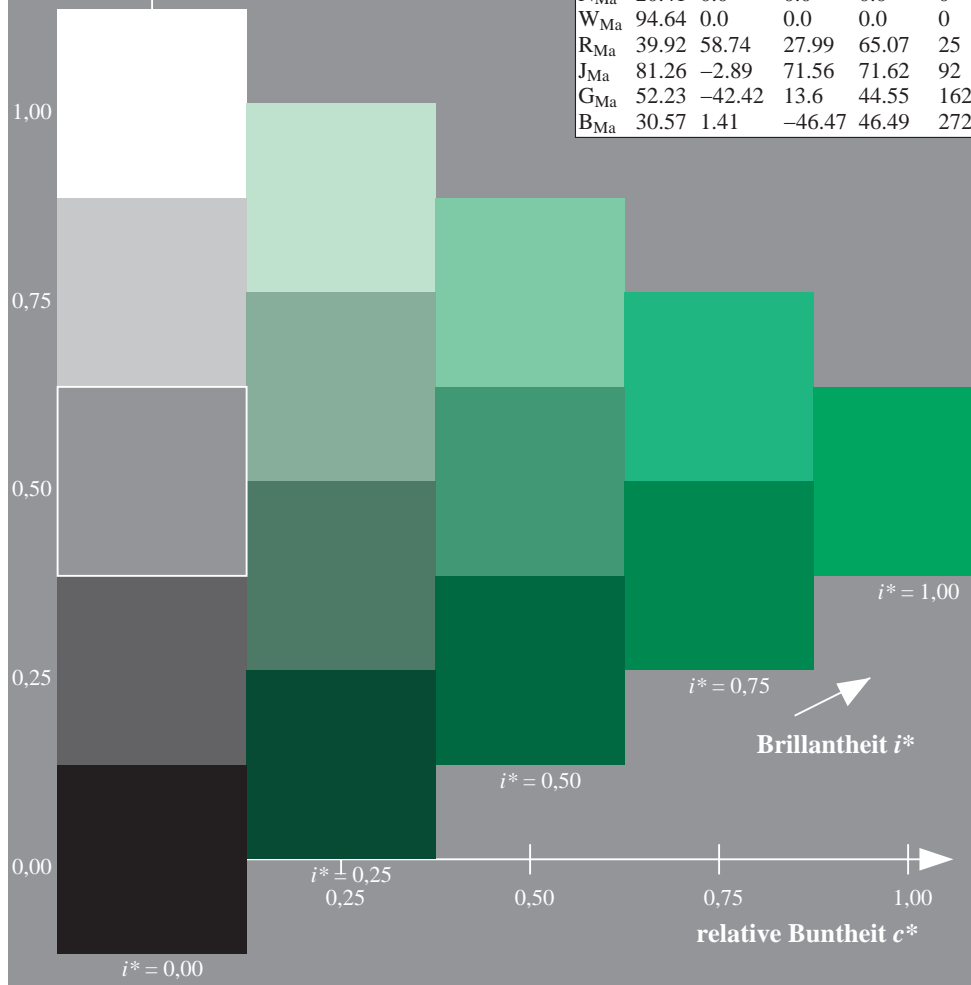
%Regularität

$g^*_{H,rel} = 67$

$g^*_{C,rel} = 59$

ORS20_95a; adaptierte CIELAB-Daten

	u^*_e	$L^*=L^*_a$	a^*_a	b^*_a	$C^*_{ab,a}$	$h^*_{ab,a}$	u^*_d
r00j	47.06	67.41	32.12	74.67	25	m84o	
r25j	53.95	53.38	48.38	72.04	42	o17y	
r50j	63.6	35.87	59.45	69.43	59	o42y	
r75j	73.37	18.14	70.66	72.95	76	o68y	
j00g	85.24	-3.4	84.28	84.35	92	o93y	
j25g	78.53	-25.99	72.23	76.76	110	y24l	
j50g	68.25	-42.61	56.0	70.37	127	y55l	
j75g	58.73	-57.99	40.99	71.02	145	y85l	
g00b	55.66	-58.35	18.71	61.27	162	l12c	
g25b	58.18	-46.2	-7.82	46.86	190	l45c	
g50b	60.08	-37.02	-27.87	46.34	217	l78c	
g75b	55.21	-20.63	-42.98	47.67	244	c16v	
b00r	41.38	1.37	-45.05	45.07	272	c58v	
b25r	26.43	27.03	-46.5	53.78	300	v03m	
b50r	36.22	48.22	-29.42	56.48	329	v54m	
b75r	47.81	72.75	-3.76	72.85	357	m10o	



Siehe ähnliche Dateien: <http://www.ps.bam.de/Eg39/>; www.ps.bam.de/Eg.HTM
 Technische Information: <http://www.ps.bam.de> Version 2.1, io=1,1, ColSpx=1

BAM-Registrierung: 20081001-Eg39/10L/L39G00NA.PS/.TXT BAM-Material: Code=rh4ta
 Anwendung für Beurteilung und Messung von Drucker- oder Monitorssystemen

Ein und Ausgabe: Farbmetrisches Drucker-Reflektiv-System ORS20_95a für relativen CIELAB-Buntton $h^* = lab^*h^* = h_{ab}/360 = 0.527$ $u^*_e = g25b$

Daten für jede Farbe:

lab^*ch^* und lab^*icu^*

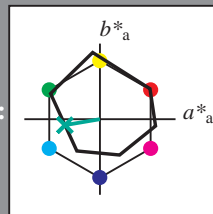
Bunttontexte:

$u^*_e = g25b$ $u^*_d = l45c$

Kontrastreduzierungsfaktor:

$c_R = 1.0$

Dreiecks-Helligkeit i^*



ORS20_95a; adaptierte CIELAB-Daten

	u^*_e	$L^*=L^*_a$	a^*_a	b^*_a	$C^*_{ab,a}$	$h^*_{ab,a}$
O _{Ma}	46.89	66.19	40.28	77.48	31	
Y _{Ma}	88.66	-9.62	88.21	88.73	96	
L _{Ma}	54.22	-65.29	33.87	73.56	153	
C _{Ma}	61.43	-30.53	-42.04	51.96	234	
V _{Ma}	25.93	25.95	-47.37	54.01	299	
M _{Ma}	47.92	73.53	-9.02	74.08	353	
N _{Ma}	20.41	0.0	0.0	0.0	0	
W _{Ma}	94.64	0.0	0.0	0.0	0	
R _{Ma}	39.92	58.74	27.99	65.07	25	
J _{Ma}	81.26	-2.89	71.56	71.62	92	
G _{Ma}	52.23	-42.42	13.6	44.55	162	
B _{Ma}	30.57	1.41	-46.47	46.49	272	

Daten für Maximalfarbe (Ma):

$LAB^*LAB^*_{Ma}$: 58 -46 -8

$LAB^*LCH^*_{Ma}$: 58 47 189

$lab^*rgb^*_{Ma}$: 0.0 1.0 0.5

$lab^*olv^*_{Ma}$: 0.0 1.0 0.45

Dreiecks-Helligkeit i^*

%Umfang

$u^*_{rel} = 87$

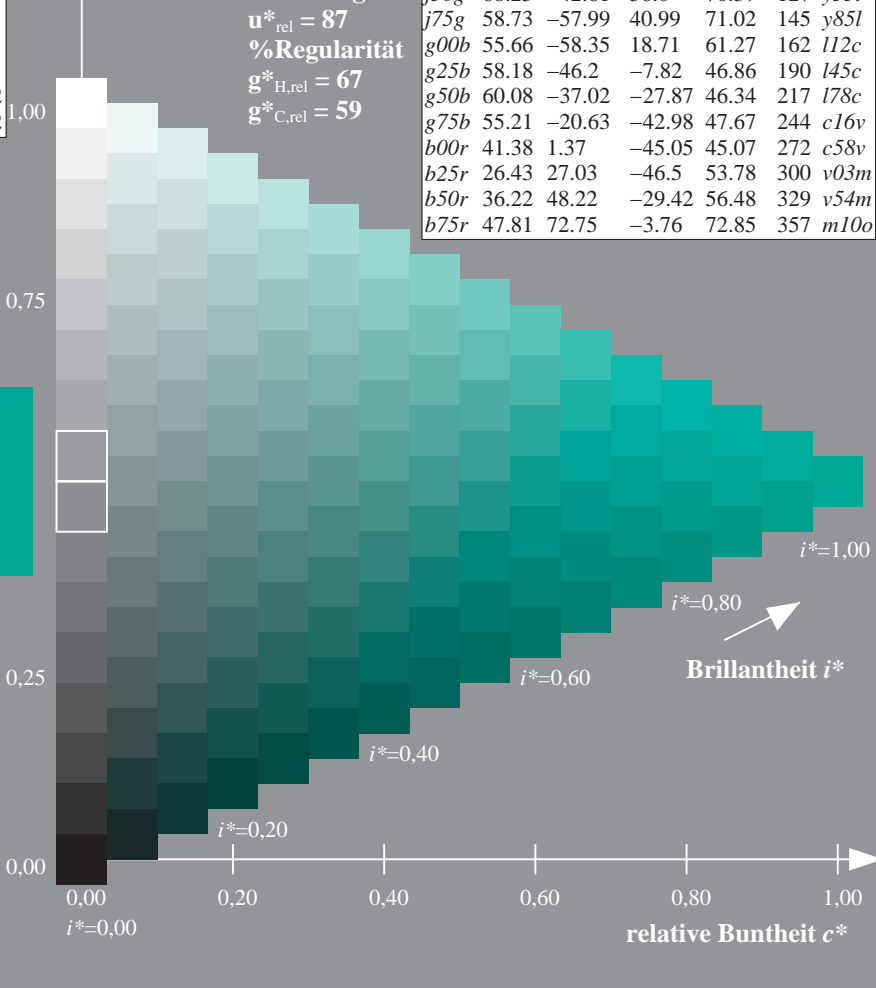
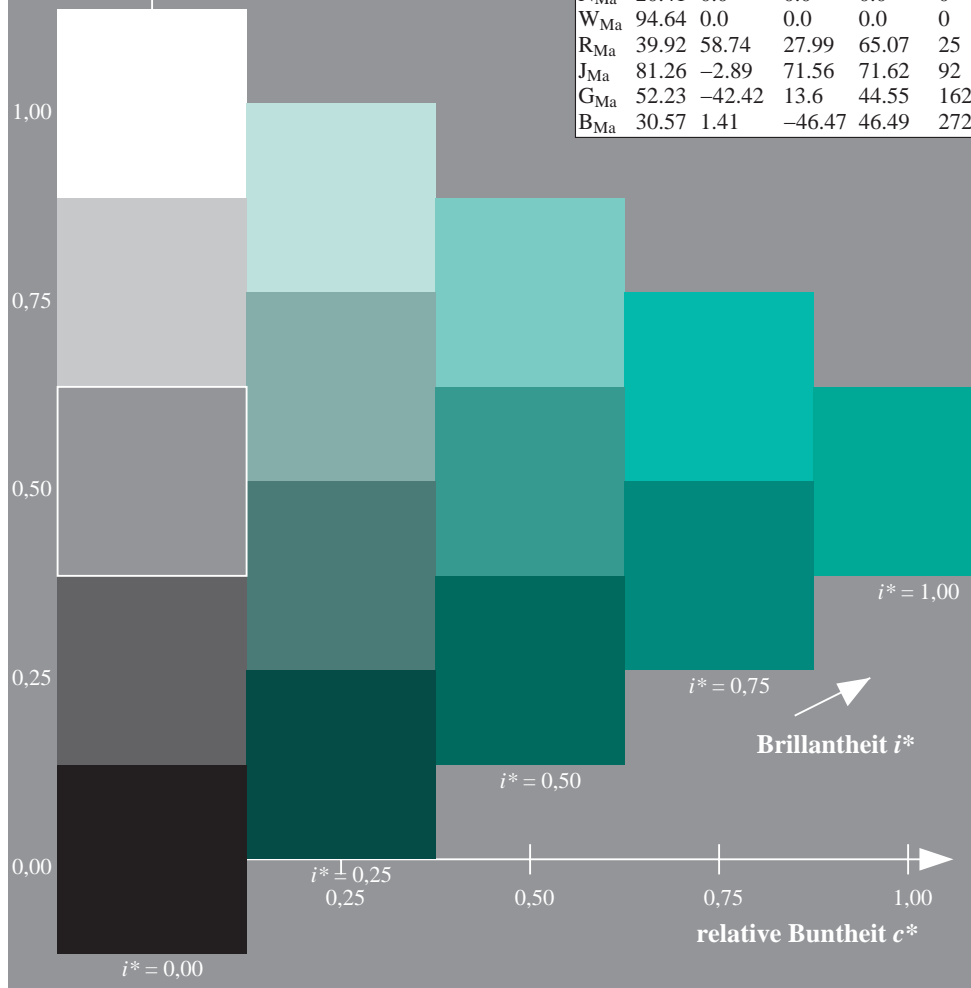
%Regularität

$g^*_{H,rel} = 67$

$g^*_{C,rel} = 59$

ORS20_95a; adaptierte CIELAB-Daten

	u^*_e	$L^*=L^*_a$	a^*_a	b^*_a	$C^*_{ab,a}$	$h^*_{ab,a}$	u^*_d
r00j	47.06	67.41	32.12	74.67	25	m84o	
r25j	53.95	53.38	48.38	72.04	42	o17y	
r50j	63.6	35.87	59.45	69.43	59	o42y	
r75j	73.37	18.14	70.66	72.95	76	o68y	
j00g	85.24	-3.4	84.28	84.35	92	o93y	
j25g	78.53	-25.99	72.23	76.76	110	y24l	
j50g	68.25	-42.61	56.0	70.37	127	y55l	
j75g	58.73	-57.99	40.99	71.02	145	y85l	
g00b	55.66	-58.35	18.71	61.27	162	l12c	
g25b	58.18	-46.2	-7.82	46.86	190	l45c	
g50b	60.08	-37.02	-27.87	46.34	217	l78c	
g75b	55.21	-20.63	-42.98	47.67	244	c16v	
b00r	41.38	1.37	-45.05	45.07	272	c58v	
b25r	26.43	27.03	-46.5	53.78	300	v03m	
b50r	36.22	48.22	-29.42	56.48	329	v54m	
b75r	47.81	72.75	-3.76	72.85	357	m10o	



Siehe ähnliche Dateien: <http://www.ps.bam.de/Eg39/>; www.ps.bam.de/Eg.HTM
 Technische Information: <http://www.ps.bam.de> Version 2.1, io=1,1, ColSpx=1

BAM-Registrierung: 20081001-Eg39/10L/L39G00NA.PS/.TXT BAM-Material: Code=rh4ta
 Anwendung für Beurteilung und Messung von Drucker- oder Monitorssystemen

Ein und Ausgabe: Farbmetrisches Drucker-Reflektiv-System ORS20_95a für relativen CIELAB-Buntton $h^* = lab^*h^* = h_{ab}/360 = 0.603$ $u^*_e = g50b$

Daten für jede Farbe:

lab^*ch^* und lab^*icu^*

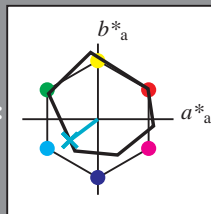
Buntontexte:

$u^*_e = g50b$ $u^*_d = l78c$

Kontrastreduzierungsfaktor:

$c_R = 1.0$

Dreiecks-Helligkeit i^*



ORS20_95a; adaptierte CIELAB-Daten

	u^*_e	$L^*=L^*_a$	a^*_a	b^*_a	$C^*_{ab,a}$	$h^*_{ab,a}$
O _{Ma}	46.89	66.19	40.28	77.48	31	
Y _{Ma}	88.66	-9.62	88.21	88.73	96	
L _{Ma}	54.22	-65.29	33.87	73.56	153	
C _{Ma}	61.43	-30.53	-42.04	51.96	234	
V _{Ma}	25.93	25.95	-47.37	54.01	299	
M _{Ma}	47.92	73.53	-9.02	74.08	353	
N _{Ma}	20.41	0.0	0.0	0.0	0	
W _{Ma}	94.64	0.0	0.0	0.0	0	
R _{Ma}	39.92	58.74	27.99	65.07	25	
J _{Ma}	81.26	-2.89	71.56	71.62	92	
G _{Ma}	52.23	-42.42	13.6	44.55	162	
B _{Ma}	30.57	1.41	-46.47	46.49	272	

Daten für Maximalfarbe (Ma):

$LAB^*LAB^*_{Ma}$: 60 -37 -28

$LAB^*LCH^*_{Ma}$: 60 46 216

$lab^*rgb^*_{Ma}$: 0.0 1.0 1.0

$lab^*olv^*_{Ma}$: 0.0 1.0 0.79

Dreiecks-Helligkeit i^*

%Umfang

$u^*_{rel} = 87$

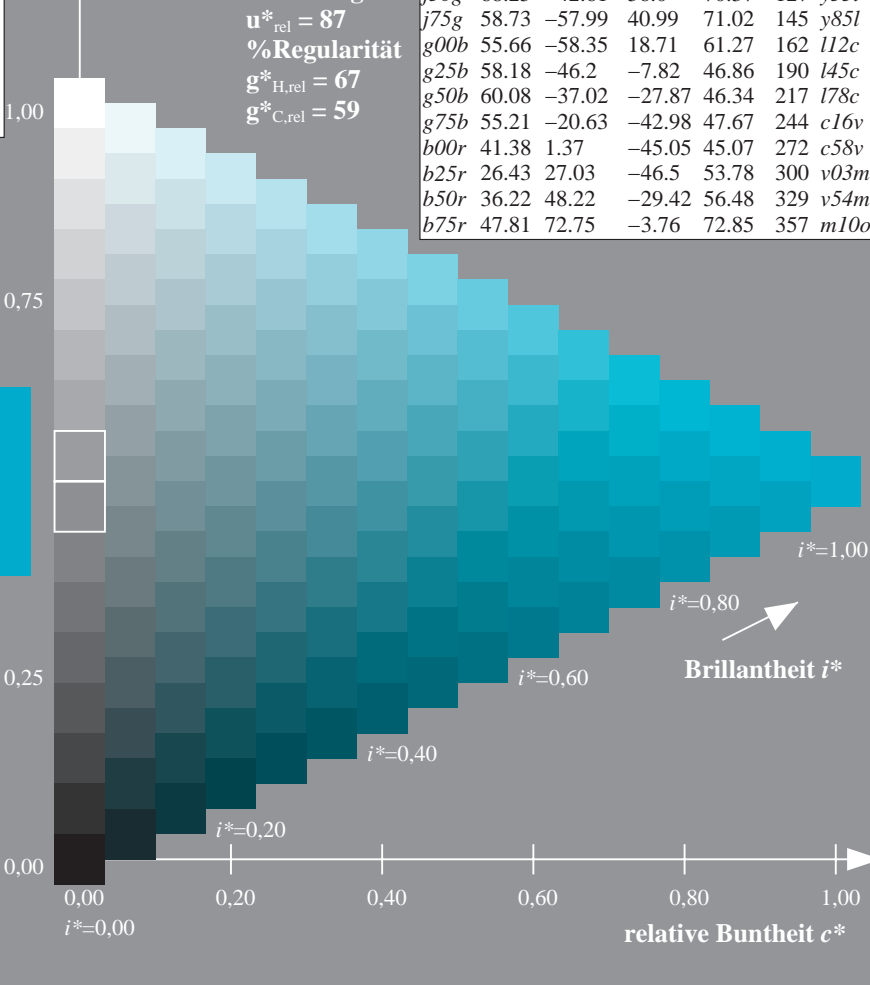
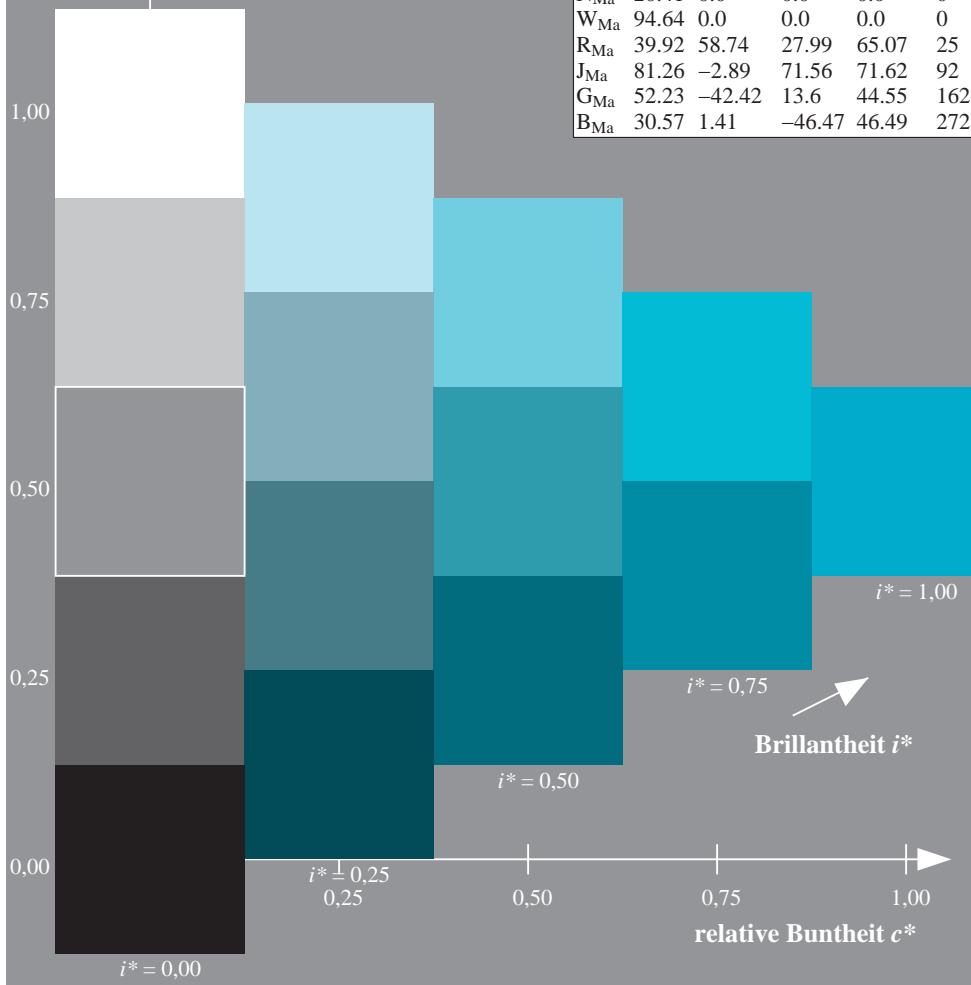
%Regularität

$g^*_{H,rel} = 67$

$g^*_{C,rel} = 59$

ORS20_95a; adaptierte CIELAB-Daten

	u^*_e	$L^*=L^*_a$	a^*_a	b^*_a	$C^*_{ab,a}$	$h^*_{ab,a}$	u^*_d
r00j	47.06	67.41	32.12	74.67	25	m84o	
r25j	53.95	53.38	48.38	72.04	42	o17y	
r50j	63.6	35.87	59.45	69.43	59	o42y	
r75j	73.37	18.14	70.66	72.95	76	o68y	
j00g	85.24	-3.4	84.28	84.35	92	o93y	
j25g	78.53	-25.99	72.23	76.76	110	y24l	
j50g	68.25	-42.61	56.0	70.37	127	y55l	
j75g	58.73	-57.99	40.99	71.02	145	y85l	
g00b	55.66	-58.35	18.71	61.27	162	l12c	
g25b	58.18	-46.2	-7.82	46.86	190	l45c	
g50b	60.08	-37.02	-27.87	46.34	217	l78c	
g75b	55.21	-20.63	-42.98	47.67	244	c16v	
b00r	41.38	1.37	-45.05	45.07	272	c58v	
b25r	26.43	27.03	-46.5	53.78	300	v03m	
b50r	36.22	48.22	-29.42	56.48	329	v54m	
b75r	47.81	72.75	-3.76	72.85	357	m10o	



Siehe ähnliche Dateien: <http://www.ps.bam.de/Eg39/>; www.ps.bam.de/Eg.HTM
 Technische Information: <http://www.ps.bam.de> Version 2.1, io=1,1, ColSpx=1

BAM-Registrierung: 20081001-Eg39/10L/L39G00NA.PS/.TXT BAM-Material: Code=rh4ta
 Anwendung für Beurteilung und Messung von Drucker- oder Monitorssystemen

Ein und Ausgabe: Farbmetrisches Drucker-Reflektiv-System ORS20_95a für relativen CIELAB-Buntton $h^* = lab^*h^* = h_{ab}/360 = 0.679$ $u^*_e = g75b$

Daten für jede Farbe:

lab^*tch^* und lab^*icu^*

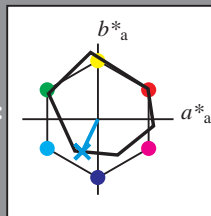
Buntontexte:

$u^*_e = g75b$ $u^*_d = c16v$

Kontrastreduzierungsfaktor:

$c_R = 1.0$

Dreiecks-Helligkeit i^*



ORS20_95a; adaptierte CIELAB-Daten

	u^*_e	$L^*=L^*_a$	a^*_a	b^*_a	$C^*_{ab,a}$	$h^*_{ab,a}$
O _{Ma}	46.89	66.19	40.28	77.48	31	
Y _{Ma}	88.66	-9.62	88.21	88.73	96	
L _{Ma}	54.22	-65.29	33.87	73.56	153	
C _{Ma}	61.43	-30.53	-42.04	51.96	234	
V _{Ma}	25.93	25.95	-47.37	54.01	299	
M _{Ma}	47.92	73.53	-9.02	74.08	353	
N _{Ma}	20.41	0.0	0.0	0.0	0	
W _{Ma}	94.64	0.0	0.0	0.0	0	
R _{Ma}	39.92	58.74	27.99	65.07	25	
J _{Ma}	81.26	-2.89	71.56	71.62	92	
G _{Ma}	52.23	-42.42	13.6	44.55	162	
B _{Ma}	30.57	1.41	-46.47	46.49	272	

Daten für Maximalfarbe (Ma):

$LAB^*LAB^*_{Ma}$: 55 -21 -43

$LAB^*LCH^*_{Ma}$: 55 48 244

$lab^*rgb^*_{Ma}$: 0.0 0.5 1.0

$lab^*olv^*_{Ma}$: 0.0 0.84 1.0

Dreiecks-Helligkeit i^*

%Umfang

$u^*_{rel} = 87$

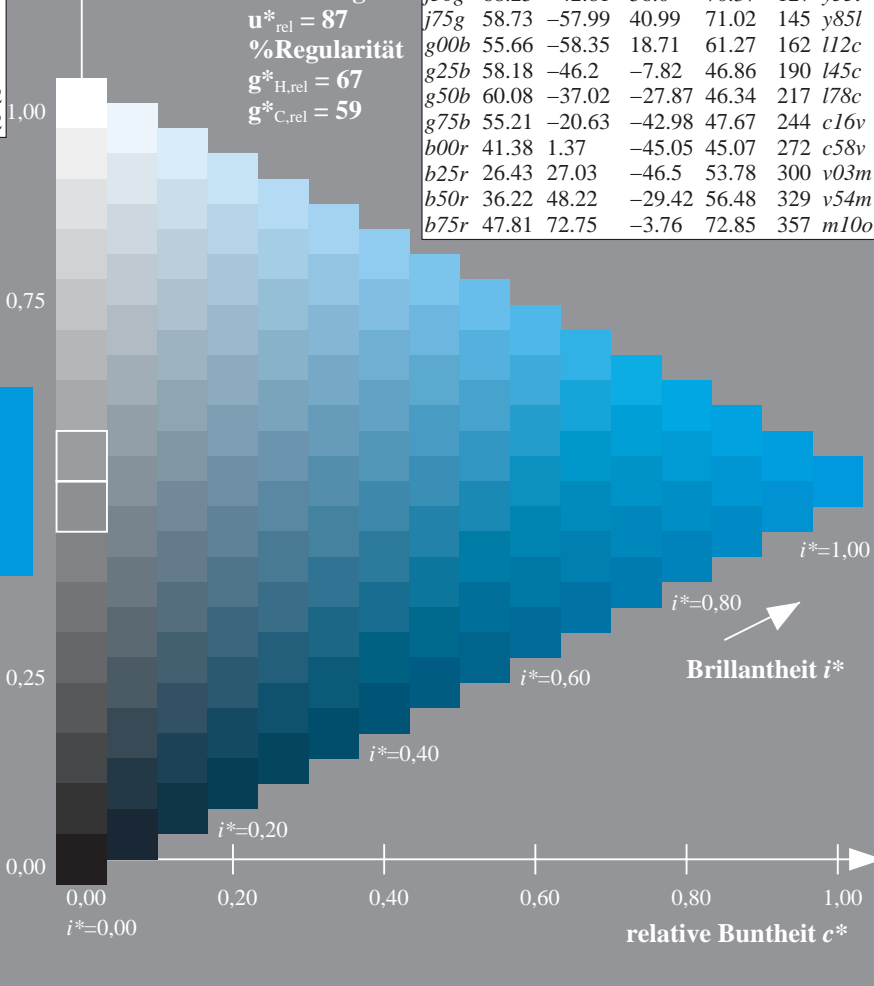
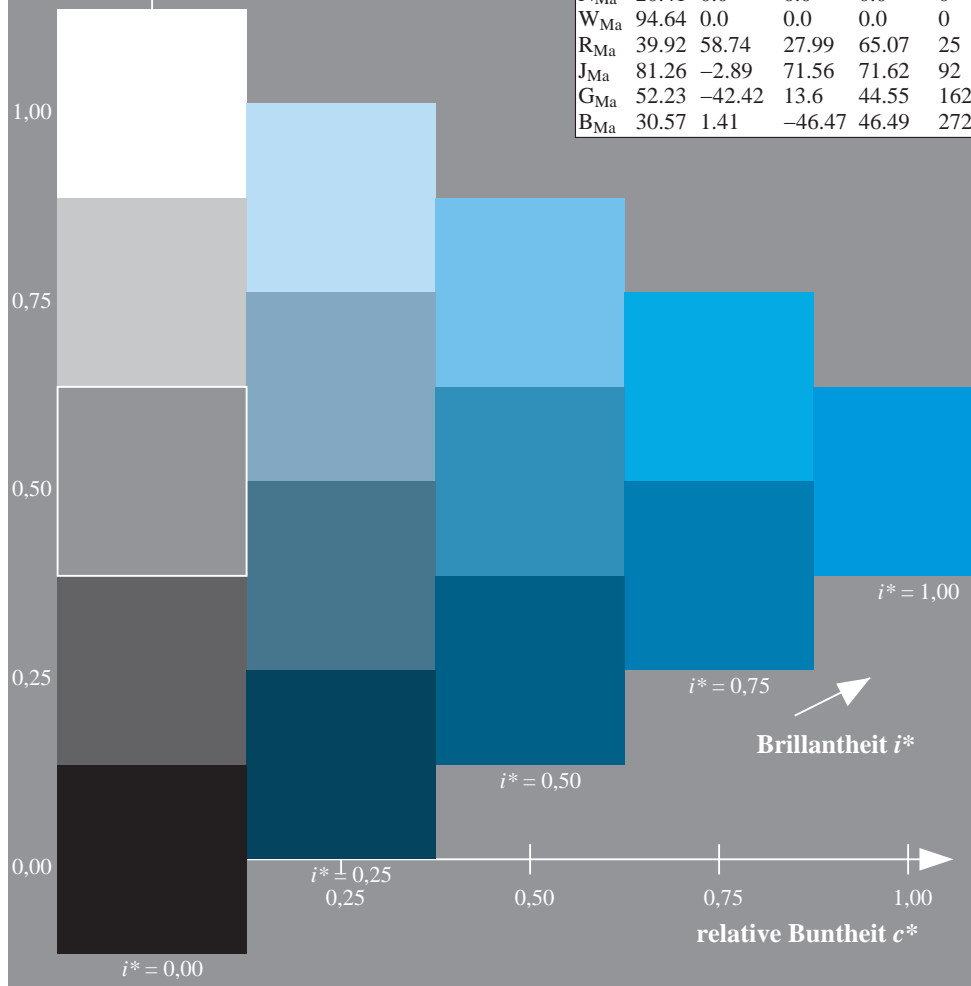
%Regularität

$g^*_{H,rel} = 67$

$g^*_{C,rel} = 59$

ORS20_95a; adaptierte CIELAB-Daten

	u^*_e	$L^*=L^*_a$	a^*_a	b^*_a	$C^*_{ab,a}$	$h^*_{ab,a}$	u^*_d
r00j	47.06	67.41	32.12	74.67	25	m84o	
r25j	53.95	53.38	48.38	72.04	42	o17y	
r50j	63.6	35.87	59.45	69.43	59	o42y	
r75j	73.37	18.14	70.66	72.95	76	o68y	
j00g	85.24	-3.4	84.28	84.35	92	o93y	
j25g	78.53	-25.99	72.23	76.76	110	y24l	
j50g	68.25	-42.61	56.0	70.37	127	y55l	
j75g	58.73	-57.99	40.99	71.02	145	y85l	
g00b	55.66	-58.35	18.71	61.27	162	l12c	
g25b	58.18	-46.2	-7.82	46.86	190	l45c	
g50b	60.08	-37.02	-27.87	46.34	217	l78c	
g75b	55.21	-20.63	-42.98	47.67	244	c16v	
b00r	41.38	1.37	-45.05	45.07	272	c58v	
b25r	26.43	27.03	-46.5	53.78	300	v03m	
b50r	36.22	48.22	-29.42	56.48	329	v54m	
b75r	47.81	72.75	-3.76	72.85	357	m10o	



Siehe ähnliche Dateien: <http://www.ps.bam.de/Eg39/>; www.ps.bam.de/Eg39/HTM
 Technische Information: <http://www.ps.bam.de> Version 2.1, io=1,1, ColSpx=1

BAM-Registrierung: 20081001-Eg39/10L/L39G00NA.PS/.TXT BAM-Material: Code=rh4ta
 Anwendung für Beurteilung und Messung von Drucker- oder Monitorssystemen

Ein und Ausgabe: Farbmetrisches Drucker-Reflektiv-System ORS20_95a für relativen CIELAB-Buntton $h^* = lab^*h^* = h_{ab}/360 = 0.755$ $u^*_e = b00r$

Daten für jede Farbe:

lab^*ch^* und lab^*icu^*

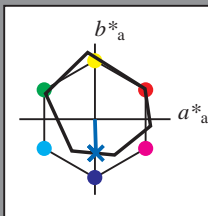
Buntontexte:

$u^*_e = b00r$ $u^*_d = c58v$

Kontrastreduzierungsfaktor:

$c_R = 1.0$

Dreiecks-Helligkeit i^*



ORS20_95a; adaptierte CIELAB-Daten

	u^*_e	$L^*=L^*_a$	a^*_a	b^*_a	$C^*_{ab,a}$	$h^*_{ab,a}$
O _{Ma}	46.89	66.19	40.28	77.48	31	
Y _{Ma}	88.66	-9.62	88.21	88.73	96	
L _{Ma}	54.22	-65.29	33.87	73.56	153	
C _{Ma}	61.43	-30.53	-42.04	51.96	234	
V _{Ma}	25.93	25.95	-47.37	54.01	299	
M _{Ma}	47.92	73.53	-9.02	74.08	353	
N _{Ma}	20.41	0.0	0.0	0.0	0	
W _{Ma}	94.64	0.0	0.0	0.0	0	
R _{Ma}	39.92	58.74	27.99	65.07	25	
J _{Ma}	81.26	-2.89	71.56	71.62	92	
G _{Ma}	52.23	-42.42	13.6	44.55	162	
B _{Ma}	30.57	1.41	-46.47	46.49	272	

Daten für Maximalfarbe (Ma):

$LAB^*LAB^*_{Ma}$: 41 1 -45

$LAB^*LCH^*_{Ma}$: 41 45 271

$lab^*rgb^*_{Ma}$: 0.0 0.0 1.0

$lab^*olv^*_{Ma}$: 0.0 0.42 1.0

Dreiecks-Helligkeit i^*

%Umfang

$u^*_{rel} = 87$

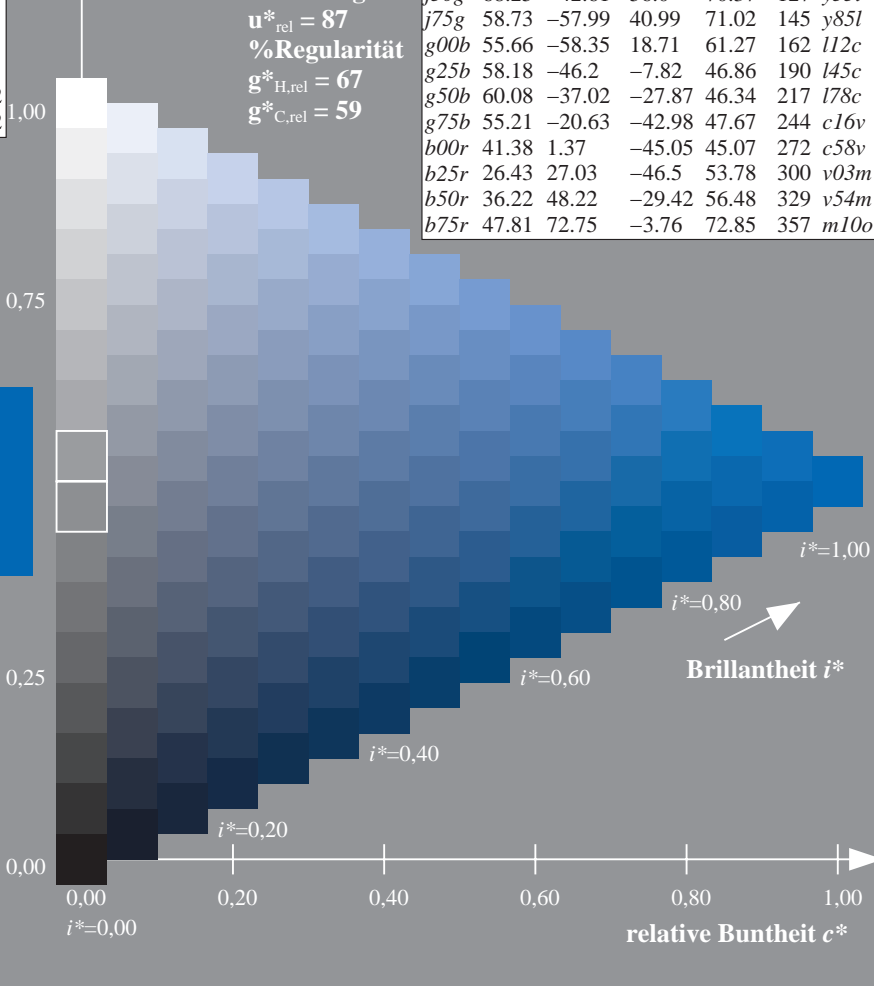
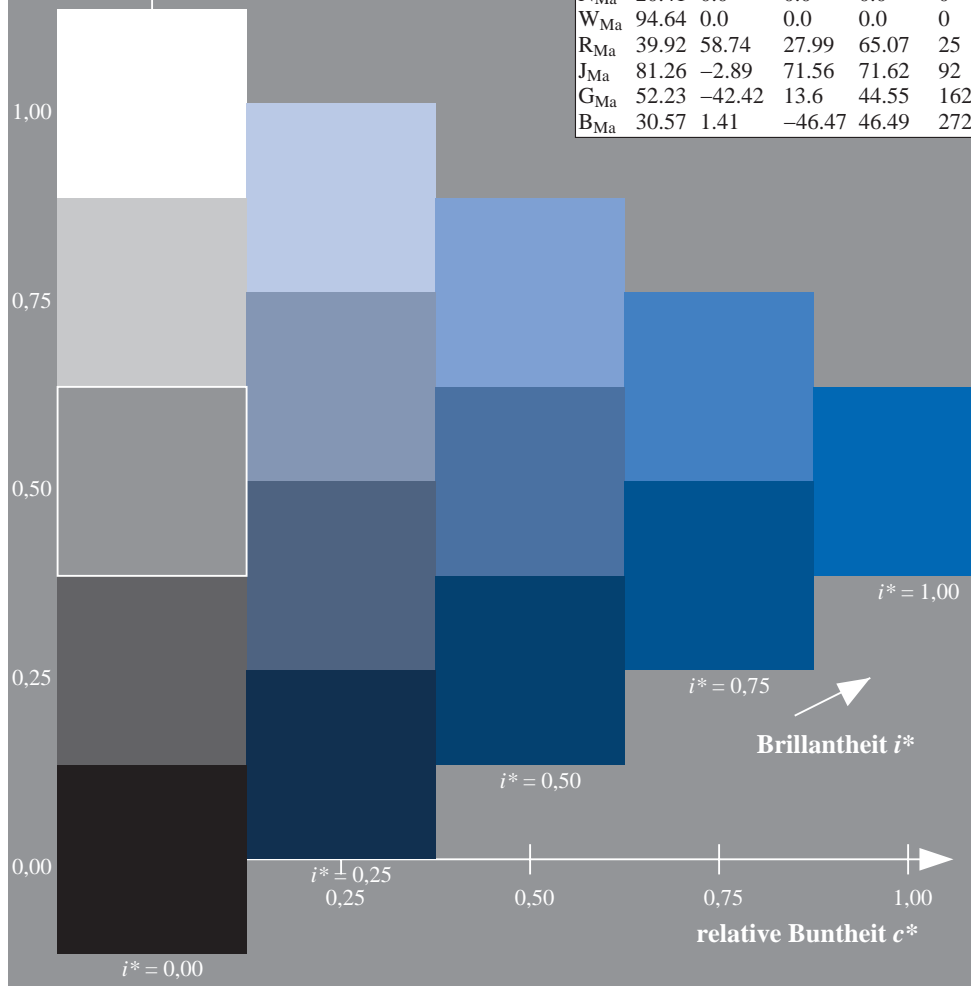
%Regularität

$g^*_{H,rel} = 67$

$g^*_{C,rel} = 59$

ORS20_95a; adaptierte CIELAB-Daten

	u^*_e	$L^*=L^*_a$	a^*_a	b^*_a	$C^*_{ab,a}$	$h^*_{ab,a}$	u^*_d
r00j	47.06	67.41	32.12	74.67	25	m84o	
r25j	53.95	53.38	48.38	72.04	42	o17y	
r50j	63.6	35.87	59.45	69.43	59	o42y	
r75j	73.37	18.14	70.66	72.95	76	o68y	
j00g	85.24	-3.4	84.28	84.35	92	o93y	
j25g	78.53	-25.99	72.23	76.76	110	y24l	
j50g	68.25	-42.61	56.0	70.37	127	y55l	
j75g	58.73	-57.99	40.99	71.02	145	y85l	
g00b	55.66	-58.35	18.71	61.27	162	l12c	
g25b	58.18	-46.2	-7.82	46.86	190	l45c	
g50b	60.08	-37.02	-27.87	46.34	217	l78c	
g75b	55.21	-20.63	-42.98	47.67	244	c16v	
b00r	41.38	1.37	-45.05	45.07	272	c58v	
b25r	26.43	27.03	-46.5	53.78	300	v03m	
b50r	36.22	48.22	-29.42	56.48	329	v54m	
b75r	47.81	72.75	-3.76	72.85	357	m10o	



Siehe ähnliche Dateien: <http://www.ps.bam.de/Eg39/>; www.ps.bam.de/Eg.HTM
 Technische Information: <http://www.ps.bam.de> Version 2.1, io=1,1, ColSpx=1

BAM-Registrierung: 20081001-Eg39/10L/L39G00NA.PS/.TXT BAM-Material: Code=rh4ta
 Anwendung für Beurteilung und Messung von Drucker- oder Monitorssystemen

Ein und Ausgabe: Farbmetrisches Drucker-Reflektiv-System ORS20_95a für relativen CIELAB-Buntton $h^* = lab^*h^* = h_{ab}/360 = 0.834$ $u^*_e = b25r$

Daten für jede Farbe:

lab^*ch^* und lab^*icu^*

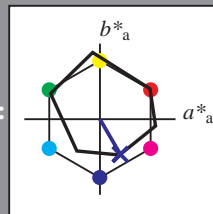
Bunttontexte:

$u^*_e = b25r$ $u^*_d = v03m$

Kontrastreduzierungsfaktor:

$c_R = 1.0$

Dreiecks-Helligkeit i^*



ORS20_95a; adaptierte CIELAB-Daten

	u^*_e	$L^*=L^*_a$	a^*_a	b^*_a	$C^*_{ab,a}$	$h^*_{ab,a}$
O _{Ma}	46.89	66.19	40.28	77.48	31	
Y _{Ma}	88.66	-9.62	88.21	88.73	96	
L _{Ma}	54.22	-65.29	33.87	73.56	153	
C _{Ma}	61.43	-30.53	-42.04	51.96	234	
V _{Ma}	25.93	25.95	-47.37	54.01	299	
M _{Ma}	47.92	73.53	-9.02	74.08	353	
N _{Ma}	20.41	0.0	0.0	0.0	0	
W _{Ma}	94.64	0.0	0.0	0.0	0	
R _{Ma}	39.92	58.74	27.99	65.07	25	
J _{Ma}	81.26	-2.89	71.56	71.62	92	
G _{Ma}	52.23	-42.42	13.6	44.55	162	
B _{Ma}	30.57	1.41	-46.47	46.49	272	

Daten für Maximalfarbe (Ma):

$LAB^*LAB^*_{Ma}$: 26 27 -46

$LAB^*LCH^*_{Ma}$: 26 54 300

$lab^*rgb^*_{Ma}$: 0.5 0.0 1.0

$lab^*olv^*_{Ma}$: 0.03 0.0 1.0

Dreiecks-Helligkeit i^*

%Umfang

$u^*_{rel} = 87$

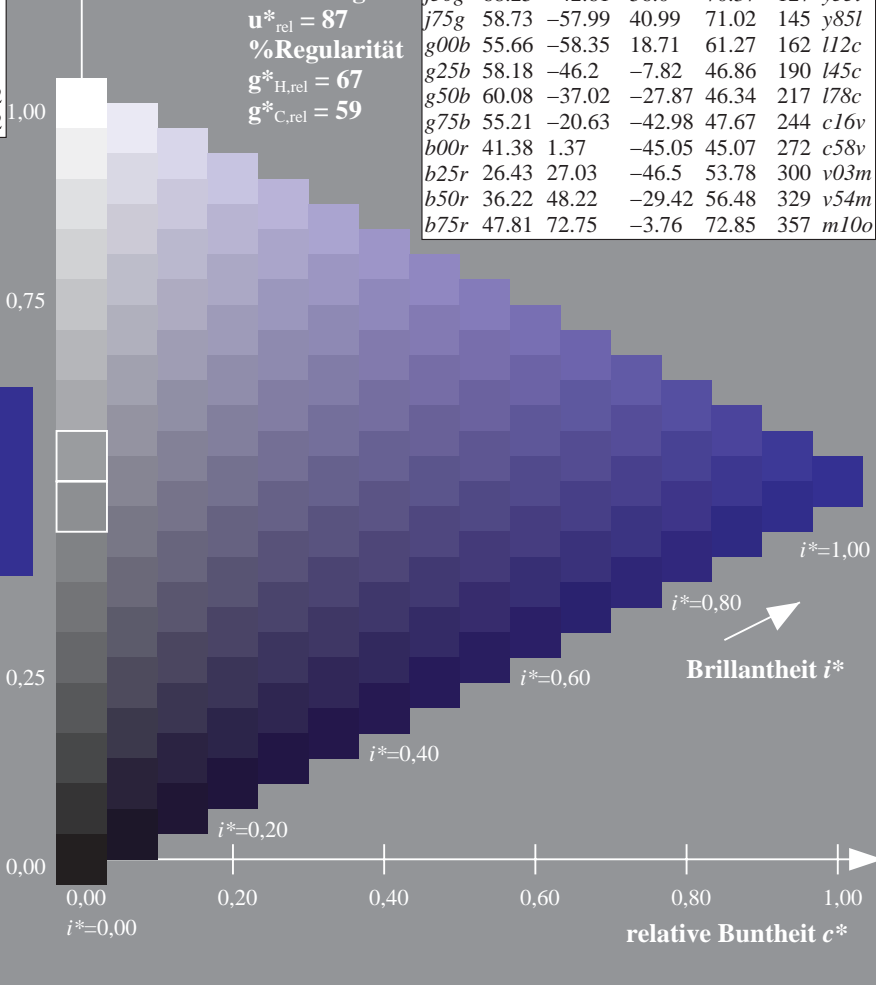
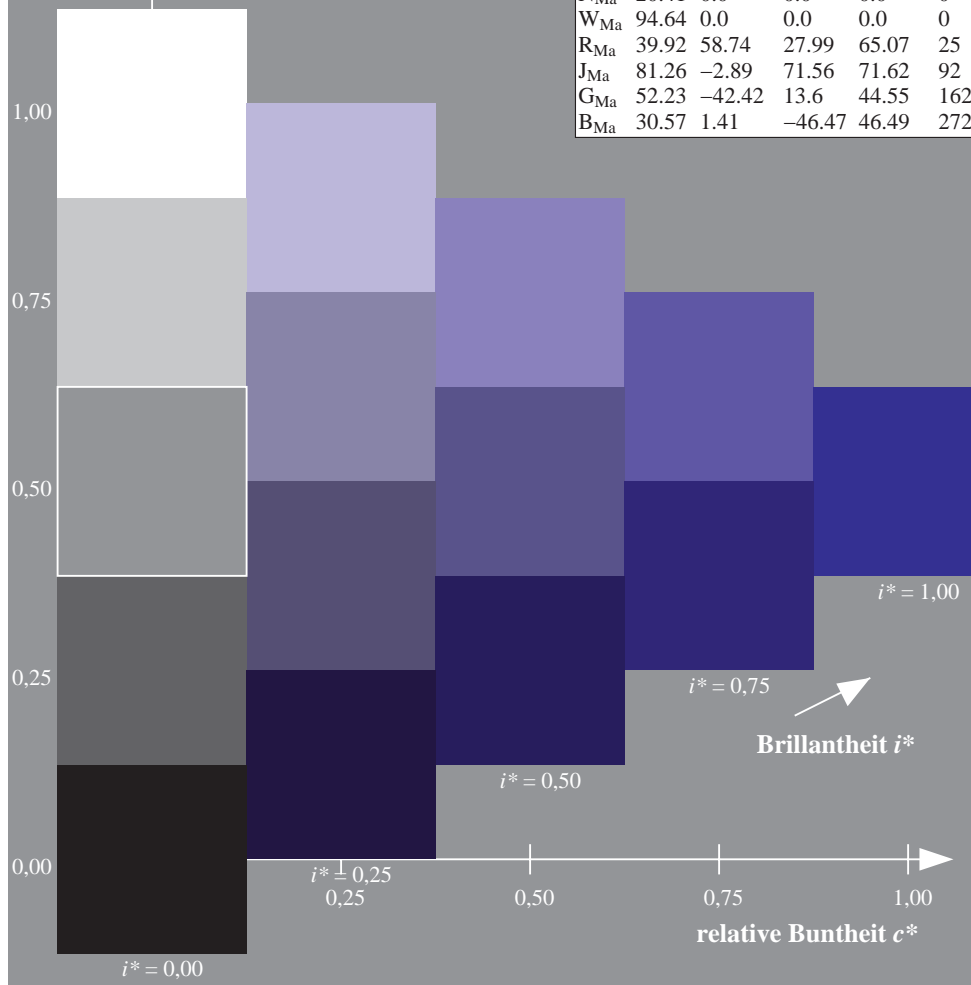
%Regularität

$g^*_{H,rel} = 67$

$g^*_{C,rel} = 59$

ORS20_95a; adaptierte CIELAB-Daten

	u^*_e	$L^*=L^*_a$	a^*_a	b^*_a	$C^*_{ab,a}$	$h^*_{ab,a}$	u^*_d
r00j	47.06	67.41	32.12	74.67	25	m84o	
r25j	53.95	53.38	48.38	72.04	42	o17y	
r50j	63.6	35.87	59.45	69.43	59	o42y	
r75j	73.37	18.14	70.66	72.95	76	o68y	
j00g	85.24	-3.4	84.28	84.35	92	o93y	
j25g	78.53	-25.99	72.23	76.76	110	y24l	
j50g	68.25	-42.61	56.0	70.37	127	y55l	
j75g	58.73	-57.99	40.99	71.02	145	y85l	
g00b	55.66	-58.35	18.71	61.27	162	l12c	
g25b	58.18	-46.2	-7.82	46.86	190	l45c	
g50b	60.08	-37.02	-27.87	46.34	217	l78c	
g75b	55.21	-20.63	-42.98	47.67	244	c16v	
b00r	41.38	1.37	-45.05	45.07	272	c58v	
b25r	26.43	27.03	-46.5	53.78	300	v03m	
b50r	36.22	48.22	-29.42	56.48	329	v54m	
b75r	47.81	72.75	-3.76	72.85	357	m10o	



Siehe ähnliche Dateien: <http://www.ps.bam.de/Eg39/>; www.ps.bam.de/Eg.HTM
 Technische Information: <http://www.ps.bam.de> Version 2.1, io=1,1, ColSpx=1

BAM-Registrierung: 20081001-Eg39/10L/L39G00NA.PS/.TXT BAM-Material: Code=rh4ta
 Anwendung für Beurteilung und Messung von Drucker- oder Monitorssystemen

Ein und Ausgabe: Farbmetrisches Drucker-Reflektiv-System ORS20_95a für relativen CIELAB-Buntton $h^* = lab^*h^* = h_{ab}/360 = 0.913$ $u^*_e = b50r$

Daten für jede Farbe:

lab^*ch^* und lab^*icu^*

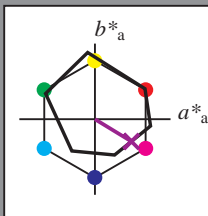
Bunttontexte:

$u^*_e = b50r$ $u^*_d = v54m$

Kontrastreduzierungsfaktor:

$c_R = 1.0$

Dreiecks-Helligkeit i^*



ORS20_95a; adaptierte CIELAB-Daten						
	u^*_e	$L^*=L^*_a$	a^*_a	b^*_a	$C^*_{ab,a}$	$h^*_{ab,a}$
O _{Ma}	46.89	66.19	40.28	77.48	31	
Y _{Ma}	88.66	-9.62	88.21	88.73	96	
L _{Ma}	54.22	-65.29	33.87	73.56	153	
C _{Ma}	61.43	-30.53	-42.04	51.96	234	
V _{Ma}	25.93	25.95	-47.37	54.01	299	
M _{Ma}	47.92	73.53	-9.02	74.08	353	
N _{Ma}	20.41	0.0	0.0	0.0	0	
W _{Ma}	94.64	0.0	0.0	0.0	0	
R _{Ma}	39.92	58.74	27.99	65.07	25	
J _{Ma}	81.26	-2.89	71.56	71.62	92	
G _{Ma}	52.23	-42.42	13.6	44.55	162	
B _{Ma}	30.57	1.41	-46.47	46.49	272	

Daten für Maximalfarbe (Ma):

$LAB^*LAB^*_{Ma}$: 36 48 -29

$LAB^*LCH^*_{Ma}$: 36 56 328

$lab^*rgb^*_{Ma}$: 1.0 0.0 1.0

$lab^*olv^*_{Ma}$: 0.55 0.0 1.0

Dreiecks-Helligkeit i^*

%Umfang

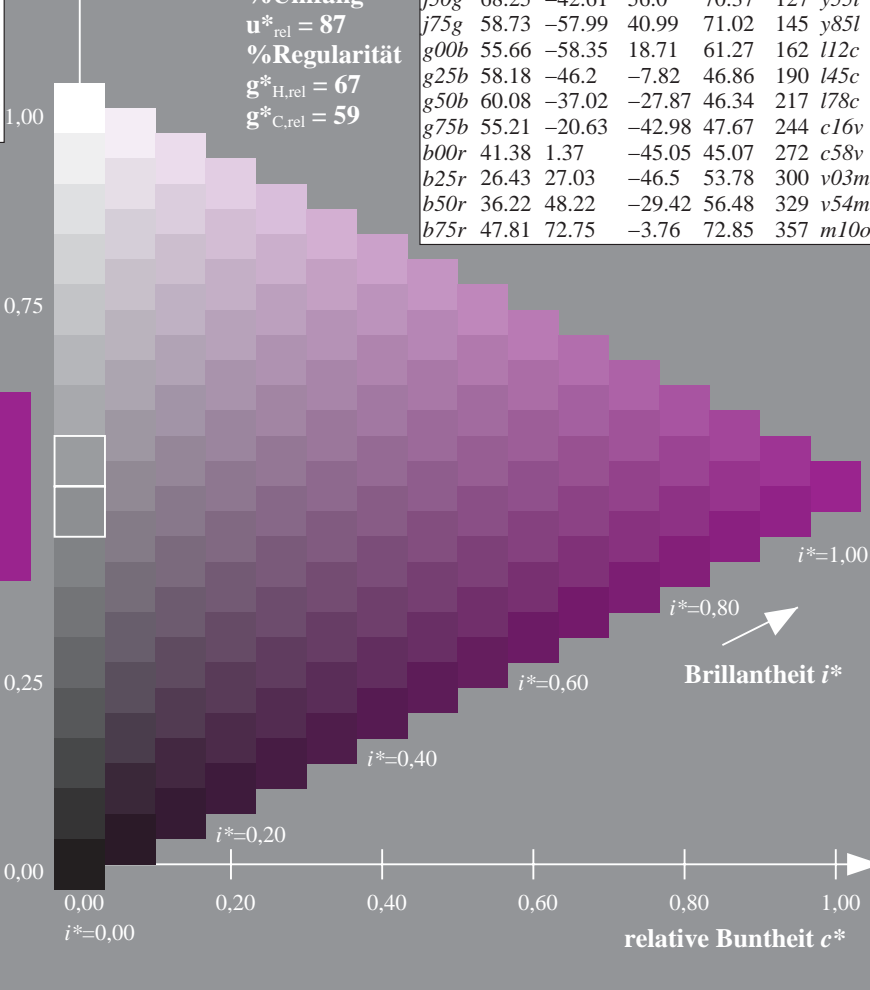
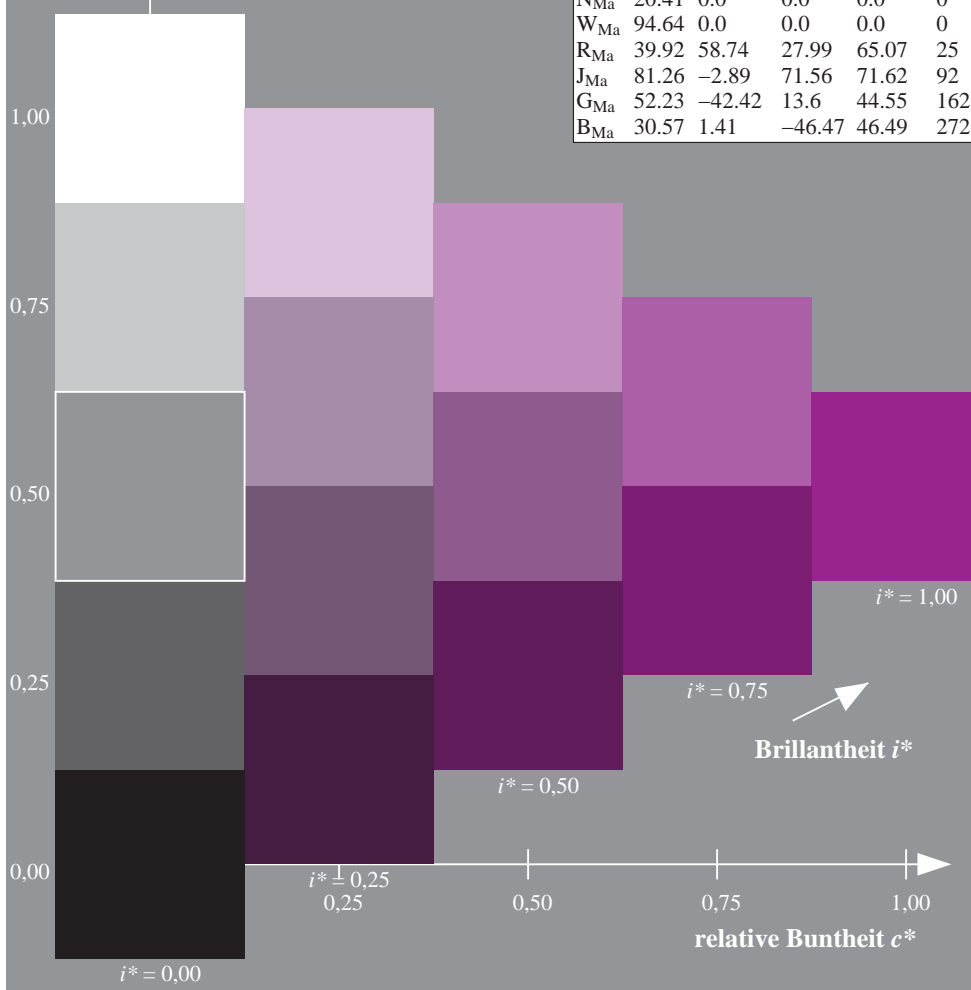
$u^*_{rel} = 87$

%Regularität

$g^*_{H,rel} = 67$

$g^*_{C,rel} = 59$

ORS20_95a; adaptierte CIELAB-Daten							
	u^*_e	$L^*=L^*_a$	a^*_a	b^*_a	$C^*_{ab,a}$	$h^*_{ab,a}$	u^*_d
r00j	47.06	67.41	32.12	74.67	25	m84o	
r25j	53.95	53.38	48.38	72.04	42	o17y	
r50j	63.6	35.87	59.45	69.43	59	o42y	
r75j	73.37	18.14	70.66	72.95	76	o68y	
j00g	85.24	-3.4	84.28	84.35	92	o93y	
j25g	78.53	-25.99	72.23	76.76	110	y24l	
j50g	68.25	-42.61	56.0	70.37	127	y55l	
j75g	58.73	-57.99	40.99	71.02	145	y85l	
g00b	55.66	-58.35	18.71	61.27	162	l12c	
g25b	58.18	-46.2	-7.82	46.86	190	l45c	
g50b	60.08	-37.02	-27.87	46.34	217	l78c	
g75b	55.21	-20.63	-42.98	47.67	244	c16v	
b00r	41.38	1.37	-45.05	45.07	272	c58v	
b25r	26.43	27.03	-46.5	53.78	300	v03m	
b50r	36.22	48.22	-29.42	56.48	329	v54m	
b75r	47.81	72.75	-3.76	72.85	357	m10o	



Siehe ähnliche Dateien: <http://www.ps.bam.de/Eg39/>; www.ps.bam.de/Eg.HTM
 Technische Information: <http://www.ps.bam.de> Version 2.1, io=1,1, ColSpx=1

BAM-Registrierung: 20081001-Eg39/10L/L39G00NA.PS/.TXT BAM-Material: Code=rhatha
 Anwendung für Beurteilung und Messung von Drucker- oder Monitorssystemen

Ein und Ausgabe: Farbmetrisches Drucker-Reflektiv-System ORS20_95a für relativen CIELAB-Buntton $h^* = lab^*h^* = h_{ab}/360 = 0.992$ $u^*_e = b75r$

Daten für jede Farbe:

lab^*ch^* und lab^*icu^*

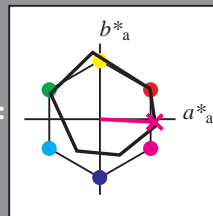
Buntontexte:

$u^*_e = b75r$ $u^*_d = m10o$

Kontrastreduzierungsfaktor:

$c_R = 1.0$

Dreiecks-Helligkeit i^*



ORS20_95a; adaptierte CIELAB-Daten

	u^*_e	$L^*=L^*_a$	a^*_a	b^*_a	$C^*_{ab,a}$	$h^*_{ab,a}$
O _{Ma}	46.89	66.19	40.28	77.48	31	
Y _{Ma}	88.66	-9.62	88.21	88.73	96	
L _{Ma}	54.22	-65.29	33.87	73.56	153	
C _{Ma}	61.43	-30.53	-42.04	51.96	234	
V _{Ma}	25.93	25.95	-47.37	54.01	299	
M _{Ma}	47.92	73.53	-9.02	74.08	353	
N _{Ma}	20.41	0.0	0.0	0.0	0	
W _{Ma}	94.64	0.0	0.0	0.0	0	
R _{Ma}	39.92	58.74	27.99	65.07	25	
J _{Ma}	81.26	-2.89	71.56	71.62	92	
G _{Ma}	52.23	-42.42	13.6	44.55	162	
B _{Ma}	30.57	1.41	-46.47	46.49	272	

Daten für Maximalfarbe (Ma):

$LAB^*LAB^*_{Ma}$: 48 73 -4

$LAB^*LCH^*_{Ma}$: 48 73 357

$lab^*rgb^*_{Ma}$: 1.0 0.0 0.5

$lab^*olv^*_{Ma}$: 1.0 0.0 0.89

Dreiecks-Helligkeit i^*

%Umfang

$u^*_{rel} = 87$

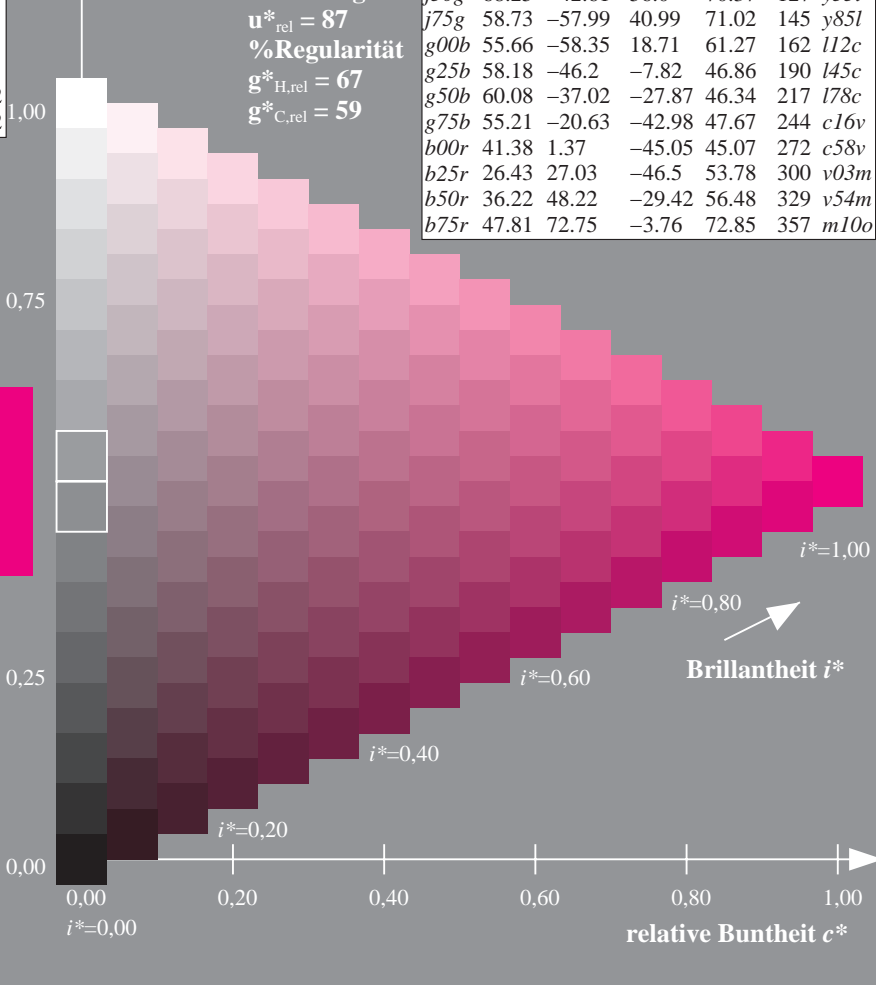
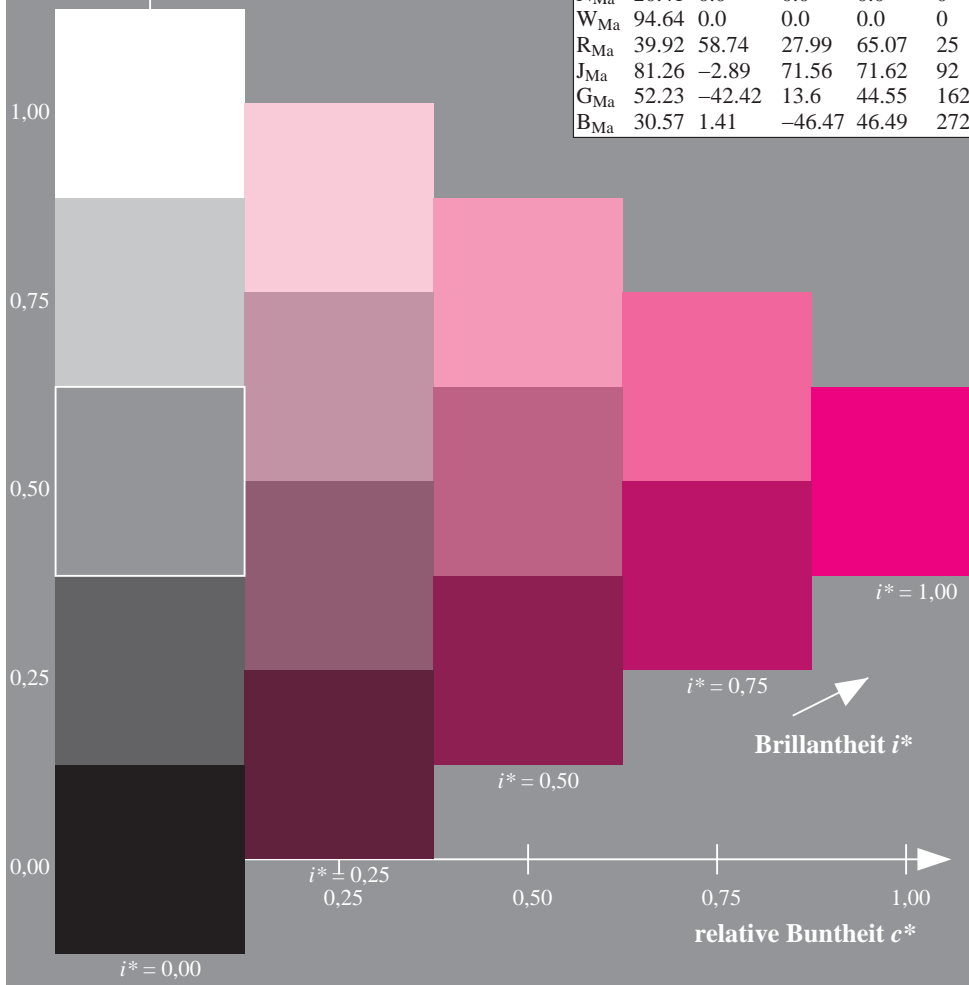
%Regularität

$g^*_{H,rel} = 67$

$g^*_{C,rel} = 59$

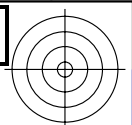
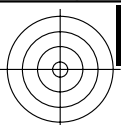
ORS20_95a; adaptierte CIELAB-Daten

	u^*_e	$L^*=L^*_a$	a^*_a	b^*_a	$C^*_{ab,a}$	$h^*_{ab,a}$	u^*_d
r00j	47.06	67.41	32.12	74.67	25	m84o	
r25j	53.95	53.38	48.38	72.04	42	o17y	
r50j	63.6	35.87	59.45	69.43	59	o42y	
r75j	73.37	18.14	70.66	72.95	76	o68y	
j00g	85.24	-3.4	84.28	84.35	92	o93y	
j25g	78.53	-25.99	72.23	76.76	110	y24l	
j50g	68.25	-42.61	56.0	70.37	127	y55l	
j75g	58.73	-57.99	40.99	71.02	145	y85l	
g00b	55.66	-58.35	18.71	61.27	162	l12c	
g25b	58.18	-46.2	-7.82	46.86	190	l45c	
g50b	60.08	-37.02	-27.87	46.34	217	l78c	
g75b	55.21	-20.63	-42.98	47.67	244	c16v	
b00r	41.38	1.37	-45.05	45.07	272	c58v	
b25r	26.43	27.03	-46.5	53.78	300	v03m	
b50r	36.22	48.22	-29.42	56.48	329	v54m	
b75r	47.81	72.75	-3.76	72.85	357	m10o	



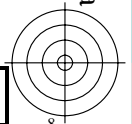
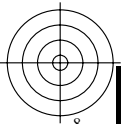
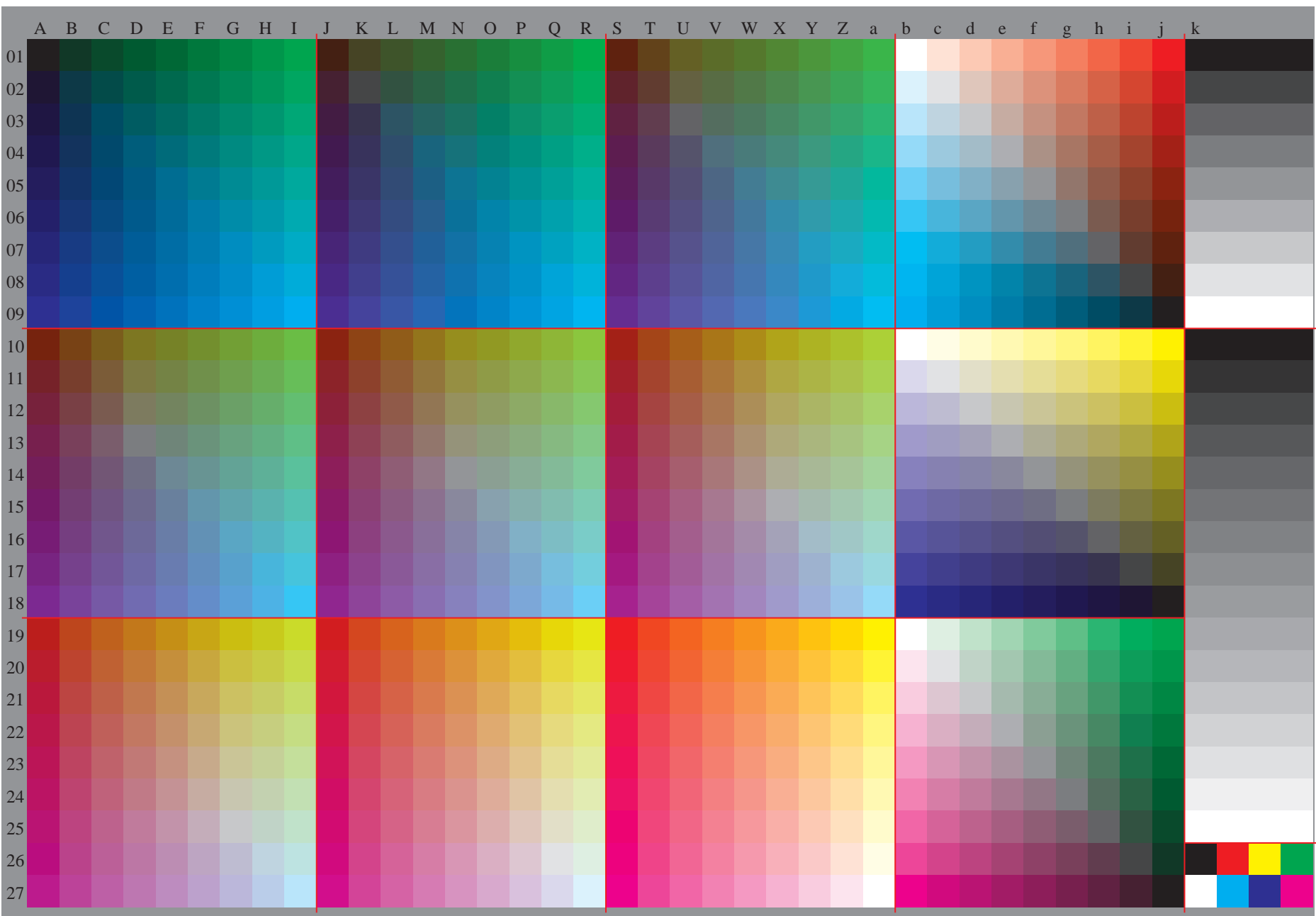
Siehe ähnliche Dateien: <http://www.ps.bam.de/Eg39/>; www.ps.bam.de/Eg.HTM
 Technische Information: <http://www.ps.bam.de> Version 2.1, io=1,1, ColSpx=1

BAM-Registrierung: 20081001-Eg39/10L/L39G00NA.PS/.TXT BAM-Material: Code=rh4ta
 Anwendung für Beurteilung und Messung von Drucker- oder Monitorssystemen



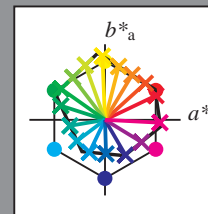
Siehe ähnliche Dateien: <http://www.ps.bam.de/Eg39/>; www.ps.bam.de/Eg.HTM
Technische Information: [http://www.ps.bam.de/Version 2.1, io=1,1, Colspx=1](http://www.ps.bam.de/Version%202.1,%20io=1,1,Colspx=1)

BAM-Registrierung: 20081001-Eg39/10L/L39G00NA.PS/.TXT BAM-Material: Code=rh4ta
Anwendung für Beurteilung und Messung von Drucker- oder Monitorsystemen



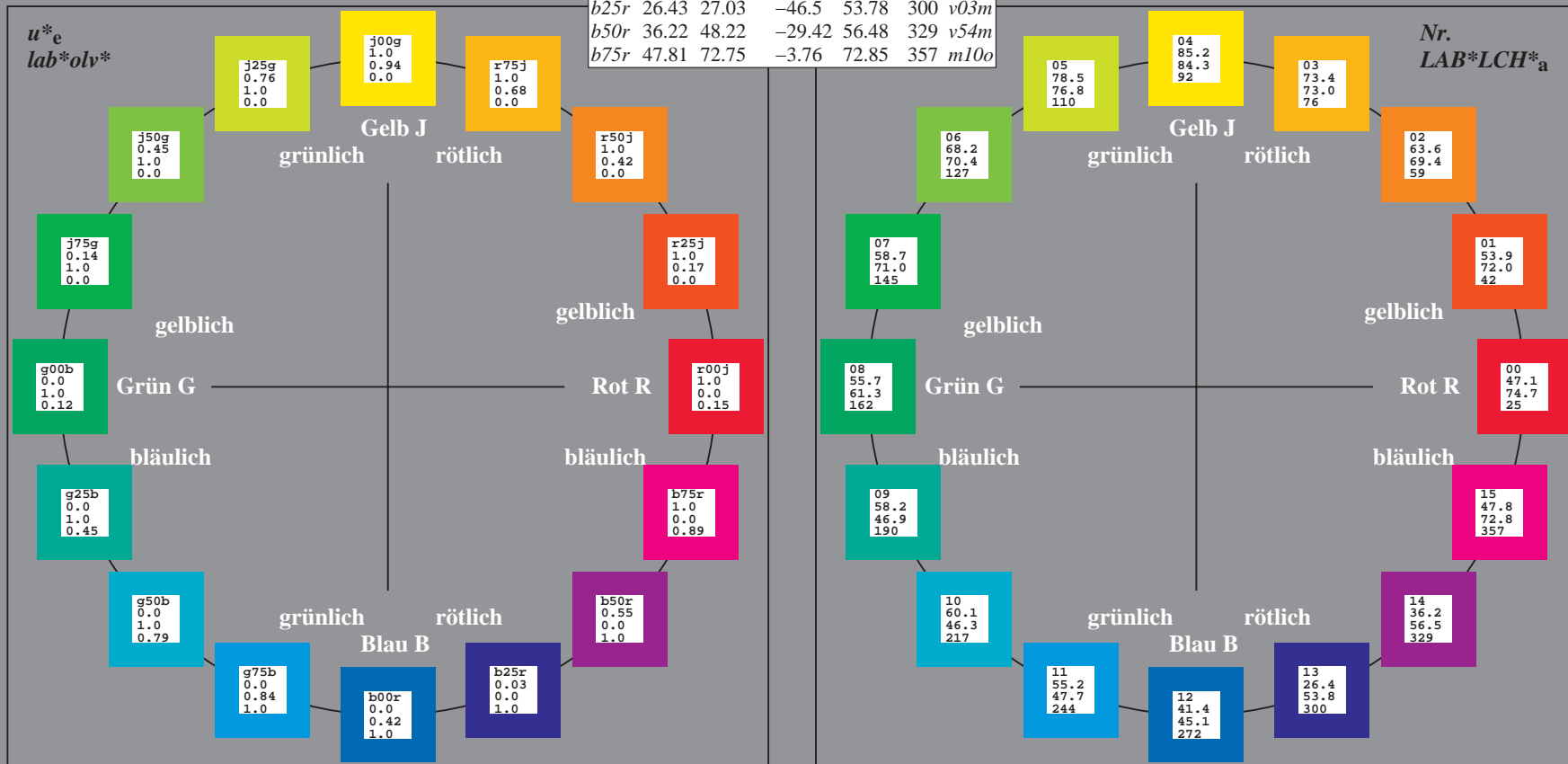
Ein und Ausgabe:
 Farbmetrisches Drucker-Reflektiv-System ORS20_95a
 Daten für jede Farbe:
 u^*_e und Nummer *Nr.* = 00 .. 15
 Elementar-Bunttextext:
 $u^*_e = 16$ Bunttoene *r00j, r25j, ..., b75r*
 Kontrastreduzierungsfaktor:
 $c_R = 1.0$

ORS20_95a; adaptierte CIELAB-Daten						
u^*_e	$L^*=L^*_a$	a^*_a	b^*_a	$C^*_{ab,a}$	$h^*_{ab,a}$	u^*_d
r00j	47.06	67.41	32.12	74.67	25	m84o
r25j	53.95	53.38	48.38	72.04	42	o17y
r50j	63.6	35.87	59.45	69.43	59	o42y
r75j	73.37	18.14	70.66	72.95	76	o68y
j00g	85.24	-3.4	84.28	84.35	92	o93y
j25g	78.53	-25.99	72.23	76.76	110	y24l
j50g	68.25	-42.61	56.0	70.37	127	y55l
j75g	58.73	-57.99	40.99	71.02	145	y85l
g00b	55.66	-58.35	18.71	61.27	162	l12c
g25b	58.18	-46.2	-7.82	46.86	190	l45c
g50b	60.08	-37.02	-27.87	46.34	217	l78c
g75b	55.21	-20.63	-42.98	47.67	244	c16v
b00r	41.38	1.37	-45.05	45.07	272	c58v
b25r	26.43	27.03	-46.5	53.78	300	v03m
b50r	36.22	48.22	-29.42	56.48	329	v54m
b75r	47.81	72.75	-3.76	72.85	357	m10o



%Umfang
 $u^*_{rel} = 87$
 %Regularität
 $g^*_{H,rel} = 67$
 $g^*_{C,rel} = 59$

ORS20_95a; adaptierte CIELAB-Daten					
Name	$L^*=L^*_a$	a^*_a	b^*_a	$C^*_{ab,a}$	$h^*_{ab,a}$
OMa	46.89	66.19	40.28	77.48	31
YMa	88.66	-9.62	88.21	88.73	96
LMa	54.22	-65.29	33.87	73.56	153
CMa	61.43	-30.53	-42.04	51.96	234
VMa	25.93	25.95	-47.37	54.01	299
MMa	47.92	73.53	-9.02	74.08	353
NMa	20.41	0.0	0.0	0.0	0
WMa	94.64	0.0	0.0	0.0	0
RCIE	39.92	58.74	27.99	65.07	25
JCIE	81.26	-2.89	71.56	71.62	92
GCIE	52.23	-42.42	13.6	44.55	162
BCIE	30.57	1.41	-46.47	46.49	272



Siehe ähnliche Dateien: <http://www.ps.bam.de/Eg39/>; [www.ps.bam.de/Version 2.1, io=1,1, ColSpx=1](http://www.ps.bam.de/Version2.1,io=1,1,ColSpx=1)
 Technische Information: <http://www.ps.bam.de>

BAM-Registrierung: 20081001-Eg39/10L/L39G00NA.PS/.TXT BAM-Material: Code=rh4ta
 Anwendung für Beurteilung und Messung von Drucker- oder Monitorsystemen

Ein und Ausgabe: Farbmetrisches Drucker-Reflektiv-System ORS20_95a für relativen CIELAB-Bunton $h^* = lab^*h^* = h_{ab}/360 = 0.071$

Daten für jede Farbe:

lab^*tch^* und lab^*icu^*

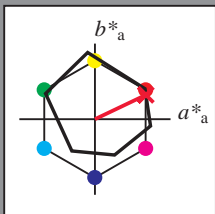
Buntontexte:

$u^*_e = r00j$ $u^*_d = m84o$

Kontrastreduzierungsfaktor:

$c_R = 1.0$

Dreiecks-Helligkeit i^*



ORS20_95a; adaptierte CIELAB-Daten

	u^*_e	$L^*=L^*_a$	a^*_a	b^*_a	$C^*_{ab,a}$	$h^*_{ab,a}$
O _{Ma}	46.89	66.19	40.28	77.48	31	
Y _{Ma}	88.66	-9.62	88.21	88.73	96	
L _{Ma}	54.22	-65.29	33.87	73.56	153	
C _{Ma}	61.43	-30.53	-42.04	51.96	234	
V _{Ma}	25.93	25.95	-47.37	54.01	299	
M _{Ma}	47.92	73.53	-9.02	74.08	353	
N _{Ma}	20.41	0.0	0.0	0.0	0	
W _{Ma}	94.64	0.0	0.0	0.0	0	
R _{Ma}	39.92	58.74	27.99	65.07	25	
J _{Ma}	81.26	-2.89	71.56	71.62	92	
G _{Ma}	52.23	-42.42	13.6	44.55	162	
B _{Ma}	30.57	1.41	-46.47	46.49	272	

Daten für Maximalfarbe (Ma):

$LAB^*LAB^*_{Ma}$: 47 67 32

$LAB^*LCH^*_{Ma}$: 47 75 25

$lab^*rgb^*_{Ma}$: 1.0 0.0 0.0

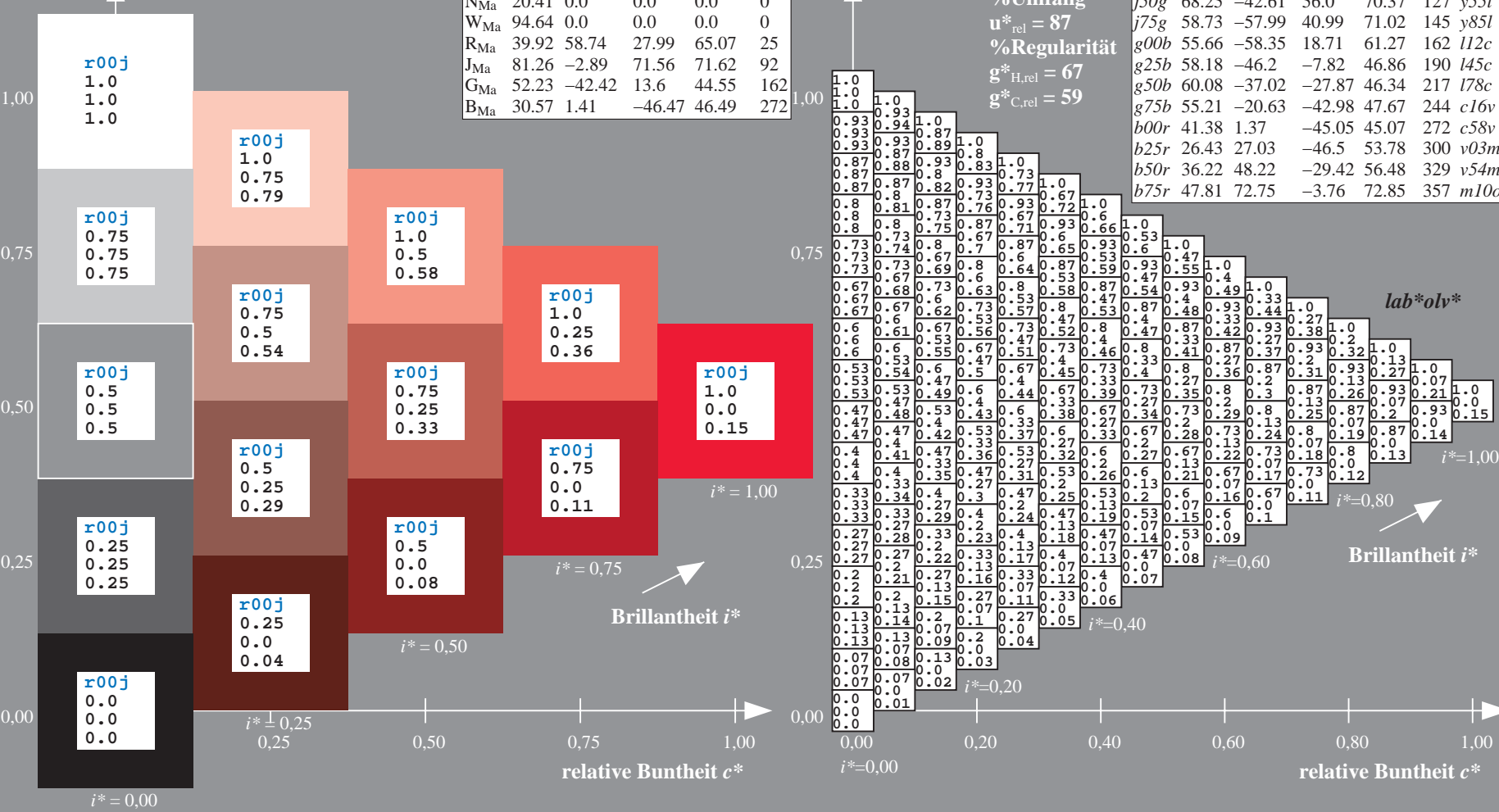
$lab^*olv^*_{Ma}$: 1.0 0.0 0.15

Dreiecks-Helligkeit i^*

%Umfang
 $u^*_{rel} = 87$
 %Regularität
 $g^*_{H,rel} = 67$
 $g^*_{C,rel} = 59$

ORS20_95a; adaptierte CIELAB-Daten

	u^*_e	$L^*=L^*_a$	a^*_a	b^*_a	$C^*_{ab,a}$	$h^*_{ab,a}$	u^*_d
r00j	47.06	67.41	32.12	74.67	25	m84o	
r25j	53.95	53.38	48.38	72.04	42	o17y	
r50j	63.6	35.87	59.45	69.43	59	o42y	
r75j	73.37	18.14	70.66	72.95	76	o68y	
j00g	85.24	-3.4	84.28	84.35	92	o93y	
j25g	78.53	-25.99	72.23	76.76	110	y24l	
j50g	68.25	-42.61	56.0	70.37	127	y51l	
j75g	58.73	-57.99	40.99	71.02	145	y85l	
g00b	55.66	-58.35	18.71	61.27	162	l12c	
g25b	58.18	-46.2	-7.82	46.86	190	l45c	
g50b	60.08	-37.02	-27.87	46.34	217	l78c	
g75b	55.21	-20.63	-42.98	47.67	244	c16v	
b00r	41.38	1.37	-45.05	45.07	272	c58v	
b25r	26.43	27.03	-46.5	53.78	300	v03m	
b50r	36.22	48.22	-29.42	56.48	329	v54m	
b75r	47.81	72.75	-3.76	72.85	357	m10o	



Ein und Ausgabe: Farbmetrisches Drucker-Reflektiv-System ORS20_95a für relativen CIELAB-Buntton $h^* = lab^*h^* = h_{ab}/360 = 0.117$

Daten für jede Farbe:

lab^*tch^* und lab^*icu^*

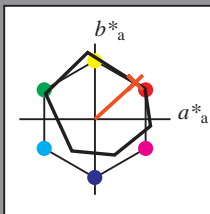
Bunttontexte:

$u^*_e = r25j$ $u^*_d = o17y$

Kontrastreduzierungsfaktor:

$c_R = 1.0$

Dreiecks-Helligkeit i^*



ORS20_95a; adaptierte CIELAB-Daten

	u^*_e	$L^*=L^*_a$	a^*_a	b^*_a	$C^*_{ab,a}$	$h^*_{ab,a}$
O _{Ma}	46.89	66.19	40.28	77.48	31	
Y _{Ma}	88.66	-9.62	88.21	88.73	96	
L _{Ma}	54.22	-65.29	33.87	73.56	153	
C _{Ma}	61.43	-30.53	-42.04	51.96	234	
V _{Ma}	25.93	25.95	-47.37	54.01	299	
M _{Ma}	47.92	73.53	-9.02	74.08	353	
N _{Ma}	20.41	0.0	0.0	0.0	0	
W _{Ma}	94.64	0.0	0.0	0.0	0	
R _{Ma}	39.92	58.74	27.99	65.07	25	
J _{Ma}	81.26	-2.89	71.56	71.62	92	
G _{Ma}	52.23	-42.42	13.6	44.55	162	
B _{Ma}	30.57	1.41	-46.47	46.49	272	

Daten für Maximalfarbe (Ma):

$LAB^*LAB^*_{Ma}$: 54 53 48

$LAB^*LCH^*_{Ma}$: 54 72 42

$lab^*rgb^*_{Ma}$: 1.0 0.25 0.0

$lab^*olv^*_{Ma}$: 1.0 0.17 0.0

Dreiecks-Helligkeit i^*

%Umfang

$u^*_{rel} = 87$

%Regularität

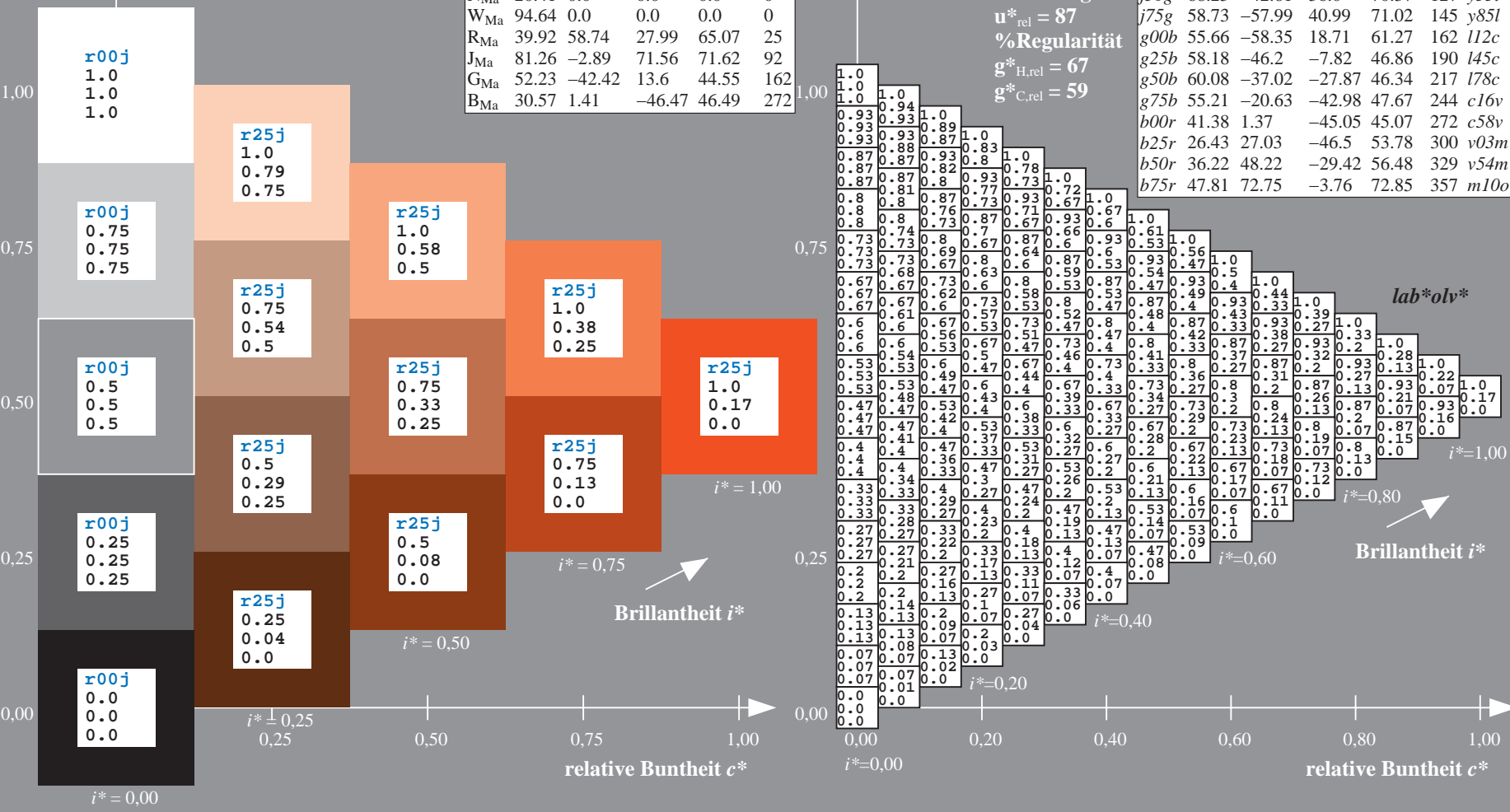
$g^*_{H,rel} = 67$

$g^*_{C,rel} = 59$

$u^*_e = r25j$
 lab^*olv^*

ORS20_95a; adaptierte CIELAB-Daten

	u^*_e	$L^*=L^*_a$	a^*_a	b^*_a	$C^*_{ab,a}$	$h^*_{ab,a}$	u^*_d
r00j	47.06	67.41	32.12	74.67	25	m84o	
r25j	53.95	53.38	48.38	72.04	42	o17y	
r50j	63.6	35.87	59.45	69.43	59	o42y	
r75j	73.37	18.14	70.66	72.95	76	o68y	
j00g	85.24	-3.4	84.28	84.35	92	o93y	
j25g	78.53	-25.99	72.23	76.76	110	y24l	
j50g	68.25	-42.61	56.0	70.37	127	y51l	
j75g	58.73	-57.99	40.99	71.02	145	y85l	
g00b	55.66	-58.35	18.71	61.27	162	l12c	
g25b	58.18	-46.2	-7.82	46.86	190	l45c	
g50b	60.08	-37.02	-27.87	46.34	217	l78c	
g75b	55.21	-20.63	-42.98	47.67	244	c16v	
b00r	41.38	1.37	-45.05	45.07	272	c58v	
b25r	26.43	27.03	-46.5	53.78	300	v03m	
b50r	36.22	48.22	-29.42	56.48	329	v54m	
b75r	47.81	72.75	-3.76	72.85	357	m10o	



Siehe ähnliche Dateien: <http://www.ps.bam.de/Eg39/>; www.ps.bam.de/Version 2.1, io=1,1, ColSpx=1
 Technische Information: <http://www.ps.bam.de>

BAM-Registrierung: 20081001-Eg39/10L/L39G00NA.PS/.TXT BAM-Material: Code=rh4ta
 Anwendung für Beurteilung und Messung von Drucker- oder Monitorssystemen

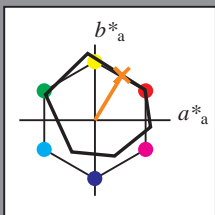
Ein und Ausgabe: Farbmetrisches Drucker-Reflektiv-System ORS20_95a für relativen CIELAB-Buntton $h^* = lab^*h^* = h_{ab}/360 = 0.164$

Daten für jede Farbe:
 lab^*tch^* und lab^*icu^*

Bunttontexte:
 $u^*_e = r50j$ $u^*_d = o42y$

Kontrastreduzierungsfaktor:
 $c_R = 1.0$

Dreiecks-Helligkeit t^*



ORS20_95a; adaptierte CIELAB-Daten

	u^*_e	$L^*=L^*_a$	a^*_a	b^*_a	$C^*_{ab,a}$	$h^*_{ab,a}$
O _{Ma}	46.89	66.19	40.28	77.48	31	
Y _{Ma}	88.66	-9.62	88.21	88.73	96	
L _{Ma}	54.22	-65.29	33.87	73.56	153	
C _{Ma}	61.43	-30.53	-42.04	51.96	234	
V _{Ma}	25.93	25.95	-47.37	54.01	299	
M _{Ma}	47.92	73.53	-9.02	74.08	353	
N _{Ma}	20.41	0.0	0.0	0.0	0	
W _{Ma}	94.64	0.0	0.0	0.0	0	
R _{Ma}	39.92	58.74	27.99	65.07	25	
J _{Ma}	81.26	-2.89	71.56	71.62	92	
G _{Ma}	52.23	-42.42	13.6	44.55	162	
B _{Ma}	30.57	1.41	-46.47	46.49	272	

Daten für Maximalfarbe (Ma):

$LAB^*LAB^*_{Ma}$: 64 36 59

$LAB^*LCH^*_{Ma}$: 64 69 58

$lab^*rgb^*_{Ma}$: 1.0 0.5 0.0

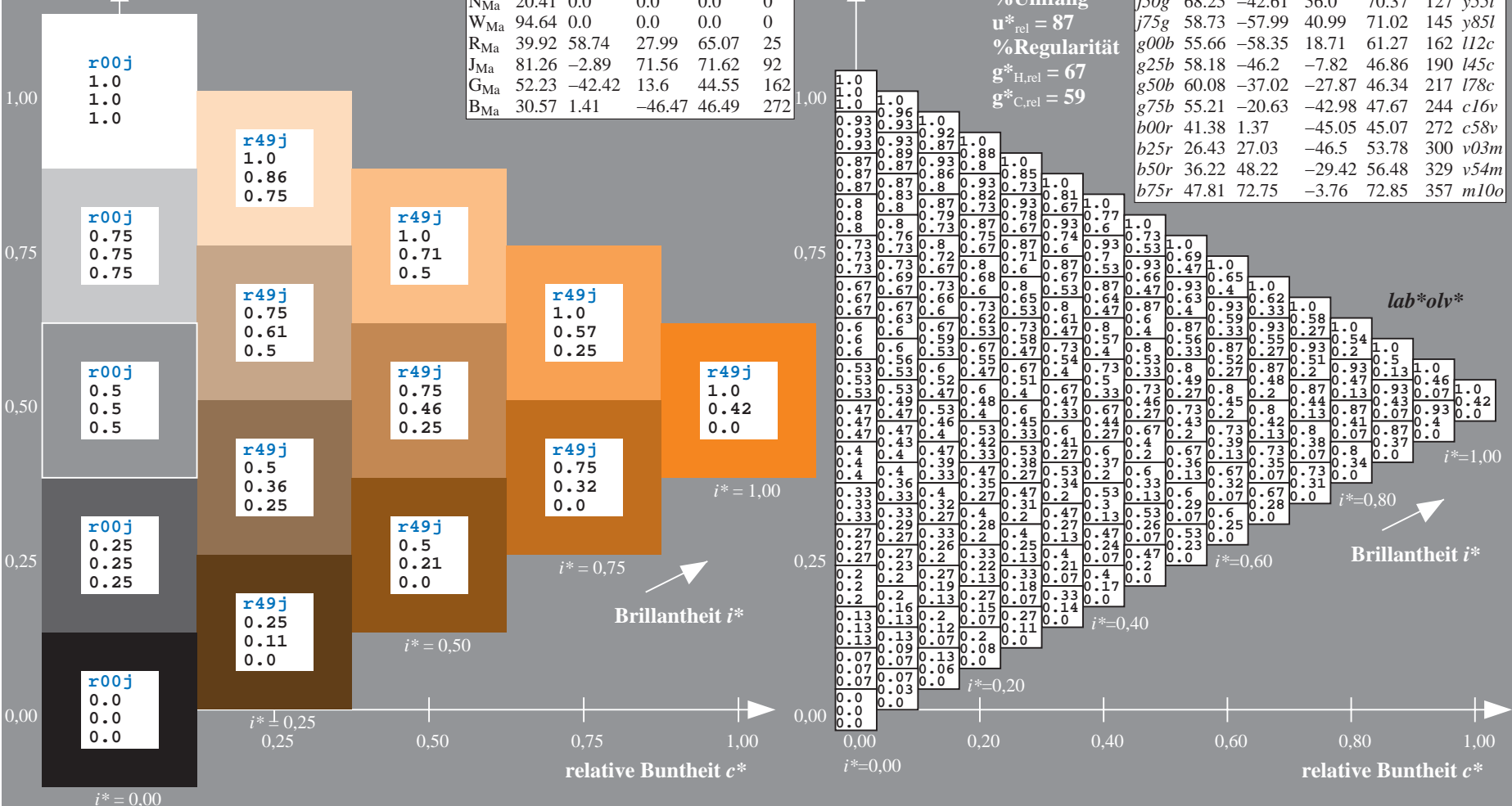
$lab^*olv^*_{Ma}$: 1.0 0.42 0.0

Dreiecks-Helligkeit t^*

%Umfang
 $u^*_{rel} = 87$
 %Regularität
 $g^*_{H,rel} = 67$
 $g^*_{C,rel} = 59$

ORS20_95a; adaptierte CIELAB-Daten

	u^*_e	$L^*=L^*_a$	a^*_a	b^*_a	$C^*_{ab,a}$	$h^*_{ab,a}$	u^*_d
r00j	47.06	67.41	32.12	74.67	25	m84o	
r25j	53.95	53.38	48.38	72.04	42	o17y	
r50j	63.6	35.87	59.45	69.43	59	o42y	
r75j	73.37	18.14	70.66	72.95	76	o68y	
j00g	85.24	-3.4	84.28	84.35	92	o93y	
j25g	78.53	-25.99	72.23	76.76	110	y24l	
j50g	68.25	-42.61	56.0	70.37	127	y51l	
j75g	58.73	-57.99	40.99	71.02	145	y85l	
g00b	55.66	-58.35	18.71	61.27	162	l12c	
g25b	58.18	-46.2	-7.82	46.86	190	l45c	
g50b	60.08	-37.02	-27.87	46.34	217	l78c	
g75b	55.21	-20.63	-42.98	47.67	244	c16v	
b00r	41.38	1.37	-45.05	45.07	272	c58v	
b25r	26.43	27.03	-46.5	53.78	300	v03m	
b50r	36.22	48.22	-29.42	56.48	329	v54m	
b75r	47.81	72.75	-3.76	72.85	357	m10o	



Siehe ähnliche Dateien: <http://www.ps.bam.de/Eg39/>; www.ps.bam.de/Version 2.1, io=1,1, ColSpx=1
 Technische Information: <http://www.ps.bam.de>

BAM-Registrierung: 20081001-Eg39/10L/L39G00NA.PS/.TXT BAM-Material: Code=rh4ta
 Anwendung für Beurteilung und Messung von Drucker- oder Monitorssystemen

Ein und Ausgabe: Farbmetrisches Drucker-Reflektiv-System ORS20_95a für relativen CIELAB-Buntton $h^* = lab^*h^* = h_{ab}/360 = 0.21$

Daten für jede Farbe:

lab^*tch^* und lab^*icu^*

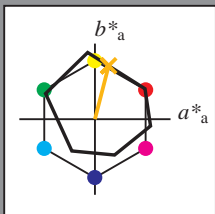
Bunttontexte:

$u^*_e = r75j$ $u^*_d = o68y$

Kontrastreduzierungsfaktor:

$c_R = 1.0$

Dreiecks-Helligkeit i^*



ORS20_95a; adaptierte CIELAB-Daten

	u^*_e	$L^*=L^*_a$	a^*_a	b^*_a	$C^*_{ab,a}$	$h^*_{ab,a}$
O _{Ma}	46.89	66.19	40.28	77.48	31	
Y _{Ma}	88.66	-9.62	88.21	88.73	96	
L _{Ma}	54.22	-65.29	33.87	73.56	153	
C _{Ma}	61.43	-30.53	-42.04	51.96	234	
V _{Ma}	25.93	25.95	-47.37	54.01	299	
M _{Ma}	47.92	73.53	-9.02	74.08	353	
N _{Ma}	20.41	0.0	0.0	0.0	0	
W _{Ma}	94.64	0.0	0.0	0.0	0	
R _{Ma}	39.92	58.74	27.99	65.07	25	
J _{Ma}	81.26	-2.89	71.56	71.62	92	
G _{Ma}	52.23	-42.42	13.6	44.55	162	
B _{Ma}	30.57	1.41	-46.47	46.49	272	

Daten für Maximalfarbe (Ma):

$LAB^*LAB^*_{Ma}$: 73 18 71

$LAB^*LCH^*_{Ma}$: 73 73 75

$lab^*rgb^*_{Ma}$: 1.0 0.75 0.0

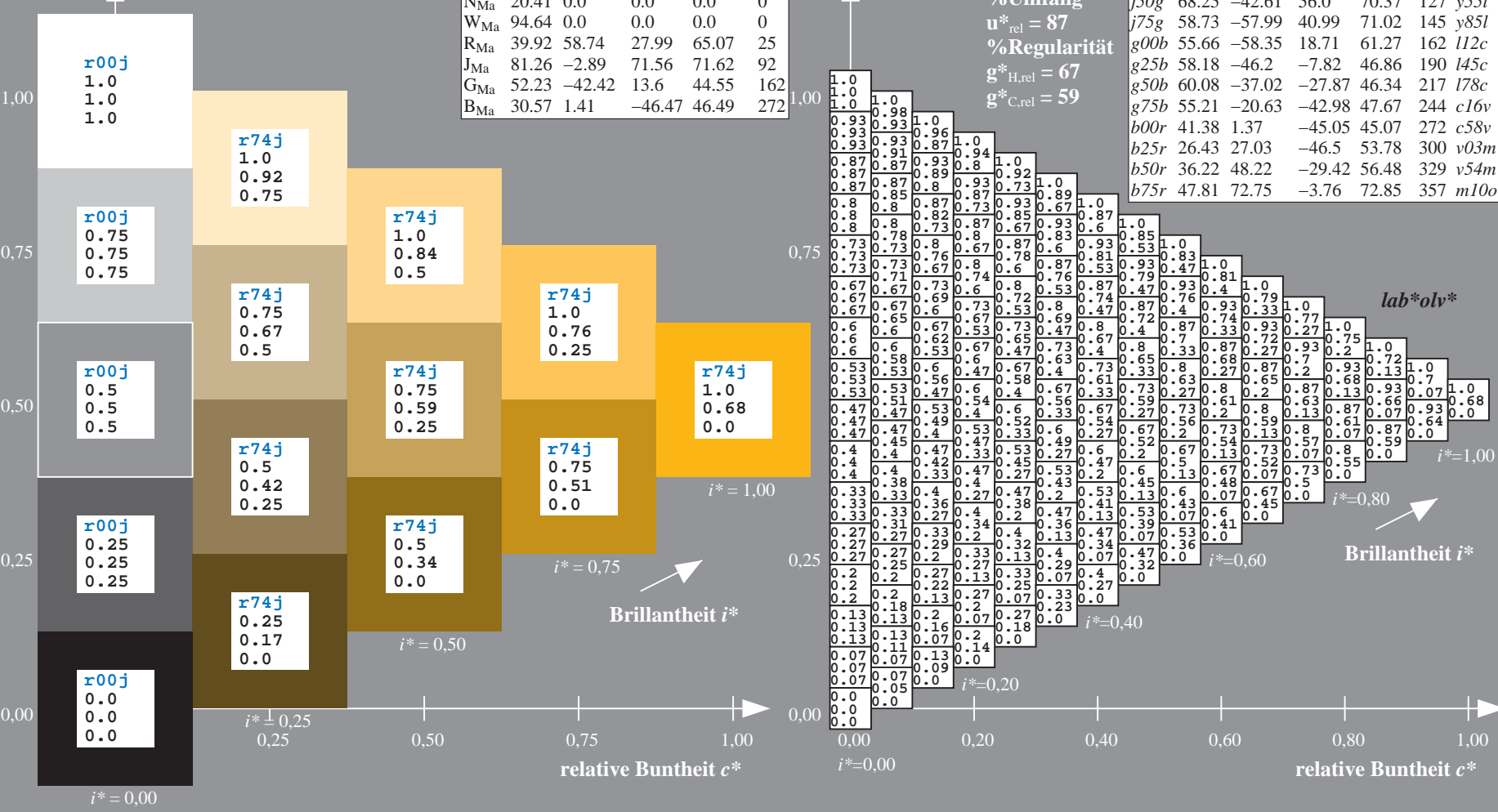
$lab^*olv^*_{Ma}$: 1.0 0.68 0.0

Dreiecks-Helligkeit i^*

%Umfang
 $u^*_{rel} = 87$
 %Regularität
 $g^*_{H,rel} = 67$
 $g^*_{C,rel} = 59$

ORS20_95a; adaptierte CIELAB-Daten

	u^*_e	$L^*=L^*_a$	a^*_a	b^*_a	$C^*_{ab,a}$	$h^*_{ab,a}$	u^*_d
r00j	47.06	67.41	32.12	74.67	25	m84o	
r20j	53.95	53.38	48.38	72.04	42	o17y	
r50j	63.6	35.87	59.45	69.43	59	o42y	
r75j	73.37	18.14	70.66	72.95	76	o68y	
j00g	85.24	-3.4	84.28	84.35	92	o93y	
j25g	78.53	-25.99	72.23	76.76	110	y24l	
j50g	68.25	-42.61	56.0	70.37	127	y51l	
j75g	58.73	-57.99	40.99	71.02	145	y85l	
g00b	55.66	-58.35	18.71	61.27	162	l12c	
g25b	58.18	-46.2	-7.82	46.86	190	l45c	
g50b	60.08	-37.02	-27.87	46.34	217	l78c	
g75b	55.21	-20.63	-42.98	47.67	244	c16v	
b00r	41.38	1.37	-45.05	45.07	272	c58v	
b25r	26.43	27.03	-46.5	53.78	300	v03m	
b50r	36.22	48.22	-29.42	56.48	329	v54m	
b75r	47.81	72.75	-3.76	72.85	357	m10o	



Ein und Ausgabe: Farbmetrisches Drucker-Reflektiv-System ORS20_95a für relativen CIELAB-Bunton $h^* = lab^*h^* = h_{ab}/360 = 0.256$

Daten für jede Farbe:

lab^*tch^* und lab^*icu^*

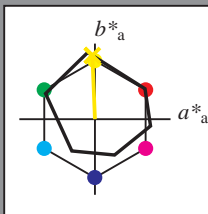
Buntontexte:

$u^*_e = j00g$ $u^*_d = o93y$

Kontrastreduzierungsfaktor:

$c_R = 1.0$

Dreiecks-Helligkeit t^*



ORS20_95a; adaptierte CIELAB-Daten

u^*_e	$L^*=L^*_a$	a^*_a	b^*_a	$C^*_{ab,a}$	$h^*_{ab,a}$
O _{Ma}	46.89	66.19	40.28	77.48	31
Y _{Ma}	88.66	-9.62	88.21	88.73	96
L _{Ma}	54.22	-65.29	33.87	73.56	153
C _{Ma}	61.43	-30.53	-42.04	51.96	234
V _{Ma}	25.93	25.95	-47.37	54.01	299
M _{Ma}	47.92	73.53	-9.02	74.08	353
N _{Ma}	20.41	0.0	0.0	0.0	0
W _{Ma}	94.64	0.0	0.0	0.0	0
R _{Ma}	39.92	58.74	27.99	65.07	25
J _{Ma}	81.26	-2.89	71.56	71.62	92
G _{Ma}	52.23	-42.42	13.6	44.55	162
B _{Ma}	30.57	1.41	-46.47	46.49	272

Daten für Maximalfarbe (Ma):

$LAB^*LAB^*_{Ma}$: 85 -3 84

$LAB^*LCH^*_{Ma}$: 85 84 92

$lab^*rgb^*_{Ma}$: 1.0 1.0 0.0

$lab^*olv^*_{Ma}$: 1.0 0.94 0.0

Dreiecks-Helligkeit t^*

%Umfang

$u^*_{rel} = 87$

%Regularität

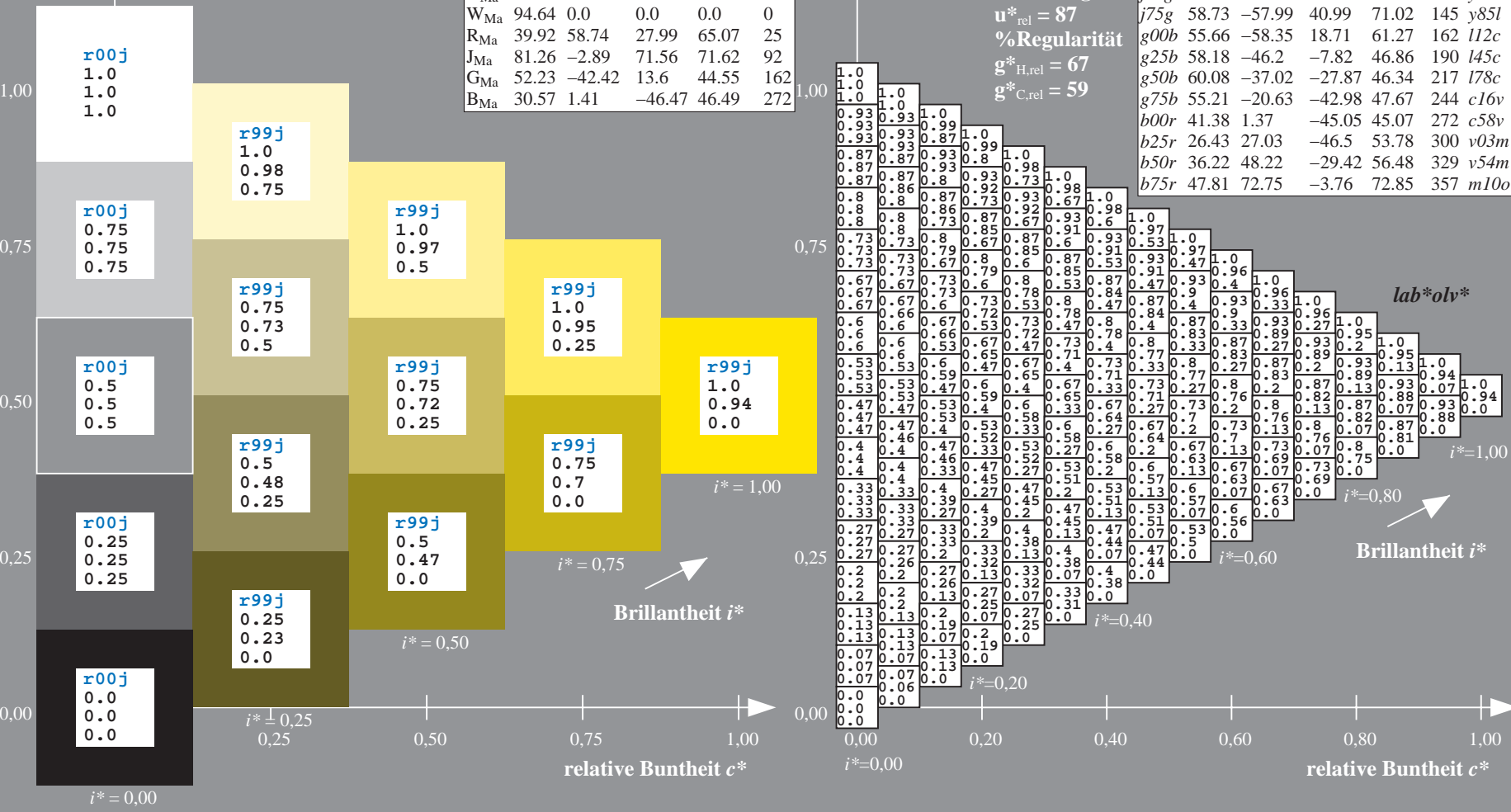
$g^*_{H,rel} = 67$

$g^*_{C,rel} = 59$

$u^*_e = j00g$
 lab^*olv^*

ORS20_95a; adaptierte CIELAB-Daten

u^*_e	$L^*=L^*_a$	a^*_a	b^*_a	$C^*_{ab,a}$	$h^*_{ab,a}$	u^*_d
r00j	47.06	67.41	32.12	74.67	25	m84o
r25j	53.95	53.38	48.38	72.04	42	o17y
r50j	63.6	35.87	59.45	69.43	59	o42y
r75j	73.37	18.14	70.66	72.95	76	o68y
j00g	85.24	-3.4	84.28	84.35	92	o93y
j25g	78.53	-25.99	72.23	76.76	110	y24l
j50g	68.25	-42.61	56.0	70.37	127	y51l
j75g	58.73	-57.99	40.99	71.02	145	y85l
g00b	55.66	-58.35	18.71	61.27	162	l12c
g25b	58.18	-46.2	-7.82	46.86	190	l45c
g50b	60.08	-37.02	-27.87	46.34	217	l78c
g75b	55.21	-20.63	-42.98	47.67	244	c16v
b00r	41.38	1.37	-45.05	45.07	272	c58v
b25r	26.43	27.03	-46.5	53.78	300	v03m
b50r	36.22	48.22	-29.42	56.48	329	v54m
b75r	47.81	72.75	-3.76	72.85	357	m10o



Ein und Ausgabe: Farbmetrisches Drucker-Reflektiv-System ORS20_95a für relativen CIELAB-Bunton $h^* = lab^*h^* = h_{ab}/360 = 0.305$

Daten für jede Farbe:

lab^*tch^* und lab^*icu^*

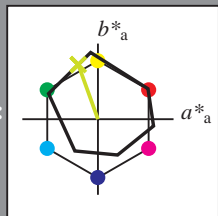
Buntontexte:

$u^*_e = j25g$ $u^*_d = y24l$

Kontrastreduzierungsfaktor:

$c_R = 1.0$

Dreiecks-Helligkeit t^*



ORS20_95a; adaptierte CIELAB-Daten

	u^*_e	$L^*=L^*_a$	a^*_a	b^*_a	$C^*_{ab,a}$	$h^*_{ab,a}$
O _{Ma}	46.89	66.19	40.28	77.48	31	
Y _{Ma}	88.66	-9.62	88.21	88.73	96	
L _{Ma}	54.22	-65.29	33.87	73.56	153	
C _{Ma}	61.43	-30.53	-42.04	51.96	234	
V _{Ma}	25.93	25.95	-47.37	54.01	299	
M _{Ma}	47.92	73.53	-9.02	74.08	353	
N _{Ma}	20.41	0.0	0.0	0.0	0	
W _{Ma}	94.64	0.0	0.0	0.0	0	
R _{Ma}	39.92	58.74	27.99	65.07	25	
J _{Ma}	81.26	-2.89	71.56	71.62	92	
G _{Ma}	52.23	-42.42	13.6	44.55	162	
B _{Ma}	30.57	1.41	-46.47	46.49	272	

Daten für Maximalfarbe (Ma):

$LAB^*LAB^*_{Ma}$: 79 -26 72

$LAB^*LCH^*_{Ma}$: 79 77 109

$lab^*rgb^*_{Ma}$: 0.75 1.0 0.0

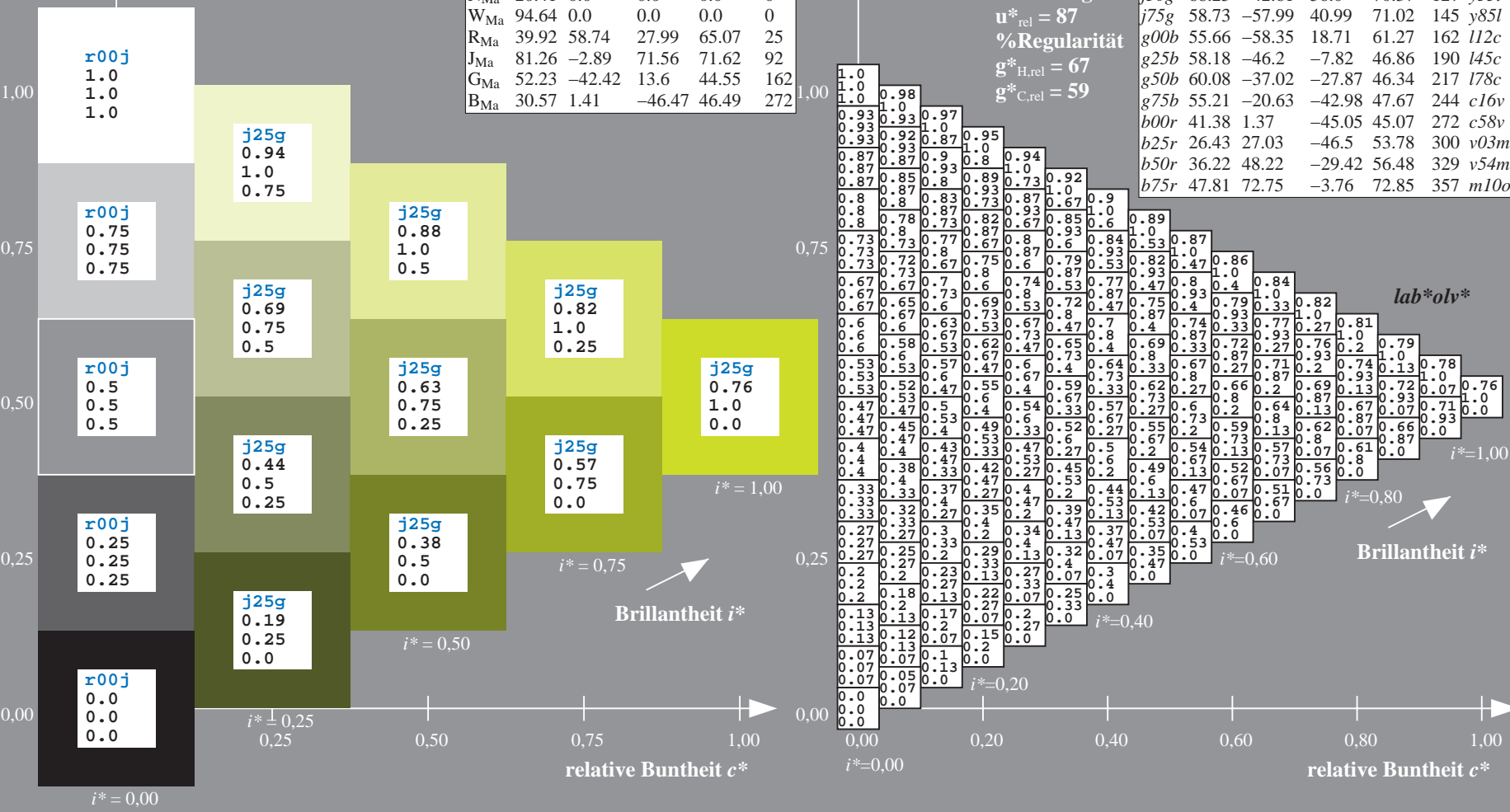
$lab^*olv^*_{Ma}$: 0.76 1.0 0.0

Dreiecks-Helligkeit t^*

%Umfang
 $u^*_{rel} = 87$
 %Regularität
 $g^*_{H,rel} = 67$
 $g^*_{C,rel} = 59$

ORS20_95a; adaptierte CIELAB-Daten

	u^*_e	$L^*=L^*_a$	a^*_a	b^*_a	$C^*_{ab,a}$	$h^*_{ab,a}$	u^*_d
r00j	47.06	67.41	32.12	74.67	25	m84o	
r25j	53.95	53.38	48.38	72.04	42	o17y	
r50j	63.6	35.87	59.45	69.43	59	o42y	
r75j	73.37	18.14	70.66	72.95	76	o68y	
j00g	85.24	-3.4	84.28	84.35	92	o93y	
j25g	78.53	-25.99	72.23	76.76	110	y24l	
j50g	68.25	-42.61	56.0	70.37	127	y51l	
j75g	58.73	-57.99	40.99	71.02	145	y85l	
g00b	55.66	-58.35	18.71	61.27	162	l12c	
g25b	58.18	-46.2	-7.82	46.86	190	l45c	
g50b	60.08	-37.02	-27.87	46.34	217	l78c	
g75b	55.21	-20.63	-42.98	47.67	244	c16v	
b00r	41.38	1.37	-45.05	45.07	272	c58v	
b25r	26.43	27.03	-46.5	53.78	300	v03m	
b50r	36.22	48.22	-29.42	56.48	329	v54m	
b75r	47.81	72.75	-3.76	72.85	357	m10o	



Siehe ähnliche Dateien: <http://www.ps.bam.de/Eg39/>; [www.ps.bam.de/Eg39/Version 2.1, io=1,1, Colspx=1](http://www.ps.bam.de/Eg39/Version%201.1,io=1,1,Colspx=1)
 Technische Information: <http://www.ps.bam.de>

BAM-Registrierung: 20081001-Eg39/10L/L39G00NA.PS/.TXT BAM-Material: Code=rhatha
 Anwendung für Beurteilung und Messung von Drucker- oder Monitorssystemen

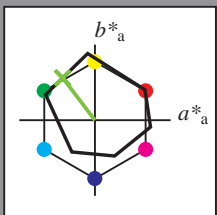
Ein und Ausgabe: Farbmetrisches Drucker-Reflektiv-System ORS20_95a für relativen CIELAB-Bunton $h^* = lab^*h^* = h_{ab}/360 = 0.354$

Daten für jede Farbe:
 lab^*ch^* und lab^*icu^*

Buntontexte:
 $u^*_e = j50g$ $u^*_d = y55l$

Kontrastreduzierungsfaktor:
 $c_R = 1.0$

Dreiecks-Helligkeit i^*



ORS20_95a; adaptierte CIELAB-Daten						
	u^*_e	$L^*=L^*_a$	a^*_a	b^*_a	$C^*_{ab,a}$	$h^*_{ab,a}$
O _{Ma}	46.89	66.19	40.28	77.48	31	
Y _{Ma}	88.66	-9.62	88.21	88.73	96	
L _{Ma}	54.22	-65.29	33.87	73.56	153	
C _{Ma}	61.43	-30.53	-42.04	51.96	234	
V _{Ma}	25.93	25.95	-47.37	54.01	299	
M _{Ma}	47.92	73.53	-9.02	74.08	353	
N _{Ma}	20.41	0.0	0.0	0.0	0	
W _{Ma}	94.64	0.0	0.0	0.0	0	
R _{Ma}	39.92	58.74	27.99	65.07	25	
J _{Ma}	81.26	-2.89	71.56	71.62	92	
G _{Ma}	52.23	-42.42	13.6	44.55	162	
B _{Ma}	30.57	1.41	-46.47	46.49	272	

Daten für Maximalfarbe (Ma):

$LAB^*LAB^*_{Ma}$: 68 -43 56

$LAB^*LCH^*_{Ma}$: 68 70 127

$lab^*rgb^*_{Ma}$: 0.5 1.0 0.0

$lab^*olv^*_{Ma}$: 0.45 1.0 0.0

Dreiecks-Helligkeit i^*

%Umfang

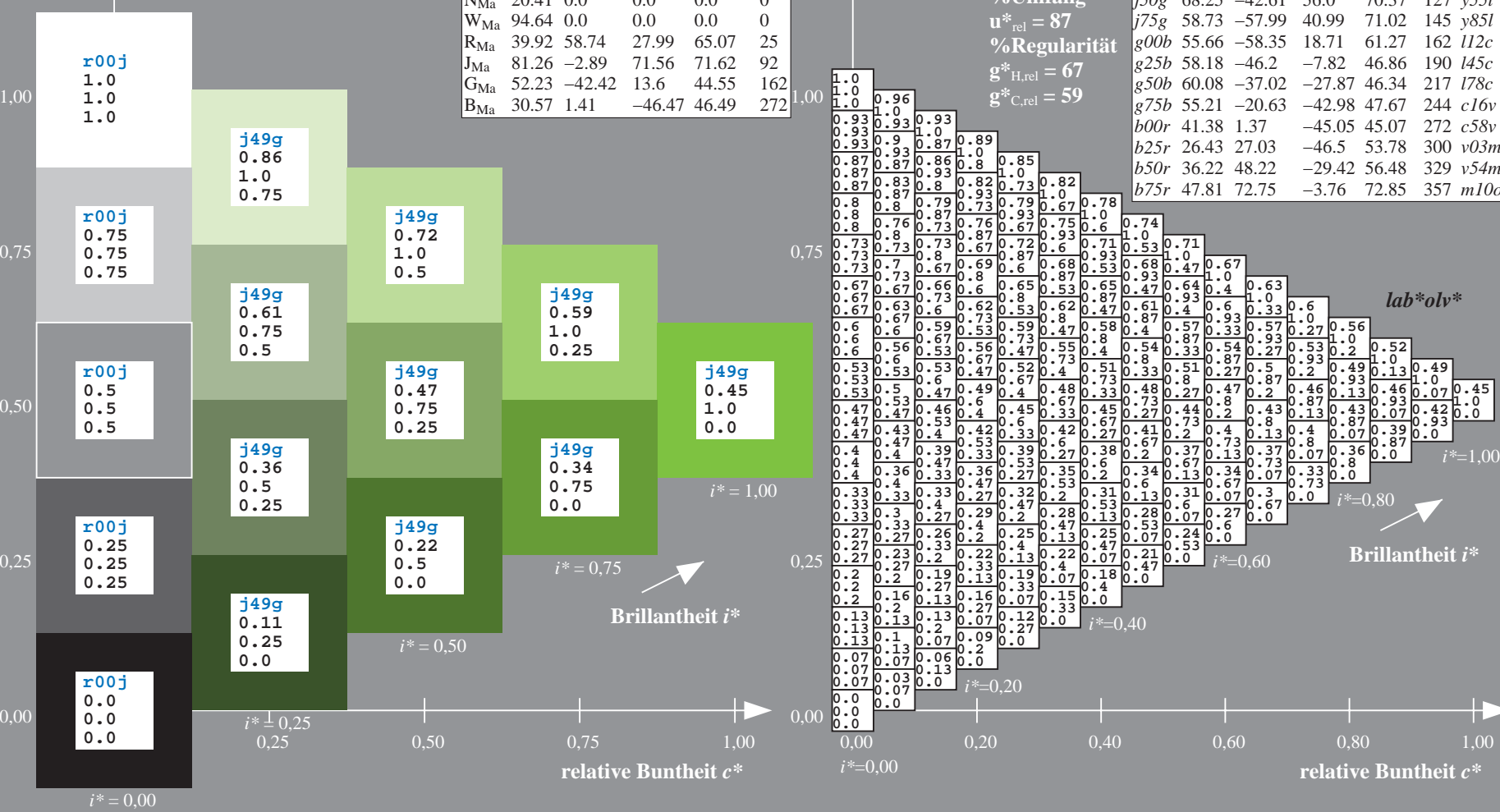
$u^*_{rel} = 87$

%Regularität

$g^*_{H,rel} = 67$

$g^*_{C,rel} = 59$

ORS20_95a; adaptierte CIELAB-Daten							
	u^*_e	$L^*=L^*_a$	a^*_a	b^*_a	$C^*_{ab,a}$	$h^*_{ab,a}$	u^*_d
r00j	47.06	67.41	32.12	74.67	25	m84o	
r25j	53.95	53.38	48.38	72.04	42	o17y	
r50j	63.6	35.87	59.45	69.43	59	o42y	
r75j	73.37	18.14	70.66	72.95	76	o68y	
j00g	85.24	-3.4	84.28	84.35	92	o93y	
j25g	78.53	-25.99	72.23	76.76	110	y24l	
j50g	68.25	-42.61	56.0	70.37	127	y55l	
j75g	58.73	-57.99	40.99	71.02	145	y85l	
g00b	55.66	-58.35	18.71	61.27	162	l12c	
g25b	58.18	-46.2	-7.82	46.86	190	l45c	
g50b	60.08	-37.02	-27.87	46.34	217	l78c	
g75b	55.21	-20.63	-42.98	47.67	244	c16v	
b00r	41.38	1.37	-45.05	45.07	272	c58v	
b25r	26.43	27.03	-46.5	53.78	300	v03m	
b50r	36.22	48.22	-29.42	56.48	329	v54m	
b75r	47.81	72.75	-3.76	72.85	357	m10o	



Siehe ähnliche Dateien: <http://www.ps.bam.de/Eg39/>; www.ps.bam.de
 Technische Information: <http://www.ps.bam.de> Version 2.1, io=1,1, ColSpx=1

BAM-Registrierung: 20081001-Eg39/10L/L39G00NA.PS/.TXT BAM-Material: Code=rhatha
 Anwendung für Beurteilung und Messung von Drucker- oder Monitorssystemen

Ein und Ausgabe: Farbmetrisches Drucker-Reflektiv-System ORS20_95a für relativen CIELAB-Buntton $h^* = lab^*h^* = h_{ab}/360 = 0.402$

Daten für jede Farbe:

lab^*tch^* und lab^*icu^*

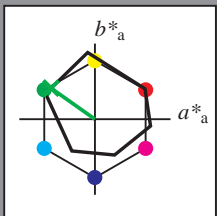
Bunttontexte:

$u^*_e = j75g$ $u^*_d = y85l$

Kontrastreduzierungsfaktor:

$c_R = 1.0$

Dreiecks-Helligkeit i^*



ORS20_95a; adaptierte CIELAB-Daten

	u^*_e	$L^*=L^*_a$	a^*_a	b^*_a	$C^*_{ab,a}$	$h^*_{ab,a}$
O _{Ma}	46.89	66.19	40.28	77.48	31	
Y _{Ma}	88.66	-9.62	88.21	88.73	96	
L _{Ma}	54.22	-65.29	33.87	73.56	153	
C _{Ma}	61.43	-30.53	-42.04	51.96	234	
V _{Ma}	25.93	25.95	-47.37	54.01	299	
M _{Ma}	47.92	73.53	-9.02	74.08	353	
N _{Ma}	20.41	0.0	0.0	0.0	0	
W _{Ma}	94.64	0.0	0.0	0.0	0	
R _{Ma}	39.92	58.74	27.99	65.07	25	
J _{Ma}	81.26	-2.89	71.56	71.62	92	
G _{Ma}	52.23	-42.42	13.6	44.55	162	
B _{Ma}	30.57	1.41	-46.47	46.49	272	

Daten für Maximalfarbe (Ma):

$LAB^*LAB^*_{Ma}$: 59 -58 41

$LAB^*LCH^*_{Ma}$: 59 71 144

$lab^*rgb^*_{Ma}$: 0.25 1.0 0.0

$lab^*olv^*_{Ma}$: 0.14 1.0 0.0

Dreiecks-Helligkeit i^*

%Umfang

$u^*_{rel} = 87$

%Regularität

$g^*_{H,rel} = 67$

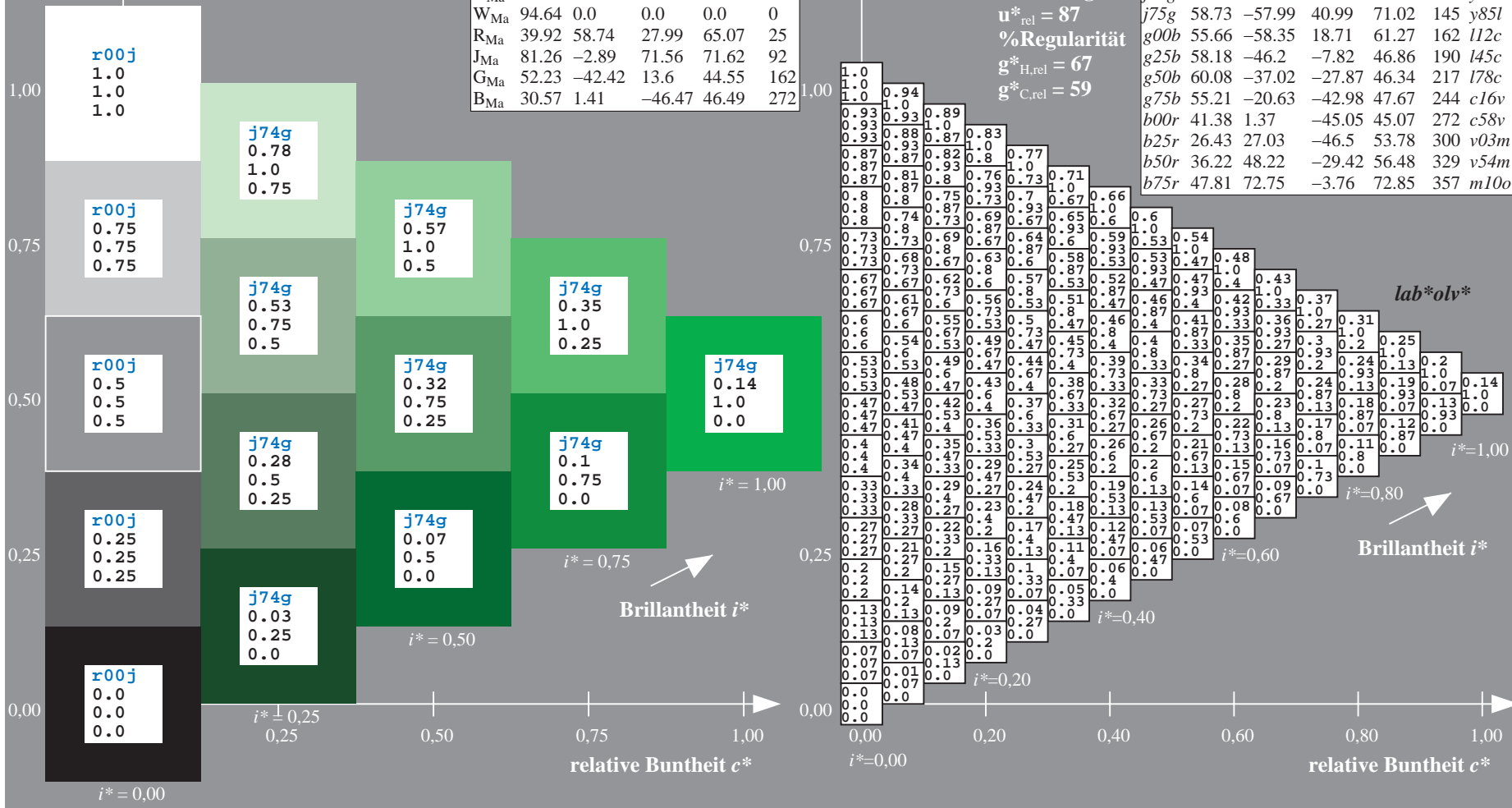
$g^*_{C,rel} = 59$

$u^*_e = j75g$

lab^*olv^*

ORS20_95a; adaptierte CIELAB-Daten

	u^*_e	$L^*=L^*_a$	a^*_a	b^*_a	$C^*_{ab,a}$	$h^*_{ab,a}$	u^*_d
r00j	47.06	67.41	32.12	74.67	25	m84o	
r25j	53.95	53.38	48.38	72.04	42	o17y	
r50j	63.6	35.87	59.45	69.43	59	o42y	
r75j	73.37	18.14	70.66	72.95	76	o68y	
j00g	85.24	-3.4	84.28	84.35	92	o93y	
j25g	78.53	-25.99	72.23	76.76	110	y24l	
j50g	68.25	-42.61	56.0	70.37	127	y51l	
j75g	58.73	-57.99	40.99	71.02	145	y85l	
g00b	55.66	-58.35	18.71	61.27	162	l12c	
g25b	58.18	-46.2	-7.82	46.86	190	l45c	
g50b	60.08	-37.02	-27.87	46.34	217	l78c	
g75b	55.21	-20.63	-42.98	47.67	244	c16v	
b00r	41.38	1.37	-45.05	45.07	272	c58v	
b25r	26.43	27.03	-46.5	53.78	300	v03m	
b50r	36.22	48.22	-29.42	56.48	329	v54m	
b75r	47.81	72.75	-3.76	72.85	357	m10o	



Siehe ähnliche Dateien: <http://www.ps.bam.de/Eg39/>; www.ps.bam.de/Version.2.1,io=1,1,Colspx=1
 Technische Information: <http://www.ps.bam.de>

BAM-Registrierung: 20081001-Eg39/10L/L39G00NA.PS/.TXT BAM-Material: Code=rhatha
 Anwendung für Beurteilung und Messung von Drucker- oder Monitorssystemen

Ein und Ausgabe: Farbmetrisches Drucker-Reflektiv-System ORS20_95a für relativen CIELAB-Buntton $h^* = lab^*h^* = h_{ab}/360 = 0.451$

Daten für jede Farbe:

lab^*tch^* und lab^*icu^*

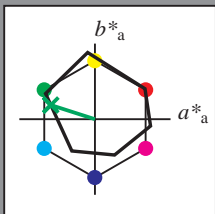
Bunttontexte:

$u^*_e = g00b$ $u^*_d = l12c$

Kontrastreduzierungsfaktor:

$c_R = 1.0$

Dreiecks-Helligkeit i^*



ORS20_95a; adaptierte CIELAB-Daten

	u^*_e	$L^*=L^*_a$	a^*_a	b^*_a	$C^*_{ab,a}$	$h^*_{ab,a}$
O _{Ma}	46.89	66.19	40.28	77.48	31	
Y _{Ma}	88.66	-9.62	88.21	88.73	96	
L _{Ma}	54.22	-65.29	33.87	73.56	153	
C _{Ma}	61.43	-30.53	-42.04	51.96	234	
V _{Ma}	25.93	25.95	-47.37	54.01	299	
M _{Ma}	47.92	73.53	-9.02	74.08	353	
N _{Ma}	20.41	0.0	0.0	0.0	0	
W _{Ma}	94.64	0.0	0.0	0.0	0	
R _{Ma}	39.92	58.74	27.99	65.07	25	
J _{Ma}	81.26	-2.89	71.56	71.62	92	
G _{Ma}	52.23	-42.42	13.6	44.55	162	
B _{Ma}	30.57	1.41	-46.47	46.49	272	

Daten für Maximalfarbe (Ma):

$LAB^*LAB^*_{Ma}$: 56 -58 19

$LAB^*LCH^*_{Ma}$: 56 61 162

$lab^*rgb^*_{Ma}$: 0.0 1.0 0.0

$lab^*olv^*_{Ma}$: 0.0 1.0 0.12

Dreiecks-Helligkeit i^*

%Umfang

$u^*_{rel} = 87$

%Regularität

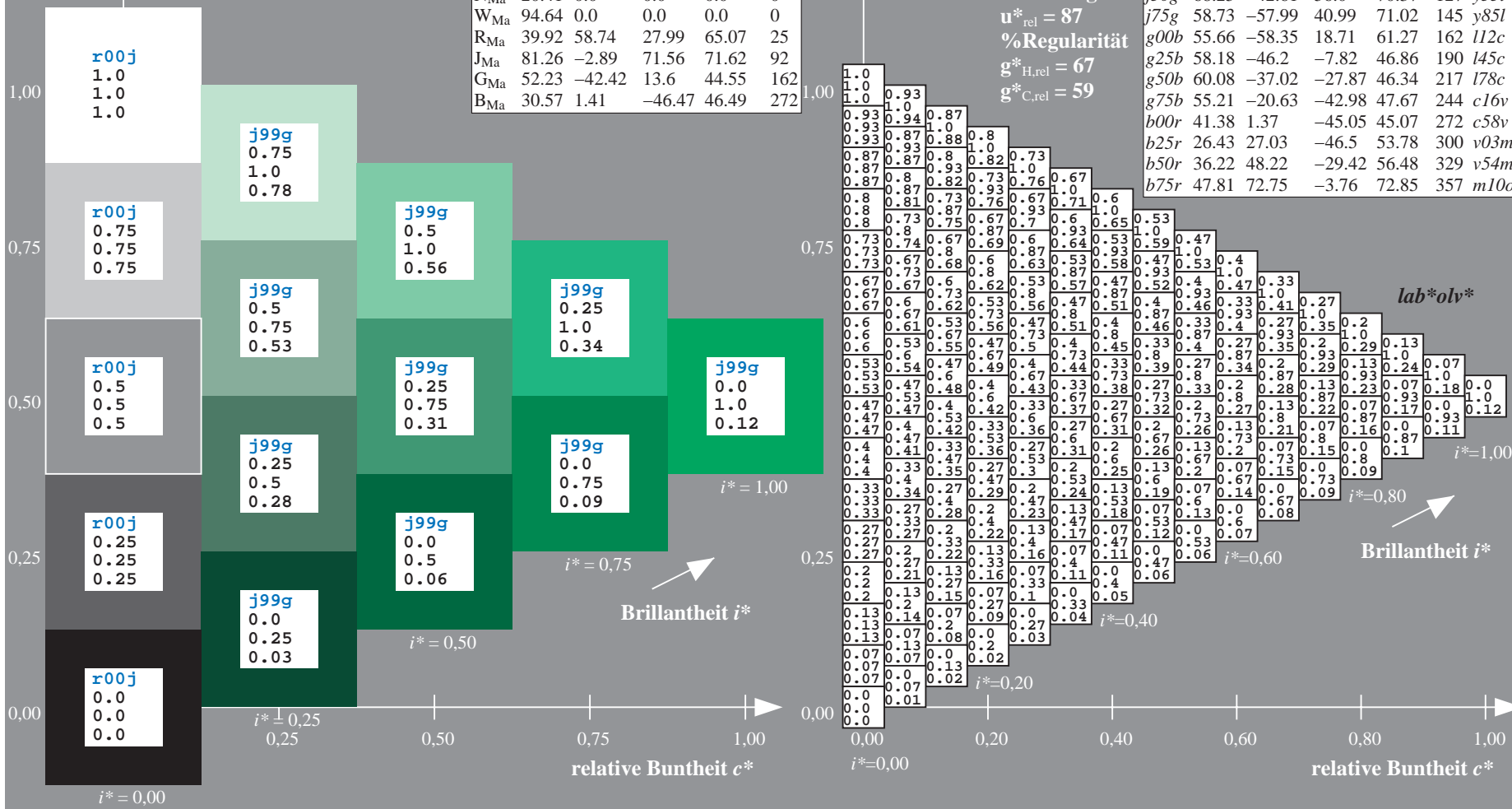
$g^*_{H,rel} = 67$

$g^*_{C,rel} = 59$

$u^*_e = g00b$
 lab^*olv^*

ORS20_95a; adaptierte CIELAB-Daten

	u^*_e	$L^*=L^*_a$	a^*_a	b^*_a	$C^*_{ab,a}$	$h^*_{ab,a}$	u^*_d
r00j	47.06	67.41	32.12	74.67	25	m84o	
r25j	53.95	53.38	48.38	72.04	42	o17y	
r50j	63.6	35.87	59.45	69.43	59	o42y	
r75j	73.37	18.14	70.66	72.95	76	o68y	
j00g	85.24	-3.4	84.28	84.35	92	o93y	
j25g	78.53	-25.99	72.23	76.76	110	y24l	
j50g	68.25	-42.61	56.0	70.37	127	y51l	
j75g	58.73	-57.99	40.99	71.02	145	y85l	
g00b	55.66	-58.35	18.71	61.27	162	l12c	
g25b	58.18	-46.2	-7.82	46.86	190	l45c	
g50b	60.08	-37.02	-27.87	46.34	217	l78c	
g75b	55.21	-20.63	-42.98	47.67	244	c16v	
b00r	41.38	1.37	-45.05	45.07	272	c58v	
b25r	26.43	27.03	-46.5	53.78	300	v03m	
b50r	36.22	48.22	-29.42	56.48	329	v54m	
b75r	47.81	72.75	-3.76	72.85	357	m10o	



Siehe ähnliche Dateien: <http://www.ps.bam.de/Eg39/>; [http://www.ps.bam.de/Version 2.1, io=1,1, Colspx=1](http://www.ps.bam.de/Version%201.1,io=1,1,Colspx=1)
 Technische Information: <http://www.ps.bam.de>

BAM-Registrierung: 20081001-Eg39/10L/L39G00NA.PS/.TXT BAM-Material: Code=rhatha
 Anwendung für Beurteilung und Messung von Drucker- oder Monitorssystemen

Ein und Ausgabe: Farbmetrisches Drucker-Reflektiv-System ORS20_95a für relativen CIELAB-Bunton $h^* = lab^*h^* = h_{ab}/360 = 0.527$

Daten für jede Farbe:

lab^*tch^* und lab^*icu^*

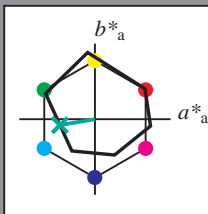
Buntontexte:

$u^*_e = g25b$ $u^*_d = l45c$

Kontrastreduzierungsfaktor:

$c_R = 1.0$

Dreiecks-Helligkeit i^*



ORS20_95a; adaptierte CIELAB-Daten

	u^*_e	$L^*=L^*_a$	a^*_a	b^*_a	$C^*_{ab,a}$	$h^*_{ab,a}$
O _{Ma}	46.89	66.19	40.28	77.48	31	
Y _{Ma}	88.66	-9.62	88.21	88.73	96	
L _{Ma}	54.22	-65.29	33.87	73.56	153	
C _{Ma}	61.43	-30.53	-42.04	51.96	234	
V _{Ma}	25.93	25.95	-47.37	54.01	299	
M _{Ma}	47.92	73.53	-9.02	74.08	353	
N _{Ma}	20.41	0.0	0.0	0.0	0	
W _{Ma}	94.64	0.0	0.0	0.0	0	
R _{Ma}	39.92	58.74	27.99	65.07	25	
J _{Ma}	81.26	-2.89	71.56	71.62	92	
G _{Ma}	52.23	-42.42	13.6	44.55	162	
B _{Ma}	30.57	1.41	-46.47	46.49	272	

Daten für Maximalfarbe (Ma):

$LAB^*LAB^*_{Ma}$: 58 -46 -8

$LAB^*LCH^*_{Ma}$: 58 47 189

$lab^*rgb^*_{Ma}$: 0.0 1.0 0.5

$lab^*olv^*_{Ma}$: 0.0 1.0 0.45

Dreiecks-Helligkeit i^*

%Umfang

$u^*_{rel} = 87$

%Regularität

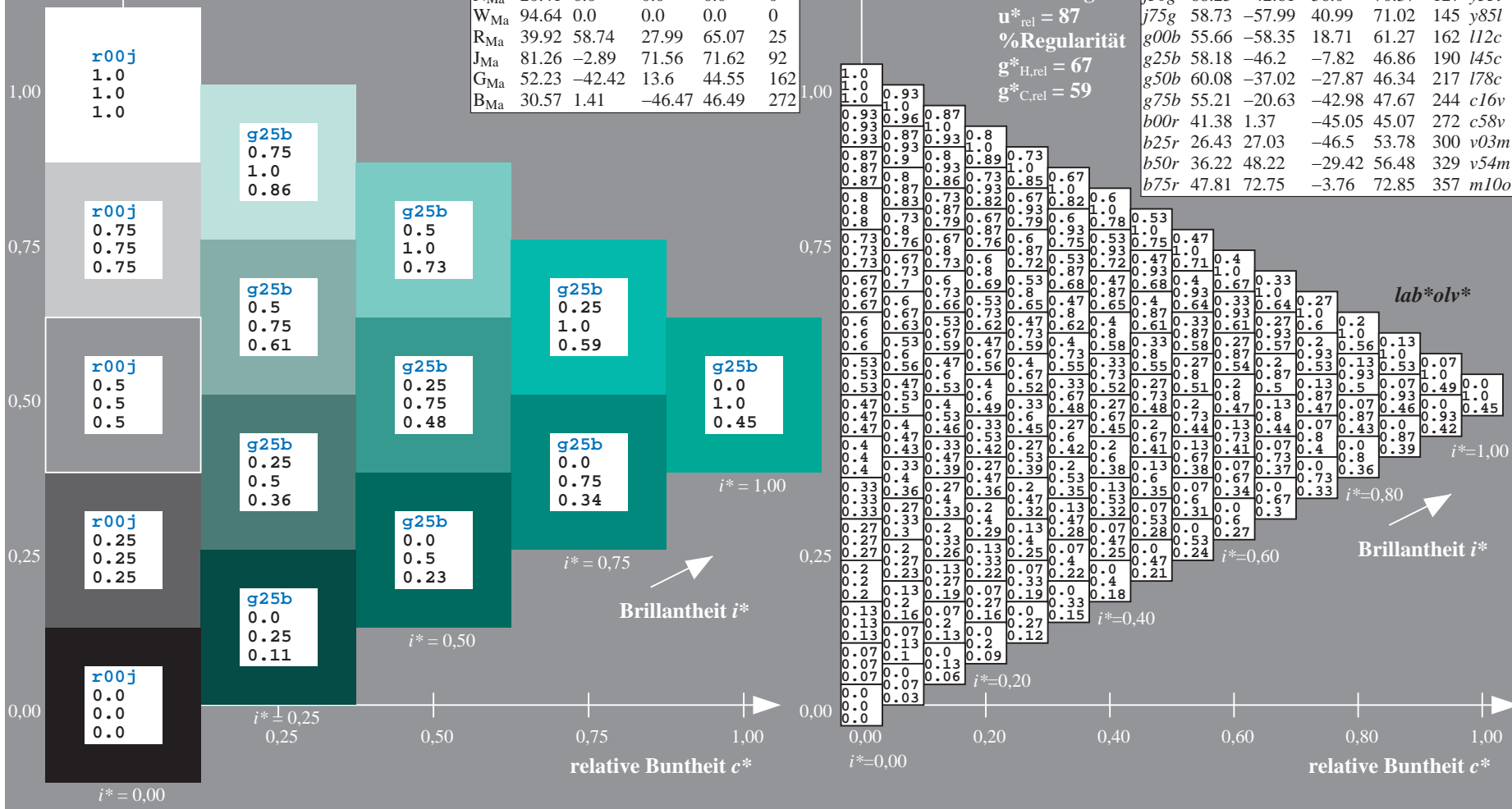
$g^*_{H,rel} = 67$

$g^*_{C,rel} = 59$

$u^*_e = g25b$
 lab^*olv^*

ORS20_95a; adaptierte CIELAB-Daten

	u^*_e	$L^*=L^*_a$	a^*_a	b^*_a	$C^*_{ab,a}$	$h^*_{ab,a}$	u^*_d
r00j	47.06	67.41	32.12	74.67	25	m84o	
r25j	53.95	53.38	48.38	72.04	42	o17y	
r50j	63.6	35.87	59.45	69.43	59	o42y	
r75j	73.37	18.14	70.66	72.95	76	o68y	
j00g	85.24	-3.4	84.28	84.35	92	o93y	
j25g	78.53	-25.99	72.23	76.76	110	y24l	
j50g	68.25	-42.61	56.0	70.37	127	y51l	
j75g	58.73	-57.99	40.99	71.02	145	y85l	
g00b	55.66	-58.35	18.71	61.27	162	l12c	
g25b	58.18	-46.2	-7.82	46.86	190	l45c	
g50b	60.08	-37.02	-27.87	46.34	217	l78c	
g75b	55.21	-20.63	-42.98	47.67	244	c16v	
b00r	41.38	1.37	-45.05	45.07	272	c58v	
b25r	26.43	27.03	-46.5	53.78	300	v03m	
b50r	36.22	48.22	-29.42	56.48	329	v54m	
b75r	47.81	72.75	-3.76	72.85	357	m10o	



Siehe ähnliche Dateien: <http://www.ps.bam.de/Eg39/>; www.ps.bam.de/Version 2.1, io=1,1, ColSpx=1
 Technische Information: <http://www.ps.bam.de/Version 2.1, io=1,1, ColSpx=1>

BAM-Registrierung: 20081001-Eg39/10L/L39G00NA.PS/.TXT BAM-Material: Code=rhatha
 Anwendung für Beurteilung und Messung von Drucker- oder Monitorssystemen

Ein und Ausgabe: Farbmatisches Drucker-Reflektiv-System ORS20_95a für relativen CIELAB-Buntton $h^* = lab^*h^* = h_{ab}/360 = 0.603$

Daten für jede Farbe:

lab^*tch^* und lab^*icu^*

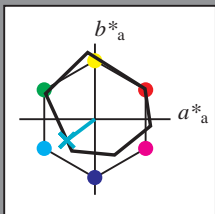
Bunttontexte:

$u^*_e = g50b$ $u^*_d = l78c$

Kontrastreduzierungsfaktor:

$c_R = 1.0$

Dreiecks-Helligkeit i^*



ORS20_95a; adaptierte CIELAB-Daten

	u^*_e	$L^*=L^*_a$	a^*_a	b^*_a	$C^*_{ab,a}$	$h^*_{ab,a}$
O _{Ma}	46.89	66.19	40.28	77.48	31	
Y _{Ma}	88.66	-9.62	88.21	88.73	96	
L _{Ma}	54.22	-65.29	33.87	73.56	153	
C _{Ma}	61.43	-30.53	-42.04	51.96	234	
V _{Ma}	25.93	25.95	-47.37	54.01	299	
M _{Ma}	47.92	73.53	-9.02	74.08	353	
N _{Ma}	20.41	0.0	0.0	0.0	0	
W _{Ma}	94.64	0.0	0.0	0.0	0	
R _{Ma}	39.92	58.74	27.99	65.07	25	
J _{Ma}	81.26	-2.89	71.56	71.62	92	
G _{Ma}	52.23	-42.42	13.6	44.55	162	
B _{Ma}	30.57	1.41	-46.47	46.49	272	

Daten für Maximalfarbe (Ma):

$LAB^*LAB^*_{Ma}$: 60 -37 -28

$LAB^*LCH^*_{Ma}$: 60 46 216

$lab^*rgb^*_{Ma}$: 0.0 1.0 1.0

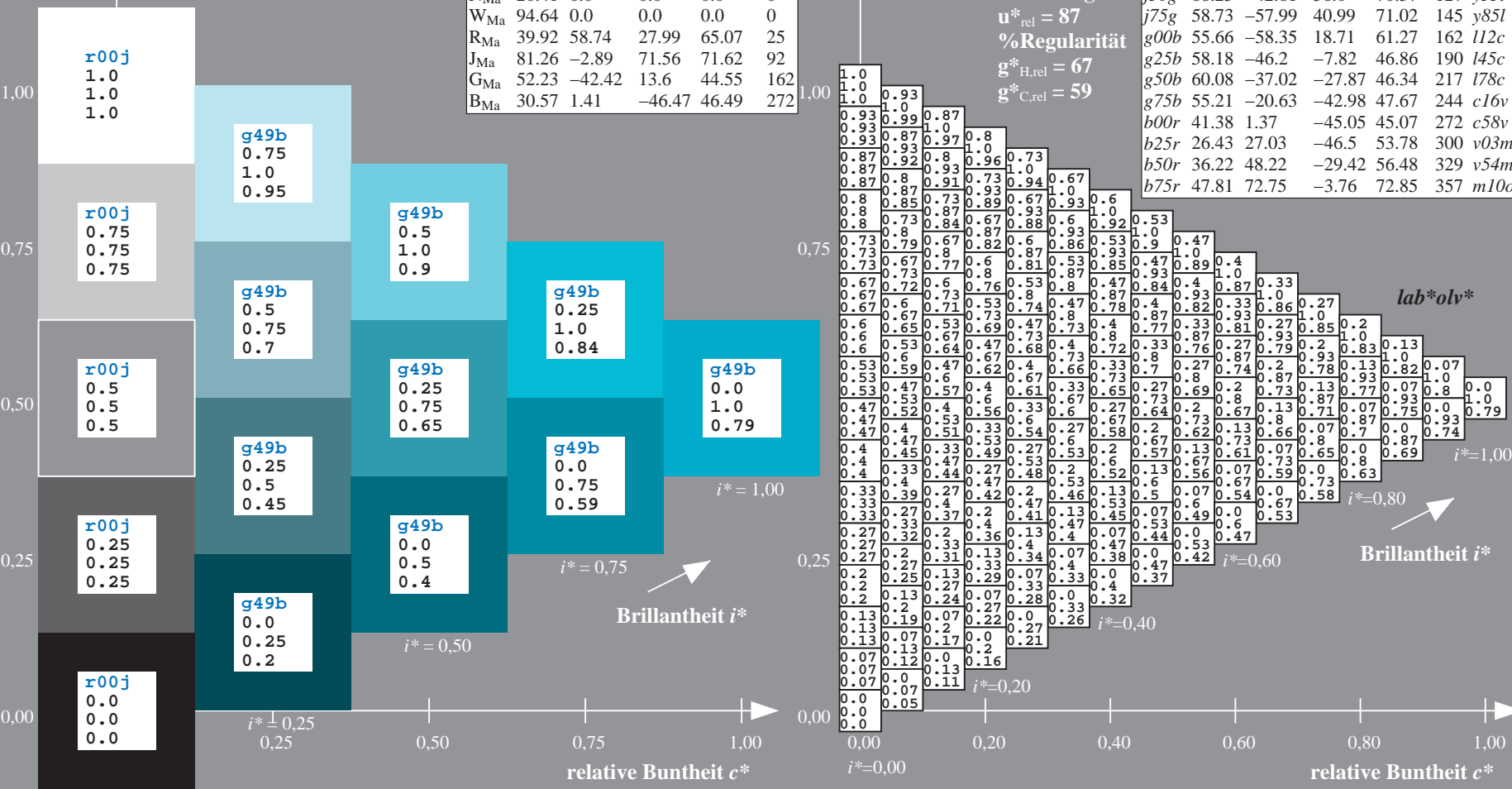
$lab^*olv^*_{Ma}$: 0.0 1.0 0.79

Dreiecks-Helligkeit i^*

%Umfang
 $u^*_{rel} = 87$
 %Regularität
 $g^*_{H,rel} = 67$
 $g^*_{C,rel} = 59$

ORS20_95a; adaptierte CIELAB-Daten

	u^*_e	$L^*=L^*_a$	a^*_a	b^*_a	$C^*_{ab,a}$	$h^*_{ab,a}$	u^*_d
r00j	47.06	67.41	32.12	74.67	25	m84o	
r25j	53.95	53.38	48.38	72.04	42	o17y	
r50j	63.6	35.87	59.45	69.43	59	o42y	
r75j	73.37	18.14	70.66	72.95	76	o68y	
j00g	85.24	-3.4	84.28	84.35	92	o93y	
j25g	78.53	-25.99	72.23	76.76	110	y24l	
j50g	68.25	-42.61	56.0	70.37	127	y51l	
j75g	58.73	-57.99	40.99	71.02	145	y85l	
g00b	55.66	-58.35	18.71	61.27	162	l12c	
g25b	58.18	-46.2	-7.82	46.86	190	l45c	
g50b	60.08	-37.02	-27.87	46.34	217	l78c	
g75b	55.21	-20.63	-42.98	47.67	244	c16v	
b00r	41.38	1.37	-45.05	45.07	272	c58v	
b25r	26.43	27.03	-46.5	53.78	300	v03m	
b50r	36.22	48.22	-29.42	56.48	329	v54m	
b75r	47.81	72.75	-3.76	72.85	357	m10o	



Siehe ähnliche Dateien: <http://www.ps.bam.de/Eg39/>; www.ps.bam.de/Version 2.1, io=1,1, ColSpX=1
 Technische Information: <http://www.ps.bam.de>

BAM-Registrierung: 20081001-Eg39/10L/L39G00NA.PS/.TXT BAM-Material: Code=rhatha
 Anwendung für Beurteilung und Messung von Drucker- oder Monitorssystemen

Ein und Ausgabe: Farbmetrisches Drucker-Reflektiv-System ORS20_95a für relativen CIELAB-Buntton $h^* = lab^*h^* = h_{ab}/360 = 0.679$

Daten für jede Farbe:

lab^*tch^* und lab^*icu^*

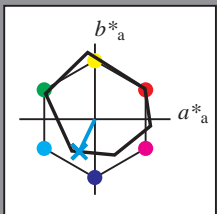
Bunttontexte:

$u^*_e = g75b$ $u^*_d = c16v$

Kontrastreduzierungsfaktor:

$c_R = 1.0$

Dreiecks-Helligkeit t^*



ORS20_95a; adaptierte CIELAB-Daten

	u^*_e	$L^*=L^*_a$	a^*_a	b^*_a	$C^*_{ab,a}$	$h^*_{ab,a}$
O _{Ma}	46.89	66.19	40.28	77.48	31	
Y _{Ma}	88.66	-9.62	88.21	88.73	96	
L _{Ma}	54.22	-65.29	33.87	73.56	153	
C _{Ma}	61.43	-30.53	-42.04	51.96	234	
V _{Ma}	25.93	25.95	-47.37	54.01	299	
M _{Ma}	47.92	73.53	-9.02	74.08	353	
N _{Ma}	20.41	0.0	0.0	0.0	0	
W _{Ma}	94.64	0.0	0.0	0.0	0	
R _{Ma}	39.92	58.74	27.99	65.07	25	
J _{Ma}	81.26	-2.89	71.56	71.62	92	
G _{Ma}	52.23	-42.42	13.6	44.55	162	
B _{Ma}	30.57	1.41	-46.47	46.49	272	

Daten für Maximalfarbe (Ma):

$LAB^*LAB^*_{Ma}$: 55 -21 -43

$LAB^*LCH^*_{Ma}$: 55 48 244

$lab^*rgb^*_{Ma}$: 0.0 0.5 1.0

$lab^*olv^*_{Ma}$: 0.0 0.84 1.0

Dreiecks-Helligkeit t^*

%Umfang

$u^*_{rel} = 87$

%Regularität

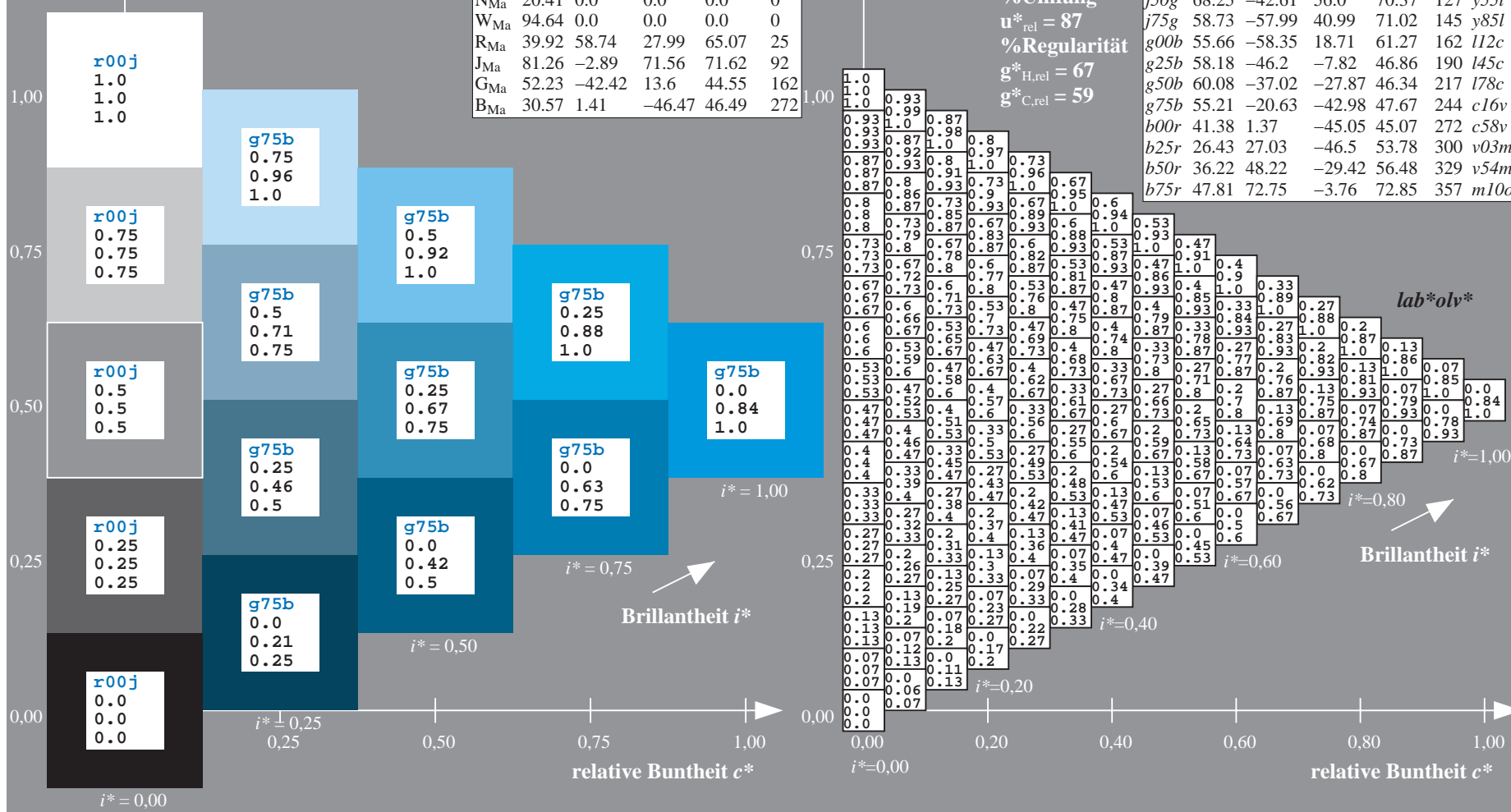
$g^*_{H,rel} = 67$

$g^*_{C,rel} = 59$

$u^*_e = g75b$
 lab^*olv^*

ORS20_95a; adaptierte CIELAB-Daten

	u^*_e	$L^*=L^*_a$	a^*_a	b^*_a	$C^*_{ab,a}$	$h^*_{ab,a}$	u^*_d
r00j	47.06	67.41	32.12	74.67	25	m84o	
r25j	53.95	53.38	48.38	72.04	42	o17y	
r50j	63.6	35.87	59.45	69.43	59	o42y	
r75j	73.37	18.14	70.66	72.95	76	o68y	
j00g	85.24	-3.4	84.28	84.35	92	o93y	
j25g	78.53	-25.99	72.23	76.76	110	y24l	
j50g	68.25	-42.61	56.0	70.37	127	y51l	
j75g	58.73	-57.99	40.99	71.02	145	y85l	
g00b	55.66	-58.35	18.71	61.27	162	l12c	
g25b	58.18	-46.2	-7.82	46.86	190	l45c	
g50b	60.08	-37.02	-27.87	46.34	217	l78c	
g75b	55.21	-20.63	-42.98	47.67	244	c16v	
b00r	41.38	1.37	-45.05	45.07	272	c58v	
b25r	26.43	27.03	-46.5	53.78	300	v03m	
b50r	36.22	48.22	-29.42	56.48	329	v54m	
b75r	47.81	72.75	-3.76	72.85	357	m10o	



Siehe ähnliche Dateien: <http://www.ps.bam.de/Eg39/>; www.ps.bam.de/Version.2.1,io=1,1,Colspx=1
 Technische Information: <http://www.ps.bam.de>

BAM-Registrierung: 20081001-Eg39/10L/L39G00NA.PS/.TXT BAM-Material: Code=rhatha
 Anwendung für Beurteilung und Messung von Drucker- oder Monitorssystemen

Ein und Ausgabe: Farbmetrisches Drucker-Reflektiv-System ORS20_95a für relativen CIELAB-Bunton $h^* = lab^*h^* = h_{ab}/360 = 0.755$

Daten für jede Farbe:

lab^*ch^* und lab^*icu^*

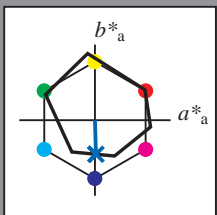
Buntontexte:

$u^*_e = b00r$ $u^*_d = c58v$

Kontrastreduzierungsfaktor:

$c_R = 1.0$

Dreiecks-Helligkeit i^*



ORS20_95a; adaptierte CIELAB-Daten

	u^*_e	$L^*=L^*_a$	a^*_a	b^*_a	$C^*_{ab,a}$	$h^*_{ab,a}$
O _{Ma}	46.89	66.19	40.28	77.48	31	
Y _{Ma}	88.66	-9.62	88.21	88.73	96	
L _{Ma}	54.22	-65.29	33.87	73.56	153	
C _{Ma}	61.43	-30.53	-42.04	51.96	234	
V _{Ma}	25.93	25.95	-47.37	54.01	299	
M _{Ma}	47.92	73.53	-9.02	74.08	353	
N _{Ma}	20.41	0.0	0.0	0.0	0	
W _{Ma}	94.64	0.0	0.0	0.0	0	
R _{Ma}	39.92	58.74	27.99	65.07	25	
J _{Ma}	81.26	-2.89	71.56	71.62	92	
G _{Ma}	52.23	-42.42	13.6	44.55	162	
B _{Ma}	30.57	1.41	-46.47	46.49	272	

Daten für Maximalfarbe (Ma):

$LAB^*LAB^*_{Ma}$: 41 1 -45

$LAB^*LCH^*_{Ma}$: 41 45 271

$lab^*rgb^*_{Ma}$: 0.0 0.0 1.0

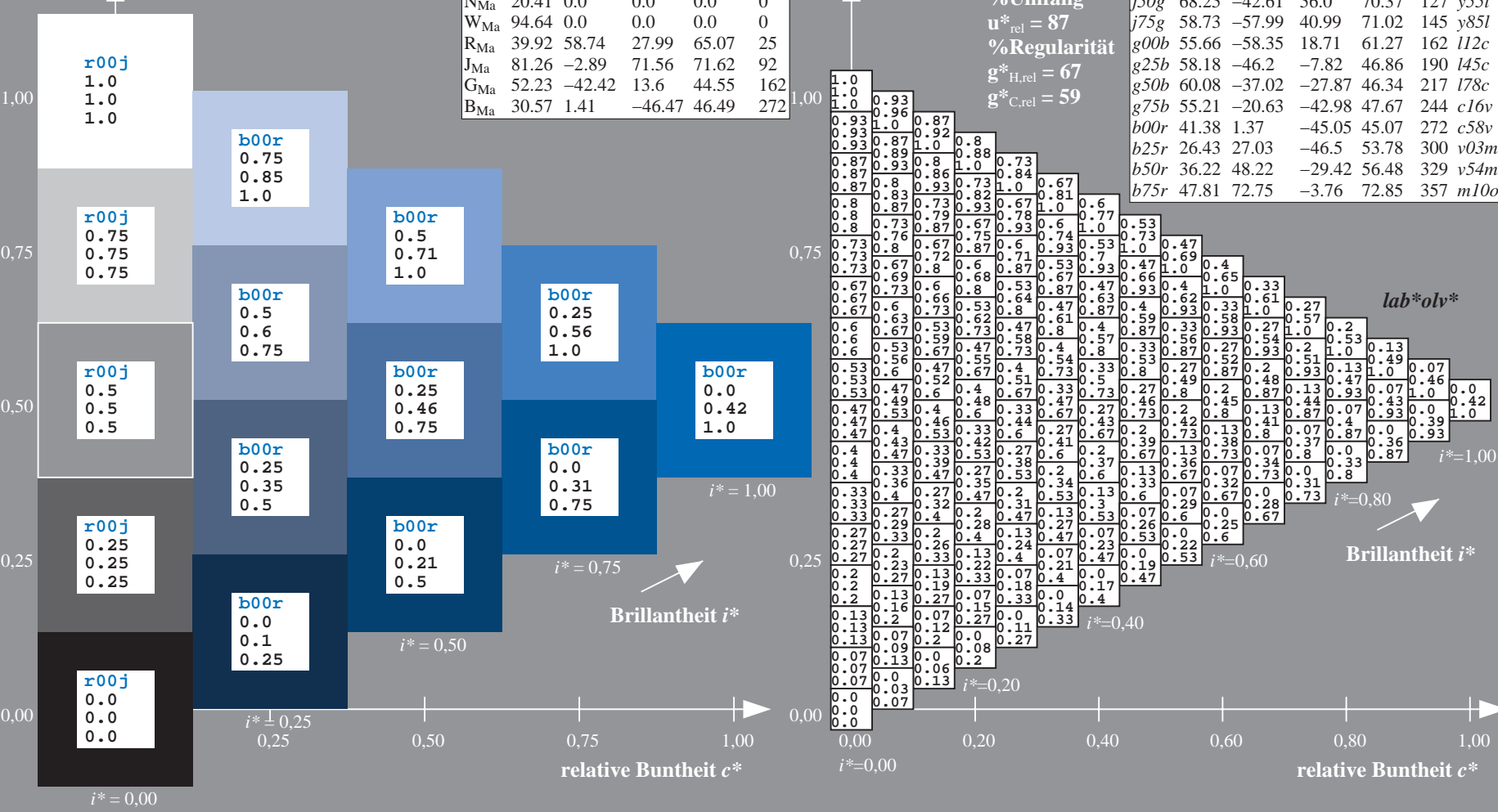
$lab^*olv^*_{Ma}$: 0.0 0.42 1.0

Dreiecks-Helligkeit i^*

%Umfang
 $u^*_{rel} = 87$
 %Regularität
 $g^*_{H,rel} = 67$
 $g^*_{C,rel} = 59$

ORS20_95a; adaptierte CIELAB-Daten

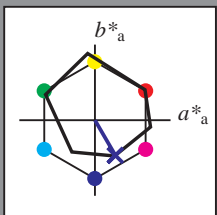
	u^*_e	$L^*=L^*_a$	a^*_a	b^*_a	$C^*_{ab,a}$	$h^*_{ab,a}$	u^*_d
r00j	47.06	67.41	32.12	74.67	25	m84o	
r25j	53.95	53.38	48.38	72.04	42	o17y	
r50j	63.6	35.87	59.45	69.43	59	o42y	
r75j	73.37	18.14	70.66	72.95	76	o68y	
j00g	85.24	-3.4	84.28	84.35	92	o93y	
j25g	78.53	-25.99	72.23	76.76	110	y24l	
j50g	68.25	-42.61	56.0	70.37	127	y51l	
j75g	58.73	-57.99	40.99	71.02	145	y85l	
g00b	55.66	-58.35	18.71	61.27	162	l12c	
g25b	58.18	-46.2	-7.82	46.86	190	l45c	
g50b	60.08	-37.02	-27.87	46.34	217	l78c	
g75b	55.21	-20.63	-42.98	47.67	244	c16v	
b00r	41.38	1.37	-45.05	45.07	272	c58v	
b25r	26.43	27.03	-46.5	53.78	300	v03m	
b50r	36.22	48.22	-29.42	56.48	329	v54m	
b75r	47.81	72.75	-3.76	72.85	357	m10o	



Ein und Ausgabe: Farbmetrisches Drucker-Reflektiv-System ORS20_95a für relativen CIELAB-Buntton $h^* = lab^*h^* = h_{ab}/360 = 0.834$

Daten für jede Farbe:
 lab^*ch^* und lab^*icu^*

Bunttontexte:
 $u^*_e = b25r$ $u^*_d = v03m$
 Kontrastreduzierungsfaktor:
 $c_R = 1.0$
 Dreiecks-Helligkeit i^*



ORS20_95a; adaptierte CIELAB-Daten

	u^*_e	$L^*=L^*_a$	a^*_a	b^*_a	$C^*_{ab,a}$	$h^*_{ab,a}$
O _{Ma}	46.89	66.19	40.28	77.48	31	
Y _{Ma}	88.66	-9.62	88.21	88.73	96	
L _{Ma}	54.22	-65.29	33.87	73.56	153	
C _{Ma}	61.43	-30.53	-42.04	51.96	234	
V _{Ma}	25.93	25.95	-47.37	54.01	299	
M _{Ma}	47.92	73.53	-9.02	74.08	353	
N _{Ma}	20.41	0.0	0.0	0.0	0	
W _{Ma}	94.64	0.0	0.0	0.0	0	
R _{Ma}	39.92	58.74	27.99	65.07	25	
J _{Ma}	81.26	-2.89	71.56	71.62	92	
G _{Ma}	52.23	-42.42	13.6	44.55	162	
B _{Ma}	30.57	1.41	-46.47	46.49	272	

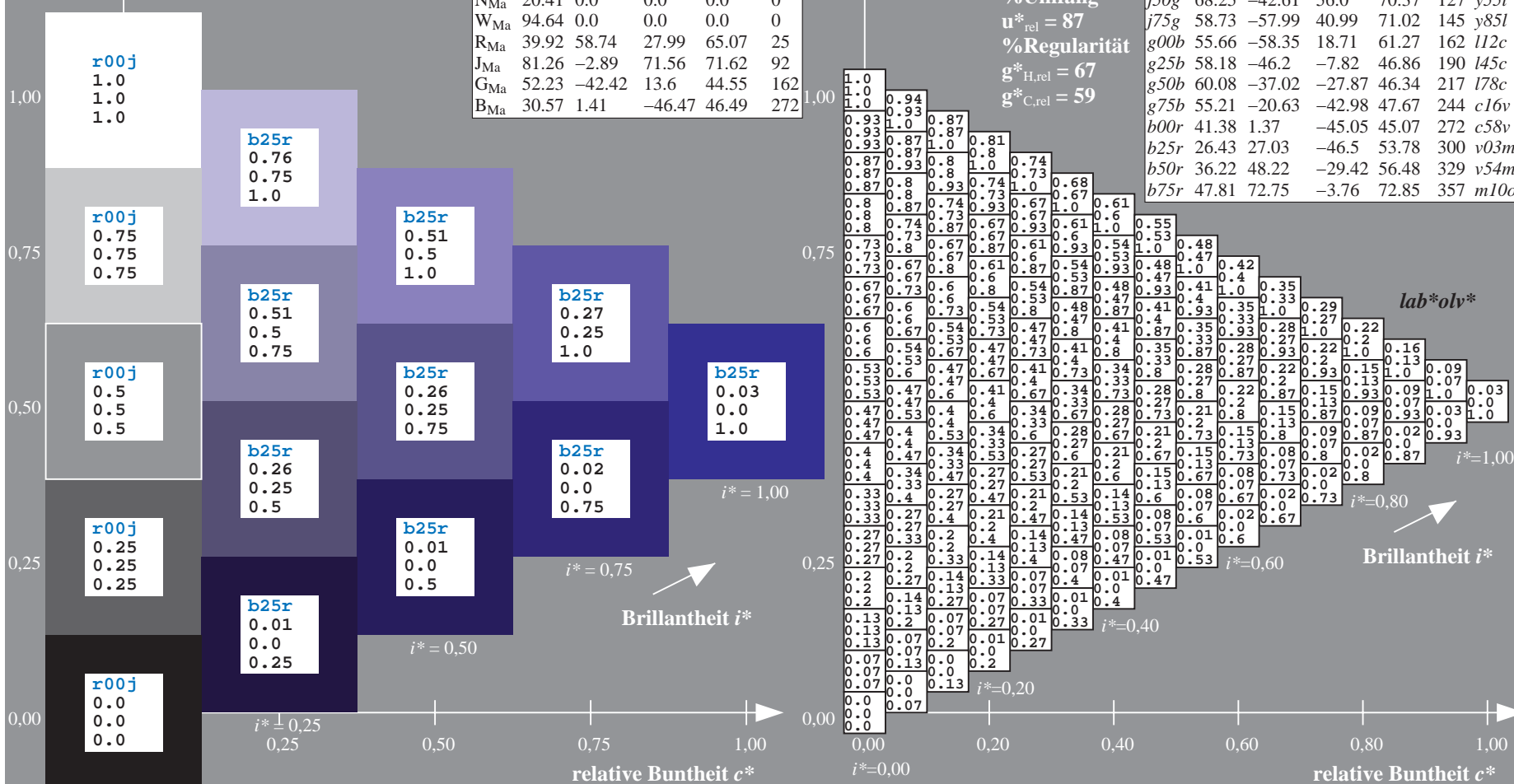
Daten für Maximalfarbe (Ma):

$LAB^*LAB^*_{Ma}$: 26 27 -46
 $LAB^*LCH^*_{Ma}$: 26 54 300
 $lab^*rgb^*_{Ma}$: 0.5 0.0 1.0
 $lab^*olv^*_{Ma}$: 0.03 0.0 1.0

Dreiecks-Helligkeit i^*
 %Umfang
 $u^*_{rel} = 87$
 %Regularität
 $g^*_{H,rel} = 67$
 $g^*_{C,rel} = 59$

ORS20_95a; adaptierte CIELAB-Daten

	u^*_e	$L^*=L^*_a$	a^*_a	b^*_a	$C^*_{ab,a}$	$h^*_{ab,a}$	u^*_d
r00j	47.06	67.41	32.12	74.67	25	m84o	
r25j	53.95	53.38	48.38	72.04	42	o17y	
r50j	63.6	35.87	59.45	69.43	59	o42y	
r75j	73.37	18.14	70.66	72.95	76	o68y	
j00g	85.24	-3.4	84.28	84.35	92	o93y	
j25g	78.53	-25.99	72.23	76.76	110	y24l	
j50g	68.25	-42.61	56.0	70.37	127	y51l	
j75g	58.73	-57.99	40.99	71.02	145	y85l	
g00b	55.66	-58.35	18.71	61.27	162	l12c	
g25b	58.18	-46.2	-7.82	46.86	190	l45c	
g50b	60.08	-37.02	-27.87	46.34	217	l78c	
g75b	55.21	-20.63	-42.98	47.67	244	c16v	
b00r	41.38	1.37	-45.05	45.07	272	c58v	
b25r	26.43	27.03	-46.5	53.78	300	v03m	
b50r	36.22	48.22	-29.42	56.48	329	v54m	
b75r	47.81	72.75	-3.76	72.85	357	m10o	



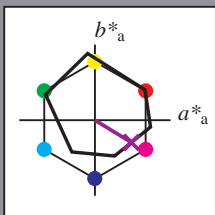
Siehe ähnliche Dateien: <http://www.ps.bam.de/Eg39/>; www.ps.bam.de/Eg.HTM
 Technische Information: <http://www.ps.bam.de> Version 2.1, io=1,1, ColSpx=1

BAM-Registrierung: 20081001-Eg39/10L/L39G00NA.PS/.TXT BAM-Material: Code=rh4ta
 Anwendung für Beurteilung und Messung von Drucker- oder Monitorssystemen

Ein und Ausgabe: Farbmetrisches Drucker-Reflektiv-System ORS20_95a für relativen CIELAB-Buntton $h^* = lab^*h^* = h_{ab}/360 = 0.913$

Daten für jede Farbe:
 lab^*ch^* und lab^*icu^*

Bunttontexte:
 $u^*_e = b50r$ $u^*_d = v54m$
 Kontrastreduzierungsfaktor:
 $c_R = 1.0$
 Dreiecks-Helligkeit i^*



ORS20_95a; adaptierte CIELAB-Daten

	u^*_e	$L^*=L^*_a$	a^*_a	b^*_a	$C^*_{ab,a}$	$h^*_{ab,a}$
O _{Ma}	46.89	66.19	40.28	77.48	31	
Y _{Ma}	88.66	-9.62	88.21	88.73	96	
L _{Ma}	54.22	-65.29	33.87	73.56	153	
C _{Ma}	61.43	-30.53	-42.04	51.96	234	
V _{Ma}	25.93	25.95	-47.37	54.01	299	
M _{Ma}	47.92	73.53	-9.02	74.08	353	
N _{Ma}	20.41	0.0	0.0	0.0	0	
W _{Ma}	94.64	0.0	0.0	0.0	0	
R _{Ma}	39.92	58.74	27.99	65.07	25	
J _{Ma}	81.26	-2.89	71.56	71.62	92	
G _{Ma}	52.23	-42.42	13.6	44.55	162	
B _{Ma}	30.57	1.41	-46.47	46.49	272	

Daten für Maximalfarbe (Ma):

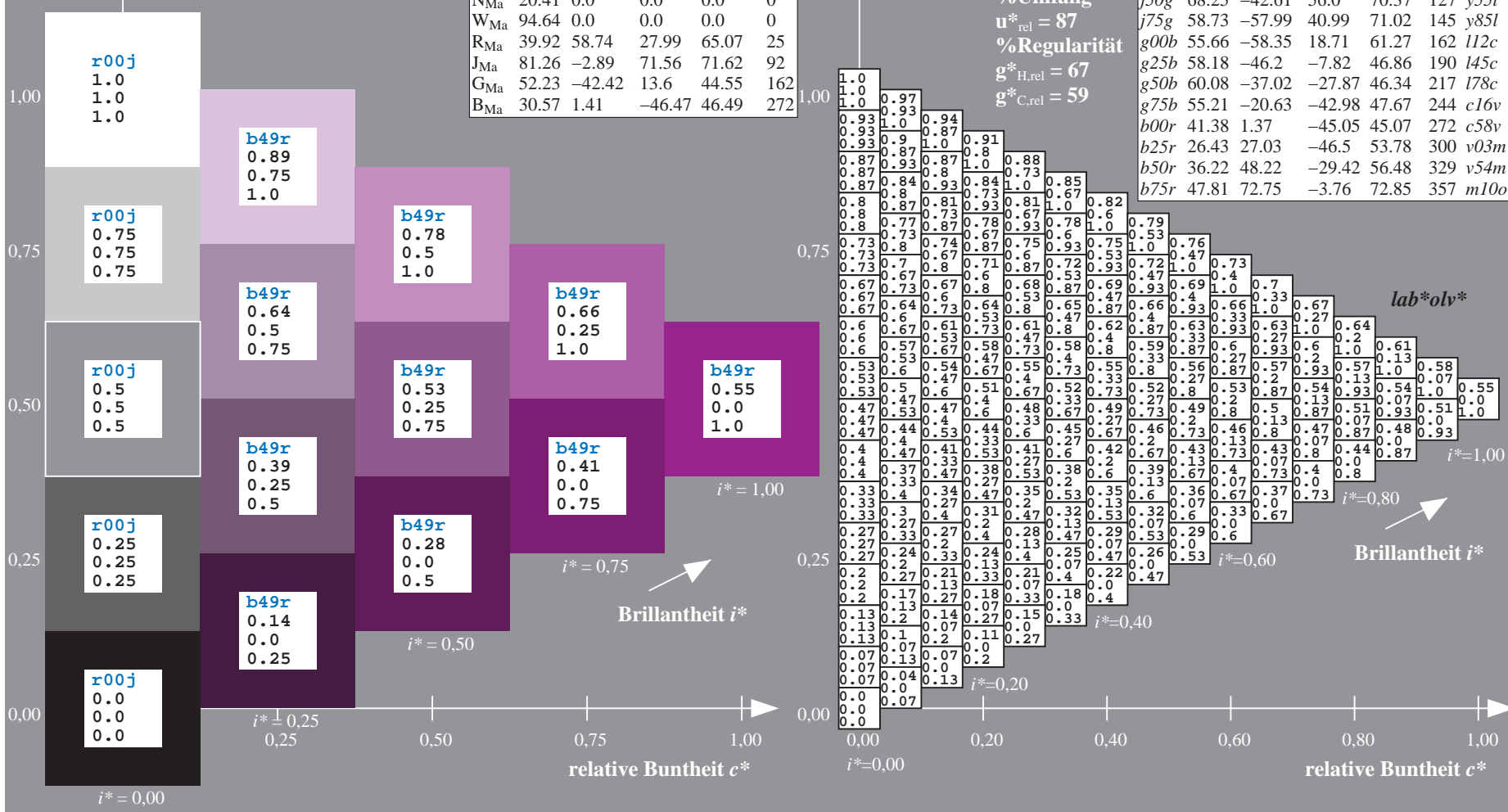
$LAB^*LAB^*_{Ma}$: 36 48 -29
 $LAB^*LCH^*_{Ma}$: 36 56 328
 $lab^*rgb^*_{Ma}$: 1.0 0.0 1.0
 $lab^*olv^*_{Ma}$: 0.55 0.0 1.0

Dreiecks-Helligkeit i^*

%Umfang
 $u^*_{rel} = 87$
 %Regularität
 $g^*_{H,rel} = 67$
 $g^*_{C,rel} = 59$

ORS20_95a; adaptierte CIELAB-Daten

	u^*_e	$L^*=L^*_a$	a^*_a	b^*_a	$C^*_{ab,a}$	$h^*_{ab,a}$	u^*_d
r00j	47.06	67.41	32.12	74.67	25	m84o	
r25j	53.95	53.38	48.38	72.04	42	o17y	
r50j	63.6	35.87	59.45	69.43	59	o42y	
r75j	73.37	18.14	70.66	72.95	76	o68y	
j00g	85.24	-3.4	84.28	84.35	92	o93y	
j25g	78.53	-25.99	72.23	76.76	110	y24l	
j50g	68.25	-42.61	56.0	70.37	127	y51l	
j75g	58.73	-57.99	40.99	71.02	145	y85l	
g00b	55.66	-58.35	18.71	61.27	162	l12c	
g25b	58.18	-46.2	-7.82	46.86	190	l45c	
g50b	60.08	-37.02	-27.87	46.34	217	l78c	
g75b	55.21	-20.63	-42.98	47.67	244	c16v	
b00r	41.38	1.37	-45.05	45.07	272	c58v	
b25r	26.43	27.03	-46.5	53.78	300	v03m	
b50r	36.22	48.22	-29.42	56.48	329	v54m	
b75r	47.81	72.75	-3.76	72.85	357	m10o	



Siehe ähnliche Dateien: <http://www.ps.bam.de/Eg39/>; www.ps.bam.de/Eg39/HTM
 Technische Information: <http://www.ps.bam.de> Version 2.1, io=1,1, ColSpx=1

BAM-Registrierung: 20081001-Eg39/10L/L39G00NA.PS/.TXT BAM-Material: Code=rh4ta
 Anwendung für Beurteilung und Messung von Drucker- oder Monitorssystemen

Ein und Ausgabe: Farbmetrisches Drucker-Reflektiv-System ORS20_95a für relativen CIELAB-Buntton $h^* = lab^*h^* = h_{ab}/360 = 0.992$

Daten für jede Farbe:
 lab^*tch^* und lab^*icu^*

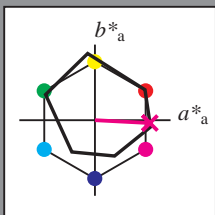
Bunntontexte:

$u^*_e = b75r$ $u^*_d = m10o$

Kontrastreduzierungsfaktor:

$c_R = 1.0$

Dreiecks-Helligkeit i^*



ORS20_95a; adaptierte CIELAB-Daten

	u^*_e	$L^*=L^*_a$	a^*_a	b^*_a	$C^*_{ab,a}$	$h^*_{ab,a}$
O _{Ma}	46.89	66.19	40.28	77.48	31	
Y _{Ma}	88.66	-9.62	88.21	88.73	96	
L _{Ma}	54.22	-65.29	33.87	73.56	153	
C _{Ma}	61.43	-30.53	-42.04	51.96	234	
V _{Ma}	25.93	25.95	-47.37	54.01	299	
M _{Ma}	47.92	73.53	-9.02	74.08	353	
N _{Ma}	20.41	0.0	0.0	0.0	0	
W _{Ma}	94.64	0.0	0.0	0.0	0	
R _{Ma}	39.92	58.74	27.99	65.07	25	
J _{Ma}	81.26	-2.89	71.56	71.62	92	
G _{Ma}	52.23	-42.42	13.6	44.55	162	
B _{Ma}	30.57	1.41	-46.47	46.49	272	

Daten für Maximalfarbe (Ma):

$LAB^*LAB^*_{Ma}$: 48 73 -4

$LAB^*LCH^*_{Ma}$: 48 73 357

$lab^*rgb^*_{Ma}$: 1.0 0.0 0.5

$lab^*olv^*_{Ma}$: 1.0 0.0 0.89

Dreiecks-Helligkeit i^*

%Umfang

$u^*_{rel} = 87$

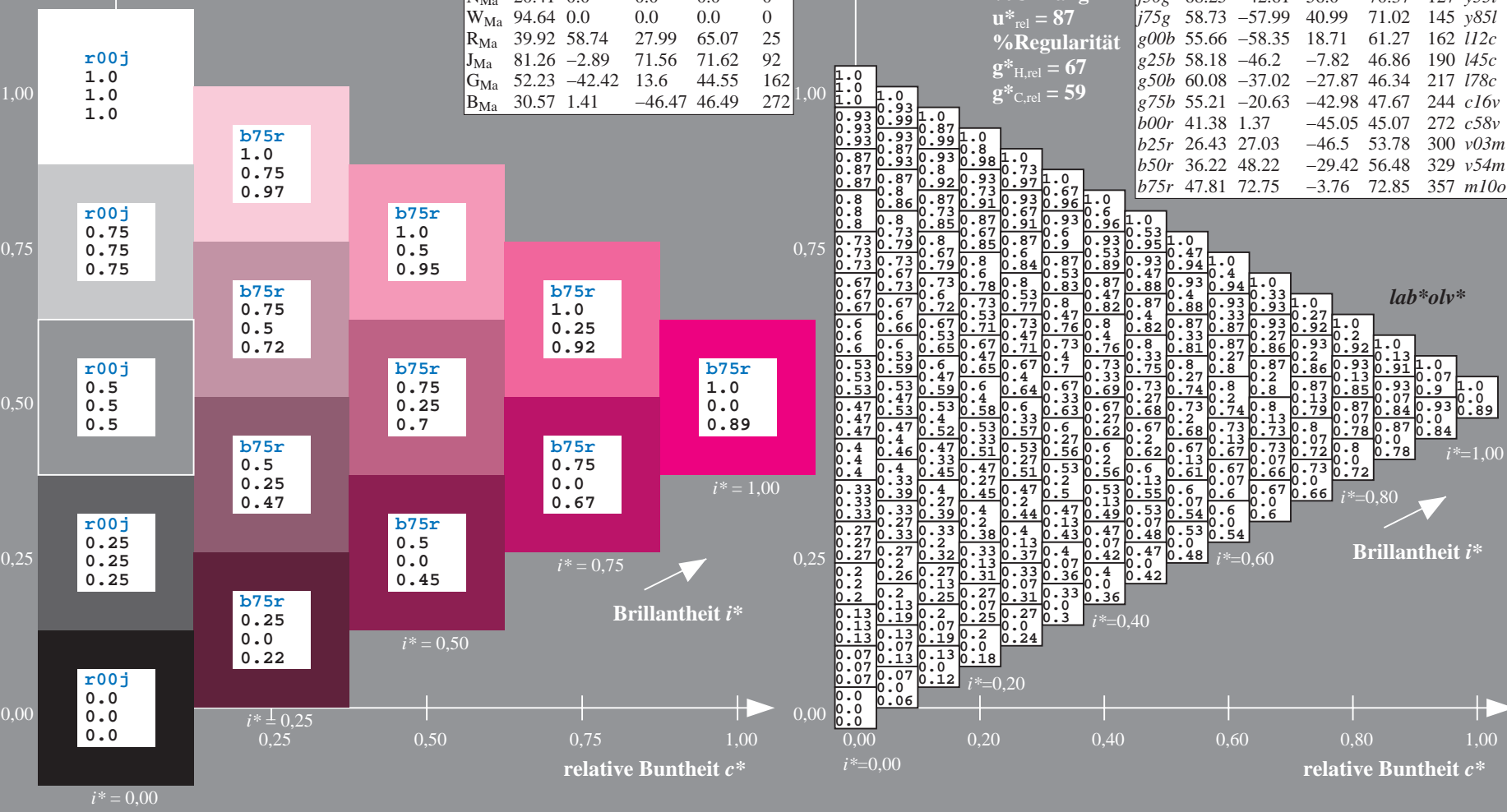
%Regularität

$g^*_{H,rel} = 67$

$g^*_{C,rel} = 59$

ORS20_95a; adaptierte CIELAB-Daten

	u^*_e	$L^*=L^*_a$	a^*_a	b^*_a	$C^*_{ab,a}$	$h^*_{ab,a}$	u^*_d
r00j	47.06	67.41	32.12	74.67	25	m84o	
r25j	53.95	53.38	48.38	72.04	42	o17y	
r50j	63.6	35.87	59.45	69.43	59	o42y	
r75j	73.37	18.14	70.66	72.95	76	o68y	
j00g	85.24	-3.4	84.28	84.35	92	o93y	
j25g	78.53	-25.99	72.23	76.76	110	y24l	
j50g	68.25	-42.61	56.0	70.37	127	y51l	
j75g	58.73	-57.99	40.99	71.02	145	y85l	
g00b	55.66	-58.35	18.71	61.27	162	l12c	
g25b	58.18	-46.2	-7.82	46.86	190	l45c	
g50b	60.08	-37.02	-27.87	46.34	217	l78c	
g75b	55.21	-20.63	-42.98	47.67	244	c16v	
b00r	41.38	1.37	-45.05	45.07	272	c58v	
b25r	26.43	27.03	-46.5	53.78	300	v03m	
b50r	36.22	48.22	-29.42	56.48	329	v54m	
b75r	47.81	72.75	-3.76	72.85	357	m10o	



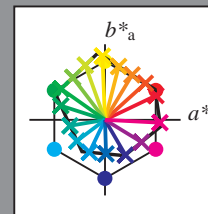
Siehe ähnliche Dateien: <http://www.ps.bam.de/Eg39/>; [www.ps.bam.de/Version 2.1, io=1,1, Colspx=1](http://www.ps.bam.de/Version2.1,io=1,1,Colspx=1)
Technische Information: <http://www.ps.bam.de>

BAM-Registrierung: 20081001-Eg39/10L/L39G00NA.PS/.TXT BAM-Material: Code=thata4ta
Anwendung für Beurteilung und Messung von Drucker- oder Monitorsystemen

	A	B	C	D	E	F	G	H	I	J	K	L	M	N	O	P	Q	R	S	T	U	V	W	X	Y	Z	a	b	c	d	e	f	g	h	i	j	k	lab*oly*									
01	0.0	0.0	0.0	0.0	0.0	0.0	0.0	0.0	0.0	0.13	0.12	0.12	0.12	0.12	0.12	0.12	0.12	0.12	0.25	0.25	0.25	0.25	0.25	0.25	0.25	0.25	0.25	1.0	1.0	1.0	1.0	1.0	1.0	1.0	1.0	1.0	1.0	0.0	0.0	0.0	0.0						
02	0.0	0.0	0.0	0.0	0.0	0.0	0.0	0.0	0.0	0.12	0.13	0.13	0.13	0.13	0.13	0.13	0.13	0.13	0.25	0.25	0.25	0.25	0.25	0.25	0.25	0.25	0.25	0.88	0.88	0.88	0.88	0.88	0.88	0.88	0.88	0.88	0.88	0.13	0.13	0.13	0.13						
03	0.0	0.0	0.0	0.0	0.0	0.0	0.0	0.0	0.0	0.12	0.13	0.13	0.13	0.13	0.13	0.13	0.13	0.13	0.25	0.25	0.25	0.25	0.25	0.25	0.25	0.25	0.25	0.75	0.75	0.75	0.75	0.75	0.75	0.75	0.75	0.75	0.75	0.25	0.25	0.25	0.25						
04	0.0	0.0	0.0	0.0	0.0	0.0	0.0	0.0	0.0	0.12	0.13	0.13	0.13	0.13	0.13	0.13	0.13	0.13	0.25	0.25	0.25	0.25	0.25	0.25	0.25	0.25	0.25	0.63	0.63	0.63	0.63	0.63	0.63	0.63	0.63	0.63	0.63	0.38	0.38	0.38	0.38						
05	0.0	0.0	0.0	0.0	0.0	0.0	0.0	0.0	0.0	0.12	0.13	0.13	0.13	0.13	0.13	0.13	0.13	0.13	0.25	0.25	0.25	0.25	0.25	0.25	0.25	0.25	0.25	0.5	0.5	0.5	0.5	0.5	0.5	0.5	0.5	0.5	0.5	0.5	0.5	0.5	0.5						
06	0.0	0.0	0.0	0.0	0.0	0.0	0.0	0.0	0.0	0.12	0.13	0.13	0.13	0.13	0.13	0.13	0.13	0.13	0.25	0.25	0.25	0.25	0.25	0.25	0.25	0.25	0.25	0.38	0.38	0.38	0.38	0.38	0.38	0.38	0.38	0.38	0.38	0.38	0.38	0.38	0.38	0.38					
07	0.0	0.0	0.0	0.0	0.0	0.0	0.0	0.0	0.0	0.12	0.13	0.13	0.13	0.13	0.13	0.13	0.13	0.13	0.25	0.25	0.25	0.25	0.25	0.25	0.25	0.25	0.25	0.25	0.25	0.25	0.25	0.25	0.25	0.25	0.25	0.25	0.25	0.25	0.25	0.25	0.25	0.25					
08	0.0	0.0	0.0	0.0	0.0	0.0	0.0	0.0	0.0	0.12	0.13	0.13	0.13	0.13	0.13	0.13	0.13	0.13	0.25	0.25	0.25	0.25	0.25	0.25	0.25	0.25	0.25	0.13	0.13	0.13	0.13	0.13	0.13	0.13	0.13	0.13	0.13	0.13	0.13	0.13	0.13	0.13					
09	0.0	0.0	0.0	0.0	0.0	0.0	0.0	0.0	0.0	0.12	0.13	0.13	0.13	0.13	0.13	0.13	0.13	0.13	0.25	0.25	0.25	0.25	0.25	0.25	0.25	0.25	0.25	0.0	0.0	0.0	0.0	0.0	0.0	0.0	0.0	0.0	0.0	0.0	0.0	0.0	0.0	0.0					
10	0.38	0.38	0.38	0.37	0.37	0.37	0.37	0.37	0.37	0.5	0.5	0.5	0.5	0.5	0.5	0.5	0.5	0.5	0.63	0.63	0.63	0.63	0.63	0.63	0.63	0.63	0.63	1.0	1.0	1.0	1.0	1.0	1.0	1.0	1.0	1.0	1.0	1.0	1.0	1.0	1.0	0.0	0.0	0.0	0.0		
11	0.38	0.38	0.38	0.37	0.37	0.37	0.37	0.37	0.37	0.5	0.5	0.5	0.5	0.5	0.5	0.5	0.5	0.5	0.63	0.63	0.63	0.63	0.63	0.63	0.63	0.63	0.63	0.88	0.88	0.88	0.88	0.88	0.88	0.88	0.88	0.88	0.88	0.88	0.88	0.88	0.88	0.88	0.88	0.88	0.88		
12	0.38	0.38	0.38	0.37	0.37	0.37	0.37	0.37	0.37	0.5	0.5	0.5	0.5	0.5	0.5	0.5	0.5	0.5	0.63	0.63	0.63	0.63	0.63	0.63	0.63	0.63	0.63	0.62	0.62	0.62	0.62	0.62	0.62	0.62	0.62	0.62	0.62	0.62	0.62	0.62	0.62	0.62	0.62	0.62	0.62		
13	0.25	0.25	0.25	0.25	0.25	0.25	0.25	0.25	0.25	0.25	0.25	0.25	0.25	0.25	0.25	0.25	0.25	0.25	0.25	0.25	0.25	0.25	0.25	0.25	0.25	0.25	0.25	0.63	0.63	0.63	0.63	0.63	0.63	0.63	0.63	0.63	0.63	0.63	0.63	0.63	0.63	0.63	0.63	0.63	0.63		
14	0.37	0.37	0.37	0.38	0.38	0.38	0.38	0.38	0.38	0.5	0.5	0.5	0.5	0.5	0.5	0.5	0.5	0.5	0.63	0.63	0.63	0.63	0.63	0.63	0.63	0.63	0.63	0.62	0.62	0.62	0.62	0.62	0.62	0.62	0.62	0.62	0.62	0.62	0.62	0.62	0.62	0.62	0.62	0.62	0.62		
15	0.37	0.37	0.37	0.38	0.38	0.38	0.38	0.38	0.38	0.5	0.5	0.5	0.5	0.5	0.5	0.5	0.5	0.5	0.62	0.62	0.62	0.62	0.63	0.63	0.63	0.63	0.63	0.38	0.38	0.38	0.38	0.38	0.38	0.38	0.38	0.38	0.38	0.38	0.38	0.38	0.38	0.38	0.38	0.38			
16	0.37	0.37	0.37	0.38	0.38	0.38	0.38	0.38	0.38	0.5	0.5	0.5	0.5	0.5	0.5	0.5	0.5	0.5	0.62	0.62	0.62	0.62	0.63	0.63	0.63	0.63	0.63	0.25	0.25	0.25	0.25	0.25	0.25	0.25	0.25	0.25	0.25	0.25	0.25	0.25	0.25	0.25	0.25	0.25	0.25		
17	0.37	0.37	0.37	0.38	0.38	0.38	0.38	0.38	0.38	0.5	0.5	0.5	0.5	0.5	0.5	0.5	0.5	0.5	0.62	0.62	0.62	0.62	0.63	0.63	0.63	0.63	0.63	0.13	0.13	0.13	0.13	0.13	0.13	0.13	0.13	0.13	0.13	0.13	0.13	0.13	0.13	0.13	0.13	0.13	0.13		
18	0.37	0.37	0.37	0.38	0.38	0.38	0.38	0.38	0.38	0.5	0.5	0.5	0.5	0.5	0.5	0.5	0.5	0.5	0.62	0.62	0.62	0.62	0.63	0.63	0.63	0.63	0.63	0.0	0.0	0.0	0.0	0.0	0.0	0.0	0.0	0.0	0.0	0.0	0.0	0.0	0.0	0.0	0.0	0.0	0.0		
19	0.75	0.75	0.75	0.75	0.75	0.75	0.75	0.75	0.75	0.75	0.75	0.75	0.75	0.75	0.75	0.75	0.75	0.75	0.88	0.88	0.88	0.88	0.88	0.88	0.88	0.88	0.88	1.0	1.0	1.0	1.0	1.0	1.0	1.0	1.0	1.0	1.0	1.0	1.0	1.0	1.0	1.0	1.0	1.0	1.0		
20	0.75	0.75	0.75	0.75	0.75	0.75	0.75	0.75	0.75	0.75	0.75	0.75	0.75	0.75	0.75	0.75	0.75	0.75	0.88	0.88	0.88	0.88	0.88	0.88	0.88	0.88	0.88	0.88	0.88	0.88	0.88	0.88	0.88	0.88	0.88	0.88	0.88	0.88	0.88	0.88	0.88	0.88	0.88	0.88	0.88		
21	0.25	0.25	0.25	0.25	0.25	0.25	0.25	0.25	0.25	0.25	0.25	0.25	0.25	0.25	0.25	0.25	0.25	0.25	0.25	0.25	0.25	0.25	0.25	0.25	0.25	0.25	0.25	0.63	0.63	0.63	0.63	0.63	0.63	0.63	0.63	0.63	0.63	0.63	0.63	0.63	0.63	0.63	0.63	0.63	0.63	0.63	
22	0.0	0.13	0.25	0.38	0.5	0.63	0.75	0.88	1.0	0.13	0.25	0.38	0.5	0.63	0.75	0.88	1.0	0.13	0.25	0.38	0.5	0.63	0.75	0.88	1.0	0.13	0.25	0.38	0.5	0.63	0.75	0.88	1.0	0.13	0.25	0.38	0.5	0.63	0.75	0.88	1.0	0.13	0.25	0.38	0.5		
23	0.37	0.37	0.37	0.38	0.38	0.38	0.38	0.38	0.38	0.5	0.5	0.5	0.5	0.5	0.5	0.5	0.5	0.5	0.63	0.63	0.63	0.63	0.63	0.63	0.63	0.63	0.63	0.62	0.62	0.62	0.62	0.62	0.62	0.62	0.62	0.62	0.62	0.62	0.62	0.62	0.62	0.62	0.62	0.62	0.62	0.62	
24	0.75	0.75	0.75	0.75	0.75	0.75	0.75	0.75	0.75	0.75	0.75	0.75	0.75	0.75	0.75	0.75	0.75	0.75	0.88	0.88	0.88	0.88	0.88	0.88	0.88	0.88	0.88	1.0	1.0	1.0	1.0	1.0	1.0	1.0	1.0	1.0	1.0	1.0	1.0	1.0	1.0	1.0	1.0	1.0	1.0	1.0	
25	0.75	0.75	0.75	0.75	0.75	0.75	0.75	0.75	0.75	0.75	0.75	0.75	0.75	0.75	0.75	0.75	0.75	0.75	0.88	0.88	0.88	0.88	0.88	0.88	0.88	0.88	0.88	0.88	0.88	0.88	0.88	0.88	0.88	0.88	0.88	0.88	0.88	0.88	0.88	0.88	0.88	0.88	0.88	0.88	0.88	0.88	
26	0.0	0.13	0.25	0.38	0.5	0.63	0.75	0.88	1.0	0.13	0.25	0.38	0.5	0.63	0.75	0.88	1.0	0.13	0.25	0.38	0.5	0.63	0.75	0.88	1.0	0.13	0.25	0.38	0.5	0.63	0.75	0.88	1.0	0.13	0.25	0.38	0.5	0.63	0.75	0.88	1.0	0.13	0.25	0.38	0.5		
27	0.75	0.75	0.75	0.75	0.75	0.75	0.75	0.75	0.75	0.75	0.75	0.75	0.75	0.75	0.75	0.75	0.75	0.75	0.88	0.88	0.88	0.88	0.88	0.88	0.88	0.88	0.88	1.0	1.0	1.0	1.0	1.0	1.0	1.0	1.0	1.0	1.0	1.0	1.0	1.0	1.0	1.0	1.0	1.0	1.0	1.0	1.0

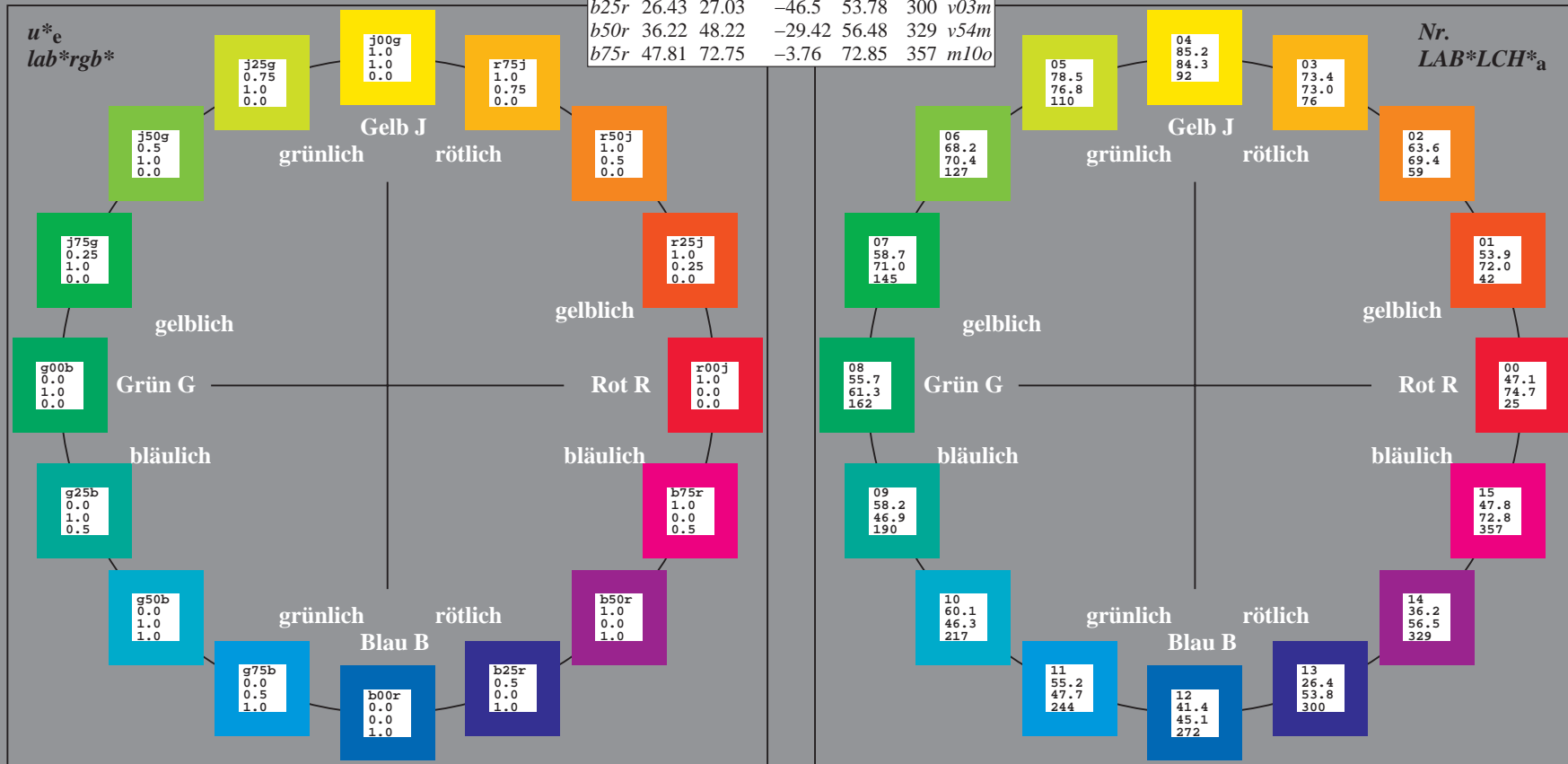
Ein und Ausgabe:
 Farbmetrisches Drucker-Reflektiv-System ORS20_95a
 Daten für jede Farbe:
 u^*_e und Nummer *Nr.* = 00 .. 15
 Elementar-Bunttextext:
 $u^*_e = 16$ Bunttoene *r00j, r25j, ..., b75r*
 Kontrastreduzierungsfaktor:
 $c_R = 1.0$

ORS20_95a; adaptierte CIELAB-Daten						
u^*_e	$L^*=L^*_a$	a^*_a	b^*_a	$C^*_{ab,a}$	$h^*_{ab,a}$	u^*_d
r00j	47.06	67.41	32.12	74.67	25	m84o
r25j	53.95	53.38	48.38	72.04	42	o17y
r50j	63.6	35.87	59.45	69.43	59	o42y
r75j	73.37	18.14	70.66	72.95	76	o68y
j00g	85.24	-3.4	84.28	84.35	92	o93y
j25g	78.53	-25.99	72.23	76.76	110	y24l
j50g	68.25	-42.61	56.0	70.37	127	y55l
j75g	58.73	-57.99	40.99	71.02	145	y85l
g00b	55.66	-58.35	18.71	61.27	162	l12c
g25b	58.18	-46.2	-7.82	46.86	190	l45c
g50b	60.08	-37.02	-27.87	46.34	217	l78c
g75b	55.21	-20.63	-42.98	47.67	244	c16v
b00r	41.38	1.37	-45.05	45.07	272	c58v
b25r	26.43	27.03	-46.5	53.78	300	v03m
b50r	36.22	48.22	-29.42	56.48	329	v54m
b75r	47.81	72.75	-3.76	72.85	357	m10o



%Umfang
 $u^*_{rel} = 87$
 %Regularität
 $g^*_{H,rel} = 67$
 $g^*_{C,rel} = 59$

ORS20_95a; adaptierte CIELAB-Daten					
Name	$L^*=L^*_a$	a^*_a	b^*_a	$C^*_{ab,a}$	$h^*_{ab,a}$
OMa	46.89	66.19	40.28	77.48	31
YMa	88.66	-9.62	88.21	88.73	96
LMa	54.22	-65.29	33.87	73.56	153
CMa	61.43	-30.53	-42.04	51.96	234
VMa	25.93	25.95	-47.37	54.01	299
MMa	47.92	73.53	-9.02	74.08	353
NMa	20.41	0.0	0.0	0.0	0
WMa	94.64	0.0	0.0	0.0	0
RCIE	39.92	58.74	27.99	65.07	25
JCIE	81.26	-2.89	71.56	71.62	92
GCIE	52.23	-42.42	13.6	44.55	162
BCIE	30.57	1.41	-46.47	46.49	272



Siehe ähnliche Dateien: <http://www.ps.bam.de/Eg39/>; www.ps.bam.de/Eg.HTM
 Technische Information: <http://www.ps.bam.de> Version 2.1, io=1,1, ColSpx=1

BAM-Registrierung: 20081001-Eg39/10L/L39G00NA.PS/.TXT BAM-Material: Code=rh4ta
 Anwendung für Beurteilung und Messung von Drucker- oder Monitorsystemen

Ein und Ausgabe: Farbmetrisches Drucker-Reflektiv-System ORS20_95a für relativen CIELAB-Buntton $h^* = lab^*h^* = h_{ab}/360 = 0.071$

Daten für jede Farbe:

lab^*tch^* und lab^*icu^*

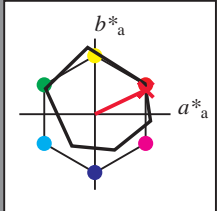
Bunttontexte:

$u^*_e = r00j$ $u^*_d = m84o$

Kontrastreduzierungsfaktor:

$c_R = 1.0$

Dreiecks-Helligkeit i^*



ORS20_95a; adaptierte CIELAB-Daten

	u^*_e	$L^*=L^*_a$	a^*_a	b^*_a	$C^*_{ab,a}$	$h^*_{ab,a}$
O _{Ma}	46.89	66.19	40.28	77.48	31	
Y _{Ma}	88.66	-9.62	88.21	88.73	96	
L _{Ma}	54.22	-65.29	33.87	73.56	153	
C _{Ma}	61.43	-30.53	-42.04	51.96	234	
V _{Ma}	25.93	25.95	-47.37	54.01	299	
M _{Ma}	47.92	73.53	-9.02	74.08	353	
N _{Ma}	20.41	0.0	0.0	0.0	0	
W _{Ma}	94.64	0.0	0.0	0.0	0	
R _{Ma}	39.92	58.74	27.99	65.07	25	
J _{Ma}	81.26	-2.89	71.56	71.62	92	
G _{Ma}	52.23	-42.42	13.6	44.55	162	
B _{Ma}	30.57	1.41	-46.47	46.49	272	

Daten für Maximalfarbe (Ma):

$LAB^*LAB^*_{Ma}$: 47 67 32

$LAB^*LCH^*_{Ma}$: 47 75 25

$lab^*rgb^*_{Ma}$: 1.0 0.0 0.0

$lab^*olv^*_{Ma}$: 1.0 0.0 0.15

Dreiecks-Helligkeit i^*

%Umfang

$u^*_{rel} = 87$

%Regularität

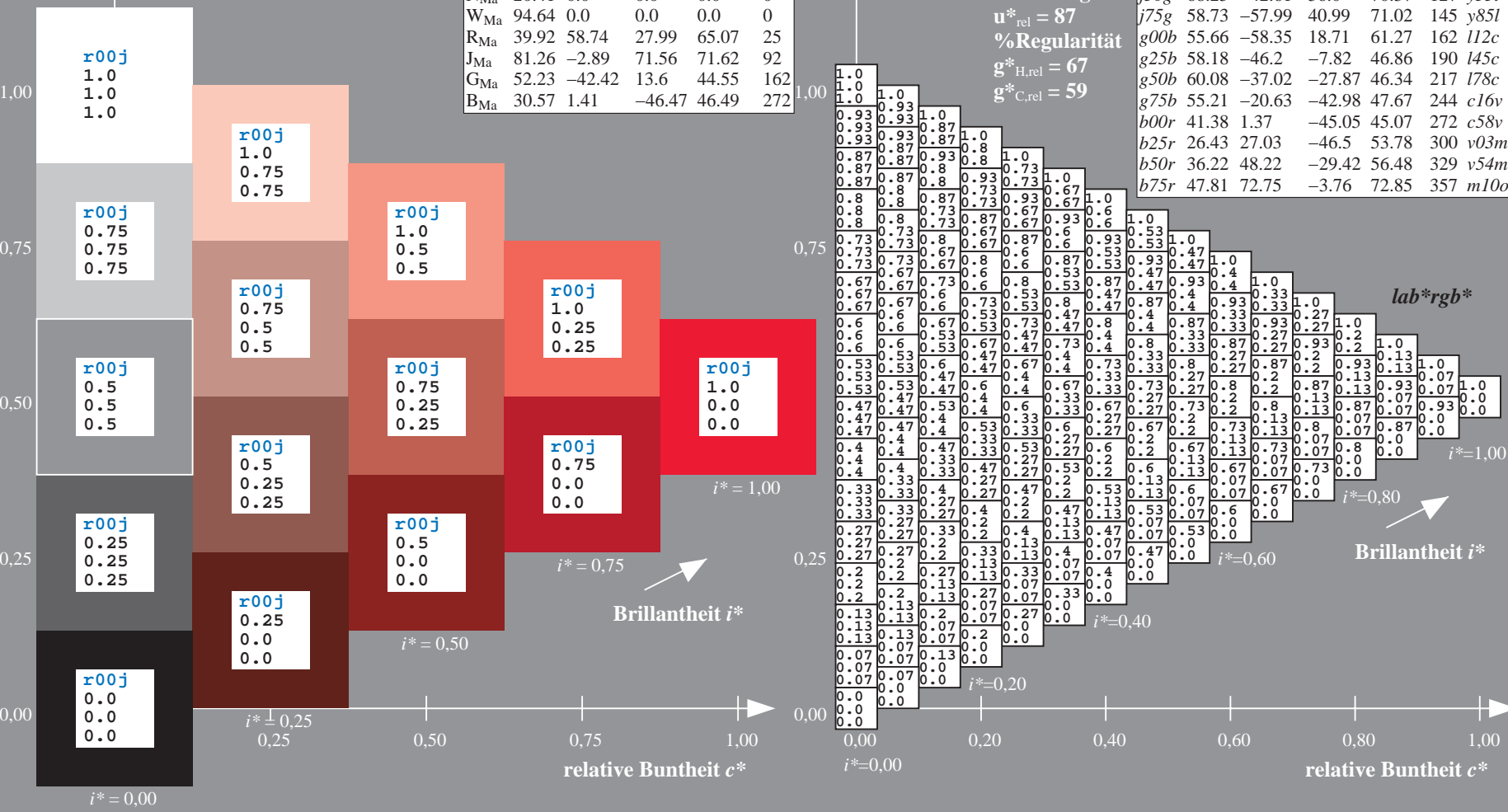
$g^*_{H,rel} = 67$

$g^*_{C,rel} = 59$

$u^*_e = r00j$
 lab^*rgb^*

ORS20_95a; adaptierte CIELAB-Daten

	u^*_e	$L^*=L^*_a$	a^*_a	b^*_a	$C^*_{ab,a}$	$h^*_{ab,a}$	u^*_d
r00j	47.06	67.41	32.12	74.67	25		m84o
r25j	53.95	53.38	48.38	72.04	42		o17y
r50j	63.6	35.87	59.45	69.43	59		o42y
r75j	73.37	18.14	70.66	72.95	76		o68y
j00g	85.24	-3.4	84.28	84.35	92		o93y
j25g	78.53	-25.99	72.23	76.76	110		y24l
j50g	68.25	-42.61	56.0	70.37	127		y51l
j75g	58.73	-57.99	40.99	71.02	145		y85l
g00b	55.66	-58.35	18.71	61.27	162		l12c
g25b	58.18	-46.2	-7.82	46.86	190		l45c
g50b	60.08	-37.02	-27.87	46.34	217		l78c
g75b	55.21	-20.63	-42.98	47.67	244		c16v
b00r	41.38	1.37	-45.05	45.07	272		c58v
b25r	26.43	27.03	-46.5	53.78	300		v03m
b50r	36.22	48.22	-29.42	56.48	329		v54m
b75r	47.81	72.75	-3.76	72.85	357		m10o



Siehe ähnliche Dateien: <http://www.ps.bam.de/Eg39/>; www.ps.bam.de/Version 2.1, io=1,1, ColSpx=1
 Technische Information: <http://www.ps.bam.de>

BAM-Registrierung: 20081001-Eg39/10L/L39G00NA.PS/.TXT BAM-Material: Code=rh4ta
 Anwendung für Beurteilung und Messung von Drucker- oder Monitorssystemen

Ein und Ausgabe: Farbmetrisches Drucker-Reflektiv-System ORS20_95a für relativen CIELAB-Buntton $h^* = lab^*h^* = h_{ab}/360 = 0.117$

Daten für jede Farbe:

lab^*tch^* und lab^*icu^*

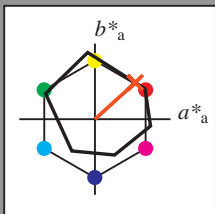
Bunttontexte:

$u^*_e = r25j$ $u^*_d = o17y$

Kontrastreduzierungsfaktor:

$c_R = 1.0$

Dreiecks-Helligkeit i^*



ORS20_95a; adaptierte CIELAB-Daten

	u^*_e	$L^*=L^*_a$	a^*_a	b^*_a	$C^*_{ab,a}$	$h^*_{ab,a}$
O _{Ma}	46.89	66.19	40.28	77.48	31	
Y _{Ma}	88.66	-9.62	88.21	88.73	96	
L _{Ma}	54.22	-65.29	33.87	73.56	153	
C _{Ma}	61.43	-30.53	-42.04	51.96	234	
V _{Ma}	25.93	25.95	-47.37	54.01	299	
M _{Ma}	47.92	73.53	-9.02	74.08	353	
N _{Ma}	20.41	0.0	0.0	0.0	0	
W _{Ma}	94.64	0.0	0.0	0.0	0	
R _{Ma}	39.92	58.74	27.99	65.07	25	
J _{Ma}	81.26	-2.89	71.56	71.62	92	
G _{Ma}	52.23	-42.42	13.6	44.55	162	
B _{Ma}	30.57	1.41	-46.47	46.49	272	

Daten für Maximalfarbe (Ma):

$LAB^*LAB^*_{Ma}$: 54 53 48

$LAB^*LCH^*_{Ma}$: 54 72 42

$lab^*rgb^*_{Ma}$: 1.0 0.25 0.0

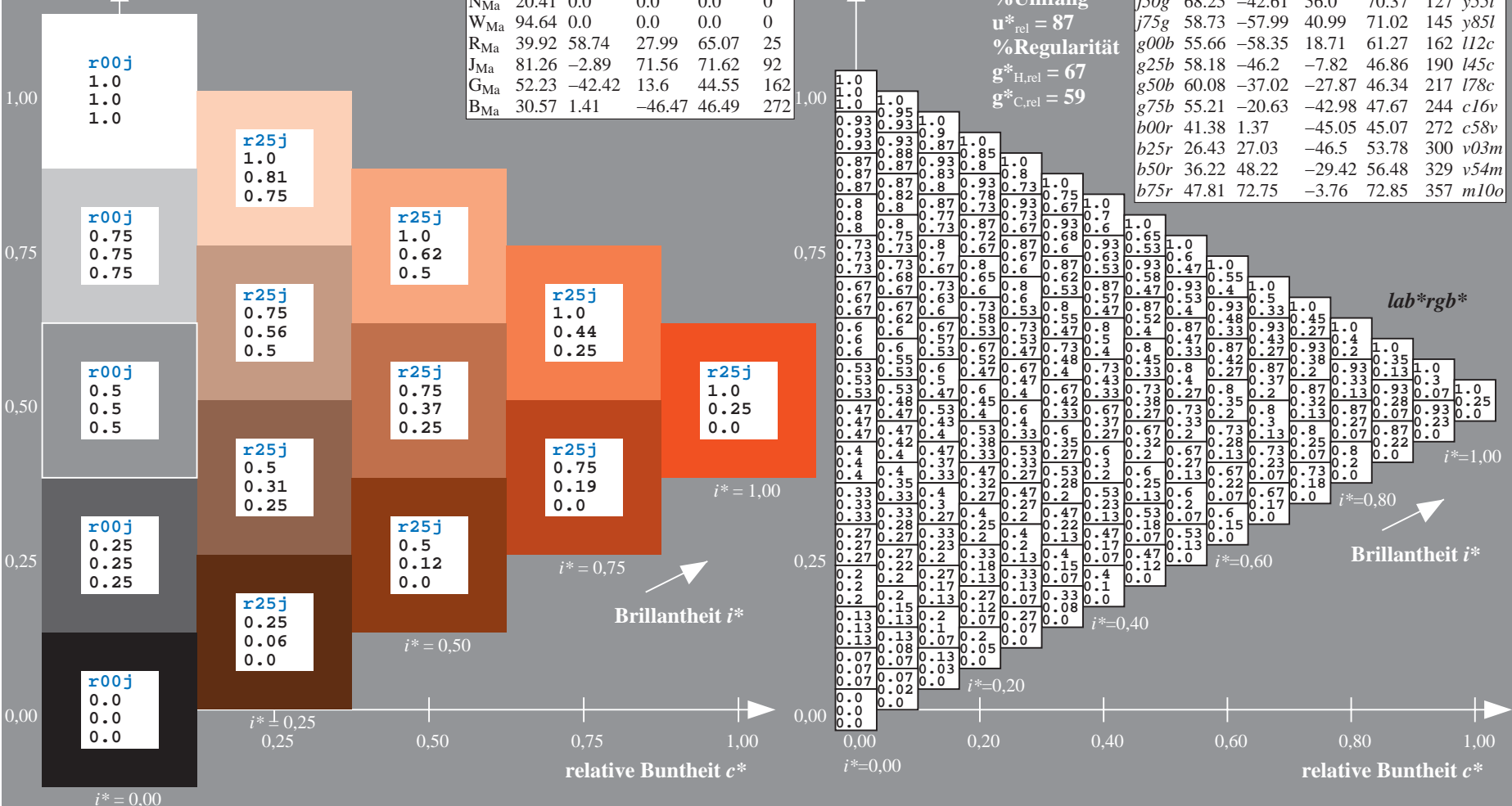
$lab^*olv^*_{Ma}$: 1.0 0.17 0.0

Dreiecks-Helligkeit i^*

%Umfang
 $u^*_{rel} = 87$
 %Regularität
 $g^*_{H,rel} = 67$
 $g^*_{C,rel} = 59$

ORS20_95a; adaptierte CIELAB-Daten

	u^*_e	$L^*=L^*_a$	a^*_a	b^*_a	$C^*_{ab,a}$	$h^*_{ab,a}$	u^*_d
r00j	47.06	67.41	32.12	74.67	25	m84o	
r25j	53.95	53.38	48.38	72.04	42	o17y	
r50j	63.6	35.87	59.45	69.43	59	o42y	
r75j	73.37	18.14	70.66	72.95	76	o68y	
j00g	85.24	-3.4	84.28	84.35	92	o93y	
j25g	78.53	-25.99	72.23	76.76	110	y24l	
j50g	68.25	-42.61	56.0	70.37	127	y51l	
j75g	58.73	-57.99	40.99	71.02	145	y85l	
g00b	55.66	-58.35	18.71	61.27	162	l12c	
g25b	58.18	-46.2	-7.82	46.86	190	l45c	
g50b	60.08	-37.02	-27.87	46.34	217	l78c	
g75b	55.21	-20.63	-42.98	47.67	244	c16v	
b00r	41.38	1.37	-45.05	45.07	272	c58v	
b25r	26.43	27.03	-46.5	53.78	300	v03m	
b50r	36.22	48.22	-29.42	56.48	329	v54m	
b75r	47.81	72.75	-3.76	72.85	357	m10o	



Siehe ähnliche Dateien: <http://www.ps.bam.de/Eg39/>; www.ps.bam.de/Version 2.1, io=1,1, ColSpx=1
 Technische Information: <http://www.ps.bam.de>

BAM-Registrierung: 20081001-Eg39/10L/L39G00NA.PS/.TXT BAM-Material: Code=rhatha
 Anwendung für Beurteilung und Messung von Drucker- oder Monitorssystemen

Ein und Ausgabe: Farbmetrisches Drucker-Reflektiv-System ORS20_95a für relativen CIELAB-Buntton $h^* = lab^*h^* = h_{ab}/360 = 0.164$

Daten für jede Farbe:

lab^*tch^* und lab^*icu^*

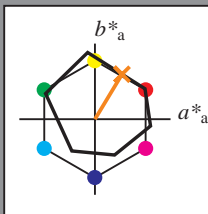
Bunttontexte:

$u^*_e = r50j$ $u^*_d = o42y$

Kontrastreduzierungsfaktor:

$c_R = 1.0$

Dreiecks-Helligkeit i^*



ORS20_95a; adaptierte CIELAB-Daten

	u^*_e	$L^*=L^*_a$	a^*_a	b^*_a	$C^*_{ab,a}$	$h^*_{ab,a}$
O _{Ma}	46.89	66.19	40.28	77.48	31	
Y _{Ma}	88.66	-9.62	88.21	88.73	96	
L _{Ma}	54.22	-65.29	33.87	73.56	153	
C _{Ma}	61.43	-30.53	-42.04	51.96	234	
V _{Ma}	25.93	25.95	-47.37	54.01	299	
M _{Ma}	47.92	73.53	-9.02	74.08	353	
N _{Ma}	20.41	0.0	0.0	0.0	0	
W _{Ma}	94.64	0.0	0.0	0.0	0	
R _{Ma}	39.92	58.74	27.99	65.07	25	
J _{Ma}	81.26	-2.89	71.56	71.62	92	
G _{Ma}	52.23	-42.42	13.6	44.55	162	
B _{Ma}	30.57	1.41	-46.47	46.49	272	

Daten für Maximalfarbe (Ma):

$LAB^*LAB^*_{Ma}$: 64 36 59

$LAB^*LCH^*_{Ma}$: 64 69 58

$lab^*rgb^*_{Ma}$: 1.0 0.5 0.0

$lab^*olv^*_{Ma}$: 1.0 0.42 0.0

Dreiecks-Helligkeit i^*

%Umfang

$u^*_{rel} = 87$

%Regularität

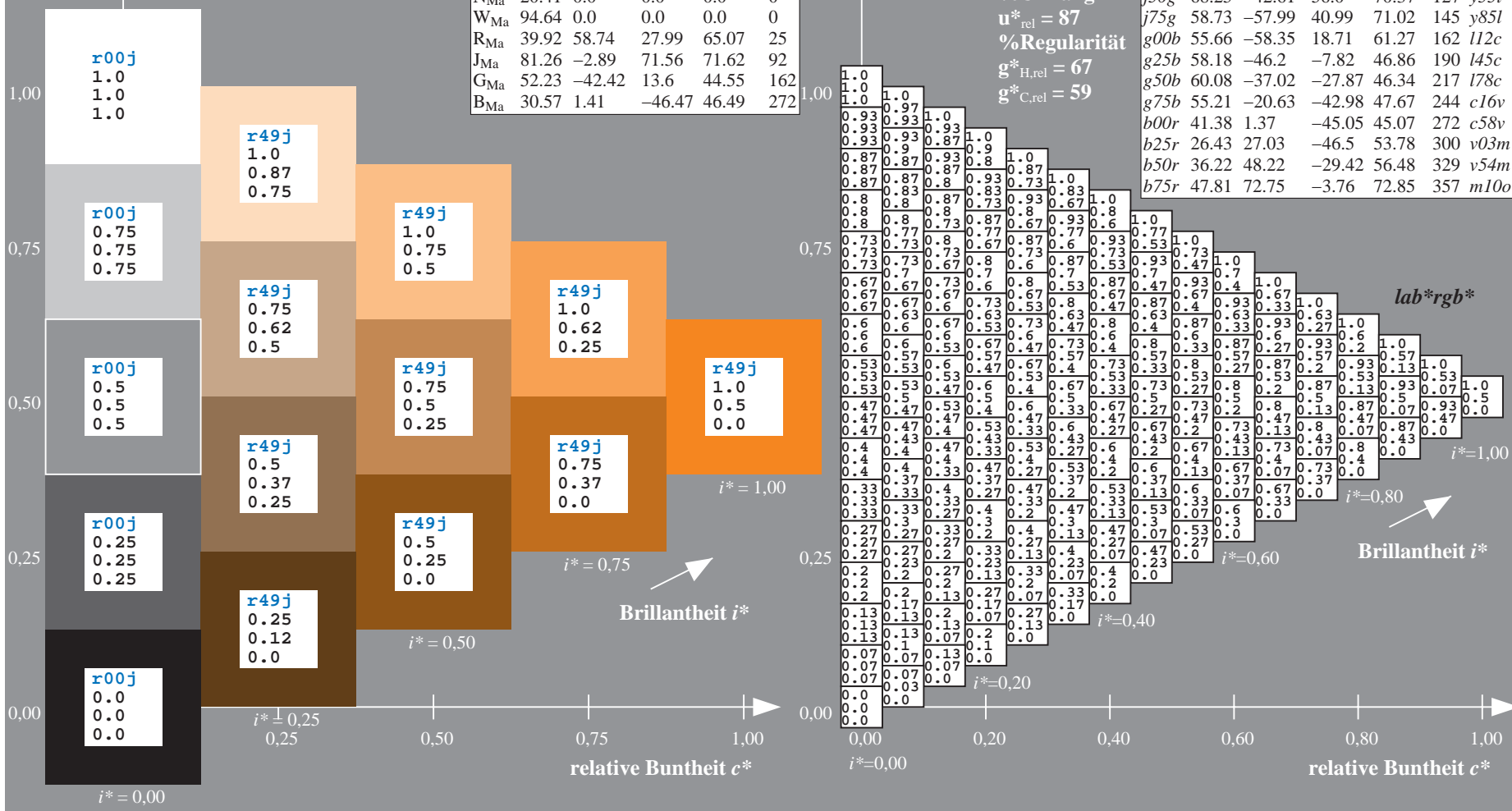
$g^*_{H,rel} = 67$

$g^*_{C,rel} = 59$

$u^*_e = r50j$
 lab^*rgb^*

ORS20_95a; adaptierte CIELAB-Daten

	u^*_e	$L^*=L^*_a$	a^*_a	b^*_a	$C^*_{ab,a}$	$h^*_{ab,a}$	u^*_d
r00j	47.06	67.41	32.12	74.67	25	m84o	
r25j	53.95	53.38	48.38	72.04	42	o17y	
r50j	63.6	35.87	59.45	69.43	59	o42y	
r75j	73.37	18.14	70.66	72.95	76	o68y	
j00g	85.24	-3.4	84.28	84.35	92	o93y	
j25g	78.53	-25.99	72.23	76.76	110	y24l	
j50g	68.25	-42.61	56.0	70.37	127	y51l	
j75g	58.73	-57.99	40.99	71.02	145	y85l	
g00b	55.66	-58.35	18.71	61.27	162	l12c	
g25b	58.18	-46.2	-7.82	46.86	190	l45c	
g50b	60.08	-37.02	-27.87	46.34	217	l78c	
g75b	55.21	-20.63	-42.98	47.67	244	c16v	
b00r	41.38	1.37	-45.05	45.07	272	c58v	
b25r	26.43	27.03	-46.5	53.78	300	v03m	
b50r	36.22	48.22	-29.42	56.48	329	v54m	
b75r	47.81	72.75	-3.76	72.85	357	m10o	



Siehe ähnliche Dateien: <http://www.ps.bam.de/Eg39/>; www.ps.bam.de/Version 2.1, io=1,1, ColSpx=1
 Technische Information: <http://www.ps.bam.de>

BAM-Registrierung: 20081001-Eg39/10L/L39G00NA.PS/.TXT BAM-Material: Code=rh4ta
 Anwendung für Beurteilung und Messung von Drucker- oder Monitorssystemen

Ein und Ausgabe: Farbmetrisches Drucker-Reflektiv-System ORS20_95a für relativen CIELAB-Buntton $h^* = lab^*h^* = h_{ab}/360 = 0.21$

Daten für jede Farbe:

lab^*tch^* und lab^*icu^*

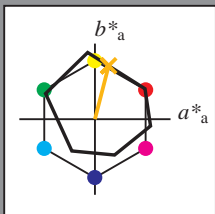
Bunttontexte:

$u^*_e = r75j$ $u^*_d = o68y$

Kontrastreduzierungsfaktor:

$c_R = 1.0$

Dreiecks-Helligkeit t^*



ORS20_95a; adaptierte CIELAB-Daten

	u^*_e	$L^*=L^*_a$	a^*_a	b^*_a	$C^*_{ab,a}$	$h^*_{ab,a}$
O _{Ma}	46.89	66.19	40.28	77.48	31	
Y _{Ma}	88.66	-9.62	88.21	88.73	96	
L _{Ma}	54.22	-65.29	33.87	73.56	153	
C _{Ma}	61.43	-30.53	-42.04	51.96	234	
V _{Ma}	25.93	25.95	-47.37	54.01	299	
M _{Ma}	47.92	73.53	-9.02	74.08	353	
N _{Ma}	20.41	0.0	0.0	0.0	0	
W _{Ma}	94.64	0.0	0.0	0.0	0	
R _{Ma}	39.92	58.74	27.99	65.07	25	
J _{Ma}	81.26	-2.89	71.56	71.62	92	
G _{Ma}	52.23	-42.42	13.6	44.55	162	
B _{Ma}	30.57	1.41	-46.47	46.49	272	

Daten für Maximalfarbe (Ma):

$LAB^*LAB^*_{Ma}$: 73 18 71

$LAB^*LCH^*_{Ma}$: 73 73 75

$lab^*rgb^*_{Ma}$: 1.0 0.75 0.0

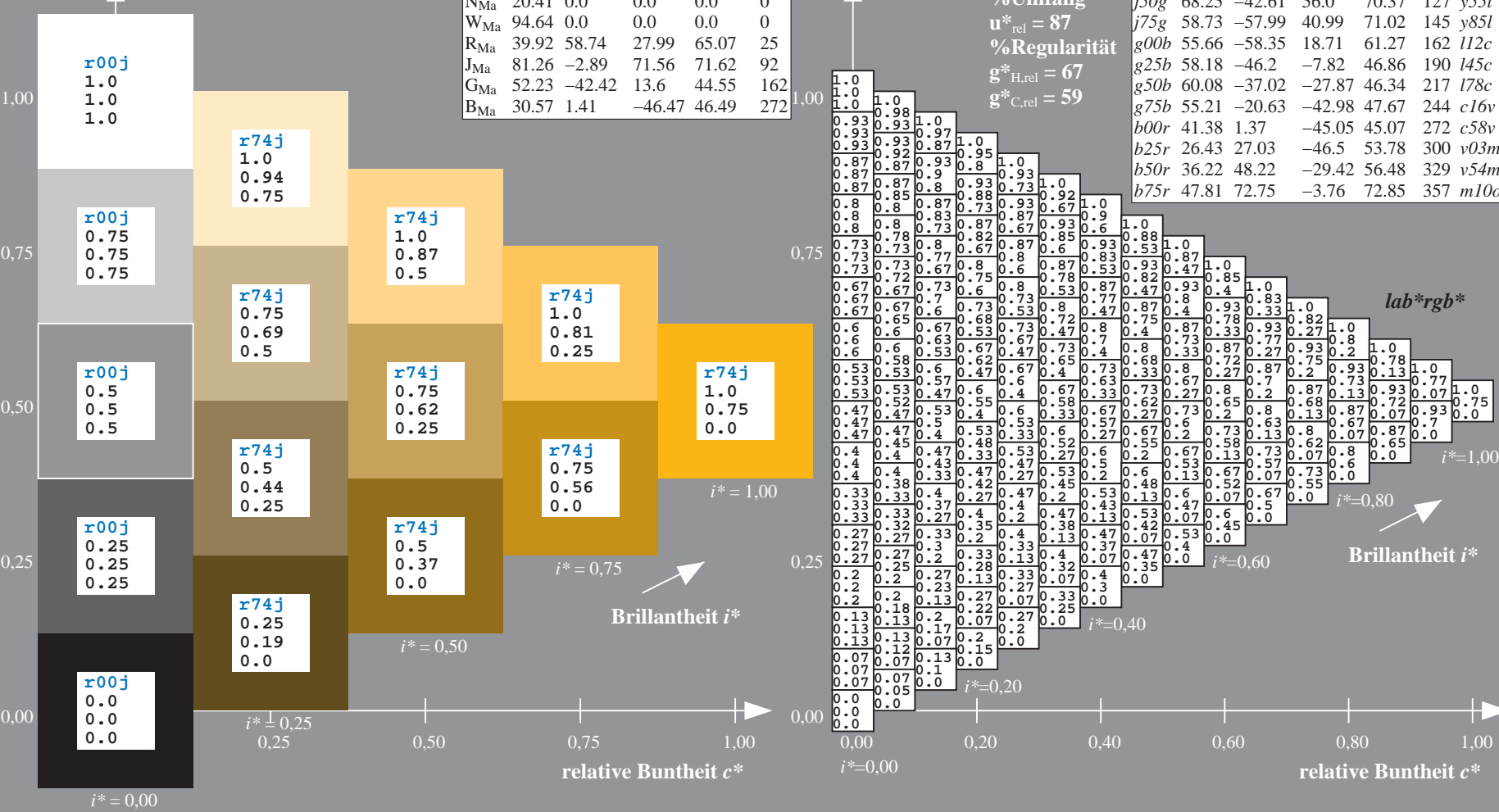
$lab^*olv^*_{Ma}$: 1.0 0.68 0.0

Dreiecks-Helligkeit t^*

%Umfang
 $u^*_{rel} = 87$
 %Regularität
 $g^*_{H,rel} = 67$
 $g^*_{C,rel} = 59$

ORS20_95a; adaptierte CIELAB-Daten

	u^*_e	$L^*=L^*_a$	a^*_a	b^*_a	$C^*_{ab,a}$	$h^*_{ab,a}$	u^*_d
r00j	47.06	67.41	32.12	74.67	25	m84o	
r25j	53.95	53.38	48.38	72.04	42	o17y	
r50j	63.6	35.87	59.45	69.43	59	o42y	
r75j	73.37	18.14	70.66	72.95	76	o68y	
j00g	85.24	-3.4	84.28	84.35	92	o93y	
j25g	78.53	-25.99	72.23	76.76	110	y24l	
j50g	68.25	-42.61	56.0	70.37	127	y51l	
j75g	58.73	-57.99	40.99	71.02	145	y85l	
g00b	55.66	-58.35	18.71	61.27	162	l12c	
g25b	58.18	-46.2	-7.82	46.86	190	l45c	
g50b	60.08	-37.02	-27.87	46.34	217	l78c	
g75b	55.21	-20.63	-42.98	47.67	244	c16v	
b00r	41.38	1.37	-45.05	45.07	272	c58v	
b25r	26.43	27.03	-46.5	53.78	300	v03m	
b50r	36.22	48.22	-29.42	56.48	329	v54m	
b75r	47.81	72.75	-3.76	72.85	357	m10o	



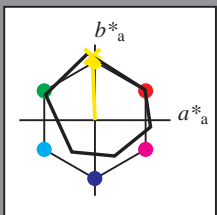
Ein und Ausgabe: Farbmetrisches Drucker-Reflektiv-System ORS20_95a für relativen CIELAB-Bunton $h^* = lab^*h^* = h_{ab}/360 = 0.256$

Daten für jede Farbe:
 lab^*tch^* und lab^*icu^*

Buntontexte:
 $u^*_e = j00g$ $u^*_d = o93y$

Kontrastreduzierungsfaktor:
 $c_R = 1.0$

Dreiecks-Helligkeit t^*



ORS20_95a; adaptierte CIELAB-Daten

	u^*_e	$L^*=L^*_a$	a^*_a	b^*_a	$C^*_{ab,a}$	$h^*_{ab,a}$
O _{Ma}	46.89	66.19	40.28	77.48	31	
Y _{Ma}	88.66	-9.62	88.21	88.73	96	
L _{Ma}	54.22	-65.29	33.87	73.56	153	
C _{Ma}	61.43	-30.53	-42.04	51.96	234	
V _{Ma}	25.93	25.95	-47.37	54.01	299	
M _{Ma}	47.92	73.53	-9.02	74.08	353	
N _{Ma}	20.41	0.0	0.0	0.0	0	
W _{Ma}	94.64	0.0	0.0	0.0	0	
R _{Ma}	39.92	58.74	27.99	65.07	25	
J _{Ma}	81.26	-2.89	71.56	71.62	92	
G _{Ma}	52.23	-42.42	13.6	44.55	162	
B _{Ma}	30.57	1.41	-46.47	46.49	272	

Daten für Maximalfarbe (Ma):

$LAB^*LAB^*_{Ma}$: 85 -3 84

$LAB^*LCH^*_{Ma}$: 85 84 92

$lab^*rgb^*_{Ma}$: 1.0 1.0 0.0

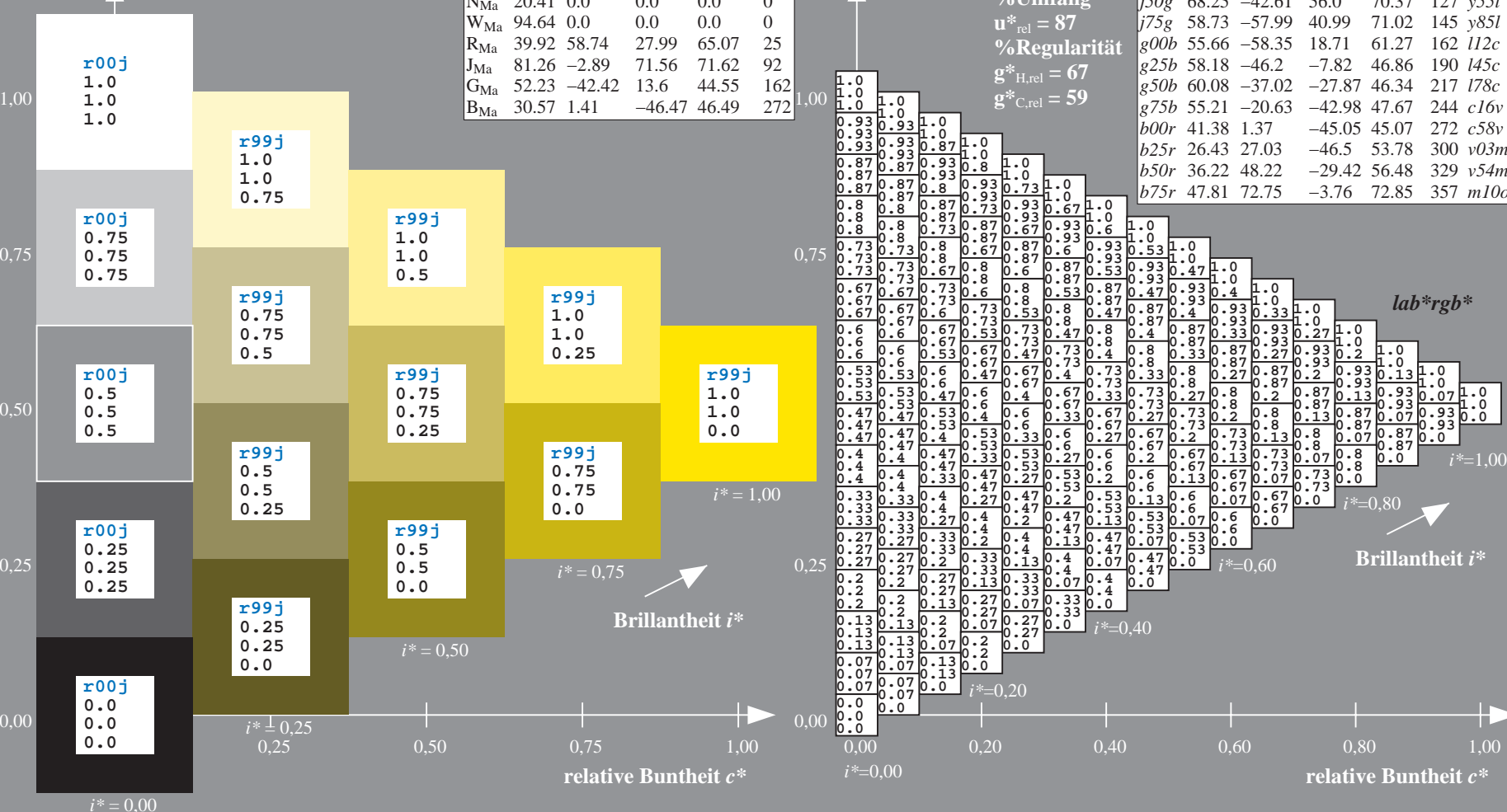
$lab^*olv^*_{Ma}$: 1.0 0.94 0.0

Dreiecks-Helligkeit t^*

%Umfang
 $u^*_{rel} = 87$
 %Regularität
 $g^*_{H,rel} = 67$
 $g^*_{C,rel} = 59$

ORS20_95a; adaptierte CIELAB-Daten

	u^*_e	$L^*=L^*_a$	a^*_a	b^*_a	$C^*_{ab,a}$	$h^*_{ab,a}$	u^*_d
r00j	47.06	67.41	32.12	74.67	25	m84o	
r25j	53.95	53.38	48.38	72.04	42	o17y	
r50j	63.6	35.87	59.45	69.43	59	o42y	
r75j	73.37	18.14	70.66	72.95	76	o68y	
j00g	85.24	-3.4	84.28	84.35	92	o93y	
j25g	78.53	-25.99	72.23	76.76	110	y24l	
j50g	68.25	-42.61	56.0	70.37	127	y51l	
j75g	58.73	-57.99	40.99	71.02	145	y85l	
g00b	55.66	-58.35	18.71	61.27	162	l12c	
g25b	58.18	-46.2	-7.82	46.86	190	l45c	
g50b	60.08	-37.02	-27.87	46.34	217	l78c	
g75b	55.21	-20.63	-42.98	47.67	244	c16v	
b00r	41.38	1.37	-45.05	45.07	272	c58v	
b25r	26.43	27.03	-46.5	53.78	300	v03m	
b50r	36.22	48.22	-29.42	56.48	329	v54m	
b75r	47.81	72.75	-3.76	72.85	357	m10o	



BAM-Registrierung: 20081001-Eg39/10L/L39G00NA.PS/.TXT BAM-Material: Code=rh4ta
 Anwendung für Beurteilung und Messung von Drucker- oder Monitorssystemen

Ein und Ausgabe: Farbmetrisches Drucker-Reflektiv-System ORS20_95a für relativen CIELAB-Bunton $h^* = lab^*h^* = h_{ab}/360 = 0.305$

Daten für jede Farbe:

lab^*tch^* und lab^*icu^*

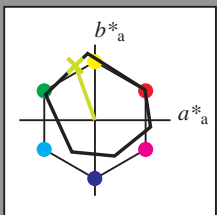
Buntontexte:

$u^*_e = j25g$ $u^*_d = y24l$

Kontrastreduzierungsfaktor:

$c_R = 1.0$

Dreiecks-Helligkeit t^*



ORS20_95a; adaptierte CIELAB-Daten

	u^*_e	$L^*=L^*_a$	a^*_a	b^*_a	$C^*_{ab,a}$	$h^*_{ab,a}$
O _{Ma}	46.89	66.19	40.28	77.48	31	
Y _{Ma}	88.66	-9.62	88.21	88.73	96	
L _{Ma}	54.22	-65.29	33.87	73.56	153	
C _{Ma}	61.43	-30.53	-42.04	51.96	234	
V _{Ma}	25.93	25.95	-47.37	54.01	299	
M _{Ma}	47.92	73.53	-9.02	74.08	353	
N _{Ma}	20.41	0.0	0.0	0.0	0	
W _{Ma}	94.64	0.0	0.0	0.0	0	
R _{Ma}	39.92	58.74	27.99	65.07	25	
J _{Ma}	81.26	-2.89	71.56	71.62	92	
G _{Ma}	52.23	-42.42	13.6	44.55	162	
B _{Ma}	30.57	1.41	-46.47	46.49	272	

Daten für Maximalfarbe (Ma):

$LAB^*LAB^*_{Ma}$: 79 -26 72

$LAB^*LCH^*_{Ma}$: 79 77 109

$lab^*rgb^*_{Ma}$: 0.75 1.0 0.0

$lab^*olv^*_{Ma}$: 0.76 1.0 0.0

Dreiecks-Helligkeit t^*

%Umfang

$u^*_{rel} = 87$

%Regularität

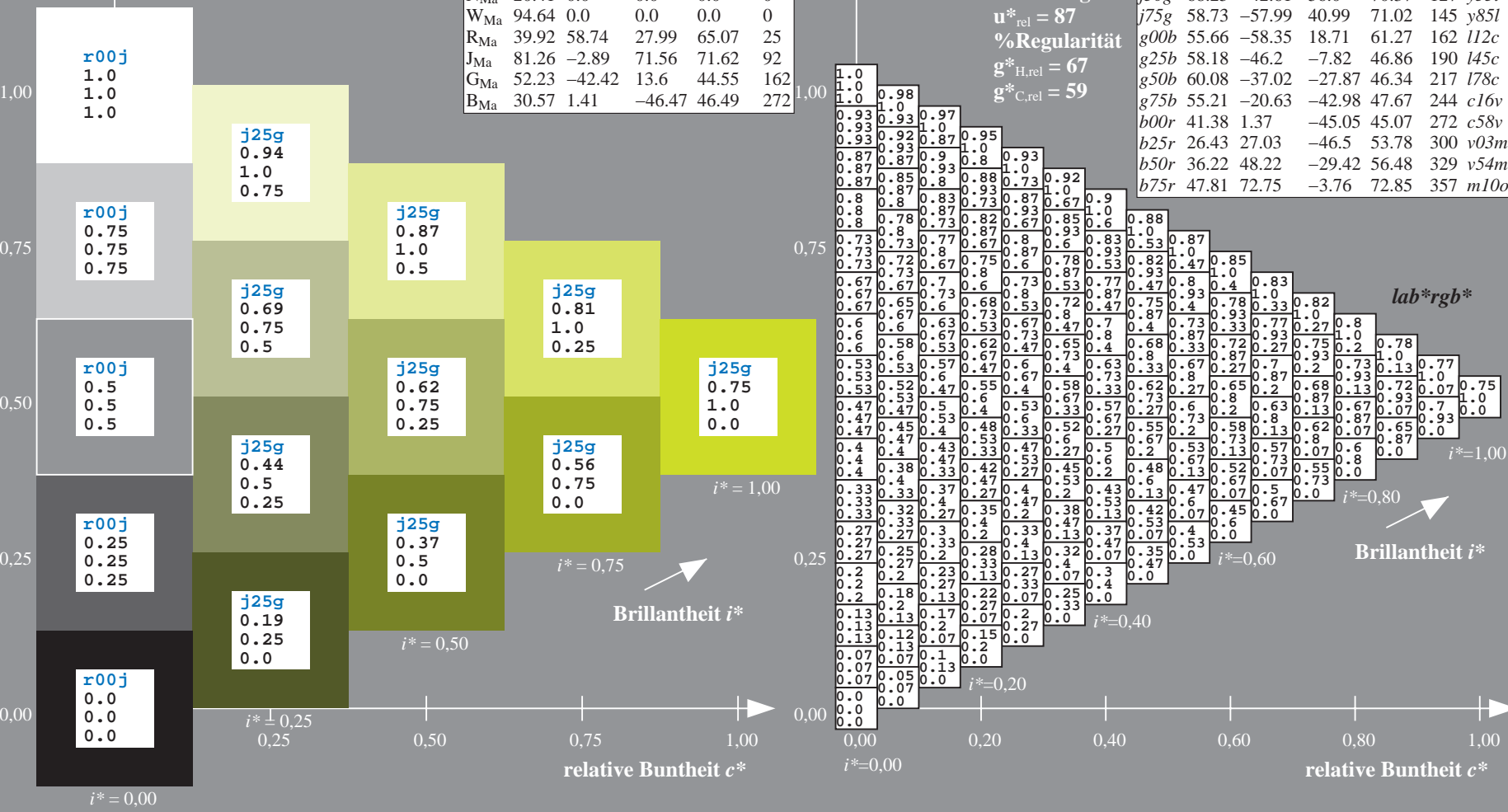
$g^*_{H,rel} = 67$

$g^*_{C,rel} = 59$

$u^*_e = j25g$
 lab^*rgb^*

ORS20_95a; adaptierte CIELAB-Daten

	u^*_e	$L^*=L^*_a$	a^*_a	b^*_a	$C^*_{ab,a}$	$h^*_{ab,a}$	u^*_d
r00j	47.06	67.41	32.12	74.67	25	m84o	
r25j	53.95	53.38	48.38	72.04	42	o17y	
r50j	63.6	35.87	59.45	69.43	59	o42y	
r75j	73.37	18.14	70.66	72.95	76	o68y	
j00g	85.24	-3.4	84.28	84.35	92	o93y	
j25g	78.53	-25.99	72.23	76.76	110	y24l	
j50g	68.25	-42.61	56.0	70.37	127	y51l	
j75g	58.73	-57.99	40.99	71.02	145	y85l	
g00b	55.66	-58.35	18.71	61.27	162	l12c	
g25b	58.18	-46.2	-7.82	46.86	190	l45c	
g50b	60.08	-37.02	-27.87	46.34	217	l78c	
g75b	55.21	-20.63	-42.98	47.67	244	c16v	
b00r	41.38	1.37	-45.05	45.07	272	c58v	
b25r	26.43	27.03	-46.5	53.78	300	v03m	
b50r	36.22	48.22	-29.42	56.48	329	v54m	
b75r	47.81	72.75	-3.76	72.85	357	m10o	



Siehe ähnliche Dateien: <http://www.ps.bam.de/Eg39/>; www.ps.bam.de/Eg39/HTM
 Technische Information: <http://www.ps.bam.de> Version 2.1, io=1,1, ColSpx=1

BAM-Registrierung: 20081001-Eg39/10L/L39G00NA.PS/.TXT BAM-Material: Code=rh4ta
 Anwendung für Beurteilung und Messung von Drucker- oder Monitorssystemen

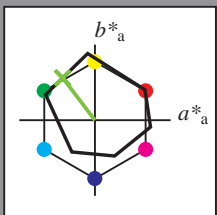
Ein und Ausgabe: Farbmetrisches Drucker-Reflektiv-System ORS20_95a für relativen CIELAB-Bunton $h^* = lab^*h^* = h_{ab}/360 = 0.354$

Daten für jede Farbe:
 lab^*tch^* und lab^*icu^*

Buntontexte:
 $u^*_e = j50g$ $u^*_d = y55l$

Kontrastreduzierungsfaktor:
 $c_R = 1.0$

Dreiecks-Helligkeit i^*



ORS20_95a; adaptierte CIELAB-Daten

	u^*_e	$L^*=L^*_a$	a^*_a	b^*_a	$C^*_{ab,a}$	$h^*_{ab,a}$
O _{Ma}	46.89	66.19	40.28	77.48	31	
Y _{Ma}	88.66	-9.62	88.21	88.73	96	
L _{Ma}	54.22	-65.29	33.87	73.56	153	
C _{Ma}	61.43	-30.53	-42.04	51.96	234	
V _{Ma}	25.93	25.95	-47.37	54.01	299	
M _{Ma}	47.92	73.53	-9.02	74.08	353	
N _{Ma}	20.41	0.0	0.0	0.0	0	
W _{Ma}	94.64	0.0	0.0	0.0	0	
R _{Ma}	39.92	58.74	27.99	65.07	25	
J _{Ma}	81.26	-2.89	71.56	71.62	92	
G _{Ma}	52.23	-42.42	13.6	44.55	162	
B _{Ma}	30.57	1.41	-46.47	46.49	272	

Daten für Maximalfarbe (Ma):

$LAB^*LAB^*_{Ma}$: 68 -43 56

$LAB^*LCH^*_{Ma}$: 68 70 127

$lab^*rgb^*_{Ma}$: 0.5 1.0 0.0

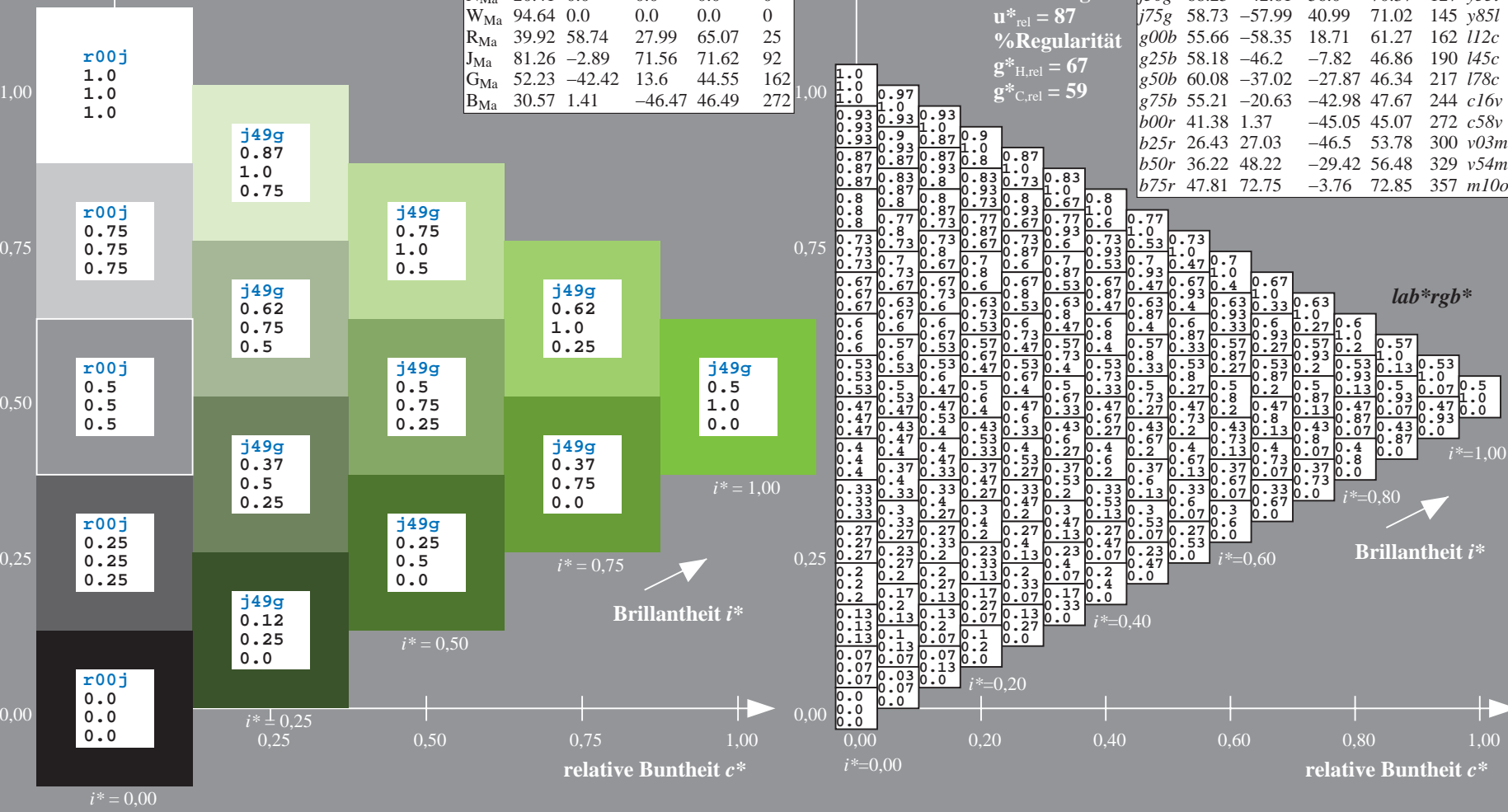
$lab^*olv^*_{Ma}$: 0.45 1.0 0.0

Dreiecks-Helligkeit i^*

%Umfang
 $u^*_{rel} = 87$
 %Regularität
 $g^*_{H,rel} = 67$
 $g^*_{C,rel} = 59$

ORS20_95a; adaptierte CIELAB-Daten

	u^*_e	$L^*=L^*_a$	a^*_a	b^*_a	$C^*_{ab,a}$	$h^*_{ab,a}$	u^*_d
r00j	47.06	67.41	32.12	74.67	25	m84o	
r25j	53.95	53.38	48.38	72.04	42	o17y	
r50j	63.6	35.87	59.45	69.43	59	o42y	
r75j	73.37	18.14	70.66	72.95	76	o68y	
j00g	85.24	-3.4	84.28	84.35	92	o93y	
j25g	78.53	-25.99	72.23	76.76	110	y24l	
j50g	68.25	-42.61	56.0	70.37	127	y55l	
j75g	58.73	-57.99	40.99	71.02	145	y85l	
g00b	55.66	-58.35	18.71	61.27	162	l12c	
g25b	58.18	-46.2	-7.82	46.86	190	l45c	
g50b	60.08	-37.02	-27.87	46.34	217	l78c	
g75b	55.21	-20.63	-42.98	47.67	244	c16v	
b00r	41.38	1.37	-45.05	45.07	272	c58v	
b25r	26.43	27.03	-46.5	53.78	300	v03m	
b50r	36.22	48.22	-29.42	56.48	329	v54m	
b75r	47.81	72.75	-3.76	72.85	357	m10o	



Siehe ähnliche Dateien: <http://www.ps.bam.de/Eg39/>; [www.ps.bam.de/Version 2.1, io=1,1, Colspx=1](http://www.ps.bam.de/Version%201.1,io=1,1,Colspx=1)
 Technische Information: [http://www.ps.bam.de/Version 2.1, io=1,1, Colspx=1](http://www.ps.bam.de/Version%201.1,io=1,1,Colspx=1)

BAM-Registrierung: 20081001-Eg39/10L/L39G00NA.PS/.TXT BAM-Material: Code=rhatha
 Anwendung für Beurteilung und Messung von Drucker- oder Monitorssystemen

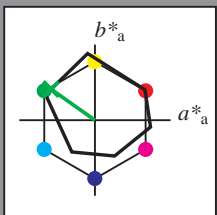
Ein und Ausgabe: Farbmetrisches Drucker-Reflektiv-System ORS20_95a für relativen CIELAB-Bunton $h^* = lab^*h^* = h_{ab}/360 = 0.402$

Daten für jede Farbe:
 lab^*tch^* und lab^*icu^*

Buntontexte:
 $u^*_e = j75g$ $u^*_d = y85l$

Kontrastreduzierungsfaktor:
 $c_R = 1.0$

Dreiecks-Helligkeit i^*



ORS20_95a; adaptierte CIELAB-Daten

	u^*_e	$L^*=L^*_a$	a^*_a	b^*_a	$C^*_{ab,a}$	$h^*_{ab,a}$
O _{Ma}	46.89	66.19	40.28	77.48	31	
Y _{Ma}	88.66	-9.62	88.21	88.73	96	
L _{Ma}	54.22	-65.29	33.87	73.56	153	
C _{Ma}	61.43	-30.53	-42.04	51.96	234	
V _{Ma}	25.93	25.95	-47.37	54.01	299	
M _{Ma}	47.92	73.53	-9.02	74.08	353	
N _{Ma}	20.41	0.0	0.0	0.0	0	
W _{Ma}	94.64	0.0	0.0	0.0	0	
R _{Ma}	39.92	58.74	27.99	65.07	25	
J _{Ma}	81.26	-2.89	71.56	71.62	92	
G _{Ma}	52.23	-42.42	13.6	44.55	162	
B _{Ma}	30.57	1.41	-46.47	46.49	272	

Daten für Maximalfarbe (Ma):

$LAB^*LAB^*_{Ma}$: 59 -58 41

$LAB^*LCH^*_{Ma}$: 59 71 144

$lab^*rgb^*_{Ma}$: 0.25 1.0 0.0

$lab^*olv^*_{Ma}$: 0.14 1.0 0.0

Dreiecks-Helligkeit i^*

%Umfang

$u^*_{rel} = 87$

%Regularität

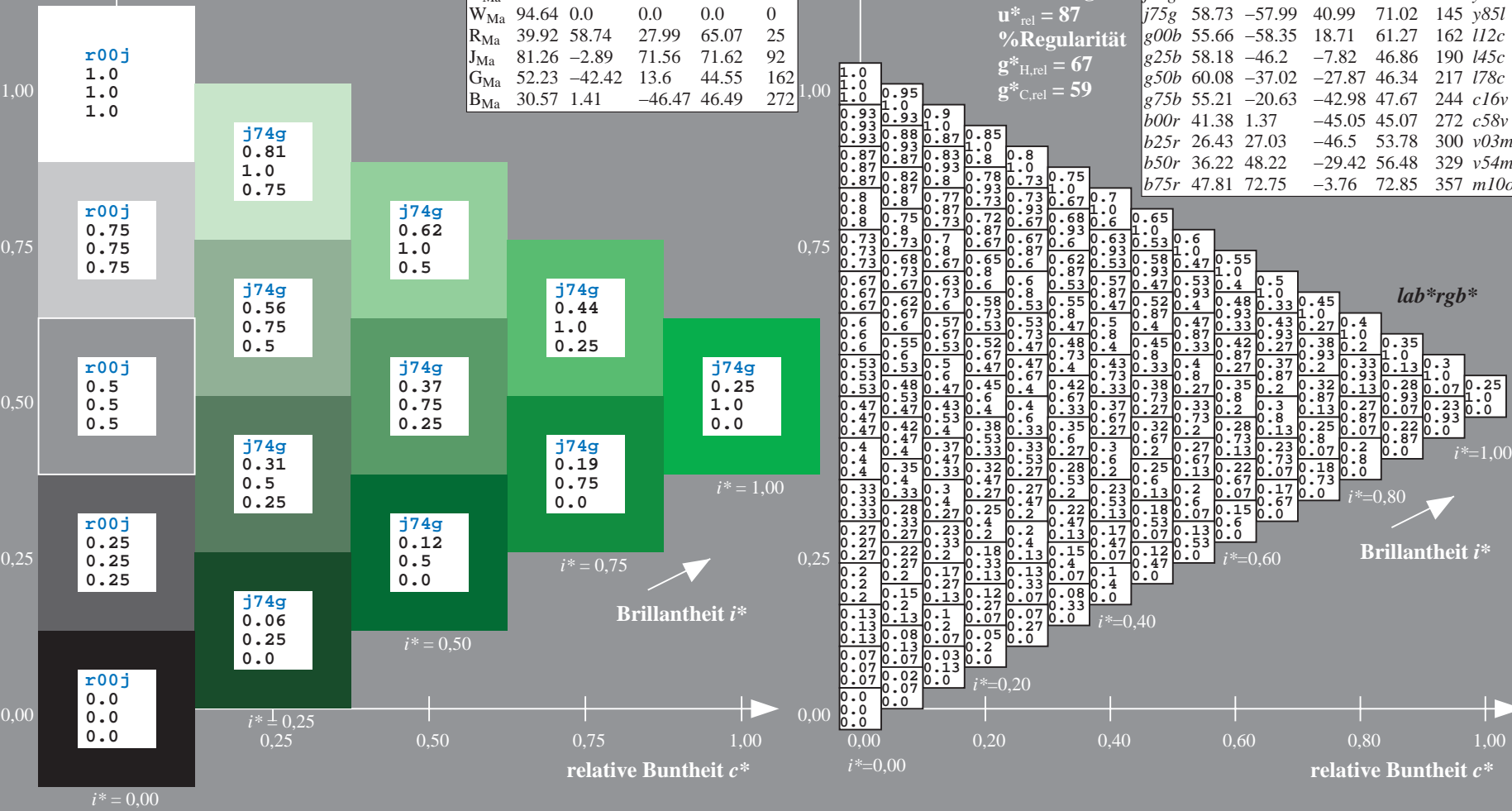
$g^*_{H,rel} = 67$

$g^*_{C,rel} = 59$

$u^*_e = j75g$
 lab^*rgb^*

ORS20_95a; adaptierte CIELAB-Daten

	u^*_e	$L^*=L^*_a$	a^*_a	b^*_a	$C^*_{ab,a}$	$h^*_{ab,a}$	u^*_d
r00j	47.06	67.41	32.12	74.67	25	m84o	
r25j	53.95	53.38	48.38	72.04	42	o17y	
r50j	63.6	35.87	59.45	69.43	59	o42y	
r75j	73.37	18.14	70.66	72.95	76	o68y	
j00g	85.24	-3.4	84.28	84.35	92	o93y	
j25g	78.53	-25.99	72.23	76.76	110	y24l	
j50g	68.25	-42.61	56.0	70.37	127	y51l	
j75g	58.73	-57.99	40.99	71.02	145	y85l	
g00b	55.66	-58.35	18.71	61.27	162	l12c	
g25b	58.18	-46.2	-7.82	46.86	190	l45c	
g50b	60.08	-37.02	-27.87	46.34	217	l78c	
g75b	55.21	-20.63	-42.98	47.67	244	c16v	
b00r	41.38	1.37	-45.05	45.07	272	c58v	
b25r	26.43	27.03	-46.5	53.78	300	v03m	
b50r	36.22	48.22	-29.42	56.48	329	v54m	
b75r	47.81	72.75	-3.76	72.85	357	m10o	



Siehe ähnliche Dateien: <http://www.ps.bam.de/Eg39/>; [www.ps.bam.de/Version 2.1, io=1,1, Colspx=1](http://www.ps.bam.de/Version%201.1,io=1,1,Colspx=1)
 Technische Information: <http://www.ps.bam.de>

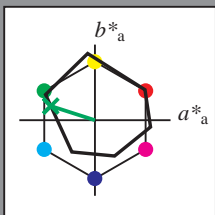
BAM-Registrierung: 20081001-Eg39/10L/L39G00NA.PS/.TXT BAM-Material: Code=rh4ta
 Anwendung für Beurteilung und Messung von Drucker- oder Monitorssystemen

Ein und Ausgabe: Farbmetrisches Drucker-Reflektiv-System ORS20_95a für relativen CIELAB-Bunton $h^* = lab^*h^* = h_{ab}/360 = 0.451$

Daten für jede Farbe:
 lab^*tch^* und lab^*icu^*

Buntontexte:
 $u^*_e = g00b$ $u^*_d = l12c$

Kontrastreduzierungsfaktor:
 $c_R = 1.0$
 Dreiecks-Helligkeit t^*



ORS20_95a; adaptierte CIELAB-Daten

	u^*_e	$L^*=L^*_a$	a^*_a	b^*_a	$C^*_{ab,a}$	$h^*_{ab,a}$
O _{Ma}	46.89	66.19	40.28	77.48	31	
Y _{Ma}	88.66	-9.62	88.21	88.73	96	
L _{Ma}	54.22	-65.29	33.87	73.56	153	
C _{Ma}	61.43	-30.53	-42.04	51.96	234	
V _{Ma}	25.93	25.95	-47.37	54.01	299	
M _{Ma}	47.92	73.53	-9.02	74.08	353	
N _{Ma}	20.41	0.0	0.0	0.0	0	
W _{Ma}	94.64	0.0	0.0	0.0	0	
R _{Ma}	39.92	58.74	27.99	65.07	25	
J _{Ma}	81.26	-2.89	71.56	71.62	92	
G _{Ma}	52.23	-42.42	13.6	44.55	162	
B _{Ma}	30.57	1.41	-46.47	46.49	272	

Daten für Maximalfarbe (Ma):

$LAB^*LAB^*_{Ma}$: 56 -58 19

$LAB^*LCH^*_{Ma}$: 56 61 162

$lab^*rgb^*_{Ma}$: 0.0 1.0 0.0

$lab^*olv^*_{Ma}$: 0.0 1.0 0.12

Dreiecks-Helligkeit t^*

%Umfang

$u^*_{rel} = 87$

%Regularität

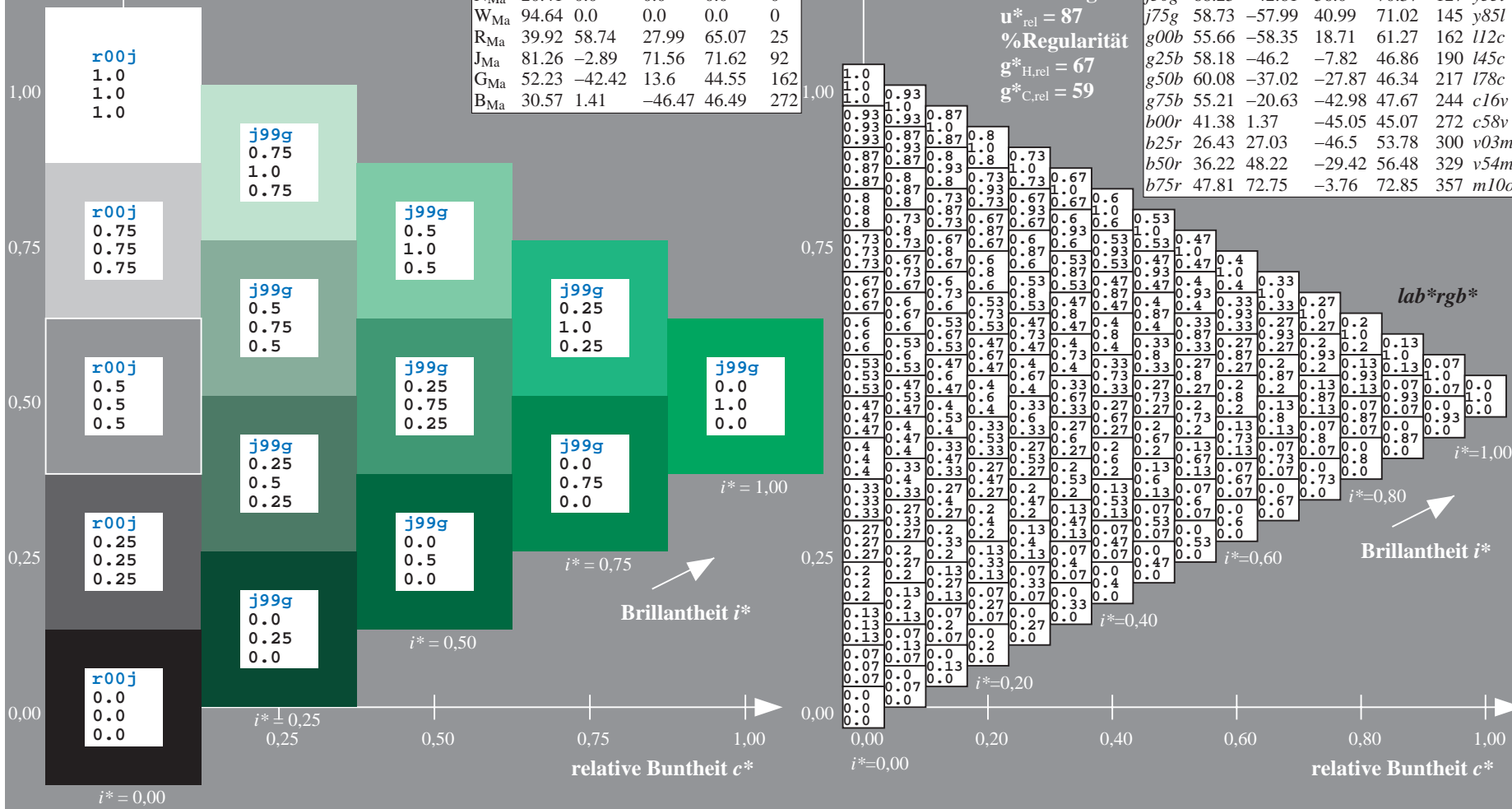
$g^*_{H,rel} = 67$

$g^*_{C,rel} = 59$

$u^*_e = g00b$
 lab^*rgb^*

ORS20_95a; adaptierte CIELAB-Daten

	u^*_e	$L^*=L^*_a$	a^*_a	b^*_a	$C^*_{ab,a}$	$h^*_{ab,a}$	u^*_d
r00j	47.06	67.41	32.12	74.67	25	m84o	
r25j	53.95	53.38	48.38	72.04	42	o17y	
r50j	63.6	35.87	59.45	69.43	59	o42y	
r75j	73.37	18.14	70.66	72.95	76	o68y	
j00g	85.24	-3.4	84.28	84.35	92	o93y	
j25g	78.53	-25.99	72.23	76.76	110	y24l	
j50g	68.25	-42.61	56.0	70.37	127	y51l	
j75g	58.73	-57.99	40.99	71.02	145	y85l	
g00b	55.66	-58.35	18.71	61.27	162	l12c	
g25b	58.18	-46.2	-7.82	46.86	190	l45c	
g50b	60.08	-37.02	-27.87	46.34	217	l78c	
g75b	55.21	-20.63	-42.98	47.67	244	c16v	
b00r	41.38	1.37	-45.05	45.07	272	c58v	
b25r	26.43	27.03	-46.5	53.78	300	v03m	
b50r	36.22	48.22	-29.42	56.48	329	v54m	
b75r	47.81	72.75	-3.76	72.85	357	m10o	



Siehe ähnliche Dateien: <http://www.ps.bam.de/Eg39/>; www.ps.bam.de/Version.2.1,io=1,1,Colspx=1
 Technische Information: <http://www.ps.bam.de>

BAM-Registrierung: 20081001-Eg39/10L/L39G00NA.PS/.TXT BAM-Material: Code=rhatha
 Anwendung für Beurteilung und Messung von Drucker- oder Monitorssystemen

Ein und Ausgabe: Farbmetrisches Drucker-Reflektiv-System ORS20_95a für relativen CIELAB-Buntton $h^* = lab^*h^* = h_{ab}/360 = 0.527$

Daten für jede Farbe:
 lab^*tch^* und lab^*icu^*

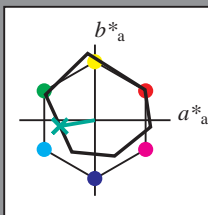
Buntontexte:

$u^*_e = g25b$ $u^*_d = l45c$

Kontrastreduzierungsfaktor:

$c_R = 1.0$

Dreiecks-Helligkeit i^*



ORS20_95a; adaptierte CIELAB-Daten

	u^*_e	$L^*=L^*_a$	a^*_a	b^*_a	$C^*_{ab,a}$	$h^*_{ab,a}$
O _{Ma}	46.89	66.19	40.28	77.48	31	
Y _{Ma}	88.66	-9.62	88.21	88.73	96	
L _{Ma}	54.22	-65.29	33.87	73.56	153	
C _{Ma}	61.43	-30.53	-42.04	51.96	234	
V _{Ma}	25.93	25.95	-47.37	54.01	299	
M _{Ma}	47.92	73.53	-9.02	74.08	353	
N _{Ma}	20.41	0.0	0.0	0.0	0	
W _{Ma}	94.64	0.0	0.0	0.0	0	
R _{Ma}	39.92	58.74	27.99	65.07	25	
J _{Ma}	81.26	-2.89	71.56	71.62	92	
G _{Ma}	52.23	-42.42	13.6	44.55	162	
B _{Ma}	30.57	1.41	-46.47	46.49	272	

Daten für Maximalfarbe (Ma):

$LAB^*LAB^*_{Ma}$: 58 -46 -8

$LAB^*LCH^*_{Ma}$: 58 47 189

$lab^*rgb^*_{Ma}$: 0.0 1.0 0.5

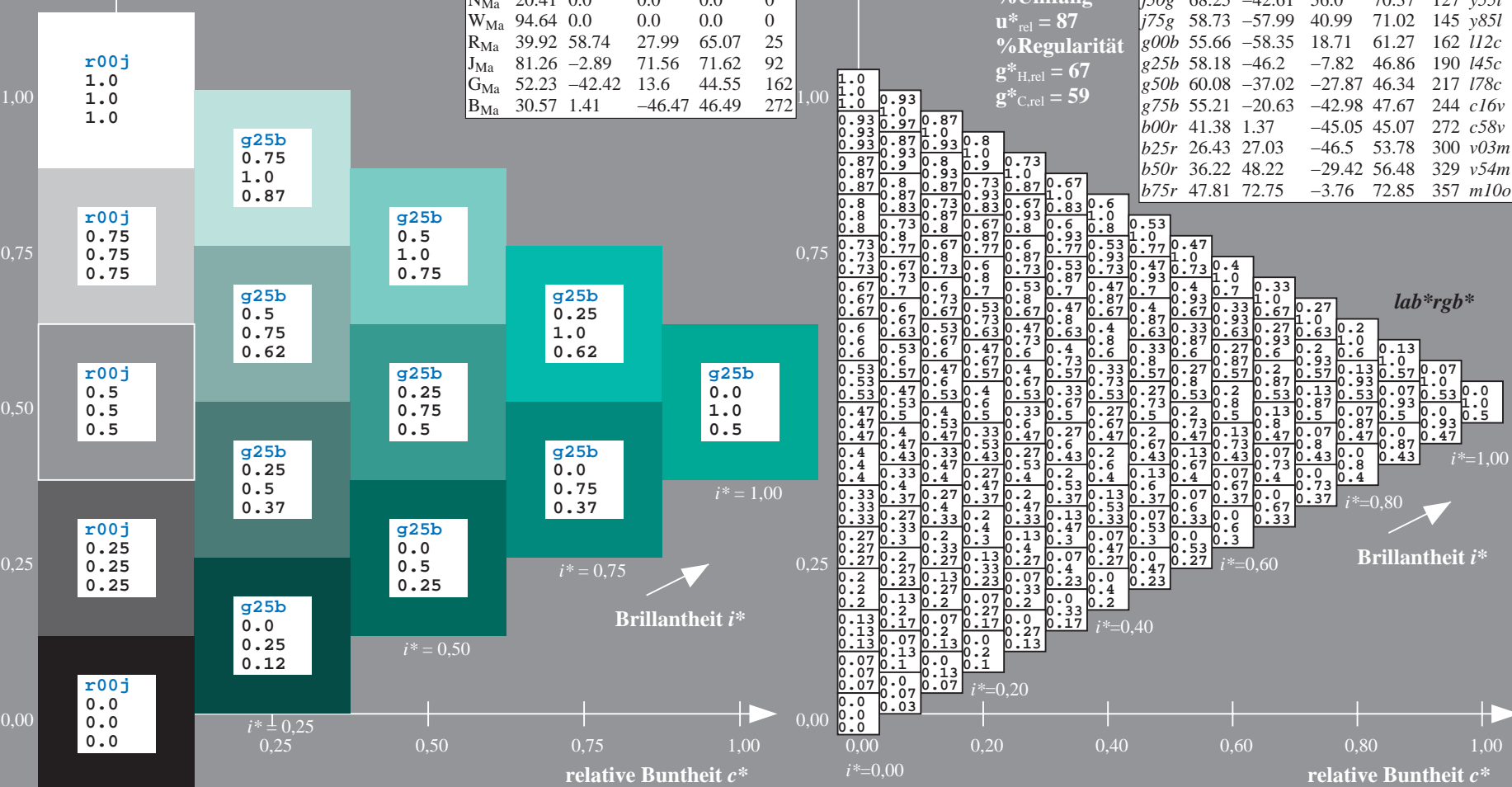
$lab^*olv^*_{Ma}$: 0.0 1.0 0.45

Dreiecks-Helligkeit i^*

%Umfang
 $u^*_{rel} = 87$
 %Regularität
 $g^*_{H,rel} = 67$
 $g^*_{C,rel} = 59$

ORS20_95a; adaptierte CIELAB-Daten

	u^*_e	$L^*=L^*_a$	a^*_a	b^*_a	$C^*_{ab,a}$	$h^*_{ab,a}$	u^*_d
r00j	47.06	67.41	32.12	74.67	25	m84o	
r25j	53.95	53.38	48.38	72.04	42	o17y	
r50j	63.6	35.87	59.45	69.43	59	o42y	
r75j	73.37	18.14	70.66	72.95	76	o68y	
j00g	85.24	-3.4	84.28	84.35	92	o93y	
j25g	78.53	-25.99	72.23	76.76	110	y24l	
j50g	68.25	-42.61	56.0	70.37	127	y51l	
j75g	58.73	-57.99	40.99	71.02	145	y85l	
g00b	55.66	-58.35	18.71	61.27	162	l12c	
g25b	58.18	-46.2	-7.82	46.86	190	l45c	
g50b	60.08	-37.02	-27.87	46.34	217	l78c	
g75b	55.21	-20.63	-42.98	47.67	244	c16v	
b00r	41.38	1.37	-45.05	45.07	272	c58v	
b25r	26.43	27.03	-46.5	53.78	300	v03m	
b50r	36.22	48.22	-29.42	56.48	329	v54m	
b75r	47.81	72.75	-3.76	72.85	357	m10o	



Siehe ähnliche Dateien: <http://www.ps.bam.de/Eg39/>; www.ps.bam.de/Version 2.1, io=1,1, ColSpx=1
 Technische Information: <http://www.ps.bam.de>

BAM-Registrierung: 20081001-Eg39/10L/L39G00NA.PS/.TXT BAM-Material: Code=rhatha
 Anwendung für Beurteilung und Messung von Drucker- oder Monitorssystemen

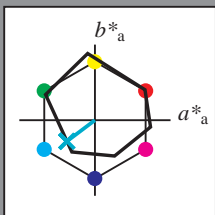
Ein und Ausgabe: Farbmetrisches Drucker-Reflektiv-System ORS20_95a für relativen CIELAB-Bunton $h^* = lab^*h^* = h_{ab}/360 = 0.603$

Daten für jede Farbe:
 lab^*tch^* und lab^*icu^*

Buntonkontexte:
 $u^*_e = g50b$ $u^*_d = l78c$

Kontrastreduzierungsfaktor:
 $c_R = 1.0$

Dreiecks-Helligkeit i^*



ORS20_95a; adaptierte CIELAB-Daten

	u^*_e	$L^*=L^*_a$	a^*_a	b^*_a	$C^*_{ab,a}$	$h^*_{ab,a}$
O _{Ma}	46.89	66.19	40.28	77.48	31	
Y _{Ma}	88.66	-9.62	88.21	88.73	96	
L _{Ma}	54.22	-65.29	33.87	73.56	153	
C _{Ma}	61.43	-30.53	-42.04	51.96	234	
V _{Ma}	25.93	25.95	-47.37	54.01	299	
M _{Ma}	47.92	73.53	-9.02	74.08	353	
N _{Ma}	20.41	0.0	0.0	0.0	0	
W _{Ma}	94.64	0.0	0.0	0.0	0	
R _{Ma}	39.92	58.74	27.99	65.07	25	
J _{Ma}	81.26	-2.89	71.56	71.62	92	
G _{Ma}	52.23	-42.42	13.6	44.55	162	
B _{Ma}	30.57	1.41	-46.47	46.49	272	

Daten für Maximalfarbe (Ma):

$LAB^*LAB^*_{Ma}$: 60 -37 -28

$LAB^*LCH^*_{Ma}$: 60 46 216

$lab^*rgb^*_{Ma}$: 0.0 1.0 1.0

$lab^*olv^*_{Ma}$: 0.0 1.0 0.79

Dreiecks-Helligkeit i^*

%Umfang

$u^*_{rel} = 87$

%Regularität

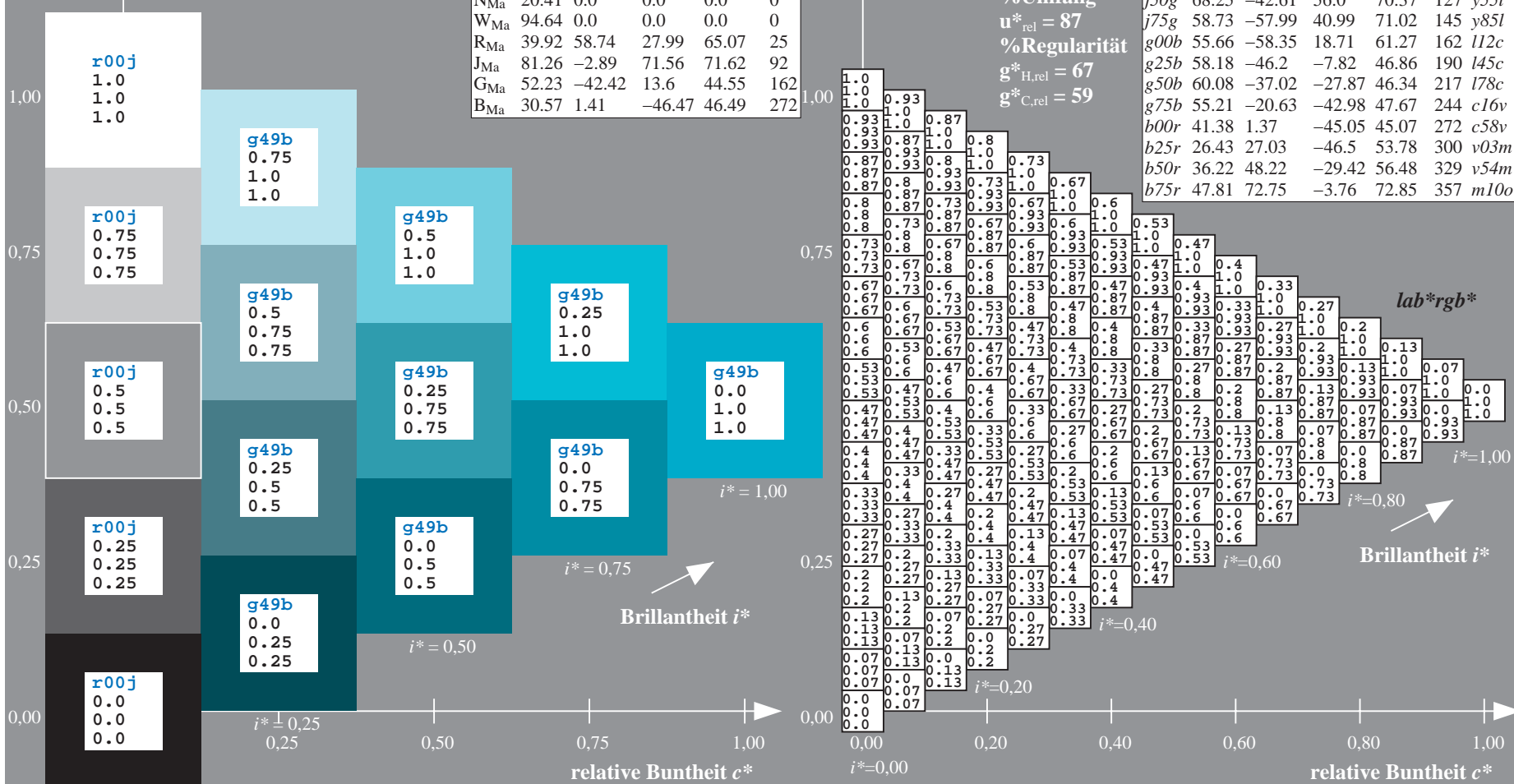
$g^*_{H,rel} = 67$

$g^*_{C,rel} = 59$

$u^*_e = g50b$
 lab^*rgb^*

ORS20_95a; adaptierte CIELAB-Daten

	u^*_e	$L^*=L^*_a$	a^*_a	b^*_a	$C^*_{ab,a}$	$h^*_{ab,a}$	u^*_d
r00j	47.06	67.41	32.12	74.67	25	m84o	
r25j	53.95	53.38	48.38	72.04	42	o17y	
r50j	63.6	35.87	59.45	69.43	59	o42y	
r75j	73.37	18.14	70.66	72.95	76	o68y	
j00g	85.24	-3.4	84.28	84.35	92	o93y	
j25g	78.53	-25.99	72.23	76.76	110	y24l	
j50g	68.25	-42.61	56.0	70.37	127	y51l	
j75g	58.73	-57.99	40.99	71.02	145	y85l	
g00b	55.66	-58.35	18.71	61.27	162	l12c	
g25b	58.18	-46.2	-7.82	46.86	190	l45c	
g50b	60.08	-37.02	-27.87	46.34	217	l78c	
g75b	55.21	-20.63	-42.98	47.67	244	c16v	
b00r	41.38	1.37	-45.05	45.07	272	c58v	
b25r	26.43	27.03	-46.5	53.78	300	v03m	
b50r	36.22	48.22	-29.42	56.48	329	v54m	
b75r	47.81	72.75	-3.76	72.85	357	m10o	



Siehe ähnliche Dateien: <http://www.ps.bam.de/Eg39/>; www.ps.bam.de/Version 2.1, io=1,1, ColSpx=1
 Technische Information: <http://www.ps.bam.de>

BAM-Registrierung: 20081001-Eg39/10L/L39G00NA.PS/.TXT BAM-Material: Code=rhatha
 Anwendung für Beurteilung und Messung von Drucker- oder Monitorssystemen

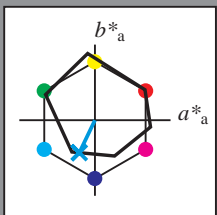
Ein und Ausgabe: Farbmetrisches Drucker-Reflektiv-System ORS20_95a für relativen CIELAB-Bunton $h^* = lab^*h^* = h_{ab}/360 = 0.679$

Daten für jede Farbe:
 lab^*tch^* und lab^*icu^*

Buntontexte:
 $u^*_e = g75b$ $u^*_d = c16v$

Kontrastreduzierungsfaktor:
 $c_R = 1.0$

Dreiecks-Helligkeit i^*



ORS20_95a; adaptierte CIELAB-Daten

	u^*_e	$L^*=L^*_a$	a^*_a	b^*_a	$C^*_{ab,a}$	$h^*_{ab,a}$
O _{Ma}	46.89	66.19	40.28	77.48	31	
Y _{Ma}	88.66	-9.62	88.21	88.73	96	
L _{Ma}	54.22	-65.29	33.87	73.56	153	
C _{Ma}	61.43	-30.53	-42.04	51.96	234	
V _{Ma}	25.93	25.95	-47.37	54.01	299	
M _{Ma}	47.92	73.53	-9.02	74.08	353	
N _{Ma}	20.41	0.0	0.0	0.0	0	
W _{Ma}	94.64	0.0	0.0	0.0	0	
R _{Ma}	39.92	58.74	27.99	65.07	25	
J _{Ma}	81.26	-2.89	71.56	71.62	92	
G _{Ma}	52.23	-42.42	13.6	44.55	162	
B _{Ma}	30.57	1.41	-46.47	46.49	272	

Daten für Maximalfarbe (Ma):

$LAB^*LAB^*_{Ma}$: 55 -21 -43

$LAB^*LCH^*_{Ma}$: 55 48 244

$lab^*rgb^*_{Ma}$: 0.0 0.5 1.0

$lab^*olv^*_{Ma}$: 0.0 0.84 1.0

Dreiecks-Helligkeit i^*

%Umfang

$u^*_{rel} = 87$

%Regularität

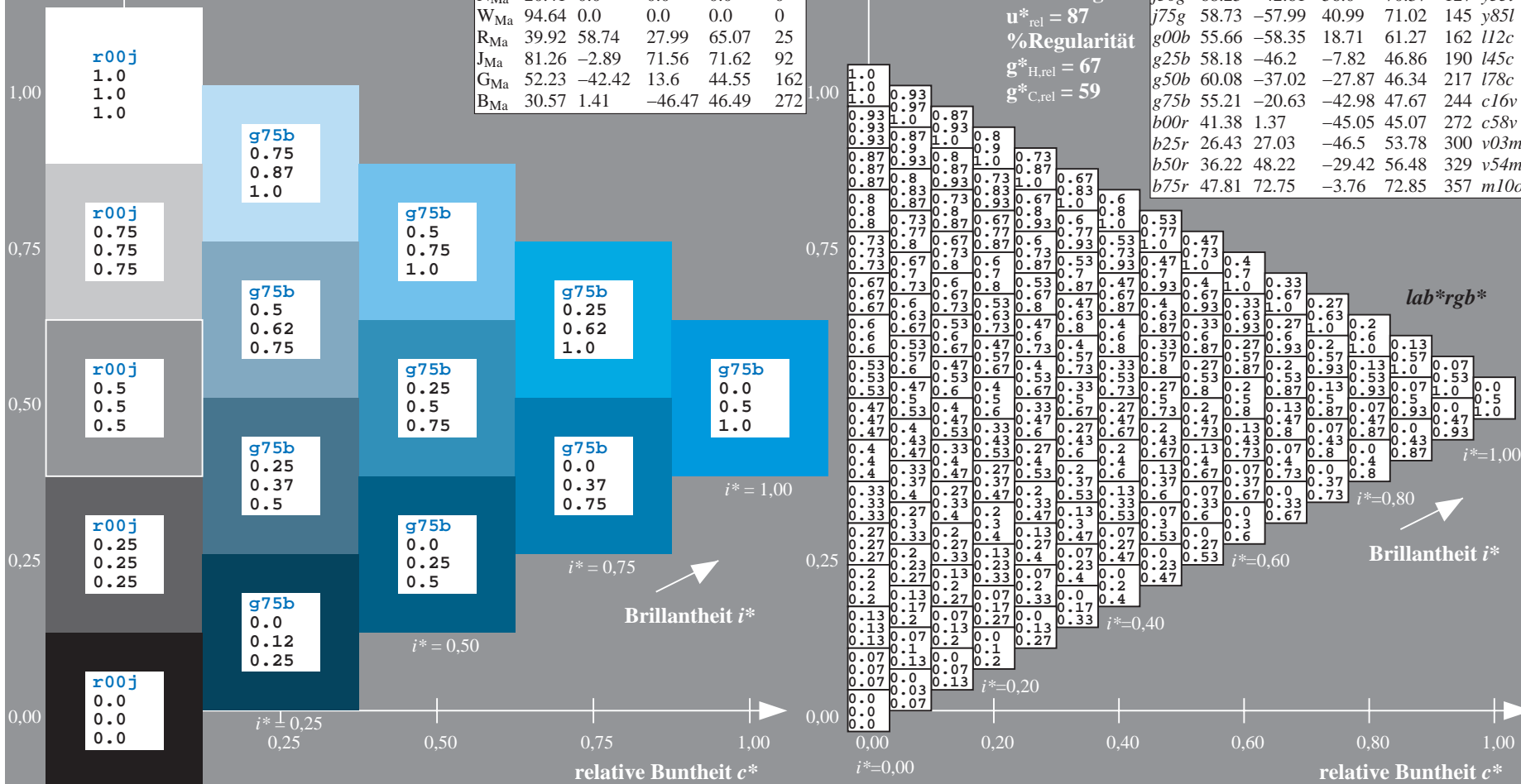
$g^*_{H,rel} = 67$

$g^*_{C,rel} = 59$

$u^*_e = g75b$
 lab^*rgb^*

ORS20_95a; adaptierte CIELAB-Daten

	u^*_e	$L^*=L^*_a$	a^*_a	b^*_a	$C^*_{ab,a}$	$h^*_{ab,a}$	u^*_d
r00j	47.06	67.41	32.12	74.67	25	m84o	
r25j	53.95	53.38	48.38	72.04	42	o17y	
r50j	63.6	35.87	59.45	69.43	59	o42y	
r75j	73.37	18.14	70.66	72.95	76	o68y	
j00g	85.24	-3.4	84.28	84.35	92	o93y	
j25g	78.53	-25.99	72.23	76.76	110	y24l	
j50g	68.25	-42.61	56.0	70.37	127	y51l	
j75g	58.73	-57.99	40.99	71.02	145	y85l	
g00b	55.66	-58.35	18.71	61.27	162	l12c	
g25b	58.18	-46.2	-7.82	46.86	190	l45c	
g50b	60.08	-37.02	-27.87	46.34	217	l78c	
g75b	55.21	-20.63	-42.98	47.67	244	c16v	
b00r	41.38	1.37	-45.05	45.07	272	c58v	
b25r	26.43	27.03	-46.5	53.78	300	v03m	
b50r	36.22	48.22	-29.42	56.48	329	v54m	
b75r	47.81	72.75	-3.76	72.85	357	m10o	



Siehe ähnliche Dateien: <http://www.ps.bam.de/Eg39/>; www.ps.bam.de/Version 2.1, io=1,1, ColSpx=1
 Technische Information: <http://www.ps.bam.de>

BAM-Registrierung: 20081001-Eg39/10L/L39G00NA.PS/.TXT BAM-Material: Code=rh4ta
 Anwendung für Beurteilung und Messung von Drucker- oder Monitorssystemen

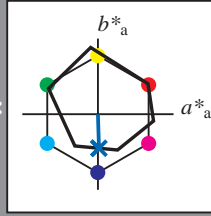
Ein und Ausgabe: Farbmetrisches Drucker-Reflektiv-System ORS20_95a für relativen CIELAB-Bunton $h^* = lab^*h^* = h_{ab}/360 = 0.755$

Daten für jede Farbe:
 lab^*tch^* und lab^*icu^*

Buntontexte:
 $u^*_e = b00r$ $u^*_d = c58v$

Kontrastreduzierungsfaktor:
 $c_R = 1.0$

Dreiecks-Helligkeit i^*



ORS20_95a; adaptierte CIELAB-Daten

	u^*_e	$L^*=L^*_a$	a^*_a	b^*_a	$C^*_{ab,a}$	$h^*_{ab,a}$
O _{Ma}	46.89	66.19	40.28	77.48	31	
Y _{Ma}	88.66	-9.62	88.21	88.73	96	
L _{Ma}	54.22	-65.29	33.87	73.56	153	
C _{Ma}	61.43	-30.53	-42.04	51.96	234	
V _{Ma}	25.93	25.95	-47.37	54.01	299	
M _{Ma}	47.92	73.53	-9.02	74.08	353	
N _{Ma}	20.41	0.0	0.0	0.0	0	
W _{Ma}	94.64	0.0	0.0	0.0	0	
R _{Ma}	39.92	58.74	27.99	65.07	25	
J _{Ma}	81.26	-2.89	71.56	71.62	92	
G _{Ma}	52.23	-42.42	13.6	44.55	162	
B _{Ma}	30.57	1.41	-46.47	46.49	272	

Daten für Maximalfarbe (Ma):

$LAB^*LAB^*_{Ma}$: 41 1 -45

$LAB^*LCH^*_{Ma}$: 41 45 271

$lab^*rgb^*_{Ma}$: 0.0 0.0 1.0

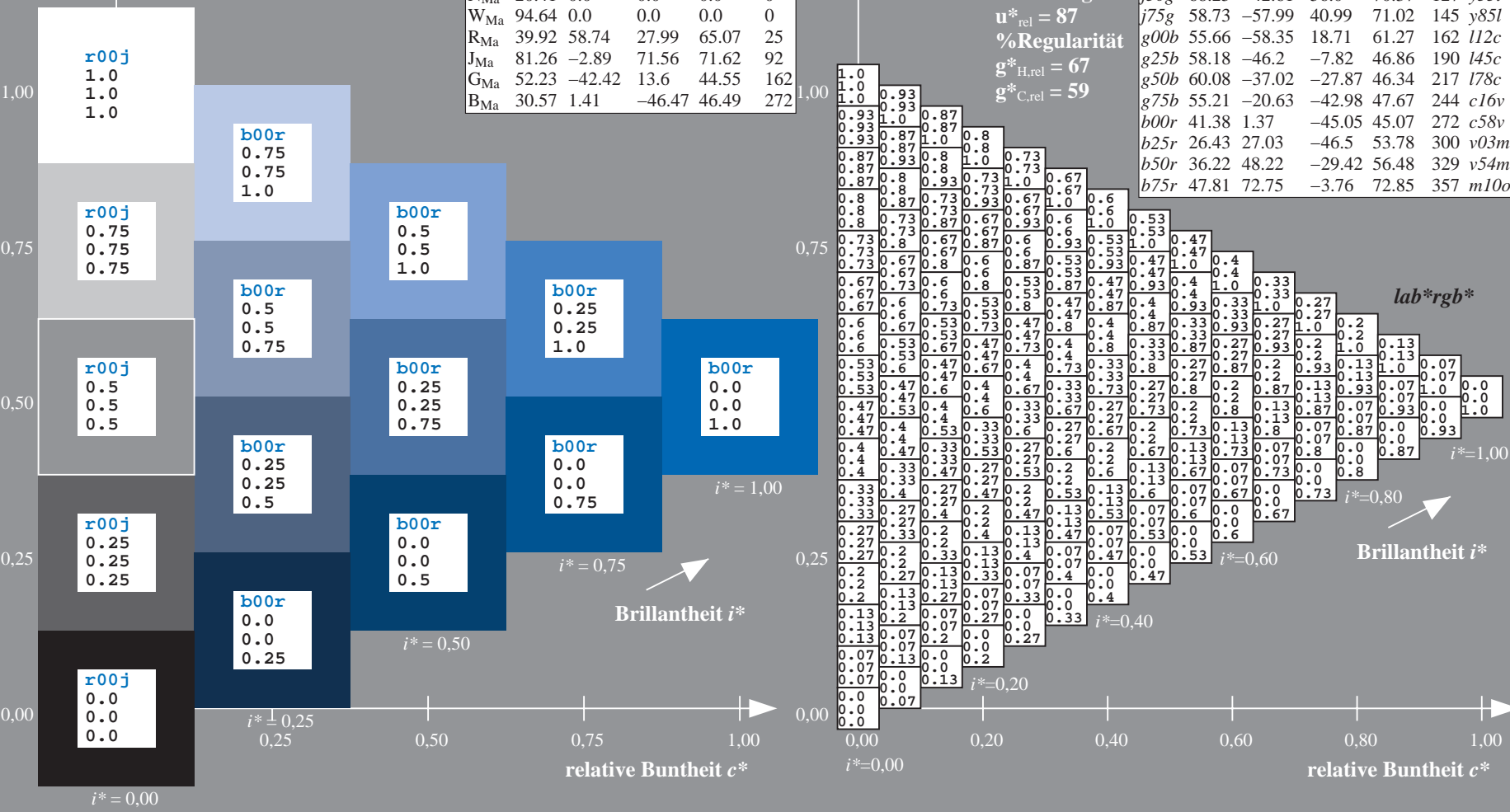
$lab^*olv^*_{Ma}$: 0.0 0.42 1.0

Dreiecks-Helligkeit i^*

%Umfang
 $u^*_{rel} = 87$
 %Regularität
 $g^*_{H,rel} = 67$
 $g^*_{C,rel} = 59$

ORS20_95a; adaptierte CIELAB-Daten

	u^*_e	$L^*=L^*_a$	a^*_a	b^*_a	$C^*_{ab,a}$	$h^*_{ab,a}$	u^*_d
r00j	47.06	67.41	32.12	74.67	25	m84o	
r25j	53.95	53.38	48.38	72.04	42	o17y	
r50j	63.6	35.87	59.45	69.43	59	o42y	
r75j	73.37	18.14	70.66	72.95	76	o68y	
j00g	85.24	-3.4	84.28	84.35	92	o93y	
j25g	78.53	-25.99	72.23	76.76	110	y24l	
j50g	68.25	-42.61	56.0	70.37	127	y51l	
j75g	58.73	-57.99	40.99	71.02	145	y85l	
g00b	55.66	-58.35	18.71	61.27	162	l12c	
g25b	58.18	-46.2	-7.82	46.86	190	l45c	
g50b	60.08	-37.02	-27.87	46.34	217	l78c	
g75b	55.21	-20.63	-42.98	47.67	244	c16v	
b00r	41.38	1.37	-45.05	45.07	272	c58v	
b25r	26.43	27.03	-46.5	53.78	300	v03m	
b50r	36.22	48.22	-29.42	56.48	329	v54m	
b75r	47.81	72.75	-3.76	72.85	357	m10o	



BAM-Registrierung: 20081001-Eg39/10L/L39G00NA.PS/.TXT BAM-Material: Code=rh4ta
 Anwendung für Beurteilung und Messung von Drucker- oder Monitorssystemen

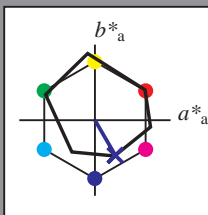
Ein und Ausgabe: Farbmetrisches Drucker-Reflektiv-System ORS20_95a für relativen CIELAB-Buntton $h^* = lab^*h^* = h_{ab}/360 = 0.834$

Daten für jede Farbe:
 lab^*ch^* und lab^*icu^*

Bunttontexte:
 $u^*_e = b25r$ $u^*_d = v03m$

Kontrastreduzierungsfaktor:
 $c_R = 1.0$

Dreiecks-Helligkeit i^*



ORS20_95a; adaptierte CIELAB-Daten

	u^*_e	$L^*=L^*_a$	a^*_a	b^*_a	$C^*_{ab,a}$	$h^*_{ab,a}$
O _{Ma}	46.89	66.19	40.28	77.48	31	
Y _{Ma}	88.66	-9.62	88.21	88.73	96	
L _{Ma}	54.22	-65.29	33.87	73.56	153	
C _{Ma}	61.43	-30.53	-42.04	51.96	234	
V _{Ma}	25.93	25.95	-47.37	54.01	299	
M _{Ma}	47.92	73.53	-9.02	74.08	353	
N _{Ma}	20.41	0.0	0.0	0.0	0	
W _{Ma}	94.64	0.0	0.0	0.0	0	
R _{Ma}	39.92	58.74	27.99	65.07	25	
J _{Ma}	81.26	-2.89	71.56	71.62	92	
G _{Ma}	52.23	-42.42	13.6	44.55	162	
B _{Ma}	30.57	1.41	-46.47	46.49	272	

Daten für Maximalfarbe (Ma):

$LAB^*LAB^*_{Ma}$: 26 27 -46

$LAB^*LCH^*_{Ma}$: 26 54 300

$lab^*rgb^*_{Ma}$: 0.5 0.0 1.0

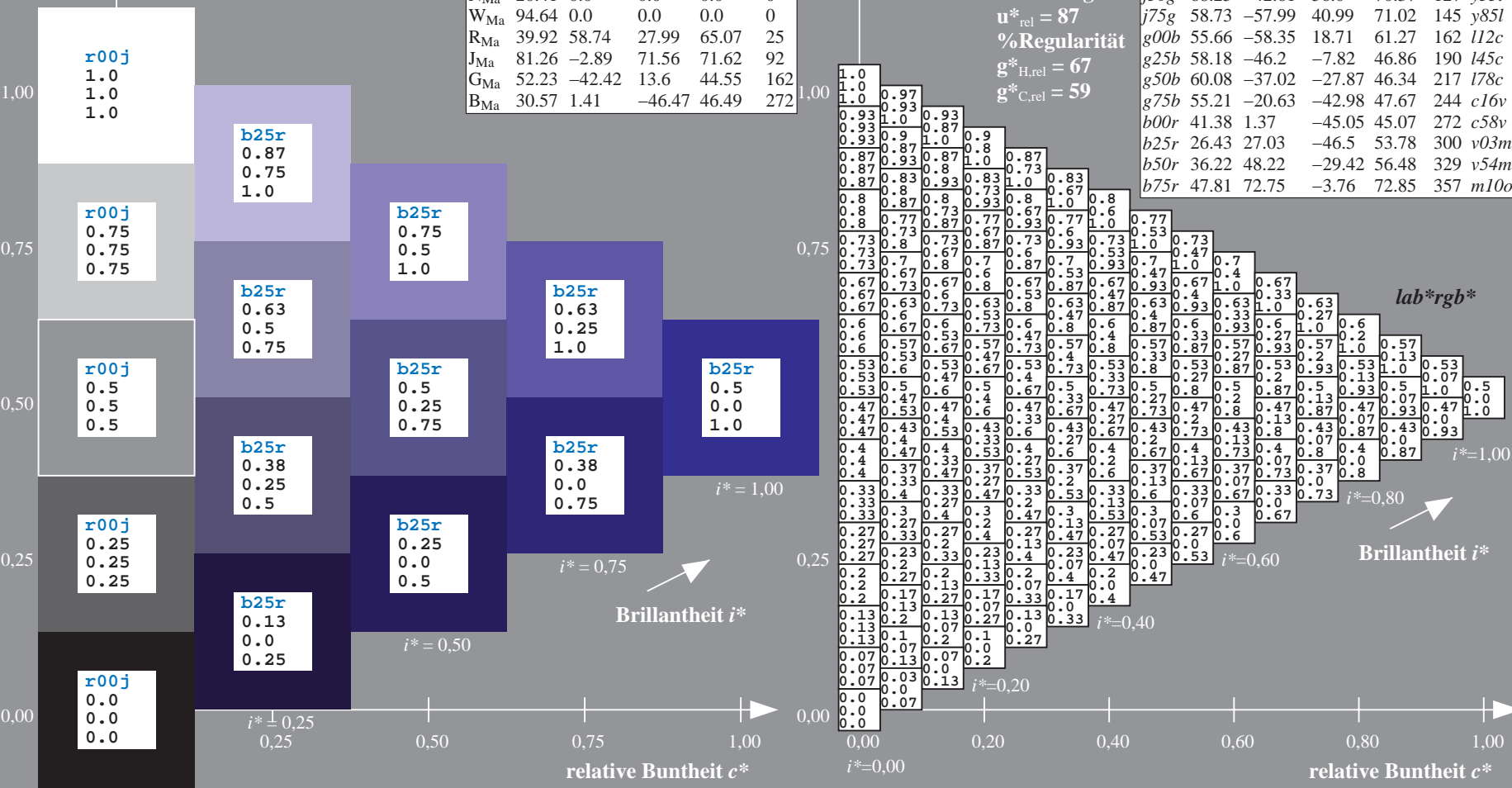
$lab^*olv^*_{Ma}$: 0.03 0.0 1.0

Dreiecks-Helligkeit i^*

%Umfang
 $u^*_{rel} = 87$
 %Regularität
 $g^*_{H,rel} = 67$
 $g^*_{C,rel} = 59$

ORS20_95a; adaptierte CIELAB-Daten

	u^*_e	$L^*=L^*_a$	a^*_a	b^*_a	$C^*_{ab,a}$	$h^*_{ab,a}$	u^*_d
r00j	47.06	67.41	32.12	74.67	25	m84o	
r25j	53.95	53.38	48.38	72.04	42	o17y	
r50j	63.6	35.87	59.45	69.43	59	o42y	
r75j	73.37	18.14	70.66	72.95	76	o68y	
j00g	85.24	-3.4	84.28	84.35	92	o93y	
j25g	78.53	-25.99	72.23	76.76	110	y24l	
j50g	68.25	-42.61	56.0	70.37	127	y51l	
j75g	58.73	-57.99	40.99	71.02	145	y85l	
g00b	55.66	-58.35	18.71	61.27	162	l12c	
g25b	58.18	-46.2	-7.82	46.86	190	l45c	
g50b	60.08	-37.02	-27.87	46.34	217	l78c	
g75b	55.21	-20.63	-42.98	47.67	244	c16v	
b00r	41.38	1.37	-45.05	45.07	272	c58v	
b25r	26.43	27.03	-46.5	53.78	300	v03m	
b50r	36.22	48.22	-29.42	56.48	329	v54m	
b75r	47.81	72.75	-3.76	72.85	357	m10o	



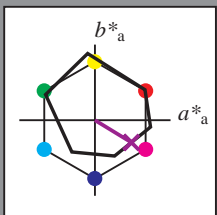
Siehe ähnliche Dateien: <http://www.ps.bam.de/Eg39/>; www.ps.bam.de/Version.2.1,io=1,1,Colspx=1
 Technische Information: <http://www.ps.bam.de>

BAM-Registrierung: 20081001-Eg39/10L/L39G00NA.PS/.TXT BAM-Material: Code=rh4ta
 Anwendung für Beurteilung und Messung von Drucker- oder Monitorssystemen

Ein und Ausgabe: Farbmetrisches Drucker-Reflektiv-System ORS20_95a für relativen CIELAB-Buntton $h^* = lab^*h^* = h_{ab}/360 = 0.913$

Daten für jede Farbe:
 lab^*tch^* und lab^*icu^*

Bunttontexte:
 $u^*_e = b50r$ $u^*_d = v54m$
 Kontrastreduzierungsfaktor:
 $c_R = 1.0$
 Dreiecks-Helligkeit i^*



ORS20_95a; adaptierte CIELAB-Daten

	u^*_e	$L^*=L^*_a$	a^*_a	b^*_a	$C^*_{ab,a}$	$h^*_{ab,a}$
O _{Ma}	46.89	66.19	40.28	77.48	31	
Y _{Ma}	88.66	-9.62	88.21	88.73	96	
L _{Ma}	54.22	-65.29	33.87	73.56	153	
C _{Ma}	61.43	-30.53	-42.04	51.96	234	
V _{Ma}	25.93	25.95	-47.37	54.01	299	
M _{Ma}	47.92	73.53	-9.02	74.08	353	
N _{Ma}	20.41	0.0	0.0	0.0	0	
W _{Ma}	94.64	0.0	0.0	0.0	0	
R _{Ma}	39.92	58.74	27.99	65.07	25	
J _{Ma}	81.26	-2.89	71.56	71.62	92	
G _{Ma}	52.23	-42.42	13.6	44.55	162	
B _{Ma}	30.57	1.41	-46.47	46.49	272	

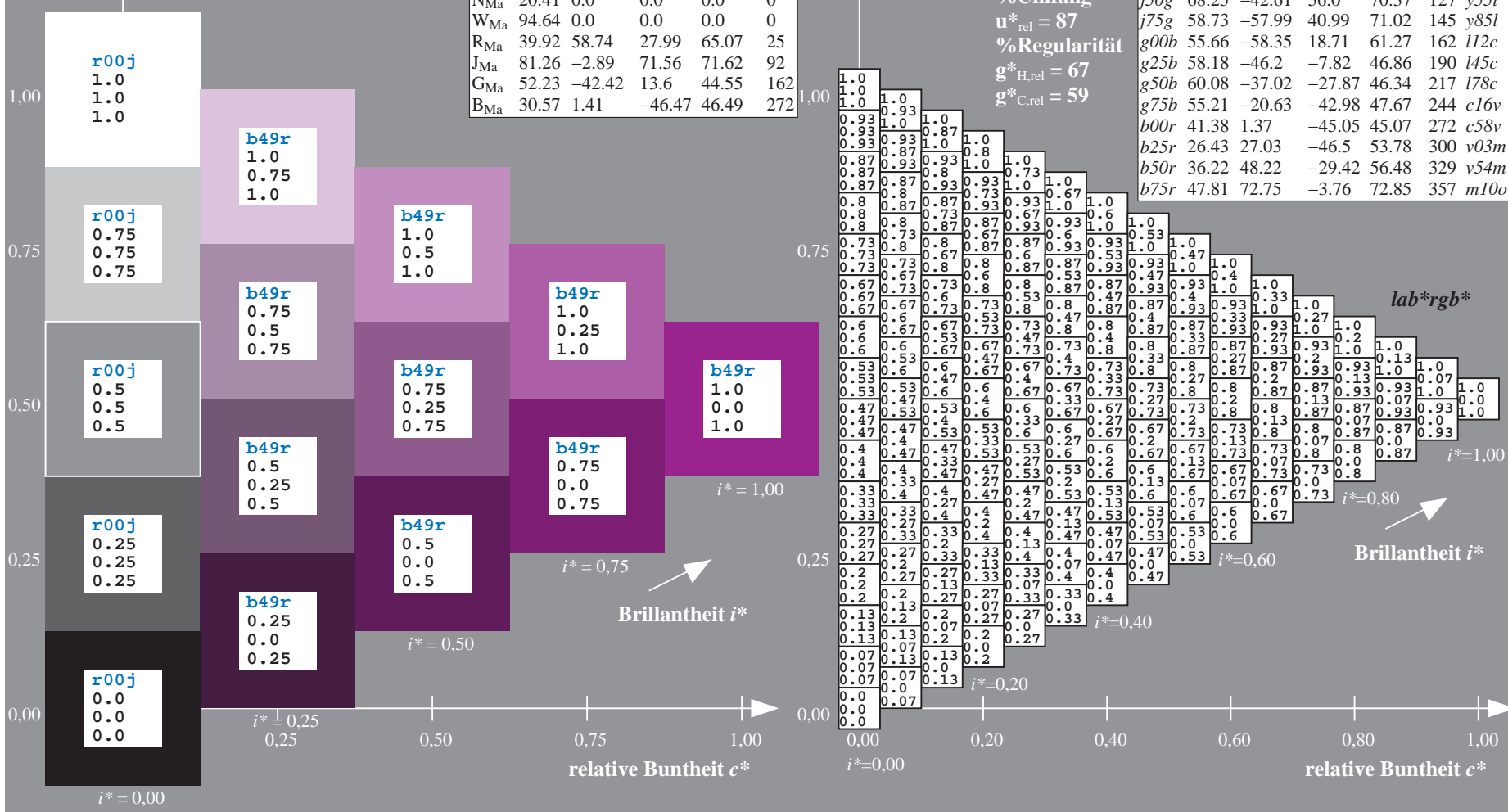
Daten für Maximalfarbe (Ma):

$LAB^*LAB^*_{Ma}$: 36 48 -29
 $LAB^*LCH^*_{Ma}$: 36 56 328
 $lab^*rgb^*_{Ma}$: 1.0 0.0 1.0
 $lab^*olv^*_{Ma}$: 0.55 0.0 1.0

ORS20_95a; adaptierte CIELAB-Daten

	u^*_e	$L^*=L^*_a$	a^*_a	b^*_a	$C^*_{ab,a}$	$h^*_{ab,a}$	u^*_d
r00j	47.06	67.41	32.12	74.67	25	m84o	
r25j	53.95	53.38	48.38	72.04	42	o17y	
r50j	63.6	35.87	59.45	69.43	59	o42y	
r75j	73.37	18.14	70.66	72.95	76	o68y	
j00g	85.24	-3.4	84.28	84.35	92	o93y	
j25g	78.53	-25.99	72.23	76.76	110	y24l	
j50g	68.25	-42.61	56.0	70.37	127	y51l	
j75g	58.73	-57.99	40.99	71.02	145	y85l	
g00b	55.66	-58.35	18.71	61.27	162	l12c	
g25b	58.18	-46.2	-7.82	46.86	190	l45c	
g50b	60.08	-37.02	-27.87	46.34	217	l78c	
g75b	55.21	-20.63	-42.98	47.67	244	c16v	
b00r	41.38	1.37	-45.05	45.07	272	c58v	
b25r	26.43	27.03	-46.5	53.78	300	v03m	
b50r	36.22	48.22	-29.42	56.48	329	v54m	
b75r	47.81	72.75	-3.76	72.85	357	m10o	

Dreiecks-Helligkeit i^*
 %Umfang
 $u^*_{rel} = 87$
 %Regularität
 $g^*_{H,rel} = 67$
 $g^*_{C,rel} = 59$



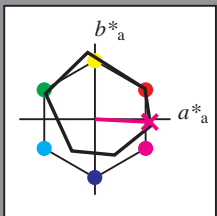
Siehe ähnliche Dateien: <http://www.ps.bam.de/Eg39/>; www.ps.bam.de/Version.2.1,io=1,1,Colspx=1
 Technische Information: <http://www.ps.bam.de>

BAM-Registrierung: 20081001-Eg39/10L/L39G00NA.PS/.TXT BAM-Material: Code=rh4ta
 Anwendung für Beurteilung und Messung von Drucker- oder Monitorssystemen

Ein und Ausgabe: Farbmetrisches Drucker-Reflektiv-System ORS20_95a für relativen CIELAB-Bunton $h^* = lab^*h^* = h_{ab}/360 = 0.992$

Daten für jede Farbe:
 lab^*tch^* und lab^*icu^*

Buntontexte:
 $u^*_e = b75r$ $u^*_d = m10o$
 Kontrastreduzierungsfaktor:
 $c_R = 1.0$
 Dreiecks-Helligkeit i^*



ORS20_95a; adaptierte CIELAB-Daten

	u^*_e	$L^*=L^*_a$	a^*_a	b^*_a	$C^*_{ab,a}$	$h^*_{ab,a}$
O _{Ma}	46.89	66.19	40.28	77.48	31	
Y _{Ma}	88.66	-9.62	88.21	88.73	96	
L _{Ma}	54.22	-65.29	33.87	73.56	153	
C _{Ma}	61.43	-30.53	-42.04	51.96	234	
V _{Ma}	25.93	25.95	-47.37	54.01	299	
M _{Ma}	47.92	73.53	-9.02	74.08	353	
N _{Ma}	20.41	0.0	0.0	0.0	0	
W _{Ma}	94.64	0.0	0.0	0.0	0	
R _{Ma}	39.92	58.74	27.99	65.07	25	
J _{Ma}	81.26	-2.89	71.56	71.62	92	
G _{Ma}	52.23	-42.42	13.6	44.55	162	
B _{Ma}	30.57	1.41	-46.47	46.49	272	

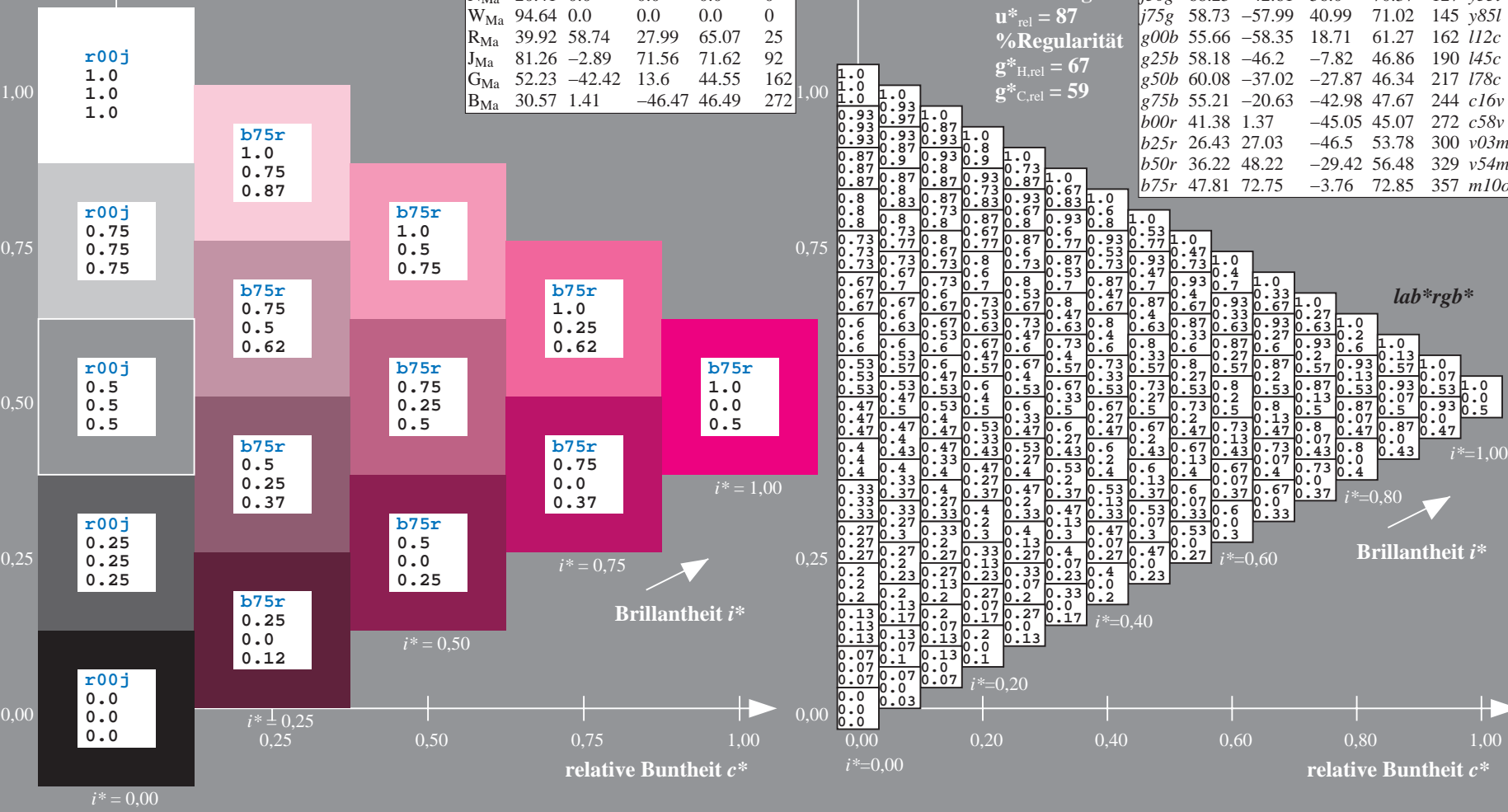
Daten für Maximalfarbe (Ma):

$LAB^*LAB^*_{Ma}$: 48 73 -4
 $LAB^*LCH^*_{Ma}$: 48 73 357
 $lab^*rgb^*_{Ma}$: 1.0 0.0 0.5
 $lab^*olv^*_{Ma}$: 1.0 0.0 0.89

ORS20_95a; adaptierte CIELAB-Daten

	u^*_e	$L^*=L^*_a$	a^*_a	b^*_a	$C^*_{ab,a}$	$h^*_{ab,a}$	u^*_d
r00j	47.06	67.41	32.12	74.67	25	m84o	
r25j	53.95	53.38	48.38	72.04	42	o17y	
r50j	63.6	35.87	59.45	69.43	59	o42y	
r75j	73.37	18.14	70.66	72.95	76	o68y	
j00g	85.24	-3.4	84.28	84.35	92	o93y	
j25g	78.53	-25.99	72.23	76.76	110	y24l	
j50g	68.25	-42.61	56.0	70.37	127	y51l	
j75g	58.73	-57.99	40.99	71.02	145	y85l	
g00b	55.66	-58.35	18.71	61.27	162	l12c	
g25b	58.18	-46.2	-7.82	46.86	190	l45c	
g50b	60.08	-37.02	-27.87	46.34	217	l78c	
g75b	55.21	-20.63	-42.98	47.67	244	c16v	
b00r	41.38	1.37	-45.05	45.07	272	c58v	
b25r	26.43	27.03	-46.5	53.78	300	v03m	
b50r	36.22	48.22	-29.42	56.48	329	v54m	
b75r	47.81	72.75	-3.76	72.85	357	m10o	

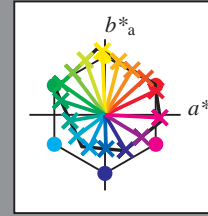
Dreiecks-Helligkeit i^*
 %Umfang
 $u^*_{rel} = 87$
 %Regularität
 $g^*_{H,rel} = 67$
 $g^*_{C,rel} = 59$



Ein und Ausgabe:
 Farbmetrisches Drucker-Reflektiv-System ORS20_95a
 Daten für jede Farbe:
 u^*_e und Nummer *Nr.* = 00 .. 15
 Elementar-Bunttext:
 $u^*_e = 16$ Bunttoene *r00j, r25j, ..., b75r*
 Kontrastreduzierungsfaktor:
 $c_R = 1.0$

ORS20_95a; adaptierte CIELAB-Daten

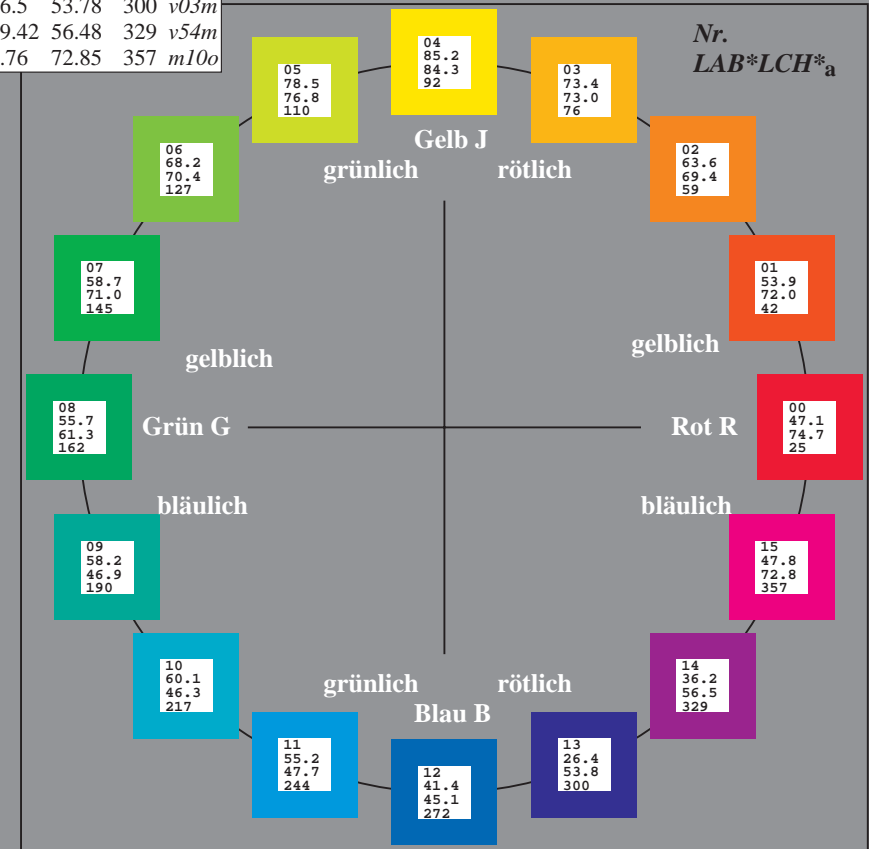
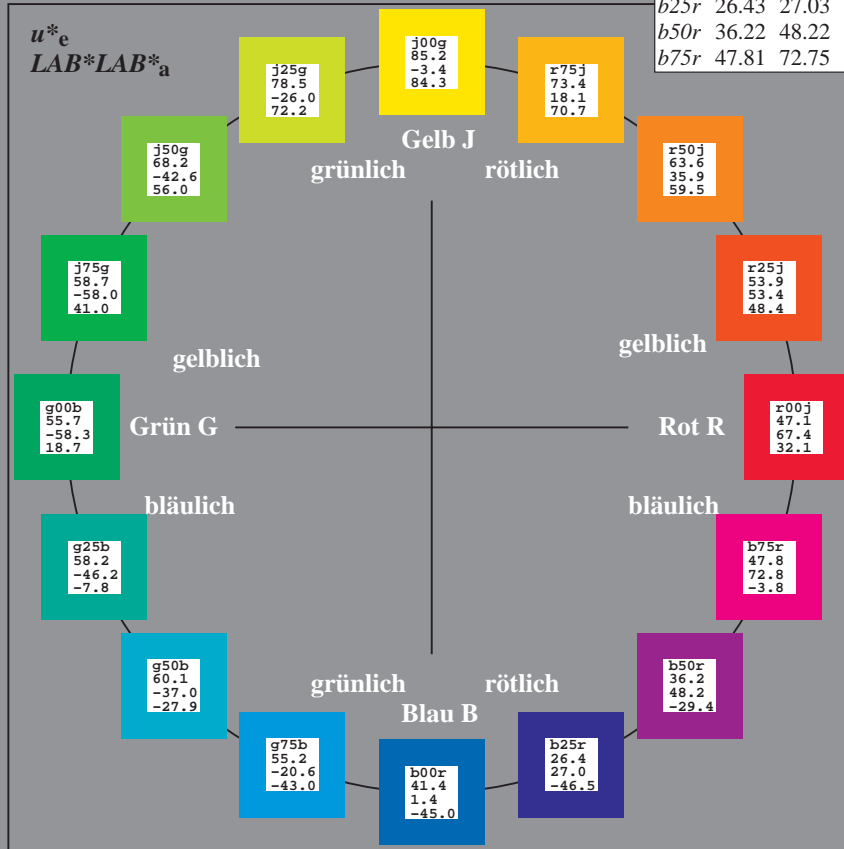
u^*_e	$L^*_{ab,a}$	$a^*_{ab,a}$	$b^*_{ab,a}$	$C^*_{ab,a}$	$h^*_{ab,a}$	u^*_d
r00j	47.06	67.41	32.12	74.67	25	m84o
r25j	53.95	53.38	48.38	72.04	42	o17y
r50j	63.6	35.87	59.45	69.43	59	o42y
r75j	73.37	18.14	70.66	72.95	76	o68y
j00g	85.24	-3.4	84.28	84.35	92	o93y
j25g	78.53	-25.99	72.23	76.76	110	y24l
j50g	68.25	-42.61	56.0	70.37	127	y55l
j75g	58.73	-57.99	40.99	71.02	145	y85l
g00b	55.66	-58.35	18.71	61.27	162	l12c
g25b	58.18	-46.2	-7.82	46.86	190	l45c
g50b	60.08	-37.02	-27.87	46.34	217	l78c
g75b	55.21	-20.63	-42.98	47.67	244	c16v
b00r	41.38	1.37	-45.05	45.07	272	c58v
b25r	26.43	27.03	-46.5	53.78	300	v03m
b50r	36.22	48.22	-29.42	56.48	329	v54m
b75r	47.81	72.75	-3.76	72.85	357	m10o



%Umfang
 $u^*_{rel} = 87$
 %Regularität
 $g^*_{H,rel} = 67$
 $g^*_{C,rel} = 59$

ORS20_95a; adaptierte CIELAB-Daten

Name	$L^*_{ab,a}$	$a^*_{ab,a}$	$b^*_{ab,a}$	$C^*_{ab,a}$	$h^*_{ab,a}$
OMa	46.89	66.19	40.28	77.48	31
YMa	88.66	-9.62	88.21	88.73	96
LMa	54.22	-65.29	33.87	73.56	153
CMa	61.43	-30.53	-42.04	51.96	234
VMa	25.93	25.95	-47.37	54.01	299
MMa	47.92	73.53	-9.02	74.08	353
NMa	20.41	0.0	0.0	0.0	0
WMa	94.64	0.0	0.0	0.0	0
RCIE	39.92	58.74	27.99	65.07	25
JCIE	81.26	-2.89	71.56	71.62	92
GCIE	52.23	-42.42	13.6	44.55	162
BCIE	30.57	1.41	-46.47	46.49	272



Siehe ähnliche Dateien: <http://www.ps.bam.de/Eg39/>; www.ps.bam.de/Eg39/
 Technische Information: <http://www.ps.bam.de> Version 2.1, io=1,1, ColSpx=1

BAM-Registrierung: 20081001-Eg39/10L/L39G00NA.PS/.TXT BAM-Material: Code=rh4ta
 Anwendung für Beurteilung und Messung von Drucker- oder Monitorsystemen

Ein und Ausgabe: Farbmetrisches Drucker-Reflektiv-System ORS20_95a für relativen CIELAB-Buntton $h^* = lab^*h^* = h_{ab}/360 = 0.071$

Daten für jede Farbe:

lab^*ch^* und lab^*icu^*

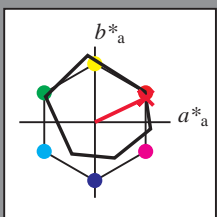
Bunttontexte:

$u^*_e = r00j$ $u^*_d = m84o$

Kontrastreduzierungsfaktor:

$c_R = 1.0$

Dreiecks-Helligkeit i^*



ORS20_95a; adaptierte CIELAB-Daten

	u^*_e	$L^*=L^*_a$	a^*_a	b^*_a	$C^*_{ab,a}$	$h^*_{ab,a}$
O _{Ma}	46.89	66.19	40.28	77.48	31	
Y _{Ma}	88.66	-9.62	88.21	88.73	96	
L _{Ma}	54.22	-65.29	33.87	73.56	153	
C _{Ma}	61.43	-30.53	-42.04	51.96	234	
V _{Ma}	25.93	25.95	-47.37	54.01	299	
M _{Ma}	47.92	73.53	-9.02	74.08	353	
N _{Ma}	20.41	0.0	0.0	0.0	0	
W _{Ma}	94.64	0.0	0.0	0.0	0	
R _{Ma}	39.92	58.74	27.99	65.07	25	
J _{Ma}	81.26	-2.89	71.56	71.62	92	
G _{Ma}	52.23	-42.42	13.6	44.55	162	
B _{Ma}	30.57	1.41	-46.47	46.49	272	

Daten für Maximalfarbe (Ma):

$LAB^*LAB^*_Ma$: 47 67 32

$LAB^*LCH^*_Ma$: 47 75 25

$lab^*rgb^*_Ma$: 1.0 0.0 0.0

$lab^*olv^*_Ma$: 1.0 0.0 0.15

Dreiecks-Helligkeit i^*

%Umfang

$u^*_{rel} = 87$

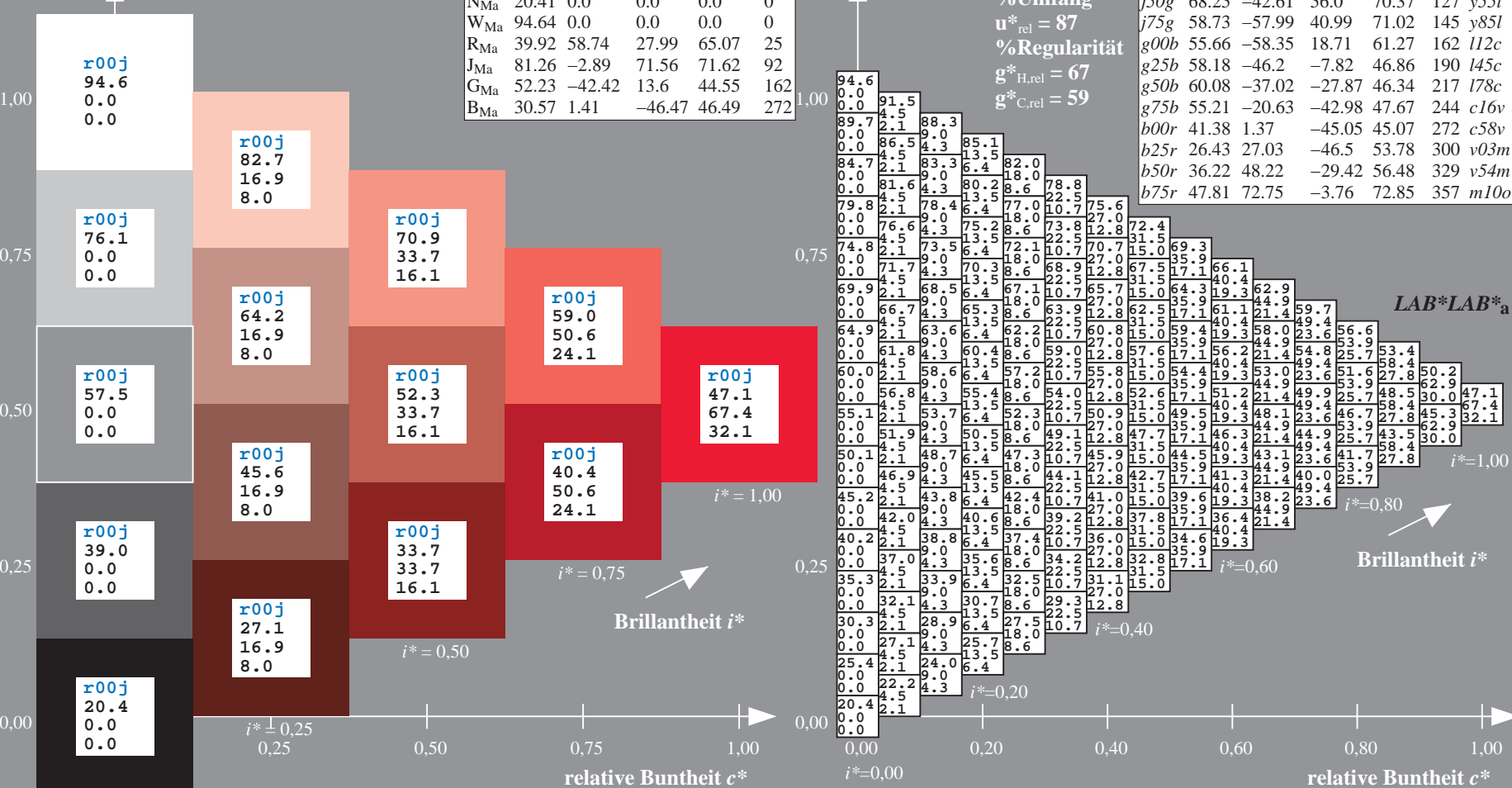
%Regularität

$g^*_{H,rel} = 67$

$g^*_{C,rel} = 59$

ORS20_95a; adaptierte CIELAB-Daten

	u^*_e	$L^*=L^*_a$	a^*_a	b^*_a	$C^*_{ab,a}$	$h^*_{ab,a}$	u^*_d
r00j	47.06	67.41	32.12	74.67	25	m84o	
r25j	53.95	53.38	48.38	72.04	42	o17y	
r50j	63.6	35.87	59.45	69.43	59	o42y	
r75j	73.37	18.14	70.66	72.95	76	o68y	
j00g	85.24	-3.4	84.28	84.35	92	o93y	
j25g	78.53	-25.99	72.23	76.76	110	y24l	
j50g	68.25	-42.61	56.0	70.37	127	y51l	
j75g	58.73	-57.99	40.99	71.02	145	y85l	
g00b	55.66	-58.35	18.71	61.27	162	l12c	
g25b	58.18	-46.2	-7.82	46.86	190	l45c	
g50b	60.08	-37.02	-27.87	46.34	217	l78c	
g75b	55.21	-20.63	-42.98	47.67	244	c16v	
b00r	41.38	1.37	-45.05	45.07	272	c58v	
b25r	26.43	27.03	-46.5	53.78	300	v03m	
b50r	36.22	48.22	-29.42	56.48	329	v54m	
b75r	47.81	72.75	-3.76	72.85	357	m10o	



Ein und Ausgabe: Farbmatisches Drucker-Reflektiv-System ORS20_95a für relativen CIELAB-Buntton $h^* = lab^*h^* = h_{ab}/360 = 0.117$

Daten für jede Farbe:

lab^*ch^* und lab^*icu^*

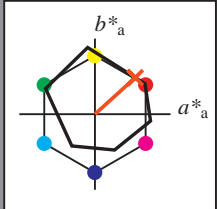
Bunttontexte:

$u^*_e = r25j$ $u^*_d = o17y$

Kontrastreduzierungsfaktor:

$c_R = 1.0$

Dreiecks-Helligkeit i^*



ORS20_95a; adaptierte CIELAB-Daten

	u^*_e	$L^*=L^*_a$	a^*_a	b^*_a	$C^*_{ab,a}$	$h^*_{ab,a}$
O _{Ma}	46.89	66.19	40.28	77.48	31	
Y _{Ma}	88.66	-9.62	88.21	88.73	96	
L _{Ma}	54.22	-65.29	33.87	73.56	153	
C _{Ma}	61.43	-30.53	-42.04	51.96	234	
V _{Ma}	25.93	25.95	-47.37	54.01	299	
M _{Ma}	47.92	73.53	-9.02	74.08	353	
N _{Ma}	20.41	0.0	0.0	0.0	0	
W _{Ma}	94.64	0.0	0.0	0.0	0	
R _{Ma}	39.92	58.74	27.99	65.07	25	
J _{Ma}	81.26	-2.89	71.56	71.62	92	
G _{Ma}	52.23	-42.42	13.6	44.55	162	
B _{Ma}	30.57	1.41	-46.47	46.49	272	

$u^*_e = r25j$
 $LAB^*LAB^*_a$

Daten für Maximalfarbe (Ma):

$LAB^*LAB^*_Ma: 54\ 53\ 48$

$LAB^*LCH^*_Ma: 54\ 72\ 42$

$lab^*rgb^*_Ma: 1.0\ 0.25\ 0.0$

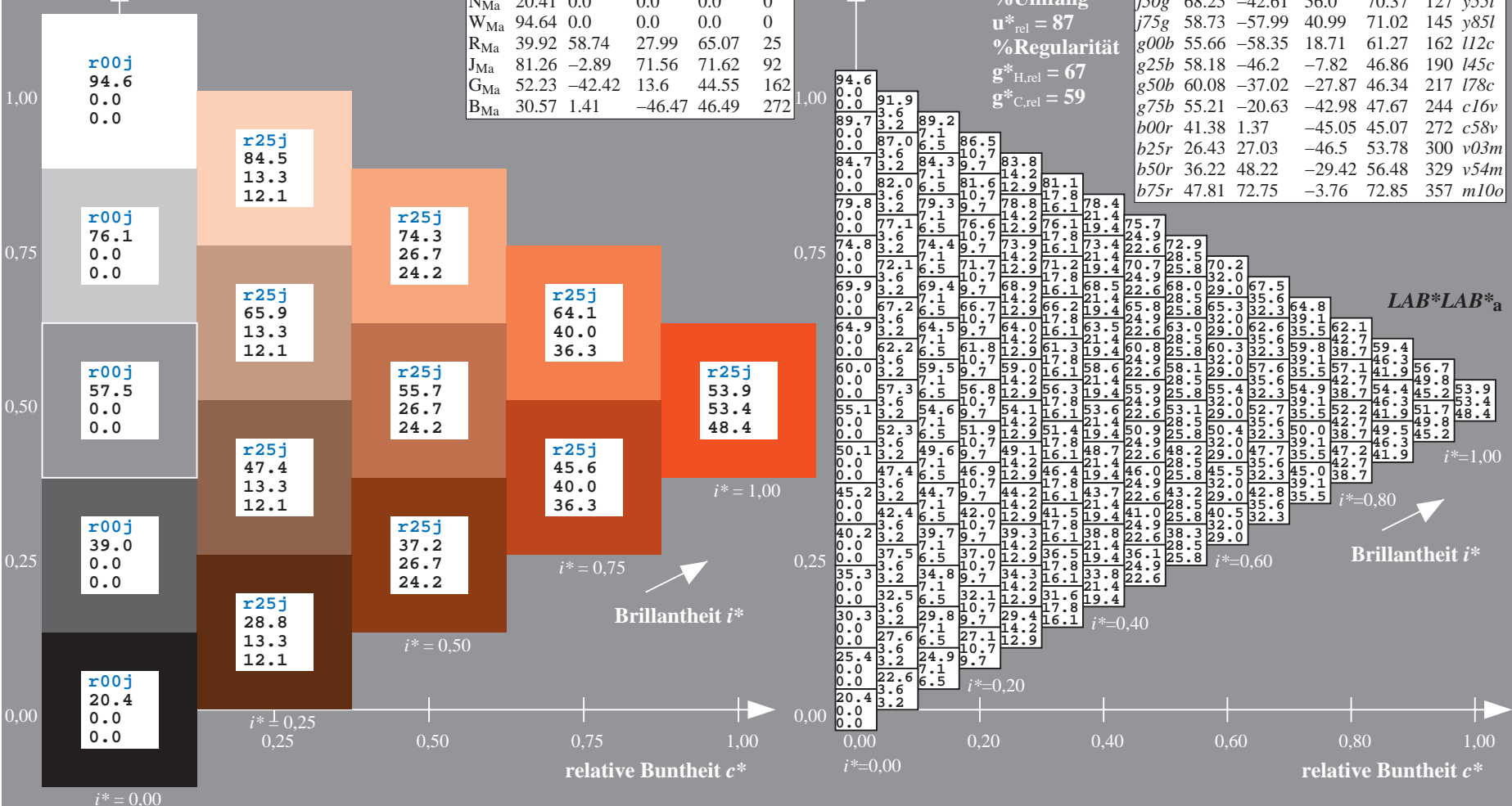
$lab^*olv^*_Ma: 1.0\ 0.17\ 0.0$

Dreiecks-Helligkeit i^*

%Umfang
 $u^*_{rel} = 87$
 %Regularität
 $g^*_{H,rel} = 67$
 $g^*_{C,rel} = 59$

ORS20_95a; adaptierte CIELAB-Daten

	u^*_e	$L^*=L^*_a$	a^*_a	b^*_a	$C^*_{ab,a}$	$h^*_{ab,a}$	u^*_d
r00j	47.06	67.41	32.12	74.67	25	m84o	
r25j	53.95	53.38	48.38	72.04	42	o17y	
r50j	63.6	35.87	59.45	69.43	59	o42y	
r75j	73.37	18.14	70.66	72.95	76	o68y	
j00g	85.24	-3.4	84.28	84.35	92	o93y	
j25g	78.53	-25.99	72.23	76.76	110	y24l	
j50g	68.25	-42.61	56.0	70.37	127	y51l	
j75g	58.73	-57.99	40.99	71.02	145	y85l	
g00b	55.66	-58.35	18.71	61.27	162	l12c	
g25b	58.18	-46.2	-7.82	46.86	190	l45c	
g50b	60.08	-37.02	-27.87	46.34	217	l78c	
g75b	55.21	-20.63	-42.98	47.67	244	c16c	
b00r	41.38	1.37	-45.05	45.07	272	c58v	
b25r	26.43	27.03	-46.5	53.78	300	v03m	
b50r	36.22	48.22	-29.42	56.48	329	v54m	
b75r	47.81	72.75	-3.76	72.85	357	m10o	



Siehe ähnliche Dateien: <http://www.ps.bam.de/Eg39/>; [www.ps.bam.de/Version 2.1, io=1,1, Colspx=1](http://www.ps.bam.de/Version%201.1,io=1,1,Colspx=1)
 Technische Information: <http://www.ps.bam.de>

BAM-Registrierung: 20081001-Eg39/10L/L39G00NA.PS/.TXT BAM-Material: Code=rh4ta
 Anwendung für Beurteilung und Messung von Drucker- oder Monitorssystemen

Ein und Ausgabe: Farbmetrisches Drucker-Reflektiv-System ORS20_95a für relativen CIELAB-Bunnton $h^* = lab^*h^* = h_{ab}/360 = 0.164$

Daten für jede Farbe:

lab^*tch^* und lab^*icu^*

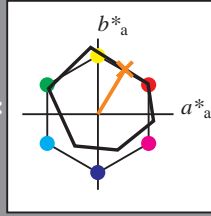
Bunntontexte:

$u^*_e = r50j$ $u^*_d = o42y$

Kontrastreduzierungsfaktor:

$c_R = 1.0$

Dreiecks-Helligkeit t^*



ORS20_95a; adaptierte CIELAB-Daten

	u^*_e	$L^*=L^*_a$	a^*_a	b^*_a	$C^*_{ab,a}$	$h^*_{ab,a}$
O _{Ma}	46.89	66.19	40.28	77.48	31	
Y _{Ma}	88.66	-9.62	88.21	88.73	96	
L _{Ma}	54.22	-65.29	33.87	73.56	153	
C _{Ma}	61.43	-30.53	-42.04	51.96	234	
V _{Ma}	25.93	25.95	-47.37	54.01	299	
M _{Ma}	47.92	73.53	-9.02	74.08	353	
N _{Ma}	20.41	0.0	0.0	0.0	0	
W _{Ma}	94.64	0.0	0.0	0.0	0	
R _{Ma}	39.92	58.74	27.99	65.07	25	
J _{Ma}	81.26	-2.89	71.56	71.62	92	
G _{Ma}	52.23	-42.42	13.6	44.55	162	
B _{Ma}	30.57	1.41	-46.47	46.49	272	

Daten für Maximalfarbe (Ma):

$LAB^*LAB^*_Ma$: 64 36 59

$LAB^*LCH^*_Ma$: 64 69 58

$lab^*rgb^*_Ma$: 1.0 0.5 0.0

$lab^*olv^*_Ma$: 1.0 0.42 0.0

Dreiecks-Helligkeit t^*

%Umfang

$u^*_{rel} = 87$

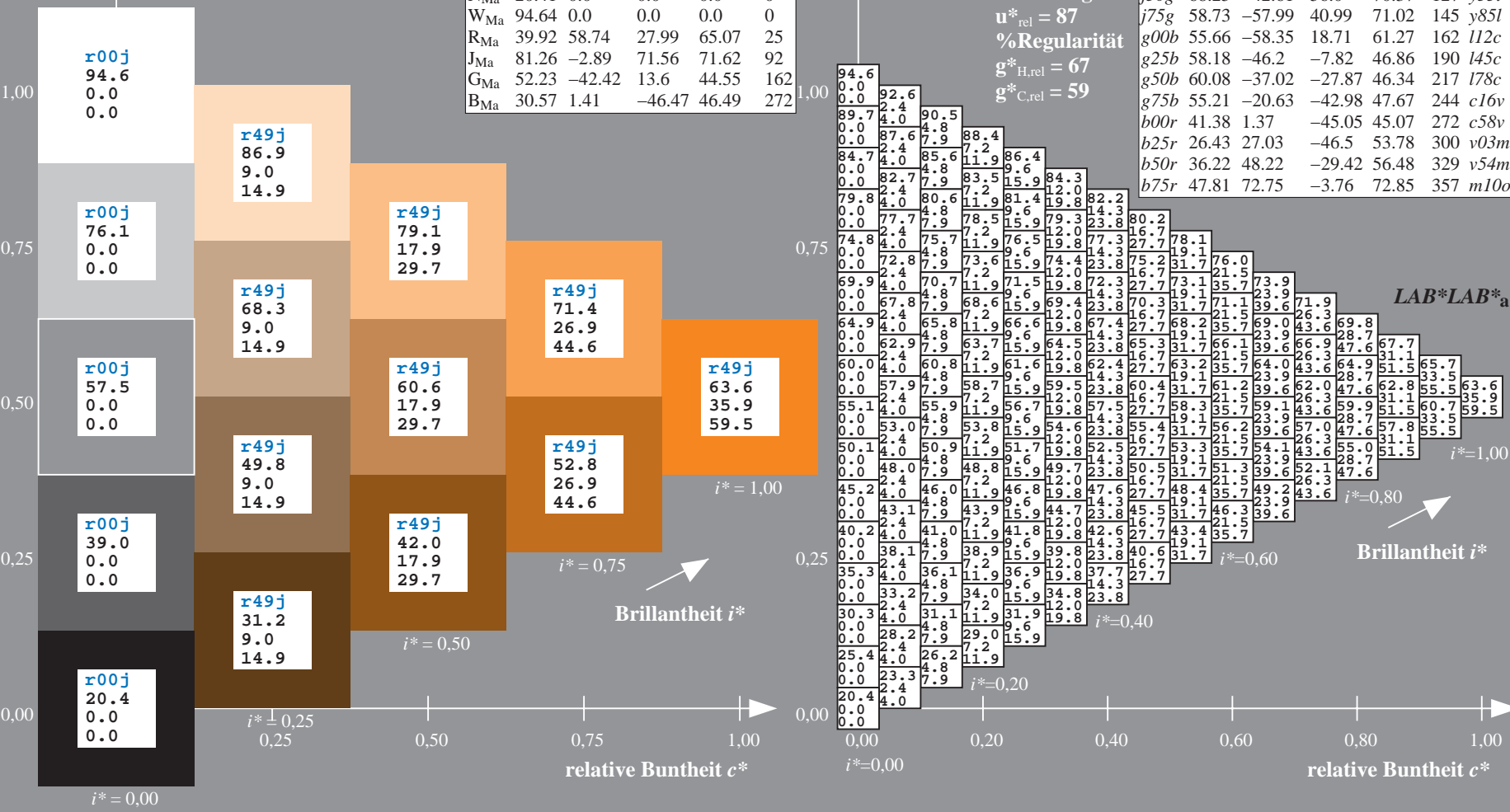
%Regularität

$g^*_{H,rel} = 67$

$g^*_{C,rel} = 59$

ORS20_95a; adaptierte CIELAB-Daten

	u^*_e	$L^*=L^*_a$	a^*_a	b^*_a	$C^*_{ab,a}$	$h^*_{ab,a}$	u^*_d
r00j	47.06	67.41	32.12	74.67	25	m84o	
r25j	53.95	53.38	48.38	72.04	42	o17y	
r50j	63.6	35.87	59.45	69.43	59	o42y	
r75j	73.37	18.14	70.66	72.95	76	o68y	
j00g	85.24	-3.4	84.28	84.35	92	o93y	
j25g	78.53	-25.99	72.23	76.76	110	y24l	
j50g	68.25	-42.61	56.0	70.37	127	y51l	
j75g	58.73	-57.99	40.99	71.02	145	y85l	
g00b	55.66	-58.35	18.71	61.27	162	l12c	
g25b	58.18	-46.2	-7.82	46.86	190	l45c	
g50b	60.08	-37.02	-27.87	46.34	217	l78c	
g75b	55.21	-20.63	-42.98	47.67	244	c16v	
b00r	41.38	1.37	-45.05	45.07	272	c58v	
b25r	26.43	27.03	-46.5	53.78	300	v03m	
b50r	36.22	48.22	-29.42	56.48	329	v54m	
b75r	47.81	72.75	-3.76	72.85	357	m10o	



BAM-Registrierung: 20081001-Eg39/10L/L39G00NA.PS/.TXT BAM-Material: Code=rh4ta
 Anwendung für Beurteilung und Messung von Drucker- oder Monitorssystemen

Ein und Ausgabe: Farbmetrisches Drucker-Reflektiv-System ORS20_95a für relativen CIELAB-Buntton $h^* = lab^*h^* = h_{ab}/360 = 0.21$

Daten für jede Farbe:

lab^*ch^* und lab^*icu^*

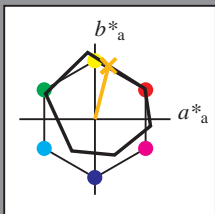
Bunttontexte:

$u^*_e = r75j$ $u^*_d = o68y$

Kontrastreduzierungsfaktor:

$c_R = 1.0$

Dreiecks-Helligkeit i^*



ORS20_95a; adaptierte CIELAB-Daten

	u^*_e	$L^*=L^*_a$	a^*_a	b^*_a	$C^*_{ab,a}$	$h^*_{ab,a}$
O _{Ma}	46.89	66.19	40.28	77.48	31	
Y _{Ma}	88.66	-9.62	88.21	88.73	96	
L _{Ma}	54.22	-65.29	33.87	73.56	153	
C _{Ma}	61.43	-30.53	-42.04	51.96	234	
V _{Ma}	25.93	25.95	-47.37	54.01	299	
M _{Ma}	47.92	73.53	-9.02	74.08	353	
N _{Ma}	20.41	0.0	0.0	0.0	0	
W _{Ma}	94.64	0.0	0.0	0.0	0	
R _{Ma}	39.92	58.74	27.99	65.07	25	
J _{Ma}	81.26	-2.89	71.56	71.62	92	
G _{Ma}	52.23	-42.42	13.6	44.55	162	
B _{Ma}	30.57	1.41	-46.47	46.49	272	

$u^*_e = r75j$
 $LAB^*LAB^*_a$

Daten für Maximalfarbe (Ma):

$LAB^*LAB^*_Ma: 73 18 71$

$LAB^*LCH^*_Ma: 73 73 75$

$lab^*rgb^*_Ma: 1.0 0.75 0.0$

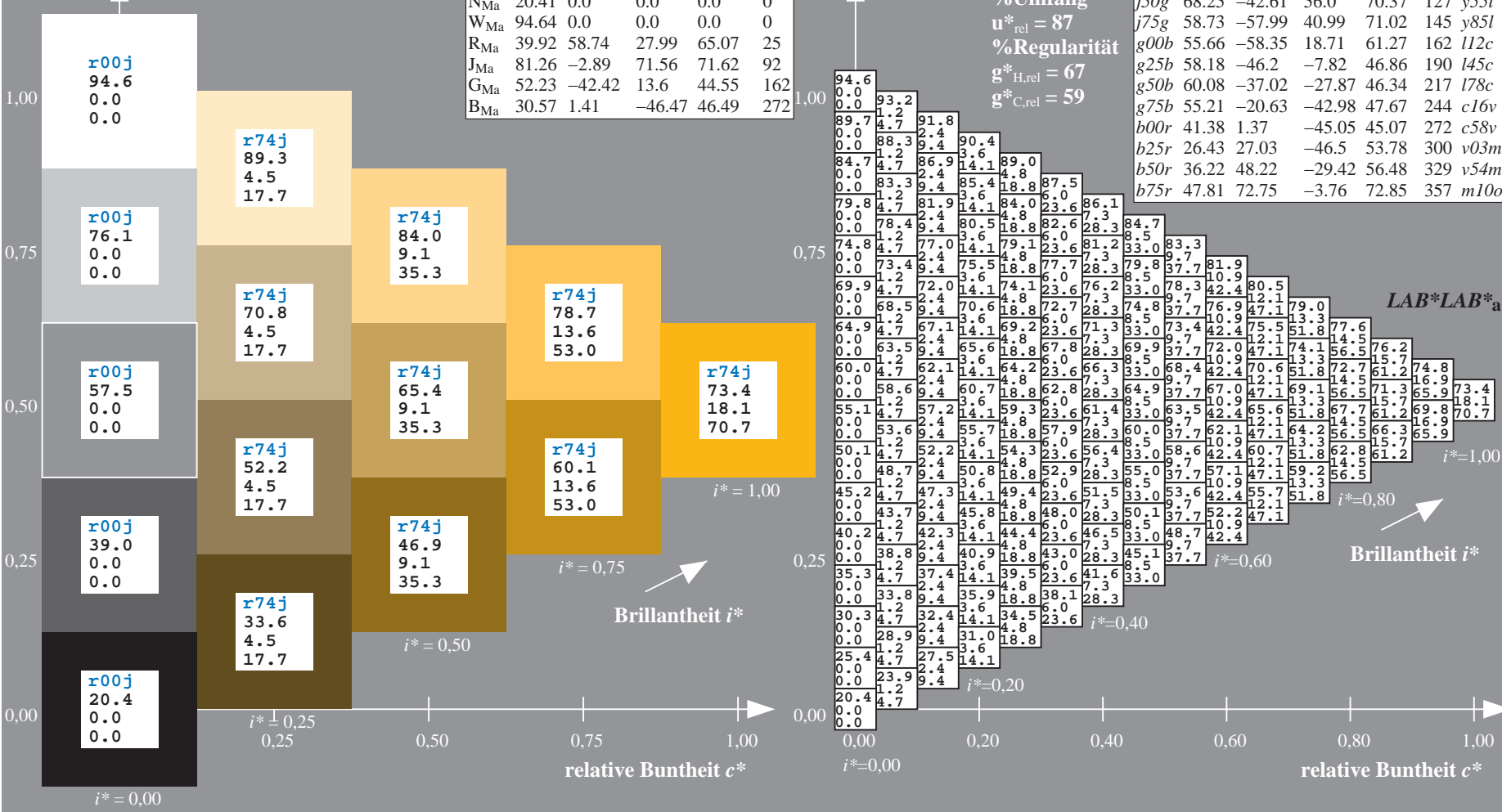
$lab^*olv^*_Ma: 1.0 0.68 0.0$

Dreiecks-Helligkeit i^*

%Umfang
 $u^*_{rel} = 87$
 %Regularität
 $g^*_{H,rel} = 67$
 $g^*_{C,rel} = 59$

ORS20_95a; adaptierte CIELAB-Daten

	u^*_e	$L^*=L^*_a$	a^*_a	b^*_a	$C^*_{ab,a}$	$h^*_{ab,a}$	u^*_d
r00j	47.06	67.41	32.12	74.67	25	m84o	
r25j	53.95	53.38	48.38	72.04	42	o17y	
r50j	63.6	35.87	59.45	69.43	59	o42y	
r75j	73.37	18.14	70.66	72.95	76	o68y	
j00g	85.24	-3.4	84.28	84.35	92	o93y	
j25g	78.53	-25.99	72.23	76.76	110	y24l	
j50g	68.25	-42.61	56.0	70.37	127	y51l	
j75g	58.73	-57.99	40.99	71.02	145	y85l	
g00b	55.66	-58.35	18.71	61.27	162	l12c	
g25b	58.18	-46.2	-7.82	46.86	190	l45c	
g50b	60.08	-37.02	-27.87	46.34	217	l78c	
g75b	55.21	-20.63	-42.98	47.67	244	c16v	
b00r	41.38	1.37	-45.05	45.07	272	c58v	
b25r	26.43	27.03	-46.5	53.78	300	v03m	
b50r	36.22	48.22	-29.42	56.48	329	v54m	
b75r	47.81	72.75	-3.76	72.85	357	m10o	



Siehe ähnliche Dateien: <http://www.ps.bam.de/Eg39/>; www.ps.bam.de/Version 2.1, io=1,1, ColSpx=1
 Technische Information: <http://www.ps.bam.de>

BAM-Registrierung: 20081001-Eg39/10L/L39G00NA.PS/.TXT BAM-Material: Code=rh4ta
 Anwendung für Beurteilung und Messung von Drucker- oder Monitorssystemen

Ein und Ausgabe: Farbmetrisches Drucker-Reflektiv-System ORS20_95a für relativen CIELAB-Bunton $h^* = lab^*h^* = h_{ab}/360 = 0.256$

Daten für jede Farbe:

lab^*tch^* und lab^*icu^*

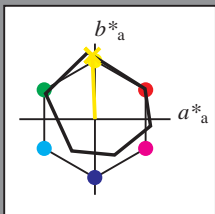
Buntontexte:

$u^*_e = j00g$ $u^*_d = o93y$

Kontrastreduzierungsfaktor:

$c_R = 1.0$

Dreiecks-Helligkeit i^*



ORS20_95a; adaptierte CIELAB-Daten

	u^*_e	$L^*=L^*_a$	a^*_a	b^*_a	$C^*_{ab,a}$	$h^*_{ab,a}$
O _{Ma}	46.89	66.19	40.28	77.48	31	
Y _{Ma}	88.66	-9.62	88.21	88.73	96	
L _{Ma}	54.22	-65.29	33.87	73.56	153	
C _{Ma}	61.43	-30.53	-42.04	51.96	234	
V _{Ma}	25.93	25.95	-47.37	54.01	299	
M _{Ma}	47.92	73.53	-9.02	74.08	353	
N _{Ma}	20.41	0.0	0.0	0.0	0	
W _{Ma}	94.64	0.0	0.0	0.0	0	
R _{Ma}	39.92	58.74	27.99	65.07	25	
J _{Ma}	81.26	-2.89	71.56	71.62	92	
G _{Ma}	52.23	-42.42	13.6	44.55	162	
B _{Ma}	30.57	1.41	-46.47	46.49	272	

$u^*_e = j00g$
 $LAB^*LAB^*_a$

Daten für Maximalfarbe (Ma):

$LAB^*LAB^*_Ma: 85 -3 84$

$LAB^*LCH^*_Ma: 85 84 92$

$lab^*rgb^*_Ma: 1.0 1.0 0.0$

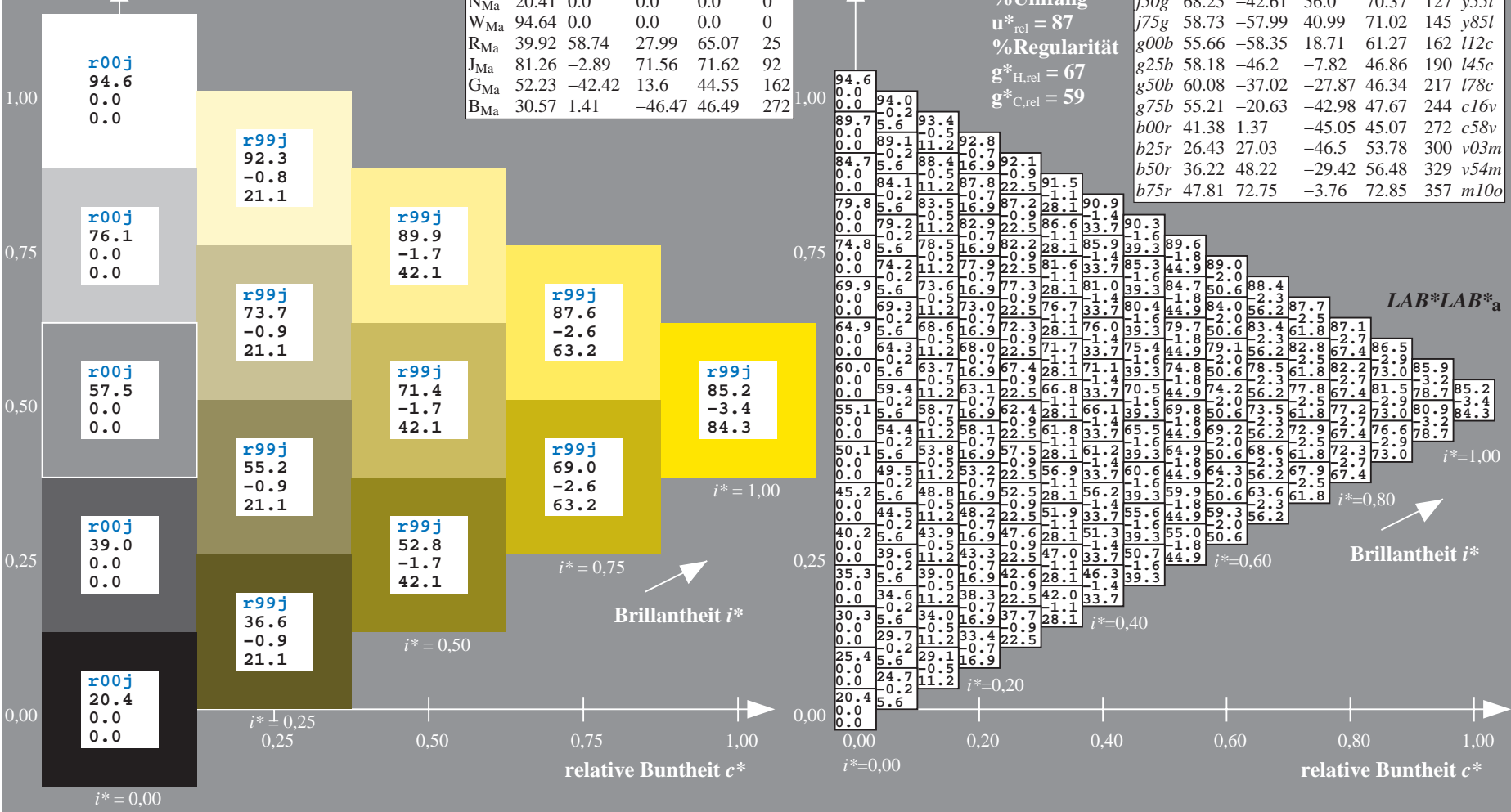
$lab^*olv^*_Ma: 1.0 0.94 0.0$

Dreiecks-Helligkeit i^*

ORS20_95a; adaptierte CIELAB-Daten

	u^*_e	$L^*=L^*_a$	a^*_a	b^*_a	$C^*_{ab,a}$	$h^*_{ab,a}$	u^*_d
r00j	47.06	67.41	32.12	74.67	25	m84o	
r25j	53.95	53.38	48.38	72.04	42	o17y	
r50j	63.6	35.87	59.45	69.43	59	o42y	
r75j	73.37	18.14	70.66	72.95	76	o68y	
j00g	85.24	-3.4	84.28	84.35	92	o93y	
j25g	78.53	-25.99	72.23	76.76	110	y24l	
j50g	68.25	-42.61	56.0	70.37	127	y51l	
j75g	58.73	-57.99	40.99	71.02	145	y85l	
g00b	55.66	-58.35	18.71	61.27	162	l12c	
g25b	58.18	-46.2	-7.82	46.86	190	l45c	
g50b	60.08	-37.02	-27.87	46.34	217	l78c	
g75b	55.21	-20.63	-42.98	47.67	244	c16v	
b00r	41.38	1.37	-45.05	45.07	272	c58v	
b25r	26.43	27.03	-46.5	53.78	300	v03m	
b50r	36.22	48.22	-29.42	56.48	329	v54m	
b75r	47.81	72.75	-3.76	72.85	357	m10o	

%Umfang
 $u^*_{rel} = 87$
 %Regularität
 $g^*_{H,rel} = 67$
 $g^*_{C,rel} = 59$



Siehe ähnliche Dateien: <http://www.ps.bam.de/Eg39/>; www.ps.bam.de/Version 2.1, io=1,1, ColSpx=1
 Technische Information: <http://www.ps.bam.de>

BAM-Registrierung: 20081001-Eg39/10L/L39G00NA.PS/.TXT BAM-Material: Code=rh4ta
 Anwendung für Beurteilung und Messung von Drucker- oder Monitorssystemen

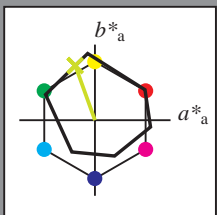
Ein und Ausgabe: Farbmetrisches Drucker-Reflektiv-System ORS20_95a für relativen CIELAB-Bunton $h^* = lab^*h^* = h_{ab}/360 = 0.305$

Daten für jede Farbe:
 lab^*ch^* und lab^*icu^*

Buntontexte:
 $u^*_e = j25g$ $u^*_d = y24l$

Kontrastreduzierungsfaktor:
 $c_R = 1.0$

Dreiecks-Helligkeit i^*



ORS20_95a; adaptierte CIELAB-Daten

	u^*_e	$L^*=L^*_a$	a^*_a	b^*_a	$C^*_{ab,a}$	$h^*_{ab,a}$
O _{Ma}	46.89	66.19	40.28	77.48	31	
Y _{Ma}	88.66	-9.62	88.21	88.73	96	
L _{Ma}	54.22	-65.29	33.87	73.56	153	
C _{Ma}	61.43	-30.53	-42.04	51.96	234	
V _{Ma}	25.93	25.95	-47.37	54.01	299	
M _{Ma}	47.92	73.53	-9.02	74.08	353	
N _{Ma}	20.41	0.0	0.0	0.0	0	
W _{Ma}	94.64	0.0	0.0	0.0	0	
R _{Ma}	39.92	58.74	27.99	65.07	25	
J _{Ma}	81.26	-2.89	71.56	71.62	92	
G _{Ma}	52.23	-42.42	13.6	44.55	162	
B _{Ma}	30.57	1.41	-46.47	46.49	272	

$u^*_e = j25g$
 $LAB^*LAB^*_a$

Daten für Maximalfarbe (Ma):

$LAB^*LAB^*_Ma: 79 -26 72$

$LAB^*LCH^*_Ma: 79 77 109$

$lab^*rgb^*_Ma: 0.75 1.0 0.0$

$lab^*olv^*_Ma: 0.76 1.0 0.0$

Dreiecks-Helligkeit i^*

%Umfang

$u^*_{rel} = 87$

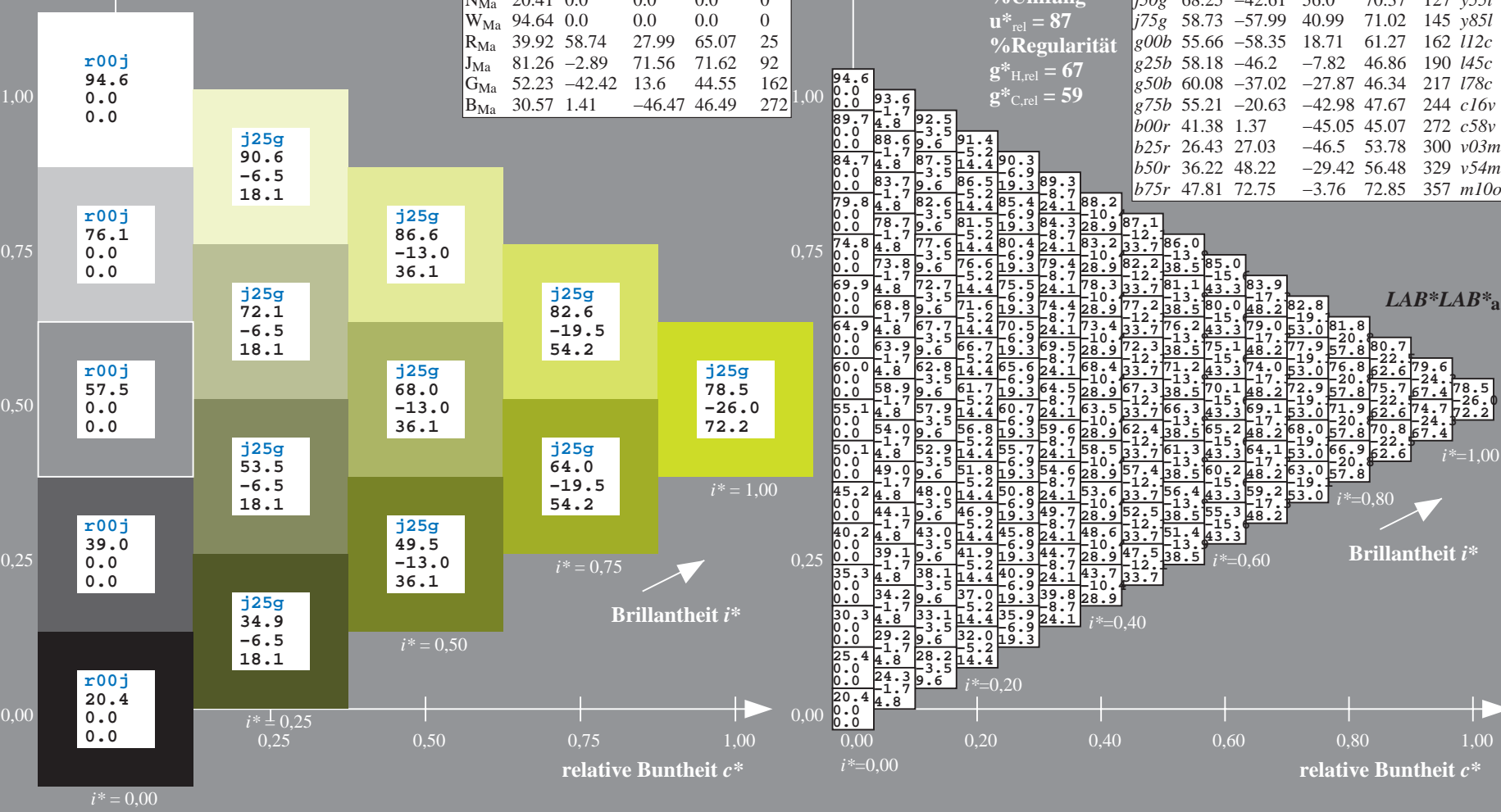
%Regularität

$g^*_{H,rel} = 67$

$g^*_{C,rel} = 59$

ORS20_95a; adaptierte CIELAB-Daten

	u^*_e	$L^*=L^*_a$	a^*_a	b^*_a	$C^*_{ab,a}$	$h^*_{ab,a}$	u^*_d
r00j	47.06	67.41	32.12	74.67	25	m84o	
r25j	53.95	53.38	48.38	72.04	42	o17y	
r50j	63.6	35.87	59.45	69.43	59	o42y	
r75j	73.37	18.14	70.66	72.95	76	o68y	
j00g	85.24	-3.4	84.28	84.35	92	o93y	
j25g	78.53	-25.99	72.23	76.76	110	y24l	
j50g	68.25	-42.61	56.0	70.37	127	y51l	
j75g	58.73	-57.99	40.99	71.02	145	y85l	
g00b	55.66	-58.35	18.71	61.27	162	l12c	
g25b	58.18	-46.2	-7.82	46.86	190	l45c	
g50b	60.08	-37.02	-27.87	46.34	217	l78c	
g75b	55.21	-20.63	-42.98	47.67	244	c16v	
b00r	41.38	1.37	-45.05	45.07	272	c58v	
b25r	26.43	27.03	-46.5	53.78	300	v03m	
b50r	36.22	48.22	-29.42	56.48	329	v54m	
b75r	47.81	72.75	-3.76	72.85	357	m10o	



Siehe ähnliche Dateien: <http://www.ps.bam.de/Eg39/>; [http://www.ps.bam.de/Version 2.1, io=1,1, Colspx=1](http://www.ps.bam.de/Version%201.1,io=1,1,Colspx=1)
 Technische Information: <http://www.ps.bam.de>

BAM-Registrierung: 20081001-Eg39/10L/L39G00NA.PS/.TXT BAM-Material: Code=rh4ta
 Anwendung für Beurteilung und Messung von Drucker- oder Monitorssystemen

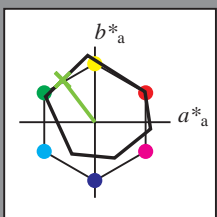
Ein und Ausgabe: Farbmetrisches Drucker-Reflektiv-System ORS20_95a für relativen CIELAB-Bunton $h^* = lab^*h^* = h_{ab}/360 = 0.354$

Daten für jede Farbe:
 lab^*tch^* und lab^*icu^*

Buntontexte:
 $u^*_e = j50g$ $u^*_d = y55l$

Kontrastreduzierungsfaktor:
 $c_R = 1.0$

Dreiecks-Helligkeit i^*



ORS20_95a; adaptierte CIELAB-Daten

	u^*_e	$L^*=L^*_a$	a^*_a	b^*_a	$C^*_{ab,a}$	$h^*_{ab,a}$
O _{Ma}	46.89	66.19	40.28	77.48	31	
Y _{Ma}	88.66	-9.62	88.21	88.73	96	
L _{Ma}	54.22	-65.29	33.87	73.56	153	
C _{Ma}	61.43	-30.53	-42.04	51.96	234	
V _{Ma}	25.93	25.95	-47.37	54.01	299	
M _{Ma}	47.92	73.53	-9.02	74.08	353	
N _{Ma}	20.41	0.0	0.0	0.0	0	
W _{Ma}	94.64	0.0	0.0	0.0	0	
R _{Ma}	39.92	58.74	27.99	65.07	25	
J _{Ma}	81.26	-2.89	71.56	71.62	92	
G _{Ma}	52.23	-42.42	13.6	44.55	162	
B _{Ma}	30.57	1.41	-46.47	46.49	272	

Daten für Maximalfarbe (Ma):

$LAB^*LAB^*_Ma$: 68 -43 56

$LAB^*LCH^*_Ma$: 68 70 127

$lab^*rgb^*_Ma$: 0.5 1.0 0.0

$lab^*olv^*_Ma$: 0.45 1.0 0.0

Dreiecks-Helligkeit i^*

%Umfang

$u^*_{rel} = 87$

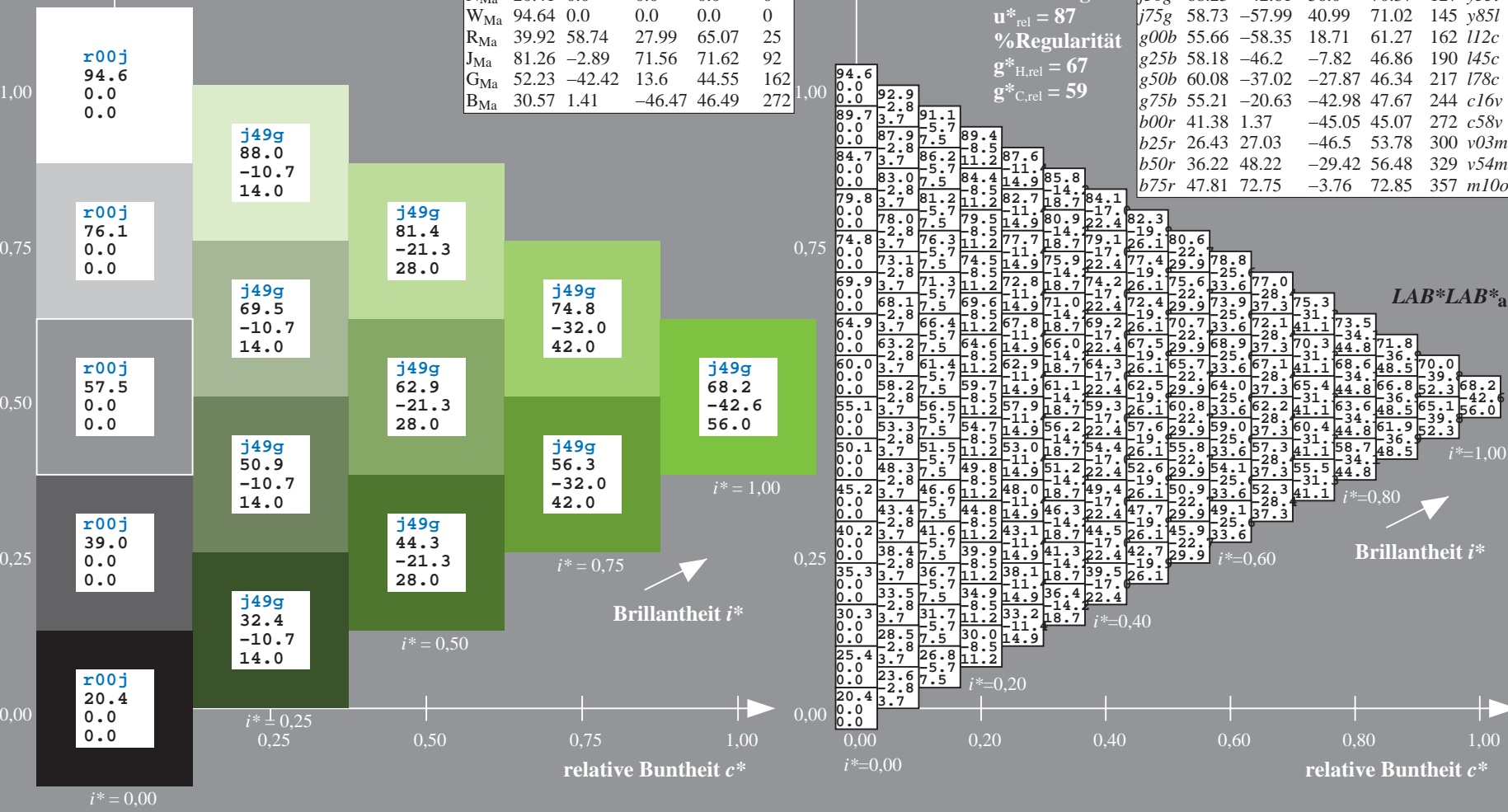
%Regularität

$g^*_{H,rel} = 67$

$g^*_{C,rel} = 59$

ORS20_95a; adaptierte CIELAB-Daten

	u^*_e	$L^*=L^*_a$	a^*_a	b^*_a	$C^*_{ab,a}$	$h^*_{ab,a}$	u^*_d
r00j	47.06	67.41	32.12	74.67	25	m84o	
r25j	53.95	53.38	48.38	72.04	42	o17y	
r50j	63.6	35.87	59.45	69.43	59	o42y	
r75j	73.37	18.14	70.66	72.95	76	o68y	
j00g	85.24	-3.4	84.28	84.35	92	o93y	
j25g	78.53	-25.99	72.23	76.76	110	y24l	
j50g	68.25	-42.61	56.0	70.37	127	y51l	
j75g	58.73	-57.99	40.99	71.02	145	y85l	
g00b	55.66	-58.35	18.71	61.27	162	l12c	
g25b	58.18	-46.2	-7.82	46.86	190	l45c	
g50b	60.08	-37.02	-27.87	46.34	217	l78c	
g75b	55.21	-20.63	-42.98	47.67	244	c16v	
b00r	41.38	1.37	-45.05	45.07	272	c58v	
b25r	26.43	27.03	-46.5	53.78	300	v03m	
b50r	36.22	48.22	-29.42	56.48	329	v54m	
b75r	47.81	72.75	-3.76	72.85	357	m10o	



BAM-Registrierung: 20081001-Eg39/10L/L39G00NA.PS/.TXT BAM-Material: Code=rhatha
 Anwendung für Beurteilung und Messung von Drucker- oder Monitorssystemen

Ein und Ausgabe: Farbmetrisches Drucker-Reflektiv-System ORS20_95a für relativen CIELAB-Bunton $h^* = lab^*h^* = h_{ab}/360 = 0.402$

Daten für jede Farbe:

lab^*tch^* und lab^*icu^*

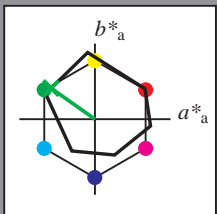
Buntontexte:

$u^*_e = j75g$ $u^*_d = y85l$

Kontrastreduzierungsfaktor:

$c_R = 1.0$

Dreiecks-Helligkeit t^*



ORS20_95a; adaptierte CIELAB-Daten

	u^*_e	$L^*=L^*_a$	a^*_a	b^*_a	$C^*_{ab,a}$	$h^*_{ab,a}$
O _{Ma}	46.89	66.19	40.28	77.48	31	
Y _{Ma}	88.66	-9.62	88.21	88.73	96	
L _{Ma}	54.22	-65.29	33.87	73.56	153	
C _{Ma}	61.43	-30.53	-42.04	51.96	234	
V _{Ma}	25.93	25.95	-47.37	54.01	299	
M _{Ma}	47.92	73.53	-9.02	74.08	353	
N _{Ma}	20.41	0.0	0.0	0.0	0	
W _{Ma}	94.64	0.0	0.0	0.0	0	
R _{Ma}	39.92	58.74	27.99	65.07	25	
J _{Ma}	81.26	-2.89	71.56	71.62	92	
G _{Ma}	52.23	-42.42	13.6	44.55	162	
B _{Ma}	30.57	1.41	-46.47	46.49	272	

$u^*_e = j75g$
 $LAB^*LAB^*_a$

Daten für Maximalfarbe (Ma):

$LAB^*LAB^*_Ma: 59 -58 41$

$LAB^*LCH^*_Ma: 59 71 144$

$lab^*rgb^*_Ma: 0.25 1.0 0.0$

$lab^*olv^*_Ma: 0.14 1.0 0.0$

Dreiecks-Helligkeit t^*

%Umfang

$u^*_{rel} = 87$

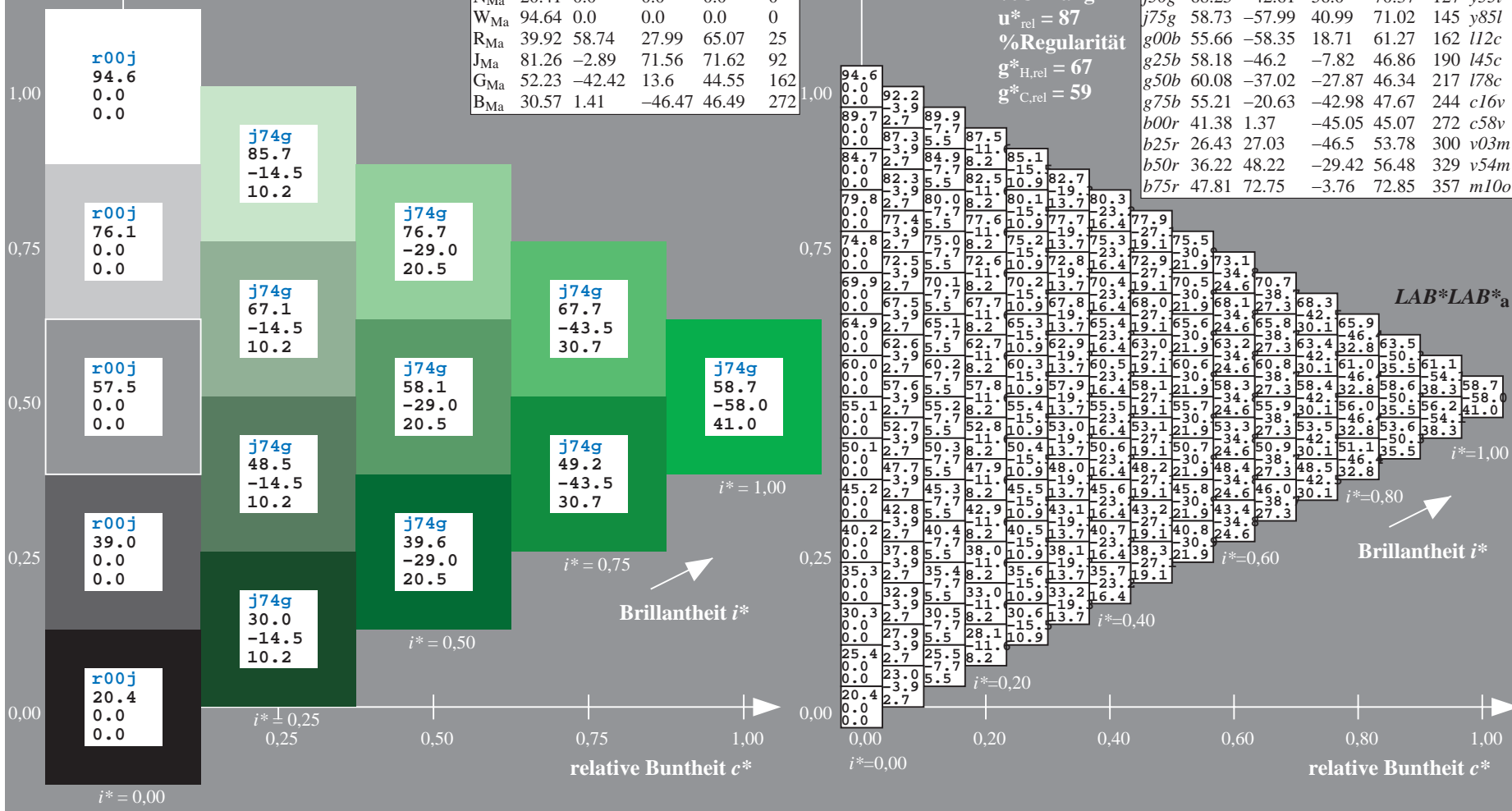
%Regularität

$g^*_{H,rel} = 67$

$g^*_{C,rel} = 59$

ORS20_95a; adaptierte CIELAB-Daten

	u^*_e	$L^*=L^*_a$	a^*_a	b^*_a	$C^*_{ab,a}$	$h^*_{ab,a}$	u^*_d
r00j	47.06	67.41	32.12	74.67	25	m84o	
r25j	53.95	53.38	48.38	72.04	42	o17y	
r50j	63.6	35.87	59.45	69.43	59	o42y	
r75j	73.37	18.14	70.66	72.95	76	o68y	
j00g	85.24	-3.4	84.28	84.35	92	o93y	
j25g	78.53	-25.99	72.23	76.76	110	y24l	
j50g	68.25	-42.61	56.0	70.37	127	y51l	
j75g	58.73	-57.99	40.99	71.02	145	y85l	
g00b	55.66	-58.35	18.71	61.27	162	l12c	
g25b	58.18	-46.2	-7.82	46.86	190	l45c	
g50b	60.08	-37.02	-27.87	46.34	217	l78c	
g75b	55.21	-20.63	-42.98	47.67	244	c16c	
b00r	41.38	1.37	-45.05	45.07	272	c58v	
b25r	26.43	27.03	-46.5	53.78	300	v03m	
b50r	36.22	48.22	-29.42	56.48	329	v54m	
b75r	47.81	72.75	-3.76	72.85	357	m10o	



Siehe ähnliche Dateien: <http://www.ps.bam.de/Eg39/>; www.ps.bam.de/Version 2.1, io=1,1, ColSpX=1
 Technische Information: <http://www.ps.bam.de>

BAM-Registrierung: 20081001-Eg39/10L/L39G00NA.PS/.TXT BAM-Material: Code=rh4ta
 Anwendung für Beurteilung und Messung von Drucker- oder Monitorssystemen

Ein und Ausgabe: Farbmetrisches Drucker-Reflektiv-System ORS20_95a für relativen CIELAB-Bunton $h^* = lab^*h^* = h_{ab}/360 = 0.451$

Daten für jede Farbe:

lab^*tch^* und lab^*icu^*

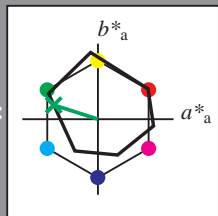
Buntontexte:

$u^*_e = g00b$ $u^*_d = l12c$

Kontrastreduzierungsfaktor:

$c_R = 1.0$

Dreiecks-Helligkeit i^*



ORS20_95a; adaptierte CIELAB-Daten

	u^*_e	$L^*=L^*_a$	a^*_a	b^*_a	$C^*_{ab,a}$	$h^*_{ab,a}$
O _{Ma}	46.89	66.19	40.28	77.48	31	
Y _{Ma}	88.66	-9.62	88.21	88.73	96	
L _{Ma}	54.22	-65.29	33.87	73.56	153	
C _{Ma}	61.43	-30.53	-42.04	51.96	234	
V _{Ma}	25.93	25.95	-47.37	54.01	299	
M _{Ma}	47.92	73.53	-9.02	74.08	353	
N _{Ma}	20.41	0.0	0.0	0.0	0	
W _{Ma}	94.64	0.0	0.0	0.0	0	
R _{Ma}	39.92	58.74	27.99	65.07	25	
J _{Ma}	81.26	-2.89	71.56	71.62	92	
G _{Ma}	52.23	-42.42	13.6	44.55	162	
B _{Ma}	30.57	1.41	-46.47	46.49	272	

$u^*_e = g00b$
 $LAB^*LAB^*_a$

Daten für Maximalfarbe (Ma):

$LAB^*LAB^*_Ma: 56 -58 19$

$LAB^*LCH^*_Ma: 56 61 162$

$lab^*rgb^*_Ma: 0.0 1.0 0.0$

$lab^*olv^*_Ma: 0.0 1.0 0.12$

Dreiecks-Helligkeit i^*

%Umfang

$u^*_{rel} = 87$

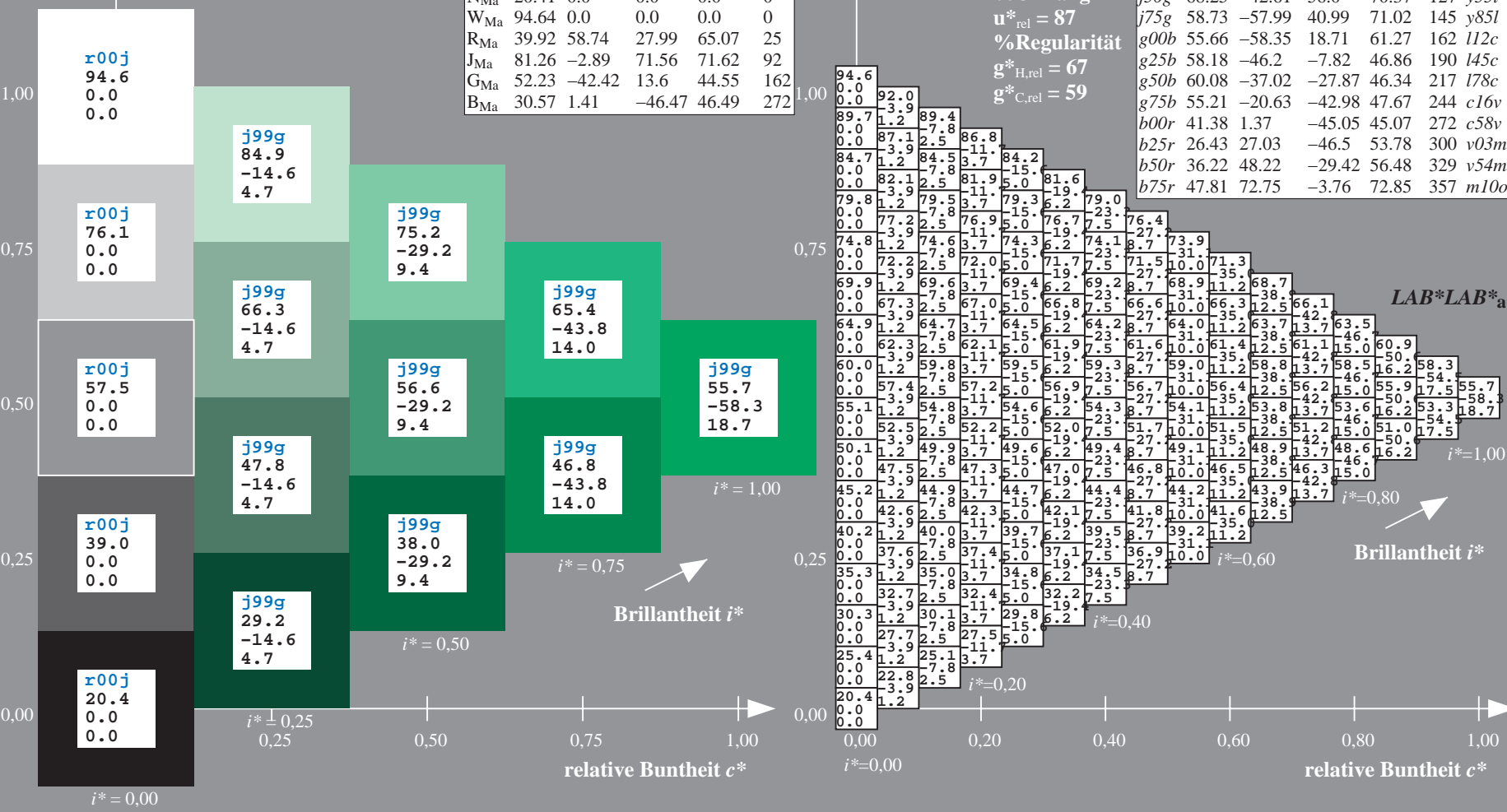
%Regularität

$g^*_{H,rel} = 67$

$g^*_{C,rel} = 59$

ORS20_95a; adaptierte CIELAB-Daten

	u^*_e	$L^*=L^*_a$	a^*_a	b^*_a	$C^*_{ab,a}$	$h^*_{ab,a}$	u^*_d
r00j	47.06	67.41	32.12	74.67	25	m84o	
r25j	53.95	53.38	48.38	72.04	42	o17y	
r50j	63.6	35.87	59.45	69.43	59	o42y	
r75j	73.37	18.14	70.66	72.95	76	o68y	
j00g	85.24	-3.4	84.28	84.35	92	o93y	
j25g	78.53	-25.99	72.23	76.76	110	y24l	
j50g	68.25	-42.61	56.0	70.37	127	y51l	
j75g	58.73	-57.99	40.99	71.02	145	y85l	
g00b	55.66	-58.35	18.71	61.27	162	l12c	
g25b	58.18	-46.2	-7.82	46.86	190	l45c	
g50b	60.08	-37.02	-27.87	46.34	217	l78c	
g75b	55.21	-20.63	-42.98	47.67	244	c16c	
b00r	41.38	1.37	-45.05	45.07	272	c58v	
b25r	26.43	27.03	-46.5	53.78	300	v03m	
b50r	36.22	48.22	-29.42	56.48	329	v54m	
b75r	47.81	72.75	-3.76	72.85	357	m10o	



BAM-Registrierung: 20081001-Eg39/10L/L39G00NA.PS/.TXT BAM-Material: Code=rh4ta
 Anwendung für Beurteilung und Messung von Drucker- oder Monitorssystemen

Ein und Ausgabe: Farbmetrisches Drucker-Reflektiv-System ORS20_95a für relativen CIELAB-Buntton $h^* = lab^*h^* = h_{ab}/360 = 0.527$

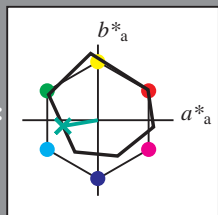
Daten für jede Farbe:
 lab^*tch^* und lab^*icu^*

Bunttontexte:

$u^*_e = g25b$ $u^*_d = l45c$

Kontrastreduzierungsfaktor:
 $c_R = 1.0$

Dreiecks-Helligkeit i^*



ORS20_95a; adaptierte CIELAB-Daten

	u^*_e	$L^*=L^*_a$	a^*_a	b^*_a	$C^*_{ab,a}$	$h^*_{ab,a}$
O _{Ma}	46.89	66.19	40.28	77.48	31	
Y _{Ma}	88.66	-9.62	88.21	88.73	96	
L _{Ma}	54.22	-65.29	33.87	73.56	153	
C _{Ma}	61.43	-30.53	-42.04	51.96	234	
V _{Ma}	25.93	25.95	-47.37	54.01	299	
M _{Ma}	47.92	73.53	-9.02	74.08	353	
N _{Ma}	20.41	0.0	0.0	0.0	0	
W _{Ma}	94.64	0.0	0.0	0.0	0	
R _{Ma}	39.92	58.74	27.99	65.07	25	
J _{Ma}	81.26	-2.89	71.56	71.62	92	
G _{Ma}	52.23	-42.42	13.6	44.55	162	
B _{Ma}	30.57	1.41	-46.47	46.49	272	

$u^*_e = g25b$
 $LAB^*LAB^*_a$

Daten für Maximalfarbe (Ma):

$LAB^*LAB^*_Ma: 58 -46 -8$

$LAB^*LCH^*_Ma: 58 47 189$

$lab^*rgb^*_Ma: 0.0 1.0 0.5$

$lab^*olv^*_Ma: 0.0 1.0 0.45$

Dreiecks-Helligkeit i^*

%Umfang

$u^*_{rel} = 87$

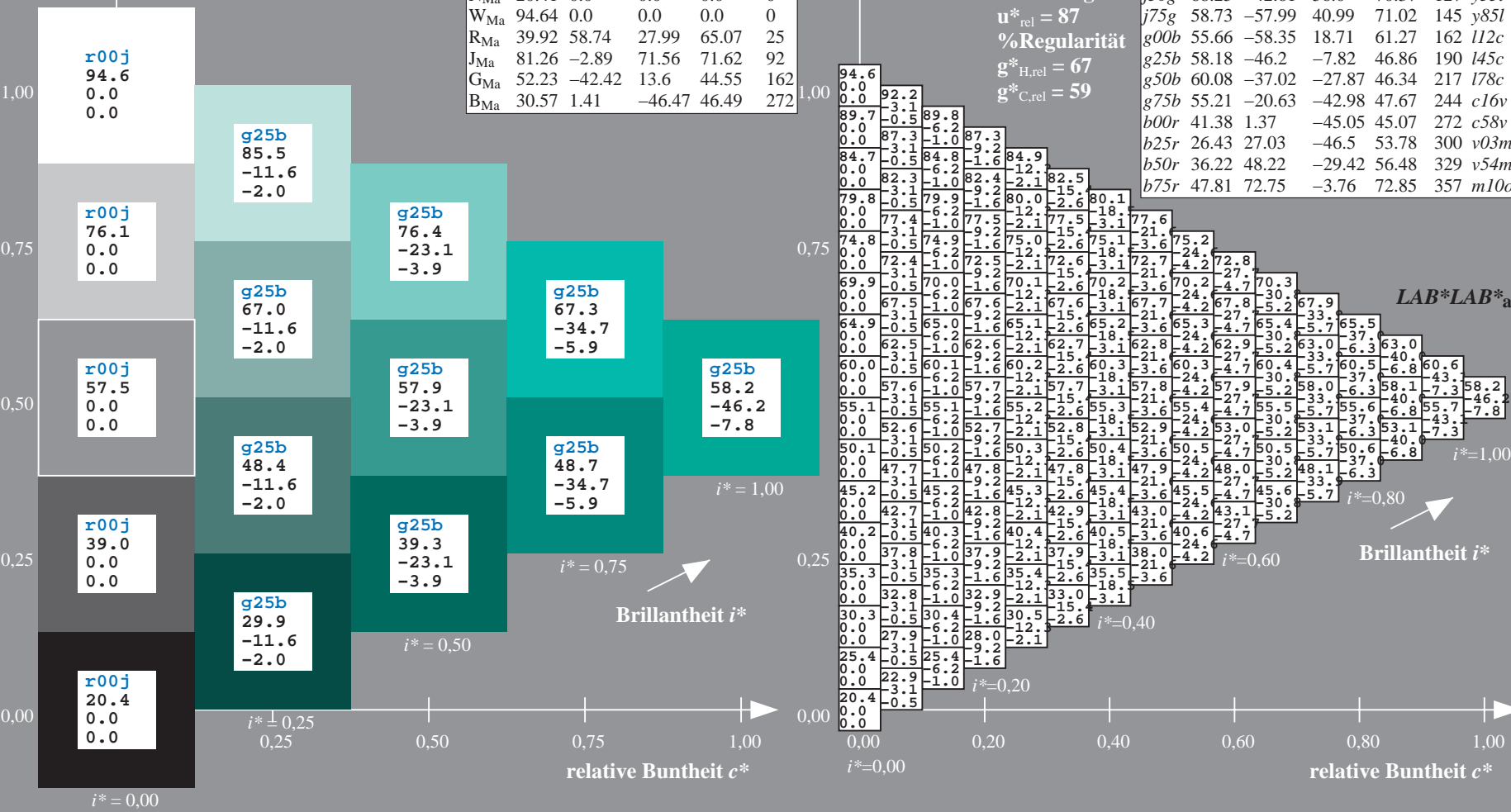
%Regularität

$g^*_{H,rel} = 67$

$g^*_{C,rel} = 59$

ORS20_95a; adaptierte CIELAB-Daten

	u^*_e	$L^*=L^*_a$	a^*_a	b^*_a	$C^*_{ab,a}$	$h^*_{ab,a}$	u^*_d
r00j	47.06	67.41	32.12	74.67	25	m84o	
r25j	53.95	53.38	48.38	72.04	42	o17y	
r50j	63.6	35.87	59.45	69.43	59	o42y	
r75j	73.37	18.14	70.66	72.95	76	o68y	
j00g	85.24	-3.4	84.28	84.35	92	o93y	
j25g	78.53	-25.99	72.23	76.76	110	y24l	
j50g	68.25	-42.61	56.0	70.37	127	y51l	
j75g	58.73	-57.99	40.99	71.02	145	y85l	
g00b	55.66	-58.35	18.71	61.27	162	l12c	
g25b	58.18	-46.2	-7.82	46.86	190	l45c	
g50b	60.08	-37.02	-27.87	46.34	217	l78c	
g75b	55.21	-20.63	-42.98	47.67	244	c16c	
b00r	41.38	1.37	-45.05	45.07	272	c58v	
b25r	26.43	27.03	-46.5	53.78	300	v03m	
b50r	36.22	48.22	-29.42	56.48	329	v54m	
b75r	47.81	72.75	-3.76	72.85	357	m10o	



BAM-Registrierung: 20081001-Eg39/10L/L39G00NA.PS/.TXT BAM-Material: Code=rh4ta
 Anwendung für Beurteilung und Messung von Drucker- oder Monitorssystemen

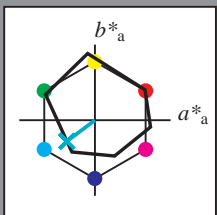
Ein und Ausgabe: Farbmetrisches Drucker-Reflektiv-System ORS20_95a für relativen CIELAB-Buntton $h^* = lab^*h^* = h_{ab}/360 = 0.603$

Daten für jede Farbe:
 lab^*tch^* und lab^*icu^*

Bunttontexte:
 $u^*_e = g50b$ $u^*_d = l78c$

Kontrastreduzierungsfaktor:
 $c_R = 1.0$

Dreiecks-Helligkeit i^*



ORS20_95a; adaptierte CIELAB-Daten

	u^*_e	$L^*=L^*_a$	a^*_a	b^*_a	$C^*_{ab,a}$	$h^*_{ab,a}$
O _{Ma}	46.89	66.19	40.28	77.48	31	
Y _{Ma}	88.66	-9.62	88.21	88.73	96	
L _{Ma}	54.22	-65.29	33.87	73.56	153	
C _{Ma}	61.43	-30.53	-42.04	51.96	234	
V _{Ma}	25.93	25.95	-47.37	54.01	299	
M _{Ma}	47.92	73.53	-9.02	74.08	353	
N _{Ma}	20.41	0.0	0.0	0.0	0	
W _{Ma}	94.64	0.0	0.0	0.0	0	
R _{Ma}	39.92	58.74	27.99	65.07	25	
J _{Ma}	81.26	-2.89	71.56	71.62	92	
G _{Ma}	52.23	-42.42	13.6	44.55	162	
B _{Ma}	30.57	1.41	-46.47	46.49	272	

Daten für Maximalfarbe (Ma):

$LAB^*LAB^*_{Ma}$: 60 -37 -28

$LAB^*LCH^*_{Ma}$: 60 46 216

$lab^*rgb^*_{Ma}$: 0.0 1.0 1.0

$lab^*olv^*_{Ma}$: 0.0 1.0 0.79

Dreiecks-Helligkeit i^*

%Umfang

$u^*_{rel} = 87$

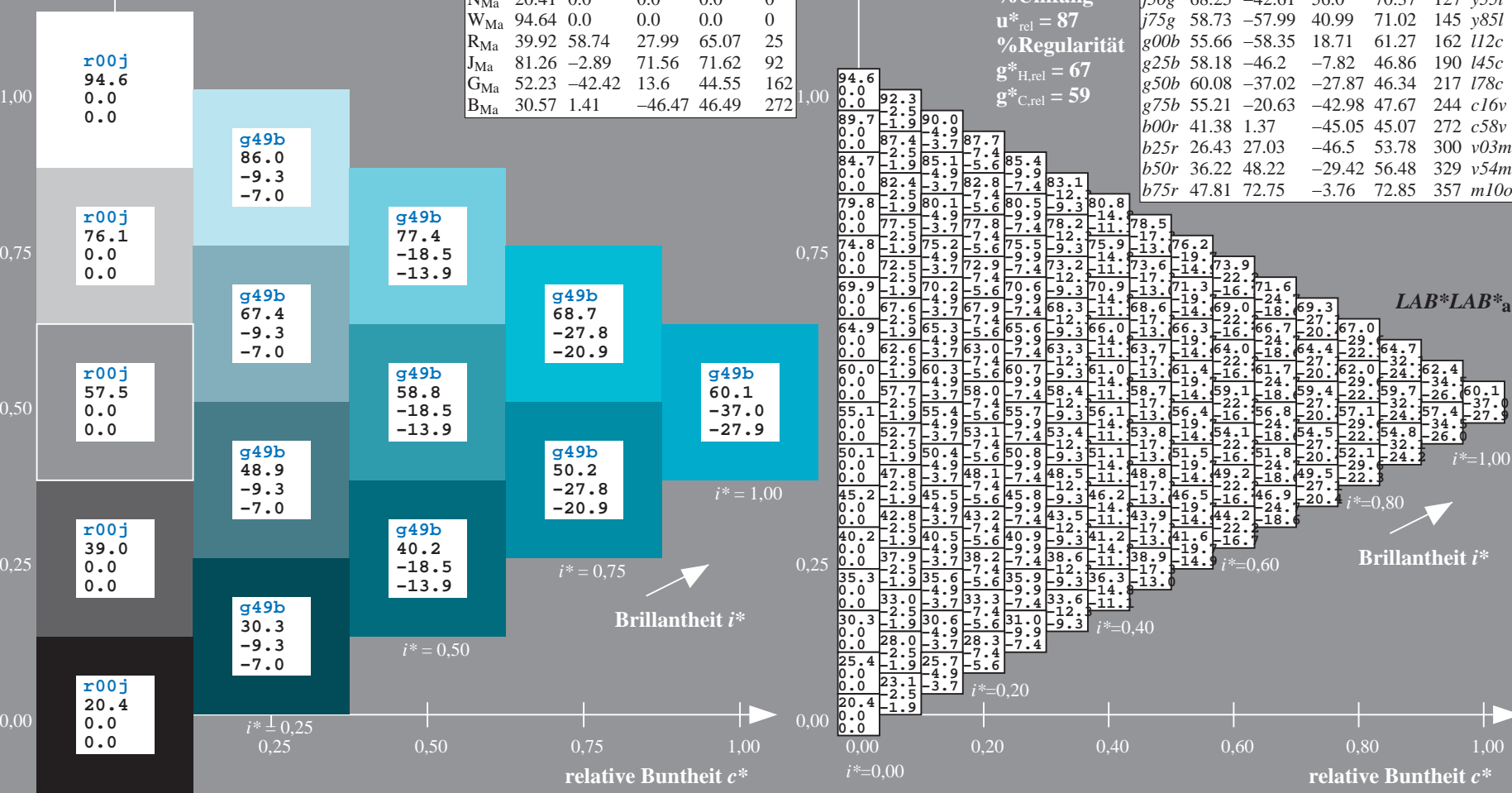
%Regularität

$g^*_{H,rel} = 67$

$g^*_{C,rel} = 59$

ORS20_95a; adaptierte CIELAB-Daten

	u^*_e	$L^*=L^*_a$	a^*_a	b^*_a	$C^*_{ab,a}$	$h^*_{ab,a}$	u^*_d
r00j	47.06	67.41	32.12	74.67	25	m84o	
r25j	53.95	53.38	48.38	72.04	42	o17y	
r50j	63.6	35.87	59.45	69.43	59	o42y	
r75j	73.37	18.14	70.66	72.95	76	o68y	
j00g	85.24	-3.4	84.28	84.35	92	o93y	
j25g	78.53	-25.99	72.23	76.76	110	y24l	
j50g	68.25	-42.61	56.0	70.37	127	y51l	
j75g	58.73	-57.99	40.99	71.02	145	y85l	
g00b	55.66	-58.35	18.71	61.27	162	l12c	
g25b	58.18	-46.2	-7.82	46.86	190	l45c	
g50b	60.08	-37.02	-27.87	46.34	217	l78c	
g75b	55.21	-20.63	-42.98	47.67	244	c16v	
b00r	41.38	1.37	-45.05	45.07	272	c58v	
b25r	26.43	27.03	-46.5	53.78	300	v03m	
b50r	36.22	48.22	-29.42	56.48	329	v54m	
b75r	47.81	72.75	-3.76	72.85	357	m10o	



BAM-Registrierung: 20081001-Eg39/10L/L39G00NA.PS/.TXT BAM-Material: Code=rh4ta
 Anwendung für Beurteilung und Messung von Drucker- oder Monitorssystemen

Ein und Ausgabe: Farbmetrisches Drucker-Reflektiv-System ORS20_95a für relativen CIELAB-Buntton $h^* = lab^*h^* = h_{ab}/360 = 0.679$

Daten für jede Farbe:

lab^*tch^* und lab^*icu^*

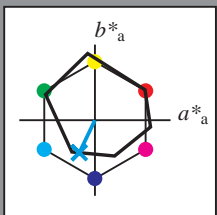
Bunttontexte:

$u^*_e = g75b$ $u^*_d = c16v$

Kontrastreduzierungsfaktor:

$c_R = 1.0$

Dreiecks-Helligkeit i^*



ORS20_95a; adaptierte CIELAB-Daten

	u^*_e	$L^*=L^*_a$	a^*_a	b^*_a	$C^*_{ab,a}$	$h^*_{ab,a}$
O _{Ma}	46.89	66.19	40.28	77.48	31	
Y _{Ma}	88.66	-9.62	88.21	88.73	96	
L _{Ma}	54.22	-65.29	33.87	73.56	153	
C _{Ma}	61.43	-30.53	-42.04	51.96	234	
V _{Ma}	25.93	25.95	-47.37	54.01	299	
M _{Ma}	47.92	73.53	-9.02	74.08	353	
N _{Ma}	20.41	0.0	0.0	0.0	0	
W _{Ma}	94.64	0.0	0.0	0.0	0	
R _{Ma}	39.92	58.74	27.99	65.07	25	
J _{Ma}	81.26	-2.89	71.56	71.62	92	
G _{Ma}	52.23	-42.42	13.6	44.55	162	
B _{Ma}	30.57	1.41	-46.47	46.49	272	

$u^*_e = g75b$
 $LAB^*LAB^*_a$

Daten für Maximalfarbe (Ma):

$LAB^*LAB^*_Ma: 55 -21 -43$

$LAB^*LCH^*_Ma: 55 48 244$

$lab^*rgb^*_Ma: 0.0 0.5 1.0$

$lab^*olv^*_Ma: 0.0 0.84 1.0$

Dreiecks-Helligkeit i^*

%Umfang

$u^*_{rel} = 87$

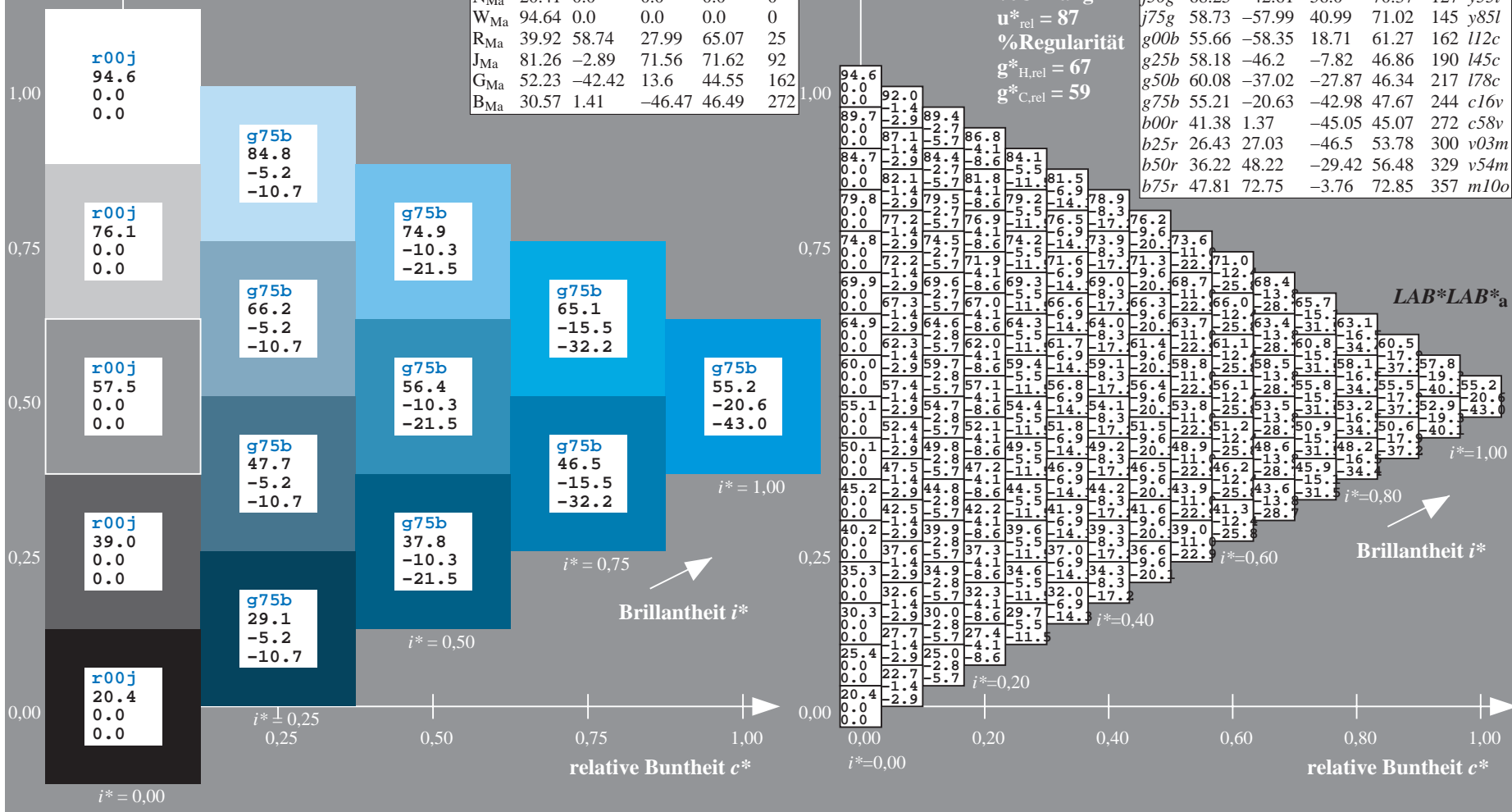
%Regularität

$g^*_{H,rel} = 67$

$g^*_{C,rel} = 59$

ORS20_95a; adaptierte CIELAB-Daten

	u^*_e	$L^*=L^*_a$	a^*_a	b^*_a	$C^*_{ab,a}$	$h^*_{ab,a}$	u^*_d
r00j	47.06	67.41	32.12	74.67	25	m84o	
r25j	53.95	53.38	48.38	72.04	42	o17y	
r50j	63.6	35.87	59.45	69.43	59	o42y	
r75j	73.37	18.14	70.66	72.95	76	o68y	
j00g	85.24	-3.4	84.28	84.35	92	o93y	
j25g	78.53	-25.99	72.23	76.76	110	y24l	
j50g	68.25	-42.61	56.0	70.37	127	y51l	
j75g	58.73	-57.99	40.99	71.02	145	y85l	
g00b	55.66	-58.35	18.71	61.27	162	l12c	
g25b	58.18	-46.2	-7.82	46.86	190	l45c	
g50b	60.08	-37.02	-27.87	46.34	217	l78c	
g75b	55.21	-20.63	-42.98	47.67	244	c16v	
b00r	41.38	1.37	-45.05	45.07	272	c58v	
b25r	26.43	27.03	-46.5	53.78	300	v03m	
b50r	36.22	48.22	-29.42	56.48	329	v54m	
b75r	47.81	72.75	-3.76	72.85	357	m10o	



Siehe ähnliche Dateien: <http://www.ps.bam.de/Eg39/>; www.ps.bam.de/Version 2.1, io=1,1, ColSpx=1
 Technische Information: <http://www.ps.bam.de>

BAM-Registrierung: 20081001-Eg39/10L/L39G00NA.PS/.TXT BAM-Material: Code=rh4ta
 Anwendung für Beurteilung und Messung von Drucker- oder Monitorssystemen

Ein und Ausgabe: Farbmetrisches Drucker-Reflektiv-System ORS20_95a für relativen CIELAB-Bunton $h^* = lab^*h^* = h_{ab}/360 = 0.755$

Daten für jede Farbe:

lab^*ch^* und lab^*icu^*

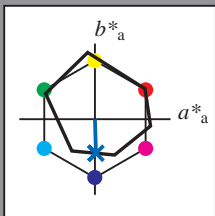
Buntontexte:

$u^*_e = b00r$ $u^*_d = c58v$

Kontrastreduzierungsfaktor:

$c_R = 1.0$

Dreiecks-Helligkeit i^*



ORS20_95a; adaptierte CIELAB-Daten

	u^*_e	$L^*=L^*_a$	a^*_a	b^*_a	$C^*_{ab,a}$	$h^*_{ab,a}$
O _{Ma}	46.89	66.19	40.28	77.48	31	
Y _{Ma}	88.66	-9.62	88.21	88.73	96	
L _{Ma}	54.22	-65.29	33.87	73.56	153	
C _{Ma}	61.43	-30.53	-42.04	51.96	234	
V _{Ma}	25.93	25.95	-47.37	54.01	299	
M _{Ma}	47.92	73.53	-9.02	74.08	353	
N _{Ma}	20.41	0.0	0.0	0.0	0	
W _{Ma}	94.64	0.0	0.0	0.0	0	
R _{Ma}	39.92	58.74	27.99	65.07	25	
J _{Ma}	81.26	-2.89	71.56	71.62	92	
G _{Ma}	52.23	-42.42	13.6	44.55	162	
B _{Ma}	30.57	1.41	-46.47	46.49	272	

Daten für Maximalfarbe (Ma):

$LAB^*LAB^*_Ma$: 41 1 -45

$LAB^*LCH^*_Ma$: 41 45 271

$lab^*rgb^*_Ma$: 0.0 0.0 1.0

$lab^*olv^*_Ma$: 0.0 0.42 1.0

Dreiecks-Helligkeit i^*

%Umfang

$u^*_{rel} = 87$

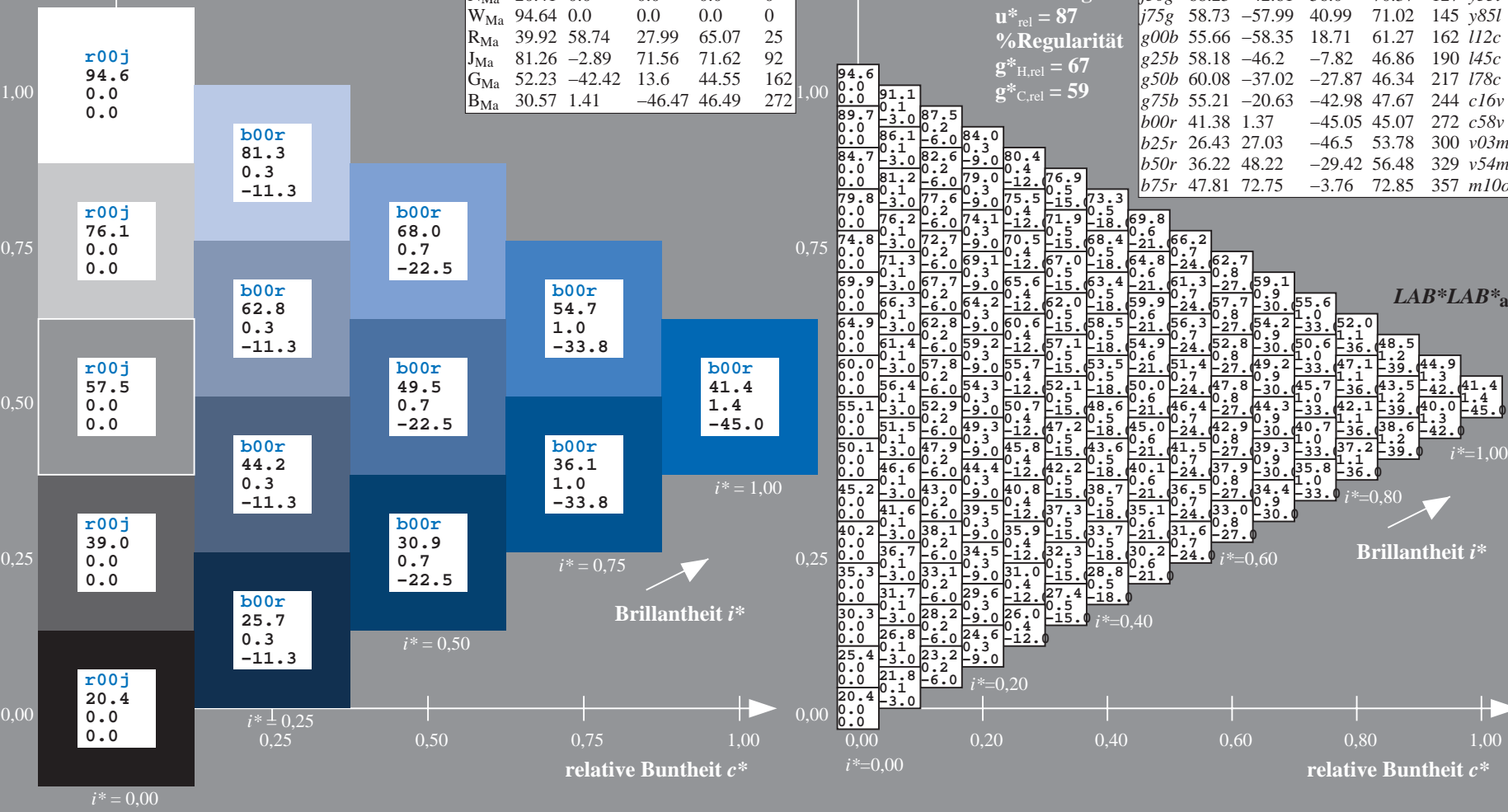
%Regularität

$g^*_{H,rel} = 67$

$g^*_{C,rel} = 59$

ORS20_95a; adaptierte CIELAB-Daten

	u^*_e	$L^*=L^*_a$	a^*_a	b^*_a	$C^*_{ab,a}$	$h^*_{ab,a}$	u^*_d
r00j	47.06	67.41	32.12	74.67	25	m84o	
r25j	53.95	53.38	48.38	72.04	42	o17y	
r50j	63.6	35.87	59.45	69.43	59	o42y	
r75j	73.37	18.14	70.66	72.95	76	o68y	
j00g	85.24	-3.4	84.28	84.35	92	o93y	
j25g	78.53	-25.99	72.23	76.76	110	y24l	
j50g	68.25	-42.61	56.0	70.37	127	y51l	
j75g	58.73	-57.99	40.99	71.02	145	y81l	
g00b	55.66	-58.35	18.71	61.27	162	l12c	
g25b	58.18	-46.2	-7.82	46.86	190	l45c	
g50b	60.08	-37.02	-27.87	46.34	217	l78c	
g75b	55.21	-20.63	-42.98	47.67	244	c16v	
b00r	41.38	1.37	-45.05	45.07	272	c58v	
b25r	26.43	27.03	-46.5	53.78	300	v03m	
b50r	36.22	48.22	-29.42	56.48	329	v54m	
b75r	47.81	72.75	-3.76	72.85	357	m10o	



BAM-Registrierung: 20081001-Eg39/10L/L39G00NA.PS/.TXT BAM-Material: Code=rh4ta
 Anwendung für Beurteilung und Messung von Drucker- oder Monitorssystemen

Ein und Ausgabe: Farbmetrisches Drucker-Reflektiv-System ORS20_95a für relativen CIELAB-Buntton $h^* = lab^*h^* = h_{ab}/360 = 0.834$

Daten für jede Farbe:

lab^*ch^* und lab^*icu^*

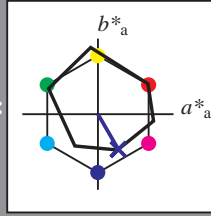
Bunttontexte:

$u^*_e = b25r$ $u^*_d = v03m$

Kontrastreduzierungsfaktor:

$c_R = 1.0$

Dreiecks-Helligkeit i^*



ORS20_95a; adaptierte CIELAB-Daten

	u^*_e	$L^*=L^*_a$	a^*_a	b^*_a	$C^*_{ab,a}$	$h^*_{ab,a}$
O _{Ma}	46.89	66.19	40.28	77.48	31	
Y _{Ma}	88.66	-9.62	88.21	88.73	96	
L _{Ma}	54.22	-65.29	33.87	73.56	153	
C _{Ma}	61.43	-30.53	-42.04	51.96	234	
V _{Ma}	25.93	25.95	-47.37	54.01	299	
M _{Ma}	47.92	73.53	-9.02	74.08	353	
N _{Ma}	20.41	0.0	0.0	0.0	0	
W _{Ma}	94.64	0.0	0.0	0.0	0	
R _{Ma}	39.92	58.74	27.99	65.07	25	
J _{Ma}	81.26	-2.89	71.56	71.62	92	
G _{Ma}	52.23	-42.42	13.6	44.55	162	
B _{Ma}	30.57	1.41	-46.47	46.49	272	

Daten für Maximalfarbe (Ma):

$LAB^*LAB^*_{Ma}$: 26 27 -46

$LAB^*LCH^*_{Ma}$: 26 54 300

$lab^*rgb^*_{Ma}$: 0.5 0.0 1.0

$lab^*olv^*_{Ma}$: 0.03 0.0 1.0

Dreiecks-Helligkeit i^*

%Umfang

$u^*_{rel} = 87$

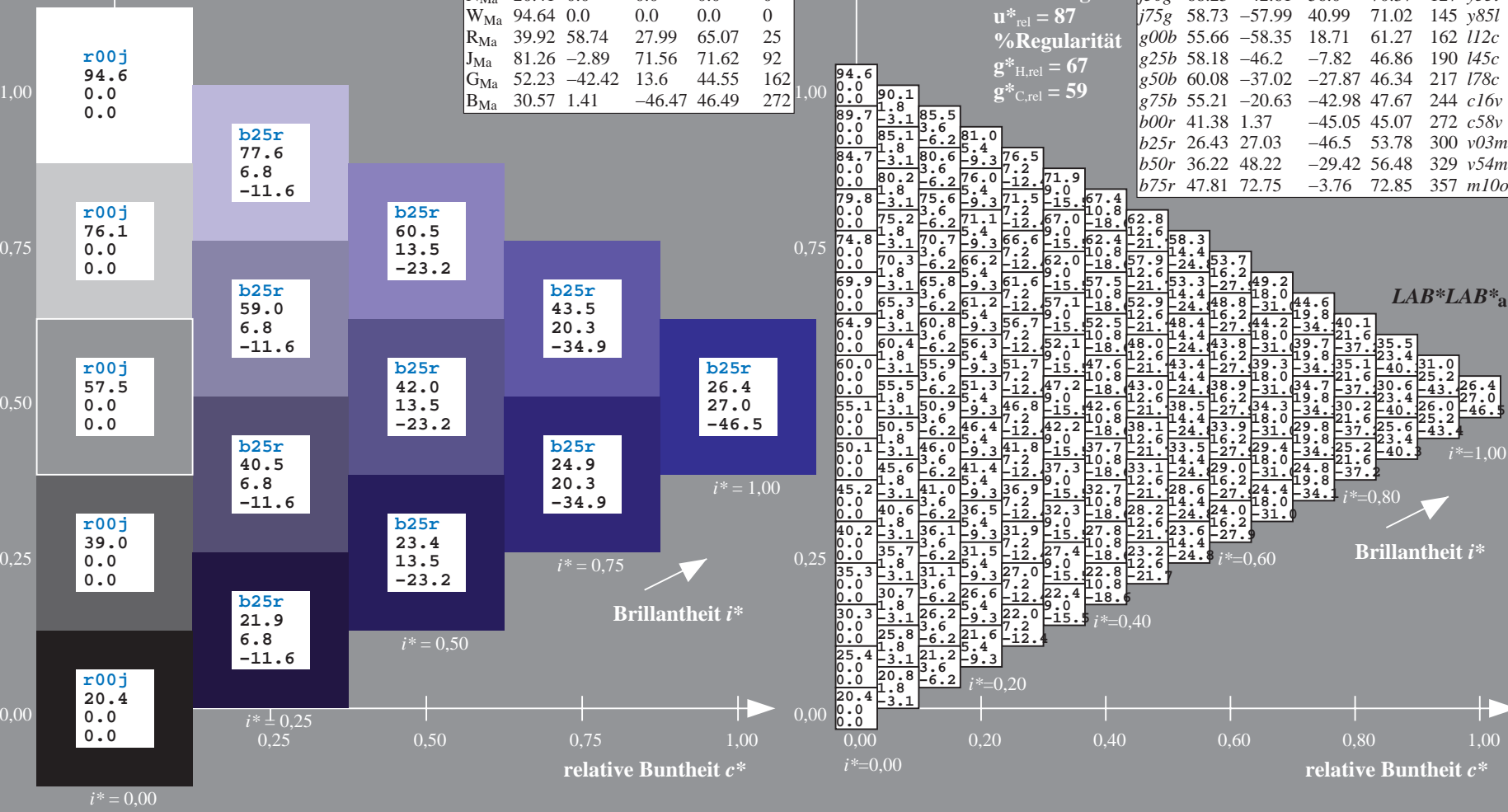
%Regularität

$g^*_{H,rel} = 67$

$g^*_{C,rel} = 59$

ORS20_95a; adaptierte CIELAB-Daten

	u^*_e	$L^*=L^*_a$	a^*_a	b^*_a	$C^*_{ab,a}$	$h^*_{ab,a}$	u^*_d
r00j	47.06	67.41	32.12	74.67	25	m84o	
r25j	53.95	53.38	48.38	72.04	42	o17y	
r50j	63.6	35.87	59.45	69.43	59	o42y	
r75j	73.37	18.14	70.66	72.95	76	o68y	
j00g	85.24	-3.4	84.28	84.35	92	o93y	
j25g	78.53	-25.99	72.23	76.76	110	y24l	
j50g	68.25	-42.61	56.0	70.37	127	y51l	
j75g	58.73	-57.99	40.99	71.02	145	y85l	
g00b	55.66	-58.35	18.71	61.27	162	l12c	
g25b	58.18	-46.2	-7.82	46.86	190	l45c	
g50b	60.08	-37.02	-27.87	46.34	217	l78c	
g75b	55.21	-20.63	-42.98	47.67	244	c16v	
b00r	41.38	1.37	-45.05	45.07	272	c58v	
b25r	26.43	27.03	-46.5	53.78	300	v03m	
b50r	36.22	48.22	-29.42	56.48	329	v54m	
b75r	47.81	72.75	-3.76	72.85	357	m10o	



BAM-Registrierung: 20081001-Eg39/10L/L39G00NA.PS/.TXT BAM-Material: Code=rh4ta
 Anwendung für Beurteilung und Messung von Drucker- oder Monitorssystemen

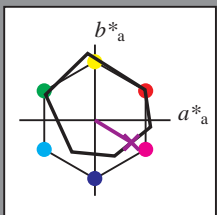
Ein und Ausgabe: Farbmetrisches Drucker-Reflektiv-System ORS20_95a für relativen CIELAB-Bunton $h^* = lab^*h^* = h_{ab}/360 = 0.913$

Daten für jede Farbe:
 lab^*ch^* und lab^*icu^*

Buntontexte:
 $u^*_e = b50r$ $u^*_d = v54m$

Kontrastreduzierungsfaktor:
 $c_R = 1.0$

Dreiecks-Helligkeit i^*



ORS20_95a; adaptierte CIELAB-Daten

	u^*_e	$L^*=L^*_a$	a^*_a	b^*_a	$C^*_{ab,a}$	$h^*_{ab,a}$
O _{Ma}	46.89	66.19	40.28	77.48	31	
Y _{Ma}	88.66	-9.62	88.21	88.73	96	
L _{Ma}	54.22	-65.29	33.87	73.56	153	
C _{Ma}	61.43	-30.53	-42.04	51.96	234	
V _{Ma}	25.93	25.95	-47.37	54.01	299	
M _{Ma}	47.92	73.53	-9.02	74.08	353	
N _{Ma}	20.41	0.0	0.0	0.0	0	
W _{Ma}	94.64	0.0	0.0	0.0	0	
R _{Ma}	39.92	58.74	27.99	65.07	25	
J _{Ma}	81.26	-2.89	71.56	71.62	92	
G _{Ma}	52.23	-42.42	13.6	44.55	162	
B _{Ma}	30.57	1.41	-46.47	46.49	272	

Daten für Maximalfarbe (Ma):

$LAB^*LAB^*_{Ma}$: 36 48 -29

$LAB^*LCH^*_{Ma}$: 36 56 328

$lab^*rgb^*_{Ma}$: 1.0 0.0 1.0

$lab^*olv^*_{Ma}$: 0.55 0.0 1.0

Dreiecks-Helligkeit i^*

%Umfang

$u^*_{rel} = 87$

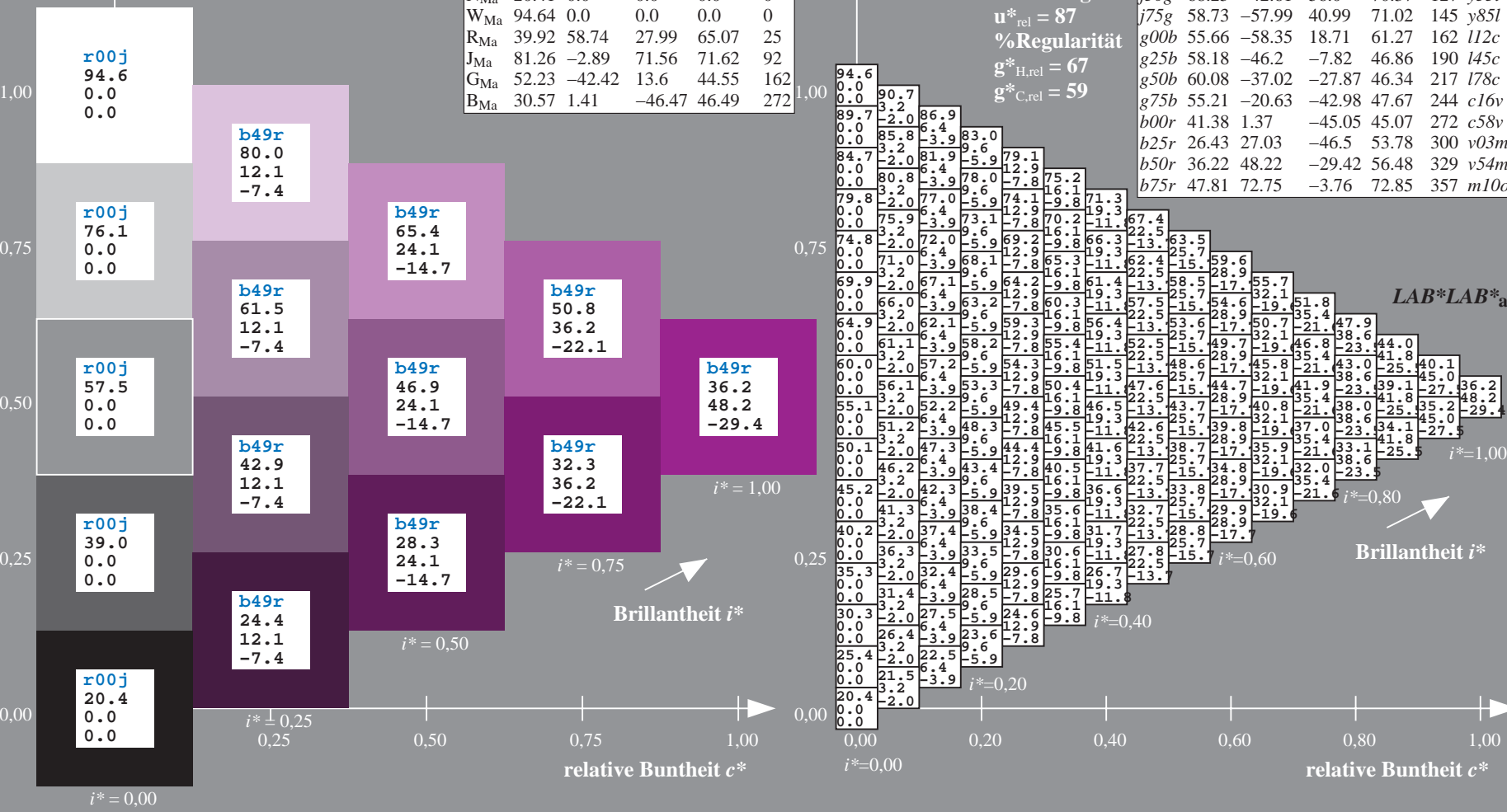
%Regularität

$g^*_{H,rel} = 67$

$g^*_{C,rel} = 59$

ORS20_95a; adaptierte CIELAB-Daten

	u^*_e	$L^*=L^*_a$	a^*_a	b^*_a	$C^*_{ab,a}$	$h^*_{ab,a}$	u^*_d
r00j	47.06	67.41	32.12	74.67	25	m84o	
r25j	53.95	53.38	48.38	72.04	42	o17y	
r50j	63.6	35.87	59.45	69.43	59	o42y	
r75j	73.37	18.14	70.66	72.95	76	o68y	
j00g	85.24	-3.4	84.28	84.35	92	o93y	
j25g	78.53	-25.99	72.23	76.76	110	y24l	
j50g	68.25	-42.61	56.0	70.37	127	y51l	
j75g	58.73	-57.99	40.99	71.02	145	y85l	
g00b	55.66	-58.35	18.71	61.27	162	l12c	
g25b	58.18	-46.2	-7.82	46.86	190	l45c	
g50b	60.08	-37.02	-27.87	46.34	217	l78c	
g75b	55.21	-20.63	-42.98	47.67	244	c16v	
b00r	41.38	1.37	-45.05	45.07	272	c58v	
b25r	26.43	27.03	-46.5	53.78	300	v03m	
b50r	36.22	48.22	-29.42	56.48	329	v54m	
b75r	47.81	72.75	-3.76	72.85	357	m10o	



BAM-Registrierung: 20081001-Eg39/10L/L39G00NA.PS/.TXT BAM-Material: Code=rh4ta
 Anwendung für Beurteilung und Messung von Drucker- oder Monitorssystemen

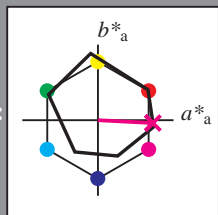
Ein und Ausgabe: Farbmetrisches Drucker-Reflektiv-System ORS20_95a für relativen CIELAB-Bunnton $h^* = lab^*h^* = h_{ab}/360 = 0.992$

Daten für jede Farbe:
 lab^*ch^* und lab^*icu^*

Bunntontexte:
 $u^*_e = b75r$ $u^*_d = m10o$

Kontrastreduzierungsfaktor:
 $c_R = 1.0$

Dreiecks-Helligkeit i^*



ORS20_95a; adaptierte CIELAB-Daten

	u^*_e	$L^*=L^*_a$	a^*_a	b^*_a	$C^*_{ab,a}$	$h^*_{ab,a}$
O _{Ma}	46.89	66.19	40.28	77.48	31	
Y _{Ma}	88.66	-9.62	88.21	88.73	96	
L _{Ma}	54.22	-65.29	33.87	73.56	153	
C _{Ma}	61.43	-30.53	-42.04	51.96	234	
V _{Ma}	25.93	25.95	-47.37	54.01	299	
M _{Ma}	47.92	73.53	-9.02	74.08	353	
N _{Ma}	20.41	0.0	0.0	0.0	0	
W _{Ma}	94.64	0.0	0.0	0.0	0	
R _{Ma}	39.92	58.74	27.99	65.07	25	
J _{Ma}	81.26	-2.89	71.56	71.62	92	
G _{Ma}	52.23	-42.42	13.6	44.55	162	
B _{Ma}	30.57	1.41	-46.47	46.49	272	

Daten für Maximalfarbe (Ma):

$LAB^*LAB^*_Ma$: 48 73 -4

$LAB^*LCH^*_Ma$: 48 73 357

$lab^*rgb^*_Ma$: 1.0 0.0 0.5

$lab^*olv^*_Ma$: 1.0 0.0 0.89

Dreiecks-Helligkeit i^*

%Umfang

$u^*_{rel} = 87$

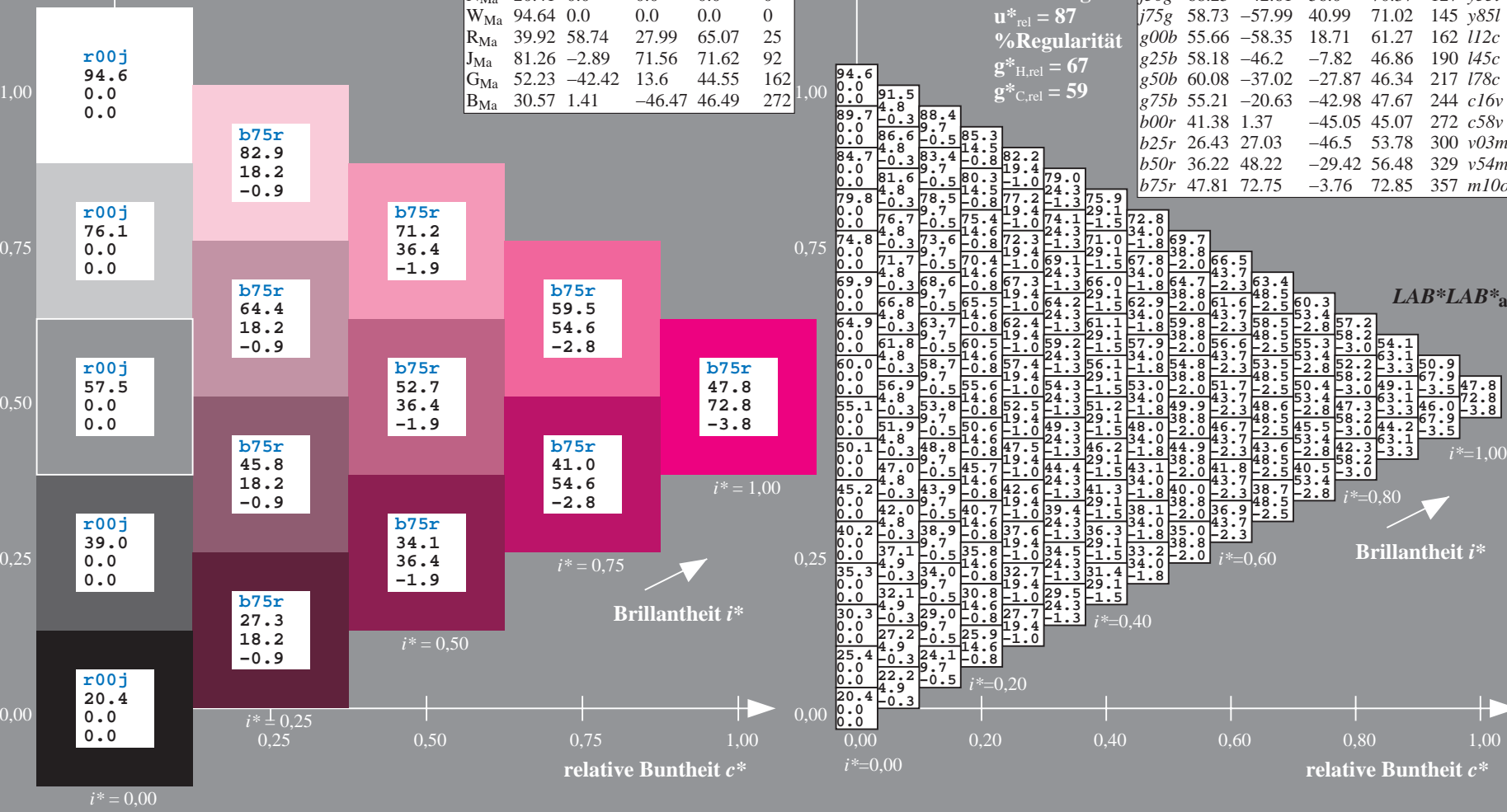
%Regularität

$g^*_{H,rel} = 67$

$g^*_{C,rel} = 59$

ORS20_95a; adaptierte CIELAB-Daten

	u^*_e	$L^*=L^*_a$	a^*_a	b^*_a	$C^*_{ab,a}$	$h^*_{ab,a}$	u^*_d
r00j	47.06	67.41	32.12	74.67	25	m84o	
r25j	53.95	53.38	48.38	72.04	42	o17y	
r50j	63.6	35.87	59.45	69.43	59	o42y	
r75j	73.37	18.14	70.66	72.95	76	o68y	
j00g	85.24	-3.4	84.28	84.35	92	o93y	
j25g	78.53	-25.99	72.23	76.76	110	y24l	
j50g	68.25	-42.61	56.0	70.37	127	y51l	
j75g	58.73	-57.99	40.99	71.02	145	y85l	
g00b	55.66	-58.35	18.71	61.27	162	l12c	
g25b	58.18	-46.2	-7.82	46.86	190	l45c	
g50b	60.08	-37.02	-27.87	46.34	217	l78c	
g75b	55.21	-20.63	-42.98	47.67	244	c16v	
b00r	41.38	1.37	-45.05	45.07	272	c58v	
b25r	26.43	27.03	-46.5	53.78	300	v03m	
b50r	36.22	48.22	-29.42	56.48	329	v54m	
b75r	47.81	72.75	-3.76	72.85	357	m10o	



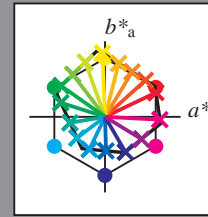
BAM-Registrierung: 20081001-Eg39/10L/L39G00NA.PS/.TXT BAM-Material: Code=rh4ta
 Anwendung für Beurteilung und Messung von Drucker- oder Monitorssystemen

Siehe ähnliche Dateien: <http://www.ps.bam.de/Eg39/>; www.ps.bam.de/Eg.HTM
Technische Information: <http://www.ps.bam.de/Version 2.1, io=1,1, ColSpX=1>

	A	B	C	D	E	F	G	H	I	J	K	L	M	N	O	P	Q	R	S	T	U	V	W	X	Y	Z	a	b	c	d	e	f	g	h	i	j	k	LAB*LAB*a																																																																																																																																																																																																																																																																																																																																																																																																																																																																																																																																																																																																																																																																																																																																																																																																																																																																																																																																																																																																																																																																																																									
00	20.0	24.6	28.9	33.1	37.3	41.5	45.8	50.0	54.2	58.4	62.6	66.8	71.0	75.2	79.4	83.6	87.8	92.0	96.2	100.4	104.6	108.8	113.0	117.2	121.4	125.6	129.8	134.0	138.2	142.4	146.6	150.8	155.0	159.2	163.4	167.6	171.8	176.0	180.2	184.4	188.6	192.8	197.0	201.2	205.4	209.6	213.8	218.0	222.2	226.4	230.6	234.8	239.0	243.2	247.4	251.6	255.8	260.0	264.2	268.4	272.6	276.8	281.0	285.2	289.4	293.6	297.8	302.0	306.2	310.4	314.6	318.8	323.0	327.2	331.4	335.6	339.8	344.0	348.2	352.4	356.6	360.8	365.0	369.2	373.4	377.6	381.8	386.0	390.2	394.4	398.6	402.8	407.0	411.2	415.4	419.6	423.8	428.0	432.2	436.4	440.6	444.8	449.0	453.2	457.4	461.6	465.8	470.0	474.2	478.4	482.6	486.8	491.0	495.2	499.4	503.6	507.8	512.0	516.2	520.4	524.6	528.8	533.0	537.2	541.4	545.6	549.8	554.0	558.2	562.4	566.6	570.8	575.0	579.2	583.4	587.6	591.8	596.0	600.2	604.4	608.6	612.8	617.0	621.2	625.4	629.6	633.8	638.0	642.2	646.4	650.6	654.8	659.0	663.2	667.4	671.6	675.8	680.0	684.2	688.4	692.6	696.8	701.0	705.2	709.4	713.6	717.8	722.0	726.2	730.4	734.6	738.8	743.0	747.2	751.4	755.6	759.8	764.0	768.2	772.4	776.6	780.8	785.0	789.2	793.4	797.6	801.8	806.0	810.2	814.4	818.6	822.8	827.0	831.2	835.4	839.6	843.8	848.0	852.2	856.4	860.6	864.8	869.0	873.2	877.4	881.6	885.8	890.0	894.2	898.4	902.6	906.8	911.0	915.2	919.4	923.6	927.8	932.0	936.2	940.4	944.6	948.8	953.0	957.2	961.4	965.6	969.8	974.0	978.2	982.4	986.6	990.8	995.0	999.2	1003.4	1007.6	1011.8	1016.0	1020.2	1024.4	1028.6	1032.8	1037.0	1041.2	1045.4	1049.6	1053.8	1058.0	1062.2	1066.4	1070.6	1074.8	1079.0	1083.2	1087.4	1091.6	1095.8	1100.0	1104.2	1108.4	1112.6	1116.8	1121.0	1125.2	1129.4	1133.6	1137.8	1142.0	1146.2	1150.4	1154.6	1158.8	1163.0	1167.2	1171.4	1175.6	1179.8	1184.0	1188.2	1192.4	1196.6	1200.8	1205.0	1209.2	1213.4	1217.6	1221.8	1226.0	1230.2	1234.4	1238.6	1242.8	1247.0	1251.2	1255.4	1259.6	1263.8	1268.0	1272.2	1276.4	1280.6	1284.8	1289.0	1293.2	1297.4	1301.6	1305.8	1310.0	1314.2	1318.4	1322.6	1326.8	1331.0	1335.2	1339.4	1343.6	1347.8	1352.0	1356.2	1360.4	1364.6	1368.8	1373.0	1377.2	1381.4	1385.6	1389.8	1394.0	1398.2	1402.4	1406.6	1410.8	1415.0	1419.2	1423.4	1427.6	1431.8	1436.0	1440.2	1444.4	1448.6	1452.8	1457.0	1461.2	1465.4	1469.6	1473.8	1478.0	1482.2	1486.4	1490.6	1494.8	1499.0	1503.2	1507.4	1511.6	1515.8	1520.0	1524.2	1528.4	1532.6	1536.8	1541.0	1545.2	1549.4	1553.6	1557.8	1562.0	1566.2	1570.4	1574.6	1578.8	1583.0	1587.2	1591.4	1595.6	1600.0	1604.2	1608.4	1612.6	1616.8	1621.0	1625.2	1629.4	1633.6	1637.8	1642.0	1646.2	1650.4	1654.6	1658.8	1663.0	1667.2	1671.4	1675.6	1679.8	1684.0	1688.2	1692.4	1696.6	1700.8	1705.0	1709.2	1713.4	1717.6	1721.8	1726.0	1730.2	1734.4	1738.6	1742.8	1747.0	1751.2	1755.4	1759.6	1763.8	1768.0	1772.2	1776.4	1780.6	1784.8	1789.0	1793.2	1797.4	1801.6	1805.8	1810.0	1814.2	1818.4	1822.6	1826.8	1831.0	1835.2	1839.4	1843.6	1847.8	1852.0	1856.2	1860.4	1864.6	1868.8	1873.0	1877.2	1881.4	1885.6	1889.8	1894.0	1898.2	1902.4	1906.6	1910.8	1915.0	1919.2	1923.4	1927.6	1931.8	1936.0	1940.2	1944.4	1948.6	1952.8	1957.0	1961.2	1965.4	1969.6	1973.8	1978.0	1982.2	1986.4	1990.6	1994.8	1999.0	2003.2	2007.4	2011.6	2015.8	2020.0	2024.2	2028.4	2032.6	2036.8	2041.0	2045.2	2049.4	2053.6	2057.8	2062.0	2066.2	2070.4	2074.6	2078.8	2083.0	2087.2	2091.4	2095.6	2100.0	2104.2	2108.4	2112.6	2116.8	2121.0	2125.2	2129.4	2133.6	2137.8	2142.0	2146.2	2150.4	2154.6	2158.8	2163.0	2167.2	2171.4	2175.6	2179.8	2184.0	2188.2	2192.4	2196.6	2200.8	2205.0	2209.2	2213.4	2217.6	2221.8	2226.0	2230.2	2234.4	2238.6	2242.8	2247.0	2251.2	2255.4	2259.6	2263.8	2268.0	2272.2	2276.4	2280.6	2284.8	2289.0	2293.2	2297.4	2301.6	2305.8	2310.0	2314.2	2318.4	2322.6	2326.8	2331.0	2335.2	2339.4	2343.6	2347.8	2352.0	2356.2	2360.4	2364.6	2368.8	2373.0	2377.2	2381.4	2385.6	2389.8	2394.0	2398.2	2402.4	2406.6	2410.8	2415.0	2419.2	2423.4	2427.6	2431.8	2436.0	2440.2	2444.4	2448.6	2452.8	2457.0	2461.2	2465.4	2469.6	2473.8	2478.0	2482.2	2486.4	2490.6	2494.8	2499.0	2503.2	2507.4	2511.6	2515.8	2520.0	2524.2	2528.4	2532.6	2536.8	2541.0	2545.2	2549.4	2553.6	2557.8	2562.0	2566.2	2570.4	2574.6	2578.8	2583.0	2587.2	2591.4	2595.6	2600.0	2604.2	2608.4	2612.6	2616.8	2621.0	2625.2	2629.4	2633.6	2637.8	2642.0	2646.2	2650.4	2654.6	2658.8	2663.0	2667.2	2671.4	2675.6	2679.8	2684.0	2688.2	2692.4	2696.6	2700.8	2705.0	2709.2	2713.4	2717.6	2721.8	2726.0	2730.2	2734.4	2738.6	2742.8	2747.0	2751.2	2755.4	2759.6	2763.8	2768.0	2772.2	2776.4	2780.6	2784.8	2789.0	2793.2	2797.4	2801.6	2805.8	2810.0	2814.2	2818.4	2822.6	2826.8	2831.0	2835.2	2839.4	2843.6	2847.8	2852.0	2856.2	2860.4	2864.6	2868.8	2873.0	2877.2	2881.4	2885.6	2889.8	2894.0	2898.2	2902.4	2906.6	2910.8	2915.0	2919.2	2923.4	2927.6	2931.8	2936.0	2940.2	2944.4	2948.6	2952.8	2957.0	2961.2	2965.4	2969.6	2973.8	2978.0	2982.2	2986.4	2990.6	2994.8	2999.0	3003.2	3007.4	3011.6	3015.8	3020.0	3024.2	3028.4	3032.6	3036.8	3041.0	3045.2	3049.4	3053.6	3057.8	3062.0	3066.2	3070.4	3074.6	3078.8	3083.0	3087.2	3091.4	3095.6	3100.0	3104.2	3108.4	3112.6	3116.8	3121.0	3125.2	3129.4	3133.6	3137.8	3142.0	3146.2	3150.4	3154.6	3158.8	3163.0	3167.2	3171.4	3175.6	3179.8	3184.0	3188.2	3192.4	3196.6	3200.8	3205.0	3209.2	3213.4	3217.6	3221.8	3226.0	3230.2	3234.4	3238.6	3242.8	3247.0	3251.2	3255.4	3259.6	3263.8	3268.0	3272.2	3276.4	3280.6	3284.8	3289.0	3293.2	3297.4	3301.6	3305.8	3310.0	3314.2	3318.4	3322.6	3326.8	3331.0	3335.2	3339.4	3343.6	3347.8	3352.0	3356.2	3360.4	3364.6	3368.8	3373.0	3377.2	3381.4	3385.6	3389.8	3394.0	3398.2	3402.4	3406.6	3410.8	3415.0	3419.2	3423.4	3427.6	3431.8	3436.0	3440.2	3444.4	3448.6	3452.8	3457.0	3461.2	3465.4	3469.6	3473.8	3478.0	3482.2	3486.4	3490.6	3494.8	3499.0	3503.2	3507.4	3511.6	3515.8	3520.0	3524.2	3528.4	3532.6	3536.8	3541.0	3545.2	3549.4	3553.6	3557.8	3562.0	3566.2	3570.4	3574.6	3578.8	3583.0	3587.2	3591.4	3595.6	3600.0	3604.2	3608.4	3612.6	3616.8	3621.0	3625.2	3629.4	3633.6	3637.8	3642.0	3646.2	3650.4	3654.6	3658.8	3663.0	3667.2	3671.4	3675.6	3679.8	3684.0	3688.2	3692.4	3696.6	3700.8	3705.0	3709.2	3713.4	3717.6	3721.8	3726.0	3730.2	3734.4	3738.6	3742.8	3747.0	3751.2	3755.4	3759.6	3763.8	3768.0	3772.2	3776.4	3780.6	3784.8	3789.0	3793.2	3797.4	3801.6	3805.8	3810.0	3814.2	3818.4	3822.6	3826.8	3831.0	3835.2	3839.4	3843.6	3847.8	3852.0	3856.2	3860.4	3864.6	3868.8	3873.0	3877.2	3881.4	3885.6	3889.8	3894.0	3898.2	3902.4	3906.6	3910.8	3915.0	3919.2	3923.4	3927.6	3931.8	3936.0	3940.2	3944.4	3948.6	3952.8	3957.0	3961.2	3965.4	3969.6	3973.8	3978.0	3982.2	3986.4	3990.6	3994.8	3999.0	4003.2	4007.4	4011.6	4015.8	4020.0	4024.2	4028.4	4032.6	4036.8	4041.0	4045.2	4049.4	4053.6	4057.8	4062.0	4066.2	4070.4	4074.6	4078.8	4083.0	4087.2	4091.4	4095.6	4100.0	4104.2	4108.4	4112.6	4116.8	4121.0	4125.2	4129.4	4133.6	4137.8	4142.0	4146.2	4150.4	4154.6	4158.8	4163.0	4167.2	4171.4	4175.6	4179.8	4184.0	4188.2	4192.4	4196.6	4200.8	4205.0	4209.2	4213.4	4217.6	4221.8	4226.0	4230.2	4234.4	4238.6	4242.8	4247.0	4251.2	4255.4	4259.6	4263.8	4268.0	4272.2	4276.4	4280.6	4284.8	4289.0	4293.2	4297.4	4301.6	4305.8	4310.0	4314.2	4318.4	4322.6	4326.8	4331.0	4335.2	4339.4	4343.6	4347.8	4352.0	4356.2	4360.4	4364.6	4368.8	4373.0	4377.2	4381.4	4385.6	4389.8	4394.0	4398.2	4402.4	4406.6	4410.8	4415.0	4419.2	4423.4	4427.6	4431.8	4436.0	4440.2	4444.4	4448.6	4452.8	4457.0	4461.2	4465.4	4469.6	4473.8	4478.0	4482.2	4486.4	4490.6	4494.8	4499.0	4503.2	4507.4	4511.6	4515.8	4520.0	4524.2	4528.4	4532.6	4536.8	4541.0	4545.2	4549.4	4553.6	4557.8	4562.0	4566.2	4570.4	4574.6	4578.8	4583.0	4587.2	4591.4	4595.6	4600.0	4604.2	4608.4	4612.6	4616.8	4621.0	4625.2	4629.4	4633.6	4637.8	4642.0	4646.2	4650

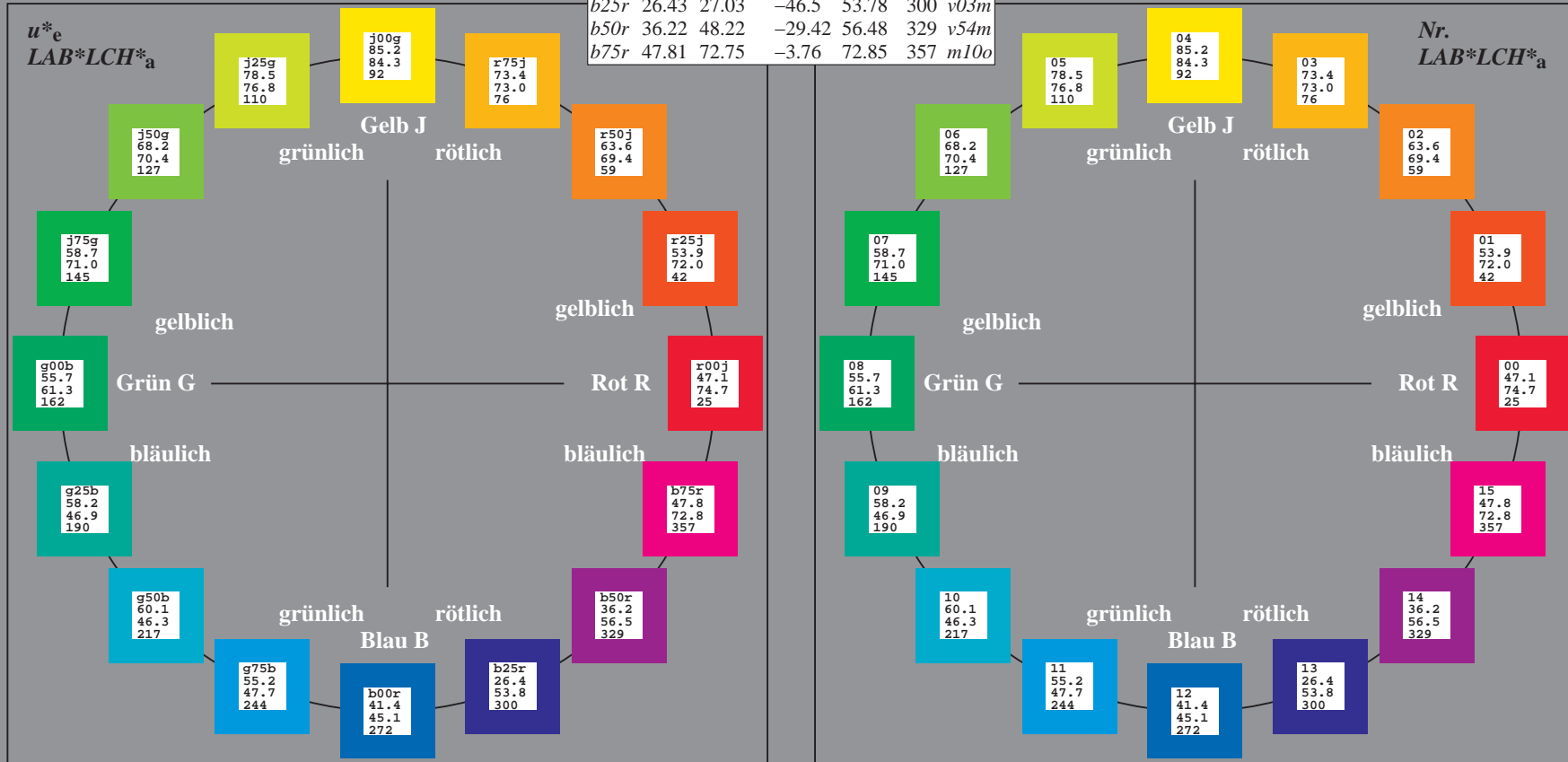
Ein und Ausgabe:
 Farbmétrisches Drucker-Reflektiv-System ORS20_95a
 Daten für jede Farbe:
 u^*_e und Nummer *Nr.* = 00 .. 15
 Elementar-Bunttextext:
 $u^*_e = 16$ Bunttoene *r00j, r25j, ..., b75r*
 Kontrastreduzierungsfaktor:
 $c_R = 1.0$

ORS20_95a; adaptierte CIELAB-Daten						
u^*_e	$L^*_{ab,a}$	$a^*_{ab,a}$	$b^*_{ab,a}$	$C^*_{ab,a}$	$h^*_{ab,a}$	u^*_d
r00j	47.06	67.41	32.12	74.67	25	m84o
r25j	53.95	53.38	48.38	72.04	42	o17y
r50j	63.6	35.87	59.45	69.43	59	o42y
r75j	73.37	18.14	70.66	72.95	76	o68y
j00g	85.24	-3.4	84.28	84.35	92	o93y
j25g	78.53	-25.99	72.23	76.76	110	y24l
j50g	68.25	-42.61	56.0	70.37	127	y55l
j75g	58.73	-57.99	40.99	71.02	145	y85l
g00b	55.66	-58.35	18.71	61.27	162	l12c
g25b	58.18	-46.2	-7.82	46.86	190	l45c
g50b	60.08	-37.02	-27.87	46.34	217	l78c
g75b	55.21	-20.63	-42.98	47.67	244	c16v
b00r	41.38	1.37	-45.05	45.07	272	c58v
b25r	26.43	27.03	-46.5	53.78	300	v03m
b50r	36.22	48.22	-29.42	56.48	329	v54m
b75r	47.81	72.75	-3.76	72.85	357	m10o



%Umfang
 $u^*_{rel} = 87$
 %Regularität
 $g^*_{H,rel} = 67$
 $g^*_{C,rel} = 59$

ORS20_95a; adaptierte CIELAB-Daten					
Name	$L^*_{ab,a}$	$a^*_{ab,a}$	$b^*_{ab,a}$	$C^*_{ab,a}$	$h^*_{ab,a}$
OMa	46.89	66.19	40.28	77.48	31
YMa	88.66	-9.62	88.21	88.73	96
LMa	54.22	-65.29	33.87	73.56	153
CMa	61.43	-30.53	-42.04	51.96	234
VMa	25.93	25.95	-47.37	54.01	299
MMa	47.92	73.53	-9.02	74.08	353
NMa	20.41	0.0	0.0	0.0	0
WMa	94.64	0.0	0.0	0.0	0
RCIE	39.92	58.74	27.99	65.07	25
JCIE	81.26	-2.89	71.56	71.62	92
GCIE	52.23	-42.42	13.6	44.55	162
BCIE	30.57	1.41	-46.47	46.49	272



Siehe ähnliche Dateien: <http://www.ps.bam.de/Eg39/>; www.ps.bam.de/Eg.HTM
 Technische Information: [http://www.ps.bam.de/Version 2.1, io=1,1, Colspx=1](http://www.ps.bam.de/Version%202.1,%20io=1,1,Colspx=1)

BAM-Registrierung: 20081001-Eg39/10L/L39G00NA.PS/.TXT BAM-Material: Code=rh4ta
 Anwendung für Beurteilung und Messung von Drucker- oder Monitorsystemen

Ein und Ausgabe: Farbmetrisches Drucker-Reflektiv-System ORS20_95a für relativen CIELAB-Buntton $h^* = lab^*h^* = h_{ab}/360 = 0.071$

Daten für jede Farbe:

lab^*ch^* und lab^*icu^*

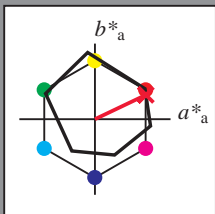
Bunttontexte:

$u^*_e = r00j$ $u^*_d = m84o$

Kontrastreduzierungsfaktor:

$c_R = 1.0$

Dreiecks-Helligkeit i^*



ORS20_95a; adaptierte CIELAB-Daten

	u^*_e	$L^*=L^*_a$	a^*_a	b^*_a	$C^*_{ab,a}$	$h^*_{ab,a}$
O _{Ma}	46.89	66.19	40.28	77.48	31	
Y _{Ma}	88.66	-9.62	88.21	88.73	96	
L _{Ma}	54.22	-65.29	33.87	73.56	153	
C _{Ma}	61.43	-30.53	-42.04	51.96	234	
V _{Ma}	25.93	25.95	-47.37	54.01	299	
M _{Ma}	47.92	73.53	-9.02	74.08	353	
N _{Ma}	20.41	0.0	0.0	0.0	0	
W _{Ma}	94.64	0.0	0.0	0.0	0	
R _{Ma}	39.92	58.74	27.99	65.07	25	
J _{Ma}	81.26	-2.89	71.56	71.62	92	
G _{Ma}	52.23	-42.42	13.6	44.55	162	
B _{Ma}	30.57	1.41	-46.47	46.49	272	

Daten für Maximalfarbe (Ma):

$LAB^*LAB^*_Ma$: 47 67 32

$LAB^*LCH^*_Ma$: 47 75 25

$lab^*rgb^*_Ma$: 1.0 0.0 0.0

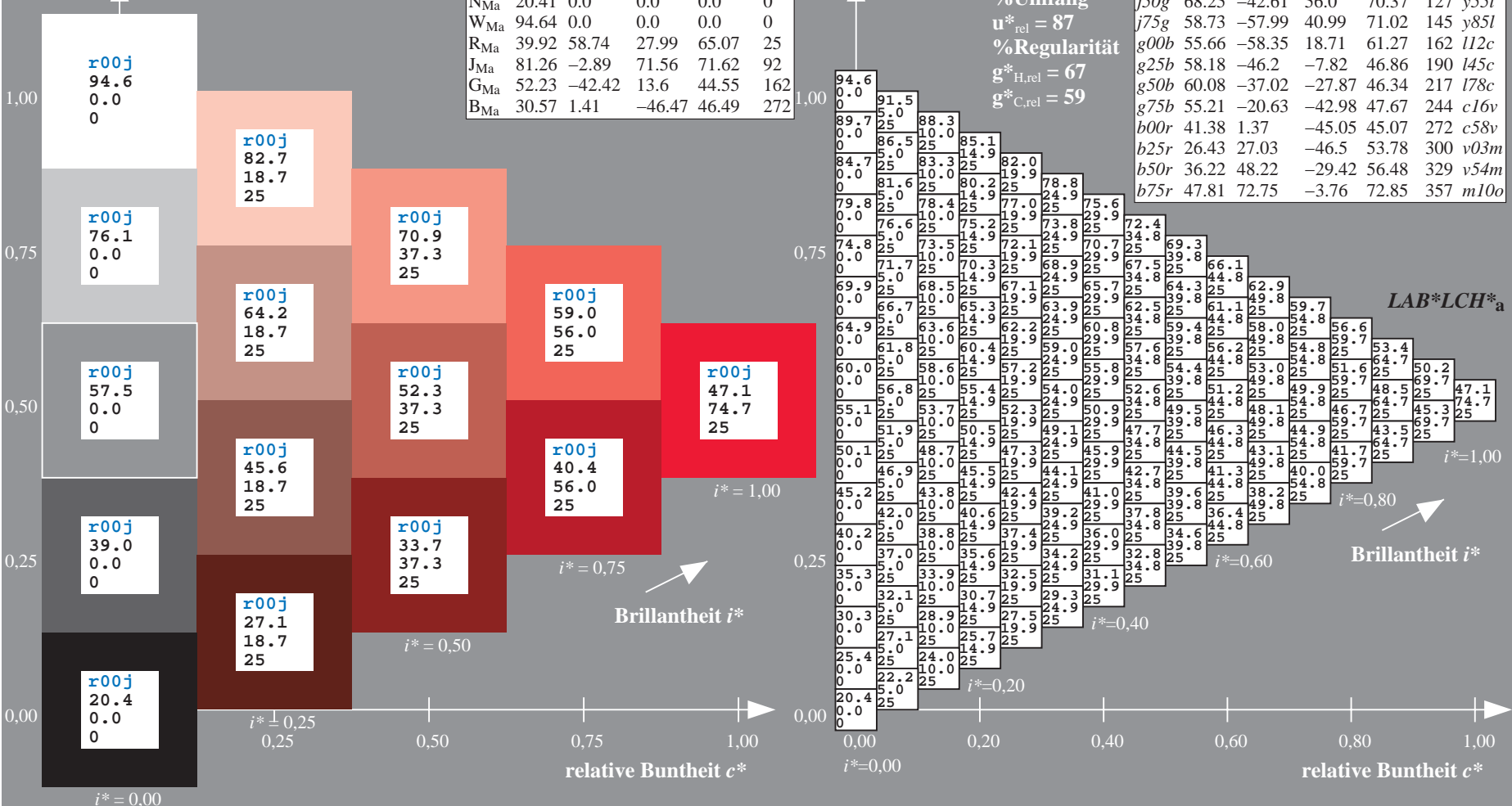
$lab^*olv^*_Ma$: 1.0 0.0 0.15

Dreiecks-Helligkeit i^*

%Umfang
 $u^*_{rel} = 87$
 %Regularität
 $g^*_{H,rel} = 67$
 $g^*_{C,rel} = 59$

ORS20_95a; adaptierte CIELAB-Daten

	u^*_e	$L^*=L^*_a$	a^*_a	b^*_a	$C^*_{ab,a}$	$h^*_{ab,a}$	u^*_d
r00j	47.06	67.41	32.12	74.67	25	m84o	
r25j	53.95	53.38	48.38	72.04	42	o17y	
r50j	63.6	35.87	59.45	69.43	59	o42y	
r75j	73.37	18.14	70.66	72.95	76	o68y	
j00g	85.24	-3.4	84.28	84.35	92	o93y	
j25g	78.53	-25.99	72.23	76.76	110	y24l	
j50g	68.25	-42.61	56.0	70.37	127	y51l	
j75g	58.73	-57.99	40.99	71.02	145	y85l	
g00b	55.66	-58.35	18.71	61.27	162	l12c	
g25b	58.18	-46.2	-7.82	46.86	190	l45c	
g50b	60.08	-37.02	-27.87	46.34	217	l78c	
g75b	55.21	-20.63	-42.98	47.67	244	c16v	
b00r	41.38	1.37	-45.05	45.07	272	c58v	
b25r	26.43	27.03	-46.5	53.78	300	v03m	
b50r	36.22	48.22	-29.42	56.48	329	v54m	
b75r	47.81	72.75	-3.76	72.85	357	m10o	



Siehe ähnliche Dateien: <http://www.ps.bam.de/Eg39/>; [www.ps.bam.de/Version 2.1, io=1,1, Colspx=1](http://www.ps.bam.de/Version2.1,io=1,1,Colspx=1)
 Technische Information: <http://www.ps.bam.de>

BAM-Registrierung: 20081001-Eg39/10L/L39G00NA.PS/.TXT BAM-Material: Code=rh4ta
 Anwendung für Beurteilung und Messung von Drucker- oder Monitorssystemen

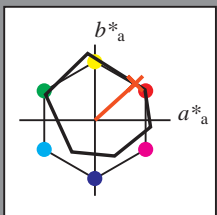
Ein und Ausgabe: Farbmetrisches Drucker-Reflektiv-System ORS20_95a für relativen CIELAB-Buntton $h^* = lab^*h^* = h_{ab}/360 = 0.117$

Daten für jede Farbe:
 lab^*ch^* und lab^*icu^*

Bunttontexte:
 $u^*_e = r25j$ $u^*_d = o17y$

Kontrastreduzierungsfaktor:
 $c_R = 1.0$

Dreiecks-Helligkeit i^*



ORS20_95a; adaptierte CIELAB-Daten

	u^*_e	$L^*=L^*_a$	a^*_a	b^*_a	$C^*_{ab,a}$	$h^*_{ab,a}$
O _{Ma}	46.89	66.19	40.28	77.48	31	
Y _{Ma}	88.66	-9.62	88.21	88.73	96	
L _{Ma}	54.22	-65.29	33.87	73.56	153	
C _{Ma}	61.43	-30.53	-42.04	51.96	234	
V _{Ma}	25.93	25.95	-47.37	54.01	299	
M _{Ma}	47.92	73.53	-9.02	74.08	353	
N _{Ma}	20.41	0.0	0.0	0.0	0	
W _{Ma}	94.64	0.0	0.0	0.0	0	
R _{Ma}	39.92	58.74	27.99	65.07	25	
J _{Ma}	81.26	-2.89	71.56	71.62	92	
G _{Ma}	52.23	-42.42	13.6	44.55	162	
B _{Ma}	30.57	1.41	-46.47	46.49	272	

Daten für Maximalfarbe (Ma):

$LAB^*LAB^*_{Ma}$: 54 53 48

$LAB^*LCH^*_{Ma}$: 54 72 42

$lab^*rgb^*_{Ma}$: 1.0 0.25 0.0

$lab^*olv^*_{Ma}$: 1.0 0.17 0.0

Dreiecks-Helligkeit i^*

%Umfang

$u^*_{rel} = 87$

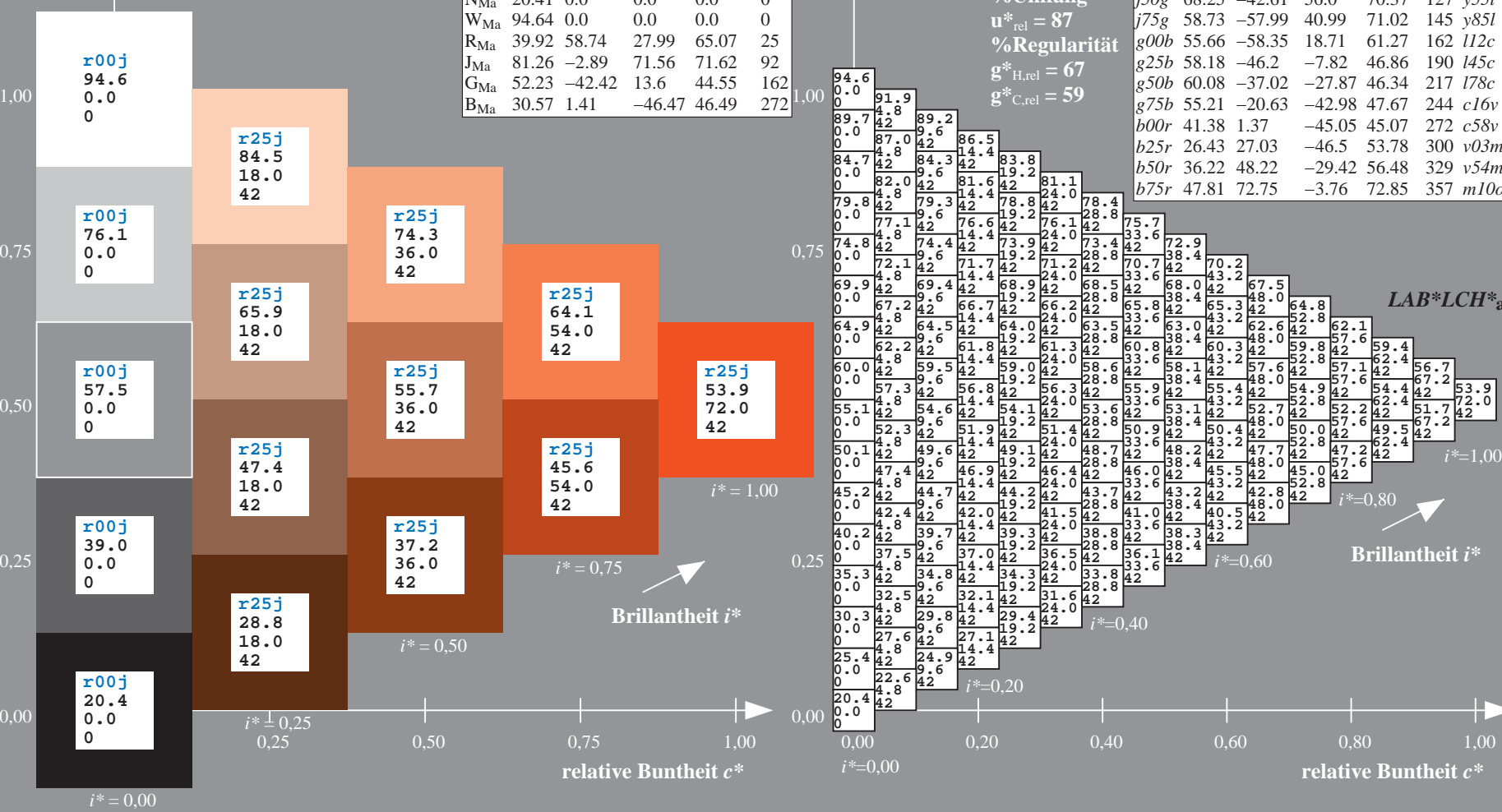
%Regularität

$g^*_{H,rel} = 67$

$g^*_{C,rel} = 59$

ORS20_95a; adaptierte CIELAB-Daten

	u^*_e	$L^*=L^*_a$	a^*_a	b^*_a	$C^*_{ab,a}$	$h^*_{ab,a}$	u^*_d
r00j	47.06	67.41	32.12	74.67	25	m84o	
r25j	53.95	53.38	48.38	72.04	42	o17y	
r50j	63.6	35.87	59.45	69.43	59	o42y	
r75j	73.37	18.14	70.66	72.95	76	o68y	
j00g	85.24	-3.4	84.28	84.35	92	o93y	
j25g	78.53	-25.99	72.23	76.76	110	y24l	
j50g	68.25	-42.61	56.0	70.37	127	y51l	
j75g	58.73	-57.99	40.99	71.02	145	y85l	
g00b	55.66	-58.35	18.71	61.27	162	l12c	
g25b	58.18	-46.2	-7.82	46.86	190	l45c	
g50b	60.08	-37.02	-27.87	46.34	217	l78c	
g75b	55.21	-20.63	-42.98	47.67	244	c16v	
b00r	41.38	1.37	-45.05	45.07	272	c58v	
b25r	26.43	27.03	-46.5	53.78	300	v03m	
b50r	36.22	48.22	-29.42	56.48	329	v54m	
b75r	47.81	72.75	-3.76	72.85	357	m10o	



BAM-Registrierung: 20081001-Eg39/10L/L39G00NA.PS/.TXT BAM-Material: Code=rh4ta
 Anwendung für Beurteilung und Messung von Drucker- oder Monitorssystemen

Ein und Ausgabe: Farbmetrisches Drucker-Reflektiv-System ORS20_95a für relativen CIELAB-Buntton $h^* = lab^*h^* = h_{ab}/360 = 0.164$

Daten für jede Farbe:

lab^*tch^* und lab^*icu^*

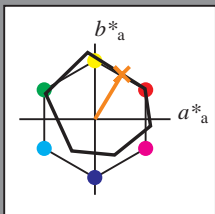
Bunttontexte:

$u^*_e = r50j$ $u^*_d = o42y$

Kontrastreduzierungsfaktor:

$c_R = 1.0$

Dreiecks-Helligkeit i^*



ORS20_95a; adaptierte CIELAB-Daten

	u^*_e	$L^*=L^*_a$	a^*_a	b^*_a	$C^*_{ab,a}$	$h^*_{ab,a}$
O _{Ma}	46.89	66.19	40.28	77.48	31	
Y _{Ma}	88.66	-9.62	88.21	88.73	96	
L _{Ma}	54.22	-65.29	33.87	73.56	153	
C _{Ma}	61.43	-30.53	-42.04	51.96	234	
V _{Ma}	25.93	25.95	-47.37	54.01	299	
M _{Ma}	47.92	73.53	-9.02	74.08	353	
N _{Ma}	20.41	0.0	0.0	0.0	0	
W _{Ma}	94.64	0.0	0.0	0.0	0	
R _{Ma}	39.92	58.74	27.99	65.07	25	
J _{Ma}	81.26	-2.89	71.56	71.62	92	
G _{Ma}	52.23	-42.42	13.6	44.55	162	
B _{Ma}	30.57	1.41	-46.47	46.49	272	

Daten für Maximalfarbe (Ma):

$LAB^*LAB^*_Ma$: 64 36 59

$LAB^*LCH^*_Ma$: 64 69 58

$lab^*rgb^*_Ma$: 1.0 0.5 0.0

$lab^*olv^*_Ma$: 1.0 0.42 0.0

Dreiecks-Helligkeit i^*

%Umfang

$u^*_{rel} = 87$

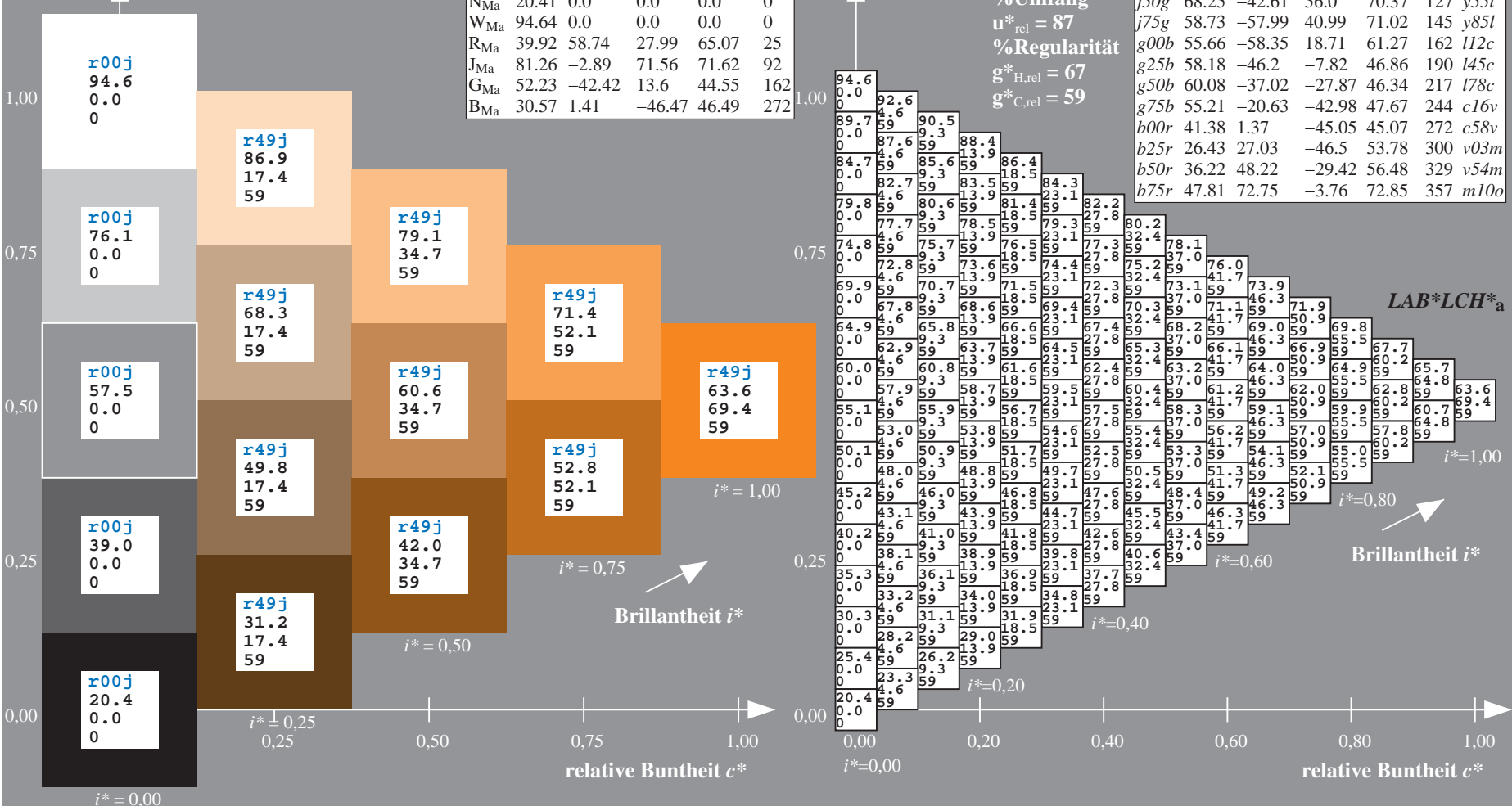
%Regularität

$g^*_{H,rel} = 67$

$g^*_{C,rel} = 59$

ORS20_95a; adaptierte CIELAB-Daten

	u^*_e	$L^*=L^*_a$	a^*_a	b^*_a	$C^*_{ab,a}$	$h^*_{ab,a}$	u^*_d
r00j	47.06	67.41	32.12	74.67	25	m84o	
r25j	53.95	53.38	48.38	72.04	42	o17y	
r50j	63.6	35.87	59.45	69.43	59	o42y	
r75j	73.37	18.14	70.66	72.95	76	o68y	
j00g	85.24	-3.4	84.28	84.35	92	o93y	
j25g	78.53	-25.99	72.23	76.76	110	y24l	
j50g	68.25	-42.61	56.0	70.37	127	y51l	
j75g	58.73	-57.99	40.99	71.02	145	y85l	
g00b	55.66	-58.35	18.71	61.27	162	l12c	
g25b	58.18	-46.2	-7.82	46.86	190	l45c	
g50b	60.08	-37.02	-27.87	46.34	217	l78c	
g75b	55.21	-20.63	-42.98	47.67	244	c16v	
b00r	41.38	1.37	-45.05	45.07	272	c58v	
b25r	26.43	27.03	-46.5	53.78	300	v03m	
b50r	36.22	48.22	-29.42	56.48	329	v54m	
b75r	47.81	72.75	-3.76	72.85	357	m10o	



Siehe ähnliche Dateien: <http://www.ps.bam.de/Eg39/>; www.ps.bam.de/Version 2.1, io=1,1, ColSpx=1
 Technische Information: <http://www.ps.bam.de>

BAM-Registrierung: 20081001-Eg39/10L/L39G00NA.PS/.TXT BAM-Material: Code=rh4ta
 Anwendung für Beurteilung und Messung von Drucker- oder Monitorssystemen

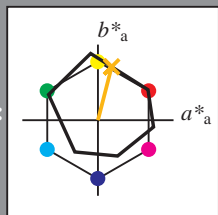
Ein und Ausgabe: Farbmetrisches Drucker-Reflektiv-System ORS20_95a für relativen CIELAB-Bunnton $h^* = lab^*h^* = h_{ab}/360 = 0.21$

Daten für jede Farbe:
 lab^*tch^* und lab^*icu^*

Bunntontexte:
 $u^*_e = r75j$ $u^*_d = o68y$

Kontrastreduzierungsfaktor:
 $c_R = 1.0$

Dreiecks-Helligkeit i^*



ORS20_95a; adaptierte CIELAB-Daten

	u^*_e	$L^*=L^*_a$	a^*_a	b^*_a	$C^*_{ab,a}$	$h^*_{ab,a}$
O _{Ma}	46.89	66.19	40.28	77.48	31	
Y _{Ma}	88.66	-9.62	88.21	88.73	96	
L _{Ma}	54.22	-65.29	33.87	73.56	153	
C _{Ma}	61.43	-30.53	-42.04	51.96	234	
V _{Ma}	25.93	25.95	-47.37	54.01	299	
M _{Ma}	47.92	73.53	-9.02	74.08	353	
N _{Ma}	20.41	0.0	0.0	0.0	0	
W _{Ma}	94.64	0.0	0.0	0.0	0	
R _{Ma}	39.92	58.74	27.99	65.07	25	
J _{Ma}	81.26	-2.89	71.56	71.62	92	
G _{Ma}	52.23	-42.42	13.6	44.55	162	
B _{Ma}	30.57	1.41	-46.47	46.49	272	

Daten für Maximalfarbe (Ma):

$LAB^*LAB^*_{Ma}$: 73 18 71

$LAB^*LCH^*_{Ma}$: 73 73 75

$lab^*rgb^*_{Ma}$: 1.0 0.75 0.0

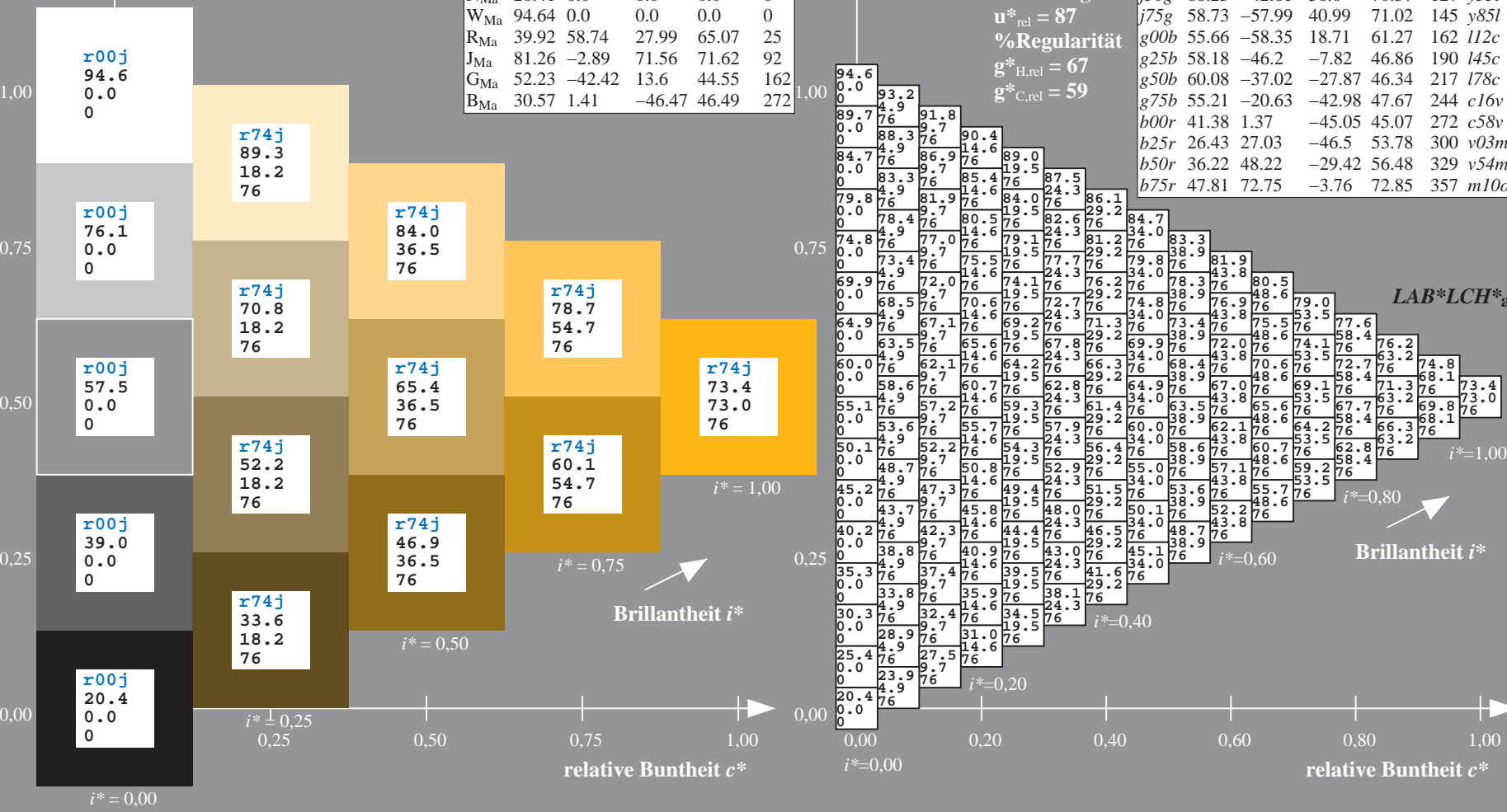
$lab^*olv^*_{Ma}$: 1.0 0.68 0.0

Dreiecks-Helligkeit i^*

%Umfang
 $u^*_{rel} = 87$
 %Regularität
 $g^*_{H,rel} = 67$
 $g^*_{C,rel} = 59$

ORS20_95a; adaptierte CIELAB-Daten

	u^*_e	$L^*=L^*_a$	a^*_a	b^*_a	$C^*_{ab,a}$	$h^*_{ab,a}$	u^*_d
r00j	47.06	67.41	32.12	74.67	25	m84o	
r25j	53.95	53.38	48.38	72.04	42	o17y	
r50j	63.6	35.87	59.45	69.43	59	o42y	
r75j	73.37	18.14	70.66	72.95	76	o68y	
j00g	85.24	-3.4	84.28	84.35	92	o93y	
j25g	78.53	-25.99	72.23	76.76	110	y24l	
j50g	68.25	-42.61	56.0	70.37	127	y51l	
j75g	58.73	-57.99	40.99	71.02	145	y85l	
g00b	55.66	-58.35	18.71	61.27	162	l12c	
g25b	58.18	-46.2	-7.82	46.86	190	l45c	
g50b	60.08	-37.02	-27.87	46.34	217	l78c	
g75b	55.21	-20.63	-42.98	47.67	244	c16v	
b00r	41.38	1.37	-45.05	45.07	272	c58v	
b25r	26.43	27.03	-46.5	53.78	300	v03m	
b50r	36.22	48.22	-29.42	56.48	329	v54m	
b75r	47.81	72.75	-3.76	72.85	357	m10o	



BAM-Registrierung: 20081001-Eg39/10L/L39G00NA.PS/.TXT BAM-Material: Code=rh4ta
 Anwendung für Beurteilung und Messung von Drucker- oder Monitorssystemen

Ein und Ausgabe: Farbmetrisches Drucker-Reflektiv-System ORS20_95a für relativen CIELAB-Bunton $h^* = lab^*h^* = h_{ab}/360 = 0.256$

Daten für jede Farbe:

lab^*ch^* und lab^*icu^*

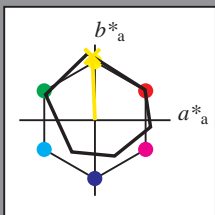
Buntontexte:

$u^*_e = j00g$ $u^*_d = o93y$

Kontrastreduzierungsfaktor:

$c_R = 1.0$

Dreiecks-Helligkeit i^*



ORS20_95a; adaptierte CIELAB-Daten

	u^*_e	$L^*=L^*_a$	a^*_a	b^*_a	$C^*_{ab,a}$	$h^*_{ab,a}$
O _{Ma}	46.89	66.19	40.28	77.48	31	
Y _{Ma}	88.66	-9.62	88.21	88.73	96	
L _{Ma}	54.22	-65.29	33.87	73.56	153	
C _{Ma}	61.43	-30.53	-42.04	51.96	234	
V _{Ma}	25.93	25.95	-47.37	54.01	299	
M _{Ma}	47.92	73.53	-9.02	74.08	353	
N _{Ma}	20.41	0.0	0.0	0.0	0	
W _{Ma}	94.64	0.0	0.0	0.0	0	
R _{Ma}	39.92	58.74	27.99	65.07	25	
J _{Ma}	81.26	-2.89	71.56	71.62	92	
G _{Ma}	52.23	-42.42	13.6	44.55	162	
B _{Ma}	30.57	1.41	-46.47	46.49	272	

Daten für Maximalfarbe (Ma):

$LAB^*LAB^*_{Ma}$: 85 -3 84

$LAB^*LCH^*_{Ma}$: 85 84 92

$lab^*rgb^*_{Ma}$: 1.0 1.0 0.0

$lab^*olv^*_{Ma}$: 1.0 0.94 0.0

Dreiecks-Helligkeit i^*

%Umfang

$u^*_{rel} = 87$

%Regularität

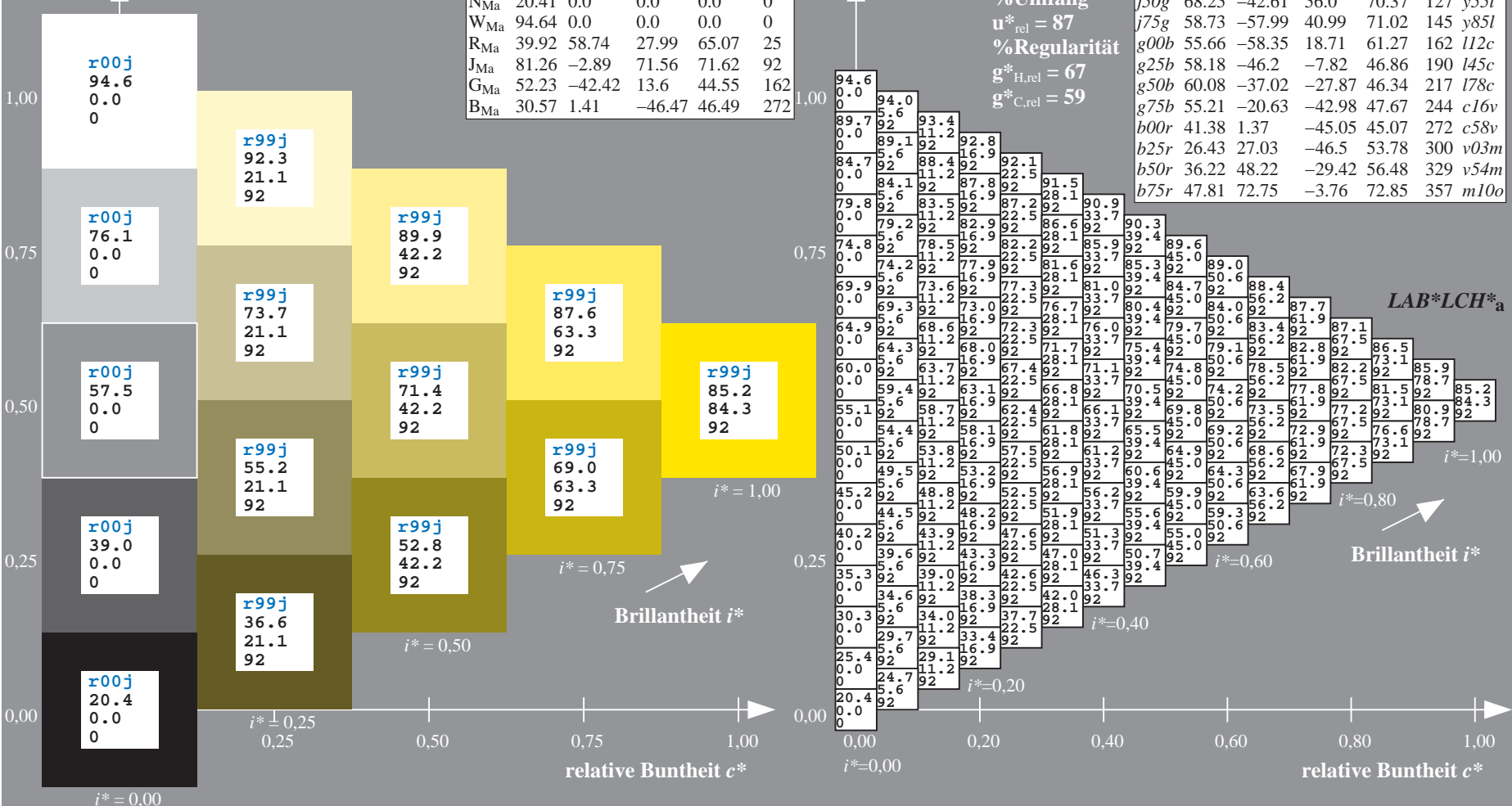
$g^*_{H,rel} = 67$

$g^*_{C,rel} = 59$

$u^*_e = j00g$
 $LAB^*LCH^*_a$

ORS20_95a; adaptierte CIELAB-Daten

	u^*_e	$L^*=L^*_a$	a^*_a	b^*_a	$C^*_{ab,a}$	$h^*_{ab,a}$	u^*_d
r00j	47.06	67.41	32.12	74.67	25	m84o	
r25j	53.95	53.38	48.38	72.04	42	o17y	
r50j	63.6	35.87	59.45	69.43	59	o42y	
r75j	73.37	18.14	70.66	72.95	76	o68y	
j00g	85.24	-3.4	84.28	84.35	92	o93y	
j25g	78.53	-25.99	72.23	76.76	110	y24l	
j50g	68.25	-42.61	56.0	70.37	127	y51l	
j75g	58.73	-57.99	40.99	71.02	145	y85l	
g00b	55.66	-58.35	18.71	61.27	162	l12c	
g25b	58.18	-46.2	-7.82	46.86	190	l45c	
g50b	60.08	-37.02	-27.87	46.34	217	l78c	
g75b	55.21	-20.63	-42.98	47.67	244	c16v	
b00r	41.38	1.37	-45.05	45.07	272	c58v	
b25r	26.43	27.03	-46.5	53.78	300	v03m	
b50r	36.22	48.22	-29.42	56.48	329	v54m	
b75r	47.81	72.75	-3.76	72.85	357	m10o	



Siehe ähnliche Dateien: <http://www.ps.bam.de/Eg39/>; www.ps.bam.de/Version 2.1, io=1,1, ColSpx=1
 Technische Information: <http://www.ps.bam.de>

BAM-Registrierung: 20081001-Eg39/10L/L39G00NA.PS/.TXT BAM-Material: Code=rh4ta
 Anwendung für Beurteilung und Messung von Drucker- oder Monitorssystemen

Ein und Ausgabe: Farbmetrisches Drucker-Reflektiv-System ORS20_95a für relativen CIELAB-Bunton $h^* = lab^*h^* = h_{ab}/360 = 0.305$

Daten für jede Farbe:

lab^*tch^* und lab^*icu^*

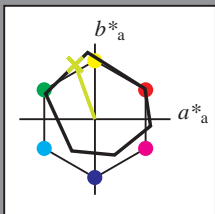
Buntontexte:

$u^*_e = j25g$ $u^*_d = y24l$

Kontrastreduzierungsfaktor:

$c_R = 1.0$

Dreiecks-Helligkeit t^*



ORS20_95a; adaptierte CIELAB-Daten

	u^*_e	$L^*=L^*_a$	a^*_a	b^*_a	$C^*_{ab,a}$	$h^*_{ab,a}$
O _{Ma}	46.89	66.19	40.28	77.48	31	
Y _{Ma}	88.66	-9.62	88.21	88.73	96	
L _{Ma}	54.22	-65.29	33.87	73.56	153	
C _{Ma}	61.43	-30.53	-42.04	51.96	234	
V _{Ma}	25.93	25.95	-47.37	54.01	299	
M _{Ma}	47.92	73.53	-9.02	74.08	353	
N _{Ma}	20.41	0.0	0.0	0.0	0	
W _{Ma}	94.64	0.0	0.0	0.0	0	
R _{Ma}	39.92	58.74	27.99	65.07	25	
J _{Ma}	81.26	-2.89	71.56	71.62	92	
G _{Ma}	52.23	-42.42	13.6	44.55	162	
B _{Ma}	30.57	1.41	-46.47	46.49	272	

Daten für Maximalfarbe (Ma):

$LAB^*LAB^*_{Ma}$: 79 -26 72

$LAB^*LCH^*_{Ma}$: 79 77 109

$lab^*rgb^*_{Ma}$: 0.75 1.0 0.0

$lab^*olv^*_{Ma}$: 0.76 1.0 0.0

Dreiecks-Helligkeit t^*

%Umfang

$u^*_{rel} = 87$

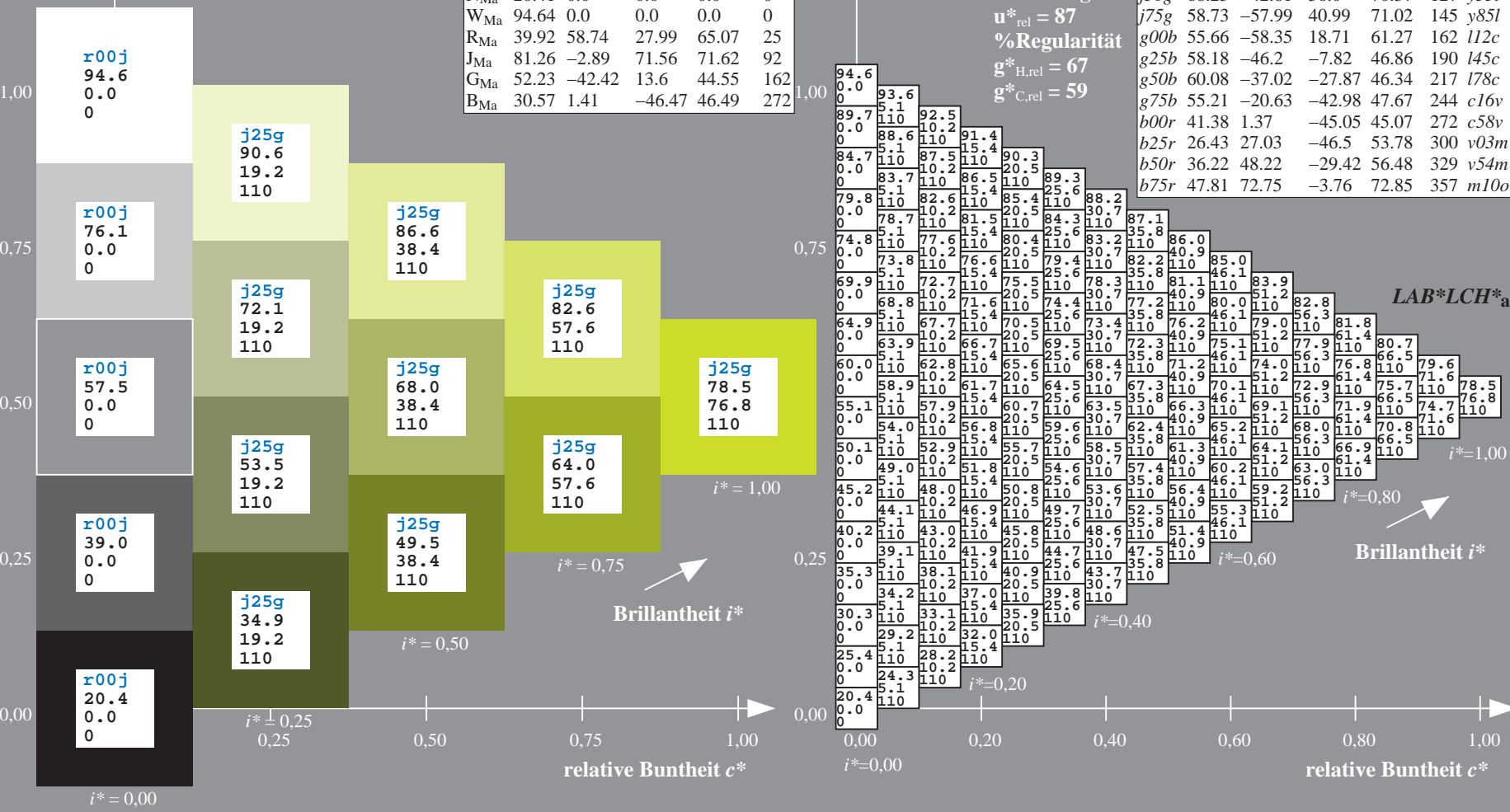
%Regularität

$g^*_{H,rel} = 67$

$g^*_{C,rel} = 59$

ORS20_95a; adaptierte CIELAB-Daten

	u^*_e	$L^*=L^*_a$	a^*_a	b^*_a	$C^*_{ab,a}$	$h^*_{ab,a}$	u^*_d
r00j	47.06	67.41	32.12	74.67	25	m84o	
r25j	53.95	53.38	48.38	72.04	42	o17y	
r50j	63.6	35.87	59.45	69.43	59	o42y	
r75j	73.37	18.14	70.66	72.95	76	o68y	
j00g	85.24	-3.4	84.28	84.35	92	o93y	
j25g	78.53	-25.99	72.23	76.76	110	y24l	
j50g	68.25	-42.61	56.0	70.37	127	y51l	
j75g	58.73	-57.99	40.99	71.02	145	y85l	
g00b	55.66	-58.35	18.71	61.27	162	l12c	
g25b	58.18	-46.2	-7.82	46.86	190	l45c	
g50b	60.08	-37.02	-27.87	46.34	217	l78c	
g75b	55.21	-20.63	-42.98	47.67	244	c16v	
b00r	41.38	1.37	-45.05	45.07	272	c58v	
b25r	26.43	27.03	-46.5	53.78	300	v03m	
b50r	36.22	48.22	-29.42	56.48	329	v54m	
b75r	47.81	72.75	-3.76	72.85	357	m10o	



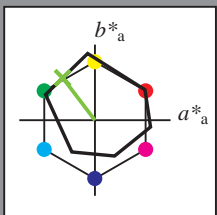
Ein und Ausgabe: Farbmetrisches Drucker-Reflektiv-System ORS20_95a für relativen CIELAB-Buntton $h^* = lab^*h^* = h_{ab}/360 = 0.354$

Daten für jede Farbe:
 lab^*ch^* und lab^*icu^*

Bunntontexte:
 $u^*_e = j50g$ $u^*_d = y55l$

Kontrastreduzierungsfaktor:
 $c_R = 1.0$

Dreiecks-Helligkeit i^*



ORS20_95a; adaptierte CIELAB-Daten

	u^*_e	$L^*=L^*_a$	a^*_a	b^*_a	$C^*_{ab,a}$	$h^*_{ab,a}$
O _{Ma}	46.89	66.19	40.28	77.48	31	
Y _{Ma}	88.66	-9.62	88.21	88.73	96	
L _{Ma}	54.22	-65.29	33.87	73.56	153	
C _{Ma}	61.43	-30.53	-42.04	51.96	234	
V _{Ma}	25.93	25.95	-47.37	54.01	299	
M _{Ma}	47.92	73.53	-9.02	74.08	353	
N _{Ma}	20.41	0.0	0.0	0.0	0	
W _{Ma}	94.64	0.0	0.0	0.0	0	
R _{Ma}	39.92	58.74	27.99	65.07	25	
J _{Ma}	81.26	-2.89	71.56	71.62	92	
G _{Ma}	52.23	-42.42	13.6	44.55	162	
B _{Ma}	30.57	1.41	-46.47	46.49	272	

Daten für Maximalfarbe (Ma):

$LAB^*LAB^*_{Ma}$: 68 -43 56

$LAB^*LCH^*_{Ma}$: 68 70 127

$lab^*rgb^*_{Ma}$: 0.5 1.0 0.0

$lab^*olv^*_{Ma}$: 0.45 1.0 0.0

Dreiecks-Helligkeit i^*

%Umfang

$u^*_{rel} = 87$

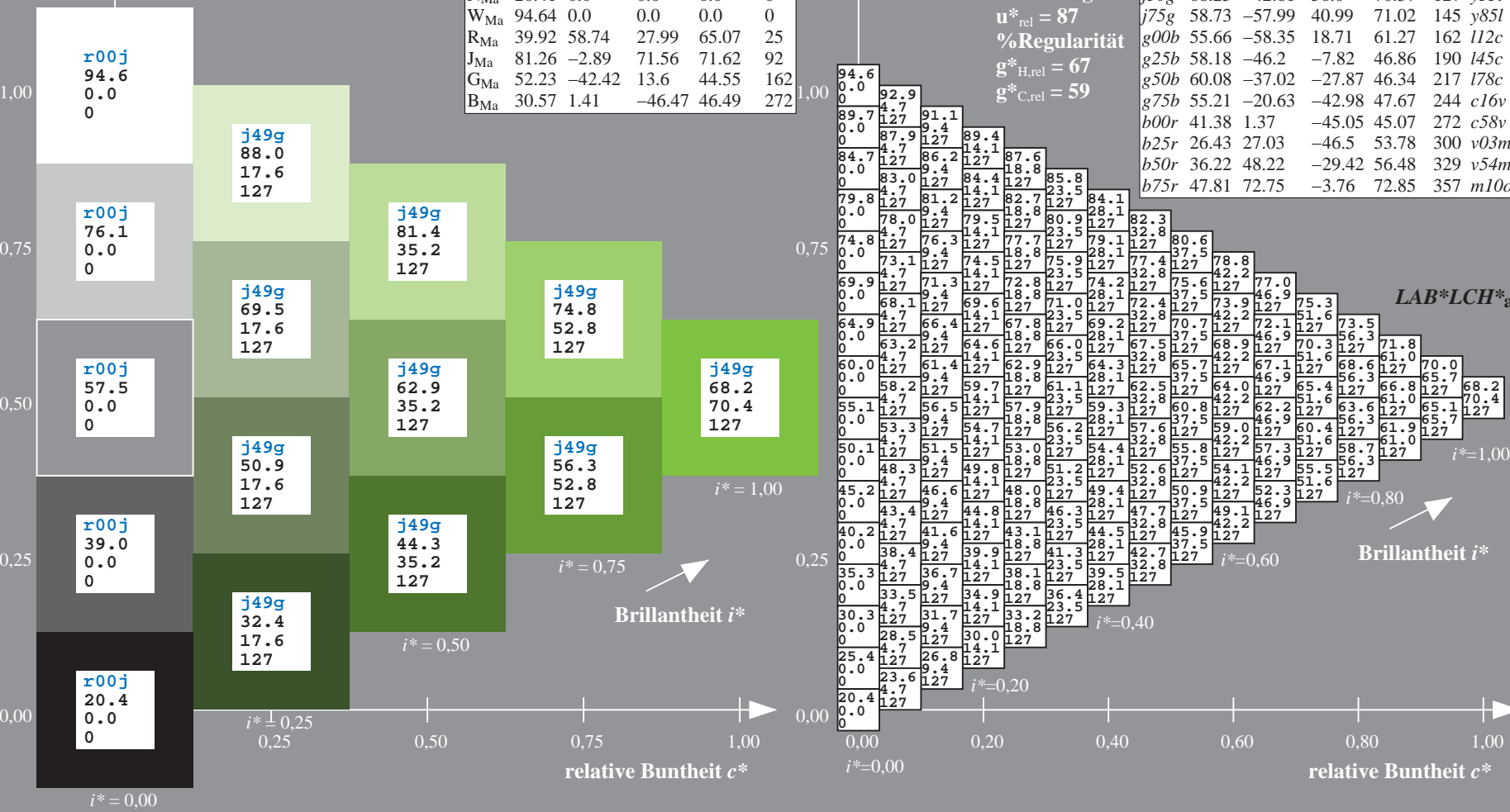
%Regularität

$g^*_{H,rel} = 67$

$g^*_{C,rel} = 59$

ORS20_95a; adaptierte CIELAB-Daten

	u^*_e	$L^*=L^*_a$	a^*_a	b^*_a	$C^*_{ab,a}$	$h^*_{ab,a}$	u^*_d
r00j	47.06	67.41	32.12	74.67	25	m84o	
r25j	53.95	53.38	48.38	72.04	42	o17y	
r50j	63.6	35.87	59.45	69.43	59	o42y	
r75j	73.37	18.14	70.66	72.95	76	o68y	
j00g	85.24	-3.4	84.28	84.35	92	o93y	
j25g	78.53	-25.99	72.23	76.76	110	y24l	
j50g	68.25	-42.61	56.0	70.37	127	y55l	
j75g	58.73	-57.99	40.99	71.02	145	y85l	
g00b	55.66	-58.35	18.71	61.27	162	l12c	
g25b	58.18	-46.2	-7.82	46.86	190	l45c	
g50b	60.08	-37.02	-27.87	46.34	217	l78c	
g75b	55.21	-20.63	-42.98	47.67	244	c16v	
b00r	41.38	1.37	-45.05	45.07	272	c58v	
b25r	26.43	27.03	-46.5	53.78	300	v03m	
b50r	36.22	48.22	-29.42	56.48	329	v54m	
b75r	47.81	72.75	-3.76	72.85	357	m10o	



BAM-Registrierung: 20081001-Eg39/10L/L39G00NA.PS/.TXT BAM-Material: Code=rh4ta
 Anwendung für Beurteilung und Messung von Drucker- oder Monitorssystemen

Ein und Ausgabe: Farbmetrisches Drucker-Reflektiv-System ORS20_95a für relativen CIELAB-Bunton $h^* = lab^*h^* = h_{ab}/360 = 0.402$

Daten für jede Farbe:

lab^*tch^* und lab^*icu^*

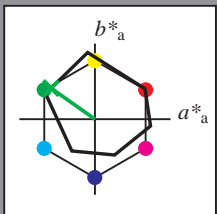
Buntontexte:

$u^*_e = j75g$ $u^*_d = y85l$

Kontrastreduzierungsfaktor:

$c_R = 1.0$

Dreiecks-Helligkeit i^*



ORS20_95a; adaptierte CIELAB-Daten

	u^*_e	$L^*=L^*_a$	a^*_a	b^*_a	$C^*_{ab,a}$	$h^*_{ab,a}$
O _{Ma}	46.89	66.19	40.28	77.48	31	
Y _{Ma}	88.66	-9.62	88.21	88.73	96	
L _{Ma}	54.22	-65.29	33.87	73.56	153	
C _{Ma}	61.43	-30.53	-42.04	51.96	234	
V _{Ma}	25.93	25.95	-47.37	54.01	299	
M _{Ma}	47.92	73.53	-9.02	74.08	353	
N _{Ma}	20.41	0.0	0.0	0.0	0	
W _{Ma}	94.64	0.0	0.0	0.0	0	
R _{Ma}	39.92	58.74	27.99	65.07	25	
J _{Ma}	81.26	-2.89	71.56	71.62	92	
G _{Ma}	52.23	-42.42	13.6	44.55	162	
B _{Ma}	30.57	1.41	-46.47	46.49	272	

Daten für Maximalfarbe (Ma):

$LAB^*LAB^*_Ma$: 59 -58 41

$LAB^*LCH^*_Ma$: 59 71 144

$lab^*rgb^*_Ma$: 0.25 1.0 0.0

$lab^*olv^*_Ma$: 0.14 1.0 0.0

Dreiecks-Helligkeit i^*

%Umfang

$u^*_{rel} = 87$

%Regularität

$g^*_{H,rel} = 67$

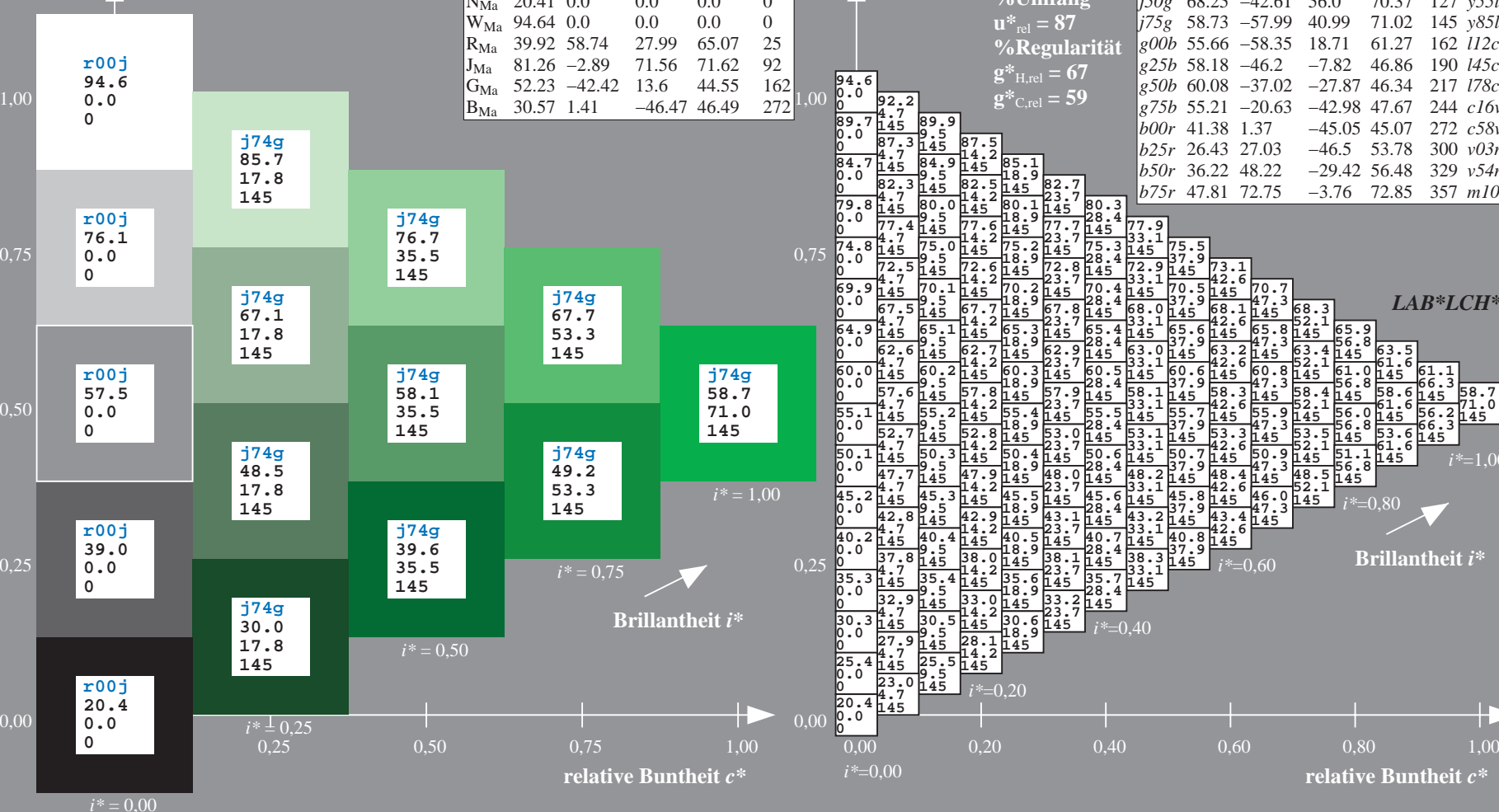
$g^*_{C,rel} = 59$

$u^*_e = j75g$

$LAB^*LCH^*_a$

ORS20_95a; adaptierte CIELAB-Daten

	u^*_e	$L^*=L^*_a$	a^*_a	b^*_a	$C^*_{ab,a}$	$h^*_{ab,a}$	u^*_d
r00j	47.06	67.41	32.12	74.67	25	m84o	
r25j	53.95	53.38	48.38	72.04	42	o17y	
r50j	63.6	35.87	59.45	69.43	59	o42y	
r75j	73.37	18.14	70.66	72.95	76	o68y	
j00g	85.24	-3.4	84.28	84.35	92	o93y	
j25g	78.53	-25.99	72.23	76.76	110	y24l	
j50g	68.25	-42.61	56.0	70.37	127	y51l	
j75g	58.73	-57.99	40.99	71.02	145	y85l	
g00b	55.66	-58.35	18.71	61.27	162	l12c	
g25b	58.18	-46.2	-7.82	46.86	190	l45c	
g50b	60.08	-37.02	-27.87	46.34	217	l78c	
g75b	55.21	-20.63	-42.98	47.67	244	c16v	
b00r	41.38	1.37	-45.05	45.07	272	c58v	
b25r	26.43	27.03	-46.5	53.78	300	v03m	
b50r	36.22	48.22	-29.42	56.48	329	v54m	
b75r	47.81	72.75	-3.76	72.85	357	m10o	



Siehe ähnliche Dateien: <http://www.ps.bam.de/Eg39/>; [www.ps.bam.de/Version 2.1, io=1,1, ColSpX=1](http://www.ps.bam.de/Version2.1,io=1,1,ColSpX=1)
 Technische Information: <http://www.ps.bam.de>

BAM-Registrierung: 20081001-Eg39/10L/L39G00NA.PS/.TXT BAM-Material: Code=rh4ta
 Anwendung für Beurteilung und Messung von Drucker- oder Monitorssystemen

Ein und Ausgabe: Farbmetrisches Drucker-Reflektiv-System ORS20_95a für relativen CIELAB-Bunnton $h^* = lab^*h^* = h_{ab}/360 = 0.451$

Daten für jede Farbe:

lab^*ch^* und lab^*icu^*

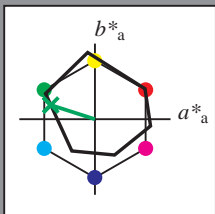
Bunntontexte:

$u^*_e = g00b$ $u^*_d = l12c$

Kontrastreduzierungsfaktor:

$c_R = 1.0$

Dreiecks-Helligkeit i^*



ORS20_95a; adaptierte CIELAB-Daten

	u^*_e	$L^*=L^*_a$	a^*_a	b^*_a	$C^*_{ab,a}$	$h^*_{ab,a}$
O _{Ma}	46.89	66.19	40.28	77.48	31	
Y _{Ma}	88.66	-9.62	88.21	88.73	96	
L _{Ma}	54.22	-65.29	33.87	73.56	153	
C _{Ma}	61.43	-30.53	-42.04	51.96	234	
V _{Ma}	25.93	25.95	-47.37	54.01	299	
M _{Ma}	47.92	73.53	-9.02	74.08	353	
N _{Ma}	20.41	0.0	0.0	0.0	0	
W _{Ma}	94.64	0.0	0.0	0.0	0	
R _{Ma}	39.92	58.74	27.99	65.07	25	
J _{Ma}	81.26	-2.89	71.56	71.62	92	
G _{Ma}	52.23	-42.42	13.6	44.55	162	
B _{Ma}	30.57	1.41	-46.47	46.49	272	

$u^*_e = g00b$
 $LAB^*LCH^*_a$

Daten für Maximalfarbe (Ma):

$LAB^*LAB^*_Ma: 56 -58 19$

$LAB^*LCH^*_Ma: 56 61 162$

$lab^*rgb^*_Ma: 0.0 1.0 0.0$

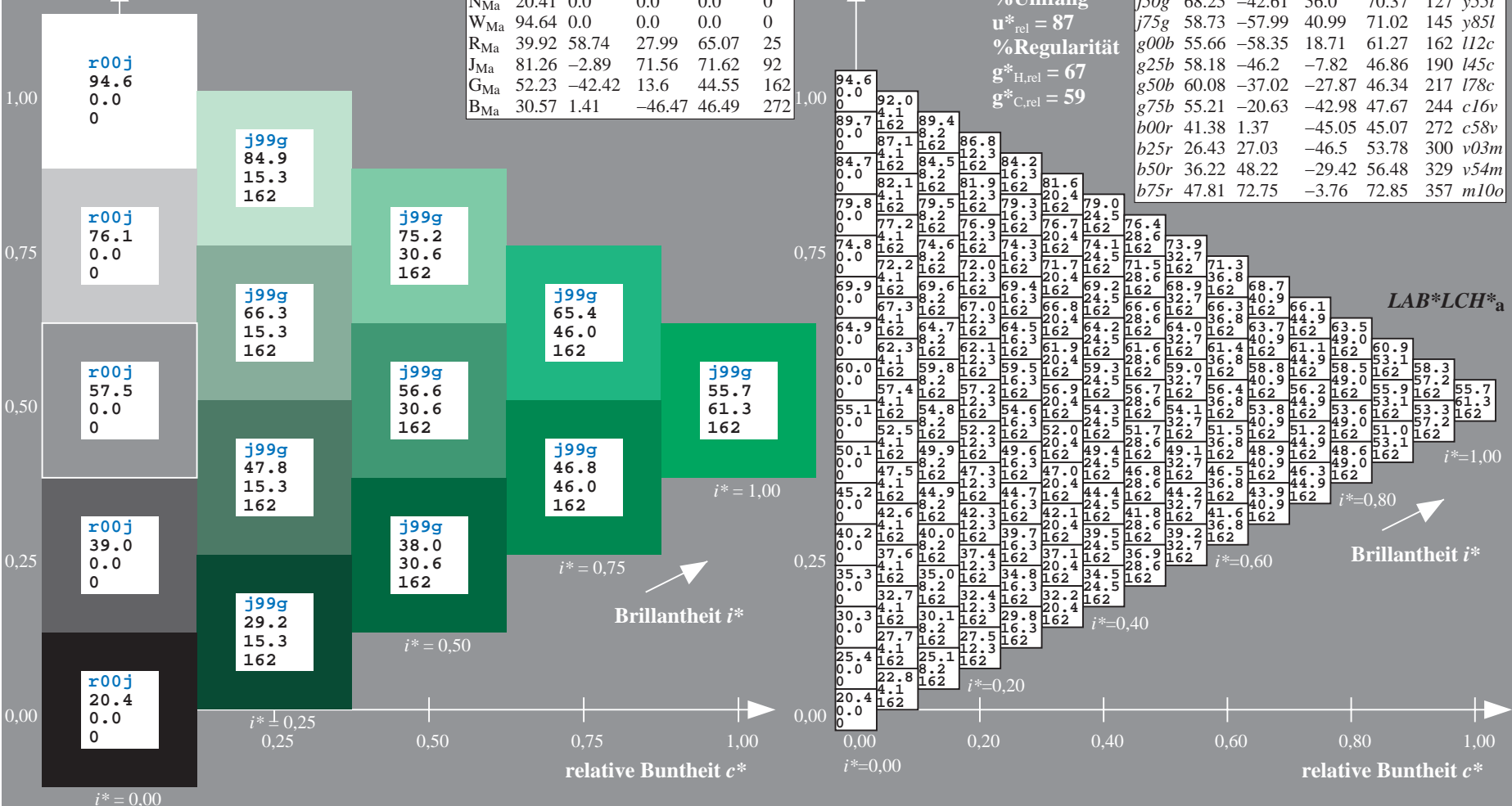
$lab^*olv^*_Ma: 0.0 1.0 0.12$

Dreiecks-Helligkeit i^*

%Umfang
 $u^*_{rel} = 87$
 %Regularität
 $g^*_{H,rel} = 67$
 $g^*_{C,rel} = 59$

ORS20_95a; adaptierte CIELAB-Daten

	u^*_e	$L^*=L^*_a$	a^*_a	b^*_a	$C^*_{ab,a}$	$h^*_{ab,a}$	u^*_d
r00j	47.06	67.41	32.12	74.67	25	m84o	
r25j	53.95	53.38	48.38	72.04	42	o17y	
r50j	63.6	35.87	59.45	69.43	59	o42y	
r75j	73.37	18.14	70.66	72.95	76	o68y	
j00g	85.24	-3.4	84.28	84.35	92	o93y	
j25g	78.53	-25.99	72.23	76.76	110	y24l	
j50g	68.25	-42.61	56.0	70.37	127	y51l	
j75g	58.73	-57.99	40.99	71.02	145	y85l	
g00b	55.66	-58.35	18.71	61.27	162	l12c	
g25b	58.18	-46.2	-7.82	46.86	190	l45c	
g50b	60.08	-37.02	-27.87	46.34	217	l78c	
g75b	55.21	-20.63	-42.98	47.67	244	c16c	
b00r	41.38	1.37	-45.05	45.07	272	c58v	
b25r	26.43	27.03	-46.5	53.78	300	v03m	
b50r	36.22	48.22	-29.42	56.48	329	v54m	
b75r	47.81	72.75	-3.76	72.85	357	m10o	



Ein und Ausgabe: Farbmatisches Drucker-Reflektiv-System ORS20_95a für relativen CIELAB-Buntton $h^* = lab^*h^* = h_{ab}/360 = 0.527$

Daten für jede Farbe:

lab^*tch^* und lab^*icu^*

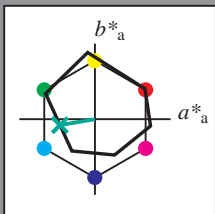
Bunttontexte:

$u^*_e = g25b$ $u^*_d = l45c$

Kontrastreduzierungsfaktor:

$c_R = 1.0$

Dreiecks-Helligkeit t^*



ORS20_95a; adaptierte CIELAB-Daten

	u^*_e	$L^*=L^*_a$	a^*_a	b^*_a	$C^*_{ab,a}$	$h^*_{ab,a}$
O _{Ma}	46.89	66.19	40.28	77.48	31	
Y _{Ma}	88.66	-9.62	88.21	88.73	96	
L _{Ma}	54.22	-65.29	33.87	73.56	153	
C _{Ma}	61.43	-30.53	-42.04	51.96	234	
V _{Ma}	25.93	25.95	-47.37	54.01	299	
M _{Ma}	47.92	73.53	-9.02	74.08	353	
N _{Ma}	20.41	0.0	0.0	0.0	0	
W _{Ma}	94.64	0.0	0.0	0.0	0	
R _{Ma}	39.92	58.74	27.99	65.07	25	
J _{Ma}	81.26	-2.89	71.56	71.62	92	
G _{Ma}	52.23	-42.42	13.6	44.55	162	
B _{Ma}	30.57	1.41	-46.47	46.49	272	

Daten für Maximalfarbe (Ma):

$LAB^*LAB^*_{Ma}$: 58 -46 -8

$LAB^*LCH^*_{Ma}$: 58 47 189

$lab^*rgb^*_{Ma}$: 0.0 1.0 0.5

$lab^*olv^*_{Ma}$: 0.0 1.0 0.45

Dreiecks-Helligkeit t^*

%Umfang

$u^*_{rel} = 87$

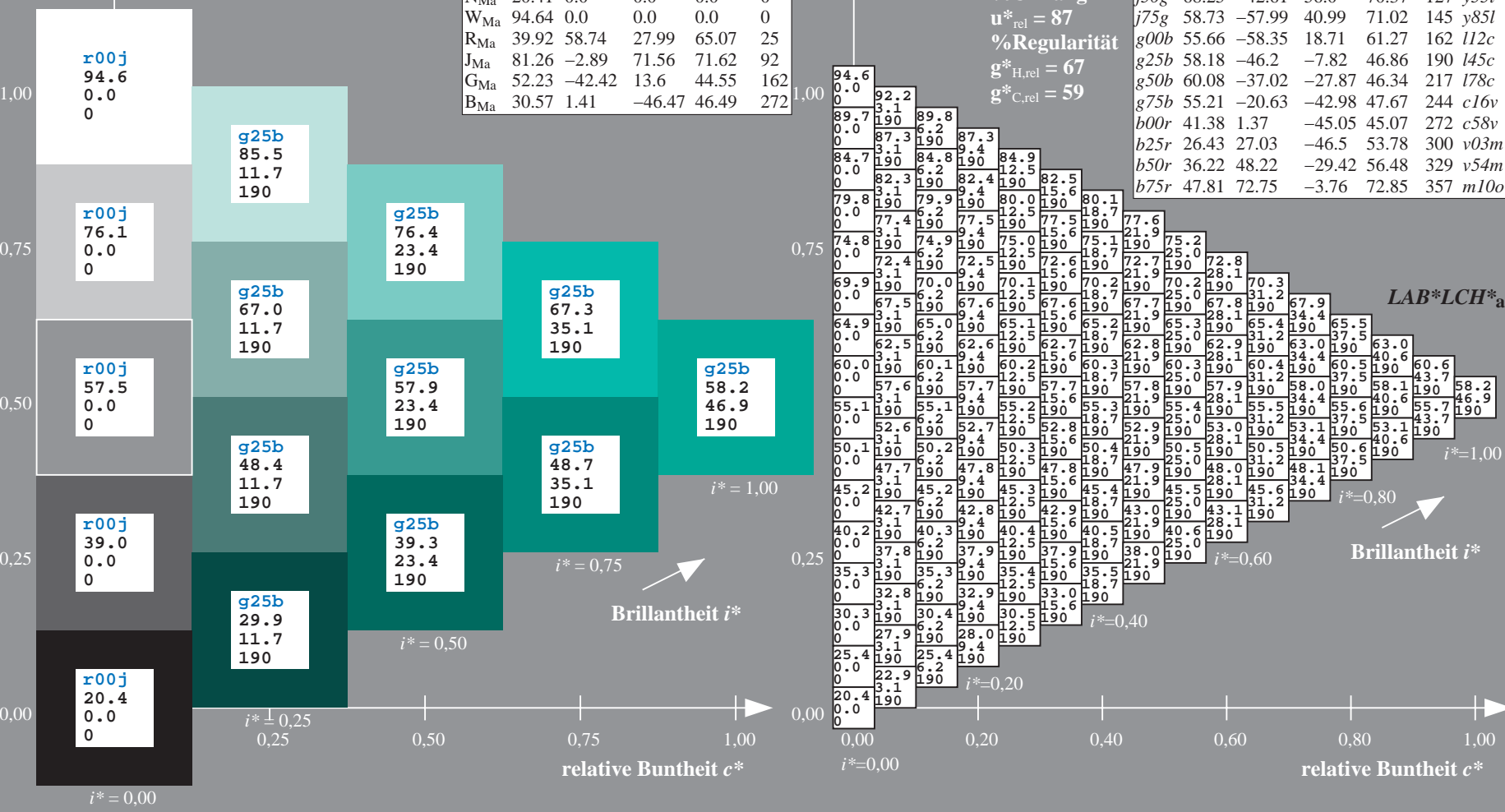
%Regularität

$g^*_{H,rel} = 67$

$g^*_{C,rel} = 59$

ORS20_95a; adaptierte CIELAB-Daten

	u^*_e	$L^*=L^*_a$	a^*_a	b^*_a	$C^*_{ab,a}$	$h^*_{ab,a}$	u^*_d
r00j	47.06	67.41	32.12	74.67	25	m84o	
r25j	53.95	53.38	48.38	72.04	42	o17y	
r50j	63.6	35.87	59.45	69.43	59	o42y	
r75j	73.37	18.14	70.66	72.95	76	o68y	
j00g	85.24	-3.4	84.28	84.35	92	o93y	
j25g	78.53	-25.99	72.23	76.76	110	y24l	
j50g	68.25	-42.61	56.0	70.37	127	y51l	
j75g	58.73	-57.99	40.99	71.02	145	y85l	
g00b	55.66	-58.35	18.71	61.27	162	l12c	
g25b	58.18	-46.2	-7.82	46.86	190	l45c	
g50b	60.08	-37.02	-27.87	46.34	217	l78c	
g75b	55.21	-20.63	-42.98	47.67	244	c16v	
b00r	41.38	1.37	-45.05	45.07	272	c58v	
b25r	26.43	27.03	-46.5	53.78	300	v03m	
b50r	36.22	48.22	-29.42	56.48	329	v54m	
b75r	47.81	72.75	-3.76	72.85	357	m10o	



Ein und Ausgabe: Farbmetrisches Drucker-Reflektiv-System ORS20_95a für relativen CIELAB-Buntton $h^* = lab^*h^* = h_{ab}/360 = 0.603$

Daten für jede Farbe:

lab^*tch^* und lab^*icu^*

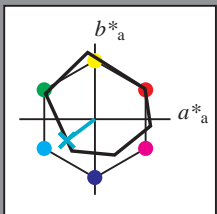
Bunttontexte:

$u^*_e = g50b$ $u^*_d = l78c$

Kontrastreduzierungsfaktor:

$c_R = 1.0$

Dreiecks-Helligkeit i^*



ORS20_95a; adaptierte CIELAB-Daten

	u^*_e	$L^*=L^*_a$	a^*_a	b^*_a	$C^*_{ab,a}$	$h^*_{ab,a}$
O _{Ma}	46.89	66.19	40.28	77.48	31	
Y _{Ma}	88.66	-9.62	88.21	88.73	96	
L _{Ma}	54.22	-65.29	33.87	73.56	153	
C _{Ma}	61.43	-30.53	-42.04	51.96	234	
V _{Ma}	25.93	25.95	-47.37	54.01	299	
M _{Ma}	47.92	73.53	-9.02	74.08	353	
N _{Ma}	20.41	0.0	0.0	0.0	0	
W _{Ma}	94.64	0.0	0.0	0.0	0	
R _{Ma}	39.92	58.74	27.99	65.07	25	
J _{Ma}	81.26	-2.89	71.56	71.62	92	
G _{Ma}	52.23	-42.42	13.6	44.55	162	
B _{Ma}	30.57	1.41	-46.47	46.49	272	

Daten für Maximalfarbe (Ma):

$LAB^*LAB^*_{Ma}$: 60 -37 -28

$LAB^*LCH^*_{Ma}$: 60 46 216

$lab^*rgb^*_{Ma}$: 0.0 1.0 1.0

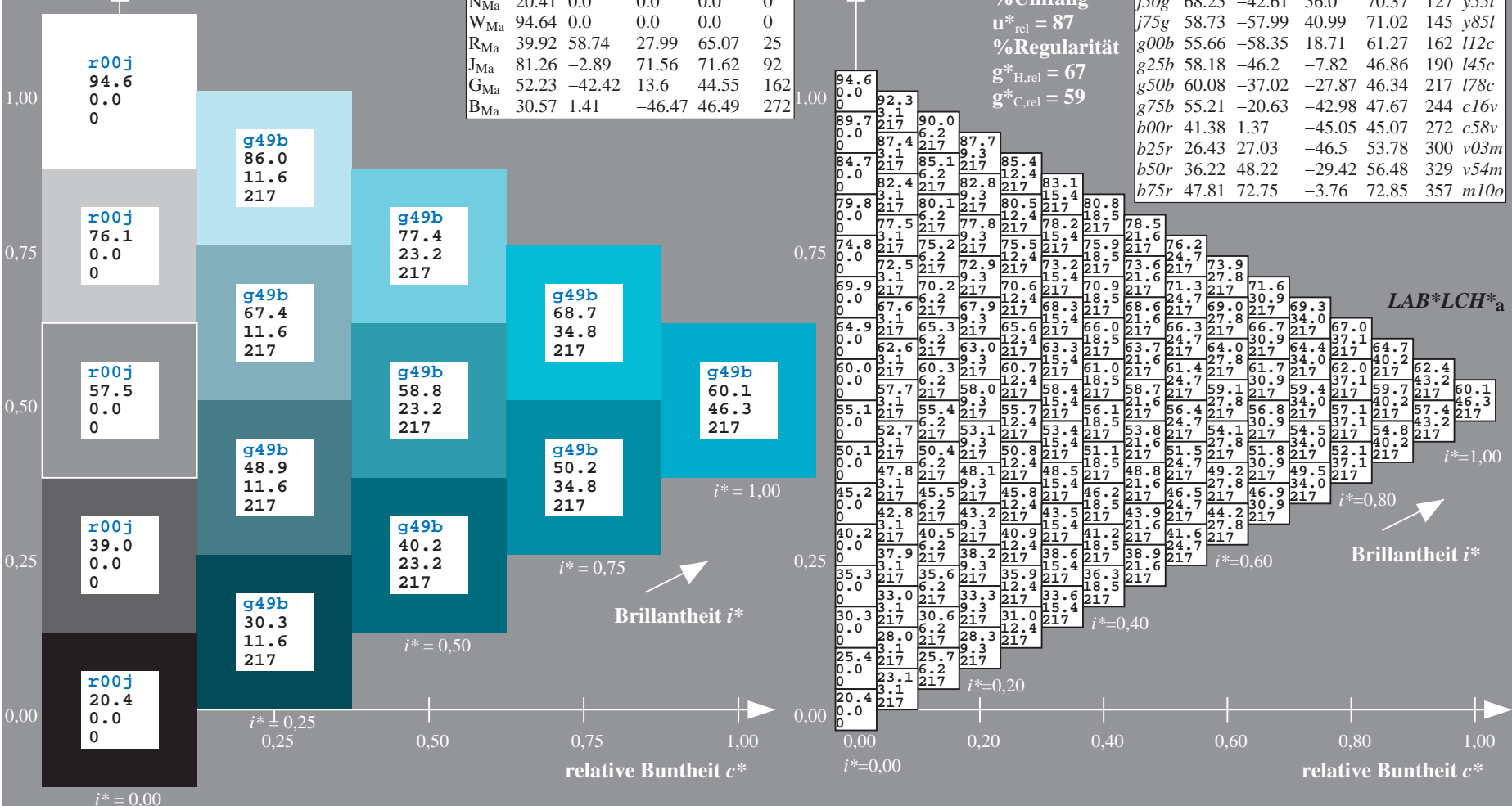
$lab^*olv^*_{Ma}$: 0.0 1.0 0.79

Dreiecks-Helligkeit i^*

%Umfang
 $u^*_{rel} = 87$
 %Regularität
 $g^*_{H,rel} = 67$
 $g^*_{C,rel} = 59$

ORS20_95a; adaptierte CIELAB-Daten

	u^*_e	$L^*=L^*_a$	a^*_a	b^*_a	$C^*_{ab,a}$	$h^*_{ab,a}$	u^*_d
r00j	47.06	67.41	32.12	74.67	25	m84o	
r25j	53.95	53.38	48.38	72.04	42	o17y	
r50j	63.6	35.87	59.45	69.43	59	o42y	
r75j	73.37	18.14	70.66	72.95	76	o68y	
j00g	85.24	-3.4	84.28	84.35	92	o93y	
j25g	78.53	-25.99	72.23	76.76	110	y24l	
j50g	68.25	-42.61	56.0	70.37	127	y51l	
j75g	58.73	-57.99	40.99	71.02	145	y85l	
g00b	55.66	-58.35	18.71	61.27	162	l12c	
g25b	58.18	-46.2	-7.82	46.86	190	l45c	
g50b	60.08	-37.02	-27.87	46.34	217	l78c	
g75b	55.21	-20.63	-42.98	47.67	244	c16v	
b00r	41.38	1.37	-45.05	45.07	272	c58v	
b25r	26.43	27.03	-46.5	53.78	300	v03m	
b50r	36.22	48.22	-29.42	56.48	329	v54m	
b75r	47.81	72.75	-3.76	72.85	357	m10o	



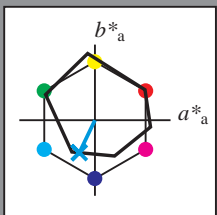
Ein und Ausgabe: Farbmetrisches Drucker-Reflektiv-System ORS20_95a für relativen CIELAB-Bunnton $h^* = lab^*h^* = h_{ab}/360 = 0.679$

Daten für jede Farbe:
 lab^*ch^* und lab^*icu^*

Bunntontexte:
 $u^*_e = g75b$ $u^*_d = c16v$

Kontrastreduzierungsfaktor:
 $c_R = 1.0$

Dreiecks-Helligkeit i^*



ORS20_95a; adaptierte CIELAB-Daten

	u^*_e	$L^*=L^*_a$	a^*_a	b^*_a	$C^*_{ab,a}$	$h^*_{ab,a}$
O _{Ma}	46.89	66.19	40.28	77.48	31	
Y _{Ma}	88.66	-9.62	88.21	88.73	96	
L _{Ma}	54.22	-65.29	33.87	73.56	153	
C _{Ma}	61.43	-30.53	-42.04	51.96	234	
V _{Ma}	25.93	25.95	-47.37	54.01	299	
M _{Ma}	47.92	73.53	-9.02	74.08	353	
N _{Ma}	20.41	0.0	0.0	0.0	0	
W _{Ma}	94.64	0.0	0.0	0.0	0	
R _{Ma}	39.92	58.74	27.99	65.07	25	
J _{Ma}	81.26	-2.89	71.56	71.62	92	
G _{Ma}	52.23	-42.42	13.6	44.55	162	
B _{Ma}	30.57	1.41	-46.47	46.49	272	

$u^*_e = g75b$
 $LAB^*LCH^*_a$

Daten für Maximalfarbe (Ma):

$LAB^*LAB^*_Ma: 55 -21 -43$

$LAB^*LCH^*_Ma: 55 48 244$

$lab^*rgb^*_Ma: 0.0 0.5 1.0$

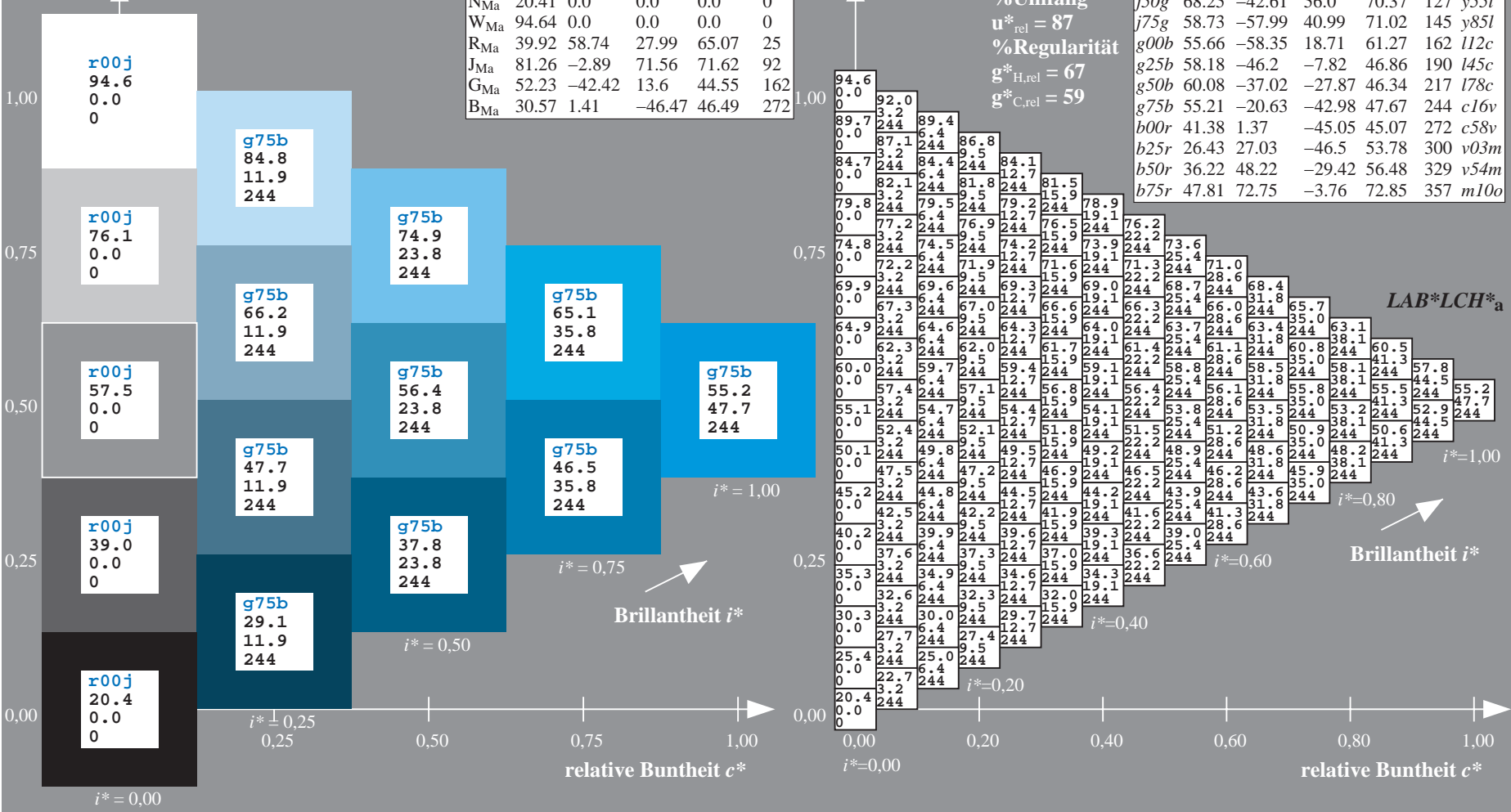
$lab^*olv^*_Ma: 0.0 0.84 1.0$

Dreiecks-Helligkeit i^*

%Umfang
 $u^*_{rel} = 87$
 %Regularität
 $g^*_{H,rel} = 67$
 $g^*_{C,rel} = 59$

ORS20_95a; adaptierte CIELAB-Daten

	u^*_e	$L^*=L^*_a$	a^*_a	b^*_a	$C^*_{ab,a}$	$h^*_{ab,a}$	u^*_d
r00j	47.06	67.41	32.12	74.67	25	m84o	
r25j	53.95	53.38	48.38	72.04	42	o17y	
r50j	63.6	35.87	59.45	69.43	59	o42y	
r75j	73.37	18.14	70.66	72.95	76	o68y	
j00g	85.24	-3.4	84.28	84.35	92	o93y	
j25g	78.53	-25.99	72.23	76.76	110	y24l	
j50g	68.25	-42.61	56.0	70.37	127	y51l	
j75g	58.73	-57.99	40.99	71.02	145	y85l	
g00b	55.66	-58.35	18.71	61.27	162	l12c	
g25b	58.18	-46.2	-7.82	46.86	190	l45c	
g50b	60.08	-37.02	-27.87	46.34	217	l78c	
g75b	55.21	-20.63	-42.98	47.67	244	c16v	
b00r	41.38	1.37	-45.05	45.07	272	c58v	
b25r	26.43	27.03	-46.5	53.78	300	v03m	
b50r	36.22	48.22	-29.42	56.48	329	v54m	
b75r	47.81	72.75	-3.76	72.85	357	m10o	



BAM-Registrierung: 20081001-Eg39/10L/L39G00NA.PS/.TXT BAM-Material: Code=rh4ta
 Anwendung für Beurteilung und Messung von Drucker- oder Monitorssystemen

Ein und Ausgabe: Farbmatisches Drucker-Reflektiv-System ORS20_95a für relativen CIELAB-Buntton $h^* = lab^*h^* = h_{ab}/360 = 0.755$

Daten für jede Farbe:

lab^*tch^* und lab^*icu^*

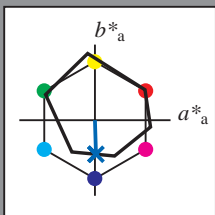
Bunttontexte:

$u^*_e = b00r$ $u^*_d = c58v$

Kontrastreduzierungsfaktor:

$c_R = 1.0$

Dreiecks-Helligkeit i^*



ORS20_95a; adaptierte CIELAB-Daten

	u^*_e	$L^*=L^*_a$	a^*_a	b^*_a	$C^*_{ab,a}$	$h^*_{ab,a}$
O _{Ma}	46.89	66.19	40.28	77.48	31	
Y _{Ma}	88.66	-9.62	88.21	88.73	96	
L _{Ma}	54.22	-65.29	33.87	73.56	153	
C _{Ma}	61.43	-30.53	-42.04	51.96	234	
V _{Ma}	25.93	25.95	-47.37	54.01	299	
M _{Ma}	47.92	73.53	-9.02	74.08	353	
N _{Ma}	20.41	0.0	0.0	0.0	0	
W _{Ma}	94.64	0.0	0.0	0.0	0	
R _{Ma}	39.92	58.74	27.99	65.07	25	
J _{Ma}	81.26	-2.89	71.56	71.62	92	
G _{Ma}	52.23	-42.42	13.6	44.55	162	
B _{Ma}	30.57	1.41	-46.47	46.49	272	

Daten für Maximalfarbe (Ma):

$LAB^*LAB^*_{Ma}$: 41 1 -45

$LAB^*LCH^*_{Ma}$: 41 45 271

$lab^*rgb^*_{Ma}$: 0.0 0.0 1.0

$lab^*olv^*_{Ma}$: 0.0 0.42 1.0

Dreiecks-Helligkeit i^*

%Umfang

$u^*_{rel} = 87$

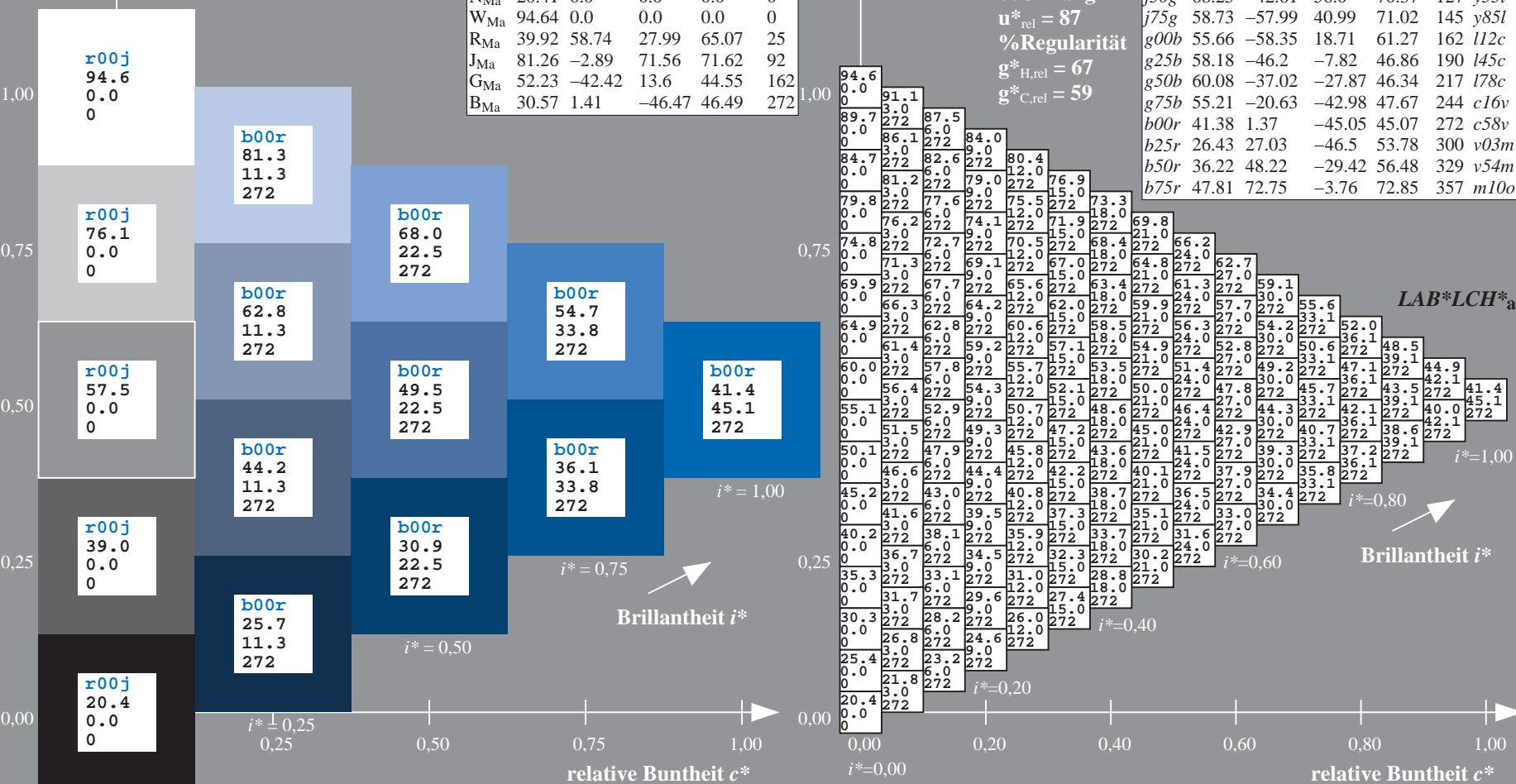
%Regularität

$g^*_{H,rel} = 67$

$g^*_{C,rel} = 59$

ORS20_95a; adaptierte CIELAB-Daten

	u^*_e	$L^*=L^*_a$	a^*_a	b^*_a	$C^*_{ab,a}$	$h^*_{ab,a}$	u^*_d
r00j	47.06	67.41	32.12	74.67	25	m84o	
r25j	53.95	53.38	48.38	72.04	42	o17y	
r50j	63.6	35.87	59.45	69.43	59	o42y	
r75j	73.37	18.14	70.66	72.95	76	o68y	
j00g	85.24	-3.4	84.28	84.35	92	o93y	
j25g	78.53	-25.99	72.23	76.76	110	y24l	
j50g	68.25	-42.61	56.0	70.37	127	y51l	
j75g	58.73	-57.99	40.99	71.02	145	y85l	
g00b	55.66	-58.35	18.71	61.27	162	l12c	
g25b	58.18	-46.2	-7.82	46.86	190	l45c	
g50b	60.08	-37.02	-27.87	46.34	217	l78c	
g75b	55.21	-20.63	-42.98	47.67	244	c16v	
b00r	41.38	1.37	-45.05	45.07	272	c58v	
b25r	26.43	27.03	-46.5	53.78	300	v03m	
b50r	36.22	48.22	-29.42	56.48	329	v54m	
b75r	47.81	72.75	-3.76	72.85	357	m10o	



BAM-Registrierung: 20081001-Eg39/10L/L39G00NA.PS/.TXT BAM-Material: Code=rh4ta
 Anwendung für Beurteilung und Messung von Drucker- oder Monitorssystemen

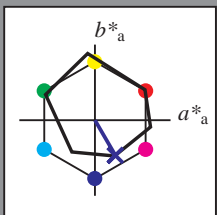
Ein und Ausgabe: Farbmetrisches Drucker-Reflektiv-System ORS20_95a für relativen CIELAB-Bunton $h^* = lab^*h^* = h_{ab}/360 = 0.834$

Daten für jede Farbe:
 lab^*ch^* und lab^*icu^*

Buntontexte:
 $u^*_e = b25r$ $u^*_d = v03m$

Kontrastreduzierungsfaktor:
 $c_R = 1.0$

Dreiecks-Helligkeit i^*



ORS20_95a; adaptierte CIELAB-Daten

	u^*_e	$L^*=L^*_a$	a^*_a	b^*_a	$C^*_{ab,a}$	$h^*_{ab,a}$
O _{Ma}	46.89	66.19	40.28	77.48	31	
Y _{Ma}	88.66	-9.62	88.21	88.73	96	
L _{Ma}	54.22	-65.29	33.87	73.56	153	
C _{Ma}	61.43	-30.53	-42.04	51.96	234	
V _{Ma}	25.93	25.95	-47.37	54.01	299	
M _{Ma}	47.92	73.53	-9.02	74.08	353	
N _{Ma}	20.41	0.0	0.0	0.0	0	
W _{Ma}	94.64	0.0	0.0	0.0	0	
R _{Ma}	39.92	58.74	27.99	65.07	25	
J _{Ma}	81.26	-2.89	71.56	71.62	92	
G _{Ma}	52.23	-42.42	13.6	44.55	162	
B _{Ma}	30.57	1.41	-46.47	46.49	272	

Daten für Maximalfarbe (Ma):

$LAB^*LAB^*_Ma$: 26 27 -46

$LAB^*LCH^*_Ma$: 26 54 300

$lab^*rgb^*_Ma$: 0.5 0.0 1.0

$lab^*olv^*_Ma$: 0.03 0.0 1.0

Dreiecks-Helligkeit i^*

%Umfang

$u^*_{rel} = 87$

%Regularität

$g^*_{H,rel} = 67$

$g^*_{C,rel} = 59$

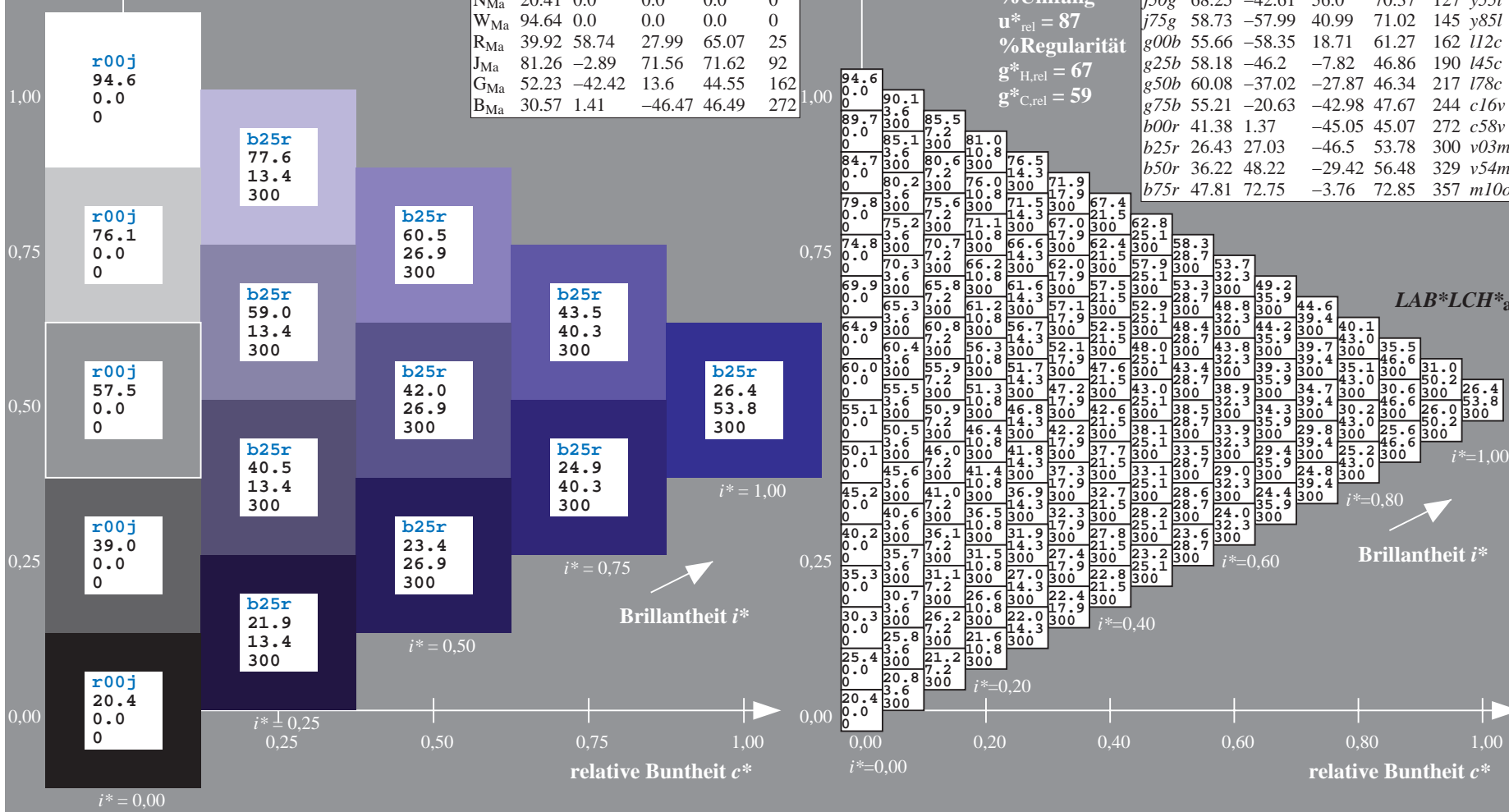
ORS20_95a; adaptierte CIELAB-Daten

	u^*_e	$L^*=L^*_a$	a^*_a	b^*_a	$C^*_{ab,a}$	$h^*_{ab,a}$	u^*_d
r00j	47.06	67.41	32.12	74.67	25	m84o	
r25j	53.95	53.38	48.38	72.04	42	o17y	
r50j	63.6	35.87	59.45	69.43	59	o42y	
r75j	73.37	18.14	70.66	72.95	76	o68y	
j00g	85.24	-3.4	84.28	84.35	92	o93y	
j25g	78.53	-25.99	72.23	76.76	110	y24l	
j50g	68.25	-42.61	56.0	70.37	127	y51l	
j75g	58.73	-57.99	40.99	71.02	145	y85l	
g00b	55.66	-58.35	18.71	61.27	162	l12c	
g25b	58.18	-46.2	-7.82	46.86	190	l45c	
g50b	60.08	-37.02	-27.87	46.34	217	l78c	
g75b	55.21	-20.63	-42.98	47.67	244	c16v	
b00r	41.38	1.37	-45.05	45.07	272	c58v	
b25r	26.43	27.03	-46.5	53.78	300	v03m	
b50r	36.22	48.22	-29.42	56.48	329	v54m	
b75r	47.81	72.75	-3.76	72.85	357	m10o	

$u^*_e = b25r$
 $LAB^*LCH^*_a$

Siehe ähnliche Dateien: <http://www.ps.bam.de/Eg39/>; [www.ps.bam.de/Version 2.1, io=1,1, Colspx=1](http://www.ps.bam.de/Version2.1,io=1,1,Colspx=1)
 Technische Information: <http://www.ps.bam.de>

BAM-Registrierung: 20081001-Eg39/10L/L39G00NA.PS/.TXT BAM-Material: Code=rh4ta
 Anwendung für Beurteilung und Messung von Drucker- oder Monitorssystemen



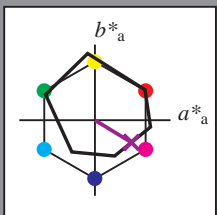
Ein und Ausgabe: Farbmetrisches Drucker-Reflektiv-System ORS20_95a für relativen CIELAB-Buntton $h^* = lab^*h^* = h_{ab}/360 = 0.913$

Daten für jede Farbe:
 lab^*ch^* und lab^*icu^*

Bunttontexte:
 $u^*_e = b50r$ $u^*_d = v54m$

Kontrastreduzierungsfaktor:
 $c_R = 1.0$

Dreiecks-Helligkeit i^*



ORS20_95a; adaptierte CIELAB-Daten

	u^*_e	$L^*=L^*_a$	a^*_a	b^*_a	$C^*_{ab,a}$	$h^*_{ab,a}$
O _{Ma}	46.89	66.19	40.28	77.48	31	
Y _{Ma}	88.66	-9.62	88.21	88.73	96	
L _{Ma}	54.22	-65.29	33.87	73.56	153	
C _{Ma}	61.43	-30.53	-42.04	51.96	234	
V _{Ma}	25.93	25.95	-47.37	54.01	299	
M _{Ma}	47.92	73.53	-9.02	74.08	353	
N _{Ma}	20.41	0.0	0.0	0.0	0	
W _{Ma}	94.64	0.0	0.0	0.0	0	
R _{Ma}	39.92	58.74	27.99	65.07	25	
J _{Ma}	81.26	-2.89	71.56	71.62	92	
G _{Ma}	52.23	-42.42	13.6	44.55	162	
B _{Ma}	30.57	1.41	-46.47	46.49	272	

Daten für Maximalfarbe (Ma):

$LAB^*LAB^*_{Ma}$: 36 48 -29

$LAB^*LCH^*_{Ma}$: 36 56 328

$lab^*rgb^*_{Ma}$: 1.0 0.0 1.0

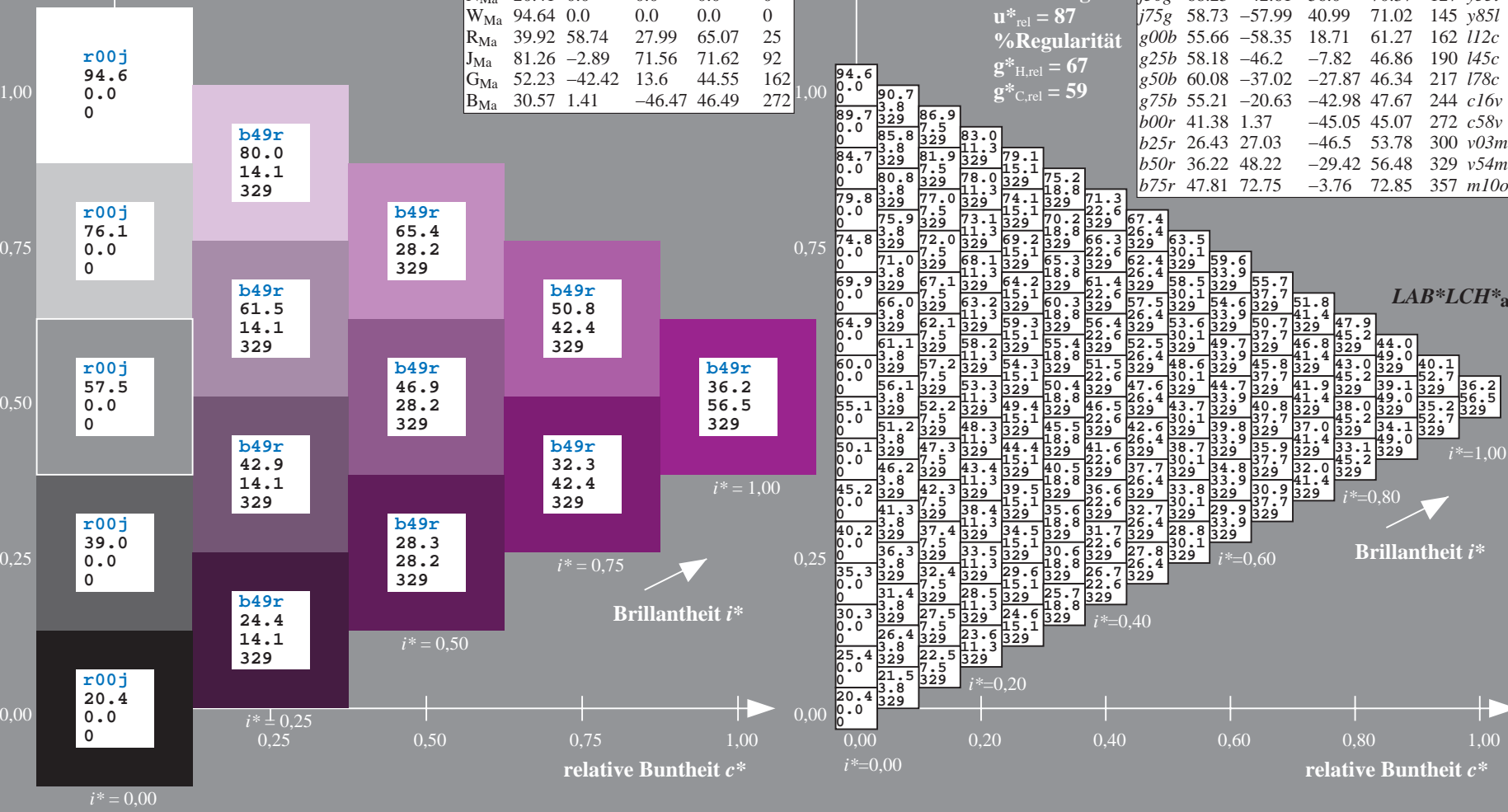
$lab^*olv^*_{Ma}$: 0.55 0.0 1.0

Dreiecks-Helligkeit i^*

%Umfang
 $u^*_{rel} = 87$
 %Regularität
 $g^*_{H,rel} = 67$
 $g^*_{C,rel} = 59$

ORS20_95a; adaptierte CIELAB-Daten

	u^*_e	$L^*=L^*_a$	a^*_a	b^*_a	$C^*_{ab,a}$	$h^*_{ab,a}$	u^*_d
r00j	47.06	67.41	32.12	74.67	25	m84o	
r25j	53.95	53.38	48.38	72.04	42	o17y	
r50j	63.6	35.87	59.45	69.43	59	o42y	
r75j	73.37	18.14	70.66	72.95	76	o68y	
j00g	85.24	-3.4	84.28	84.35	92	o93y	
j25g	78.53	-25.99	72.23	76.76	110	y24l	
j50g	68.25	-42.61	56.0	70.37	127	y51l	
j75g	58.73	-57.99	40.99	71.02	145	y85l	
g00b	55.66	-58.35	18.71	61.27	162	l12c	
g25b	58.18	-46.2	-7.82	46.86	190	l45c	
g50b	60.08	-37.02	-27.87	46.34	217	l78c	
g75b	55.21	-20.63	-42.98	47.67	244	c16v	
b00r	41.38	1.37	-45.05	45.07	272	c58v	
b25r	26.43	27.03	-46.5	53.78	300	v03m	
b50r	36.22	48.22	-29.42	56.48	329	v54m	
b75r	47.81	72.75	-3.76	72.85	357	m10o	

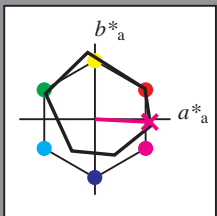


BAM-Registrierung: 20081001-Eg39/10L/L39G00NA.PS/.TXT BAM-Material: Code=rh4ta
 Anwendung für Beurteilung und Messung von Drucker- oder Monitorssystemen

Ein und Ausgabe: Farbmetrisches Drucker-Reflektiv-System ORS20_95a für relativen CIELAB-Bunton $h^* = lab^*h^* = h_{ab}/360 = 0.992$

Daten für jede Farbe:
 lab^*ch^* und lab^*icu^*

Buntontexte:
 $u^*_e = b75r$ $u^*_d = m10o$
 Kontrastreduzierungsfaktor:
 $c_R = 1.0$
 Dreiecks-Helligkeit i^*



ORS20_95a; adaptierte CIELAB-Daten

	u^*_e	$L^*=L^*_a$	a^*_a	b^*_a	$C^*_{ab,a}$	$h^*_{ab,a}$
O _{Ma}	46.89	66.19	40.28	77.48	31	
Y _{Ma}	88.66	-9.62	88.21	88.73	96	
L _{Ma}	54.22	-65.29	33.87	73.56	153	
C _{Ma}	61.43	-30.53	-42.04	51.96	234	
V _{Ma}	25.93	25.95	-47.37	54.01	299	
M _{Ma}	47.92	73.53	-9.02	74.08	353	
N _{Ma}	20.41	0.0	0.0	0.0	0	
W _{Ma}	94.64	0.0	0.0	0.0	0	
R _{Ma}	39.92	58.74	27.99	65.07	25	
J _{Ma}	81.26	-2.89	71.56	71.62	92	
G _{Ma}	52.23	-42.42	13.6	44.55	162	
B _{Ma}	30.57	1.41	-46.47	46.49	272	

$u^*_e = b75r$
 $LAB^*LCH^*_a$

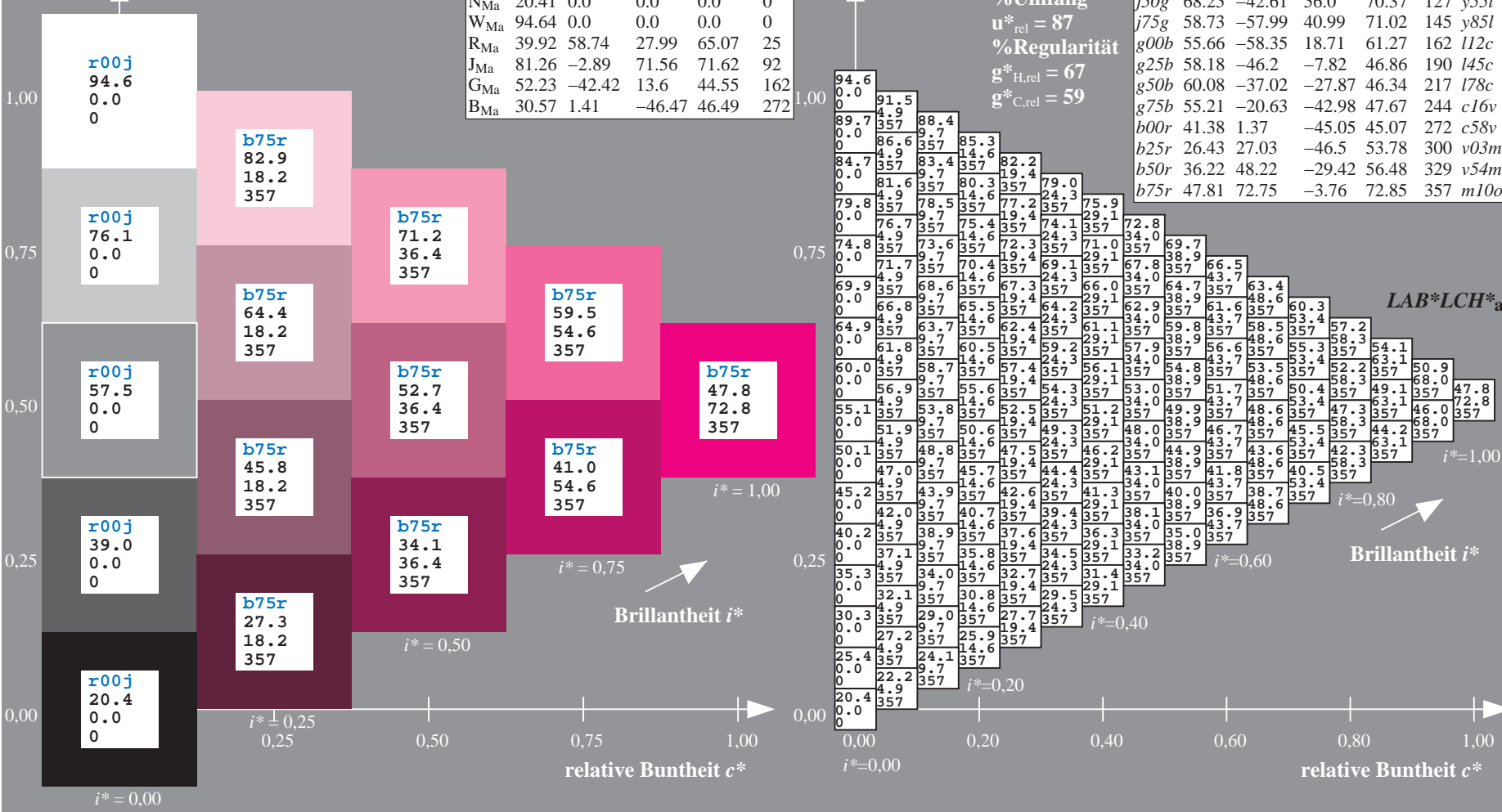
Daten für Maximalfarbe (Ma):

$LAB^*LAB^*_Ma$: 48 73 -4
 $LAB^*LCH^*_Ma$: 48 73 357
 $lab^*rgb^*_Ma$: 1.0 0.0 0.5
 $lab^*olv^*_Ma$: 1.0 0.0 0.89

ORS20_95a; adaptierte CIELAB-Daten

	u^*_e	$L^*=L^*_a$	a^*_a	b^*_a	$C^*_{ab,a}$	$h^*_{ab,a}$	u^*_d
r00j	47.06	67.41	32.12	74.67	25	m84o	
r25j	53.95	53.38	48.38	72.04	42	o17y	
r50j	63.6	35.87	59.45	69.43	59	o42y	
r75j	73.37	18.14	70.66	72.95	76	o68y	
j00g	85.24	-3.4	84.28	84.35	92	o93y	
j25g	78.53	-25.99	72.23	76.76	110	y24l	
j50g	68.25	-42.61	56.0	70.37	127	y51l	
j75g	58.73	-57.99	40.99	71.02	145	y85l	
g00b	55.66	-58.35	18.71	61.27	162	l12c	
g25b	58.18	-46.2	-7.82	46.86	190	l45c	
g50b	60.08	-37.02	-27.87	46.34	217	l78c	
g75b	55.21	-20.63	-42.98	47.67	244	c16c	
b00r	41.38	1.37	-45.05	45.07	272	c58v	
b25r	26.43	27.03	-46.5	53.78	300	v03m	
b50r	36.22	48.22	-29.42	56.48	329	v54m	
b75r	47.81	72.75	-3.76	72.85	357	m10o	

Dreiecks-Helligkeit i^*
 %Umfang
 $u^*_{rel} = 87$
 %Regularität
 $g^*_{H,rel} = 67$
 $g^*_{C,rel} = 59$



Siehe ähnliche Dateien: <http://www.ps.bam.de/Eg39/>; www.ps.bam.de/Eg39/HTM
 Technische Information: <http://www.ps.bam.de> Version 2.1, io=1,1, ColSpx=1

BAM-Registrierung: 20081001-Eg39/10L/L39G00NA.PS/.TXT BAM-Material: Code=rh4ta
 Anwendung für Beurteilung und Messung von Drucker- oder Monitorssystemen

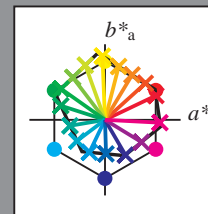
Siehe ähnliche Dateien: <http://www.ps.bam.de/Eg39/>; www.ps.bam.de/Eg39/
Technische Information: <http://www.ps.bam.de/Version2.1,io=1,1,ColsPx=1>

BAM-Registrierung: 20081001-Eg39/10L/L39G00NA.PS/.TXT BAM-Material: Code=thata
Anwendung für Beurteilung und Messung von Drucker- oder Monitorsystemen

	A	B	C	D	E	F	G	H	I	J	K	L	M	N	O	P	Q	R	S	T	U	V	W	X	Y	Z	a	b	c	d	e	f	g	h	i	j	k	LAB*LCH*																																																																																																																																																																																																																																																																																																																																																																																																																																																																																																																																																																																																																																																																																																																																																																																																																																																																																																																																																																																																																																																																																																	
01	20.0	24.6	28.9	33.1	37.3	41.5	45.8	50.0	54.2	58.4	62.6	66.8	71.0	75.2	79.4	83.6	87.8	92.0	96.2	100.4	104.6	108.8	113.0	117.2	121.4	125.6	129.8	134.0	138.2	142.4	146.6	150.8	155.0	159.2	163.4	167.6	171.8	176.0	180.2	184.4	188.6	192.8	197.0	201.2	205.4	209.6	213.8	218.0	222.2	226.4	230.6	234.8	239.0	243.2	247.4	251.6	255.8	260.0	264.2	268.4	272.6	276.8	281.0	285.2	289.4	293.6	297.8	302.0	306.2	310.4	314.6	318.8	323.0	327.2	331.4	335.6	339.8	344.0	348.2	352.4	356.6	360.8	365.0	369.2	373.4	377.6	381.8	386.0	390.2	394.4	398.6	402.8	407.0	411.2	415.4	419.6	423.8	428.0	432.2	436.4	440.6	444.8	449.0	453.2	457.4	461.6	465.8	470.0	474.2	478.4	482.6	486.8	491.0	495.2	499.4	503.6	507.8	512.0	516.2	520.4	524.6	528.8	533.0	537.2	541.4	545.6	549.8	554.0	558.2	562.4	566.6	570.8	575.0	579.2	583.4	587.6	591.8	596.0	600.2	604.4	608.6	612.8	617.0	621.2	625.4	629.6	633.8	638.0	642.2	646.4	650.6	654.8	659.0	663.2	667.4	671.6	675.8	680.0	684.2	688.4	692.6	696.8	701.0	705.2	709.4	713.6	717.8	722.0	726.2	730.4	734.6	738.8	743.0	747.2	751.4	755.6	759.8	764.0	768.2	772.4	776.6	780.8	785.0	789.2	793.4	797.6	801.8	806.0	810.2	814.4	818.6	822.8	827.0	831.2	835.4	839.6	843.8	848.0	852.2	856.4	860.6	864.8	869.0	873.2	877.4	881.6	885.8	890.0	894.2	898.4	902.6	906.8	911.0	915.2	919.4	923.6	927.8	932.0	936.2	940.4	944.6	948.8	953.0	957.2	961.4	965.6	969.8	974.0	978.2	982.4	986.6	990.8	995.0	999.2	1003.4	1007.6	1011.8	1016.0	1020.2	1024.4	1028.6	1032.8	1037.0	1041.2	1045.4	1049.6	1053.8	1058.0	1062.2	1066.4	1070.6	1074.8	1079.0	1083.2	1087.4	1091.6	1095.8	1100.0	1104.2	1108.4	1112.6	1116.8	1121.0	1125.2	1129.4	1133.6	1137.8	1142.0	1146.2	1150.4	1154.6	1158.8	1163.0	1167.2	1171.4	1175.6	1179.8	1184.0	1188.2	1192.4	1196.6	1200.8	1205.0	1209.2	1213.4	1217.6	1221.8	1226.0	1230.2	1234.4	1238.6	1242.8	1247.0	1251.2	1255.4	1259.6	1263.8	1268.0	1272.2	1276.4	1280.6	1284.8	1289.0	1293.2	1297.4	1301.6	1305.8	1310.0	1314.2	1318.4	1322.6	1326.8	1331.0	1335.2	1339.4	1343.6	1347.8	1352.0	1356.2	1360.4	1364.6	1368.8	1373.0	1377.2	1381.4	1385.6	1389.8	1394.0	1398.2	1402.4	1406.6	1410.8	1415.0	1419.2	1423.4	1427.6	1431.8	1436.0	1440.2	1444.4	1448.6	1452.8	1457.0	1461.2	1465.4	1469.6	1473.8	1478.0	1482.2	1486.4	1490.6	1494.8	1499.0	1503.2	1507.4	1511.6	1515.8	1520.0	1524.2	1528.4	1532.6	1536.8	1541.0	1545.2	1549.4	1553.6	1557.8	1562.0	1566.2	1570.4	1574.6	1578.8	1583.0	1587.2	1591.4	1595.6	1600.0	1604.2	1608.4	1612.6	1616.8	1621.0	1625.2	1629.4	1633.6	1637.8	1642.0	1646.2	1650.4	1654.6	1658.8	1663.0	1667.2	1671.4	1675.6	1679.8	1684.0	1688.2	1692.4	1696.6	1700.8	1705.0	1709.2	1713.4	1717.6	1721.8	1726.0	1730.2	1734.4	1738.6	1742.8	1747.0	1751.2	1755.4	1759.6	1763.8	1768.0	1772.2	1776.4	1780.6	1784.8	1789.0	1793.2	1797.4	1801.6	1805.8	1810.0	1814.2	1818.4	1822.6	1826.8	1831.0	1835.2	1839.4	1843.6	1847.8	1852.0	1856.2	1860.4	1864.6	1868.8	1873.0	1877.2	1881.4	1885.6	1889.8	1894.0	1898.2	1902.4	1906.6	1910.8	1915.0	1919.2	1923.4	1927.6	1931.8	1936.0	1940.2	1944.4	1948.6	1952.8	1957.0	1961.2	1965.4	1969.6	1973.8	1978.0	1982.2	1986.4	1990.6	1994.8	1999.0	2003.2	2007.4	2011.6	2015.8	2020.0	2024.2	2028.4	2032.6	2036.8	2041.0	2045.2	2049.4	2053.6	2057.8	2062.0	2066.2	2070.4	2074.6	2078.8	2083.0	2087.2	2091.4	2095.6	2100.0	2104.2	2108.4	2112.6	2116.8	2121.0	2125.2	2129.4	2133.6	2137.8	2142.0	2146.2	2150.4	2154.6	2158.8	2163.0	2167.2	2171.4	2175.6	2179.8	2184.0	2188.2	2192.4	2196.6	2200.8	2205.0	2209.2	2213.4	2217.6	2221.8	2226.0	2230.2	2234.4	2238.6	2242.8	2247.0	2251.2	2255.4	2259.6	2263.8	2268.0	2272.2	2276.4	2280.6	2284.8	2289.0	2293.2	2297.4	2301.6	2305.8	2310.0	2314.2	2318.4	2322.6	2326.8	2331.0	2335.2	2339.4	2343.6	2347.8	2352.0	2356.2	2360.4	2364.6	2368.8	2373.0	2377.2	2381.4	2385.6	2389.8	2394.0	2398.2	2402.4	2406.6	2410.8	2415.0	2419.2	2423.4	2427.6	2431.8	2436.0	2440.2	2444.4	2448.6	2452.8	2457.0	2461.2	2465.4	2469.6	2473.8	2478.0	2482.2	2486.4	2490.6	2494.8	2499.0	2503.2	2507.4	2511.6	2515.8	2520.0	2524.2	2528.4	2532.6	2536.8	2541.0	2545.2	2549.4	2553.6	2557.8	2562.0	2566.2	2570.4	2574.6	2578.8	2583.0	2587.2	2591.4	2595.6	2600.0	2604.2	2608.4	2612.6	2616.8	2621.0	2625.2	2629.4	2633.6	2637.8	2642.0	2646.2	2650.4	2654.6	2658.8	2663.0	2667.2	2671.4	2675.6	2679.8	2684.0	2688.2	2692.4	2696.6	2700.8	2705.0	2709.2	2713.4	2717.6	2721.8	2726.0	2730.2	2734.4	2738.6	2742.8	2747.0	2751.2	2755.4	2759.6	2763.8	2768.0	2772.2	2776.4	2780.6	2784.8	2789.0	2793.2	2797.4	2801.6	2805.8	2810.0	2814.2	2818.4	2822.6	2826.8	2831.0	2835.2	2839.4	2843.6	2847.8	2852.0	2856.2	2860.4	2864.6	2868.8	2873.0	2877.2	2881.4	2885.6	2889.8	2894.0	2898.2	2902.4	2906.6	2910.8	2915.0	2919.2	2923.4	2927.6	2931.8	2936.0	2940.2	2944.4	2948.6	2952.8	2957.0	2961.2	2965.4	2969.6	2973.8	2978.0	2982.2	2986.4	2990.6	2994.8	2999.0	3003.2	3007.4	3011.6	3015.8	3020.0	3024.2	3028.4	3032.6	3036.8	3041.0	3045.2	3049.4	3053.6	3057.8	3062.0	3066.2	3070.4	3074.6	3078.8	3083.0	3087.2	3091.4	3095.6	3100.0	3104.2	3108.4	3112.6	3116.8	3121.0	3125.2	3129.4	3133.6	3137.8	3142.0	3146.2	3150.4	3154.6	3158.8	3163.0	3167.2	3171.4	3175.6	3179.8	3184.0	3188.2	3192.4	3196.6	3200.8	3205.0	3209.2	3213.4	3217.6	3221.8	3226.0	3230.2	3234.4	3238.6	3242.8	3247.0	3251.2	3255.4	3259.6	3263.8	3268.0	3272.2	3276.4	3280.6	3284.8	3289.0	3293.2	3297.4	3301.6	3305.8	3310.0	3314.2	3318.4	3322.6	3326.8	3331.0	3335.2	3339.4	3343.6	3347.8	3352.0	3356.2	3360.4	3364.6	3368.8	3373.0	3377.2	3381.4	3385.6	3389.8	3394.0	3398.2	3402.4	3406.6	3410.8	3415.0	3419.2	3423.4	3427.6	3431.8	3436.0	3440.2	3444.4	3448.6	3452.8	3457.0	3461.2	3465.4	3469.6	3473.8	3478.0	3482.2	3486.4	3490.6	3494.8	3499.0	3503.2	3507.4	3511.6	3515.8	3520.0	3524.2	3528.4	3532.6	3536.8	3541.0	3545.2	3549.4	3553.6	3557.8	3562.0	3566.2	3570.4	3574.6	3578.8	3583.0	3587.2	3591.4	3595.6	3600.0	3604.2	3608.4	3612.6	3616.8	3621.0	3625.2	3629.4	3633.6	3637.8	3642.0	3646.2	3650.4	3654.6	3658.8	3663.0	3667.2	3671.4	3675.6	3679.8	3684.0	3688.2	3692.4	3696.6	3700.8	3705.0	3709.2	3713.4	3717.6	3721.8	3726.0	3730.2	3734.4	3738.6	3742.8	3747.0	3751.2	3755.4	3759.6	3763.8	3768.0	3772.2	3776.4	3780.6	3784.8	3789.0	3793.2	3797.4	3801.6	3805.8	3810.0	3814.2	3818.4	3822.6	3826.8	3831.0	3835.2	3839.4	3843.6	3847.8	3852.0	3856.2	3860.4	3864.6	3868.8	3873.0	3877.2	3881.4	3885.6	3889.8	3894.0	3898.2	3902.4	3906.6	3910.8	3915.0	3919.2	3923.4	3927.6	3931.8	3936.0	3940.2	3944.4	3948.6	3952.8	3957.0	3961.2	3965.4	3969.6	3973.8	3978.0	3982.2	3986.4	3990.6	3994.8	3999.0	4003.2	4007.4	4011.6	4015.8	4020.0	4024.2	4028.4	4032.6	4036.8	4041.0	4045.2	4049.4	4053.6	4057.8	4062.0	4066.2	4070.4	4074.6	4078.8	4083.0	4087.2	4091.4	4095.6	4100.0	4104.2	4108.4	4112.6	4116.8	4121.0	4125.2	4129.4	4133.6	4137.8	4142.0	4146.2	4150.4	4154.6	4158.8	4163.0	4167.2	4171.4	4175.6	4179.8	4184.0	4188.2	4192.4	4196.6	4200.8	4205.0	4209.2	4213.4	4217.6	4221.8	4226.0	4230.2	4234.4	4238.6	4242.8	4247.0	4251.2	4255.4	4259.6	4263.8	4268.0	4272.2	4276.4	4280.6	4284.8	4289.0	4293.2	4297.4	4301.6	4305.8	4310.0	4314.2	4318.4	4322.6	4326.8	4331.0	4335.2	4339.4	4343.6	4347.8	4352.0	4356.2	4360.4	4364.6	4368.8	4373.0	4377.2	4381.4	4385.6	4389.8	4394.0	4398.2	4402.4	4406.6	4410.8	4415.0	4419.2	4423.4	4427.6	4431.8	4436.0	4440.2	4444.4	4448.6	4452.8	4457.0	4461.2	4465.4	4469.6	4473.8	4478.0	4482.2	4486.4	4490.6	4494.8	4499.0	4503.2	4507.4	4511.6	4515.8	4520.0	4524.2	4528.4	4532.6	4536.8	4541.0	4545.2	4549.4	4553.6	4557.8	4562.0	4566.2	4570.4	4574.6	4578.8	4583.0	4587.2	4591.4	4595.6	4600.0	4604.2	4608.4	4612.6	461

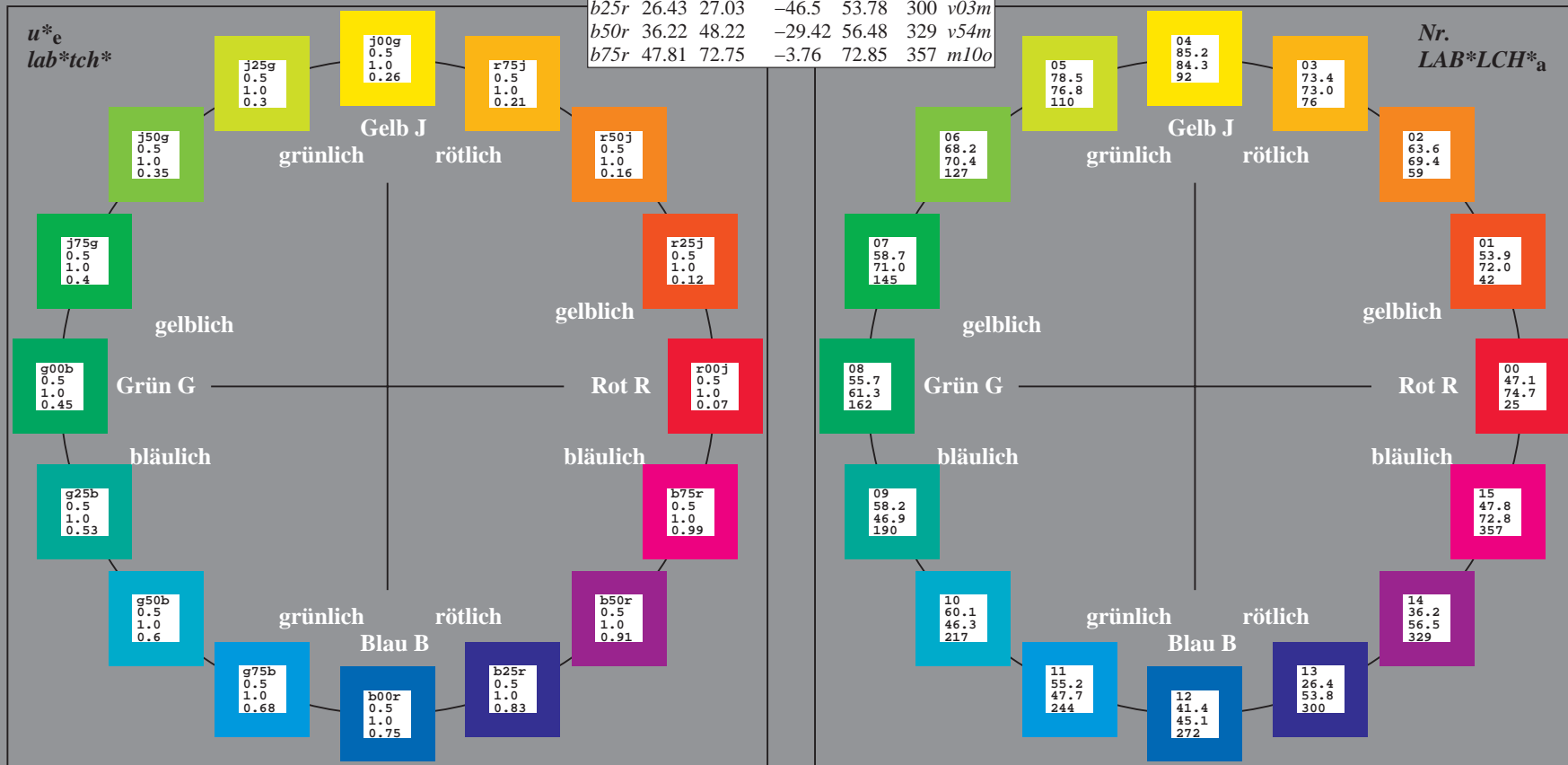
Ein und Ausgabe:
 Farbmetrisches Drucker-Reflektiv-System ORS20_95a
 Daten für jede Farbe:
 u^*_e und Nummer *Nr.* = 00 .. 15
 Elementar-Bunttextext:
 $u^*_e = 16$ Bunttoene *r00j, r25j, ..., b75r*
 Kontrastreduzierungsfaktor:
 $c_R = 1.0$

ORS20_95a; adaptierte CIELAB-Daten						
u^*_e	$L^*=L^*_a$	a^*_a	b^*_a	$C^*_{ab,a}$	$h^*_{ab,a}$	u^*_d
r00j	47.06	67.41	32.12	74.67	25	m84o
r25j	53.95	53.38	48.38	72.04	42	o17y
r50j	63.6	35.87	59.45	69.43	59	o42y
r75j	73.37	18.14	70.66	72.95	76	o68y
j00g	85.24	-3.4	84.28	84.35	92	o93y
j25g	78.53	-25.99	72.23	76.76	110	y24l
j50g	68.25	-42.61	56.0	70.37	127	y55l
j75g	58.73	-57.99	40.99	71.02	145	y85l
g00b	55.66	-58.35	18.71	61.27	162	l12c
g25b	58.18	-46.2	-7.82	46.86	190	l45c
g50b	60.08	-37.02	-27.87	46.34	217	l78c
g75b	55.21	-20.63	-42.98	47.67	244	c16v
b00r	41.38	1.37	-45.05	45.07	272	c58v
b25r	26.43	27.03	-46.5	53.78	300	v03m
b50r	36.22	48.22	-29.42	56.48	329	v54m
b75r	47.81	72.75	-3.76	72.85	357	m10o



%Umfang
 $u^*_{rel} = 87$
 %Regularität
 $g^*_{H,rel} = 67$
 $g^*_{C,rel} = 59$

ORS20_95a; adaptierte CIELAB-Daten					
Name	$L^*=L^*_a$	a^*_a	b^*_a	$C^*_{ab,a}$	$h^*_{ab,a}$
OMa	46.89	66.19	40.28	77.48	31
YMa	88.66	-9.62	88.21	88.73	96
LMa	54.22	-65.29	33.87	73.56	153
CMa	61.43	-30.53	-42.04	51.96	234
VMa	25.93	25.95	-47.37	54.01	299
MMa	47.92	73.53	-9.02	74.08	353
NMa	20.41	0.0	0.0	0.0	0
WMa	94.64	0.0	0.0	0.0	0
RCIE	39.92	58.74	27.99	65.07	25
JCIE	81.26	-2.89	71.56	71.62	92
GCIE	52.23	-42.42	13.6	44.55	162
BCIE	30.57	1.41	-46.47	46.49	272



Siehe ähnliche Dateien: <http://www.ps.bam.de/Eg39/>; www.ps.bam.de/Eg.HTM
 Technische Information: <http://www.ps.bam.de> Version 2.1, io=1,1, ColSpx=1

BAM-Registrierung: 20081001-Eg39/10L/L39G00NA.PS/.TXT BAM-Material: Code=rh4ta
 Anwendung für Beurteilung und Messung von Drucker- oder Monitorsystemen

Ein und Ausgabe: Farbmetrisches Drucker-Reflektiv-System ORS20_95a für relativen CIELAB-Buntton $h^* = lab^*h^* = h_{ab}/360 = 0.071$

Daten für jede Farbe:

lab^*tch^* und lab^*icu^*

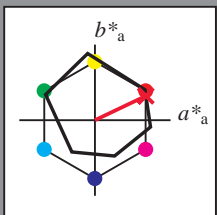
Bunttontexte:

$u^*_e = r00j$ $u^*_d = m84o$

Kontrastreduzierungsfaktor:

$c_R = 1.0$

Dreiecks-Helligkeit i^*



ORS20_95a; adaptierte CIELAB-Daten

	u^*_e	$L^*=L^*_a$	a^*_a	b^*_a	$C^*_{ab,a}$	$h^*_{ab,a}$
O _{Ma}	46.89	66.19	40.28	77.48	31	
Y _{Ma}	88.66	-9.62	88.21	88.73	96	
L _{Ma}	54.22	-65.29	33.87	73.56	153	
C _{Ma}	61.43	-30.53	-42.04	51.96	234	
V _{Ma}	25.93	25.95	-47.37	54.01	299	
M _{Ma}	47.92	73.53	-9.02	74.08	353	
N _{Ma}	20.41	0.0	0.0	0.0	0	
W _{Ma}	94.64	0.0	0.0	0.0	0	
R _{Ma}	39.92	58.74	27.99	65.07	25	
J _{Ma}	81.26	-2.89	71.56	71.62	92	
G _{Ma}	52.23	-42.42	13.6	44.55	162	
B _{Ma}	30.57	1.41	-46.47	46.49	272	

Daten für Maximalfarbe (Ma):

$LAB^*LAB^*_{Ma}$: 47 67 32

$LAB^*LCH^*_{Ma}$: 47 75 25

$lab^*rgb^*_{Ma}$: 1.0 0.0 0.0

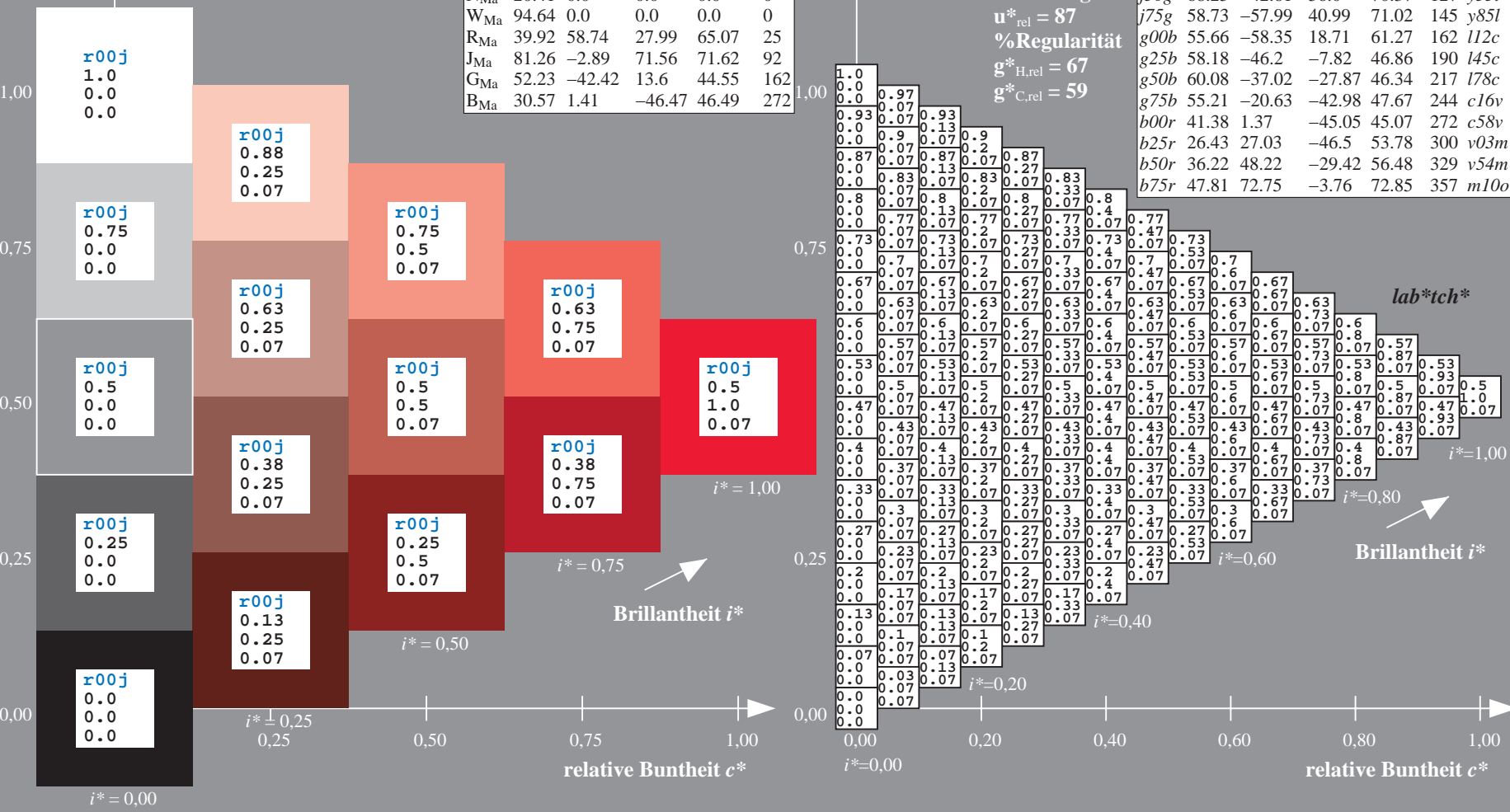
$lab^*olv^*_{Ma}$: 1.0 0.0 0.15

Dreiecks-Helligkeit i^*

%Umfang
 $u^*_{rel} = 87$
 %Regularität
 $g^*_{H,rel} = 67$
 $g^*_{C,rel} = 59$

ORS20_95a; adaptierte CIELAB-Daten

	u^*_e	$L^*=L^*_a$	a^*_a	b^*_a	$C^*_{ab,a}$	$h^*_{ab,a}$	u^*_d
r00j	47.06	67.41	32.12	74.67	25	m84o	
r25j	53.95	53.38	48.38	72.04	42	o17y	
r50j	63.6	35.87	59.45	69.43	59	o42y	
r75j	73.37	18.14	70.66	72.95	76	o68y	
j00g	85.24	-3.4	84.28	84.35	92	o93y	
j25g	78.53	-25.99	72.23	76.76	110	y24l	
j50g	68.25	-42.61	56.0	70.37	127	y51l	
j75g	58.73	-57.99	40.99	71.02	145	y85l	
g00b	55.66	-58.35	18.71	61.27	162	l12c	
g25b	58.18	-46.2	-7.82	46.86	190	l45c	
g50b	60.08	-37.02	-27.87	46.34	217	l78c	
g75b	55.21	-20.63	-42.98	47.67	244	c16v	
b00r	41.38	1.37	-45.05	45.07	272	c58v	
b25r	26.43	27.03	-46.5	53.78	300	v03m	
b50r	36.22	48.22	-29.42	56.48	329	v54m	
b75r	47.81	72.75	-3.76	72.85	357	m10o	



BAM-Registrierung: 20081001-Eg39/10L/L39G00NA.PS/.TXT BAM-Material: Code=rhatha
 Anwendung für Beurteilung und Messung von Drucker- oder Monitorssystemen

Ein und Ausgabe: Farbmetrisches Drucker-Reflektiv-System ORS20_95a für relativen CIELAB-Buntton $h^* = lab^*h^* = h_{ab}/360 = 0.117$

Daten für jede Farbe:

lab^*tch^* und lab^*icu^*

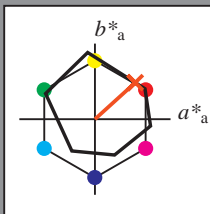
Bunttontexte:

$u^*_e = r25j$ $u^*_d = o17y$

Kontrastreduzierungsfaktor:

$c_R = 1.0$

Dreiecks-Helligkeit i^*



ORS20_95a; adaptierte CIELAB-Daten

	u^*_e	$L^*=L^*_a$	a^*_a	b^*_a	$C^*_{ab,a}$	$h^*_{ab,a}$
O _{Ma}	46.89	66.19	40.28	77.48	31	
Y _{Ma}	88.66	-9.62	88.21	88.73	96	
L _{Ma}	54.22	-65.29	33.87	73.56	153	
C _{Ma}	61.43	-30.53	-42.04	51.96	234	
V _{Ma}	25.93	25.95	-47.37	54.01	299	
M _{Ma}	47.92	73.53	-9.02	74.08	353	
N _{Ma}	20.41	0.0	0.0	0.0	0	
W _{Ma}	94.64	0.0	0.0	0.0	0	
R _{Ma}	39.92	58.74	27.99	65.07	25	
J _{Ma}	81.26	-2.89	71.56	71.62	92	
G _{Ma}	52.23	-42.42	13.6	44.55	162	
B _{Ma}	30.57	1.41	-46.47	46.49	272	

Daten für Maximalfarbe (Ma):

$LAB^*LAB^*_{Ma}$: 54 53 48

$LAB^*LCH^*_{Ma}$: 54 72 42

$lab^*rgb^*_{Ma}$: 1.0 0.25 0.0

$lab^*olv^*_{Ma}$: 1.0 0.17 0.0

Dreiecks-Helligkeit i^*

%Umfang

$u^*_{rel} = 87$

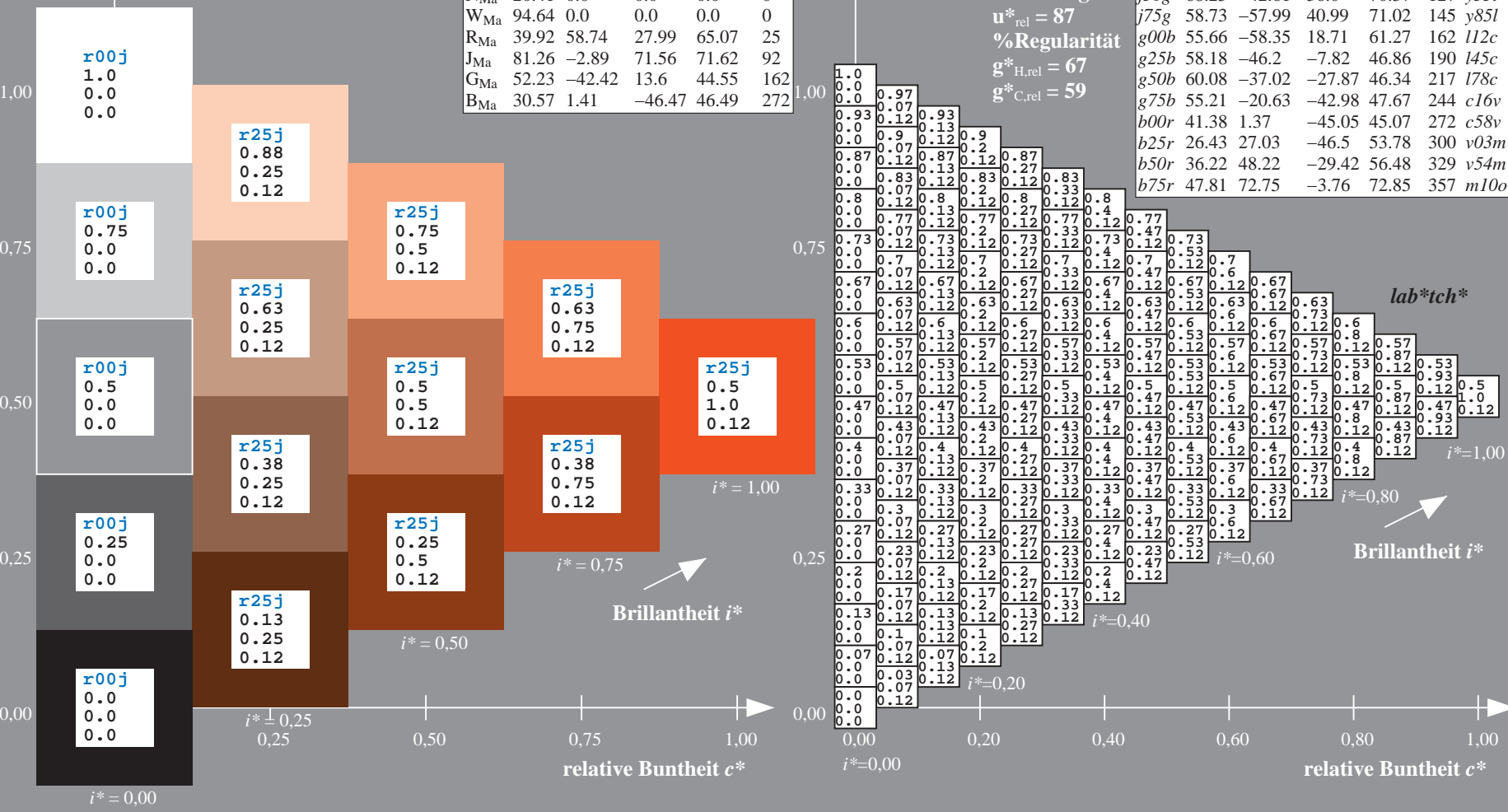
%Regularität

$g^*_{H,rel} = 67$

$g^*_{C,rel} = 59$

ORS20_95a; adaptierte CIELAB-Daten

	u^*_e	$L^*=L^*_a$	a^*_a	b^*_a	$C^*_{ab,a}$	$h^*_{ab,a}$	u^*_d
r00j	47.06	67.41	32.12	74.67	25	m84o	
r25j	53.95	53.38	48.38	72.04	42	o17y	
r50j	63.6	35.87	59.45	69.43	59	o42y	
r75j	73.37	18.14	70.66	72.95	76	o68y	
j00g	85.24	-3.4	84.28	84.35	92	o93y	
j25g	78.53	-25.99	72.23	76.76	110	y24l	
j50g	68.25	-42.61	56.0	70.37	127	y51l	
j75g	58.73	-57.99	40.99	71.02	145	y85l	
g00b	55.66	-58.35	18.71	61.27	162	l12c	
g25b	58.18	-46.2	-7.82	46.86	190	l45c	
g50b	60.08	-37.02	-27.87	46.34	217	l78c	
g75b	55.21	-20.63	-42.98	47.67	244	c16v	
b00r	41.38	1.37	-45.05	45.07	272	c58v	
b25r	26.43	27.03	-46.5	53.78	300	v03m	
b50r	36.22	48.22	-29.42	56.48	329	v54m	
b75r	47.81	72.75	-3.76	72.85	357	m10o	



Siehe ähnliche Dateien: <http://www.ps.bam.de/Eg39/>; www.ps.bam.de/Version 2.1, io=1,1, ColSpx=1
 Technische Information: <http://www.ps.bam.de>

BAM-Registrierung: 20081001-Eg39/10L/L39G00NA.PS/.TXT BAM-Material: Code=rh4ta
 Anwendung für Beurteilung und Messung von Drucker- oder Monitorssystemen

Ein und Ausgabe: Farbmetrisches Drucker-Reflektiv-System ORS20_95a für relativen CIELAB-Buntton $h^* = lab^*h^* = h_{ab}/360 = 0.164$

Daten für jede Farbe:

lab^*tch^* und lab^*icu^*

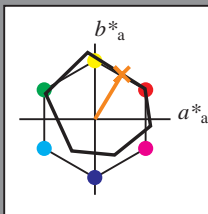
Bunttontexte:

$u^*_e = r50j$ $u^*_d = o42y$

Kontrastreduzierungsfaktor:

$c_R = 1.0$

Dreiecks-Helligkeit i^*



ORS20_95a; adaptierte CIELAB-Daten

	u^*_e	$L^*=L^*_a$	a^*_a	b^*_a	$C^*_{ab,a}$	$h^*_{ab,a}$
O _{Ma}	46.89	66.19	40.28	77.48	31	
Y _{Ma}	88.66	-9.62	88.21	88.73	96	
L _{Ma}	54.22	-65.29	33.87	73.56	153	
C _{Ma}	61.43	-30.53	-42.04	51.96	234	
V _{Ma}	25.93	25.95	-47.37	54.01	299	
M _{Ma}	47.92	73.53	-9.02	74.08	353	
N _{Ma}	20.41	0.0	0.0	0.0	0	
W _{Ma}	94.64	0.0	0.0	0.0	0	
R _{Ma}	39.92	58.74	27.99	65.07	25	
J _{Ma}	81.26	-2.89	71.56	71.62	92	
G _{Ma}	52.23	-42.42	13.6	44.55	162	
B _{Ma}	30.57	1.41	-46.47	46.49	272	

Daten für Maximalfarbe (Ma):

$LAB^*LAB^*_{Ma}$: 64 36 59

$LAB^*LCH^*_{Ma}$: 64 69 58

$lab^*rgb^*_{Ma}$: 1.0 0.5 0.0

$lab^*olv^*_{Ma}$: 1.0 0.42 0.0

Dreiecks-Helligkeit i^*

%Umfang

$u^*_{rel} = 87$

%Regularität

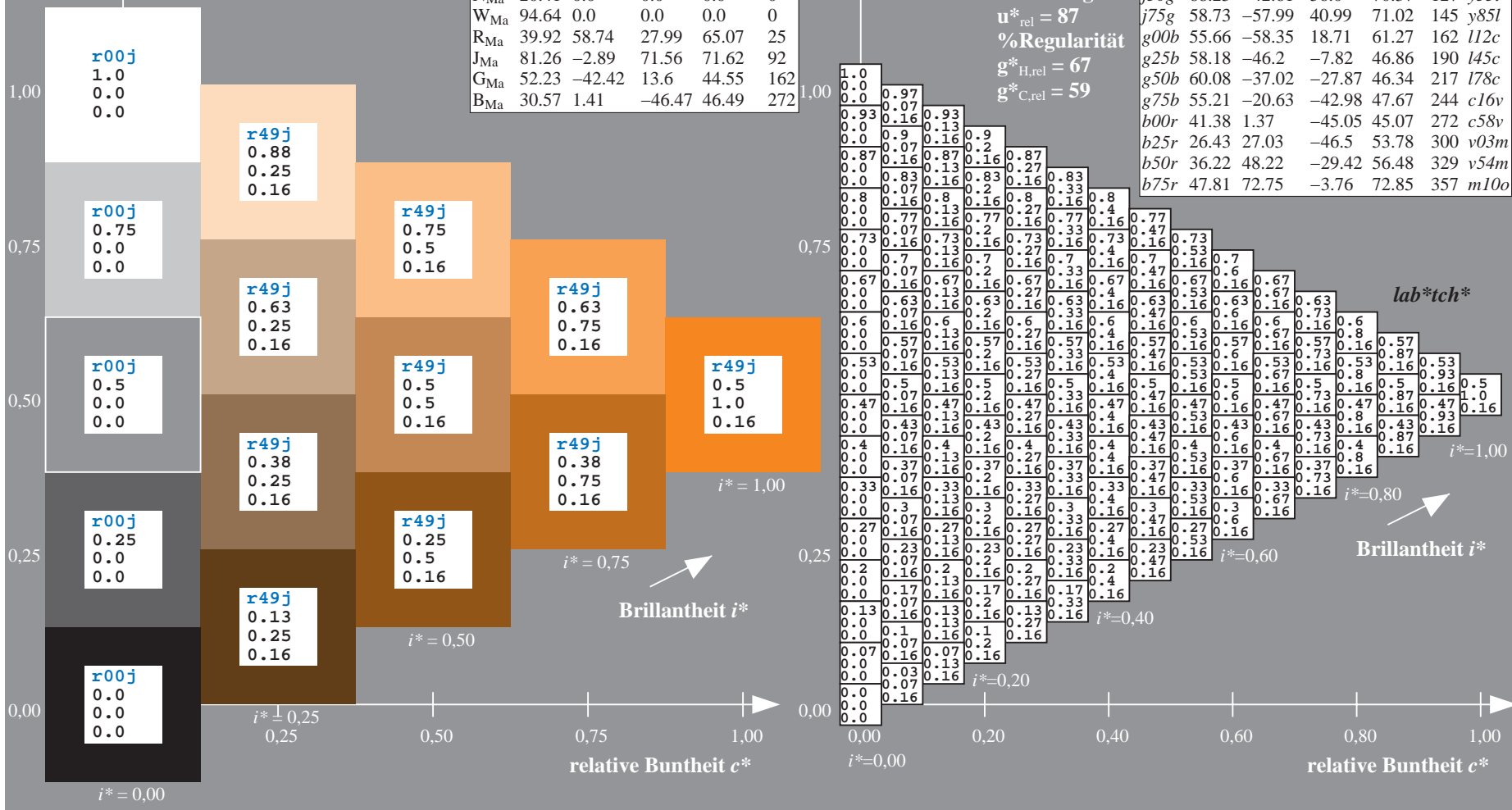
$g^*_{H,rel} = 67$

$g^*_{C,rel} = 59$

$u^*_e = r50j$
 lab^*tch^*

ORS20_95a; adaptierte CIELAB-Daten

	u^*_e	$L^*=L^*_a$	a^*_a	b^*_a	$C^*_{ab,a}$	$h^*_{ab,a}$	u^*_d
r00j	47.06	67.41	32.12	74.67	25	m84o	
r25j	53.95	53.38	48.38	72.04	42	o17y	
r50j	63.6	35.87	59.45	69.43	59	o42y	
r75j	73.37	18.14	70.66	72.95	76	o68y	
j00g	85.24	-3.4	84.28	84.35	92	o93y	
j25g	78.53	-25.99	72.23	76.76	110	y24l	
j50g	68.25	-42.61	56.0	70.37	127	y51l	
j75g	58.73	-57.99	40.99	71.02	145	y85l	
g00b	55.66	-58.35	18.71	61.27	162	l12c	
g25b	58.18	-46.2	-7.82	46.86	190	l45c	
g50b	60.08	-37.02	-27.87	46.34	217	l78c	
g75b	55.21	-20.63	-42.98	47.67	244	c16v	
b00r	41.38	1.37	-45.05	45.07	272	c58v	
b25r	26.43	27.03	-46.5	53.78	300	v03m	
b50r	36.22	48.22	-29.42	56.48	329	v54m	
b75r	47.81	72.75	-3.76	72.85	357	m10o	



Siehe ähnliche Dateien: <http://www.ps.bam.de/Eg39/>; www.ps.bam.de/Version 2.1, io=1,1, ColSpx=1
 Technische Information: <http://www.ps.bam.de>

BAM-Registrierung: 20081001-Eg39/10L/L39G00NA.PS/.TXT BAM-Material: Code=rh4ta
 Anwendung für Beurteilung und Messung von Drucker- oder Monitorssystemen

Ein und Ausgabe: Farbmetrisches Drucker-Reflektiv-System ORS20_95a für relativen CIELAB-Buntton $h^* = lab^*h^* = h_{ab}/360 = 0.21$

Daten für jede Farbe:

lab^*tch^* und lab^*icu^*

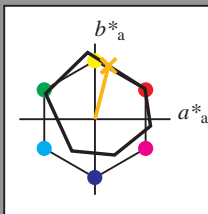
Bunttontexte:

$u^*_e = r75j$ $u^*_d = o68y$

Kontrastreduzierungsfaktor:

$c_R = 1.0$

Dreiecks-Helligkeit i^*



ORS20_95a; adaptierte CIELAB-Daten

	u^*_e	$L^*=L^*_a$	a^*_a	b^*_a	$C^*_{ab,a}$	$h^*_{ab,a}$
O _{Ma}	46.89	66.19	40.28	77.48	31	
Y _{Ma}	88.66	-9.62	88.21	88.73	96	
L _{Ma}	54.22	-65.29	33.87	73.56	153	
C _{Ma}	61.43	-30.53	-42.04	51.96	234	
V _{Ma}	25.93	25.95	-47.37	54.01	299	
M _{Ma}	47.92	73.53	-9.02	74.08	353	
N _{Ma}	20.41	0.0	0.0	0.0	0	
W _{Ma}	94.64	0.0	0.0	0.0	0	
R _{Ma}	39.92	58.74	27.99	65.07	25	
J _{Ma}	81.26	-2.89	71.56	71.62	92	
G _{Ma}	52.23	-42.42	13.6	44.55	162	
B _{Ma}	30.57	1.41	-46.47	46.49	272	

Daten für Maximalfarbe (Ma):

$LAB^*LAB^*_{Ma}$: 73 18 71

$LAB^*LCH^*_{Ma}$: 73 73 75

$lab^*rgb^*_{Ma}$: 1.0 0.75 0.0

$lab^*olv^*_{Ma}$: 1.0 0.68 0.0

Dreiecks-Helligkeit i^*

%Umfang

$u^*_{rel} = 87$

%Regularität

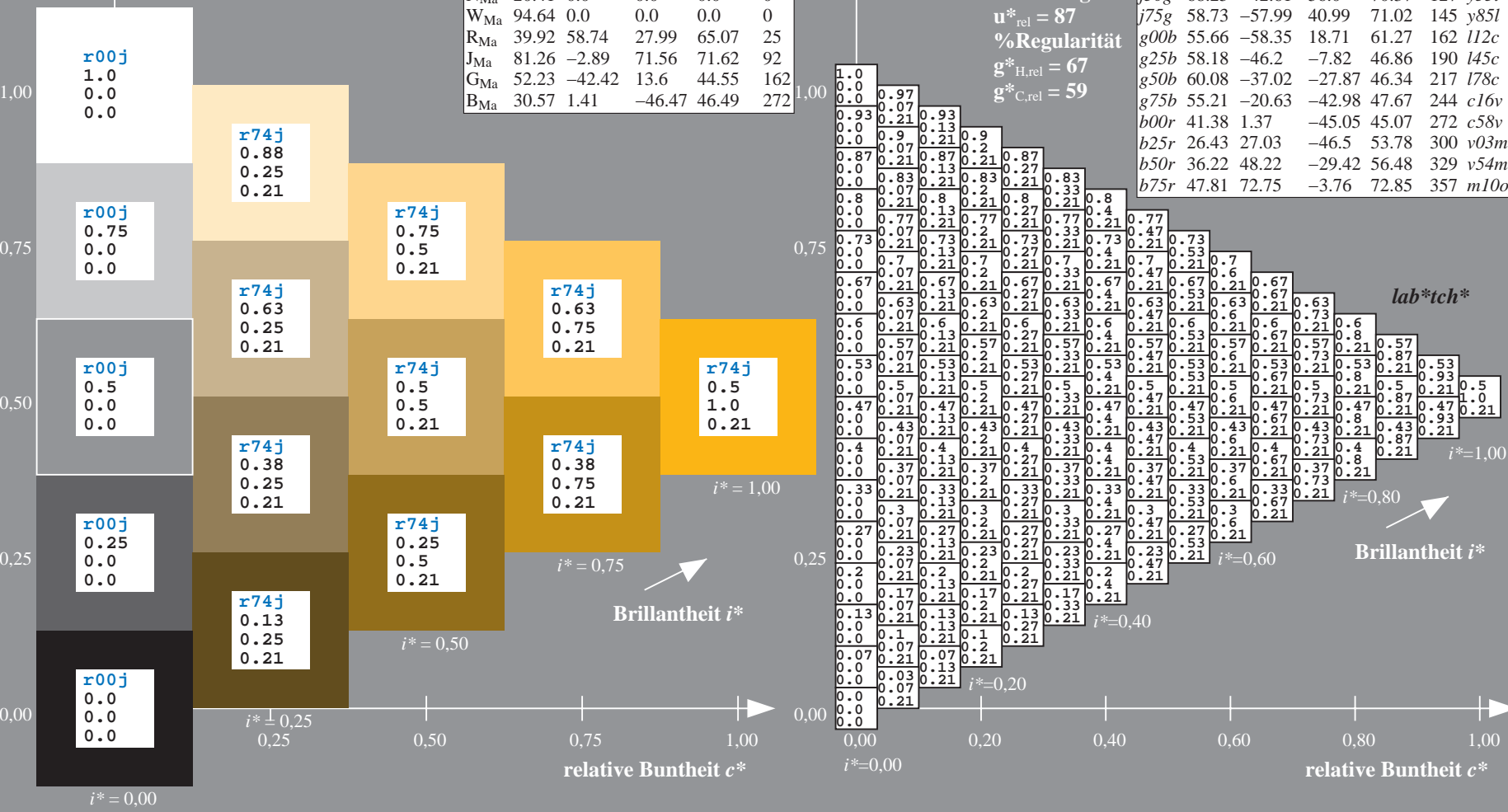
$g^*_{H,rel} = 67$

$g^*_{C,rel} = 59$

$u^*_e = r75j$
 lab^*tch^*

ORS20_95a; adaptierte CIELAB-Daten

	u^*_e	$L^*=L^*_a$	a^*_a	b^*_a	$C^*_{ab,a}$	$h^*_{ab,a}$	u^*_d
r00j	47.06	67.41	32.12	74.67	25	m84o	
r25j	53.95	53.38	48.38	72.04	42	o17y	
r50j	63.6	35.87	59.45	69.43	59	o42y	
r75j	73.37	18.14	70.66	72.95	76	o68y	
j00g	85.24	-3.4	84.28	84.35	92	o93y	
j25g	78.53	-25.99	72.23	76.76	110	y24l	
j50g	68.25	-42.61	56.0	70.37	127	y51l	
j75g	58.73	-57.99	40.99	71.02	145	y85l	
g00b	55.66	-58.35	18.71	61.27	162	l12c	
g25b	58.18	-46.2	-7.82	46.86	190	l45c	
g50b	60.08	-37.02	-27.87	46.34	217	l78c	
g75b	55.21	-20.63	-42.98	47.67	244	c16v	
b00r	41.38	1.37	-45.05	45.07	272	c58v	
b25r	26.43	27.03	-46.5	53.78	300	v03m	
b50r	36.22	48.22	-29.42	56.48	329	v54m	
b75r	47.81	72.75	-3.76	72.85	357	m10o	



BAM-Registrierung: 20081001-Eg39/10L/L39G00NA.PS/.TXT BAM-Material: Code=rh4ta
 Anwendung für Beurteilung und Messung von Drucker- oder Monitorssystemen

Ein und Ausgabe: Farbmetrisches Drucker-Reflektiv-System ORS20_95a für relativen CIELAB-Buntton $h^* = lab^*h^* = h_{ab}/360 = 0.256$

Daten für jede Farbe:

lab^*tch^* und lab^*icu^*

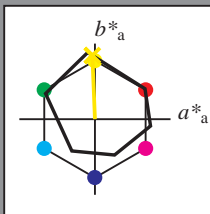
Bunttontexte:

$u^*_e = j00g$ $u^*_d = o93y$

Kontrastreduzierungsfaktor:

$c_R = 1.0$

Dreiecks-Helligkeit i^*



ORS20_95a; adaptierte CIELAB-Daten

	u^*_e	$L^*=L^*_a$	a^*_a	b^*_a	$C^*_{ab,a}$	$h^*_{ab,a}$
O _{Ma}	46.89	66.19	40.28	77.48	31	
Y _{Ma}	88.66	-9.62	88.21	88.73	96	
L _{Ma}	54.22	-65.29	33.87	73.56	153	
C _{Ma}	61.43	-30.53	-42.04	51.96	234	
V _{Ma}	25.93	25.95	-47.37	54.01	299	
M _{Ma}	47.92	73.53	-9.02	74.08	353	
N _{Ma}	20.41	0.0	0.0	0.0	0	
W _{Ma}	94.64	0.0	0.0	0.0	0	
R _{Ma}	39.92	58.74	27.99	65.07	25	
J _{Ma}	81.26	-2.89	71.56	71.62	92	
G _{Ma}	52.23	-42.42	13.6	44.55	162	
B _{Ma}	30.57	1.41	-46.47	46.49	272	

Daten für Maximalfarbe (Ma):

$LAB^*LAB^*_{Ma}$: 85 -3 84

$LAB^*LCH^*_{Ma}$: 85 84 92

$lab^*rgb^*_{Ma}$: 1.0 1.0 0.0

$lab^*olv^*_{Ma}$: 1.0 0.94 0.0

Dreiecks-Helligkeit i^*

%Umfang

$u^*_{rel} = 87$

%Regularität

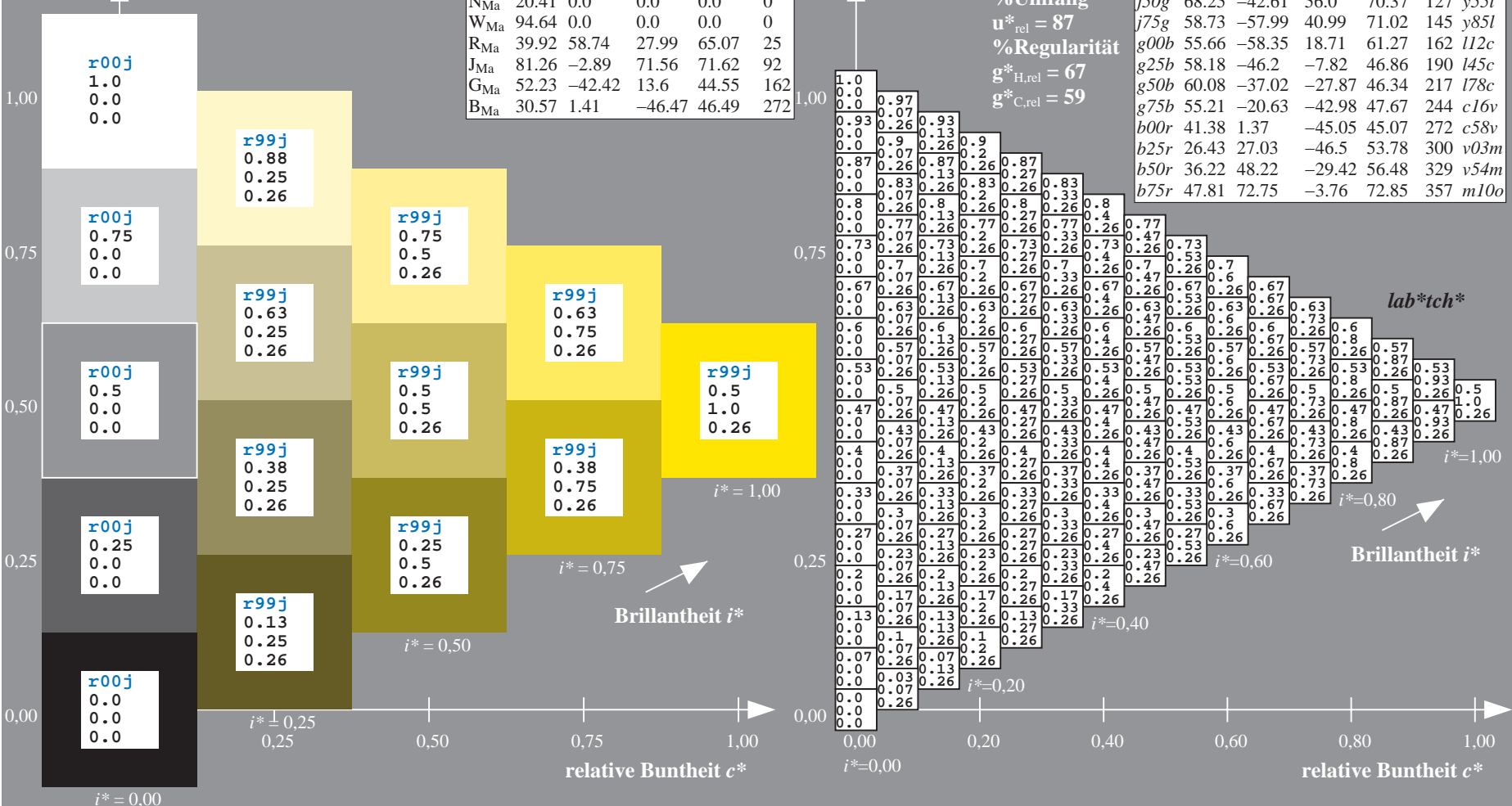
$g^*_{H,rel} = 67$

$g^*_{C,rel} = 59$

$u^*_e = j00g$
 lab^*tch^*

ORS20_95a; adaptierte CIELAB-Daten

	u^*_e	$L^*=L^*_a$	a^*_a	b^*_a	$C^*_{ab,a}$	$h^*_{ab,a}$	u^*_d
r00j	47.06	67.41	32.12	74.67	25	m84o	
r25j	53.95	53.38	48.38	72.04	42	o17y	
r50j	63.6	35.87	59.45	69.43	59	o42y	
r75j	73.37	18.14	70.66	72.95	76	o68y	
j00g	85.24	-3.4	84.28	84.35	92	o93y	
j25g	78.53	-25.99	72.23	76.76	110	y24l	
j50g	68.25	-42.61	56.0	70.37	127	y51l	
j75g	58.73	-57.99	40.99	71.02	145	y85l	
g00b	55.66	-58.35	18.71	61.27	162	l12c	
g25b	58.18	-46.2	-7.82	46.86	190	l45c	
g50b	60.08	-37.02	-27.87	46.34	217	l78c	
g75b	55.21	-20.63	-42.98	47.67	244	c16v	
b00r	41.38	1.37	-45.05	45.07	272	c58v	
b25r	26.43	27.03	-46.5	53.78	300	v03m	
b50r	36.22	48.22	-29.42	56.48	329	v54m	
b75r	47.81	72.75	-3.76	72.85	357	m10o	



Siehe ähnliche Dateien: <http://www.ps.bam.de/Eg39/>; www.ps.bam.de/Version 2.1, io=1,1, ColSpx=1
 Technische Information: <http://www.ps.bam.de>

BAM-Registrierung: 20081001-Eg39/10L/L39G00NA.PS/.TXT BAM-Material: Code=rhatha
 Anwendung für Beurteilung und Messung von Drucker- oder Monitorssystemen

Ein und Ausgabe: Farbmetrisches Drucker-Reflektiv-System ORS20_95a für relativen CIELAB-Bunton $h^* = lab^*h^* = h_{ab}/360 = 0.305$

Daten für jede Farbe:

lab^*tch^* und lab^*icu^*

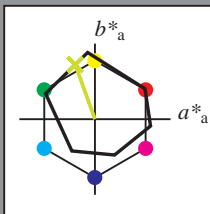
Buntontexte:

$u^*_e = j25g$ $u^*_d = y24l$

Kontrastreduzierungsfaktor:

$c_R = 1.0$

Dreiecks-Helligkeit i^*



ORS20_95a; adaptierte CIELAB-Daten

	u^*_e	$L^*=L^*_a$	a^*_a	b^*_a	$C^*_{ab,a}$	$h^*_{ab,a}$
O _{Ma}	46.89	66.19	40.28	77.48	31	
Y _{Ma}	88.66	-9.62	88.21	88.73	96	
L _{Ma}	54.22	-65.29	33.87	73.56	153	
C _{Ma}	61.43	-30.53	-42.04	51.96	234	
V _{Ma}	25.93	25.95	-47.37	54.01	299	
M _{Ma}	47.92	73.53	-9.02	74.08	353	
N _{Ma}	20.41	0.0	0.0	0.0	0	
W _{Ma}	94.64	0.0	0.0	0.0	0	
R _{Ma}	39.92	58.74	27.99	65.07	25	
J _{Ma}	81.26	-2.89	71.56	71.62	92	
G _{Ma}	52.23	-42.42	13.6	44.55	162	
B _{Ma}	30.57	1.41	-46.47	46.49	272	

Daten für Maximalfarbe (Ma):

$LAB^*LAB^*_{Ma}$: 79 -26 72

$LAB^*LCH^*_{Ma}$: 79 77 109

$lab^*rgb^*_{Ma}$: 0.75 1.0 0.0

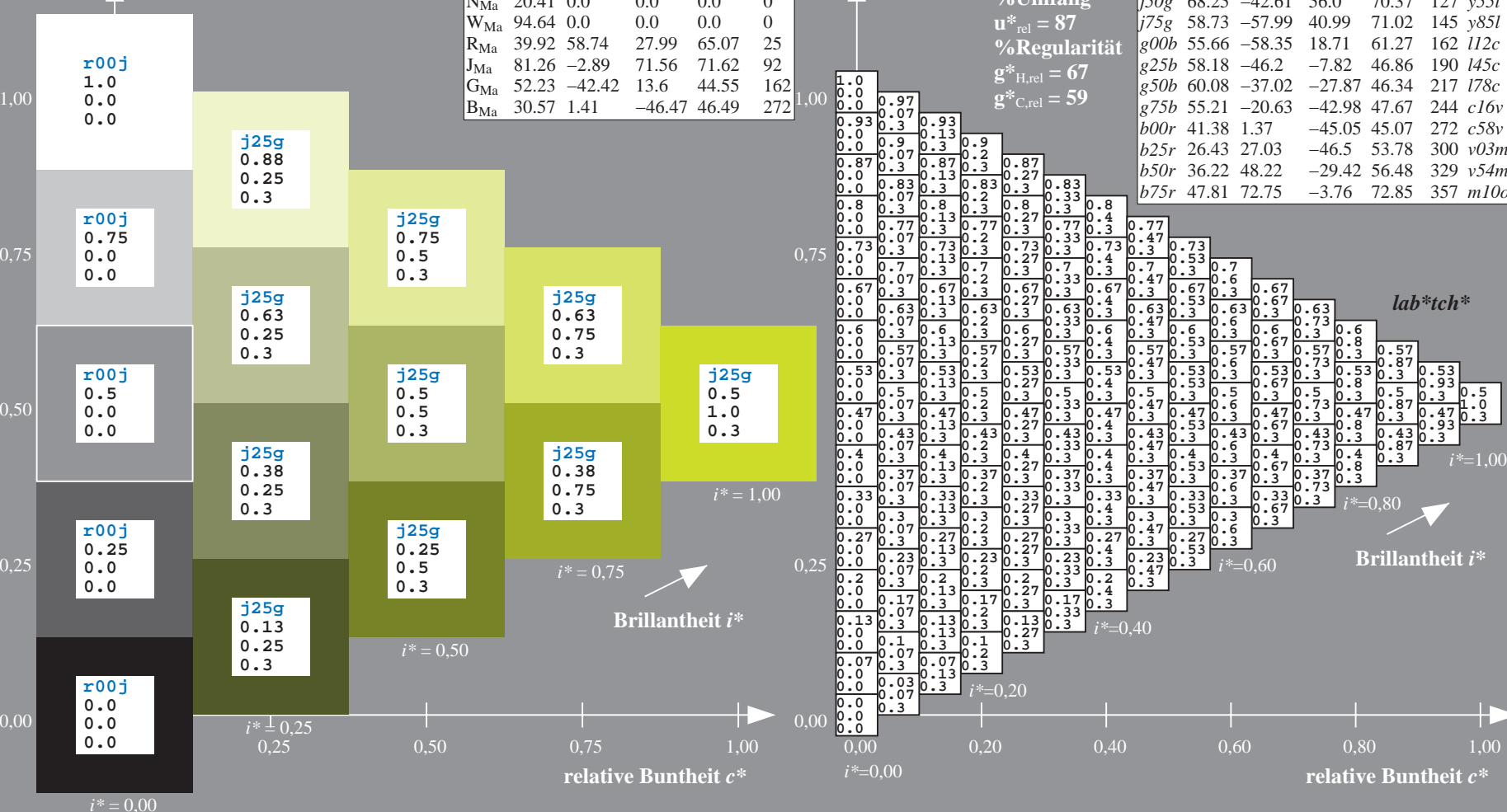
$lab^*olv^*_{Ma}$: 0.76 1.0 0.0

Dreiecks-Helligkeit i^*

%Umfang
 $u^*_{rel} = 87$
 %Regularität
 $g^*_{H,rel} = 67$
 $g^*_{C,rel} = 59$

ORS20_95a; adaptierte CIELAB-Daten

	u^*_e	$L^*=L^*_a$	a^*_a	b^*_a	$C^*_{ab,a}$	$h^*_{ab,a}$	u^*_d
r00j	47.06	67.41	32.12	74.67	25	m84o	
r25j	53.95	53.38	48.38	72.04	42	o17y	
r50j	63.6	35.87	59.45	69.43	59	o42y	
r75j	73.37	18.14	70.66	72.95	76	o68y	
j00g	85.24	-3.4	84.28	84.35	92	o93y	
j25g	78.53	-25.99	72.23	76.76	110	y24l	
j50g	68.25	-42.61	56.0	70.37	127	y55l	
j75g	58.73	-57.99	40.99	71.02	145	y85l	
g00b	55.66	-58.35	18.71	61.27	162	l12c	
g25b	58.18	-46.2	-7.82	46.86	190	l45c	
g50b	60.08	-37.02	-27.87	46.34	217	l78c	
g75b	55.21	-20.63	-42.98	47.67	244	c16v	
b00r	41.38	1.37	-45.05	45.07	272	c58v	
b25r	26.43	27.03	-46.5	53.78	300	v03m	
b50r	36.22	48.22	-29.42	56.48	329	v54m	
b75r	47.81	72.75	-3.76	72.85	357	m10o	



BAM-Registrierung: 20081001-Eg39/10L/L39G00NA.PS/.TXT BAM-Material: Code=rh4ta
 Anwendung für Beurteilung und Messung von Drucker- oder Monitorssystemen

Ein und Ausgabe: Farbmetrisches Drucker-Reflektiv-System ORS20_95a für relativen CIELAB-Buntton $h^* = lab^*h^* = h_{ab}/360 = 0.354$

Daten für jede Farbe:

lab^*tch^* und lab^*icu^*

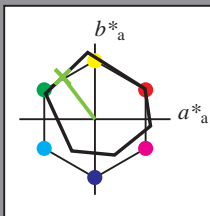
Bunttontexte:

$u^*_e = j50g$ $u^*_d = y55l$

Kontrastreduzierungsfaktor:

$c_R = 1.0$

Dreiecks-Helligkeit i^*



ORS20_95a; adaptierte CIELAB-Daten

	u^*_e	$L^*=L^*_a$	a^*_a	b^*_a	$C^*_{ab,a}$	$h^*_{ab,a}$
O _{Ma}	46.89	66.19	40.28	77.48	31	
Y _{Ma}	88.66	-9.62	88.21	88.73	96	
L _{Ma}	54.22	-65.29	33.87	73.56	153	
C _{Ma}	61.43	-30.53	-42.04	51.96	234	
V _{Ma}	25.93	25.95	-47.37	54.01	299	
M _{Ma}	47.92	73.53	-9.02	74.08	353	
N _{Ma}	20.41	0.0	0.0	0.0	0	
W _{Ma}	94.64	0.0	0.0	0.0	0	
R _{Ma}	39.92	58.74	27.99	65.07	25	
J _{Ma}	81.26	-2.89	71.56	71.62	92	
G _{Ma}	52.23	-42.42	13.6	44.55	162	
B _{Ma}	30.57	1.41	-46.47	46.49	272	

Daten für Maximalfarbe (Ma):

$LAB^*LAB^*_{Ma}$: 68 -43 56

$LAB^*LCH^*_{Ma}$: 68 70 127

$lab^*rgb^*_{Ma}$: 0.5 1.0 0.0

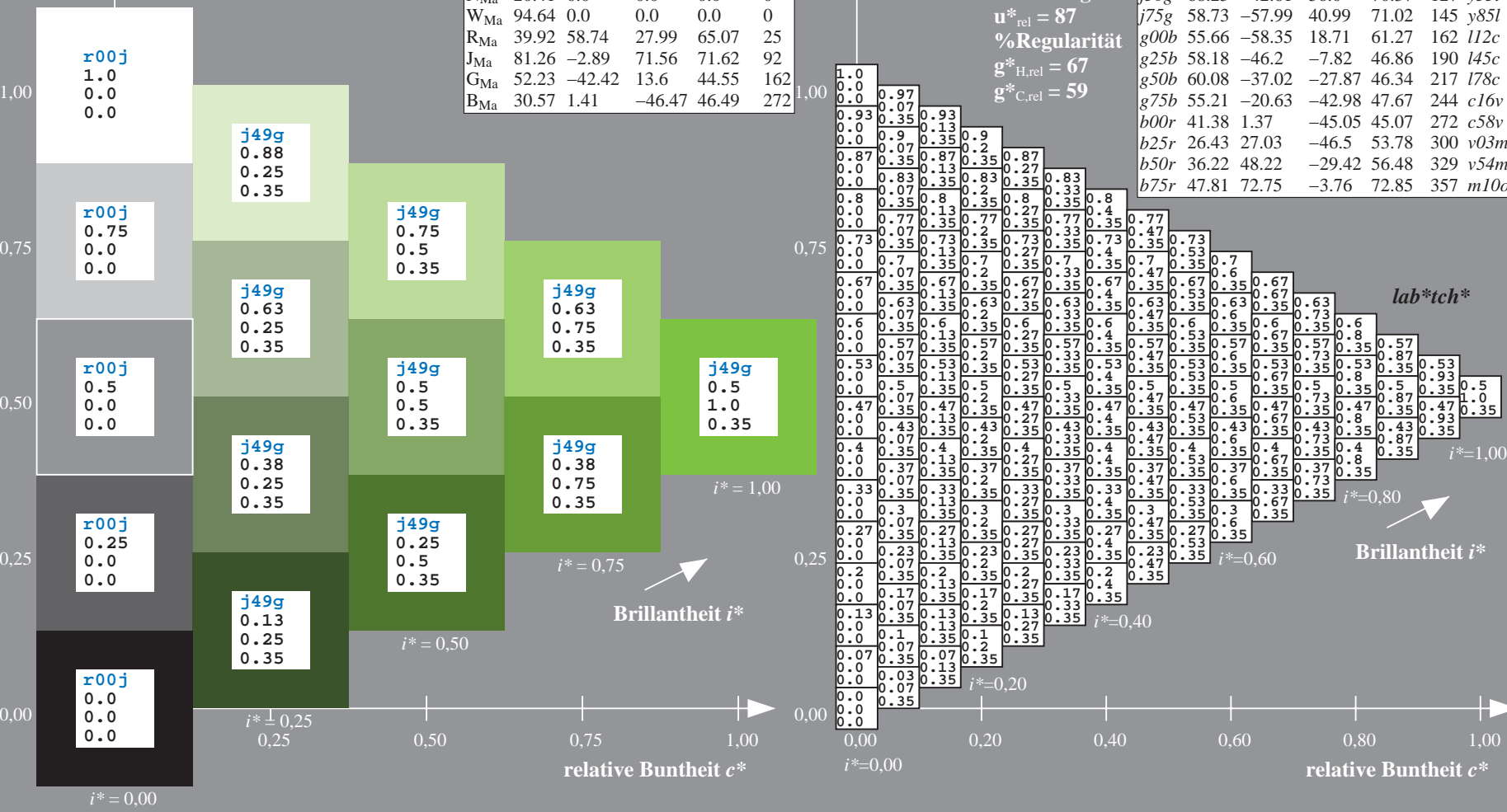
$lab^*olv^*_{Ma}$: 0.45 1.0 0.0

Dreiecks-Helligkeit i^*

%Umfang
 $u^*_{rel} = 87$
 %Regularität
 $g^*_{H,rel} = 67$
 $g^*_{C,rel} = 59$

ORS20_95a; adaptierte CIELAB-Daten

	u^*_e	$L^*=L^*_a$	a^*_a	b^*_a	$C^*_{ab,a}$	$h^*_{ab,a}$	u^*_d
r00j	47.06	67.41	32.12	74.67	25	m84o	
r25j	53.95	53.38	48.38	72.04	42	o17y	
r50j	63.6	35.87	59.45	69.43	59	o42y	
r75j	73.37	18.14	70.66	72.95	76	o68y	
j00g	85.24	-3.4	84.28	84.35	92	o93y	
j25g	78.53	-25.99	72.23	76.76	110	y24l	
j50g	68.25	-42.61	56.0	70.37	127	y55l	
j75g	58.73	-57.99	40.99	71.02	145	y85l	
g00b	55.66	-58.35	18.71	61.27	162	l12c	
g25b	58.18	-46.2	-7.82	46.86	190	l45c	
g50b	60.08	-37.02	-27.87	46.34	217	l78c	
g75b	55.21	-20.63	-42.98	47.67	244	c16v	
b00r	41.38	1.37	-45.05	45.07	272	c58v	
b25r	26.43	27.03	-46.5	53.78	300	v03m	
b50r	36.22	48.22	-29.42	56.48	329	v54m	
b75r	47.81	72.75	-3.76	72.85	357	m10o	



Ein und Ausgabe: Farbmetrisches Drucker-Reflektiv-System ORS20_95a für relativen CIELAB-Bunton $h^* = lab^*h^* = h_{ab}/360 = 0.402$

Daten für jede Farbe:

lab^*tch^* und lab^*icu^*

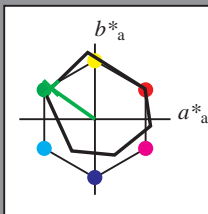
Buntontexte:

$u^*_e = j75g$ $u^*_d = y85l$

Kontrastreduzierungsfaktor:

$c_R = 1.0$

Dreiecks-Helligkeit i^*



ORS20_95a; adaptierte CIELAB-Daten

	u^*_e	$L^*=L^*_a$	a^*_a	b^*_a	$C^*_{ab,a}$	$h^*_{ab,a}$
O _{Ma}	46.89	66.19	40.28	77.48	31	
Y _{Ma}	88.66	-9.62	88.21	88.73	96	
L _{Ma}	54.22	-65.29	33.87	73.56	153	
C _{Ma}	61.43	-30.53	-42.04	51.96	234	
V _{Ma}	25.93	25.95	-47.37	54.01	299	
M _{Ma}	47.92	73.53	-9.02	74.08	353	
N _{Ma}	20.41	0.0	0.0	0.0	0	
W _{Ma}	94.64	0.0	0.0	0.0	0	
R _{Ma}	39.92	58.74	27.99	65.07	25	
J _{Ma}	81.26	-2.89	71.56	71.62	92	
G _{Ma}	52.23	-42.42	13.6	44.55	162	
B _{Ma}	30.57	1.41	-46.47	46.49	272	

Daten für Maximalfarbe (Ma):

$LAB^*LAB^*_{Ma}$: 59 -58 41

$LAB^*LCH^*_{Ma}$: 59 71 144

$lab^*rgb^*_{Ma}$: 0.25 1.0 0.0

$lab^*olv^*_{Ma}$: 0.14 1.0 0.0

Dreiecks-Helligkeit i^*

%Umfang

$u^*_{rel} = 87$

%Regularität

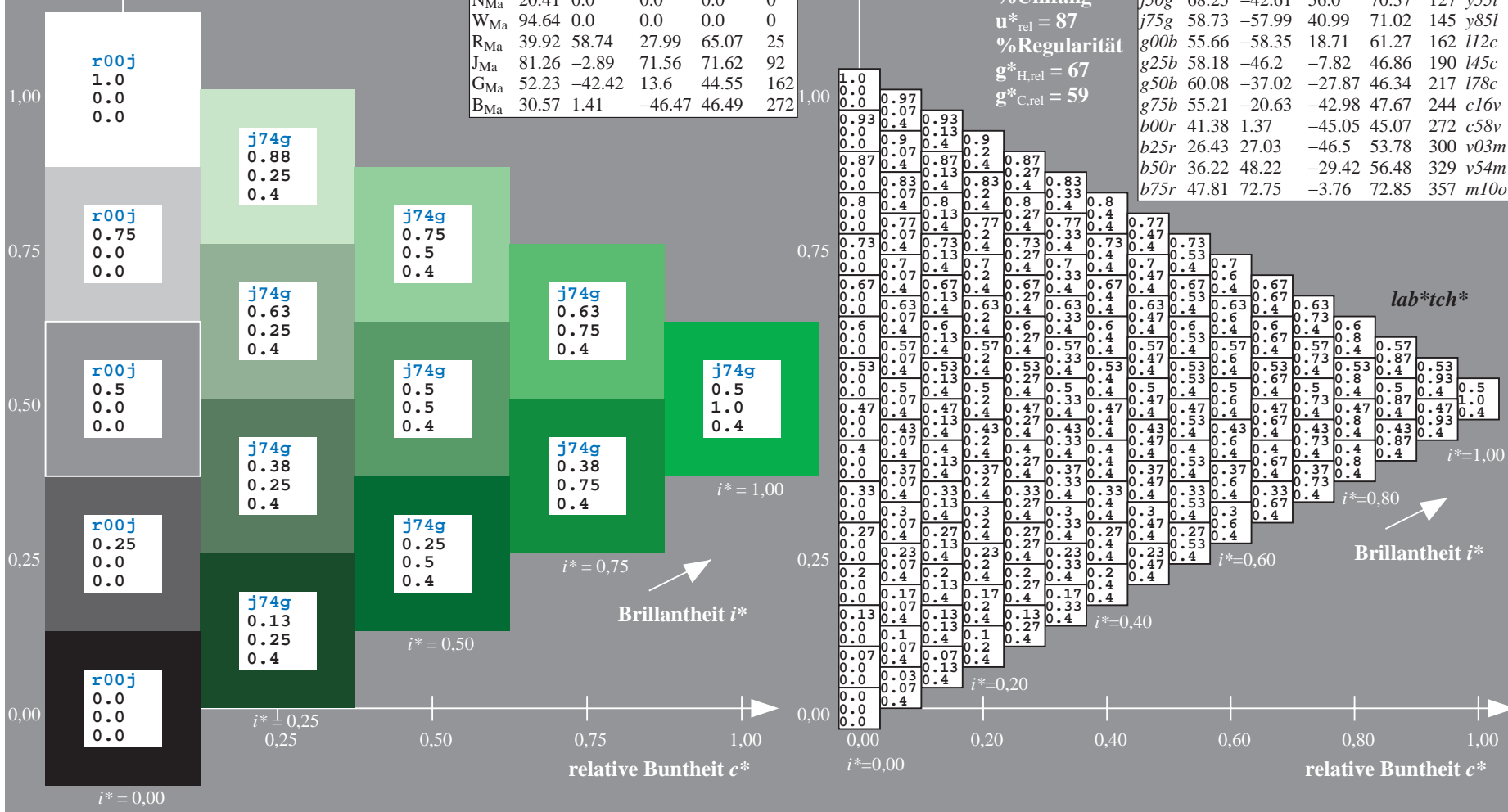
$g^*_{H,rel} = 67$

$g^*_{C,rel} = 59$

$u^*_e = j75g$
 lab^*tch^*

ORS20_95a; adaptierte CIELAB-Daten

	u^*_e	$L^*=L^*_a$	a^*_a	b^*_a	$C^*_{ab,a}$	$h^*_{ab,a}$	u^*_d
r00j	47.06	67.41	32.12	74.67	25	m84o	
r25j	53.95	53.38	48.38	72.04	42	o17y	
r50j	63.6	35.87	59.45	69.43	59	o42y	
r75j	73.37	18.14	70.66	72.95	76	o68y	
j00g	85.24	-3.4	84.28	84.35	92	o93y	
j25g	78.53	-25.99	72.23	76.76	110	y24l	
j50g	68.25	-42.61	56.0	70.37	127	y51l	
j75g	58.73	-57.99	40.99	71.02	145	y85l	
g00b	55.66	-58.35	18.71	61.27	162	l12c	
g25b	58.18	-46.2	-7.82	46.86	190	l45c	
g50b	60.08	-37.02	-27.87	46.34	217	l78c	
g75b	55.21	-20.63	-42.98	47.67	244	c16v	
b00r	41.38	1.37	-45.05	45.07	272	c58v	
b25r	26.43	27.03	-46.5	53.78	300	v03m	
b50r	36.22	48.22	-29.42	56.48	329	v54m	
b75r	47.81	72.75	-3.76	72.85	357	m10o	



Siehe ähnliche Dateien: <http://www.ps.bam.de/Eg39/>; [www.ps.bam.de/Version 2.1, io=1,1, Colspx=1](http://www.ps.bam.de/Version%201.1,io=1,1,Colspx=1)
 Technische Information: <http://www.ps.bam.de>

BAM-Registrierung: 20081001-Eg39/10L/L39G00NA.PS/.TXT BAM-Material: Code=rh4ta
 Anwendung für Beurteilung und Messung von Drucker- oder Monitorssystemen

Ein und Ausgabe: Farbmetrisches Drucker-Reflektiv-System ORS20_95a für relativen CIELAB-Buntton $h^* = lab^*h^* = h_{ab}/360 = 0.451$

Daten für jede Farbe:

lab^*tch^* und lab^*icu^*

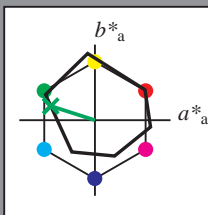
Bunttontexte:

$u^*_e = g00b$ $u^*_d = l12c$

Kontrastreduzierungsfaktor:

$c_R = 1.0$

Dreiecks-Helligkeit i^*



ORS20_95a; adaptierte CIELAB-Daten

	u^*_e	$L^*=L^*_a$	a^*_a	b^*_a	$C^*_{ab,a}$	$h^*_{ab,a}$
O _{Ma}	46.89	66.19	40.28	77.48	31	
Y _{Ma}	88.66	-9.62	88.21	88.73	96	
L _{Ma}	54.22	-65.29	33.87	73.56	153	
C _{Ma}	61.43	-30.53	-42.04	51.96	234	
V _{Ma}	25.93	25.95	-47.37	54.01	299	
M _{Ma}	47.92	73.53	-9.02	74.08	353	
N _{Ma}	20.41	0.0	0.0	0.0	0	
W _{Ma}	94.64	0.0	0.0	0.0	0	
R _{Ma}	39.92	58.74	27.99	65.07	25	
J _{Ma}	81.26	-2.89	71.56	71.62	92	
G _{Ma}	52.23	-42.42	13.6	44.55	162	
B _{Ma}	30.57	1.41	-46.47	46.49	272	

$u^*_e = g00b$
 lab^*tch^*

Daten für Maximalfarbe (Ma):

$LAB^*LAB^*_{Ma}: 56 -58 19$

$LAB^*LCH^*_{Ma}: 56 61 162$

$lab^*rgb^*_{Ma}: 0.0 1.0 0.0$

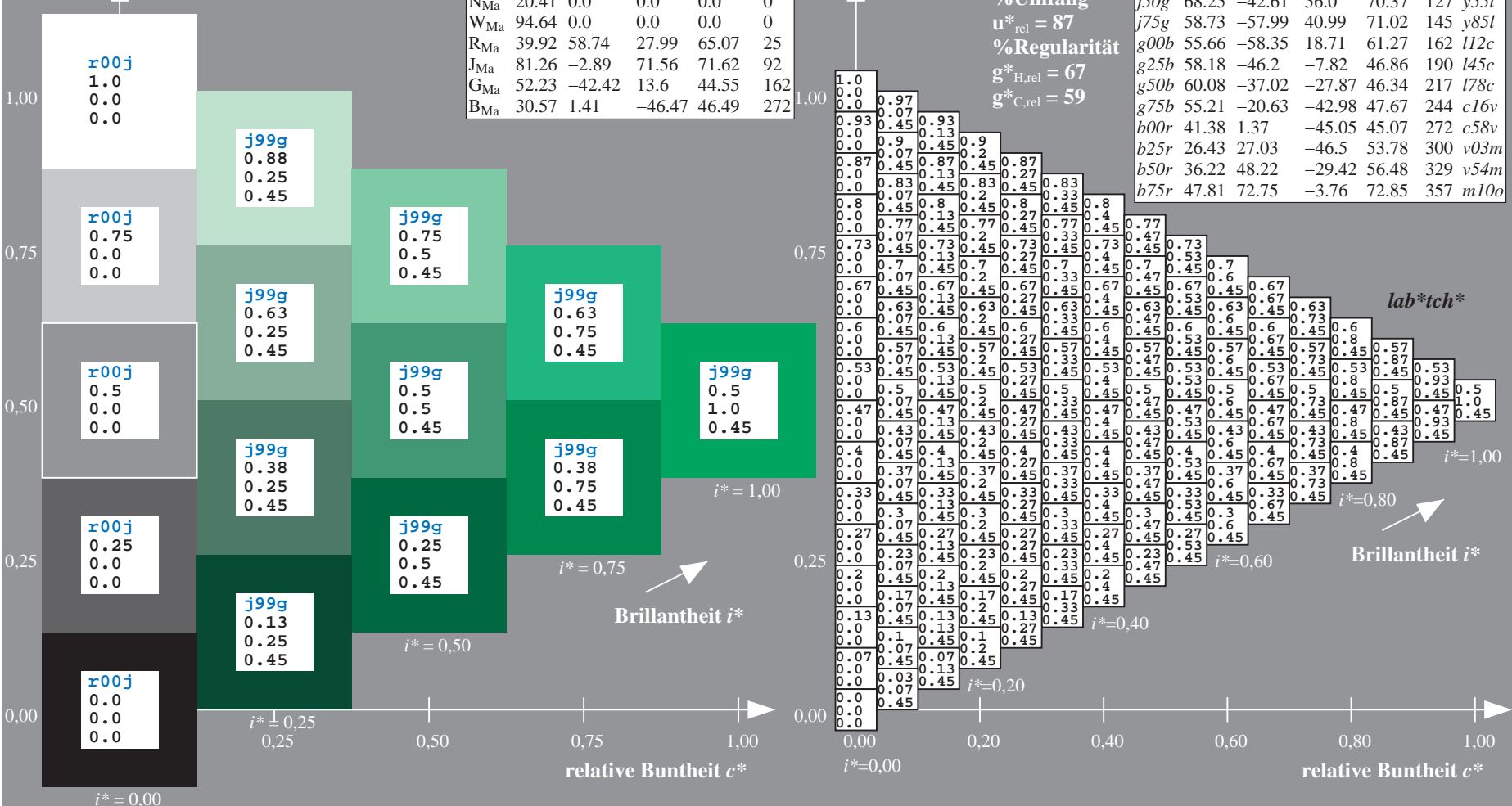
$lab^*olv^*_{Ma}: 0.0 1.0 0.12$

Dreiecks-Helligkeit i^*

%Umfang
 $u^*_{rel} = 87$
 %Regularität
 $g^*_{H,rel} = 67$
 $g^*_{C,rel} = 59$

ORS20_95a; adaptierte CIELAB-Daten

	u^*_e	$L^*=L^*_a$	a^*_a	b^*_a	$C^*_{ab,a}$	$h^*_{ab,a}$	u^*_d
r00j	47.06	67.41	32.12	74.67	25	m84o	
r25j	53.95	53.38	48.38	72.04	42	o17y	
r50j	63.6	35.87	59.45	69.43	59	o42y	
r75j	73.37	18.14	70.66	72.95	76	o68y	
j00g	85.24	-3.4	84.28	84.35	92	o93y	
j25g	78.53	-25.99	72.23	76.76	110	y24l	
j50g	68.25	-42.61	56.0	70.37	127	y51l	
j75g	58.73	-57.99	40.99	71.02	145	y85l	
g00b	55.66	-58.35	18.71	61.27	162	l12c	
g25b	58.18	-46.2	-7.82	46.86	190	l45c	
g50b	60.08	-37.02	-27.87	46.34	217	l78c	
g75b	55.21	-20.63	-42.98	47.67	244	c16v	
b00r	41.38	1.37	-45.05	45.07	272	c58v	
b25r	26.43	27.03	-46.5	53.78	300	v03m	
b50r	36.22	48.22	-29.42	56.48	329	v54m	
b75r	47.81	72.75	-3.76	72.85	357	m10o	



Siehe ähnliche Dateien: <http://www.ps.bam.de/Eg39/>; www.ps.bam.de/Version 2.1, io=1,1, ColSpX=1
 Technische Information: <http://www.ps.bam.de>

BAM-Registrierung: 20081001-Eg39/10L/L39G00NA.PS/.TXT BAM-Material: Code=rh4ta
 Anwendung für Beurteilung und Messung von Drucker- oder Monitorssystemen

Ein und Ausgabe: Farbmetrisches Drucker-Reflektiv-System ORS20_95a für relativen CIELAB-Buntton $h^* = lab^*h^* = h_{ab}/360 = 0.527$

Daten für jede Farbe:

lab^*tch^* und lab^*icu^*

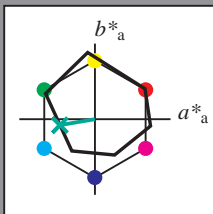
Bunttontexte:

$u^*_e = g25b$ $u^*_d = l45c$

Kontrastreduzierungsfaktor:

$c_R = 1.0$

Dreiecks-Helligkeit i^*



ORS20_95a; adaptierte CIELAB-Daten

	u^*_e	$L^*=L^*_a$	a^*_a	b^*_a	$C^*_{ab,a}$	$h^*_{ab,a}$
O _{Ma}	46.89	66.19	40.28	77.48	31	
Y _{Ma}	88.66	-9.62	88.21	88.73	96	
L _{Ma}	54.22	-65.29	33.87	73.56	153	
C _{Ma}	61.43	-30.53	-42.04	51.96	234	
V _{Ma}	25.93	25.95	-47.37	54.01	299	
M _{Ma}	47.92	73.53	-9.02	74.08	353	
N _{Ma}	20.41	0.0	0.0	0.0	0	
W _{Ma}	94.64	0.0	0.0	0.0	0	
R _{Ma}	39.92	58.74	27.99	65.07	25	
J _{Ma}	81.26	-2.89	71.56	71.62	92	
G _{Ma}	52.23	-42.42	13.6	44.55	162	
B _{Ma}	30.57	1.41	-46.47	46.49	272	

Daten für Maximalfarbe (Ma):

$LAB^*LAB^*_{Ma}$: 58 -46 -8

$LAB^*LCH^*_{Ma}$: 58 47 189

$lab^*rgb^*_{Ma}$: 0.0 1.0 0.5

$lab^*olv^*_{Ma}$: 0.0 1.0 0.45

Dreiecks-Helligkeit i^*

%Umfang

$u^*_{rel} = 87$

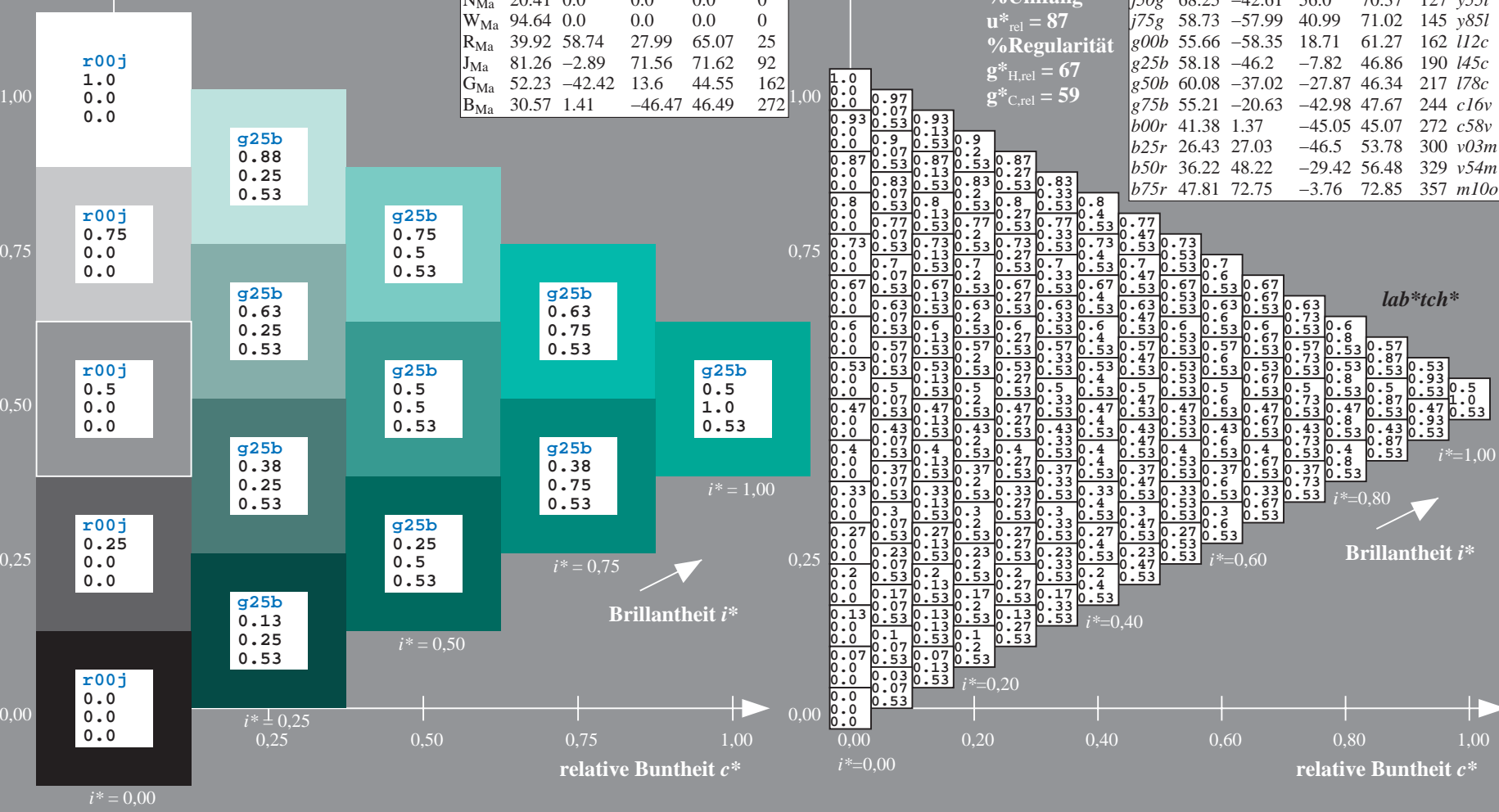
%Regularität

$g^*_{H,rel} = 67$

$g^*_{C,rel} = 59$

ORS20_95a; adaptierte CIELAB-Daten

	u^*_e	$L^*=L^*_a$	a^*_a	b^*_a	$C^*_{ab,a}$	$h^*_{ab,a}$	u^*_d
r00j	47.06	67.41	32.12	74.67	25	m84o	
r25j	53.95	53.38	48.38	72.04	42	o17y	
r50j	63.6	35.87	59.45	69.43	59	o42y	
r75j	73.37	18.14	70.66	72.95	76	o68y	
j00g	85.24	-3.4	84.28	84.35	92	o93y	
j25g	78.53	-25.99	72.23	76.76	110	y24l	
j50g	68.25	-42.61	56.0	70.37	127	y51l	
j75g	58.73	-57.99	40.99	71.02	145	y85l	
g00b	55.66	-58.35	18.71	61.27	162	l12c	
g25b	58.18	-46.2	-7.82	46.86	190	l45c	
g50b	60.08	-37.02	-27.87	46.34	217	l78c	
g75b	55.21	-20.63	-42.98	47.67	244	c16v	
b00r	41.38	1.37	-45.05	45.07	272	c58v	
b25r	26.43	27.03	-46.5	53.78	300	v03m	
b50r	36.22	48.22	-29.42	56.48	329	v54m	
b75r	47.81	72.75	-3.76	72.85	357	m10o	



Siehe ähnliche Dateien: <http://www.ps.bam.de/Eg39/>; www.ps.bam.de/Version 2.1, io=1,1, ColSpx=1
 Technische Information: <http://www.ps.bam.de>

BAM-Registrierung: 20081001-Eg39/10L/L39G00NA.PS/ .TXT BAM-Material: Code=rh4ta
 Anwendung für Beurteilung und Messung von Drucker- oder Monitorssystemen

Ein und Ausgabe: Farbmatisches Drucker-Reflektiv-System ORS20_95a für relativen CIELAB-Buntton $h^* = lab^*h^* = h_{ab}/360 = 0.603$

Daten für jede Farbe:

lab^*tch^* und lab^*icu^*

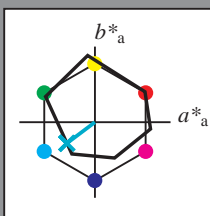
Bunttontexte:

$u^*_e = g50b$ $u^*_d = l78c$

Kontrastreduzierungsfaktor:

$c_R = 1.0$

Dreiecks-Helligkeit i^*



ORS20_95a; adaptierte CIELAB-Daten

	u^*_e	$L^*=L^*_a$	a^*_a	b^*_a	$C^*_{ab,a}$	$h^*_{ab,a}$
O _{Ma}	46.89	66.19	40.28	77.48	31	
Y _{Ma}	88.66	-9.62	88.21	88.73	96	
L _{Ma}	54.22	-65.29	33.87	73.56	153	
C _{Ma}	61.43	-30.53	-42.04	51.96	234	
V _{Ma}	25.93	25.95	-47.37	54.01	299	
M _{Ma}	47.92	73.53	-9.02	74.08	353	
N _{Ma}	20.41	0.0	0.0	0.0	0	
W _{Ma}	94.64	0.0	0.0	0.0	0	
R _{Ma}	39.92	58.74	27.99	65.07	25	
J _{Ma}	81.26	-2.89	71.56	71.62	92	
G _{Ma}	52.23	-42.42	13.6	44.55	162	
B _{Ma}	30.57	1.41	-46.47	46.49	272	

Daten für Maximalfarbe (Ma):

$LAB^*LAB^*_{Ma}$: 60 -37 -28

$LAB^*LCH^*_{Ma}$: 60 46 216

$lab^*rgb^*_{Ma}$: 0.0 1.0 1.0

$lab^*olv^*_{Ma}$: 0.0 1.0 0.79

Dreiecks-Helligkeit i^*

%Umfang

$u^*_{rel} = 87$

%Regularität

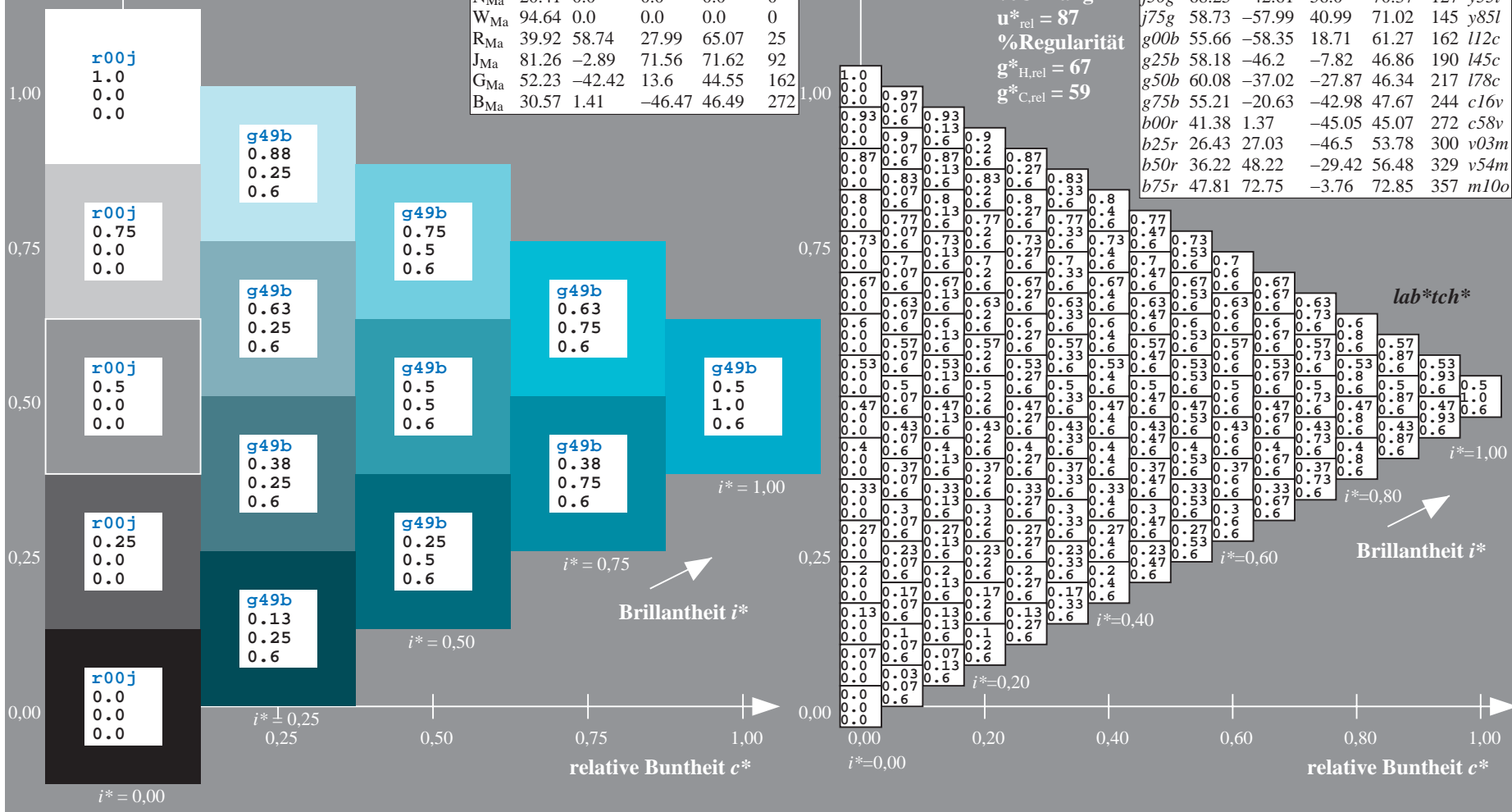
$g^*_{H,rel} = 67$

$g^*_{C,rel} = 59$

$u^*_e = g50b$
 lab^*tch^*

ORS20_95a; adaptierte CIELAB-Daten

	u^*_e	$L^*=L^*_a$	a^*_a	b^*_a	$C^*_{ab,a}$	$h^*_{ab,a}$	u^*_d
r00j	47.06	67.41	32.12	74.67	25	m84o	
r25j	53.95	53.38	48.38	72.04	42	o17y	
r50j	63.6	35.87	59.45	69.43	59	o42y	
r75j	73.37	18.14	70.66	72.95	76	o68y	
j00g	85.24	-3.4	84.28	84.35	92	o93y	
j25g	78.53	-25.99	72.23	76.76	110	y24l	
j50g	68.25	-42.61	56.0	70.37	127	y51l	
j75g	58.73	-57.99	40.99	71.02	145	y85l	
g00b	55.66	-58.35	18.71	61.27	162	l12c	
g25b	58.18	-46.2	-7.82	46.86	190	l45c	
g50b	60.08	-37.02	-27.87	46.34	217	l78c	
g75b	55.21	-20.63	-42.98	47.67	244	c16v	
b00r	41.38	1.37	-45.05	45.07	272	c58v	
b25r	26.43	27.03	-46.5	53.78	300	v03m	
b50r	36.22	48.22	-29.42	56.48	329	v54m	
b75r	47.81	72.75	-3.76	72.85	357	m10o	



Siehe ähnliche Dateien: <http://www.ps.bam.de/Eg39/>; www.ps.bam.de/Version 2.1, io=1,1, ColSpx=1
 Technische Information: <http://www.ps.bam.de>

BAM-Registrierung: 20081001-Eg39/10L/L39G00NA.PS/.TXT BAM-Material: Code=rh4ta
 Anwendung für Beurteilung und Messung von Drucker- oder Monitorssystemen

Ein und Ausgabe: Farbmetrisches Drucker-Reflektiv-System ORS20_95a für relativen CIELAB-Buntton $h^* = lab^*h^* = h_{ab}/360 = 0.679$

Daten für jede Farbe:

lab^*tch^* und lab^*icu^*

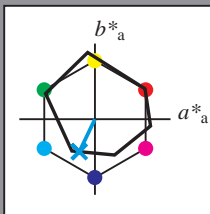
Bunttontexte:

$u^*_e = g75b$ $u^*_d = c16v$

Kontrastreduzierungsfaktor:

$c_R = 1.0$

Dreiecks-Helligkeit i^*



ORS20_95a; adaptierte CIELAB-Daten

	u^*_e	$L^*=L^*_a$	a^*_a	b^*_a	$C^*_{ab,a}$	$h^*_{ab,a}$
O _{Ma}	46.89	66.19	40.28	77.48	31	
Y _{Ma}	88.66	-9.62	88.21	88.73	96	
L _{Ma}	54.22	-65.29	33.87	73.56	153	
C _{Ma}	61.43	-30.53	-42.04	51.96	234	
V _{Ma}	25.93	25.95	-47.37	54.01	299	
M _{Ma}	47.92	73.53	-9.02	74.08	353	
N _{Ma}	20.41	0.0	0.0	0.0	0	
W _{Ma}	94.64	0.0	0.0	0.0	0	
R _{Ma}	39.92	58.74	27.99	65.07	25	
J _{Ma}	81.26	-2.89	71.56	71.62	92	
G _{Ma}	52.23	-42.42	13.6	44.55	162	
B _{Ma}	30.57	1.41	-46.47	46.49	272	

Daten für Maximalfarbe (Ma):

$LAB^*LAB^*_{Ma}$: 55 -21 -43

$LAB^*LCH^*_{Ma}$: 55 48 244

$lab^*rgb^*_{Ma}$: 0.0 0.5 1.0

$lab^*olv^*_{Ma}$: 0.0 0.84 1.0

Dreiecks-Helligkeit i^*

%Umfang

$u^*_{rel} = 87$

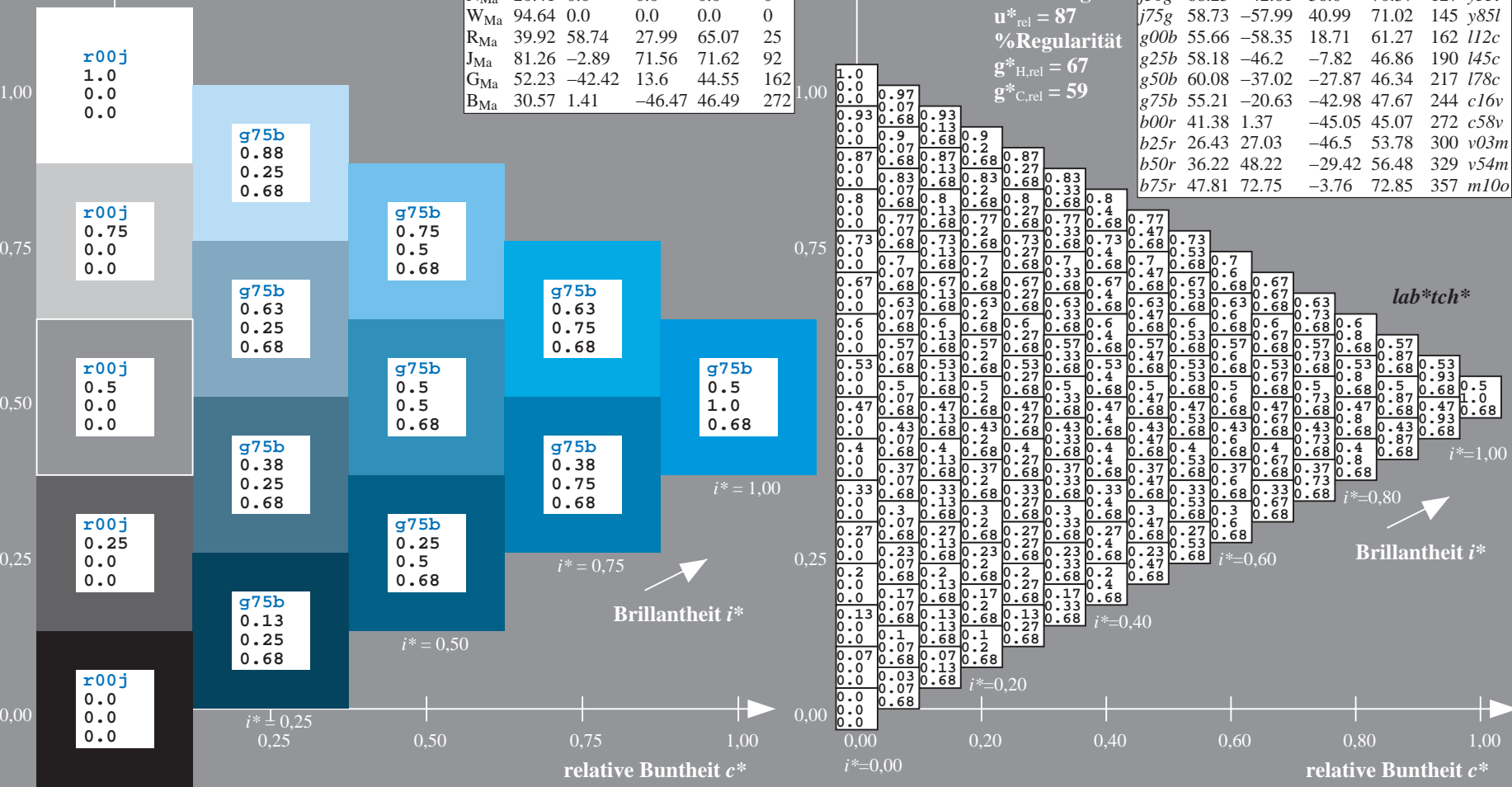
%Regularität

$g^*_{H,rel} = 67$

$g^*_{C,rel} = 59$

ORS20_95a; adaptierte CIELAB-Daten

	u^*_e	$L^*=L^*_a$	a^*_a	b^*_a	$C^*_{ab,a}$	$h^*_{ab,a}$	u^*_d
r00j	47.06	67.41	32.12	74.67	25	m84o	
r25j	53.95	53.38	48.38	72.04	42	o17y	
r50j	63.6	35.87	59.45	69.43	59	o42y	
r75j	73.37	18.14	70.66	72.95	76	o68y	
j00g	85.24	-3.4	84.28	84.35	92	o93y	
j25g	78.53	-25.99	72.23	76.76	110	y24l	
j50g	68.25	-42.61	56.0	70.37	127	y51l	
j75g	58.73	-57.99	40.99	71.02	145	y85l	
g00b	55.66	-58.35	18.71	61.27	162	l12c	
g25b	58.18	-46.2	-7.82	46.86	190	l45c	
g50b	60.08	-37.02	-27.87	46.34	217	l78c	
g75b	55.21	-20.63	-42.98	47.67	244	c16v	
b00r	41.38	1.37	-45.05	45.07	272	c58v	
b25r	26.43	27.03	-46.5	53.78	300	v03m	
b50r	36.22	48.22	-29.42	56.48	329	v54m	
b75r	47.81	72.75	-3.76	72.85	357	m10o	



BAM-Registrierung: 20081001-Eg39/10L/L39G00NA.PS/.TXT BAM-Material: Code=rh4ta
 Anwendung für Beurteilung und Messung von Drucker- oder Monitorssystemen

Ein und Ausgabe: Farbmetrisches Drucker-Reflektiv-System ORS20_95a für relativen CIELAB-Buntton $h^* = lab^*h^* = h_{ab}/360 = 0.755$

Daten für jede Farbe:

lab^*tch^* und lab^*icu^*

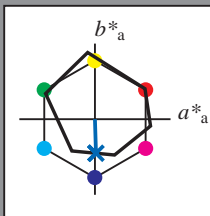
Bunttontexte:

$u^*_e = b00r$ $u^*_d = c58v$

Kontrastreduzierungsfaktor:

$c_R = 1.0$

Dreiecks-Helligkeit i^*



ORS20_95a; adaptierte CIELAB-Daten

	u^*_e	$L^*=L^*_a$	a^*_a	b^*_a	$C^*_{ab,a}$	$h^*_{ab,a}$
O _{Ma}	46.89	66.19	40.28	77.48	31	
Y _{Ma}	88.66	-9.62	88.21	88.73	96	
L _{Ma}	54.22	-65.29	33.87	73.56	153	
C _{Ma}	61.43	-30.53	-42.04	51.96	234	
V _{Ma}	25.93	25.95	-47.37	54.01	299	
M _{Ma}	47.92	73.53	-9.02	74.08	353	
N _{Ma}	20.41	0.0	0.0	0.0	0	
W _{Ma}	94.64	0.0	0.0	0.0	0	
R _{Ma}	39.92	58.74	27.99	65.07	25	
J _{Ma}	81.26	-2.89	71.56	71.62	92	
G _{Ma}	52.23	-42.42	13.6	44.55	162	
B _{Ma}	30.57	1.41	-46.47	46.49	272	

Daten für Maximalfarbe (Ma):

$LAB^*LAB^*_{Ma}$: 41 1 -45

$LAB^*LCH^*_{Ma}$: 41 45 271

$lab^*rgb^*_{Ma}$: 0.0 0.0 1.0

$lab^*olv^*_{Ma}$: 0.0 0.42 1.0

Dreiecks-Helligkeit i^*

%Umfang

$u^*_{rel} = 87$

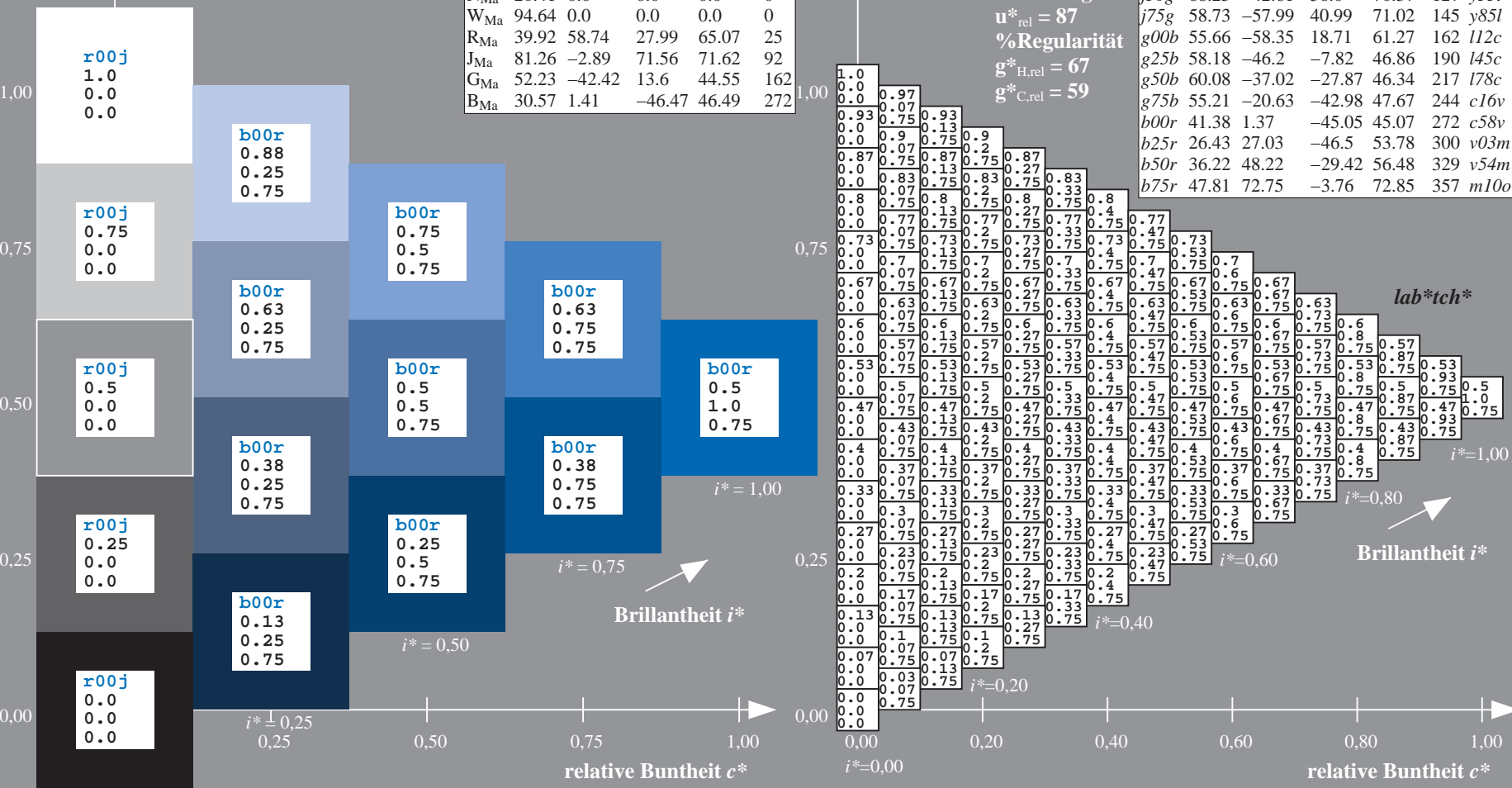
%Regularität

$g^*_{H,rel} = 67$

$g^*_{C,rel} = 59$

ORS20_95a; adaptierte CIELAB-Daten

	u^*_e	$L^*=L^*_a$	a^*_a	b^*_a	$C^*_{ab,a}$	$h^*_{ab,a}$	u^*_d
r00j	47.06	67.41	32.12	74.67	25	m84o	
r25j	53.95	53.38	48.38	72.04	42	o17y	
r50j	63.6	35.87	59.45	69.43	59	o42y	
r75j	73.37	18.14	70.66	72.95	76	o68y	
j00g	85.24	-3.4	84.28	84.35	92	o93y	
j25g	78.53	-25.99	72.23	76.76	110	y24l	
j50g	68.25	-42.61	56.0	70.37	127	y51l	
j75g	58.73	-57.99	40.99	71.02	145	y85l	
g00b	55.66	-58.35	18.71	61.27	162	l12c	
g25b	58.18	-46.2	-7.82	46.86	190	l45c	
g50b	60.08	-37.02	-27.87	46.34	217	l78c	
g75b	55.21	-20.63	-42.98	47.67	244	c16v	
b00r	41.38	1.37	-45.05	45.07	272	c58v	
b25r	26.43	27.03	-46.5	53.78	300	v03m	
b50r	36.22	48.22	-29.42	56.48	329	v54m	
b75r	47.81	72.75	-3.76	72.85	357	m10o	



Siehe ähnliche Dateien: <http://www.ps.bam.de/Eg39/>; www.ps.bam.de/Version 2.1, io=1,1, ColSpx=1
 Technische Information: <http://www.ps.bam.de>

BAM-Registrierung: 20081001-Eg39/10L/L39G00NA.PS/.TXT BAM-Material: Code=rhatha
 Anwendung für Beurteilung und Messung von Drucker- oder Monitorssystemen

Ein und Ausgabe: Farbmetrisches Drucker-Reflektiv-System ORS20_95a für relativen CIELAB-Buntton $h^* = lab^*h^* = h_{ab}/360 = 0.834$

Daten für jede Farbe:

lab^*tch^* und lab^*icu^*

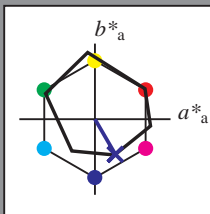
Bunttontexte:

$u^*_e = b25r$ $u^*_d = v03m$

Kontrastreduzierungsfaktor:

$c_R = 1.0$

Dreiecks-Helligkeit i^*



ORS20_95a; adaptierte CIELAB-Daten

	u^*_e	$L^*=L^*_a$	a^*_a	b^*_a	$C^*_{ab,a}$	$h^*_{ab,a}$
O _{Ma}	46.89	66.19	40.28	77.48	31	
Y _{Ma}	88.66	-9.62	88.21	88.73	96	
L _{Ma}	54.22	-65.29	33.87	73.56	153	
C _{Ma}	61.43	-30.53	-42.04	51.96	234	
V _{Ma}	25.93	25.95	-47.37	54.01	299	
M _{Ma}	47.92	73.53	-9.02	74.08	353	
N _{Ma}	20.41	0.0	0.0	0.0	0	
W _{Ma}	94.64	0.0	0.0	0.0	0	
R _{Ma}	39.92	58.74	27.99	65.07	25	
J _{Ma}	81.26	-2.89	71.56	71.62	92	
G _{Ma}	52.23	-42.42	13.6	44.55	162	
B _{Ma}	30.57	1.41	-46.47	46.49	272	

Daten für Maximalfarbe (Ma):

$LAB^*LAB^*_{Ma}$: 26 27 -46

$LAB^*LCH^*_{Ma}$: 26 54 300

$lab^*rgb^*_{Ma}$: 0.5 0.0 1.0

$lab^*olv^*_{Ma}$: 0.03 0.0 1.0

Dreiecks-Helligkeit i^*

%Umfang

$u^*_{rel} = 87$

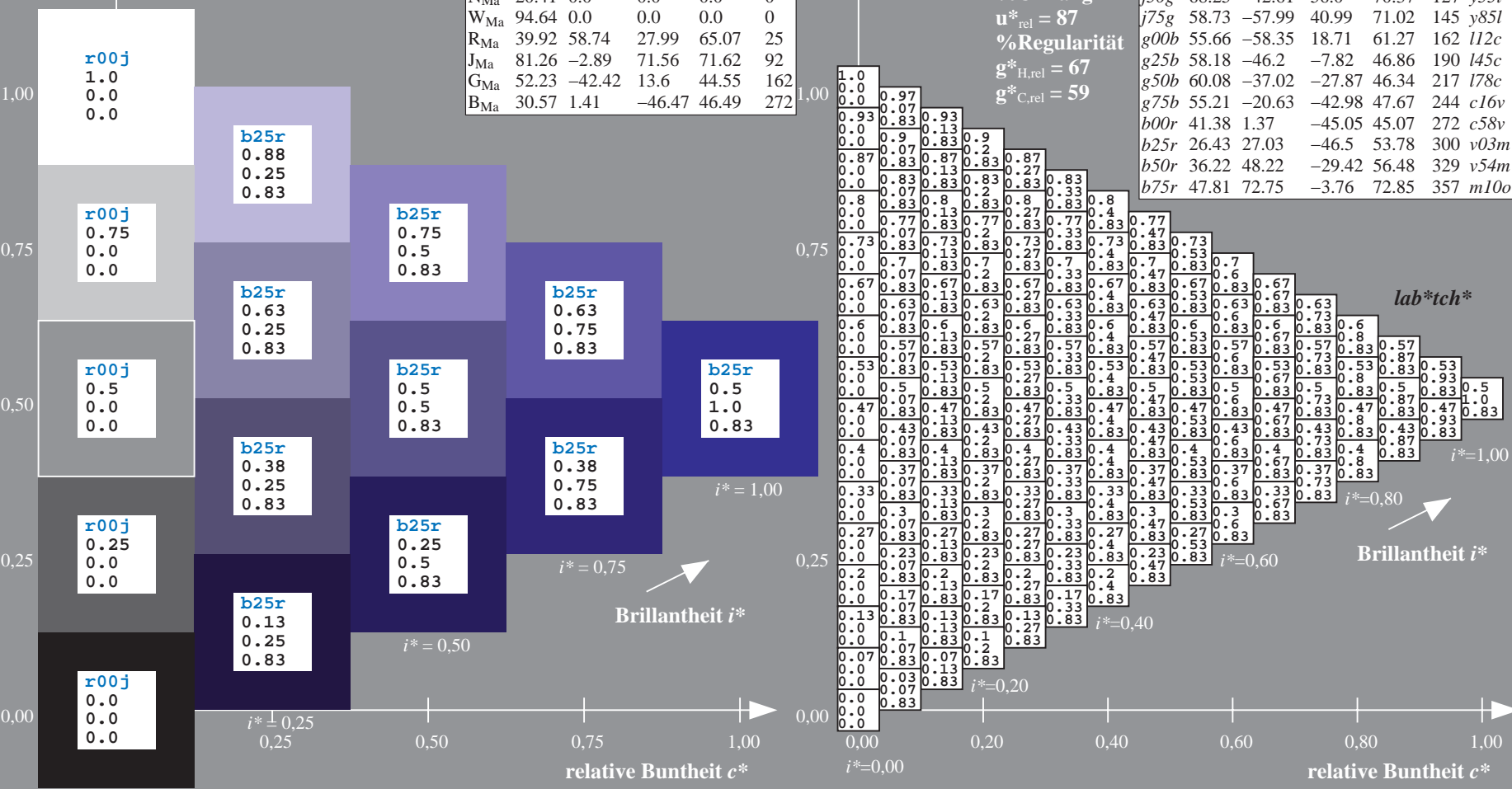
%Regularität

$g^*_{H,rel} = 67$

$g^*_{C,rel} = 59$

ORS20_95a; adaptierte CIELAB-Daten

	u^*_e	$L^*=L^*_a$	a^*_a	b^*_a	$C^*_{ab,a}$	$h^*_{ab,a}$	u^*_d
r00j	47.06	67.41	32.12	74.67	25	m84o	
r25j	53.95	53.38	48.38	72.04	42	o17y	
r50j	63.6	35.87	59.45	69.43	59	o42y	
r75j	73.37	18.14	70.66	72.95	76	o68y	
j00g	85.24	-3.4	84.28	84.35	92	o93y	
j25g	78.53	-25.99	72.23	76.76	110	y24l	
j50g	68.25	-42.61	56.0	70.37	127	y51l	
j75g	58.73	-57.99	40.99	71.02	145	y85l	
g00b	55.66	-58.35	18.71	61.27	162	l12c	
g25b	58.18	-46.2	-7.82	46.86	190	l45c	
g50b	60.08	-37.02	-27.87	46.34	217	l78c	
g75b	55.21	-20.63	-42.98	47.67	244	c16v	
b00r	41.38	1.37	-45.05	45.07	272	c58v	
b25r	26.43	27.03	-46.5	53.78	300	v03m	
b50r	36.22	48.22	-29.42	56.48	329	v54m	
b75r	47.81	72.75	-3.76	72.85	357	m10o	



Siehe ähnliche Dateien: <http://www.ps.bam.de/Eg39/>; www.ps.bam.de/Version 2.1, io=1,1, ColSpx=1
 Technische Information: <http://www.ps.bam.de>

BAM-Registrierung: 20081001-Eg39/10L/L39G00NA.PS/.TXT BAM-Material: Code=rh4ta
 Anwendung für Beurteilung und Messung von Drucker- oder Monitorssystemen

Ein und Ausgabe: Farbmetrisches Drucker-Reflektiv-System ORS20_95a für relativen CIELAB-Buntton $h^* = lab^*h^* = h_{ab}/360 = 0.913$

Daten für jede Farbe:

lab^*tch^* und lab^*icu^*

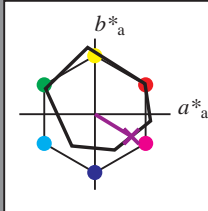
Bunttontexte:

$u^*_e = b50r$ $u^*_d = v54m$

Kontrastreduzierungsfaktor:

$c_R = 1.0$

Dreiecks-Helligkeit i^*



ORS20_95a; adaptierte CIELAB-Daten

	u^*_e	$L^*=L^*_a$	a^*_a	b^*_a	$C^*_{ab,a}$	$h^*_{ab,a}$
O _{Ma}	46.89	66.19	40.28	77.48	31	
Y _{Ma}	88.66	-9.62	88.21	88.73	96	
L _{Ma}	54.22	-65.29	33.87	73.56	153	
C _{Ma}	61.43	-30.53	-42.04	51.96	234	
V _{Ma}	25.93	25.95	-47.37	54.01	299	
M _{Ma}	47.92	73.53	-9.02	74.08	353	
N _{Ma}	20.41	0.0	0.0	0.0	0	
W _{Ma}	94.64	0.0	0.0	0.0	0	
R _{Ma}	39.92	58.74	27.99	65.07	25	
J _{Ma}	81.26	-2.89	71.56	71.62	92	
G _{Ma}	52.23	-42.42	13.6	44.55	162	
B _{Ma}	30.57	1.41	-46.47	46.49	272	

Daten für Maximalfarbe (Ma):

$LAB^*LAB^*_{Ma}$: 36 48 -29

$LAB^*LCH^*_{Ma}$: 36 56 328

$lab^*rgb^*_{Ma}$: 1.0 0.0 1.0

$lab^*olv^*_{Ma}$: 0.55 0.0 1.0

Dreiecks-Helligkeit i^*

%Umfang

$u^*_{rel} = 87$

%Regularität

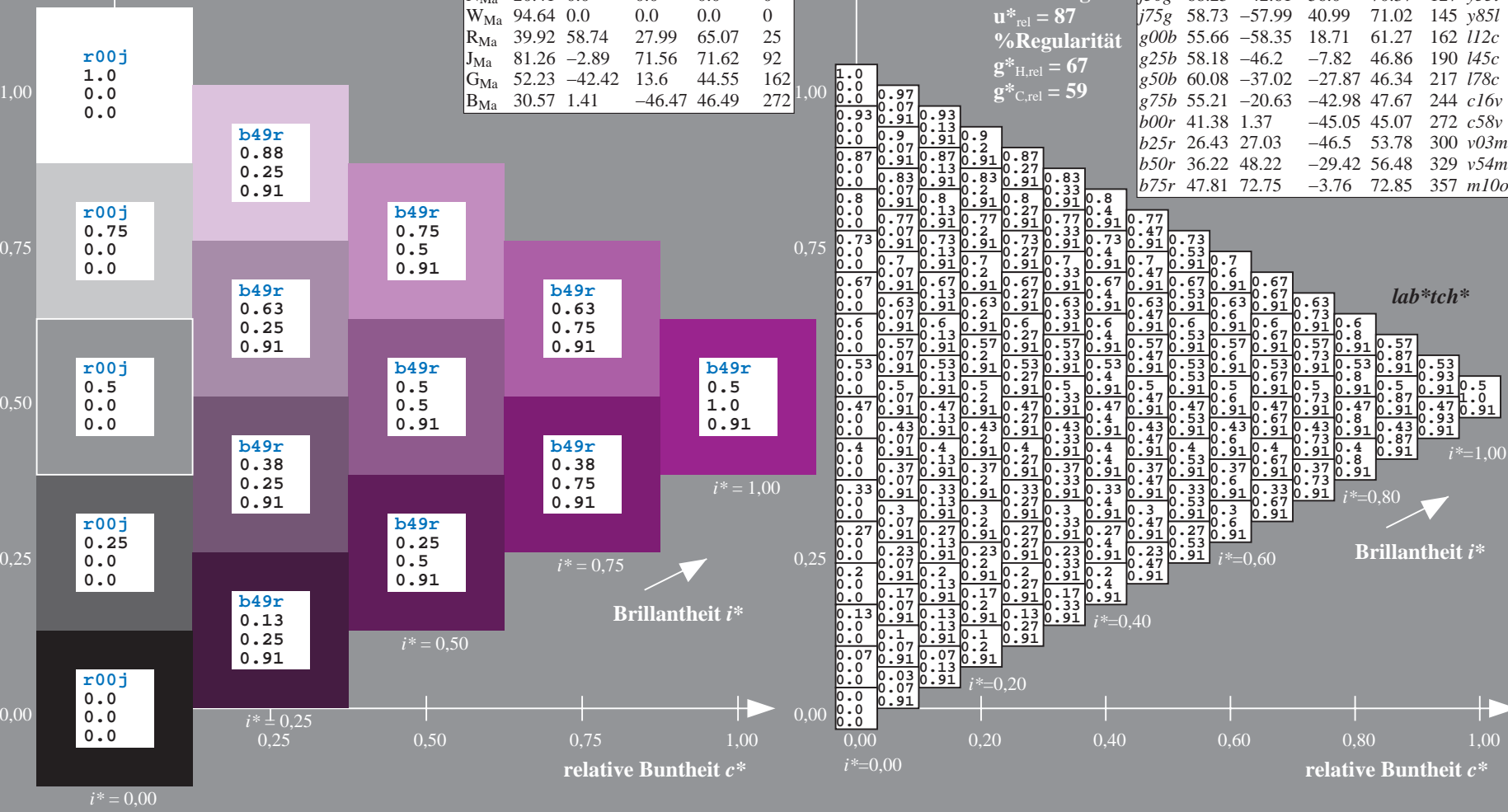
$g^*_{H,rel} = 67$

$g^*_{C,rel} = 59$

ORS20_95a; adaptierte CIELAB-Daten

	u^*_e	$L^*=L^*_a$	a^*_a	b^*_a	$C^*_{ab,a}$	$h^*_{ab,a}$	u^*_d
r00j	47.06	67.41	32.12	74.67	25	m84o	
r25j	53.95	53.38	48.38	72.04	42	o17y	
r50j	63.6	35.87	59.45	69.43	59	o42y	
r75j	73.37	18.14	70.66	72.95	76	o68y	
j00g	85.24	-3.4	84.28	84.35	92	o93y	
j25g	78.53	-25.99	72.23	76.76	110	y24l	
j50g	68.25	-42.61	56.0	70.37	127	y51l	
j75g	58.73	-57.99	40.99	71.02	145	y85l	
g00b	55.66	-58.35	18.71	61.27	162	l12c	
g25b	58.18	-46.2	-7.82	46.86	190	l45c	
g50b	60.08	-37.02	-27.87	46.34	217	l78c	
g75b	55.21	-20.63	-42.98	47.67	244	c16v	
b00r	41.38	1.37	-45.05	45.07	272	c58v	
b25r	26.43	27.03	-46.5	53.78	300	v03m	
b50r	36.22	48.22	-29.42	56.48	329	v54m	
b75r	47.81	72.75	-3.76	72.85	357	m10o	

$u^*_e = b50r$
 lab^*tch^*



Siehe ähnliche Dateien: <http://www.ps.bam.de/Eg39/>; www.ps.bam.de/Version 2.1, io=1,1, ColSpx=1
Technische Information: <http://www.ps.bam.de/Version 2.1, io=1,1, ColSpx=1>

BAM-Registrierung: 20081001-Eg39/10L/L39G00NA.PS/.TXT BAM-Material: Code=rhatha
Anwendung für Beurteilung und Messung von Drucker- oder Monitorssystemen

Ein und Ausgabe: Farbmetrisches Drucker-Reflektiv-System ORS20_95a für relativen CIELAB-Buntton $h^* = lab^*h^* = h_{ab}/360 = 0.992$

Daten für jede Farbe:

lab^*tch^* und lab^*icu^*

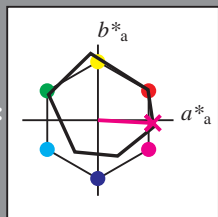
Bunttontexte:

$u^*_e = b75r$ $u^*_d = m10o$

Kontrastreduzierungsfaktor:

$c_R = 1.0$

Dreiecks-Helligkeit i^*



ORS20_95a; adaptierte CIELAB-Daten

	u^*_e	$L^*=L^*_a$	a^*_a	b^*_a	$C^*_{ab,a}$	$h^*_{ab,a}$
O _{Ma}	46.89	66.19	40.28	77.48	31	
Y _{Ma}	88.66	-9.62	88.21	88.73	96	
L _{Ma}	54.22	-65.29	33.87	73.56	153	
C _{Ma}	61.43	-30.53	-42.04	51.96	234	
V _{Ma}	25.93	25.95	-47.37	54.01	299	
M _{Ma}	47.92	73.53	-9.02	74.08	353	
N _{Ma}	20.41	0.0	0.0	0.0	0	
W _{Ma}	94.64	0.0	0.0	0.0	0	
R _{Ma}	39.92	58.74	27.99	65.07	25	
J _{Ma}	81.26	-2.89	71.56	71.62	92	
G _{Ma}	52.23	-42.42	13.6	44.55	162	
B _{Ma}	30.57	1.41	-46.47	46.49	272	

Daten für Maximalfarbe (Ma):

$LAB^*LAB^*_{Ma}$: 48 73 -4

$LAB^*LCH^*_{Ma}$: 48 73 357

$lab^*rgb^*_{Ma}$: 1.0 0.0 0.5

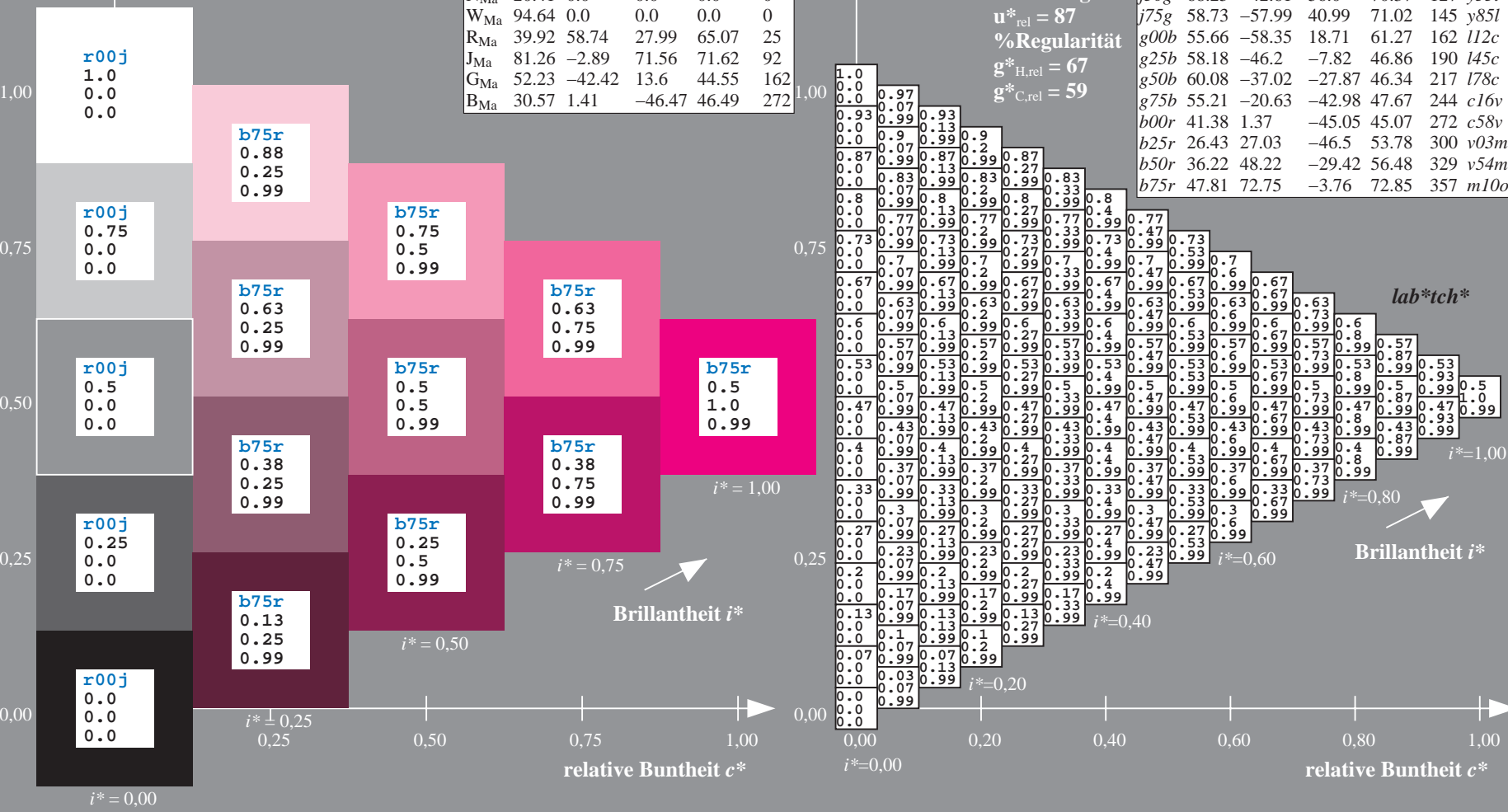
$lab^*olv^*_{Ma}$: 1.0 0.0 0.89

Dreiecks-Helligkeit i^*

%Umfang
 $u^*_{rel} = 87$
 %Regularität
 $g^*_{H,rel} = 67$
 $g^*_{C,rel} = 59$

ORS20_95a; adaptierte CIELAB-Daten

	u^*_e	$L^*=L^*_a$	a^*_a	b^*_a	$C^*_{ab,a}$	$h^*_{ab,a}$	u^*_d
r00j	47.06	67.41	32.12	74.67	25	m84o	
r25j	53.95	53.38	48.38	72.04	42	o17y	
r50j	63.6	35.87	59.45	69.43	59	o42y	
r75j	73.37	18.14	70.66	72.95	76	o68y	
j00g	85.24	-3.4	84.28	84.35	92	o93y	
j25g	78.53	-25.99	72.23	76.76	110	y24l	
j50g	68.25	-42.61	56.0	70.37	127	y51l	
j75g	58.73	-57.99	40.99	71.02	145	y85l	
g00b	55.66	-58.35	18.71	61.27	162	l12c	
g25b	58.18	-46.2	-7.82	46.86	190	l45c	
g50b	60.08	-37.02	-27.87	46.34	217	l78c	
g75b	55.21	-20.63	-42.98	47.67	244	c16v	
b00r	41.38	1.37	-45.05	45.07	272	c58v	
b25r	26.43	27.03	-46.5	53.78	300	v03m	
b50r	36.22	48.22	-29.42	56.48	329	v54m	
b75r	47.81	72.75	-3.76	72.85	357	m10o	



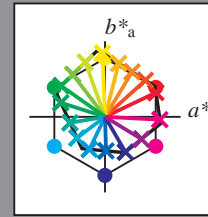
Siehe ähnliche Dateien: <http://www.ps.bam.de/Eg39/>; www.ps.bam.de/Version 2.1, io=1,1, ColSpX=1
 Technische Information: <http://www.ps.bam.de>

BAM-Registrierung: 20081001-Eg39/10L/L39G00NA.PS/.TXT BAM-Material: Code=rh4ta
 Anwendung für Beurteilung und Messung von Drucker- oder Monitorssystemen

Ein und Ausgabe:
 Farbmetrisches Drucker-Reflektiv-System ORS20_95a
 Daten für jede Farbe:
 u^*_e und Nummer *Nr.* = 00 .. 15
 Elementar-Bunttext:
 $u^*_e = 16$ Bunttoene *r00j, r25j, ..., b75r*
 Kontrastreduzierungsfaktor:
 $c_R = 1.0$

ORS20_95a; adaptierte CIELAB-Daten

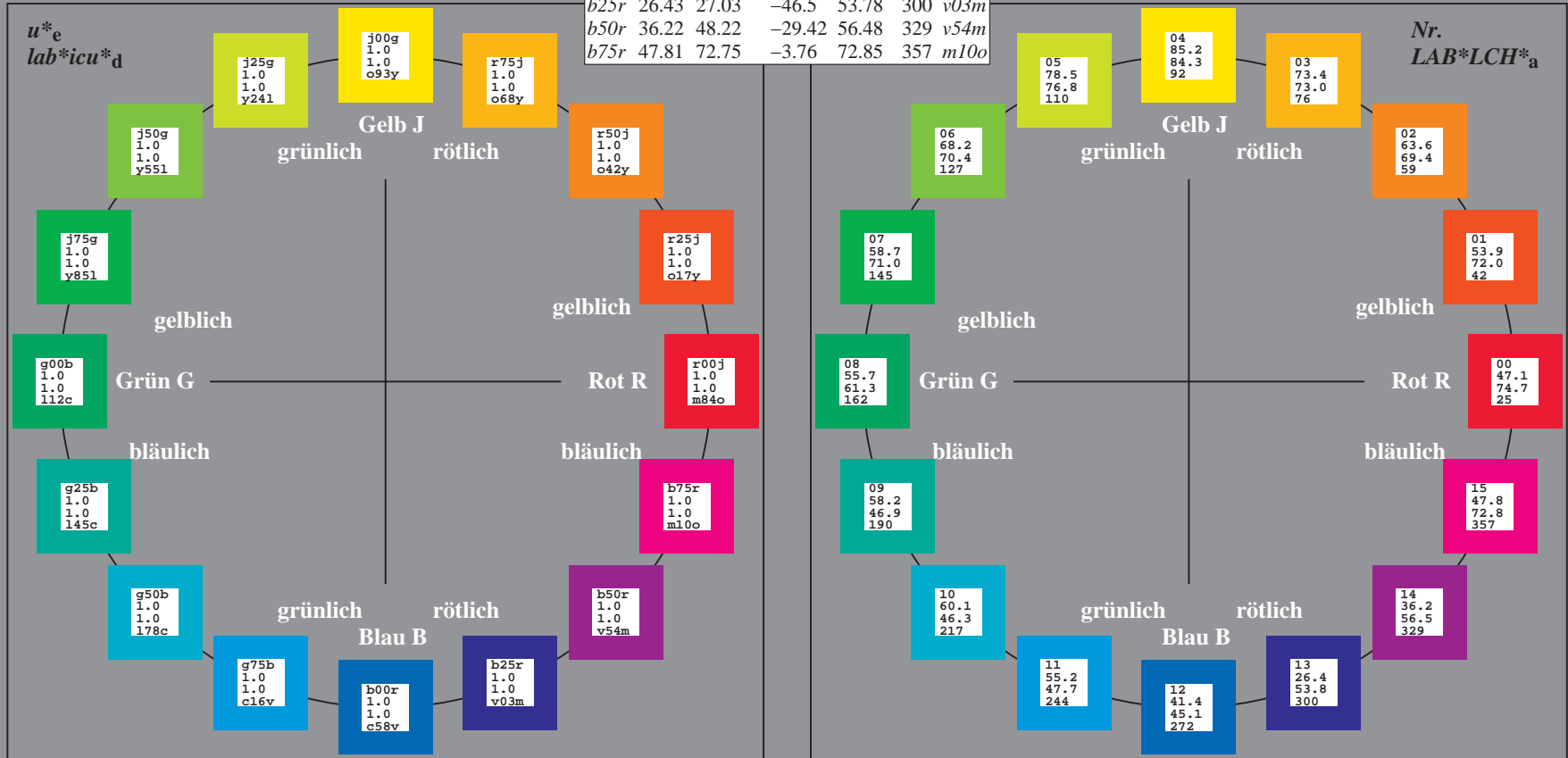
u^*_e	$L^*=L^*_a$	a^*_a	b^*_a	$C^*_{ab,a}$	$h^*_{ab,a}$	u^*_d
r00j	47.06	67.41	32.12	74.67	25	m84o
r25j	53.95	53.38	48.38	72.04	42	o17y
r50j	63.6	35.87	59.45	69.43	59	o42y
r75j	73.37	18.14	70.66	72.95	76	o68y
j00g	85.24	-3.4	84.28	84.35	92	o93y
j25g	78.53	-25.99	72.23	76.76	110	y24l
j50g	68.25	-42.61	56.0	70.37	127	y55l
j75g	58.73	-57.99	40.99	71.02	145	y85l
g00b	55.66	-48.35	18.71	61.27	162	l12c
g25b	58.18	-56.2	-7.82	46.86	190	l45c
g50b	60.08	-37.02	-27.87	46.34	217	l78c
g75b	55.21	-20.63	-42.98	47.67	244	c16v
b00r	41.38	1.37	-45.05	45.07	272	c58v
b25r	26.43	27.03	-46.5	53.78	300	v03m
b50r	36.22	48.22	-29.42	56.48	329	v54m
b75r	47.81	72.75	-3.76	72.85	357	m10o



%Umfang
 $u^*_{rel} = 87$
 %Regularität
 $g^*_{H,rel} = 67$
 $g^*_{C,rel} = 59$

ORS20_95a; adaptierte CIELAB-Daten

Name	$L^*=L^*_a$	a^*_a	b^*_a	$C^*_{ab,a}$	$h^*_{ab,a}$
OMa	46.89	66.19	40.28	77.48	31
YMa	88.66	-9.62	88.21	88.73	96
LMa	54.22	-65.29	33.87	73.56	153
CMa	61.43	-30.53	-42.04	51.96	234
VMa	25.93	25.95	-47.37	54.01	299
MMa	47.92	73.53	-9.02	74.08	353
NMa	20.41	0.0	0.0	0.0	0
WMa	94.64	0.0	0.0	0.0	0
RCIE	39.92	58.74	27.99	65.07	25
JCIE	81.26	-2.89	71.56	71.62	92
GCIE	52.23	-42.42	13.6	44.55	162
BCIE	30.57	1.41	-46.47	46.49	272



Siehe ähnliche Dateien: <http://www.ps.bam.de/Eg39/>; [www.ps.bam.de/Version 2.1, io=1,1, ColSpx=1](http://www.ps.bam.de/Version2.1,io=1,1,ColSpx=1)
 Technische Information: <http://www.ps.bam.de>

BAM-Registrierung: 20081001-Eg39/10L/L39G00NA.PS/.TXT BAM-Material: Code=rh4ta
 Anwendung für Beurteilung und Messung von Drucker- oder Monitorsystemen

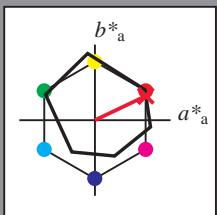
Ein und Ausgabe: Farbmetrisches Drucker-Reflektiv-System ORS20_95a für relativen CIELAB-Bunnton $h^* = lab^*h^* = h_{ab}/360 = 0.071$

Daten für jede Farbe:
 lab^*ch^* und lab^*icu^*

Bunntontexte:
 $u^*_e = r00j$ $u^*_d = m84o$

Kontrastreduzierungsfaktor:
 $c_R = 1.0$

Dreiecks-Helligkeit i^*



ORS20_95a; adaptierte CIELAB-Daten						
	u^*_e	$L^*=L^*_a$	a^*_a	b^*_a	$C^*_{ab,a}$	$h^*_{ab,a}$
O _{Ma}	46.89	66.19	40.28	77.48	31	
Y _{Ma}	88.66	-9.62	88.21	88.73	96	
L _{Ma}	54.22	-65.29	33.87	73.56	153	
C _{Ma}	61.43	-30.53	-42.04	51.96	234	
V _{Ma}	25.93	25.95	-47.37	54.01	299	
M _{Ma}	47.92	73.53	-9.02	74.08	353	
N _{Ma}	20.41	0.0	0.0	0.0	0	
W _{Ma}	94.64	0.0	0.0	0.0	0	
R _{Ma}	39.92	58.74	27.99	65.07	25	
J _{Ma}	81.26	-2.89	71.56	71.62	92	
G _{Ma}	52.23	-42.42	13.6	44.55	162	
B _{Ma}	30.57	1.41	-46.47	46.49	272	

Daten für Maximalfarbe (Ma):

$LAB^*LAB^*_{Ma}$: 47 67 32

$LAB^*LCH^*_{Ma}$: 47 75 25

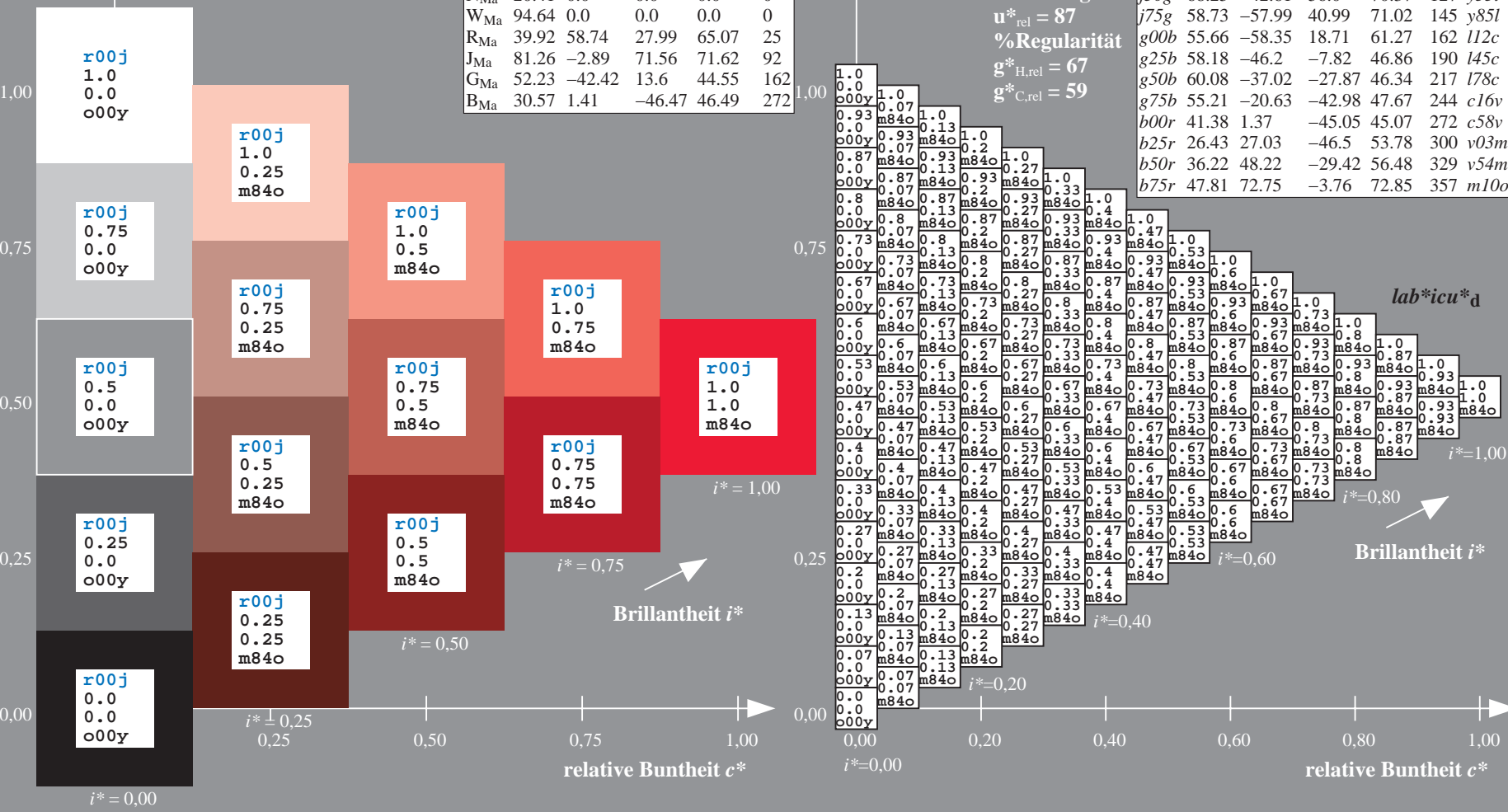
$lab^*rgb^*_{Ma}$: 1.0 0.0 0.0

$lab^*olv^*_{Ma}$: 1.0 0.0 0.15

Dreiecks-Helligkeit i^*

%Umfang
 $u^*_{rel} = 87$
 %Regularität
 $g^*_{H,rel} = 67$
 $g^*_{C,rel} = 59$

ORS20_95a; adaptierte CIELAB-Daten							
	u^*_e	$L^*=L^*_a$	a^*_a	b^*_a	$C^*_{ab,a}$	$h^*_{ab,a}$	u^*_d
r00j	47.06	67.41	32.12	74.67	25	m84o	
r25j	53.95	53.38	48.38	72.04	42	o17y	
r50j	63.6	35.87	59.45	69.43	59	o42y	
r75j	73.37	18.14	70.66	72.95	76	o68y	
j00g	85.24	-3.4	84.28	84.35	92	o93y	
j25g	78.53	-25.99	72.23	76.76	110	y24l	
j50g	68.25	-42.61	56.0	70.37	127	y51l	
j75g	58.73	-57.99	40.99	71.02	145	y85l	
g00b	55.66	-58.35	18.71	61.27	162	l12c	
g25b	58.18	-46.2	-7.82	46.86	190	l45c	
g50b	60.08	-37.02	-27.87	46.34	217	l78c	
g75b	55.21	-20.63	-42.98	47.67	244	c16v	
b00r	41.38	1.37	-45.05	45.07	272	c58v	
b25r	26.43	27.03	-46.5	53.78	300	v03m	
b50r	36.22	48.22	-29.42	56.48	329	v54m	
b75r	47.81	72.75	-3.76	72.85	357	m10o	



Siehe ähnliche Dateien: <http://www.ps.bam.de/Eg39/>; www.ps.bam.de/Version 2.1, io=1,1, ColSpx=1
 Technische Information: <http://www.ps.bam.de>

BAM-Registrierung: 20081001-Eg39/10L/L39G00NA.PS/.TXT BAM-Material: Code=rhatha
 Anwendung für Beurteilung und Messung von Drucker- oder Monitorssystemen

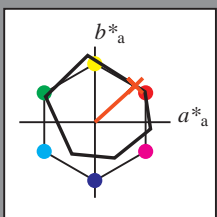
Ein und Ausgabe: Farbmatisches Drucker-Reflektiv-System ORS20_95a für relativen CIELAB-Buntton $h^* = lab^*h^* = h_{ab}/360 = 0.117$

Daten für jede Farbe:
 lab^*ch^* und lab^*icu^*

Bunttontexte:
 $u^*_e = r25j$ $u^*_d = o17y$

Kontrastreduzierungsfaktor:
 $c_R = 1.0$

Dreiecks-Helligkeit i^*



ORS20_95a; adaptierte CIELAB-Daten

	u^*_e	$L^*=L^*_a$	a^*_a	b^*_a	$C^*_{ab,a}$	$h^*_{ab,a}$
O _{Ma}	46.89	66.19	40.28	77.48	31	
Y _{Ma}	88.66	-9.62	88.21	88.73	96	
L _{Ma}	54.22	-65.29	33.87	73.56	153	
C _{Ma}	61.43	-30.53	-42.04	51.96	234	
V _{Ma}	25.93	25.95	-47.37	54.01	299	
M _{Ma}	47.92	73.53	-9.02	74.08	353	
N _{Ma}	20.41	0.0	0.0	0.0	0	
W _{Ma}	94.64	0.0	0.0	0.0	0	
R _{Ma}	39.92	58.74	27.99	65.07	25	
J _{Ma}	81.26	-2.89	71.56	71.62	92	
G _{Ma}	52.23	-42.42	13.6	44.55	162	
B _{Ma}	30.57	1.41	-46.47	46.49	272	

Daten für Maximalfarbe (Ma):

$LAB^*LAB^*_{Ma}$: 54 53 48

$LAB^*LCH^*_{Ma}$: 54 72 42

$lab^*rgb^*_{Ma}$: 1.0 0.25 0.0

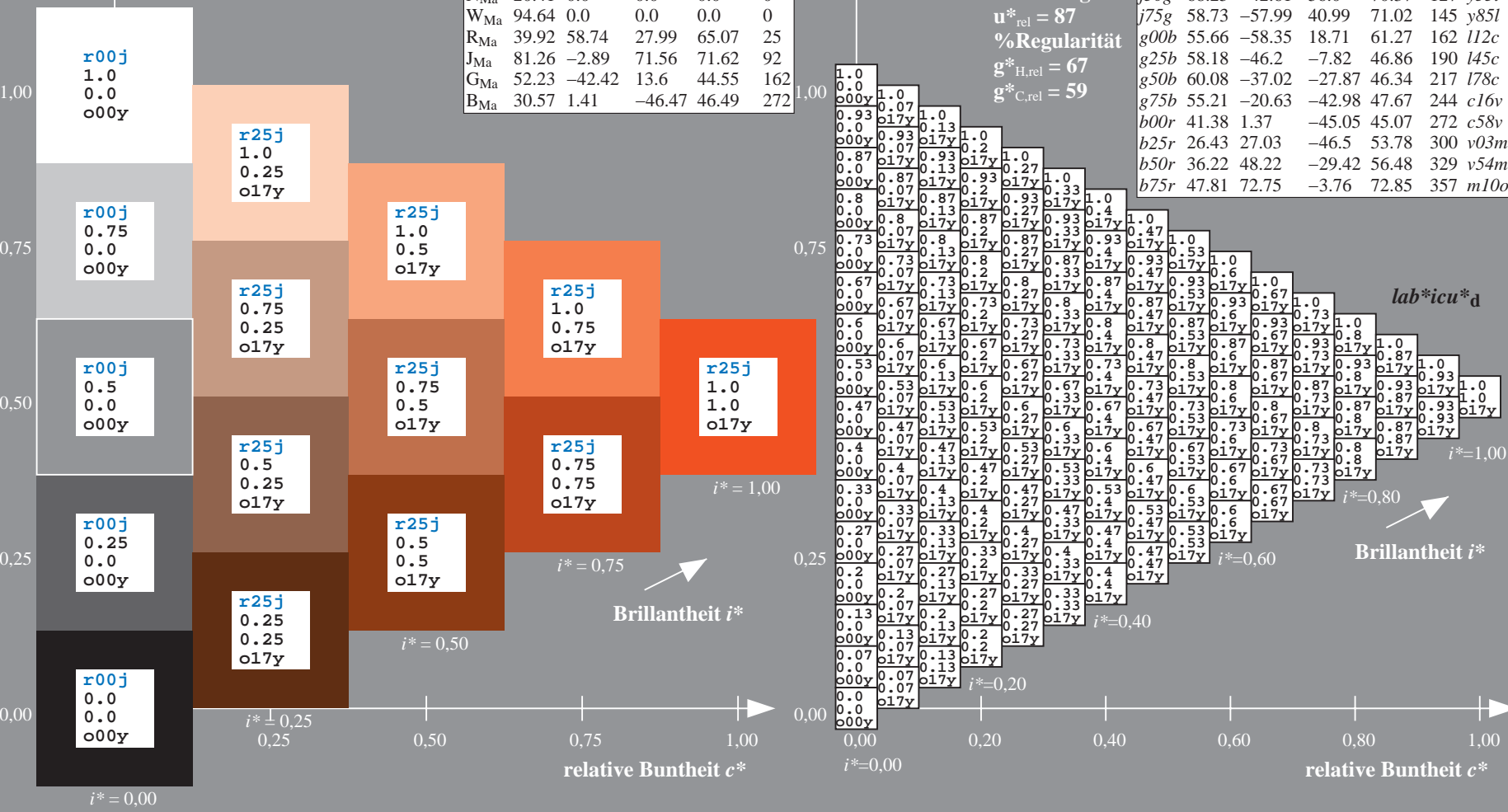
$lab^*olv^*_{Ma}$: 1.0 0.17 0.0

Dreiecks-Helligkeit i^*

%Umfang
 $u^*_{rel} = 87$
 %Regularität
 $g^*_{H,rel} = 67$
 $g^*_{C,rel} = 59$

ORS20_95a; adaptierte CIELAB-Daten

	u^*_e	$L^*=L^*_a$	a^*_a	b^*_a	$C^*_{ab,a}$	$h^*_{ab,a}$	u^*_d
r00j	47.06	67.41	32.12	74.67	25	m84o	
r25j	53.95	53.38	48.38	72.04	42	o17y	
r50j	63.6	35.87	59.45	69.43	59	o42y	
r75j	73.37	18.14	70.66	72.95	76	o68y	
j00g	85.24	-3.4	84.28	84.35	92	o93y	
j25g	78.53	-25.99	72.23	76.76	110	y24l	
j50g	68.25	-42.61	56.0	70.37	127	y51l	
j75g	58.73	-57.99	40.99	71.02	145	y85l	
g00b	55.66	-58.35	18.71	61.27	162	l12c	
g25b	58.18	-46.2	-7.82	46.86	190	l45c	
g50b	60.08	-37.02	-27.87	46.34	217	l78c	
g75b	55.21	-20.63	-42.98	47.67	244	c16v	
b00r	41.38	1.37	-45.05	45.07	272	c58v	
b25r	26.43	27.03	-46.5	53.78	300	v03m	
b50r	36.22	48.22	-29.42	56.48	329	v54m	
b75r	47.81	72.75	-3.76	72.85	357	m10o	



Siehe ähnliche Dateien: <http://www.ps.bam.de/Eg39/>; www.ps.bam.de/Version 2.1, io=1,1, ColSpx=1
 Technische Information: <http://www.ps.bam.de>

BAM-Registrierung: 20081001-Eg39/10L/L39G00NA.PS/.TXT BAM-Material: Code=rhatha
 Anwendung für Beurteilung und Messung von Drucker- oder Monitorssystemen

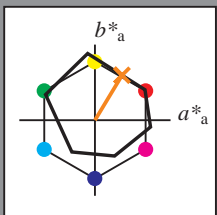
Ein und Ausgabe: Farbmatisches Drucker-Reflektiv-System ORS20_95a für relativen CIELAB-Buntton $h^* = lab^*h^* = h_{ab}/360 = 0.164$

Daten für jede Farbe:
 lab^*ch^* und lab^*icu^*

Bunntontexte:
 $u^*_e = r50j$ $u^*_d = o42y$

Kontrastreduzierungsfaktor:
 $c_R = 1.0$

Dreiecks-Helligkeit i^*



ORS20_95a; adaptierte CIELAB-Daten

	u^*_e	$L^*=L^*_a$	a^*_a	b^*_a	$C^*_{ab,a}$	$h^*_{ab,a}$
O _{Ma}	46.89	66.19	40.28	77.48	31	
Y _{Ma}	88.66	-9.62	88.21	88.73	96	
L _{Ma}	54.22	-65.29	33.87	73.56	153	
C _{Ma}	61.43	-30.53	-42.04	51.96	234	
V _{Ma}	25.93	25.95	-47.37	54.01	299	
M _{Ma}	47.92	73.53	-9.02	74.08	353	
N _{Ma}	20.41	0.0	0.0	0.0	0	
W _{Ma}	94.64	0.0	0.0	0.0	0	
R _{Ma}	39.92	58.74	27.99	65.07	25	
J _{Ma}	81.26	-2.89	71.56	71.62	92	
G _{Ma}	52.23	-42.42	13.6	44.55	162	
B _{Ma}	30.57	1.41	-46.47	46.49	272	

Daten für Maximalfarbe (Ma):

$LAB^*LAB^*_{Ma}$: 64 36 59

$LAB^*LCH^*_{Ma}$: 64 69 58

$lab^*rgb^*_{Ma}$: 1.0 0.5 0.0

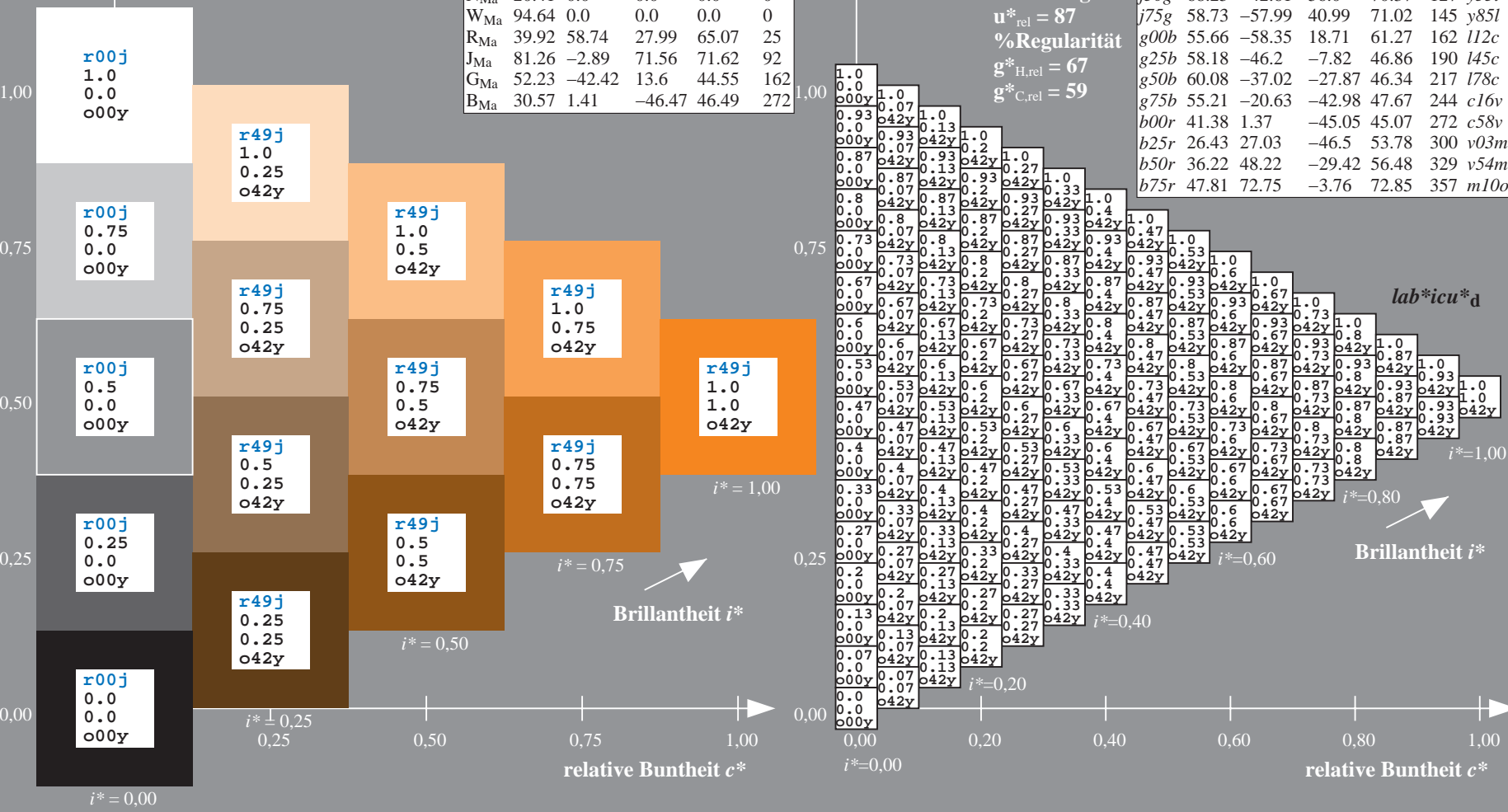
$lab^*olv^*_{Ma}$: 1.0 0.42 0.0

Dreiecks-Helligkeit i^*

%Umfang
 $u^*_{rel} = 87$
 %Regularität
 $g^*_{H,rel} = 67$
 $g^*_{C,rel} = 59$

ORS20_95a; adaptierte CIELAB-Daten

	u^*_e	$L^*=L^*_a$	a^*_a	b^*_a	$C^*_{ab,a}$	$h^*_{ab,a}$	u^*_d
r00j	47.06	67.41	32.12	74.67	25	m84o	
r25j	53.95	53.38	48.38	72.04	42	o17y	
r50j	63.6	35.87	59.45	69.43	59	o42y	
r75j	73.37	18.14	70.66	72.95	76	o68y	
j00g	85.24	-3.4	84.28	84.35	92	o93y	
j25g	78.53	-25.99	72.23	76.76	110	y24l	
j50g	68.25	-42.61	56.0	70.37	127	y51l	
j75g	58.73	-57.99	40.99	71.02	145	y85l	
g00b	55.66	-58.35	18.71	61.27	162	l12c	
g25b	58.18	-46.2	-7.82	46.86	190	l45c	
g50b	60.08	-37.02	-27.87	46.34	217	l78c	
g75b	55.21	-20.63	-42.98	47.67	244	c16v	
b00r	41.38	1.37	-45.05	45.07	272	c58v	
b25r	26.43	27.03	-46.5	53.78	300	v03m	
b50r	36.22	48.22	-29.42	56.48	329	v54m	
b75r	47.81	72.75	-3.76	72.85	357	m10o	



BAM-Registrierung: 20081001-Eg39/10L/L39G00NA.PS/.TXT BAM-Material: Code=rhatha
 Anwendung für Beurteilung und Messung von Drucker- oder Monitorssystemen

Ein und Ausgabe: Farbmetrisches Drucker-Reflektiv-System ORS20_95a für relativen CIELAB-Buntton $h^* = lab^*h^* = h_{ab}/360 = 0.21$

Daten für jede Farbe:

lab^*tch^* und lab^*icu^*

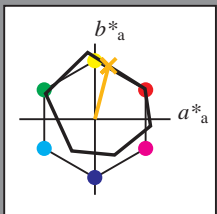
Bunttontexte:

$u^*_e = r75j$ $u^*_d = o68y$

Kontrastreduzierungsfaktor:

$c_R = 1.0$

Dreiecks-Helligkeit i^*



ORS20_95a; adaptierte CIELAB-Daten

	u^*_e	$L^*=L^*_a$	a^*_a	b^*_a	$C^*_{ab,a}$	$h^*_{ab,a}$
O _{Ma}	46.89	66.19	40.28	77.48	31	
Y _{Ma}	88.66	-9.62	88.21	88.73	96	
L _{Ma}	54.22	-65.29	33.87	73.56	153	
C _{Ma}	61.43	-30.53	-42.04	51.96	234	
V _{Ma}	25.93	25.95	-47.37	54.01	299	
M _{Ma}	47.92	73.53	-9.02	74.08	353	
N _{Ma}	20.41	0.0	0.0	0.0	0	
W _{Ma}	94.64	0.0	0.0	0.0	0	
R _{Ma}	39.92	58.74	27.99	65.07	25	
J _{Ma}	81.26	-2.89	71.56	71.62	92	
G _{Ma}	52.23	-42.42	13.6	44.55	162	
B _{Ma}	30.57	1.41	-46.47	46.49	272	

Daten für Maximalfarbe (Ma):

$LAB^*LAB^*_{Ma}$: 73 18 71

$LAB^*LCH^*_{Ma}$: 73 73 75

$lab^*rgb^*_{Ma}$: 1.0 0.75 0.0

$lab^*olv^*_{Ma}$: 1.0 0.68 0.0

Dreiecks-Helligkeit i^*

%Umfang

$u^*_{rel} = 87$

%Regularität

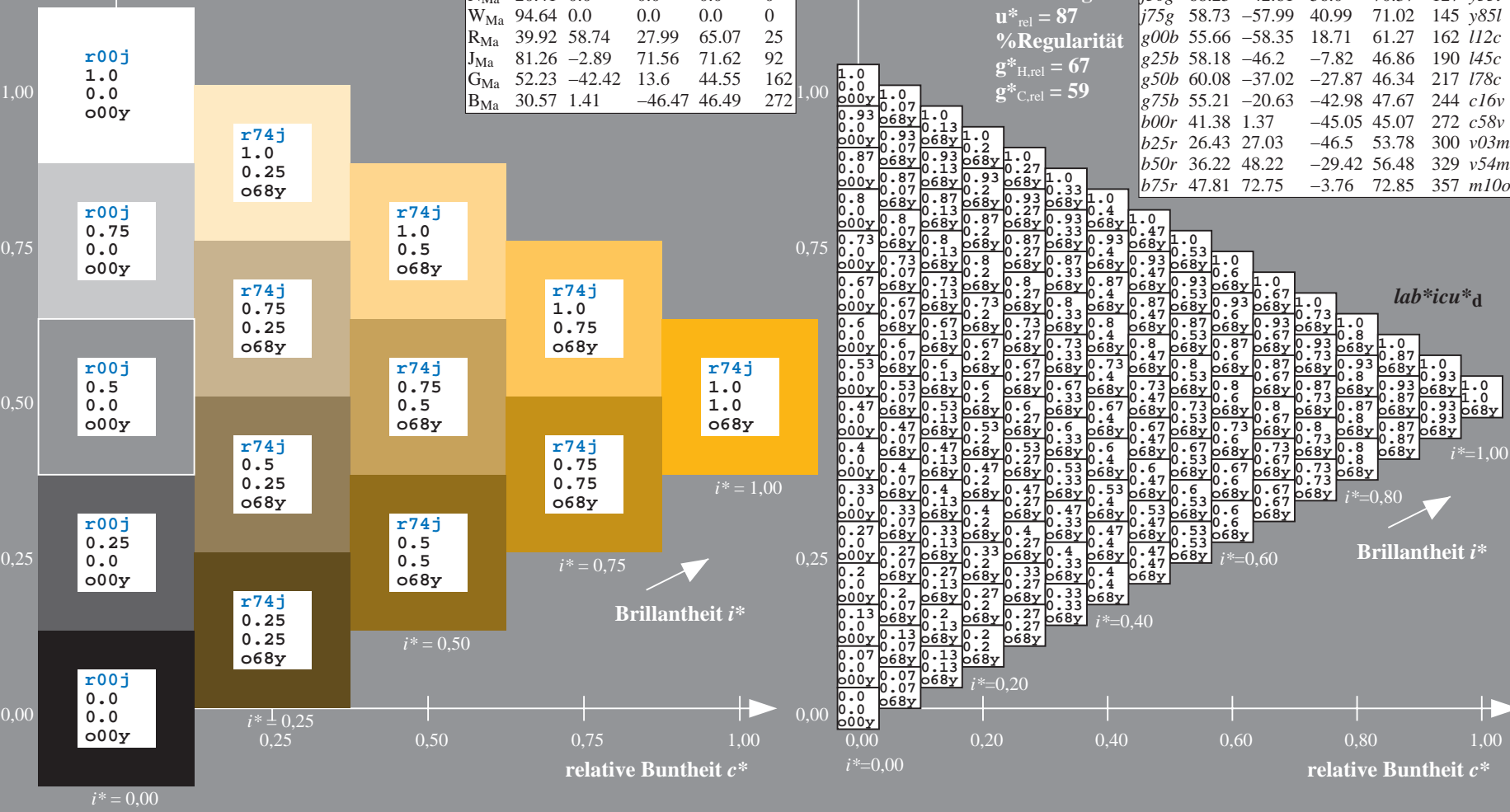
$g^*_{H,rel} = 67$

$g^*_{C,rel} = 59$

$u^*_e = r75j$
 $lab^*icu^*_d$

ORS20_95a; adaptierte CIELAB-Daten

	u^*_e	$L^*=L^*_a$	a^*_a	b^*_a	$C^*_{ab,a}$	$h^*_{ab,a}$	u^*_d
r00j	47.06	67.41	32.12	74.67	25	m84o	
r25j	53.95	53.38	48.38	72.04	42	o17y	
r50j	63.6	35.87	59.45	69.43	59	o42y	
r75j	73.37	18.14	70.66	72.95	76	o68y	
j00g	85.24	-3.4	84.28	84.35	92	o93y	
j25g	78.53	-25.99	72.23	76.76	110	y24l	
j50g	68.25	-42.61	56.0	70.37	127	y51l	
j75g	58.73	-57.99	40.99	71.02	145	y85l	
g00b	55.66	-58.35	18.71	61.27	162	l12c	
g25b	58.18	-46.2	-7.82	46.86	190	l45c	
g50b	60.08	-37.02	-27.87	46.34	217	l78c	
g75b	55.21	-20.63	-42.98	47.67	244	c16v	
b00r	41.38	1.37	-45.05	45.07	272	c58v	
b25r	26.43	27.03	-46.5	53.78	300	v03m	
b50r	36.22	48.22	-29.42	56.48	329	v54m	
b75r	47.81	72.75	-3.76	72.85	357	m10o	



Siehe ähnliche Dateien: <http://www.ps.bam.de/Eg39/>; www.ps.bam.de/Version 2.1, io=1,1, ColSpx=1
 Technische Information: <http://www.ps.bam.de>

BAM-Registrierung: 20081001-Eg39/10L/L39G00NA.PS/.TXT BAM-Material: Code=rhatha
 Anwendung für Beurteilung und Messung von Drucker- oder Monitorssystemen

Ein und Ausgabe: Farbmetrisches Drucker-Reflektiv-System ORS20_95a für relativen CIELAB-Buntton $h^* = lab^*h^* = h_{ab}/360 = 0.256$

Daten für jede Farbe:

lab^*tch^* und lab^*icu^*

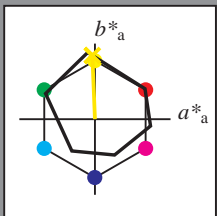
Bunttontexte:

$u^*_e = j00g$ $u^*_d = o93y$

Kontrastreduzierungsfaktor:

$c_R = 1.0$

Dreiecks-Helligkeit i^*



ORS20_95a; adaptierte CIELAB-Daten

	u^*_e	$L^*=L^*_a$	a^*_a	b^*_a	$C^*_{ab,a}$	$h^*_{ab,a}$
O _{Ma}	46.89	66.19	40.28	77.48	31	
Y _{Ma}	88.66	-9.62	88.21	88.73	96	
L _{Ma}	54.22	-65.29	33.87	73.56	153	
C _{Ma}	61.43	-30.53	-42.04	51.96	234	
V _{Ma}	25.93	25.95	-47.37	54.01	299	
M _{Ma}	47.92	73.53	-9.02	74.08	353	
N _{Ma}	20.41	0.0	0.0	0.0	0	
W _{Ma}	94.64	0.0	0.0	0.0	0	
R _{Ma}	39.92	58.74	27.99	65.07	25	
J _{Ma}	81.26	-2.89	71.56	71.62	92	
G _{Ma}	52.23	-42.42	13.6	44.55	162	
B _{Ma}	30.57	1.41	-46.47	46.49	272	

Daten für Maximalfarbe (Ma):

$LAB^*LAB^*_{Ma}$: 85 -3 84

$LAB^*LCH^*_{Ma}$: 85 84 92

$lab^*rgb^*_{Ma}$: 1.0 1.0 0.0

$lab^*olv^*_{Ma}$: 1.0 0.94 0.0

Dreiecks-Helligkeit i^*

%Umfang

$u^*_{rel} = 87$

%Regularität

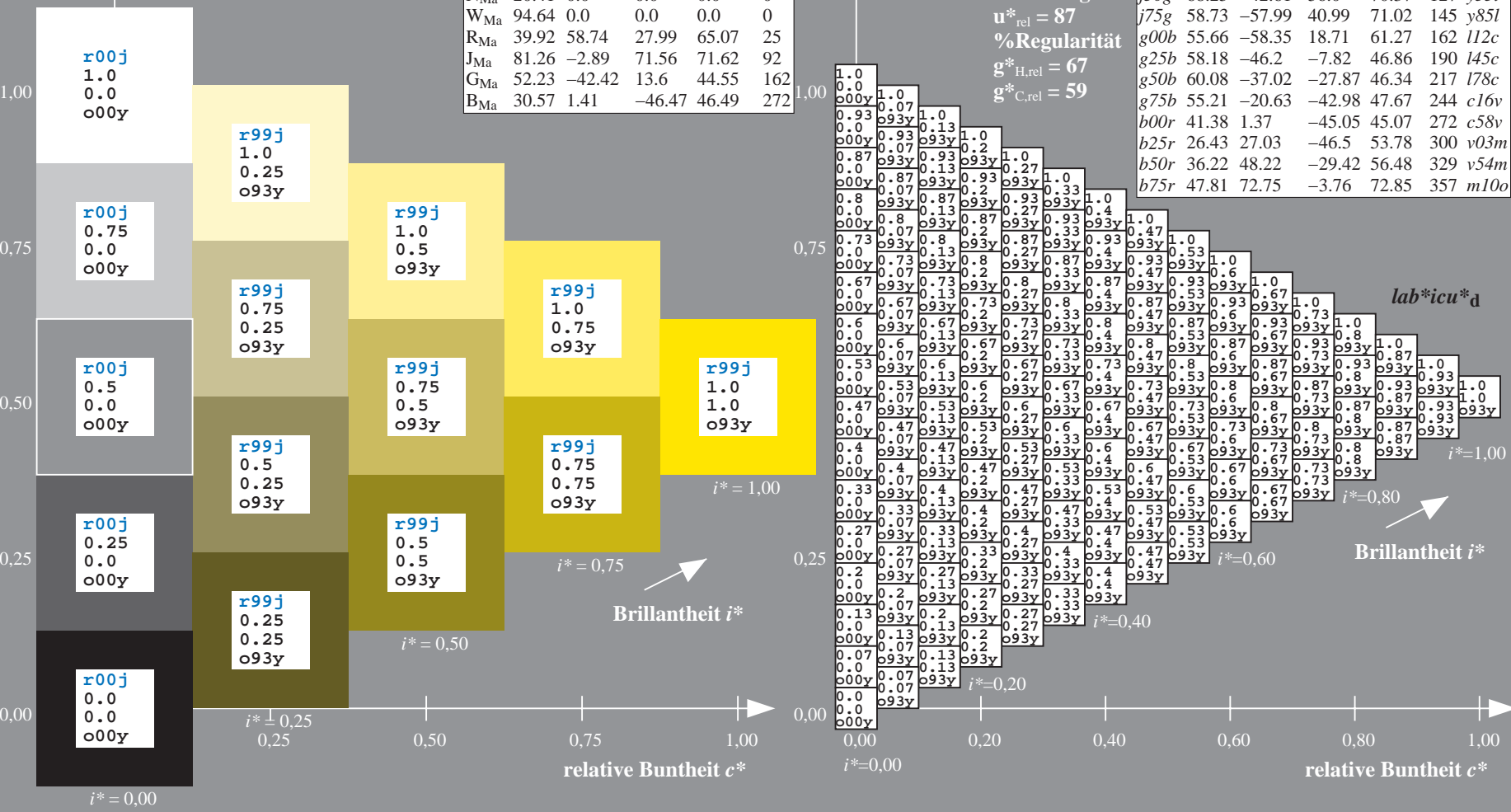
$g^*_{H,rel} = 67$

$g^*_{C,rel} = 59$

$u^*_e = j00g$
 $lab^*icu^*_d$

ORS20_95a; adaptierte CIELAB-Daten

	u^*_e	$L^*=L^*_a$	a^*_a	b^*_a	$C^*_{ab,a}$	$h^*_{ab,a}$	u^*_d
r00j	47.06	67.41	32.12	74.67	25	m84o	
r25j	53.95	53.38	48.38	72.04	42	o17y	
r50j	63.6	35.87	59.45	69.43	59	o42y	
r75j	73.37	18.14	70.66	72.95	76	o68y	
j00g	85.24	-3.4	84.28	84.35	92	o93y	
j25g	78.53	-25.99	72.23	76.76	110	y24l	
j50g	68.25	-42.61	56.0	70.37	127	y51l	
j75g	58.73	-57.99	40.99	71.02	145	y85l	
g00b	55.66	-58.35	18.71	61.27	162	l12c	
g25b	58.18	-46.2	-7.82	46.86	190	l45c	
g50b	60.08	-37.02	-27.87	46.34	217	l78c	
g75b	55.21	-20.63	-42.98	47.67	244	c16v	
b00r	41.38	1.37	-45.05	45.07	272	c58v	
b25r	26.43	27.03	-46.5	53.78	300	v03m	
b50r	36.22	48.22	-29.42	56.48	329	v54m	
b75r	47.81	72.75	-3.76	72.85	357	m10o	



Siehe ähnliche Dateien: <http://www.ps.bam.de/Eg39/>; www.ps.bam.de/Version 2.1, io=1,1, ColSpx=1
 Technische Information: <http://www.ps.bam.de>

BAM-Registrierung: 20081001-Eg39/10L/L39G00NA.PS/.TXT BAM-Material: Code=rhatha
 Anwendung für Beurteilung und Messung von Drucker- oder Monitorssystemen

Ein und Ausgabe: Farbmetrisches Drucker-Reflektiv-System ORS20_95a für relativen CIELAB-Buntton $h^* = lab^*h^* = h_{ab}/360 = 0.305$

Daten für jede Farbe:

lab^*ch^* und lab^*icu^*

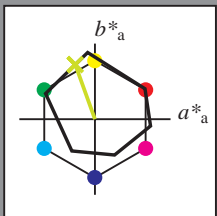
Bunntontexte:

$u^*_e = j25g$ $u^*_d = y24l$

Kontrastreduzierungsfaktor:

$c_R = 1.0$

Dreiecks-Helligkeit i^*



ORS20_95a; adaptierte CIELAB-Daten

	u^*_e	$L^*=L^*_a$	a^*_a	b^*_a	$C^*_{ab,a}$	$h^*_{ab,a}$
O _{Ma}	46.89	66.19	40.28	77.48	31	
Y _{Ma}	88.66	-9.62	88.21	88.73	96	
L _{Ma}	54.22	-65.29	33.87	73.56	153	
C _{Ma}	61.43	-30.53	-42.04	51.96	234	
V _{Ma}	25.93	25.95	-47.37	54.01	299	
M _{Ma}	47.92	73.53	-9.02	74.08	353	
N _{Ma}	20.41	0.0	0.0	0.0	0	
W _{Ma}	94.64	0.0	0.0	0.0	0	
R _{Ma}	39.92	58.74	27.99	65.07	25	
J _{Ma}	81.26	-2.89	71.56	71.62	92	
G _{Ma}	52.23	-42.42	13.6	44.55	162	
B _{Ma}	30.57	1.41	-46.47	46.49	272	

Daten für Maximalfarbe (Ma):

$LAB^*LAB^*_{Ma}$: 79 -26 72

$LAB^*LCH^*_{Ma}$: 79 77 109

$lab^*rgb^*_{Ma}$: 0.75 1.0 0.0

$lab^*olv^*_{Ma}$: 0.76 1.0 0.0

Dreiecks-Helligkeit i^*

%Umfang

$u^*_{rel} = 87$

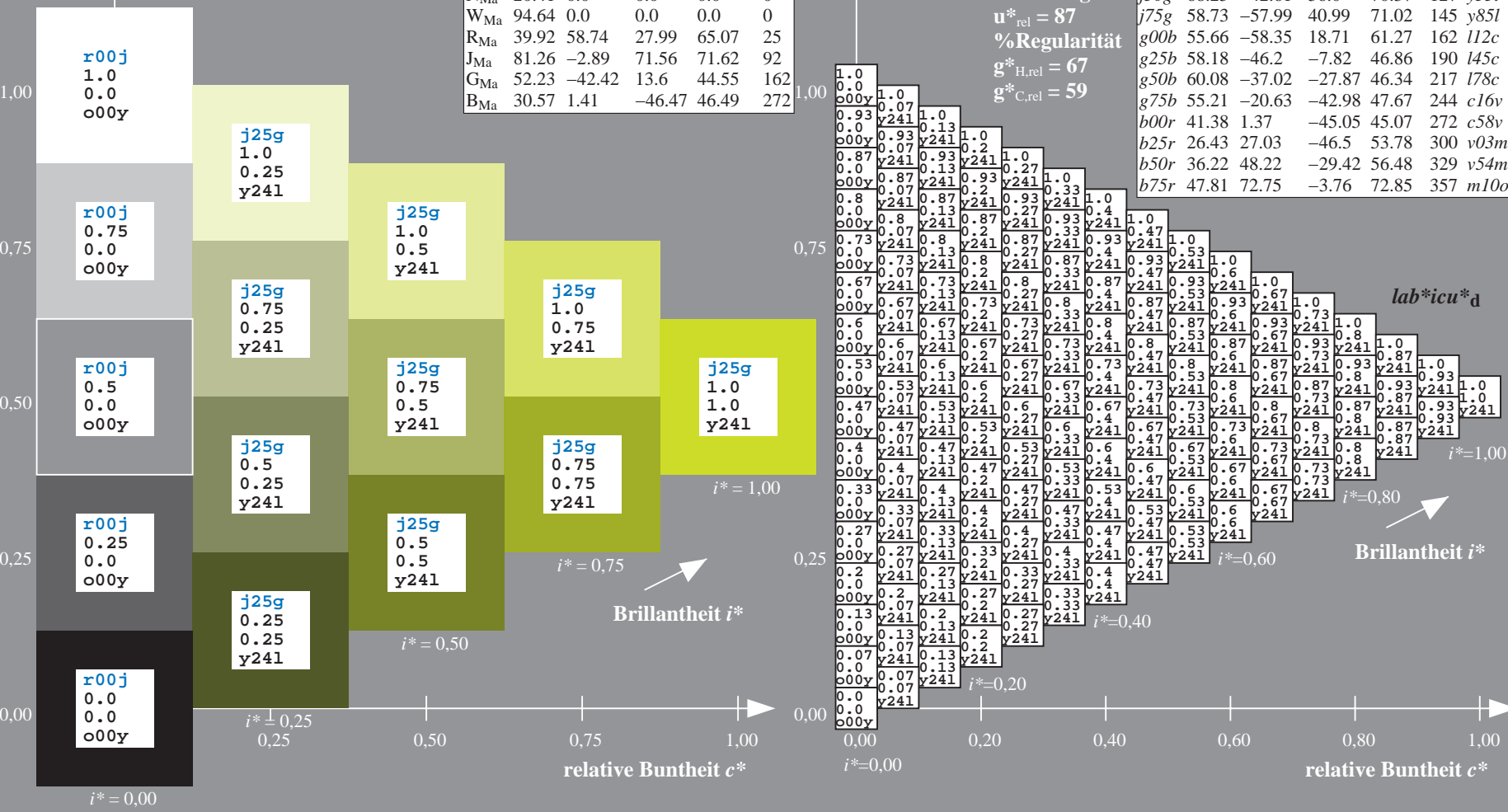
%Regularität

$g^*_{H,rel} = 67$

$g^*_{C,rel} = 59$

ORS20_95a; adaptierte CIELAB-Daten

	u^*_e	$L^*=L^*_a$	a^*_a	b^*_a	$C^*_{ab,a}$	$h^*_{ab,a}$	u^*_d
r00j	47.06	67.41	32.12	74.67	25	m84o	
r25j	53.95	53.38	48.38	72.04	42	o17y	
r50j	63.6	35.87	59.45	69.43	59	o42y	
r75j	73.37	18.14	70.66	72.95	76	o68y	
j00g	85.24	-3.4	84.28	84.35	92	o93y	
j25g	78.53	-25.99	72.23	76.76	110	y24l	
j50g	68.25	-42.61	56.0	70.37	127	y51l	
j75g	58.73	-57.99	40.99	71.02	145	y85l	
g00b	55.66	-58.35	18.71	61.27	162	l12c	
g25b	58.18	-46.2	-7.82	46.86	190	l45c	
g50b	60.08	-37.02	-27.87	46.34	217	l78c	
g75b	55.21	-20.63	-42.98	47.67	244	c16v	
b00r	41.38	1.37	-45.05	45.07	272	c58v	
b25r	26.43	27.03	-46.5	53.78	300	v03m	
b50r	36.22	48.22	-29.42	56.48	329	v54m	
b75r	47.81	72.75	-3.76	72.85	357	m10o	



BAM-Registrierung: 20081001-Eg39/10L/L39G00NA.PS/.TXT BAM-Material: Code=rhatha
 Anwendung für Beurteilung und Messung von Drucker- oder Monitorssystemen

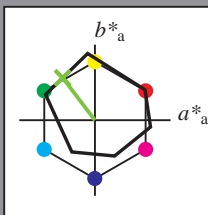
Ein und Ausgabe: Farbmetrisches Drucker-Reflektiv-System ORS20_95a für relativen CIELAB-Bunton $h^* = lab^*h^* = h_{ab}/360 = 0.354$

Daten für jede Farbe:
 lab^*ch^* und lab^*icu^*

Buntontexte:
 $u^*_e = j50g$ $u^*_d = y55l$

Kontrastreduzierungsfaktor:
 $c_R = 1.0$

Dreiecks-Helligkeit i^*



ORS20_95a; adaptierte CIELAB-Daten

	u^*_e	$L^*=L^*_a$	a^*_a	b^*_a	$C^*_{ab,a}$	$h^*_{ab,a}$
O _{Ma}	46.89	66.19	40.28	77.48	31	
Y _{Ma}	88.66	-9.62	88.21	88.73	96	
L _{Ma}	54.22	-65.29	33.87	73.56	153	
C _{Ma}	61.43	-30.53	-42.04	51.96	234	
V _{Ma}	25.93	25.95	-47.37	54.01	299	
M _{Ma}	47.92	73.53	-9.02	74.08	353	
N _{Ma}	20.41	0.0	0.0	0.0	0	
W _{Ma}	94.64	0.0	0.0	0.0	0	
R _{Ma}	39.92	58.74	27.99	65.07	25	
J _{Ma}	81.26	-2.89	71.56	71.62	92	
G _{Ma}	52.23	-42.42	13.6	44.55	162	
B _{Ma}	30.57	1.41	-46.47	46.49	272	

Daten für Maximalfarbe (Ma):

$LAB^*LAB^*_{Ma}$: 68 -43 56

$LAB^*LCH^*_{Ma}$: 68 70 127

$lab^*rgb^*_{Ma}$: 0.5 1.0 0.0

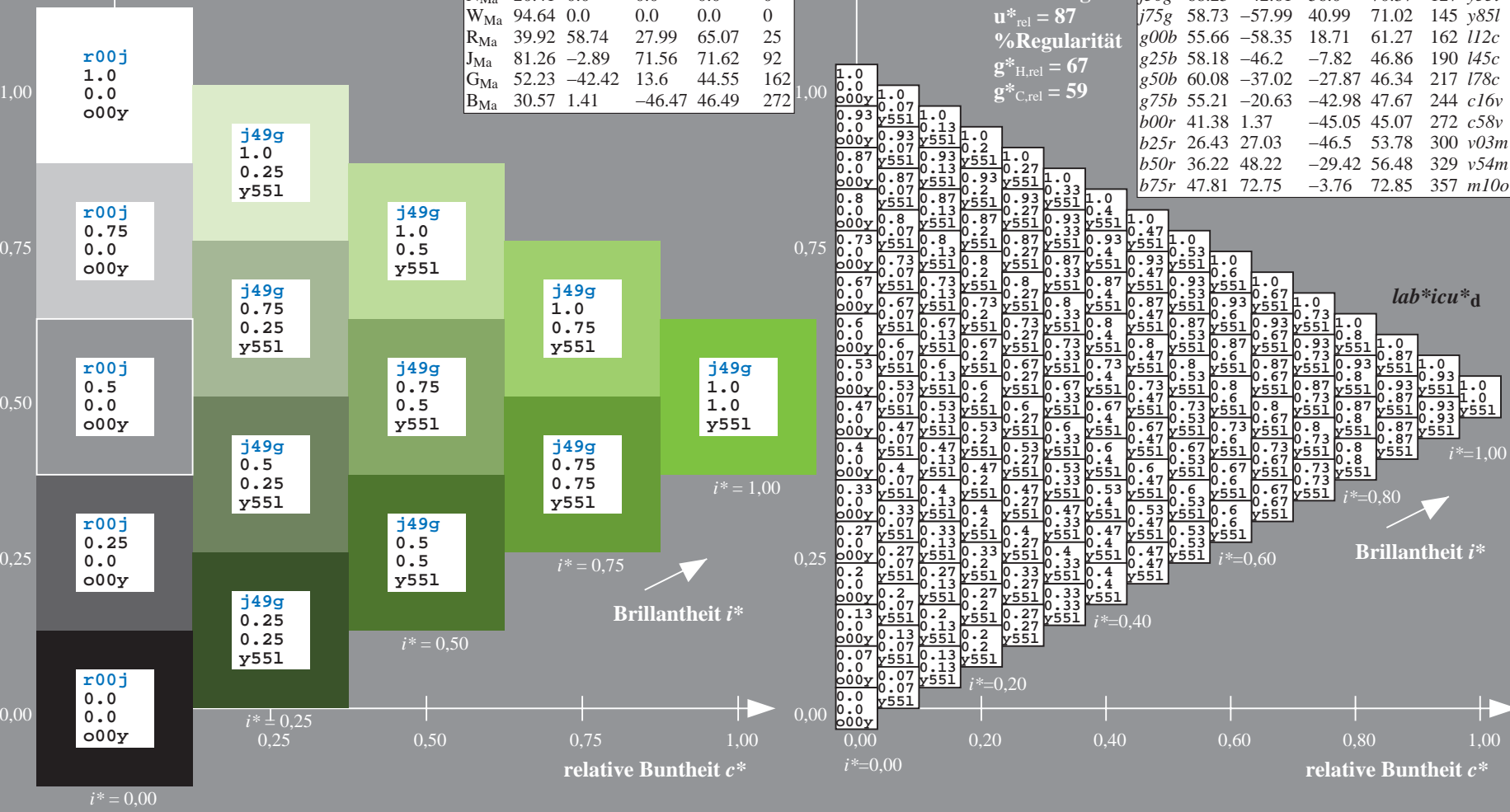
$lab^*olv^*_{Ma}$: 0.45 1.0 0.0

Dreiecks-Helligkeit i^*

%Umfang
 $u^*_{rel} = 87$
 %Regularität
 $g^*_{H,rel} = 67$
 $g^*_{C,rel} = 59$

ORS20_95a; adaptierte CIELAB-Daten

	u^*_e	$L^*=L^*_a$	a^*_a	b^*_a	$C^*_{ab,a}$	$h^*_{ab,a}$	u^*_d
r00j	47.06	67.41	32.12	74.67	25	m84o	
r25j	53.95	53.38	48.38	72.04	42	o17y	
r50j	63.6	35.87	59.45	69.43	59	o42y	
r75j	73.37	18.14	70.66	72.95	76	o68y	
j00g	85.24	-3.4	84.28	84.35	92	o93y	
j25g	78.53	-25.99	72.23	76.76	110	y24l	
j50g	68.25	-42.61	56.0	70.37	127	y51l	
j75g	58.73	-57.99	40.99	71.02	145	y85l	
g00b	55.66	-58.35	18.71	61.27	162	l12c	
g25b	58.18	-46.2	-7.82	46.86	190	l45c	
g50b	60.08	-37.02	-27.87	46.34	217	l78c	
g75b	55.21	-20.63	-42.98	47.67	244	c16v	
b00r	41.38	1.37	-45.05	45.07	272	c58v	
b25r	26.43	27.03	-46.5	53.78	300	v03m	
b50r	36.22	48.22	-29.42	56.48	329	v54m	
b75r	47.81	72.75	-3.76	72.85	357	m10o	



Siehe ähnliche Dateien: <http://www.ps.bam.de/Eg39/>; www.ps.bam.de/Version 2.1, io=1,1, ColSPx=1
 Technische Information: <http://www.ps.bam.de>

BAM-Registrierung: 20081001-Eg39/10L/L39G00NA.PS/.TXT BAM-Material: Code=rhatha
 Anwendung für Beurteilung und Messung von Drucker- oder Monitorssystemen

Ein und Ausgabe: Farbmetrisches Drucker-Reflektiv-System ORS20_95a für relativen CIELAB-Bunnton $h^* = lab^*h^* = h_{ab}/360 = 0.402$

Daten für jede Farbe:

lab^*ch^* und lab^*icu^*

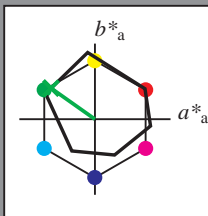
Bunntontexte:

$u^*_e = j75g$ $u^*_d = y85l$

Kontrastreduzierungsfaktor:

$c_R = 1.0$

Dreiecks-Helligkeit i^*



ORS20_95a; adaptierte CIELAB-Daten

	u^*_e	$L^*=L^*_a$	a^*_a	b^*_a	$C^*_{ab,a}$	$h^*_{ab,a}$
O _{Ma}	46.89	66.19	40.28	77.48	31	
Y _{Ma}	88.66	-9.62	88.21	88.73	96	
L _{Ma}	54.22	-65.29	33.87	73.56	153	
C _{Ma}	61.43	-30.53	-42.04	51.96	234	
V _{Ma}	25.93	25.95	-47.37	54.01	299	
M _{Ma}	47.92	73.53	-9.02	74.08	353	
N _{Ma}	20.41	0.0	0.0	0.0	0	
W _{Ma}	94.64	0.0	0.0	0.0	0	
R _{Ma}	39.92	58.74	27.99	65.07	25	
J _{Ma}	81.26	-2.89	71.56	71.62	92	
G _{Ma}	52.23	-42.42	13.6	44.55	162	
B _{Ma}	30.57	1.41	-46.47	46.49	272	

Daten für Maximalfarbe (Ma):

$LAB^*LAB^*_{Ma}$: 59 -58 41

$LAB^*LCH^*_{Ma}$: 59 71 144

$lab^*rgb^*_{Ma}$: 0.25 1.0 0.0

$lab^*olv^*_{Ma}$: 0.14 1.0 0.0

Dreiecks-Helligkeit i^*

%Umfang

$u^*_{rel} = 87$

%Regularität

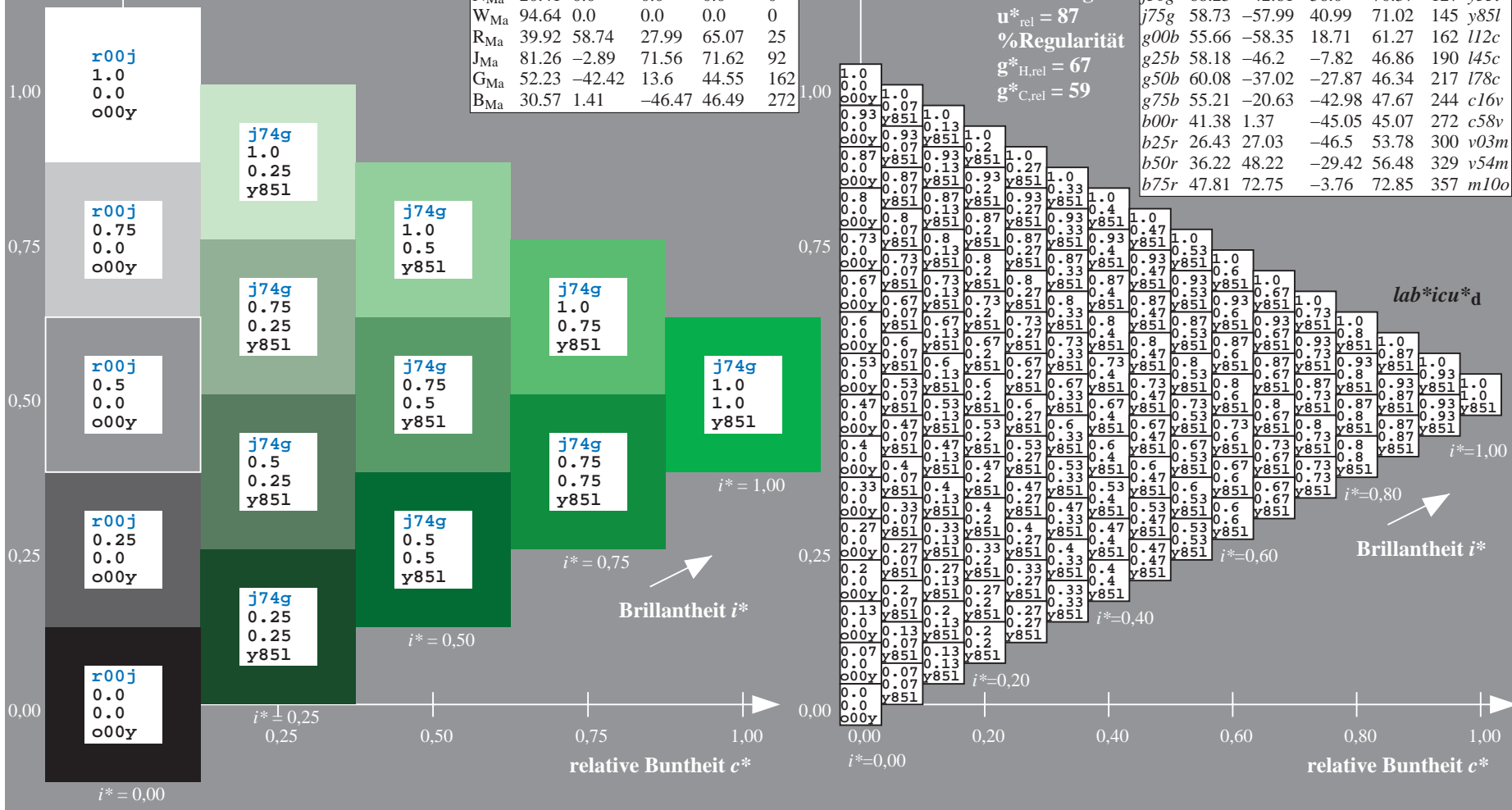
$g^*_{H,rel} = 67$

$g^*_{C,rel} = 59$

$u^*_e = j75g$
 $lab^*icu^*_d$

ORS20_95a; adaptierte CIELAB-Daten

	u^*_e	$L^*=L^*_a$	a^*_a	b^*_a	$C^*_{ab,a}$	$h^*_{ab,a}$	u^*_d
r00j	47.06	67.41	32.12	74.67	25	m84o	
r25j	53.95	53.38	48.38	72.04	42	o17y	
r50j	63.6	35.87	59.45	69.43	59	o42y	
r75j	73.37	18.14	70.66	72.95	76	o68y	
j00g	85.24	-3.4	84.28	84.35	92	o93y	
j25g	78.53	-25.99	72.23	76.76	110	y24l	
j50g	68.25	-42.61	56.0	70.37	127	y51l	
j75g	58.73	-57.99	40.99	71.02	145	y85l	
g00b	55.66	-58.35	18.71	61.27	162	l12c	
g25b	58.18	-46.2	-7.82	46.86	190	l45c	
g50b	60.08	-37.02	-27.87	46.34	217	l78c	
g75b	55.21	-20.63	-42.98	47.67	244	c16v	
b00r	41.38	1.37	-45.05	45.07	272	c58v	
b25r	26.43	27.03	-46.5	53.78	300	v03m	
b50r	36.22	48.22	-29.42	56.48	329	v54m	
b75r	47.81	72.75	-3.76	72.85	357	m10o	



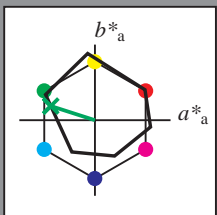
Ein und Ausgabe: Farbmetrisches Drucker-Reflektiv-System ORS20_95a für relativen CIELAB-Buntton $h^* = lab^*h^* = h_{ab}/360 = 0.451$

Daten für jede Farbe:
 lab^*tch^* und lab^*icu^*

Bunttontexte:
 $u^*_e = g00b$ $u^*_d = l12c$

Kontrastreduzierungsfaktor:
 $c_R = 1.0$

Dreiecks-Helligkeit i^*



ORS20_95a; adaptierte CIELAB-Daten

	u^*_e	$L^*=L^*_a$	a^*_a	b^*_a	$C^*_{ab,a}$	$h^*_{ab,a}$
O _{Ma}	46.89	66.19	40.28	77.48	31	
Y _{Ma}	88.66	-9.62	88.21	88.73	96	
L _{Ma}	54.22	-65.29	33.87	73.56	153	
C _{Ma}	61.43	-30.53	-42.04	51.96	234	
V _{Ma}	25.93	25.95	-47.37	54.01	299	
M _{Ma}	47.92	73.53	-9.02	74.08	353	
N _{Ma}	20.41	0.0	0.0	0.0	0	
W _{Ma}	94.64	0.0	0.0	0.0	0	
R _{Ma}	39.92	58.74	27.99	65.07	25	
J _{Ma}	81.26	-2.89	71.56	71.62	92	
G _{Ma}	52.23	-42.42	13.6	44.55	162	
B _{Ma}	30.57	1.41	-46.47	46.49	272	

Daten für Maximalfarbe (Ma):

$LAB^*LAB^*_{Ma}$: 56 -58 19

$LAB^*LCH^*_{Ma}$: 56 61 162

$lab^*rgb^*_{Ma}$: 0.0 1.0 0.0

$lab^*olv^*_{Ma}$: 0.0 1.0 0.12

Dreiecks-Helligkeit i^*

%Umfang

$u^*_{rel} = 87$

%Regularität

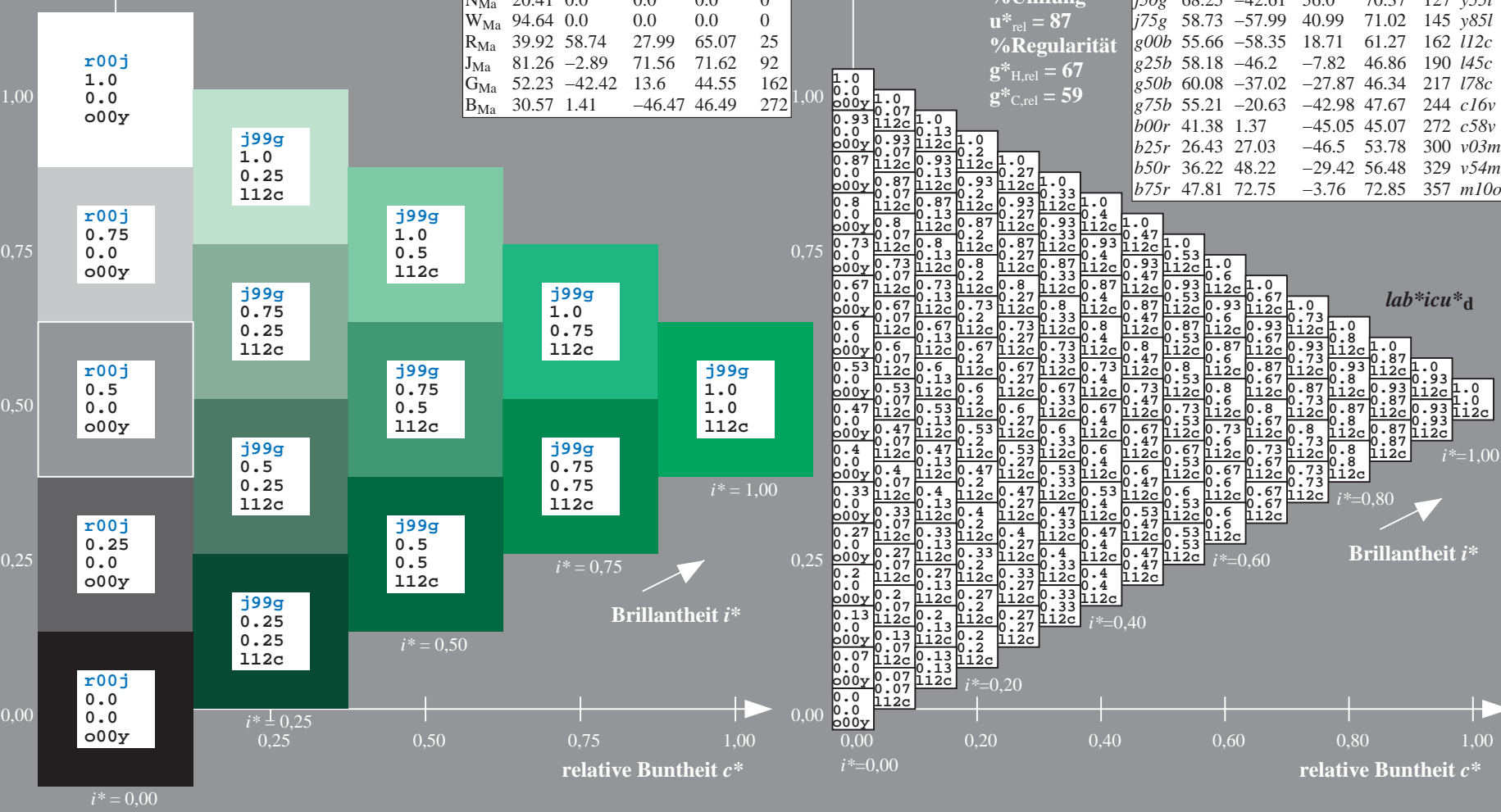
$g^*_{H,rel} = 67$

$g^*_{C,rel} = 59$

$u^*_e = g00b$
 $lab^*icu^*_d$

ORS20_95a; adaptierte CIELAB-Daten

	u^*_e	$L^*=L^*_a$	a^*_a	b^*_a	$C^*_{ab,a}$	$h^*_{ab,a}$	u^*_d
r00j	47.06	67.41	32.12	74.67	25	m84o	
r25j	53.95	53.38	48.38	72.04	42	o17y	
r50j	63.6	35.87	59.45	69.43	59	o42y	
r75j	73.37	18.14	70.66	72.95	76	o68y	
j00g	85.24	-3.4	84.28	84.35	92	o93y	
j25g	78.53	-25.99	72.23	76.76	110	y24l	
j50g	68.25	-42.61	56.0	70.37	127	y51l	
j75g	58.73	-57.99	40.99	71.02	145	y85l	
g00b	55.66	-58.35	18.71	61.27	162	l12c	
g25b	58.18	-46.2	-7.82	46.86	190	l45c	
g50b	60.08	-37.02	-27.87	46.34	217	l78c	
g75b	55.21	-20.63	-42.98	47.67	244	c16v	
b00r	41.38	1.37	-45.05	45.07	272	c58v	
b25r	26.43	27.03	-46.5	53.78	300	v03m	
b50r	36.22	48.22	-29.42	56.48	329	v54m	
b75r	47.81	72.75	-3.76	72.85	357	m10o	



Ein und Ausgabe: Farbmetrisches Drucker-Reflektiv-System ORS20_95a für relativen CIELAB-Buntton $h^* = lab^*h^* = h_{ab}/360 = 0.527$

Daten für jede Farbe:

lab^*ch^* und lab^*icu^*

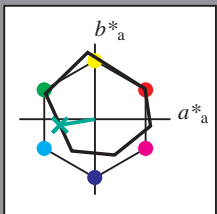
Bunttontexte:

$u^*_e = g25b$ $u^*_d = l45c$

Kontrastreduzierungsfaktor:

$c_R = 1.0$

Dreiecks-Helligkeit i^*



ORS20_95a; adaptierte CIELAB-Daten

	u^*_e	$L^*=L^*_a$	a^*_a	b^*_a	$C^*_{ab,a}$	$h^*_{ab,a}$
O _{Ma}	46.89	66.19	40.28	77.48	31	
Y _{Ma}	88.66	-9.62	88.21	88.73	96	
L _{Ma}	54.22	-65.29	33.87	73.56	153	
C _{Ma}	61.43	-30.53	-42.04	51.96	234	
V _{Ma}	25.93	25.95	-47.37	54.01	299	
M _{Ma}	47.92	73.53	-9.02	74.08	353	
N _{Ma}	20.41	0.0	0.0	0.0	0	
W _{Ma}	94.64	0.0	0.0	0.0	0	
R _{Ma}	39.92	58.74	27.99	65.07	25	
J _{Ma}	81.26	-2.89	71.56	71.62	92	
G _{Ma}	52.23	-42.42	13.6	44.55	162	
B _{Ma}	30.57	1.41	-46.47	46.49	272	

Daten für Maximalfarbe (Ma):

$LAB^*LAB^*_{Ma}$: 58 -46 -8

$LAB^*LCH^*_{Ma}$: 58 47 189

$lab^*rgb^*_{Ma}$: 0.0 1.0 0.5

$lab^*olv^*_{Ma}$: 0.0 1.0 0.45

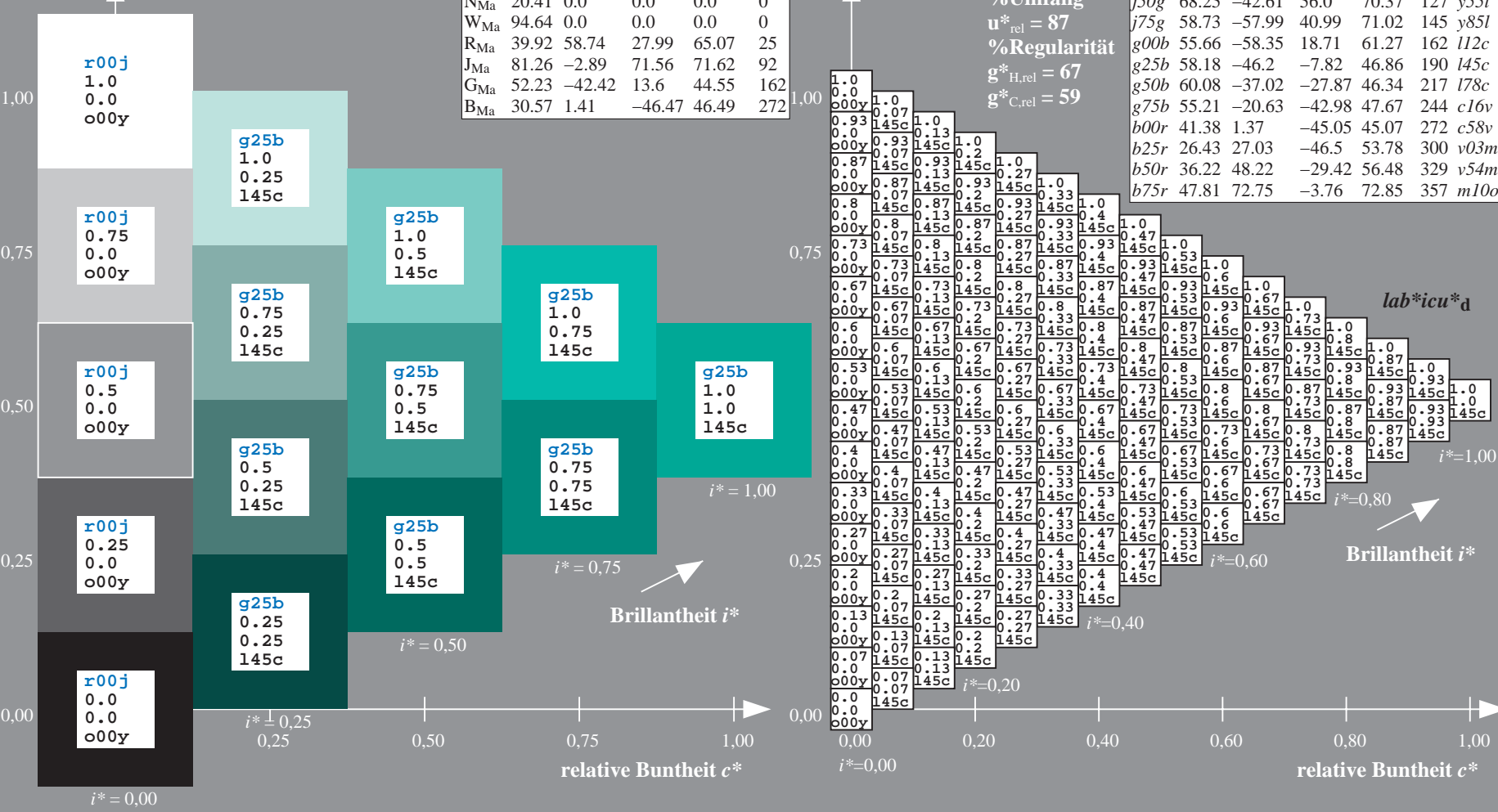
Dreiecks-Helligkeit i^*

%Umfang
 $u^*_{rel} = 87$
 %Regularität
 $g^*_{H,rel} = 67$
 $g^*_{C,rel} = 59$

$u^*_e = g25b$
 $lab^*icu^*_d$

ORS20_95a; adaptierte CIELAB-Daten

	u^*_e	$L^*=L^*_a$	a^*_a	b^*_a	$C^*_{ab,a}$	$h^*_{ab,a}$	u^*_d
r00j	47.06	67.41	32.12	74.67	25	m84o	
r25j	53.95	53.38	48.38	72.04	42	o17y	
r50j	63.6	35.87	59.45	69.43	59	o42y	
r75j	73.37	18.14	70.66	72.95	76	o68y	
j00g	85.24	-3.4	84.28	84.35	92	o93y	
j25g	78.53	-25.99	72.23	76.76	110	y24l	
j50g	68.25	-42.61	56.0	70.37	127	y51l	
j75g	58.73	-57.99	40.99	71.02	145	y85l	
g00b	55.66	-58.35	18.71	61.27	162	l12c	
g25b	58.18	-46.2	-7.82	46.86	190	l45c	
g50b	60.08	-37.02	-27.87	46.34	217	l78c	
g75b	55.21	-20.63	-42.98	47.67	244	c16v	
b00r	41.38	1.37	-45.05	45.07	272	c58v	
b25r	26.43	27.03	-46.5	53.78	300	v03m	
b50r	36.22	48.22	-29.42	56.48	329	v54m	
b75r	47.81	72.75	-3.76	72.85	357	m10o	



Siehe ähnliche Dateien: <http://www.ps.bam.de/Eg39/>; www.ps.bam.de/Version 2.1, io=1,1, ColSpx=1
 Technische Information: <http://www.ps.bam.de>

BAM-Registrierung: 20081001-Eg39/10L/L39G00NA.PS/.TXT BAM-Material: Code=rhatha
 Anwendung für Beurteilung und Messung von Drucker- oder Monitorssystemen

Ein und Ausgabe: Farbmetrisches Drucker-Reflektiv-System ORS20_95a für relativen CIELAB-Bunton $h^* = lab^*h^* = h_{ab}/360 = 0.603$

Daten für jede Farbe:

lab^*tch^* und lab^*icu^*

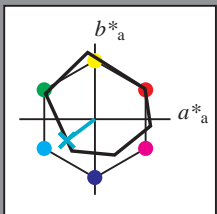
Buntontexte:

$u^*_e = g50b$ $u^*_d = l78c$

Kontrastreduzierungsfaktor:

$c_R = 1.0$

Dreiecks-Helligkeit i^*



ORS20_95a; adaptierte CIELAB-Daten

	u^*_e	$L^*=L^*_a$	a^*_a	b^*_a	$C^*_{ab,a}$	$h^*_{ab,a}$
O _{Ma}	46.89	66.19	40.28	77.48	31	
Y _{Ma}	88.66	-9.62	88.21	88.73	96	
L _{Ma}	54.22	-65.29	33.87	73.56	153	
C _{Ma}	61.43	-30.53	-42.04	51.96	234	
V _{Ma}	25.93	25.95	-47.37	54.01	299	
M _{Ma}	47.92	73.53	-9.02	74.08	353	
N _{Ma}	20.41	0.0	0.0	0.0	0	
W _{Ma}	94.64	0.0	0.0	0.0	0	
R _{Ma}	39.92	58.74	27.99	65.07	25	
J _{Ma}	81.26	-2.89	71.56	71.62	92	
G _{Ma}	52.23	-42.42	13.6	44.55	162	
B _{Ma}	30.57	1.41	-46.47	46.49	272	

Daten für Maximalfarbe (Ma):

$LAB^*LAB^*_{Ma}$: 60 -37 -28

$LAB^*LCH^*_{Ma}$: 60 46 216

$lab^*rgb^*_{Ma}$: 0.0 1.0 1.0

$lab^*olv^*_{Ma}$: 0.0 1.0 0.79

Dreiecks-Helligkeit i^*

%Umfang

$u^*_{rel} = 87$

%Regularität

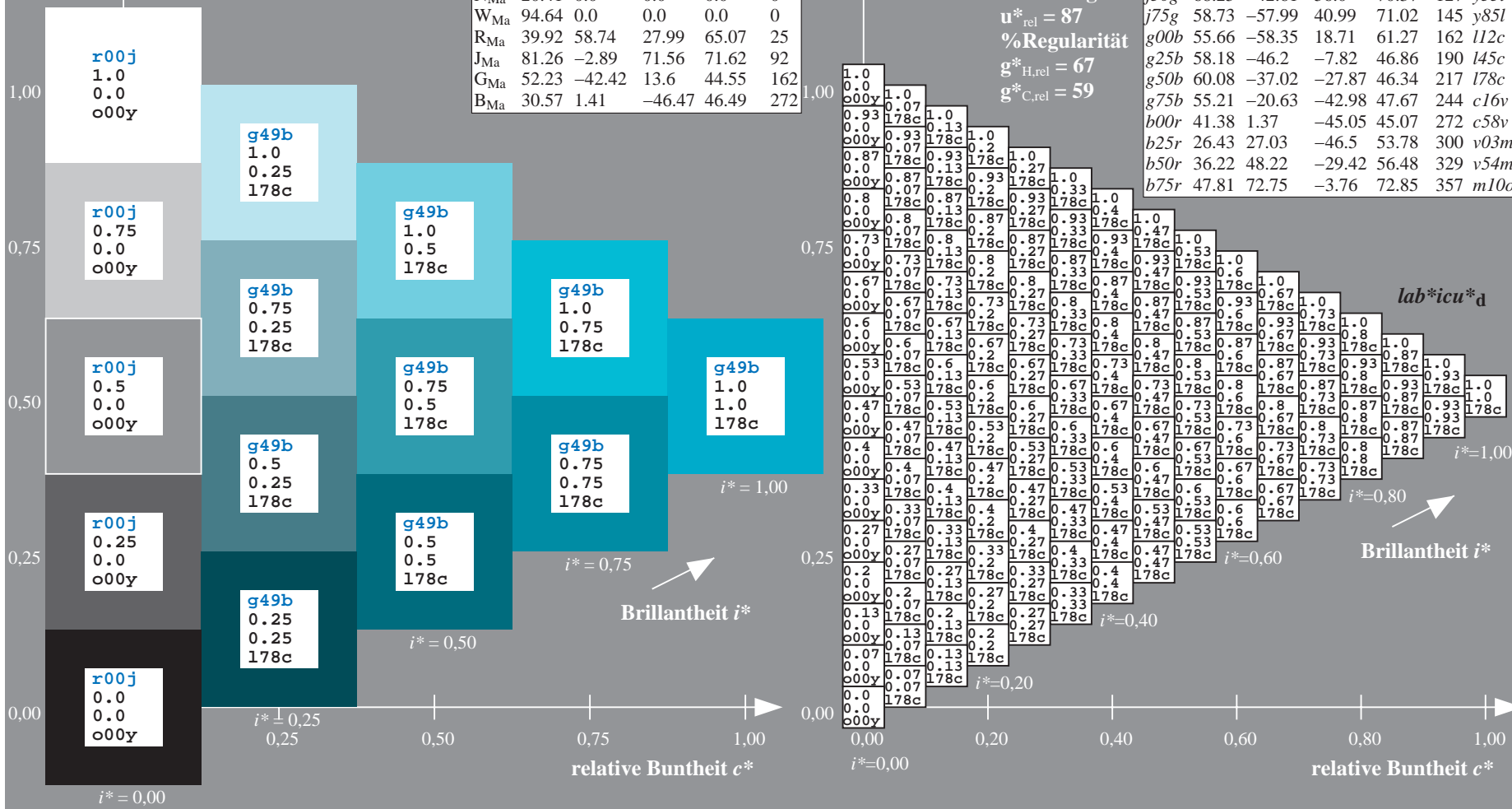
$g^*_{H,rel} = 67$

$g^*_{C,rel} = 59$

$u^*_e = g50b$
 $lab^*icu^*_d$

ORS20_95a; adaptierte CIELAB-Daten

	u^*_e	$L^*=L^*_a$	a^*_a	b^*_a	$C^*_{ab,a}$	$h^*_{ab,a}$	u^*_d
r00j	47.06	67.41	32.12	74.67	25	m84o	
r25j	53.95	53.38	48.38	72.04	42	o17y	
r50j	63.6	35.87	59.45	69.43	59	o42y	
r75j	73.37	18.14	70.66	72.95	76	o68y	
j00g	85.24	-3.4	84.28	84.35	92	o93y	
j25g	78.53	-25.99	72.23	76.76	110	y24l	
j50g	68.25	-42.61	56.0	70.37	127	y51l	
j75g	58.73	-57.99	40.99	71.02	145	y85l	
g00b	55.66	-58.35	18.71	61.27	162	l12c	
g25b	58.18	-46.2	-7.82	46.86	190	l45c	
g50b	60.08	-37.02	-27.87	46.34	217	l78c	
g75b	55.21	-20.63	-42.98	47.67	244	c16v	
b00r	41.38	1.37	-45.05	45.07	272	c58v	
b25r	26.43	27.03	-46.5	53.78	300	v03m	
b50r	36.22	48.22	-29.42	56.48	329	v54m	
b75r	47.81	72.75	-3.76	72.85	357	m10o	



Siehe ähnliche Dateien: <http://www.ps.bam.de/Eg39/>; www.ps.bam.de/Version 2.1, io=1,1, ColSpx=1
 Technische Information: <http://www.ps.bam.de>

BAM-Registrierung: 20081001-Eg39/10L/L39G00NA.PS/.TXT BAM-Material: Code=rhatha
 Anwendung für Beurteilung und Messung von Drucker- oder Monitorssystemen

Ein und Ausgabe: Farbmetrisches Drucker-Reflektiv-System ORS20_95a für relativen CIELAB-Buntton $h^* = lab^*h^* = h_{ab}/360 = 0.679$

Daten für jede Farbe:

lab^*tch^* und lab^*icu^*

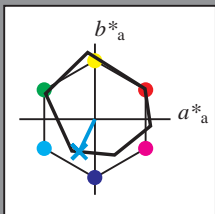
Bunttontexte:

$u^*_e = g75b$ $u^*_d = c16v$

Kontrastreduzierungsfaktor:

$c_R = 1.0$

Dreiecks-Helligkeit t^*



ORS20_95a; adaptierte CIELAB-Daten

	u^*_e	$L^*=L^*_a$	a^*_a	b^*_a	$C^*_{ab,a}$	$h^*_{ab,a}$
O _{Ma}	46.89	66.19	40.28	77.48	31	
Y _{Ma}	88.66	-9.62	88.21	88.73	96	
L _{Ma}	54.22	-65.29	33.87	73.56	153	
C _{Ma}	61.43	-30.53	-42.04	51.96	234	
V _{Ma}	25.93	25.95	-47.37	54.01	299	
M _{Ma}	47.92	73.53	-9.02	74.08	353	
N _{Ma}	20.41	0.0	0.0	0.0	0	
W _{Ma}	94.64	0.0	0.0	0.0	0	
R _{Ma}	39.92	58.74	27.99	65.07	25	
J _{Ma}	81.26	-2.89	71.56	71.62	92	
G _{Ma}	52.23	-42.42	13.6	44.55	162	
B _{Ma}	30.57	1.41	-46.47	46.49	272	

Daten für Maximalfarbe (Ma):

$LAB^*LAB^*_{Ma}$: 55 -21 -43

$LAB^*LCH^*_{Ma}$: 55 48 244

$lab^*rgb^*_{Ma}$: 0.0 0.5 1.0

$lab^*olv^*_{Ma}$: 0.0 0.84 1.0

Dreiecks-Helligkeit t^*

%Umfang

$u^*_{rel} = 87$

%Regularität

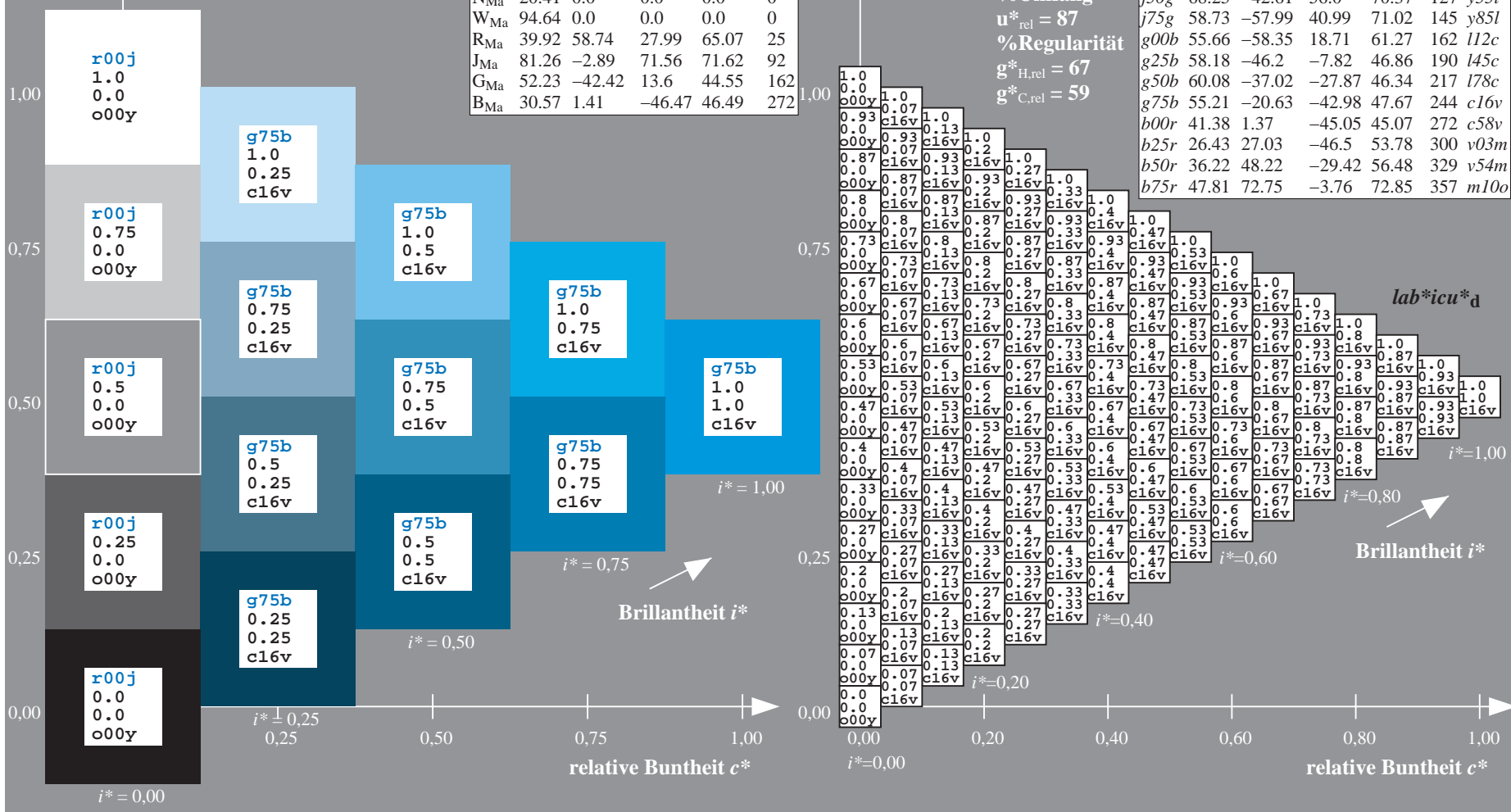
$g^*_{H,rel} = 67$

$g^*_{C,rel} = 59$

$u^*_e = g75b$
 $lab^*icu^*_d$

ORS20_95a; adaptierte CIELAB-Daten

	u^*_e	$L^*=L^*_a$	a^*_a	b^*_a	$C^*_{ab,a}$	$h^*_{ab,a}$	u^*_d
r00j	47.06	67.41	32.12	74.67	25	m84o	
r25j	53.95	53.38	48.38	72.04	42	o17y	
r50j	63.6	35.87	59.45	69.43	59	o42y	
r75j	73.37	18.14	70.66	72.95	76	o68y	
j00g	85.24	-3.4	84.28	84.35	92	o93y	
j25g	78.53	-25.99	72.23	76.76	110	y24l	
j50g	68.25	-42.61	56.0	70.37	127	y51l	
j75g	58.73	-57.99	40.99	71.02	145	y85l	
g00b	55.66	-58.35	18.71	61.27	162	l12c	
g25b	58.18	-46.2	-7.82	46.86	190	l45c	
g50b	60.08	-37.02	-27.87	46.34	217	l78c	
g75b	55.21	-20.63	-42.98	47.67	244	c16v	
b00r	41.38	1.37	-45.05	45.07	272	c58v	
b25r	26.43	27.03	-46.5	53.78	300	v03m	
b50r	36.22	48.22	-29.42	56.48	329	v54m	
b75r	47.81	72.75	-3.76	72.85	357	m10o	



Siehe ähnliche Dateien: <http://www.ps.bam.de/Eg39/>; www.ps.bam.de/Version.2.1,io=1,1,Colspx=1
 Technische Information: <http://www.ps.bam.de>

BAM-Registrierung: 20081001-Eg39/10L/L39G00NA.PS/.TXT BAM-Material: Code=rhatha
 Anwendung für Beurteilung und Messung von Drucker- oder Monitorssystemen

Ein und Ausgabe: Farbmetrisches Drucker-Reflektiv-System ORS20_95a für relativen CIELAB-Buntton $h^* = lab^*h^* = h_{ab}/360 = 0.755$

Daten für jede Farbe:

lab^*tch^* und lab^*icu^*

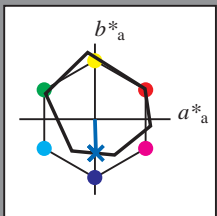
Bunttontexte:

$u^*_e = b00r$ $u^*_d = c58v$

Kontrastreduzierungsfaktor:

$c_R = 1.0$

Dreiecks-Helligkeit i^*



ORS20_95a; adaptierte CIELAB-Daten

	u^*_e	$L^*=L^*_a$	a^*_a	b^*_a	$C^*_{ab,a}$	$h^*_{ab,a}$
O _{Ma}	46.89	66.19	40.28	77.48	31	
Y _{Ma}	88.66	-9.62	88.21	88.73	96	
L _{Ma}	54.22	-65.29	33.87	73.56	153	
C _{Ma}	61.43	-30.53	-42.04	51.96	234	
V _{Ma}	25.93	25.95	-47.37	54.01	299	
M _{Ma}	47.92	73.53	-9.02	74.08	353	
N _{Ma}	20.41	0.0	0.0	0.0	0	
W _{Ma}	94.64	0.0	0.0	0.0	0	
R _{Ma}	39.92	58.74	27.99	65.07	25	
J _{Ma}	81.26	-2.89	71.56	71.62	92	
G _{Ma}	52.23	-42.42	13.6	44.55	162	
B _{Ma}	30.57	1.41	-46.47	46.49	272	

Daten für Maximalfarbe (Ma):

$LAB^*LAB^*_{Ma}$: 41 1 -45

$LAB^*LCH^*_{Ma}$: 41 45 271

$lab^*rgb^*_{Ma}$: 0.0 0.0 1.0

$lab^*olv^*_{Ma}$: 0.0 0.42 1.0

Dreiecks-Helligkeit i^*

%Umfang

$u^*_{rel} = 87$

%Regularität

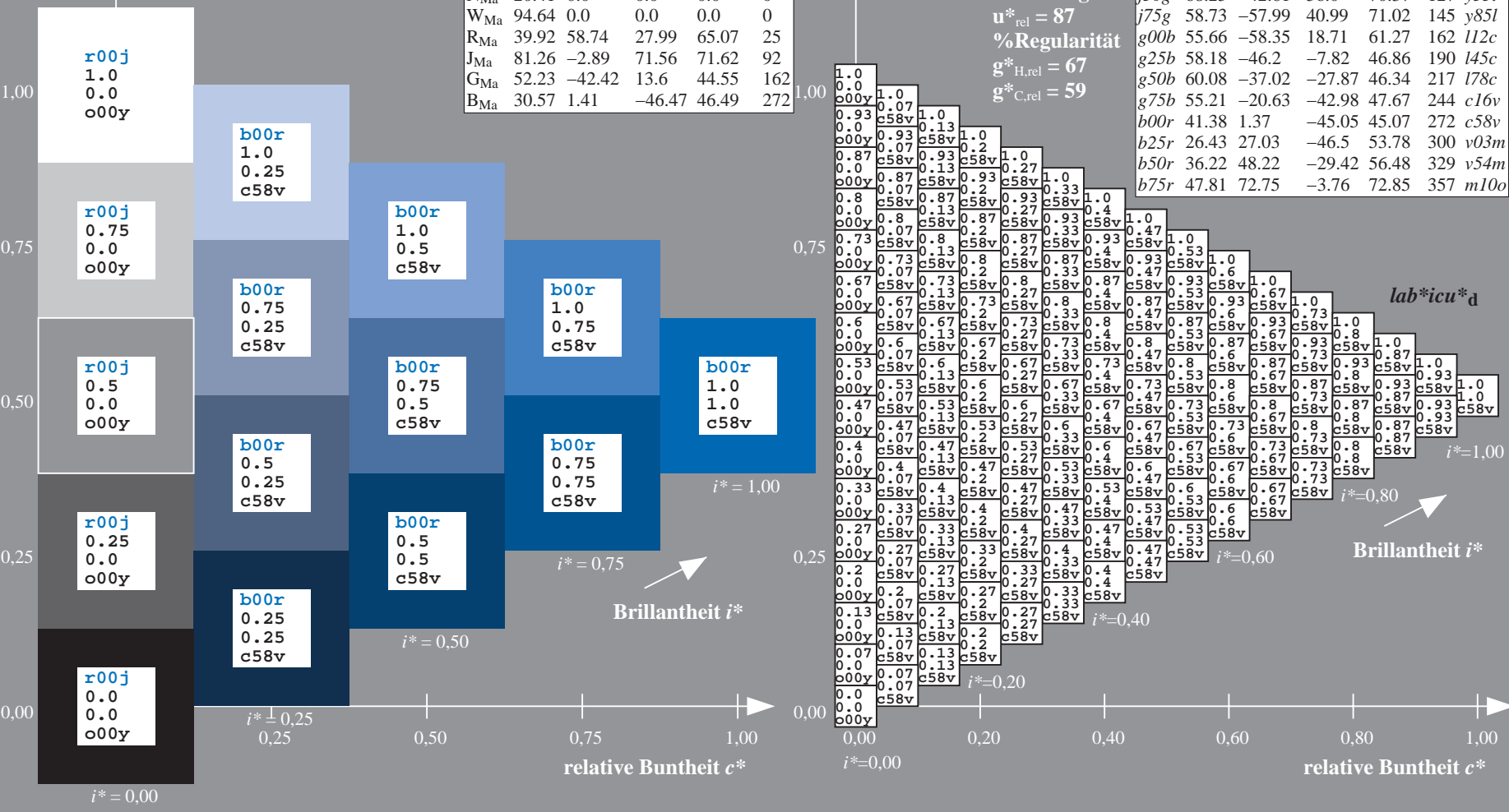
$g^*_{H,rel} = 67$

$g^*_{C,rel} = 59$

$u^*_e = b00r$
 $lab^*icu^*_d$

ORS20_95a; adaptierte CIELAB-Daten

	u^*_e	$L^*=L^*_a$	a^*_a	b^*_a	$C^*_{ab,a}$	$h^*_{ab,a}$	u^*_d
r00j	47.06	67.41	32.12	74.67	25	m84o	
r25j	53.95	53.38	48.38	72.04	42	o17y	
r50j	63.6	35.87	59.45	69.43	59	o42y	
r75j	73.37	18.14	70.66	72.95	76	o68y	
j00g	85.24	-3.4	84.28	84.35	92	o93y	
j25g	78.53	-25.99	72.23	76.76	110	y24l	
j50g	68.25	-42.61	56.0	70.37	127	y51l	
j75g	58.73	-57.99	40.99	71.02	145	y85l	
g00b	55.66	-58.35	18.71	61.27	162	l12c	
g25b	58.18	-46.2	-7.82	46.86	190	l45c	
g50b	60.08	-37.02	-27.87	46.34	217	l78c	
g75b	55.21	-20.63	-42.98	47.67	244	c16v	
b00r	41.38	1.37	-45.05	45.07	272	c58v	
b25r	26.43	27.03	-46.5	53.78	300	v03m	
b50r	36.22	48.22	-29.42	56.48	329	v54m	
b75r	47.81	72.75	-3.76	72.85	357	m10o	



Ein und Ausgabe: Farbmetrisches Drucker-Reflektiv-System ORS20_95a für relativen CIELAB-Bunnton $h^* = lab^*h^* = h_{ab}/360 = 0.834$

Daten für jede Farbe:

lab^*ch^* und lab^*icu^*

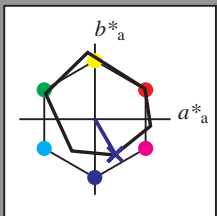
Bunntontexte:

$u^*_e = b25r$ $u^*_d = v03m$

Kontrastreduzierungsfaktor:

$c_R = 1.0$

Dreiecks-Helligkeit i^*



ORS20_95a; adaptierte CIELAB-Daten

	u^*_e	$L^*=L^*_a$	a^*_a	b^*_a	$C^*_{ab,a}$	$h^*_{ab,a}$
O _{Ma}	46.89	66.19	40.28	77.48	31	
Y _{Ma}	88.66	-9.62	88.21	88.73	96	
L _{Ma}	54.22	-65.29	33.87	73.56	153	
C _{Ma}	61.43	-30.53	-42.04	51.96	234	
V _{Ma}	25.93	25.95	-47.37	54.01	299	
M _{Ma}	47.92	73.53	-9.02	74.08	353	
N _{Ma}	20.41	0.0	0.0	0.0	0	
W _{Ma}	94.64	0.0	0.0	0.0	0	
R _{Ma}	39.92	58.74	27.99	65.07	25	
J _{Ma}	81.26	-2.89	71.56	71.62	92	
G _{Ma}	52.23	-42.42	13.6	44.55	162	
B _{Ma}	30.57	1.41	-46.47	46.49	272	

Daten für Maximalfarbe (Ma):

$LAB^*LAB^*_{Ma}$: 26 27 -46

$LAB^*LCH^*_{Ma}$: 26 54 300

$lab^*rgb^*_{Ma}$: 0.5 0.0 1.0

$lab^*olv^*_{Ma}$: 0.03 0.0 1.0

Dreiecks-Helligkeit i^*

%Umfang

$u^*_{rel} = 87$

%Regularität

$g^*_{H,rel} = 67$

$g^*_{C,rel} = 59$

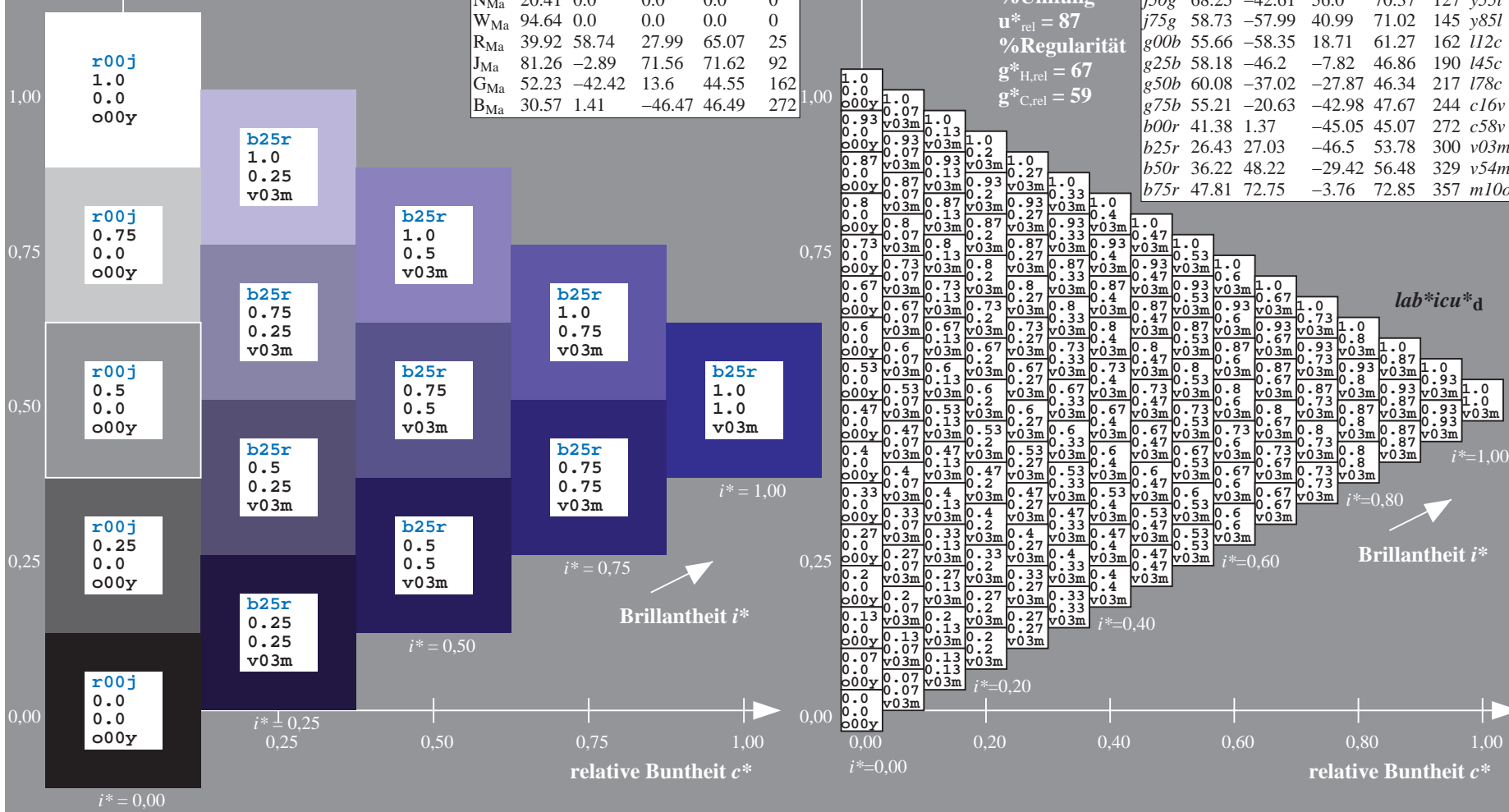
ORS20_95a; adaptierte CIELAB-Daten

	u^*_e	$L^*=L^*_a$	a^*_a	b^*_a	$C^*_{ab,a}$	$h^*_{ab,a}$	u^*_d
r00j	47.06	67.41	32.12	74.67	25	m84o	
r25j	53.95	53.38	48.38	72.04	42	o17y	
r50j	63.6	35.87	59.45	69.43	59	o42y	
r75j	73.37	18.14	70.66	72.95	76	o68y	
j00g	85.24	-3.4	84.28	84.35	92	o93y	
j25g	78.53	-25.99	72.23	76.76	110	y24l	
j50g	68.25	-42.61	56.0	70.37	127	y51l	
j75g	58.73	-57.99	40.99	71.02	145	y85l	
g00b	55.66	-58.35	18.71	61.27	162	l12c	
g25b	58.18	-46.2	-7.82	46.86	190	l45c	
g50b	60.08	-37.02	-27.87	46.34	217	l78c	
g75b	55.21	-20.63	-42.98	47.67	244	c16v	
b00r	41.38	1.37	-45.05	45.07	272	c58v	
b25r	26.43	27.03	-46.5	53.78	300	v03m	
b50r	36.22	48.22	-29.42	56.48	329	v54m	
b75r	47.81	72.75	-3.76	72.85	357	m10o	

$u^*_e = b25r$
 $lab^*icu^*_d$

Siehe ähnliche Dateien: <http://www.ps.bam.de/Eg39/>; [www.ps.bam.de/Version 2.1, io=1,1, Colspx=1](http://www.ps.bam.de/Version%201.1,io=1,1,Colspx=1)
Technische Information: [http://www.ps.bam.de/Version 2.1, io=1,1, Colspx=1](http://www.ps.bam.de/Version%201.1,io=1,1,Colspx=1)

BAM-Registrierung: 20081001-Eg39/10L/L39G00NA.PS/.TXT BAM-Material: Code=rhatha
Anwendung für Beurteilung und Messung von Drucker- oder Monitorssystemen



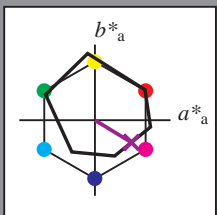
Ein und Ausgabe: Farbmetrisches Drucker-Reflektiv-System ORS20_95a für relativen CIELAB-Bunnton $h^* = lab^*h^* = h_{ab}/360 = 0.913$

Daten für jede Farbe:
 lab^*ch^* und lab^*icu^*

Bunntontexte:
 $u^*_e = b50r$ $u^*_d = v54m$

Kontrastreduzierungsfaktor:
 $c_R = 1.0$

Dreiecks-Helligkeit i^*



ORS20_95a; adaptierte CIELAB-Daten

	u^*_e	$L^*=L^*_a$	a^*_a	b^*_a	$C^*_{ab,a}$	$h^*_{ab,a}$
O _{Ma}	46.89	66.19	40.28	77.48	31	
Y _{Ma}	88.66	-9.62	88.21	88.73	96	
L _{Ma}	54.22	-65.29	33.87	73.56	153	
C _{Ma}	61.43	-30.53	-42.04	51.96	234	
V _{Ma}	25.93	25.95	-47.37	54.01	299	
M _{Ma}	47.92	73.53	-9.02	74.08	353	
N _{Ma}	20.41	0.0	0.0	0.0	0	
W _{Ma}	94.64	0.0	0.0	0.0	0	
R _{Ma}	39.92	58.74	27.99	65.07	25	
J _{Ma}	81.26	-2.89	71.56	71.62	92	
G _{Ma}	52.23	-42.42	13.6	44.55	162	
B _{Ma}	30.57	1.41	-46.47	46.49	272	

Daten für Maximalfarbe (Ma):

$LAB^*LAB^*_{Ma}$: 36 48 -29

$LAB^*LCH^*_{Ma}$: 36 56 328

$lab^*rgb^*_{Ma}$: 1.0 0.0 1.0

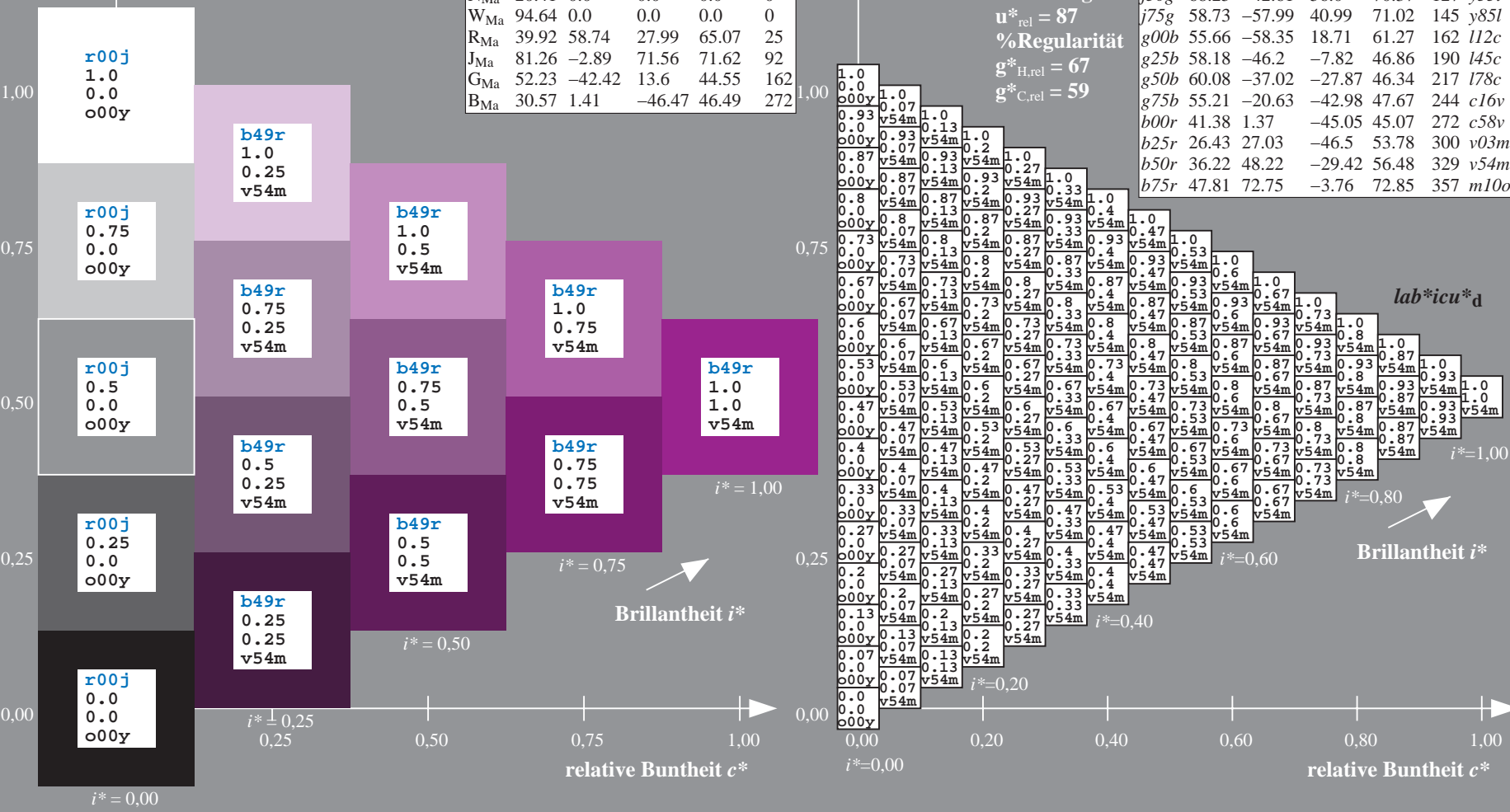
$lab^*olv^*_{Ma}$: 0.55 0.0 1.0

Dreiecks-Helligkeit i^*

%Umfang
 $u^*_{rel} = 87$
 %Regularität
 $g^*_{H,rel} = 67$
 $g^*_{C,rel} = 59$

ORS20_95a; adaptierte CIELAB-Daten

	u^*_e	$L^*=L^*_a$	a^*_a	b^*_a	$C^*_{ab,a}$	$h^*_{ab,a}$	u^*_d
r00j	47.06	67.41	32.12	74.67	25	m84o	
r25j	53.95	53.38	48.38	72.04	42	o17y	
r50j	63.6	35.87	59.45	69.43	59	o42y	
r75j	73.37	18.14	70.66	72.95	76	o68y	
j00g	85.24	-3.4	84.28	84.35	92	o93y	
j25g	78.53	-25.99	72.23	76.76	110	y24l	
j50g	68.25	-42.61	56.0	70.37	127	y51l	
j75g	58.73	-57.99	40.99	71.02	145	y85l	
g00b	55.66	-58.35	18.71	61.27	162	l12c	
g25b	58.18	-46.2	-7.82	46.86	190	l45c	
g50b	60.08	-37.02	-27.87	46.34	217	l78c	
g75b	55.21	-20.63	-42.98	47.67	244	c16v	
b00r	41.38	1.37	-45.05	45.07	272	c58v	
b25r	26.43	27.03	-46.5	53.78	300	v03m	
b50r	36.22	48.22	-29.42	56.48	329	v54m	
b75r	47.81	72.75	-3.76	72.85	357	m10o	



BAM-Registrierung: 20081001-Eg39/10L/L39G00NA.PS/.TXT BAM-Material: Code=rhatha
 Anwendung für Beurteilung und Messung von Drucker- oder Monitorssystemen

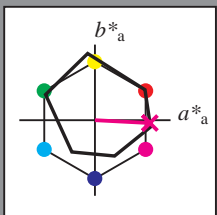
Ein und Ausgabe: Farbmetrisches Drucker-Reflektiv-System ORS20_95a für relativen CIELAB-Bunton $h^* = lab^*h^* = h_{ab}/360 = 0.992$

Daten für jede Farbe:
 lab^*tch^* und lab^*icu^*

Buntontexte:
 $u^*_e = b75r$ $u^*_d = m10o$

Kontrastreduzierungsfaktor:
 $c_R = 1.0$

Dreiecks-Helligkeit i^*



ORS20_95a; adaptierte CIELAB-Daten						
	u^*_e	$L^*=L^*_a$	a^*_a	b^*_a	$C^*_{ab,a}$	$h^*_{ab,a}$
O _{Ma}	46.89	66.19	40.28	77.48	31	
Y _{Ma}	88.66	-9.62	88.21	88.73	96	
L _{Ma}	54.22	-65.29	33.87	73.56	153	
C _{Ma}	61.43	-30.53	-42.04	51.96	234	
V _{Ma}	25.93	25.95	-47.37	54.01	299	
M _{Ma}	47.92	73.53	-9.02	74.08	353	
N _{Ma}	20.41	0.0	0.0	0.0	0	
W _{Ma}	94.64	0.0	0.0	0.0	0	
R _{Ma}	39.92	58.74	27.99	65.07	25	
J _{Ma}	81.26	-2.89	71.56	71.62	92	
G _{Ma}	52.23	-42.42	13.6	44.55	162	
B _{Ma}	30.57	1.41	-46.47	46.49	272	

Daten für Maximalfarbe (Ma):

$LAB^*LAB^*_{Ma}$: 48 73 -4

$LAB^*LCH^*_{Ma}$: 48 73 357

$lab^*rgb^*_{Ma}$: 1.0 0.0 0.5

$lab^*olv^*_{Ma}$: 1.0 0.0 0.89

Dreiecks-Helligkeit i^*

%Umfang

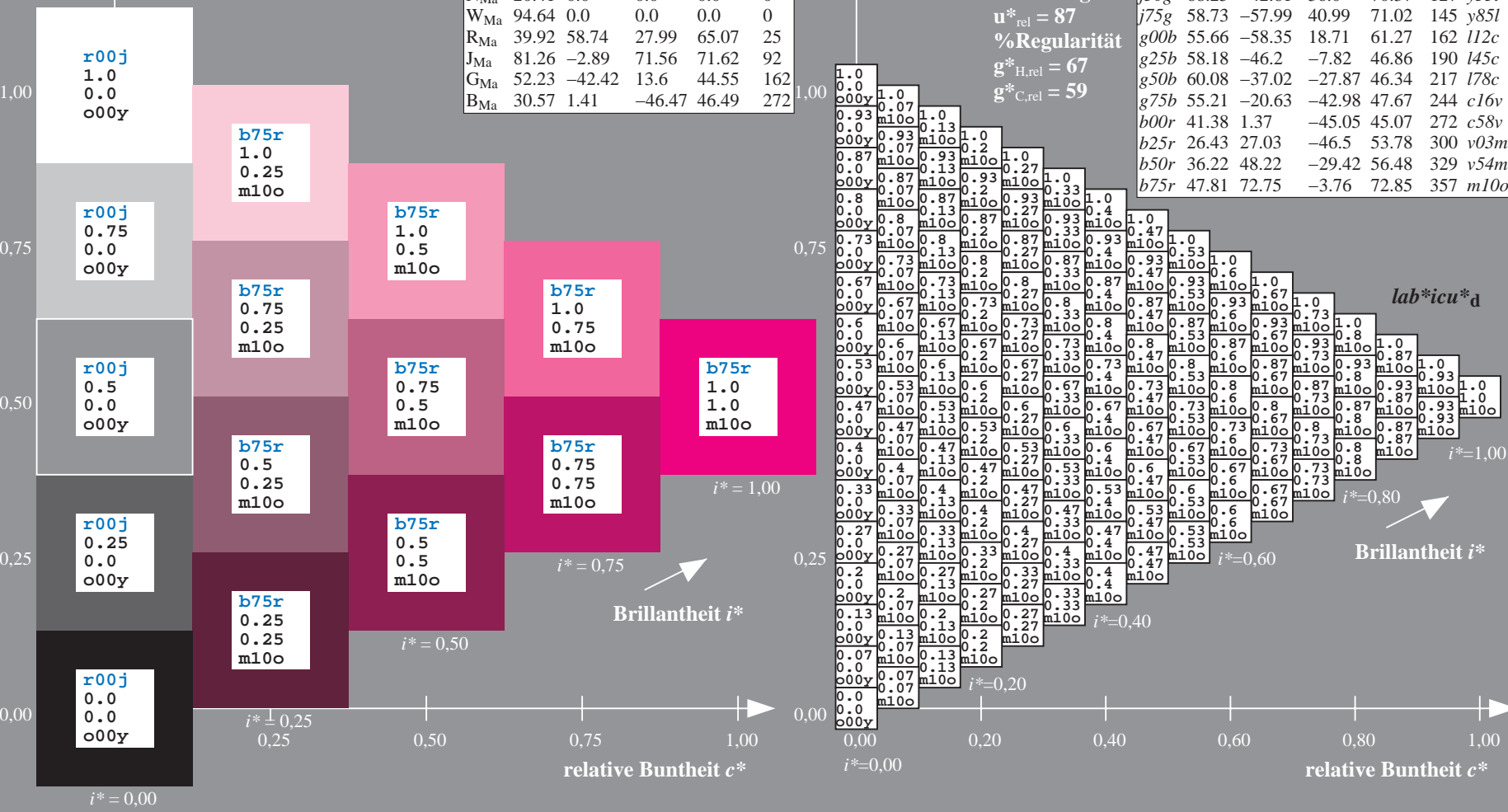
$u^*_{rel} = 87$

%Regularität

$g^*_{H,rel} = 67$

$g^*_{C,rel} = 59$

ORS20_95a; adaptierte CIELAB-Daten							
	u^*_e	$L^*=L^*_a$	a^*_a	b^*_a	$C^*_{ab,a}$	$h^*_{ab,a}$	u^*_d
r00j	47.06	67.41	32.12	74.67	25	m84o	
r25j	53.95	53.38	48.38	72.04	42	o17y	
r50j	63.6	35.87	59.45	69.43	59	o42y	
r75j	73.37	18.14	70.66	72.95	76	o68y	
j00g	85.24	-3.4	84.28	84.35	92	o93y	
j25g	78.53	-25.99	72.23	76.76	110	y24l	
j50g	68.25	-42.61	56.0	70.37	127	y51l	
j75g	58.73	-57.99	40.99	71.02	145	y85l	
g00b	55.66	-58.35	18.71	61.27	162	l12c	
g25b	58.18	-46.2	-7.82	46.86	190	l45c	
g50b	60.08	-37.02	-27.87	46.34	217	l78c	
g75b	55.21	-20.63	-42.98	47.67	244	c16v	
b00r	41.38	1.37	-45.05	45.07	272	c58v	
b25r	26.43	27.03	-46.5	53.78	300	v03m	
b50r	36.22	48.22	-29.42	56.48	329	v54m	
b75r	47.81	72.75	-3.76	72.85	357	m10o	



BAM-Registrierung: 20081001-Eg39/10L/L39G00NA.PS/.TXT BAM-Material: Code=rhatha
 Anwendung für Beurteilung und Messung von Drucker- oder Monitorssystemen

Stiehe ähnliche Dateien: <http://www.ps.bam.de/Eg39/>; [www.ps.bam.de/Version 2.1, io=1.1, ColsPx=1](http://www.ps.bam.de/Version2.1,io=1.1,ColsPx=1)
Technische Information: [http://www.ps.bam.de/Version 2.1, io=1.1, ColsPx=1](http://www.ps.bam.de/Version2.1,io=1.1,ColsPx=1)

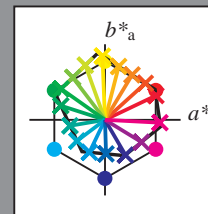
Table with 27 rows (01-27) and 48 columns (A-lab*icu*a). Each cell contains a numerical value representing colorimetric data for a specific row and column combination.

BAM-Registrierung: 20081001-Eg39/10L/L39G00NA.PS/.TXT BAM-Material: Code=thata4ta
Anwendung für Beurteilung und Messung von Drucker- oder Monitorsystemen

Ein und Ausgabe:
 Farbmetrisches Drucker-Reflektiv-System ORS20_95a
 Daten für jede Farbe:
 u^*_e und Nummer *Nr.* = 00 .. 15
 Elementar-Bunttextext:
 $u^*_e = 16$ Bunttoene *r00j, r25j, ..., b75r*
 Kontrastreduzierungsfaktor:
 $c_R = 1.0$

ORS20_95a; adaptierte CIELAB-Daten

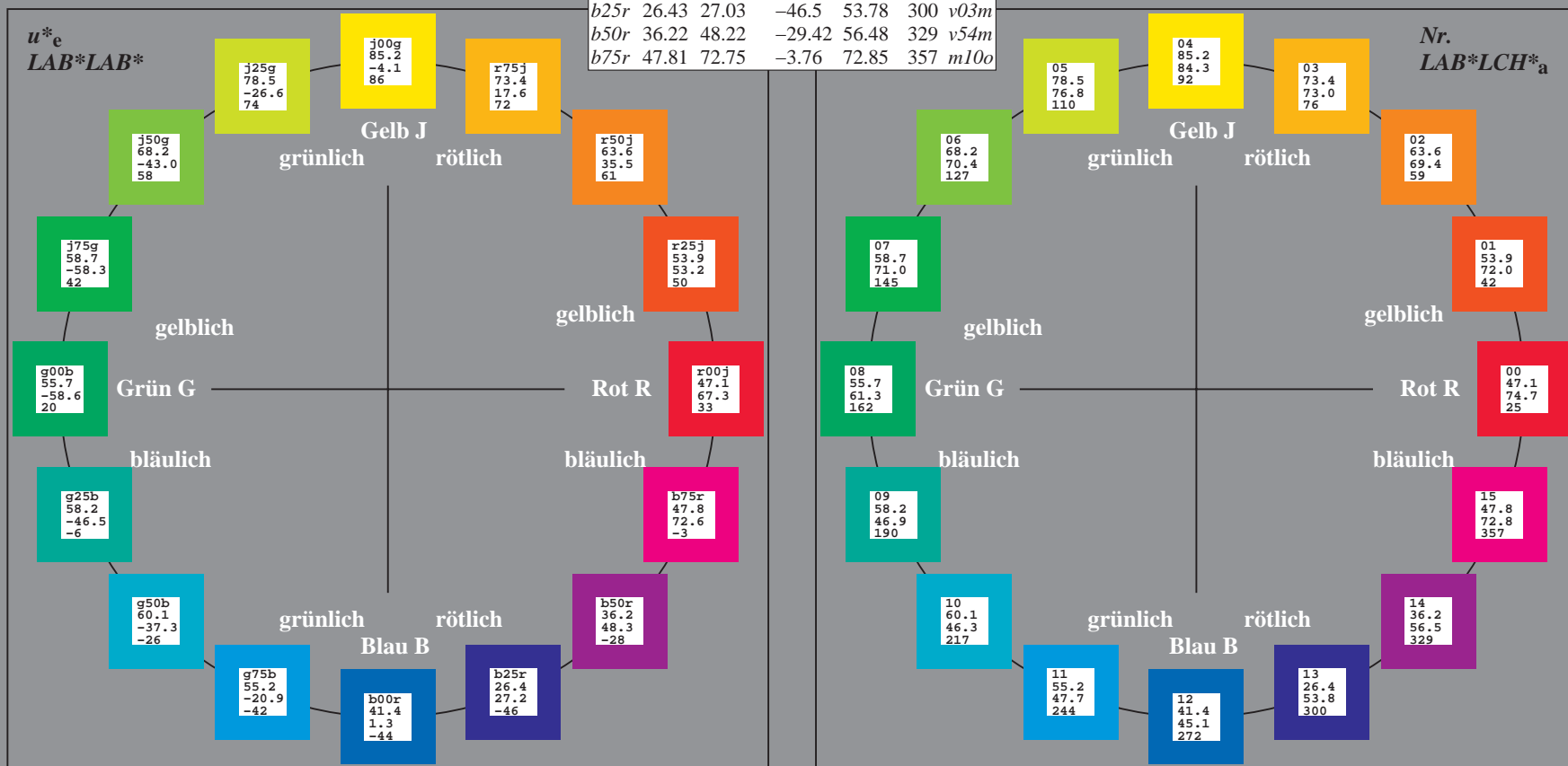
u^*_e	$L^*=L^*_a$	a^*_a	b^*_a	$C^*_{ab,a}$	$h^*_{ab,a}$	u^*_d
r00j	47.06	67.41	32.12	74.67	25	m84o
r25j	53.95	53.38	48.38	72.04	42	o17y
r50j	63.6	35.87	59.45	69.43	59	o42y
r75j	73.37	18.14	70.66	72.95	76	o68y
j00g	85.24	-3.4	84.28	84.35	92	o93y
j25g	78.53	-25.99	72.23	76.76	110	y24l
j50g	68.25	-42.61	56.0	70.37	127	y55l
j75g	58.73	-57.99	40.99	71.02	145	y85l
g00b	55.66	-58.35	18.71	61.27	162	l12c
g25b	58.18	-46.2	-7.82	46.86	190	l45c
g50b	60.08	-37.02	-27.87	46.34	217	l78c
g75b	55.21	-20.63	-42.98	47.67	244	c16v
b00r	41.38	1.37	-45.05	45.07	272	c58v
b25r	26.43	27.03	-46.5	53.78	300	v03m
b50r	36.22	48.22	-29.42	56.48	329	v54m
b75r	47.81	72.75	-3.76	72.85	357	m10o



%Umfang
 $u^*_{rel} = 87$
 %Regularität
 $g^*_{H,rel} = 67$
 $g^*_{C,rel} = 59$

ORS20_95; CIELAB-Daten

Name	$L^*=L^*$	a^*	b^*	C^*_{ab}	h^*_{ab}
O _M	46.89	66.08	41.48	78.02	32
Y _M	88.66	-10.34	90.28	90.87	97
L _M	54.22	-65.51	35.22	74.38	152
C _M	61.43	-30.85	-40.54	50.94	233
V _M	25.93	26.15	-46.61	53.44	299
M _M	47.92	73.41	-7.8	73.82	354
N _M	20.41	0.28	0.64	0.7	66
W _M	94.64	-0.81	2.2	2.34	110
R _{CIE}	39.92	58.74	27.99	65.07	25
J _{CIE}	81.26	-2.89	71.56	71.62	92
G _{CIE}	52.23	-42.42	13.6	44.55	162
B _{CIE}	30.57	1.41	-46.47	46.49	272



Siehe ähnliche Dateien: <http://www.ps.bam.de/Eg39/>; [www.ps.bam.de/Version 2.1, io=1,1, Colspx=1](http://www.ps.bam.de/Version%202.1,io=1,1,Colspx=1)
 Technische Information: <http://www.ps.bam.de>

BAM-Registrierung: 20081001-Eg39/10L/L39G00NA.PS/.TXT BAM-Material: Code=rh4ta
 Anwendung für Beurteilung und Messung von Drucker- oder Monitorssystemen

Ein und Ausgabe: Farbmetrisches Drucker-Reflektiv-System ORS20_95a für relativen CIELAB-Buntton $h^* = lab^*h^* = h_{ab}/360 = 0.071$

Daten für jede Farbe:

lab^*ch^* und lab^*icu^*

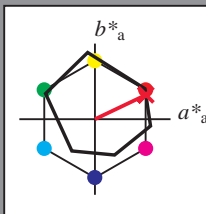
Bunttontexte:

$u^*_e = r00j$ $u^*_d = m84o$

Kontrastreduzierungsfaktor:

$c_R = 1.0$

Dreiecks-Helligkeit i^*



ORS20_95; CIELAB-Daten

	u^*_e	$L^*=L^*$	a^*	b^*	C^*_{ab}	h^*_{ab}
O _M	46.89	66.08	41.48	78.02	32	97
Y _M	88.66	-10.34	90.28	90.87	97	97
L _M	54.22	-65.51	35.22	74.38	152	152
C _M	61.43	-30.85	-40.54	50.94	233	233
V _M	25.93	26.15	-46.61	53.44	299	299
M _M	47.92	73.41	-7.8	73.82	354	354
N _M	20.41	0.28	0.64	0.7	66	66
W _M	94.64	-0.81	2.2	2.34	110	110
R _M	39.92	58.74	27.99	65.07	25	25
J _M	81.26	-2.89	71.56	71.62	92	92
G _M	52.23	-42.42	13.6	44.55	162	162
B _M	30.57	1.41	-46.47	46.49	272	272

Daten für Maximalfarbe (Ma):

$LAB^*LAB^*Ma: 47\ 67\ 32$

$LAB^*LCH^*Ma: 47\ 75\ 25$

$lab^*rgb^*Ma: 1.0\ 0.0\ 0.0$

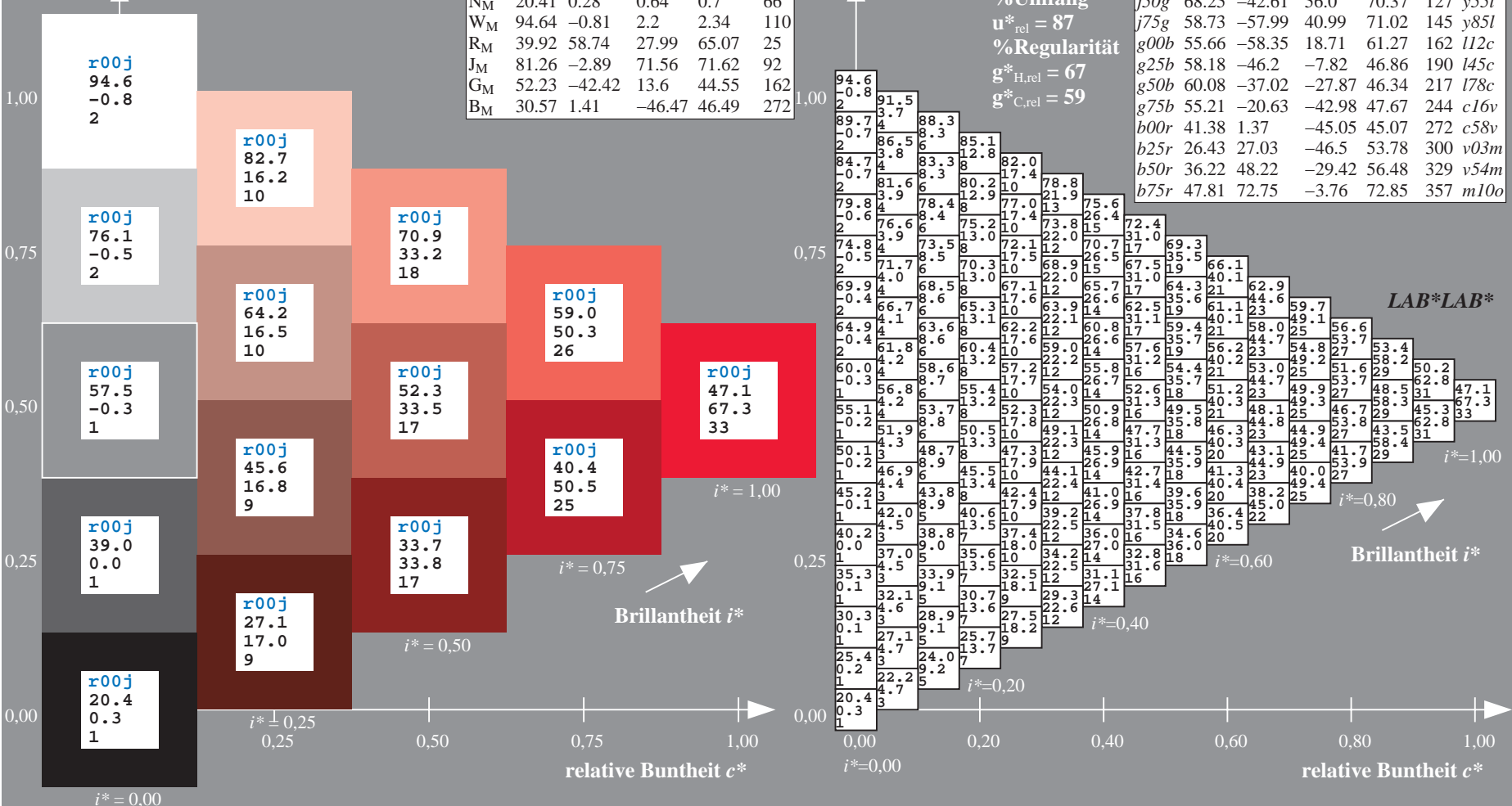
$lab^*olv^*Ma: 1.0\ 0.0\ 0.15$

Dreiecks-Helligkeit i^*

%Umfang
 $u^*_{rel} = 87$
 %Regularität
 $g^*_{H,rel} = 67$
 $g^*_{C,rel} = 59$

ORS20_95a; adaptierte CIELAB-Daten

	u^*_e	$L^*=L^*_a$	a^*_a	b^*_a	$C^*_{ab,a}$	$h^*_{ab,a}$	u^*_d
r00j	47.06	67.41	32.12	74.67	25	m84o	
r25j	53.95	53.38	48.38	72.04	42	o17y	
r50j	63.6	35.87	59.45	69.43	59	o42y	
r75j	73.37	18.14	70.66	72.95	76	o68y	
j00g	85.24	-3.4	84.28	84.35	92	o93y	
j25g	78.53	-25.99	72.23	76.76	110	y24l	
j50g	68.25	-42.61	56.0	70.37	127	y51l	
j75g	58.73	-57.99	40.99	71.02	145	y85l	
g00b	55.66	-58.35	18.71	61.27	162	l12c	
g25b	58.18	-46.2	-7.82	46.86	190	l45c	
g50b	60.08	-37.02	-27.87	46.34	217	l78c	
g75b	55.21	-20.63	-42.98	47.67	244	c16v	
b00r	41.38	1.37	-45.05	45.07	272	c58v	
b25r	26.43	27.03	-46.5	53.78	300	v03m	
b50r	36.22	48.22	-29.42	56.48	329	v54m	
b75r	47.81	72.75	-3.76	72.85	357	m10o	



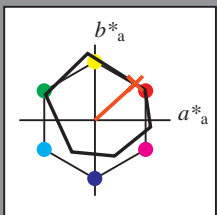
Ein und Ausgabe: Farbmetrisches Drucker-Reflektiv-System ORS20_95a für relativen CIELAB-Buntton $h^* = lab^*h^* = h_{ab}/360 = 0.117$

Daten für jede Farbe:
 lab^*ch^* und lab^*icu^*

Bunntontexte:
 $u^*_e = r25j$ $u^*_d = o17y$

Kontrastreduzierungsfaktor:
 $c_R = 1.0$

Dreiecks-Helligkeit i^*



ORS20_95; CIELAB-Daten						
	u^*_e	$L^*=L^*_a$	a^*	b^*	C^*_{ab}	h^*_{ab}
O _M	46.89	66.08	41.48	78.02	32	97
Y _M	88.66	-10.34	90.28	90.87	97	97
L _M	54.22	-65.51	35.22	74.38	152	152
C _M	61.43	-30.85	-40.54	50.94	233	233
V _M	25.93	26.15	-46.61	53.44	299	299
M _M	47.92	73.41	-7.8	73.82	354	354
N _M	20.41	0.28	0.64	0.7	66	66
W _M	94.64	-0.81	2.2	2.34	110	110
R _M	39.92	58.74	27.99	65.07	25	25
J _M	81.26	-2.89	71.56	71.62	92	92
G _M	52.23	-42.42	13.6	44.55	162	162
B _M	30.57	1.41	-46.47	46.49	272	272

Daten für Maximalfarbe (Ma):

$LAB^*LAB^*_Ma: 54\ 53\ 48$

$LAB^*LCH^*_Ma: 54\ 72\ 42$

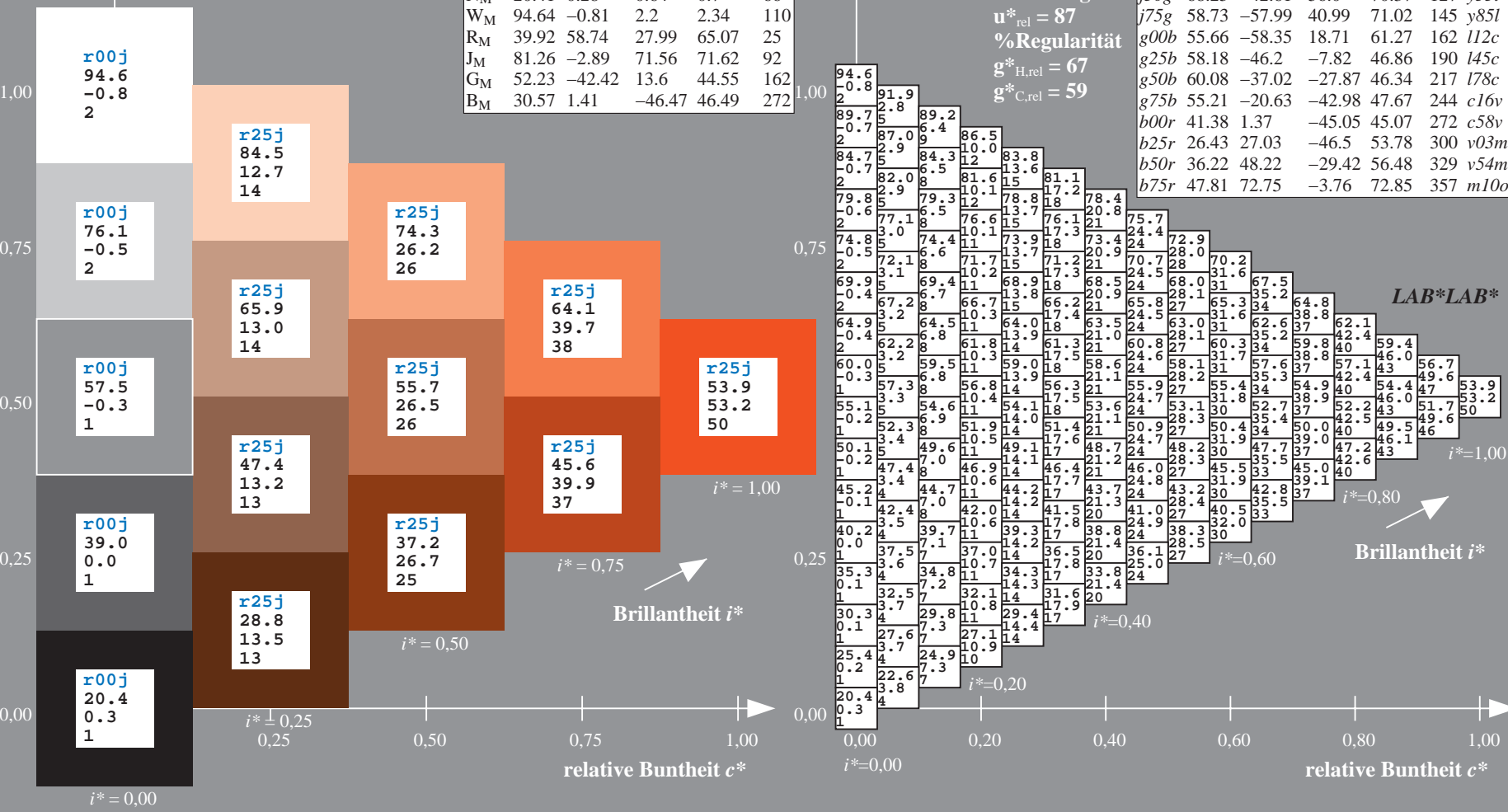
$lab^*rgb^*_Ma: 1.0\ 0.25\ 0.0$

$lab^*olv^*_Ma: 1.0\ 0.17\ 0.0$

Dreiecks-Helligkeit i^*

%Umfang
 $u^*_{rel} = 87$
 %Regularität
 $g^*_{H,rel} = 67$
 $g^*_{C,rel} = 59$

ORS20_95a; adaptierte CIELAB-Daten							
	u^*_e	$L^*=L^*_a$	a^*_a	b^*_a	$C^*_{ab,a}$	$h^*_{ab,a}$	u^*_d
r00j	47.06	67.41	32.12	74.67	25	m84o	
r25j	53.95	53.38	48.38	72.04	42	o17y	
r50j	63.6	35.87	59.45	69.43	59	o42y	
r75j	73.37	18.14	70.66	72.95	76	o68y	
j00g	85.24	-3.4	84.28	84.35	92	o93y	
j25g	78.53	-25.99	72.23	76.76	110	y24l	
j50g	68.25	-42.61	56.0	70.37	127	y51l	
j75g	58.73	-57.99	40.99	71.02	145	y85l	
g00b	55.66	-58.35	18.71	61.27	162	l12c	
g25b	58.18	-46.2	-7.82	46.86	190	l45c	
g50b	60.08	-37.02	-27.87	46.34	217	l78c	
g75b	55.21	-20.63	-42.98	47.67	244	c16v	
b00r	41.38	1.37	-45.05	45.07	272	c58v	
b25r	26.43	27.03	-46.5	53.78	300	v03m	
b50r	36.22	48.22	-29.42	56.48	329	v54m	
b75r	47.81	72.75	-3.76	72.85	357	m10o	



BAM-Registrierung: 20081001-Eg39/10L/L39G00NA.PS/.TXT BAM-Material: Code=rh4ta
 Anwendung für Beurteilung und Messung von Drucker- oder Monitorssystemen

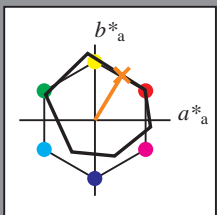
Ein und Ausgabe: Farbmetrisches Drucker-Reflektiv-System ORS20_95a für relativen CIELAB-Bunton $h^* = lab^*h^* = h_{ab}/360 = 0.164$

Daten für jede Farbe:
 lab^*ch^* und lab^*icu^*

Buntontexte:
 $u^*_e = r50j$ $u^*_d = o42y$

Kontrastreduzierungsfaktor:
 $c_R = 1.0$

Dreiecks-Helligkeit i^*



ORS20_95; CIELAB-Daten						
	u^*_e	$L^*=L^*_a$	a^*	b^*	C^*_{ab}	h^*_{ab}
O _M	46.89	66.08	41.48	78.02	32	97
Y _M	88.66	-10.34	90.28	90.87	97	97
L _M	54.22	-65.51	35.22	74.38	152	152
C _M	61.43	-30.85	-40.54	50.94	233	233
V _M	25.93	26.15	-46.61	53.44	299	299
M _M	47.92	73.41	-7.8	73.82	354	354
N _M	20.41	0.28	0.64	0.7	66	66
W _M	94.64	-0.81	2.2	2.34	110	110
R _M	39.92	58.74	27.99	65.07	25	25
J _M	81.26	-2.89	71.56	71.62	92	92
G _M	52.23	-42.42	13.6	44.55	162	162
B _M	30.57	1.41	-46.47	46.49	272	272

Daten für Maximalfarbe (Ma):

$LAB^*LAB^*_Ma: 64\ 36\ 59$

$LAB^*LCH^*_Ma: 64\ 69\ 58$

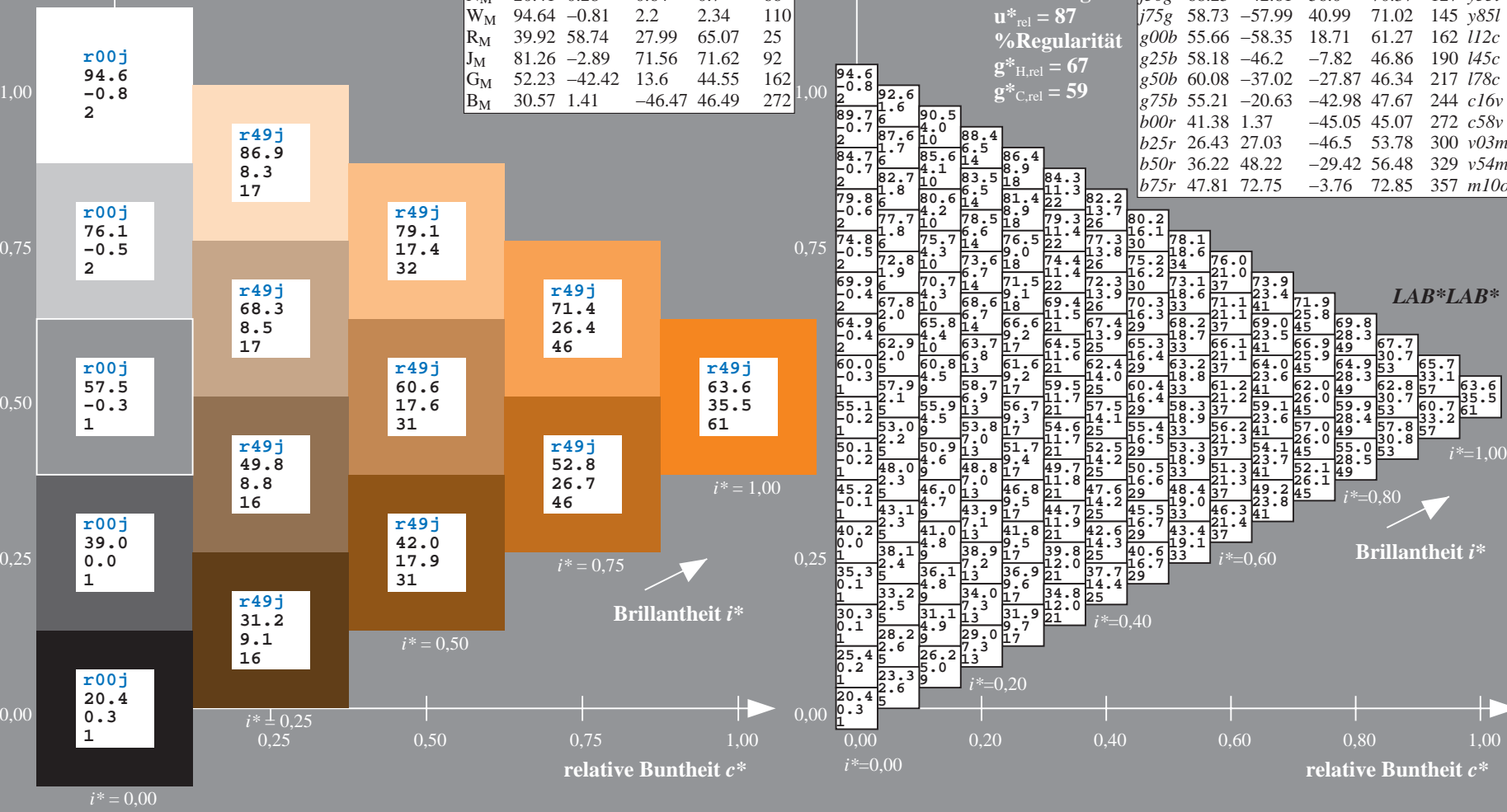
$lab^*rgb^*_Ma: 1.0\ 0.5\ 0.0$

$lab^*olv^*_Ma: 1.0\ 0.42\ 0.0$

Dreiecks-Helligkeit i^*

%Umfang
 $u^*_{rel} = 87$
 %Regularität
 $g^*_{H,rel} = 67$
 $g^*_{C,rel} = 59$

ORS20_95a; adaptierte CIELAB-Daten							
	u^*_e	$L^*=L^*_a$	a^*_a	b^*_a	$C^*_{ab,a}$	$h^*_{ab,a}$	u^*_d
r00j	47.06	67.41	32.12	74.67	25	m84o	
r25j	53.95	53.38	48.38	72.04	42	o17y	
r50j	63.6	35.87	59.45	69.43	59	o42y	
r75j	73.37	18.14	70.66	72.95	76	o68y	
j00g	85.24	-3.4	84.28	84.35	92	o93y	
j25g	78.53	-25.99	72.23	76.76	110	y24l	
j50g	68.25	-42.61	56.0	70.37	127	y51l	
j75g	58.73	-57.99	40.99	71.02	145	y85l	
g00b	55.66	-58.35	18.71	61.27	162	l12c	
g25b	58.18	-46.2	-7.82	46.86	190	l45c	
g50b	60.08	-37.02	-27.87	46.34	217	l78c	
g75b	55.21	-20.63	-42.98	47.67	244	c16v	
b00r	41.38	1.37	-45.05	45.07	272	c58v	
b25r	26.43	27.03	-46.5	53.78	300	v03m	
b50r	36.22	48.22	-29.42	56.48	329	v54m	
b75r	47.81	72.75	-3.76	72.85	357	m10o	



Siehe ähnliche Dateien: <http://www.ps.bam.de/Eg39/>; [www.ps.bam.de/Version 2.1, io=1,1, Colspx=1](http://www.ps.bam.de/Version2.1,io=1,1,Colspx=1)
 Technische Information: <http://www.ps.bam.de>

BAM-Registrierung: 20081001-Eg39/10L/L39G00NA.PS/.TXT BAM-Material: Code=rhatha
 Anwendung für Beurteilung und Messung von Drucker- oder Monitorssystemen

Ein und Ausgabe: Farbmetrisches Drucker-Reflektiv-System ORS20_95a für relativen CIELAB-Bunnton $h^* = lab^*h^* = h_{ab}/360 = 0.21$

Daten für jede Farbe:

lab^*ch^* und lab^*icu^*

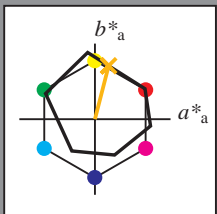
Buntontexte:

$u^*_e = r75j$ $u^*_d = o68y$

Kontrastreduzierungsfaktor:

$c_R = 1.0$

Dreiecks-Helligkeit i^*



ORS20_95; CIELAB-Daten

u^*_e	$L^*=L^*$	a^*	b^*	C^*_{ab}	h^*_{ab}
O _M	46.89	66.08	41.48	78.02	32
Y _M	88.66	-10.34	90.28	90.87	97
L _M	54.22	-65.51	35.22	74.38	152
C _M	61.43	-30.85	-40.54	50.94	233
V _M	25.93	26.15	-46.61	53.44	299
M _M	47.92	73.41	-7.8	73.82	354
N _M	20.41	0.28	0.64	0.7	66
W _M	94.64	-0.81	2.2	2.34	110
R _M	39.92	58.74	27.99	65.07	25
J _M	81.26	-2.89	71.56	71.62	92
G _M	52.23	-42.42	13.6	44.55	162
B _M	30.57	1.41	-46.47	46.49	272

$u^*_e = r75j$
 LAB^*LAB^*

Daten für Maximalfarbe (Ma):

$LAB^*LAB^*_Ma: 73 18 71$

$LAB^*LCH^*_Ma: 73 73 75$

$lab^*rgb^*_Ma: 1.0 0.75 0.0$

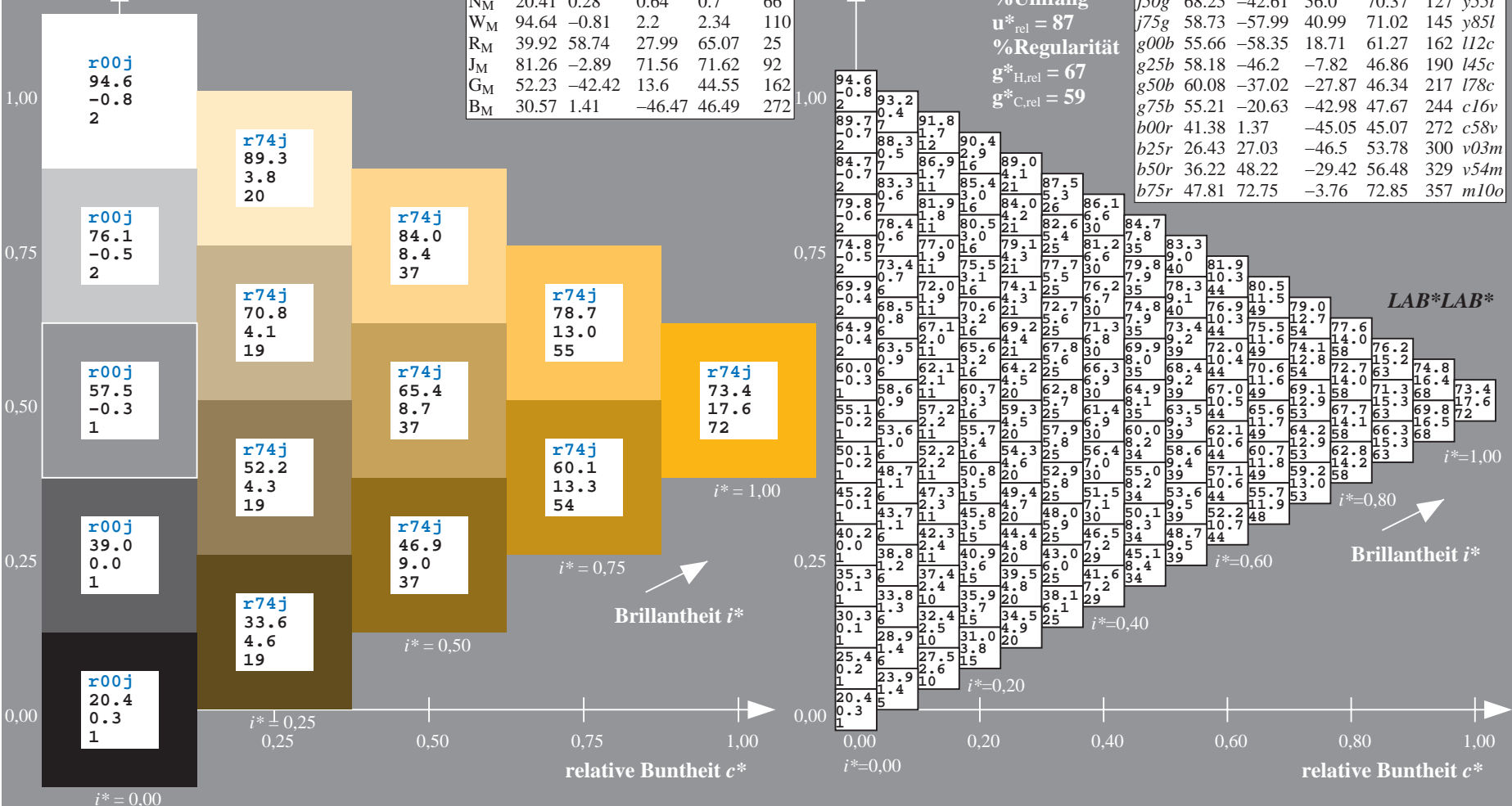
$lab^*olv^*_Ma: 1.0 0.68 0.0$

Dreiecks-Helligkeit i^*

%Umfang
 $u^*_{rel} = 87$
 %Regularität
 $g^*_{H,rel} = 67$
 $g^*_{C,rel} = 59$

ORS20_95a; adaptierte CIELAB-Daten

u^*_e	$L^*=L^*_a$	a^*_a	b^*_a	$C^*_{ab,a}$	$h^*_{ab,a}$	u^*_d
r00j	47.06	67.41	32.12	74.67	25	m84o
r25j	53.95	53.38	48.38	72.04	42	o17y
r50j	63.6	35.87	59.45	69.43	59	o42y
r75j	73.37	18.14	70.66	72.95	76	o68y
j00g	85.24	-3.4	84.28	84.35	92	o93y
j25g	78.53	-25.99	72.23	76.76	110	y24l
j50g	68.25	-42.61	56.0	70.37	127	y51l
j75g	58.73	-57.99	40.99	71.02	145	y85l
g00b	55.66	-58.35	18.71	61.27	162	l12c
g25b	58.18	-46.2	-7.82	46.86	190	l45c
g50b	60.08	-37.02	-27.87	46.34	217	l78c
g75b	55.21	-20.63	-42.98	47.67	244	c16v
b00r	41.38	1.37	-45.05	45.07	272	c58v
b25r	26.43	27.03	-46.5	53.78	300	v03m
b50r	36.22	48.22	-29.42	56.48	329	v54m
b75r	47.81	72.75	-3.76	72.85	357	m10o



Siehe ähnliche Dateien: <http://www.ps.bam.de/Eg39/>; www.ps.bam.de/Version 2.1, io=1,1, ColSpX=1
 Technische Information: <http://www.ps.bam.de>

BAM-Registrierung: 20081001-Eg39/10L/L39G00NA.PS/.TXT BAM-Material: Code=rh4ta
 Anwendung für Beurteilung und Messung von Drucker- oder Monitorssystemen

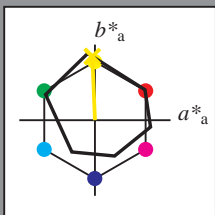
Ein und Ausgabe: Farbmetrisches Drucker-Reflektiv-System ORS20_95a für relativen CIELAB-Buntton $h^* = lab^*h^* = h_{ab}/360 = 0.256$

Daten für jede Farbe:
 lab^*tch^* und lab^*icu^*

Bunttontexte:
 $u^*_e = j00g$ $u^*_d = o93y$

Kontrastreduzierungsfaktor:
 $c_R = 1.0$

Dreiecks-Helligkeit i^*



ORS20_95; CIELAB-Daten						
u^*_e	$L^*=L^*$	a^*	b^*	C^*_{ab}	h^*_{ab}	
O _M	46.89	66.08	41.48	78.02	32	
Y _M	88.66	-10.34	90.28	90.87	97	
L _M	54.22	-65.51	35.22	74.38	152	
C _M	61.43	-30.85	-40.54	50.94	233	
V _M	25.93	26.15	-46.61	53.44	299	
M _M	47.92	73.41	-7.8	73.82	354	
N _M	20.41	0.28	0.64	0.7	66	
W _M	94.64	-0.81	2.2	2.34	110	
R _M	39.92	58.74	27.99	65.07	25	
J _M	81.26	-2.89	71.56	71.62	92	
G _M	52.23	-42.42	13.6	44.55	162	
B _M	30.57	1.41	-46.47	46.49	272	

$u^*_e = j00g$
 LAB^*LAB^*

Daten für Maximalfarbe (Ma):

$LAB^*LAB^*_{Ma}: 85 -3 84$

$LAB^*LCH^*_{Ma}: 85 84 92$

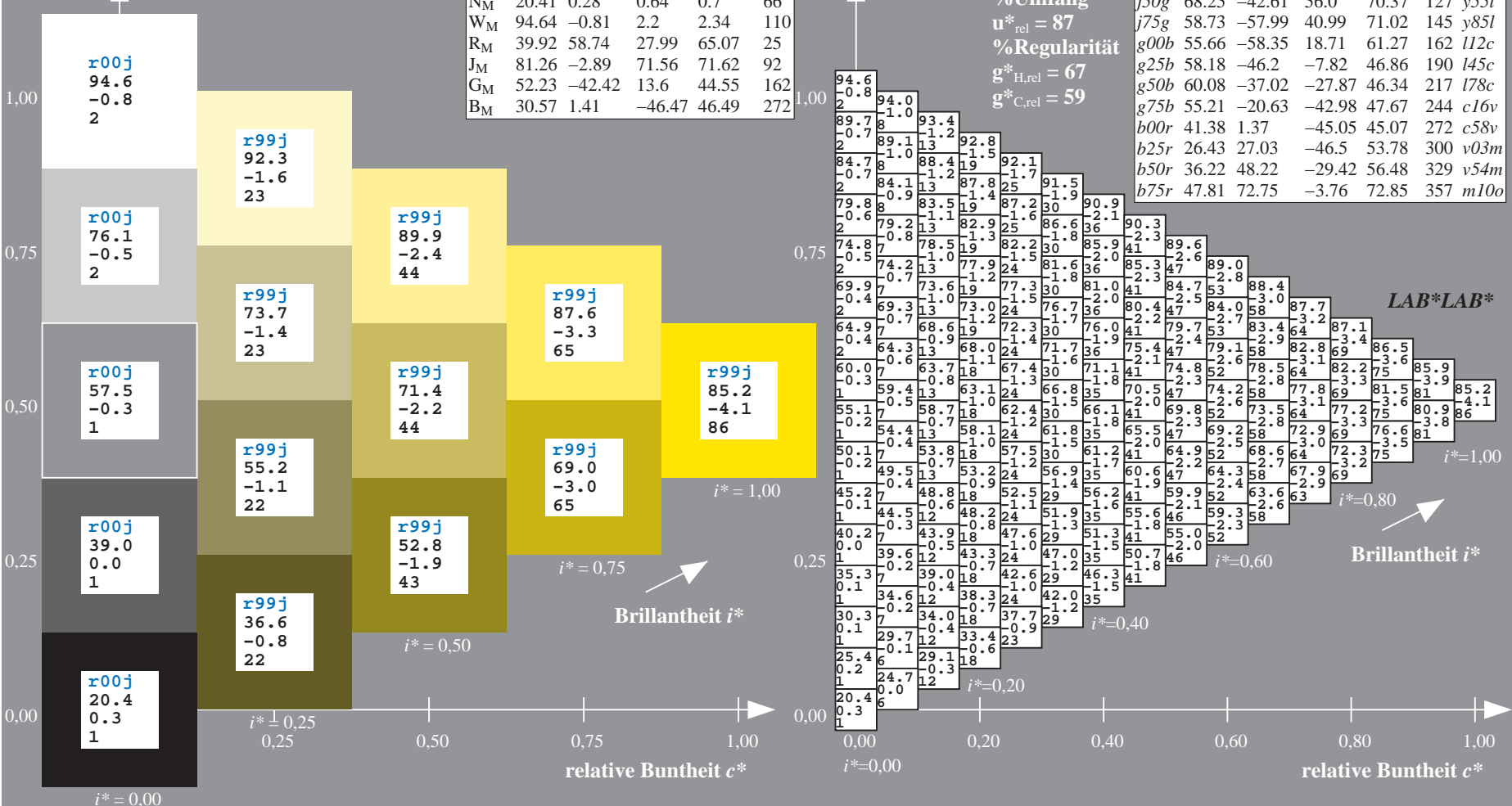
$lab^*rgb^*_{Ma}: 1.0 1.0 0.0$

$lab^*olv^*_{Ma}: 1.0 0.94 0.0$

Dreiecks-Helligkeit i^*

%Umfang
 $u^*_{rel} = 87$
 %Regularität
 $g^*_{H,rel} = 67$
 $g^*_{C,rel} = 59$

ORS20_95a; adaptierte CIELAB-Daten							
u^*_e	$L^*=L^*_a$	a^*_a	b^*_a	$C^*_{ab,a}$	$h^*_{ab,a}$	u^*_d	
r00j	47.06	67.41	32.12	74.67	25	m84o	
r25j	53.95	53.38	48.38	72.04	42	o17y	
r50j	63.6	35.87	59.45	69.43	59	o42y	
r75j	73.37	18.14	70.66	72.95	76	o68y	
j00g	85.24	-3.4	84.28	84.35	92	o93y	
j25g	78.53	-25.99	72.23	76.76	110	y24l	
j50g	68.25	-42.61	56.0	70.37	127	y51l	
j75g	58.73	-57.99	40.99	71.02	145	y85l	
g00b	55.66	-58.35	18.71	61.27	162	l12c	
g25b	58.18	-46.2	-7.82	46.86	190	l45c	
g50b	60.08	-37.02	-27.87	46.34	217	l78c	
g75b	55.21	-20.63	-42.98	47.67	244	c16v	
b00r	41.38	1.37	-45.05	45.07	272	c58v	
b25r	26.43	27.03	-46.5	53.78	300	v03m	
b50r	36.22	48.22	-29.42	56.48	329	v54m	
b75r	47.81	72.75	-3.76	72.85	357	m10o	



Siehe ähnliche Dateien: <http://www.ps.bam.de/Eg39/>; www.ps.bam.de/Version 2.1, io=1,1, ColSpx=1
 Technische Information: <http://www.ps.bam.de>

BAM-Registrierung: 20081001-Eg39/10L/L39G00NA.PS/.TXT BAM-Material: Code=rhatha
 Anwendung für Beurteilung und Messung von Drucker- oder Monitorssystemen

Ein und Ausgabe: Farbmetrisches Drucker-Reflektiv-System ORS20_95a für relativen CIELAB-Bunton $h^* = lab^*h^* = h_{ab}/360 = 0.305$

Daten für jede Farbe:

lab^*ch^* und lab^*icu^*

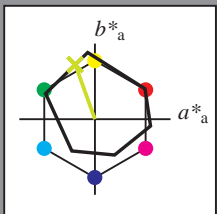
Buntontexte:

$u^*_e = j25g$ $u^*_d = y24l$

Kontrastreduzierungsfaktor:

$c_R = 1.0$

Dreiecks-Helligkeit i^*



ORS20_95; CIELAB-Daten

u^*_e	$L^*=L^*$	a^*	b^*	C^*_{ab}	h^*_{ab}
O _M	46.89	66.08	41.48	78.02	32
Y _M	88.66	-10.34	90.28	90.87	97
L _M	54.22	-65.51	35.22	74.38	152
C _M	61.43	-30.85	-40.54	50.94	233
V _M	25.93	26.15	-46.61	53.44	299
M _M	47.92	73.41	-7.8	73.82	354
N _M	20.41	0.28	0.64	0.7	66
W _M	94.64	-0.81	2.2	2.34	110
R _M	39.92	58.74	27.99	65.07	25
J _M	81.26	-2.89	71.56	71.62	92
G _M	52.23	-42.42	13.6	44.55	162
B _M	30.57	1.41	-46.47	46.49	272

$u^*_e = j25g$
LAB*LAB*

Daten für Maximalfarbe (Ma):

LAB*LAB*_{Ma}: 79 -26 72

LAB*LCH*_{Ma}: 79 77 109

lab*rgb*_{Ma}: 0.75 1.0 0.0

lab*olv*_{Ma}: 0.76 1.0 0.0

Dreiecks-Helligkeit i^*

%Umfang

$u^*_{rel} = 87$

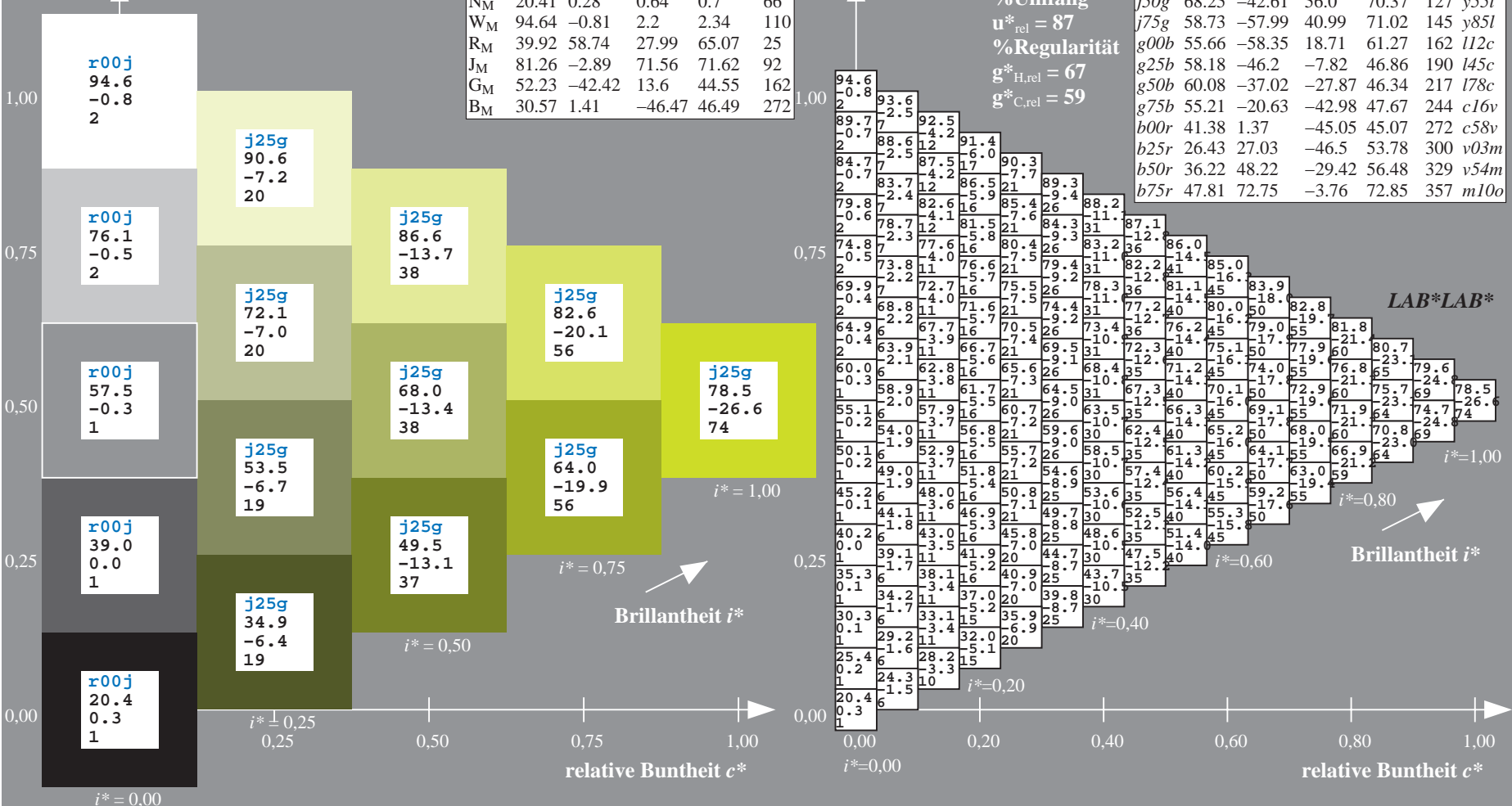
%Regularität

$g^*_{H,rel} = 67$

$g^*_{C,rel} = 59$

ORS20_95a; adaptierte CIELAB-Daten

u^*_e	$L^*=L^*_a$	a^*_a	b^*_a	$C^*_{ab,a}$	$h^*_{ab,a}$	u^*_d
r00j	47.06	67.41	32.12	74.67	25	m84o
r25j	53.95	53.38	48.38	72.04	42	o17y
r50j	63.6	35.87	59.45	69.43	59	o42y
r75j	73.37	18.14	70.66	72.95	76	o68y
j00g	85.24	-3.4	84.28	84.35	92	o93y
j25g	78.53	-25.99	72.23	76.76	110	y24l
j50g	68.25	-42.61	56.0	70.37	127	y51l
j75g	58.73	-57.99	40.99	71.02	145	y85l
g00b	55.66	-58.35	18.71	61.27	162	l12c
g25b	58.18	-46.2	-7.82	46.86	190	l45c
g50b	60.08	-37.02	-27.87	46.34	217	l78c
g75b	55.21	-20.63	-42.98	47.67	242	c16v
b00r	41.38	1.37	-45.05	45.07	274	c58v
b25r	26.43	27.03	-46.5	53.78	300	v03m
b50r	36.22	48.22	-29.42	56.48	329	v54m
b75r	47.81	72.75	-3.76	72.85	357	m10o



Siehe ähnliche Dateien: <http://www.ps.bam.de/Eg39/>; www.ps.bam.de/Eg39/Version 2.1, io=1,1, ColSpX=1
 Technische Information: <http://www.ps.bam.de>

BAM-Registrierung: 20081001-Eg39/10L/L39G00NA.PS/.TXT BAM-Material: Code=rhatha
 Anwendung für Beurteilung und Messung von Drucker- oder Monitorssystemen

Ein und Ausgabe: Farbmetrisches Drucker-Reflektiv-System ORS20_95a für relativen CIELAB-Bunton $h^* = lab^*h^* = h_{ab}/360 = 0.354$

Daten für jede Farbe:

lab^*ch^* und lab^*icu^*

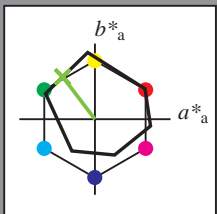
Buntontexte:

$u^*_e = j50g$ $u^*_d = y55l$

Kontrastreduzierungsfaktor:

$c_R = 1.0$

Dreiecks-Helligkeit i^*



ORS20_95; CIELAB-Daten						
u^*_e	$L^*=L^*_a$	a^*	b^*	C^*_{ab}	h^*_{ab}	
O _M	46.89	66.08	41.48	78.02	32	
Y _M	88.66	-10.34	90.28	90.87	97	
L _M	54.22	-65.51	35.22	74.38	152	
C _M	61.43	-30.85	-40.54	50.94	233	
V _M	25.93	26.15	-46.61	53.44	299	
M _M	47.92	73.41	-7.8	73.82	354	
N _M	20.41	0.28	0.64	0.7	66	
W _M	94.64	-0.81	2.2	2.34	110	
R _M	39.92	58.74	27.99	65.07	25	
J _M	81.26	-2.89	71.56	71.62	92	
G _M	52.23	-42.42	13.6	44.55	162	
B _M	30.57	1.41	-46.47	46.49	272	

Daten für Maximalfarbe (Ma):

$LAB^*LAB^*_Ma$: 68 -43 56

$LAB^*LCH^*_Ma$: 68 70 127

$lab^*rgb^*_Ma$: 0.5 1.0 0.0

$lab^*olv^*_Ma$: 0.45 1.0 0.0

Dreiecks-Helligkeit i^*

%Umfang

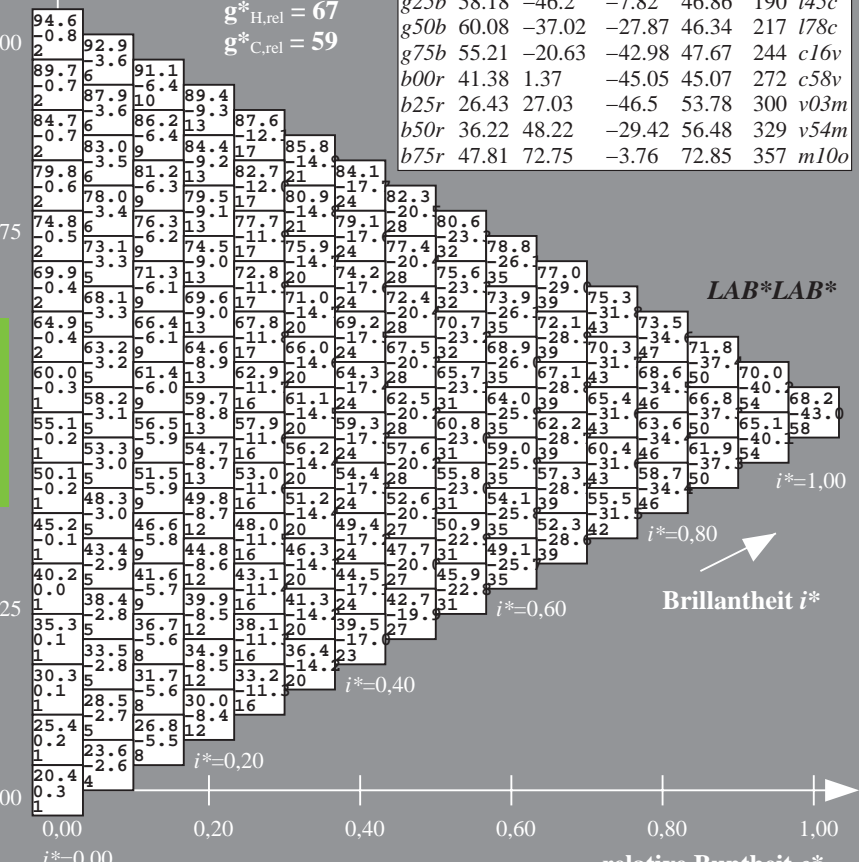
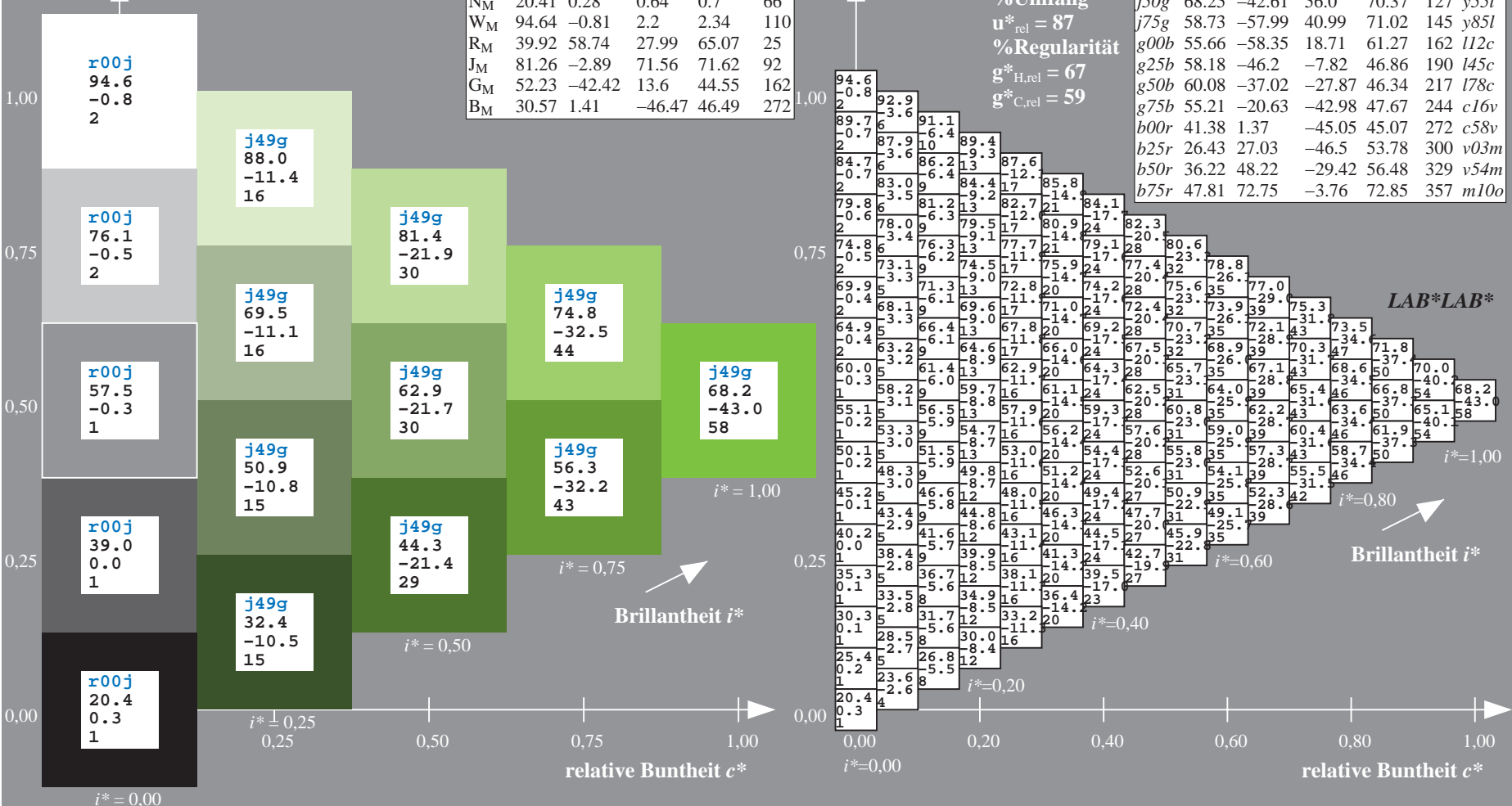
$u^*_{rel} = 87$

%Regularität

$g^*_{H,rel} = 67$

$g^*_{C,rel} = 59$

ORS20_95a; adaptierte CIELAB-Daten							
u^*_e	$L^*=L^*_a$	a^*_a	b^*_a	$C^*_{ab,a}$	$h^*_{ab,a}$	u^*_d	
r00j	47.06	67.41	32.12	74.67	25	m84o	
r25j	53.95	53.38	48.38	72.04	42	o17y	
r50j	63.6	35.87	59.45	69.43	59	o42y	
r75j	73.37	18.14	70.66	72.95	76	o68y	
j00g	85.24	-3.4	84.28	84.35	92	o93y	
j25g	78.53	-25.99	72.23	76.76	110	y24l	
j50g	68.25	-42.61	56.0	70.37	127	y55l	
j75g	58.73	-57.99	40.99	71.02	145	y85l	
g00b	55.66	-58.35	18.71	61.27	162	l12c	
g25b	58.18	-46.2	-7.82	46.86	190	l45c	
g50b	60.08	-37.02	-27.87	46.34	217	l78c	
g75b	55.21	-20.63	-42.98	47.67	244	c16v	
b00r	41.38	1.37	-45.05	45.07	272	c58v	
b25r	26.43	27.03	-46.5	53.78	300	v03m	
b50r	36.22	48.22	-29.42	56.48	329	v54m	
b75r	47.81	72.75	-3.76	72.85	357	m10o	



Siehe ähnliche Dateien: <http://www.ps.bam.de/Eg39/>; [www.ps.bam.de/Version 2.1, io=1,1, Colspx=1](http://www.ps.bam.de/Version%201.1,io=1,1,Colspx=1)
 Technische Information: <http://www.ps.bam.de>

BAM-Registrierung: 20081001-Eg39/10L/L39G00NA.PS/.TXT BAM-Material: Code=rh4ta
 Anwendung für Beurteilung und Messung von Drucker- oder Monitorssystemen

Ein und Ausgabe: Farbmetrisches Drucker-Reflektiv-System ORS20_95a für relativen CIELAB-Buntton $h^* = lab^*h^* = h_{ab}/360 = 0.402$

Daten für jede Farbe:

lab^*ch^* und lab^*icu^*

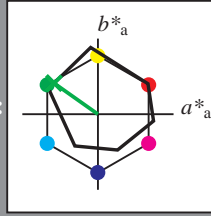
Bunttontexte:

$u^*_e = j75g$ $u^*_d = y85l$

Kontrastreduzierungsfaktor:

$c_R = 1.0$

Dreiecks-Helligkeit i^*



ORS20_95; CIELAB-Daten						
u^*_e	$L^*=L^*_a$	a^*	b^*	C^*_{ab}	h^*_{ab}	
O _M	46.89	66.08	41.48	78.02	32	
Y _M	88.66	-10.34	90.28	90.87	97	
L _M	54.22	-65.51	35.22	74.38	152	
C _M	61.43	-30.85	-40.54	50.94	233	
V _M	25.93	26.15	-46.61	53.44	299	
M _M	47.92	73.41	-7.8	73.82	354	
N _M	20.41	0.28	0.64	0.7	66	
W _M	94.64	-0.81	2.2	2.34	110	
R _M	39.92	58.74	27.99	65.07	25	
J _M	81.26	-2.89	71.56	71.62	92	
G _M	52.23	-42.42	13.6	44.55	162	
B _M	30.57	1.41	-46.47	46.49	272	

$u^*_e = j75g$
 LAB^*LAB^*

Daten für Maximalfarbe (Ma):

$LAB^*LAB^*_Ma: 59 -58 41$

$LAB^*LCH^*_Ma: 59 71 144$

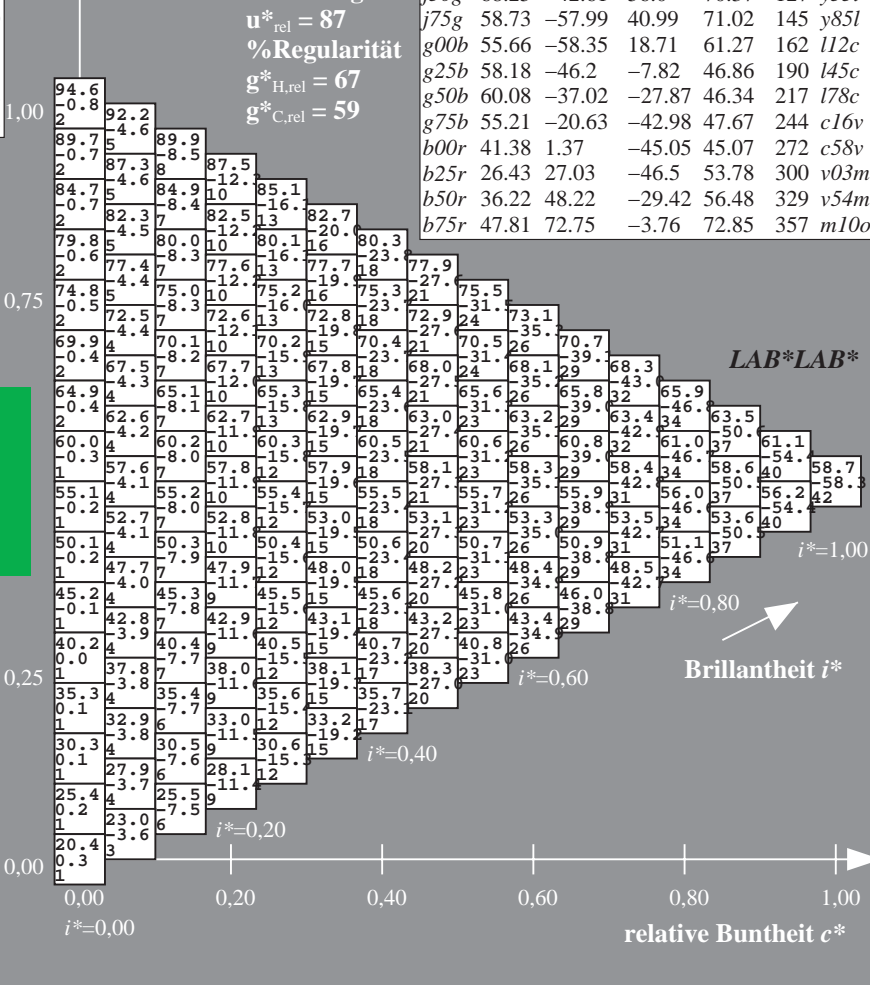
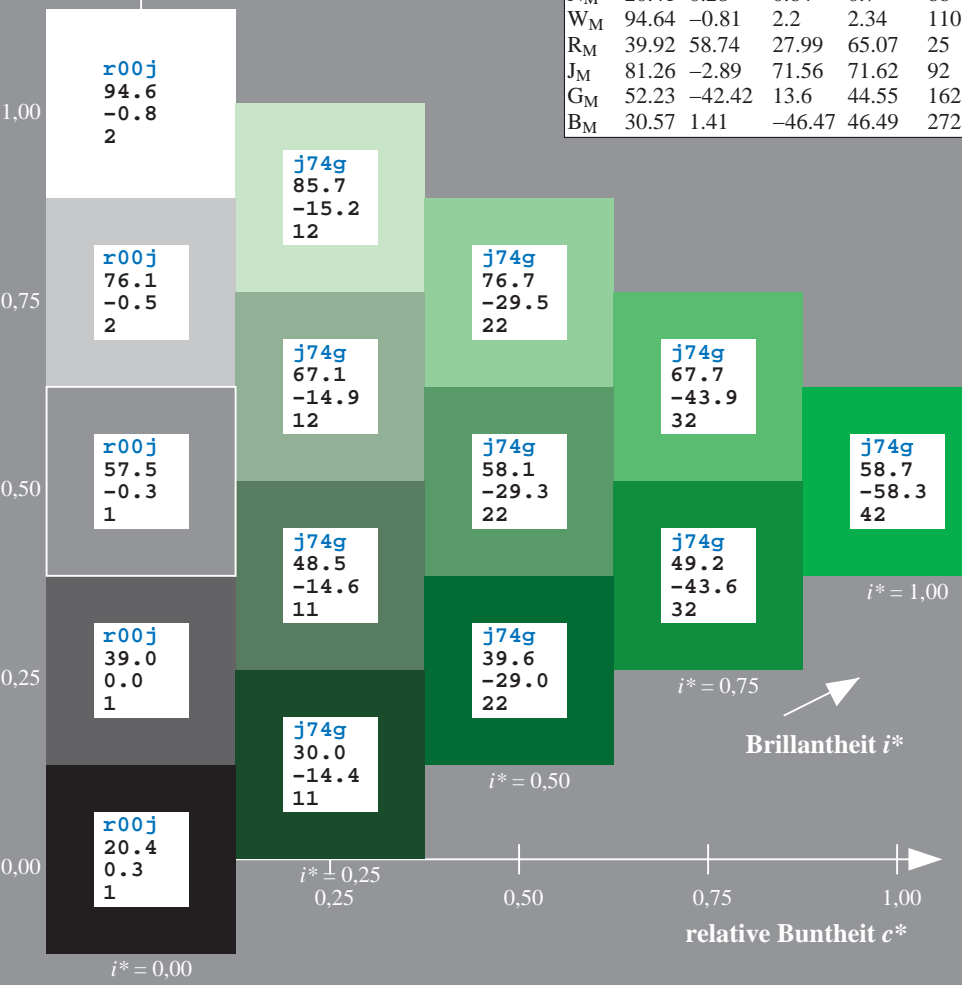
$lab^*rgb^*_Ma: 0.25 1.0 0.0$

$lab^*olv^*_Ma: 0.14 1.0 0.0$

Dreiecks-Helligkeit i^*

%Umfang
 $u^*_{rel} = 87$
 %Regularität
 $g^*_{H,rel} = 67$
 $g^*_{C,rel} = 59$

ORS20_95a; adaptierte CIELAB-Daten							
u^*_e	$L^*=L^*_a$	a^*_a	b^*_a	$C^*_{ab,a}$	$h^*_{ab,a}$	u^*_d	
r00j	47.06	67.41	32.12	74.67	25	m84o	
r25j	53.95	53.38	48.38	72.04	42	o17y	
r50j	63.6	35.87	59.45	69.43	59	o42y	
r75j	73.37	18.14	70.66	72.95	76	o68y	
j00g	85.24	-3.4	84.28	84.35	92	o93y	
j25g	78.53	-25.99	72.23	76.76	110	y24l	
j50g	68.25	-42.61	56.0	70.37	127	y51l	
j75g	58.73	-57.99	40.99	71.02	145	y85l	
g00b	55.66	-58.35	18.71	61.27	162	l12c	
g25b	58.18	-46.2	-7.82	46.86	190	l45c	
g50b	60.08	-37.02	-27.87	46.34	217	l78c	
g75b	55.21	-20.63	-42.98	47.67	244	c16v	
b00r	41.38	1.37	-45.05	45.07	272	c58v	
b25r	26.43	27.03	-46.5	53.78	300	v03m	
b50r	36.22	48.22	-29.42	56.48	329	v54m	
b75r	47.81	72.75	-3.76	72.85	357	m10o	



Siehe ähnliche Dateien: <http://www.ps.bam.de/Eg39/>; [www.ps.bam.de/Version 2.1, io=1,1, Colspx=1](http://www.ps.bam.de/Version2.1,io=1,1,Colspx=1)
 Technische Information: <http://www.ps.bam.de>

BAM-Registrierung: 20081001-Eg39/10L/L39G00NA.PS/.TXT BAM-Material: Code=rh4ta
 Anwendung für Beurteilung und Messung von Drucker- oder Monitorssystemen

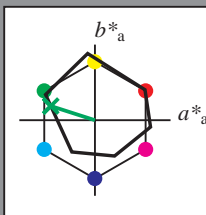
Ein und Ausgabe: Farbmetrisches Drucker-Reflektiv-System ORS20_95a für relativen CIELAB-Buntton $h^* = lab^*h^* = h_{ab}/360 = 0.451$

Daten für jede Farbe:
 lab^*ch^* und lab^*icu^*

Bunttontexte:
 $u^*_e = g00b$ $u^*_d = l12c$

Kontrastreduzierungsfaktor:
 $c_R = 1.0$

Dreiecks-Helligkeit i^*



ORS20_95; CIELAB-Daten						
u^*_e	$L^*=L^*$	a^*	b^*	C^*_{ab}	h^*_{ab}	
O _M	46.89	66.08	41.48	78.02	32	
Y _M	88.66	-10.34	90.28	90.87	97	
L _M	54.22	-65.51	35.22	74.38	152	
C _M	61.43	-30.85	-40.54	50.94	233	
V _M	25.93	26.15	-46.61	53.44	299	
M _M	47.92	73.41	-7.8	73.82	354	
N _M	20.41	0.28	0.64	0.7	66	
W _M	94.64	-0.81	2.2	2.34	110	
R _M	39.92	58.74	27.99	65.07	25	
J _M	81.26	-2.89	71.56	71.62	92	
G _M	52.23	-42.42	13.6	44.55	162	
B _M	30.57	1.41	-46.47	46.49	272	

$u^*_e = g00b$
 LAB^*LAB^*

Daten für Maximalfarbe (Ma):

$LAB^*LAB^*_{Ma}: 56 -58 19$

$LAB^*LCH^*_{Ma}: 56 61 162$

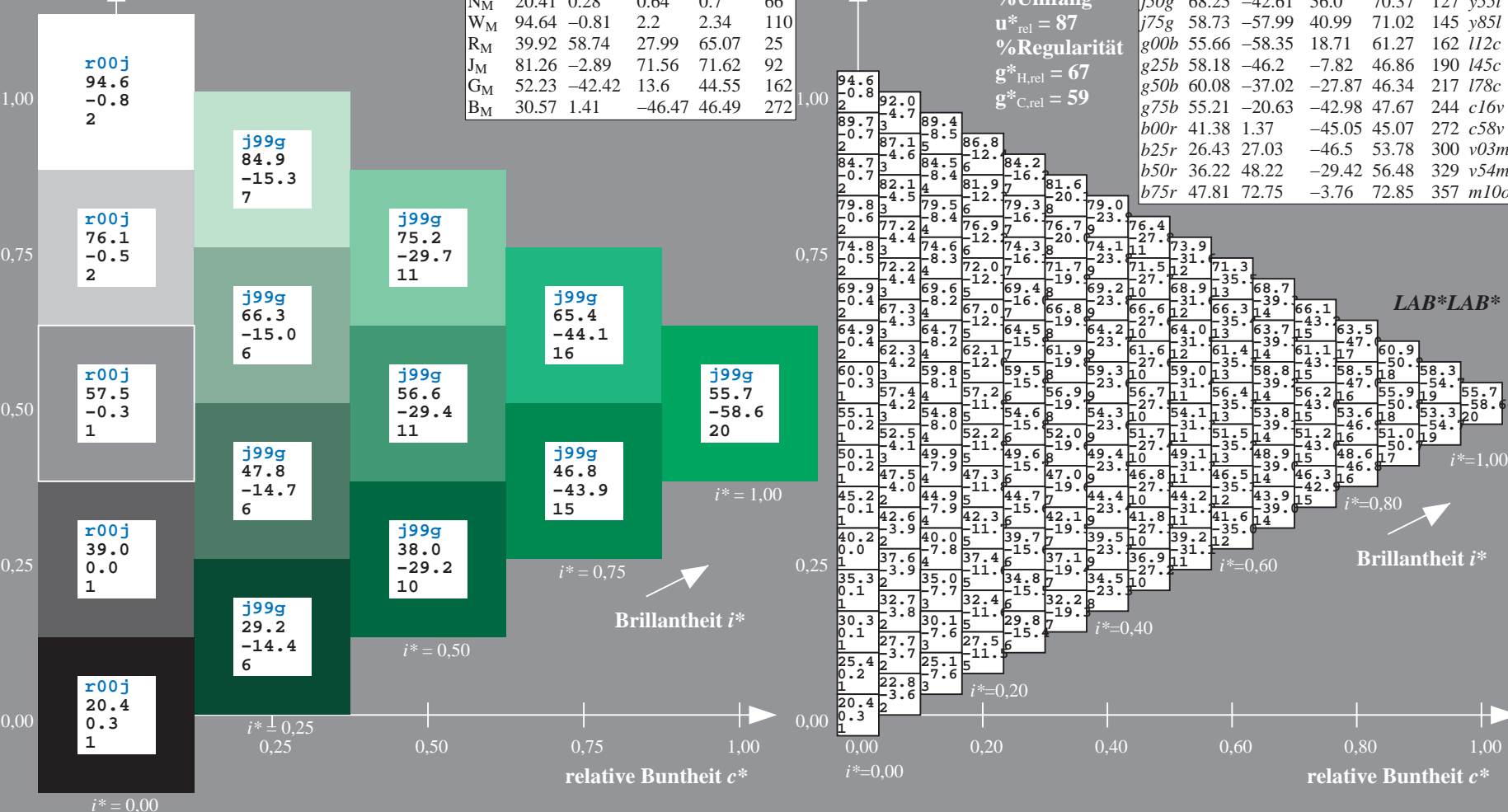
$lab^*rgb^*_{Ma}: 0.0 1.0 0.0$

$lab^*olv^*_{Ma}: 0.0 1.0 0.12$

Dreiecks-Helligkeit i^*

%Umfang
 $u^*_{rel} = 87$
 %Regularität
 $g^*_{H,rel} = 67$
 $g^*_{C,rel} = 59$

ORS20_95a; adaptierte CIELAB-Daten							
u^*_e	$L^*=L^*_a$	a^*_a	b^*_a	$C^*_{ab,a}$	$h^*_{ab,a}$	u^*_d	
r00j	47.06	67.41	32.12	74.67	25	m84o	
r25j	53.95	53.38	48.38	72.04	42	o17y	
r50j	63.6	35.87	59.45	69.43	59	o42y	
r75j	73.37	18.14	70.66	72.95	76	o68y	
j00g	85.24	-3.4	84.28	84.35	92	o93y	
j25g	78.53	-25.99	72.23	76.76	110	y24l	
j50g	68.25	-42.61	56.0	70.37	127	y51l	
j75g	58.73	-57.99	40.99	71.02	145	y85l	
g00b	55.66	-58.35	18.71	61.27	162	l12c	
g25b	58.18	-46.2	-7.82	46.86	190	l45c	
g50b	60.08	-37.02	-27.87	46.34	217	l78c	
g75b	55.21	-20.63	-42.98	47.67	244	c16v	
b00r	41.38	1.37	-45.05	45.07	272	c58v	
b25r	26.43	27.03	-46.5	53.78	300	v03m	
b50r	36.22	48.22	-29.42	56.48	329	v54m	
b75r	47.81	72.75	-3.76	72.85	357	m10o	



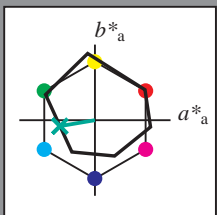
Ein und Ausgabe: Farbmetrisches Drucker-Reflektiv-System ORS20_95a für relativen CIELAB-Buntton $h^* = lab^*h^* = h_{ab}/360 = 0.527$

Daten für jede Farbe:
 lab^*ch^* und lab^*icu^*

Bunttontexte:
 $u^*_e = g25b$ $u^*_d = l45c$

Kontrastreduzierungsfaktor:
 $c_R = 1.0$

Dreiecks-Helligkeit i^*



ORS20_95; CIELAB-Daten						
u^*_e	$L^*=L^*_a$	a^*	b^*	C^*_{ab}	h^*_{ab}	
O _M	46.89	66.08	41.48	78.02	32	
Y _M	88.66	-10.34	90.28	90.87	97	
L _M	54.22	-65.51	35.22	74.38	152	
C _M	61.43	-30.85	-40.54	50.94	233	
V _M	25.93	26.15	-46.61	53.44	299	
M _M	47.92	73.41	-7.8	73.82	354	
N _M	20.41	0.28	0.64	0.7	66	
W _M	94.64	-0.81	2.2	2.34	110	
R _M	39.92	58.74	27.99	65.07	25	
J _M	81.26	-2.89	71.56	71.62	92	
G _M	52.23	-42.42	13.6	44.55	162	
B _M	30.57	1.41	-46.47	46.49	272	

$u^*_e = g25b$
 LAB^*LAB^*

Daten für Maximalfarbe (Ma):

$LAB^*LAB^*_{Ma}: 58 -46 -8$

$LAB^*LCH^*_{Ma}: 58 47 189$

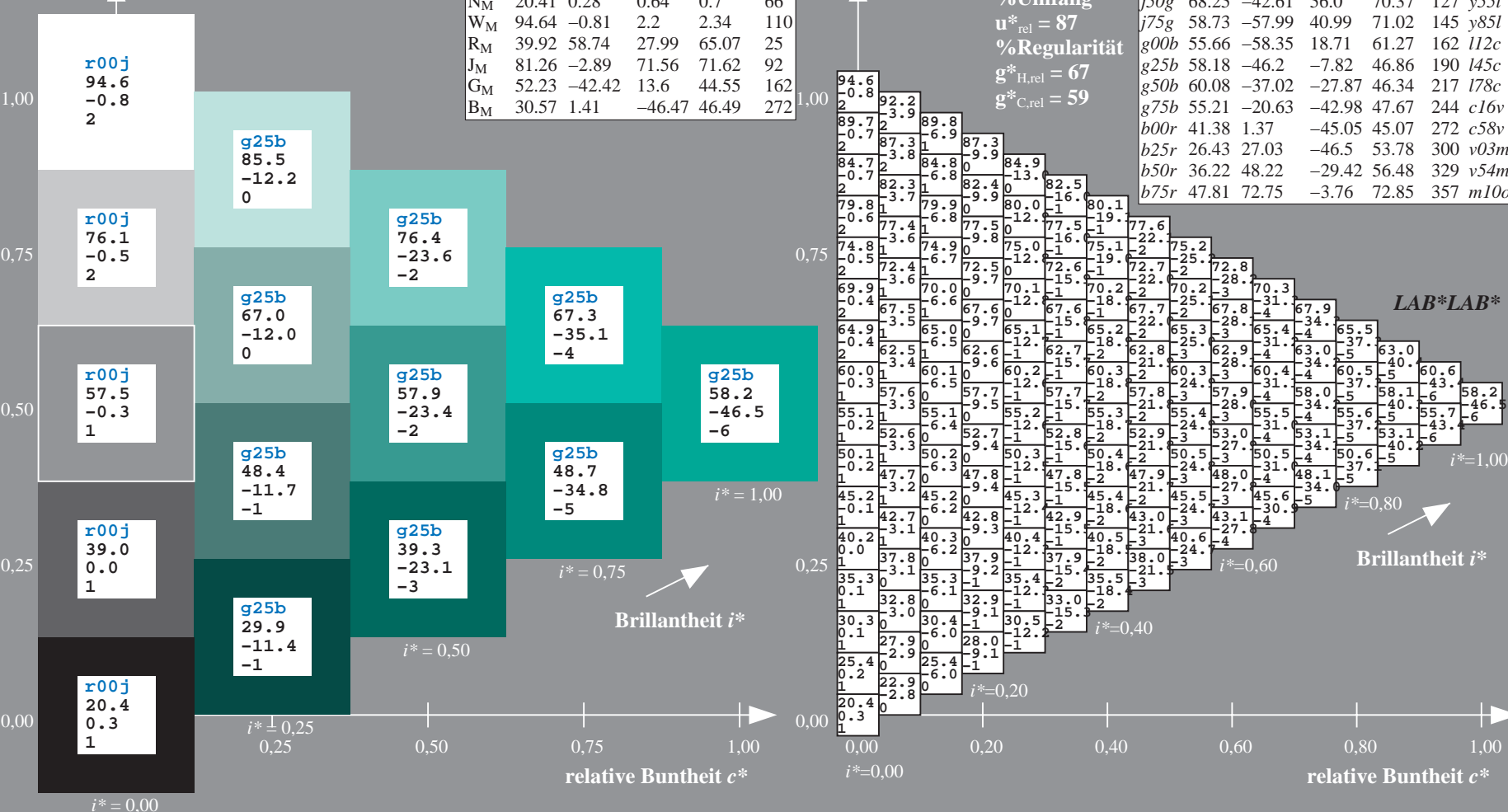
$lab^*rgb^*_{Ma}: 0.0 1.0 0.5$

$lab^*olv^*_{Ma}: 0.0 1.0 0.45$

Dreiecks-Helligkeit i^*

%Umfang
 $u^*_{rel} = 87$
 %Regularität
 $g^*_{H,rel} = 67$
 $g^*_{C,rel} = 59$

ORS20_95a; adaptierte CIELAB-Daten							
u^*_e	$L^*=L^*_a$	a^*_a	b^*_a	$C^*_{ab,a}$	$h^*_{ab,a}$	u^*_d	
r00j	47.06	67.41	32.12	74.67	25	m84o	
r25j	53.95	53.38	48.38	72.04	42	o17y	
r50j	63.6	35.87	59.45	69.43	59	o42y	
r75j	73.37	18.14	70.66	72.95	76	o68y	
j00g	85.24	-3.4	84.28	84.35	92	o93y	
j25g	78.53	-25.99	72.23	76.76	110	y24l	
j50g	68.25	-42.61	56.0	70.37	127	y51l	
j75g	58.73	-57.99	40.99	71.02	145	y85l	
g00b	55.66	-58.35	18.71	61.27	162	l12c	
g25b	58.18	-46.2	-7.82	46.86	190	l45c	
g50b	60.08	-37.02	-27.87	46.34	217	l78c	
g75b	55.21	-20.63	-42.98	47.67	244	c16v	
b00r	41.38	1.37	-45.05	45.07	272	c58v	
b25r	26.43	27.03	-46.5	53.78	300	v03m	
b50r	36.22	48.22	-29.42	56.48	329	v54m	
b75r	47.81	72.75	-3.76	72.85	357	m10o	



Siehe ähnliche Dateien: <http://www.ps.bam.de/Eg39/>; [www.ps.bam.de/Version 2.1, io=1,1, Colspx=1](http://www.ps.bam.de/Version2.1,io=1,1,Colspx=1)
 Technische Information: <http://www.ps.bam.de>

BAM-Registrierung: 20081001-Eg39/10L/L39G00NA.PS/.TXT BAM-Material: Code=rh4ta
 Anwendung für Beurteilung und Messung von Drucker- oder Monitorssystemen

Ein und Ausgabe: Farbmetrisches Drucker-Reflektiv-System ORS20_95a für relativen CIELAB-Buntton $h^* = lab^*h^* = h_{ab}/360 = 0.603$

Daten für jede Farbe:

lab^*ch^* und lab^*icu^*

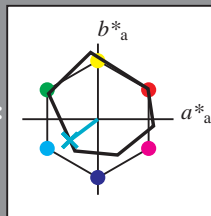
Bunttontexte:

$u^*_e = g50b$ $u^*_d = l78c$

Kontrastreduzierungsfaktor:

$c_R = 1.0$

Dreiecks-Helligkeit i^*



ORS20_95; CIELAB-Daten						
	u^*_e	$L^*=L^*$	a^*	b^*	C^*_{ab}	h^*_{ab}
O _M	46.89	66.08	41.48	78.02	32	97
Y _M	88.66	-10.34	90.28	90.87	97	97
L _M	54.22	-65.51	35.22	74.38	152	152
C _M	61.43	-30.85	-40.54	50.94	233	233
V _M	25.93	26.15	-46.61	53.44	299	299
M _M	47.92	73.41	-7.8	73.82	354	354
N _M	20.41	0.28	0.64	0.7	66	66
W _M	94.64	-0.81	2.2	2.34	110	110
R _M	39.92	58.74	27.99	65.07	25	25
J _M	81.26	-2.89	71.56	71.62	92	92
G _M	52.23	-42.42	13.6	44.55	162	162
B _M	30.57	1.41	-46.47	46.49	272	272

$u^*_e = g50b$
 LAB^*LAB^*

Daten für Maximalfarbe (Ma):

$LAB^*LAB^*_{Ma}: 60 -37 -28$

$LAB^*LCH^*_{Ma}: 60 46 216$

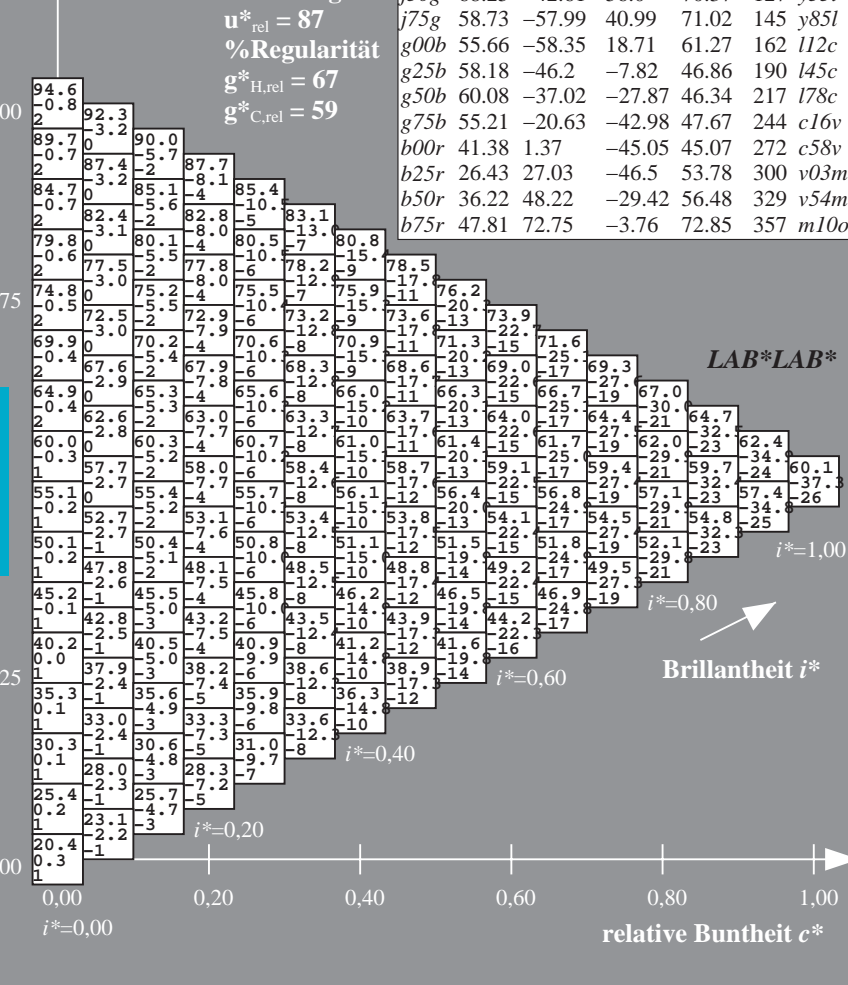
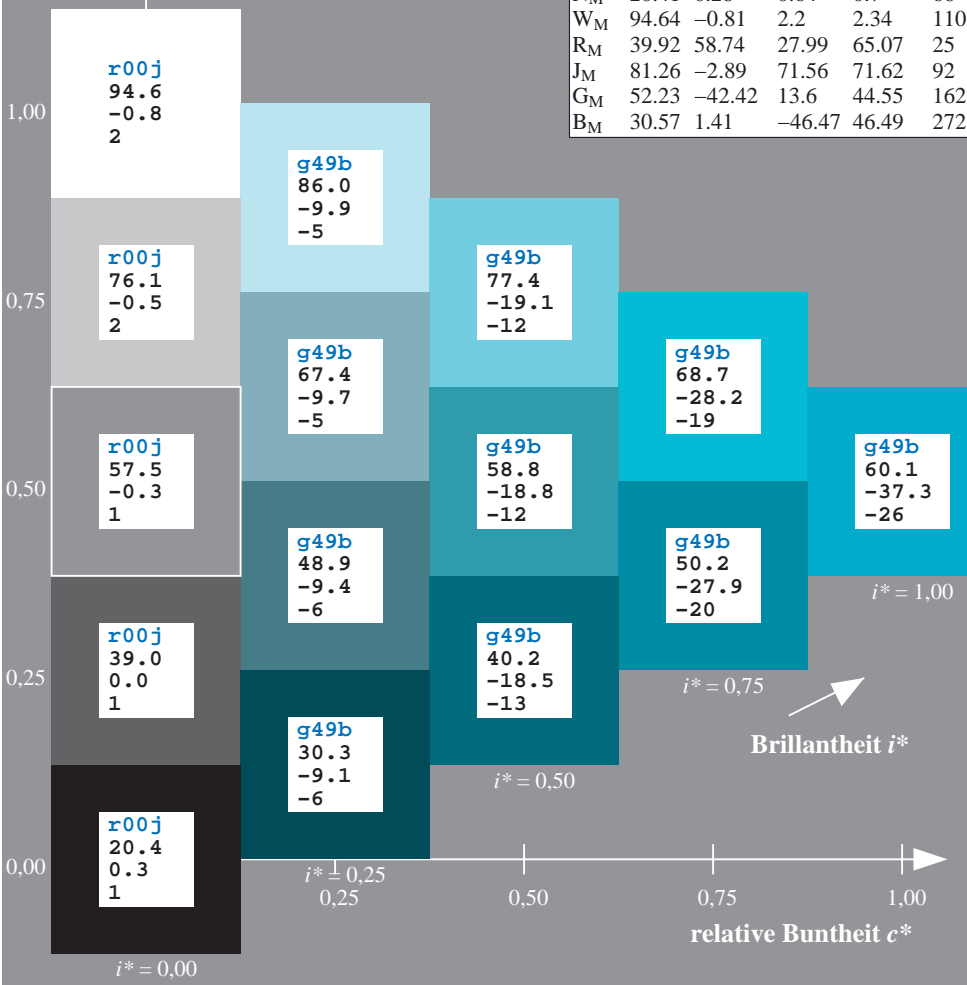
$lab^*rgb^*_{Ma}: 0.0 1.0 1.0$

$lab^*olv^*_{Ma}: 0.0 1.0 0.79$

Dreiecks-Helligkeit i^*

%Umfang
 $u^*_{rel} = 87$
 %Regularität
 $g^*_{H,rel} = 67$
 $g^*_{C,rel} = 59$

ORS20_95a; adaptierte CIELAB-Daten							
	u^*_e	$L^*=L^*_a$	a^*_a	b^*_a	$C^*_{ab,a}$	$h^*_{ab,a}$	u^*_d
r00j	47.06	67.41	32.12	74.67	25	m84o	
r25j	53.95	53.38	48.38	72.04	42	o17y	
r50j	63.6	35.87	59.45	69.43	59	o42y	
r75j	73.37	18.14	70.66	72.95	76	o68y	
j00g	85.24	-3.4	84.28	84.35	92	o93y	
j25g	78.53	-25.99	72.23	76.76	110	y24l	
j50g	68.25	-42.61	56.0	70.37	127	y51l	
j75g	58.73	-57.99	40.99	71.02	145	y85l	
g00b	55.66	-58.35	18.71	61.27	162	l12c	
g25b	58.18	-46.2	-7.82	46.86	190	l45c	
g50b	60.08	-37.02	-27.87	46.34	217	l78c	
g75b	55.21	-20.63	-42.98	47.67	244	c16v	
b00r	41.38	1.37	-45.05	45.07	272	c58v	
b25r	26.43	27.03	-46.5	53.78	300	v03m	
b50r	36.22	48.22	-29.42	56.48	329	v54m	
b75r	47.81	72.75	-3.76	72.85	357	m10o	



Siehe ähnliche Dateien: <http://www.ps.bam.de/Eg39/>; [www.ps.bam.de/Version 2.1, io=1,1, Colspx=1](http://www.ps.bam.de/Version2.1,io=1,1,Colspx=1)
 Technische Information: <http://www.ps.bam.de>

BAM-Registrierung: 20081001-Eg39/10L/L39G00NA.PS/.TXT BAM-Material: Code=rhatha
 Anwendung für Beurteilung und Messung von Drucker- oder Monitorssystemen

Ein und Ausgabe: Farbmetrisches Drucker-Reflektiv-System ORS20_95a für relativen CIELAB-Buntton $h^* = lab^*h^* = h_{ab}/360 = 0.679$

Daten für jede Farbe:

lab^*ch^* und lab^*icu^*

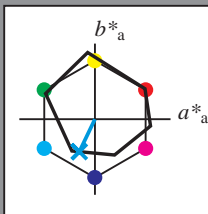
Bunttontexte:

$u^*_e = g75b$ $u^*_d = c16v$

Kontrastreduzierungsfaktor:

$c_R = 1.0$

Dreiecks-Helligkeit i^*



ORS20_95; CIELAB-Daten						
u^*_e	$L^*=L^*$	a^*	b^*	C^*_{ab}	h^*_{ab}	
O _M	46.89	66.08	41.48	78.02	32	
Y _M	88.66	-10.34	90.28	90.87	97	
L _M	54.22	-65.51	35.22	74.38	152	
C _M	61.43	-30.85	-40.54	50.94	233	
V _M	25.93	26.15	-46.61	53.44	299	
M _M	47.92	73.41	-7.8	73.82	354	
N _M	20.41	0.28	0.64	0.7	66	
W _M	94.64	-0.81	2.2	2.34	110	
R _M	39.92	58.74	27.99	65.07	25	
J _M	81.26	-2.89	71.56	71.62	92	
G _M	52.23	-42.42	13.6	44.55	162	
B _M	30.57	1.41	-46.47	46.49	272	

$u^*_e = g75b$
 LAB^*LAB^*

Daten für Maximalfarbe (Ma):

$LAB^*LAB^*_{Ma}: 55 -21 -43$

$LAB^*LCH^*_{Ma}: 55 48 244$

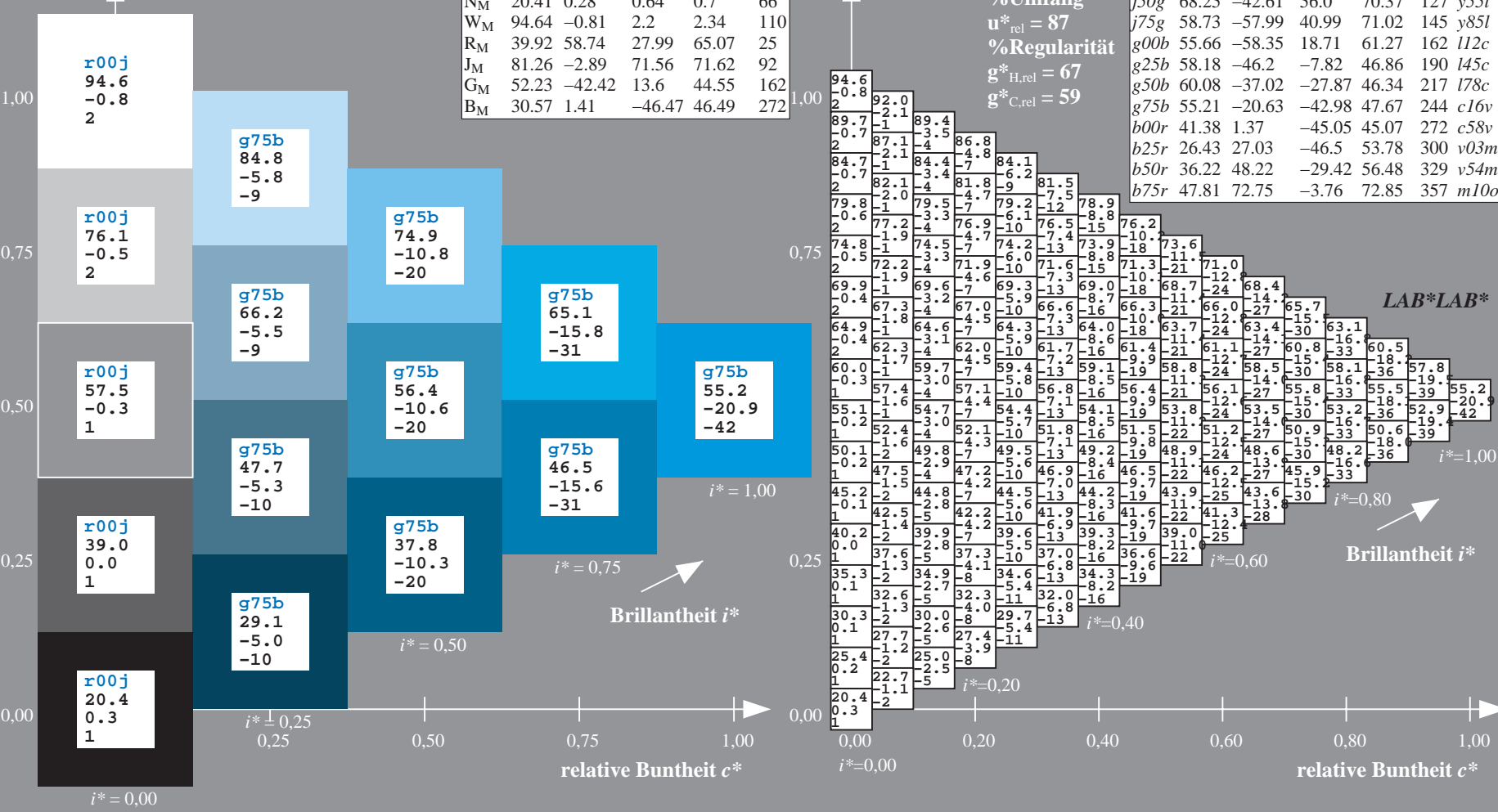
$lab^*rgb^*_{Ma}: 0.0 0.5 1.0$

$lab^*olv^*_{Ma}: 0.0 0.84 1.0$

Dreiecks-Helligkeit i^*

%Umfang
 $u^*_{rel} = 87$
 %Regularität
 $g^*_{H,rel} = 67$
 $g^*_{C,rel} = 59$

ORS20_95a; adaptierte CIELAB-Daten							
u^*_e	$L^*=L^*_a$	a^*_a	b^*_a	$C^*_{ab,a}$	$h^*_{ab,a}$	u^*_d	
r00j	47.06	67.41	32.12	74.67	25	m84o	
r25j	53.95	53.38	48.38	72.04	42	o17y	
r50j	63.6	35.87	59.45	69.43	59	o42y	
r75j	73.37	18.14	70.66	72.95	76	o68y	
j00g	85.24	-3.4	84.28	84.35	92	o93y	
j25g	78.53	-25.99	72.23	76.76	110	y24l	
j50g	68.25	-42.61	56.0	70.37	127	y51l	
j75g	58.73	-57.99	40.99	71.02	145	y85l	
g00b	55.66	-58.35	18.71	61.27	162	l12c	
g25b	58.18	-46.2	-7.82	46.86	190	l45c	
g50b	60.08	-37.02	-27.87	46.34	217	l78c	
g75b	55.21	-20.63	-42.98	47.67	244	c16v	
b00r	41.38	1.37	-45.05	45.07	272	c58v	
b25r	26.43	27.03	-46.5	53.78	300	v03m	
b50r	36.22	48.22	-29.42	56.48	329	v54m	
b75r	47.81	72.75	-3.76	72.85	357	m10o	



Siehe ähnliche Dateien: <http://www.ps.bam.de/Eg39/>; www.ps.bam.de/Eg39/Version 2.1, io=1,1, ColSpx=1
 Technische Information: <http://www.ps.bam.de>

BAM-Registrierung: 20081001-Eg39/10L/L39G00NA.PS/.TXT BAM-Material: Code=rhatha
 Anwendung für Beurteilung und Messung von Drucker- oder Monitorssystemen

Ein und Ausgabe: Farbmimetrisches Drucker-Reflektiv-System ORS20_95a für relativen CIELAB-Buntton $h^* = lab^*h^* = h_{ab}/360 = 0.755$

Daten für jede Farbe:

lab^*tch^* und lab^*icu^*

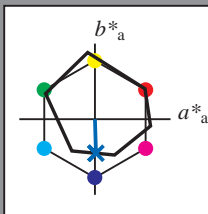
Bunttontexte:

$u^*_e = b00r$ $u^*_d = c58v$

Kontrastreduzierungsfaktor:

$c_R = 1.0$

Dreiecks-Helligkeit i^*



ORS20_95; CIELAB-Daten						
	u^*_e	$L^*=L^*_a$	a^*	b^*	C^*_{ab}	h^*_{ab}
O _M	46.89	66.08	41.48	78.02	32	97
Y _M	88.66	-10.34	90.28	90.87	97	97
L _M	54.22	-65.51	35.22	74.38	152	152
C _M	61.43	-30.85	-40.54	50.94	233	233
V _M	25.93	26.15	-46.61	53.44	299	299
M _M	47.92	73.41	-7.8	73.82	354	354
N _M	20.41	0.28	0.64	0.7	66	66
W _M	94.64	-0.81	2.2	2.34	110	110
R _M	39.92	58.74	27.99	65.07	25	25
J _M	81.26	-2.89	71.56	71.62	92	92
G _M	52.23	-42.42	13.6	44.55	162	162
B _M	30.57	1.41	-46.47	46.49	272	272

$u^*_e = b00r$
 LAB^*LAB^*

Daten für Maximalfarbe (Ma):

$LAB^*LAB^*_{Ma}$: 41 1 -45

$LAB^*LCH^*_{Ma}$: 41 45 271

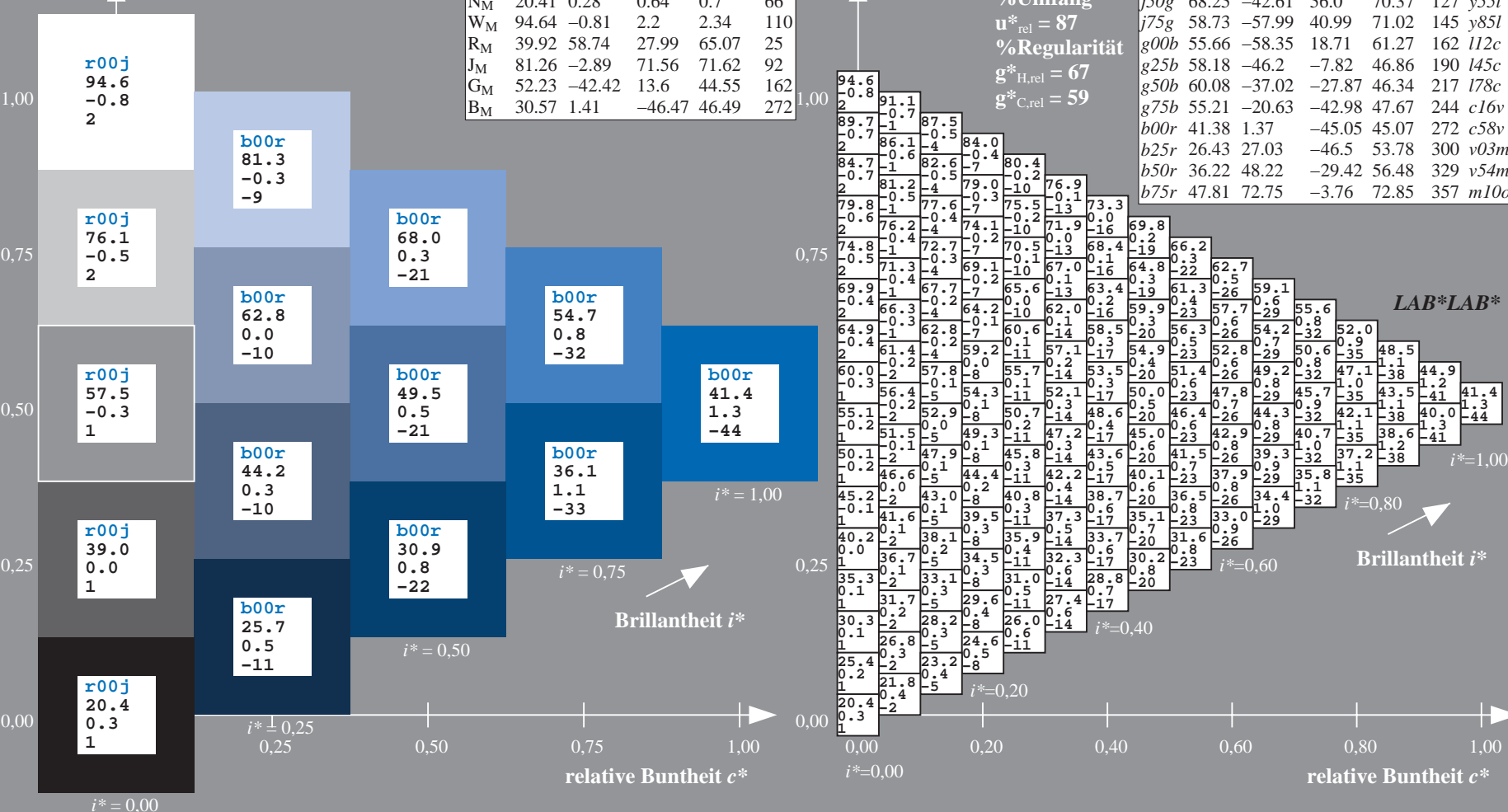
$lab^*rgb^*_{Ma}$: 0.0 0.0 1.0

$lab^*olv^*_{Ma}$: 0.0 0.42 1.0

Dreiecks-Helligkeit i^*

%Umfang
 $u^*_{rel} = 87$
 %Regularität
 $g^*_{H,rel} = 67$
 $g^*_{C,rel} = 59$

ORS20_95a; adaptierte CIELAB-Daten							
	u^*_e	$L^*=L^*_a$	a^*_a	b^*_a	$C^*_{ab,a}$	$h^*_{ab,a}$	u^*_d
r00j	47.06	67.41	32.12	74.67	25	m84o	
r25j	53.95	53.38	48.38	72.04	42	o17y	
r50j	63.6	35.87	59.45	69.43	59	o42y	
r75j	73.37	18.14	70.66	72.95	76	o68y	
j00g	85.24	-3.4	84.28	84.35	92	o93y	
j25g	78.53	-25.99	72.23	76.76	110	y24l	
j50g	68.25	-42.61	56.0	70.37	127	y51l	
j75g	58.73	-57.99	40.99	71.02	145	y85l	
g00b	55.66	-58.35	18.71	61.27	162	l12c	
g25b	58.18	-46.2	-7.82	46.86	190	l45c	
g50b	60.08	-37.02	-27.87	46.34	217	l78c	
g75b	55.21	-20.63	-42.98	47.67	244	c16v	
b00r	41.38	1.37	-45.05	45.07	272	c58v	
b25r	26.43	27.03	-46.5	53.78	300	v03m	
b50r	36.22	48.22	-29.42	56.48	329	v54m	
b75r	47.81	72.75	-3.76	72.85	357	m10o	



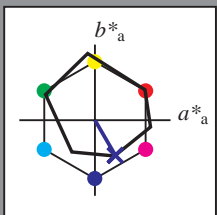
Ein und Ausgabe: Farbmetrisches Drucker-Reflektiv-System ORS20_95a für relativen CIELAB-Buntton $h^* = lab^*h^* = h_{ab}/360 = 0.834$

Daten für jede Farbe:
 lab^*ch^* und lab^*icu^*

Bunttontexte:
 $u^*_e = b25r$ $u^*_d = v03m$

Kontrastreduzierungsfaktor:
 $c_R = 1.0$

Dreiecks-Helligkeit i^*



ORS20_95; CIELAB-Daten						
	u^*_e	$L^*=L^*$	a^*	b^*	C^*_{ab}	h^*_{ab}
O _M	46.89	66.08	41.48	78.02	32	97
Y _M	88.66	-10.34	90.28	90.87	97	97
L _M	54.22	-65.51	35.22	74.38	152	152
C _M	61.43	-30.85	-40.54	50.94	233	233
V _M	25.93	26.15	-46.61	53.44	299	299
M _M	47.92	73.41	-7.8	73.82	354	354
N _M	20.41	0.28	0.64	0.7	66	66
W _M	94.64	-0.81	2.2	2.34	110	110
R _M	39.92	58.74	27.99	65.07	25	25
J _M	81.26	-2.89	71.56	71.62	92	92
G _M	52.23	-42.42	13.6	44.55	162	162
B _M	30.57	1.41	-46.47	46.49	272	272

Daten für Maximalfarbe (Ma):

$LAB^*LAB^*_{Ma}$: 26 27 -46

$LAB^*LCH^*_{Ma}$: 26 54 300

$lab^*rgb^*_{Ma}$: 0.5 0.0 1.0

$lab^*olv^*_{Ma}$: 0.03 0.0 1.0

Dreiecks-Helligkeit i^*

%Umfang

$u^*_{rel} = 87$

%Regularität

$g^*_{H,rel} = 67$

$g^*_{C,rel} = 59$

ORS20_95a; adaptierte CIELAB-Daten							
	u^*_e	$L^*=L^*_a$	a^*_a	b^*_a	$C^*_{ab,a}$	$h^*_{ab,a}$	u^*_d
r00j	47.06	67.41	32.12	74.67	25	m84o	
r25j	53.95	53.38	48.38	72.04	42	o17y	
r50j	63.6	35.87	59.45	69.43	59	o42y	
r75j	73.37	18.14	70.66	72.95	76	o68y	
j00g	85.24	-3.4	84.28	84.35	92	o93y	
j25g	78.53	-25.99	72.23	76.76	110	y24l	
j50g	68.25	-42.61	56.0	70.37	127	y51l	
j75g	58.73	-57.99	40.99	71.02	145	y85l	
g00b	55.66	-58.35	18.71	61.27	162	l12c	
g25b	58.18	-46.2	-7.82	46.86	190	l45c	
g50b	60.08	-37.02	-27.87	46.34	217	l78c	
g75b	55.21	-20.63	-42.98	47.67	244	c16v	
b00r	41.38	1.37	-45.05	45.07	272	c58v	
b25r	26.43	27.03	-46.5	53.78	300	v03m	
b50r	36.22	48.22	-29.42	56.48	329	v54m	
b75r	47.81	72.75	-3.76	72.85	357	m10o	

LAB^*LAB^*

$i^* = 1.00$

$i^* = 0.80$

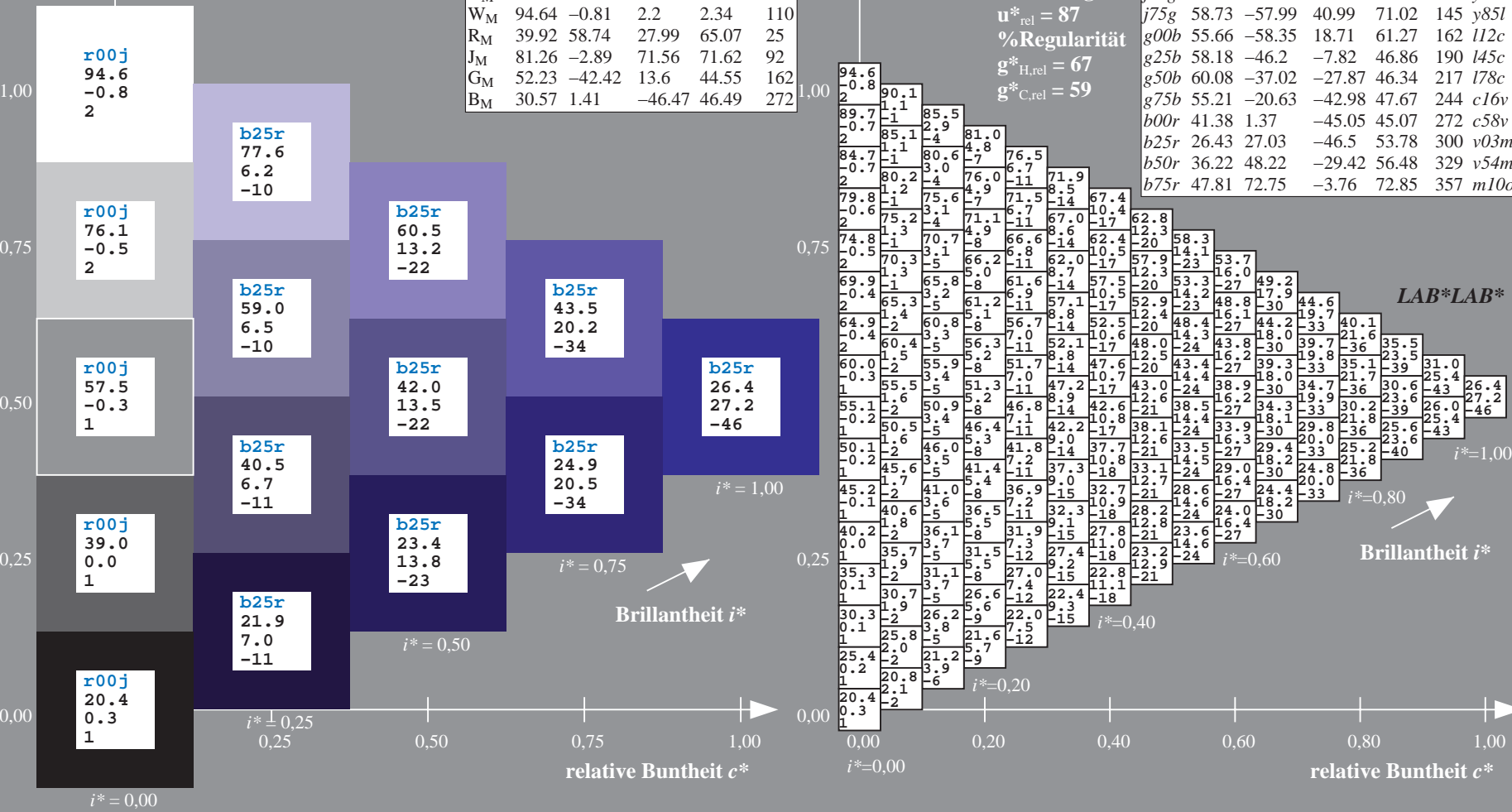
$i^* = 0.60$

$i^* = 0.40$

$i^* = 0.20$

$i^* = 0.00$

Brillantheit i^*



Siehe ähnliche Dateien: <http://www.ps.bam.de/Eg39/>; www.ps.bam.de/Version 2.1, io=1,1, ColSpx=1
 Technische Information: <http://www.ps.bam.de>

BAM-Registrierung: 20081001-Eg39/10L/L39G00NA.PS/.TXT BAM-Material: Code=rh4ta
 Anwendung für Beurteilung und Messung von Drucker- oder Monitorssystemen

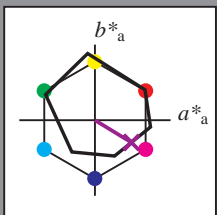
Ein und Ausgabe: Farbmetrisches Drucker-Reflektiv-System ORS20_95a für relativen CIELAB-Bunton $h^* = lab^*h^* = h_{ab}/360 = 0.913$

Daten für jede Farbe:
 lab^*ch^* und lab^*icu^*

Buntontexte:
 $u^*_e = b50r$ $u^*_d = v54m$

Kontrastreduzierungsfaktor:
 $c_R = 1.0$

Dreiecks-Helligkeit i^*



ORS20_95; CIELAB-Daten						
	u^*_e	$L^*=L^*$	a^*	b^*	C^*_{ab}	h^*_{ab}
O _M	46.89	66.08	41.48	78.02	32	97
Y _M	88.66	-10.34	90.28	90.87	97	97
L _M	54.22	-65.51	35.22	74.38	152	152
C _M	61.43	-30.85	-40.54	50.94	233	233
V _M	25.93	26.15	-46.61	53.44	299	299
M _M	47.92	73.41	-7.8	73.82	354	354
N _M	20.41	0.28	0.64	0.7	66	66
W _M	94.64	-0.81	2.2	2.34	110	110
R _M	39.92	58.74	27.99	65.07	25	25
J _M	81.26	-2.89	71.56	71.62	92	92
G _M	52.23	-42.42	13.6	44.55	162	162
B _M	30.57	1.41	-46.47	46.49	272	272

Daten für Maximalfarbe (Ma):

$LAB^*LAB^*Ma: 36\ 48\ -29$

$LAB^*LCH^*Ma: 36\ 56\ 328$

$lab^*rgb^*Ma: 1.0\ 0.0\ 1.0$

$lab^*olv^*Ma: 0.55\ 0.0\ 1.0$

Dreiecks-Helligkeit i^*

%Umfang

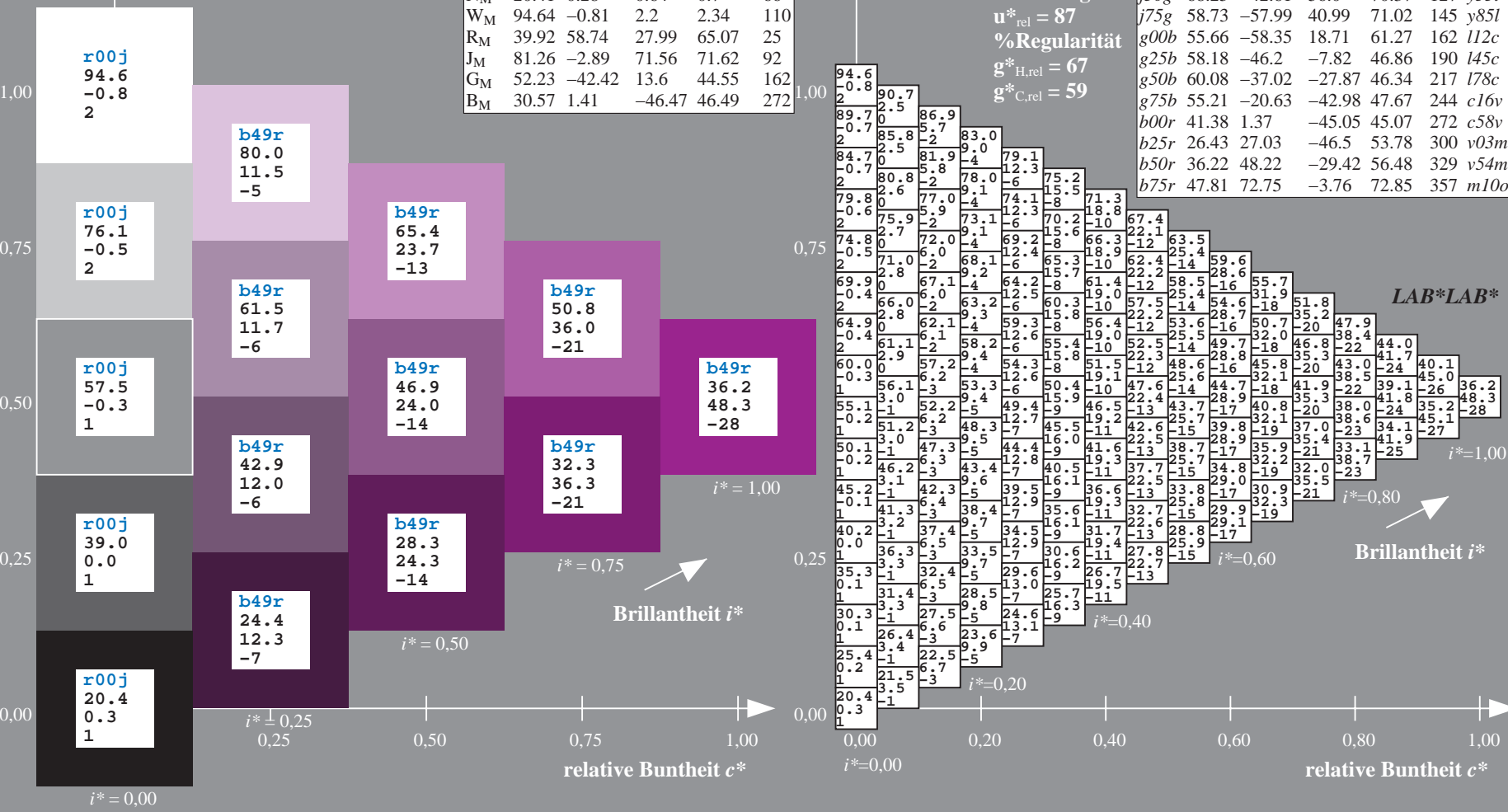
$u^*_{rel} = 87$

%Regularität

$g^*_{H,rel} = 67$

$g^*_{C,rel} = 59$

ORS20_95a; adaptierte CIELAB-Daten							
	u^*_e	$L^*=L^*_a$	a^*_a	b^*_a	$C^*_{ab,a}$	$h^*_{ab,a}$	u^*_d
r00j	47.06	67.41	32.12	74.67	25	m84o	
r25j	53.95	53.38	48.38	72.04	42	o17y	
r50j	63.6	35.87	59.45	69.43	59	o42y	
r75j	73.37	18.14	70.66	72.95	76	o68y	
j00g	85.24	-3.4	84.28	84.35	92	o93y	
j25g	78.53	-25.99	72.23	76.76	110	y24l	
j50g	68.25	-42.61	56.0	70.37	127	y51l	
j75g	58.73	-57.99	40.99	71.02	145	y85l	
g00b	55.66	-58.35	18.71	61.27	162	l12c	
g25b	58.18	-46.2	-7.82	46.86	190	l45c	
g50b	60.08	-37.02	-27.87	46.34	217	l78c	
g75b	55.21	-20.63	-42.98	47.67	244	c16v	
b00r	41.38	1.37	-45.05	45.07	272	c58v	
b25r	26.43	27.03	-46.5	53.78	300	v03m	
b50r	36.22	48.22	-29.42	56.48	329	v54m	
b75r	47.81	72.75	-3.76	72.85	357	m10o	



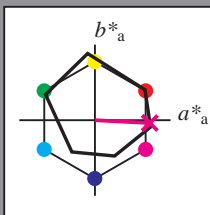
Siehe ähnliche Dateien: <http://www.ps.bam.de/Eg39/>; [www.ps.bam.de/Version 2.1, io=1,1, Colspx=1](http://www.ps.bam.de/Version2.1,io=1,1,Colspx=1)
 Technische Information: <http://www.ps.bam.de>

BAM-Registrierung: 20081001-Eg39/10L/L39G00NA.PS/.TXT BAM-Material: Code=rh4ta
 Anwendung für Beurteilung und Messung von Drucker- oder Monitorssystemen

Ein und Ausgabe: Farbmetrisches Drucker-Reflektiv-System ORS20_95a für relativen CIELAB-Buntton $h^* = lab^*h^* = h_{ab}/360 = 0.992$

Daten für jede Farbe:
 lab^*ch^* und lab^*icu^*

Bunttontexte:
 $u^*_e = b75r$ $u^*_d = m10o$
 Kontrastreduzierungsfaktor:
 $c_R = 1.0$
 Dreiecks-Helligkeit i^*



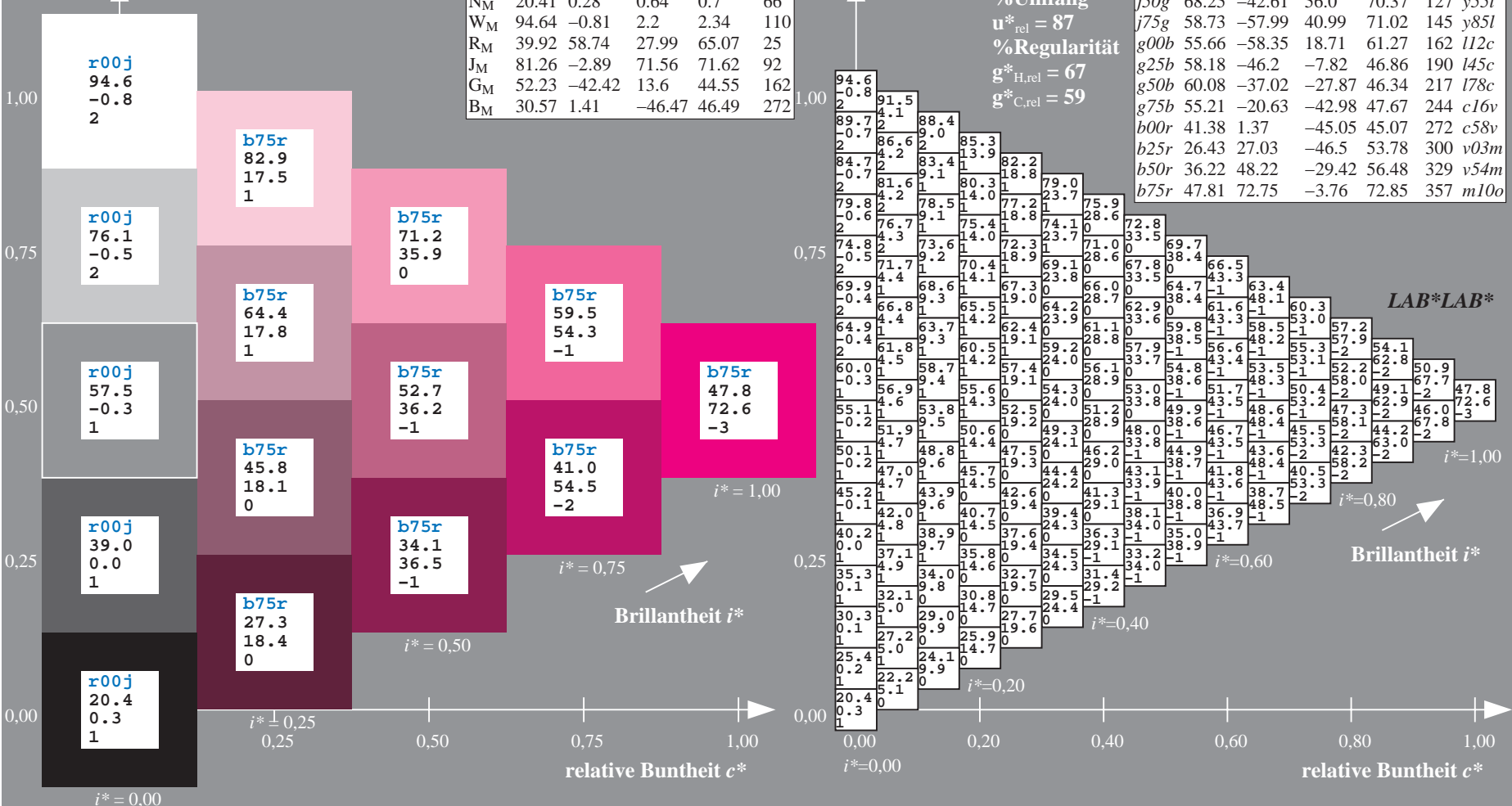
ORS20_95; CIELAB-Daten						
	u^*_e	$L^*=L^*_a$	a^*	b^*	C^*_{ab}	h^*_{ab}
O _M	46.89	66.08	41.48	78.02	32	97
Y _M	88.66	-10.34	90.28	90.87	97	97
L _M	54.22	-65.51	35.22	74.38	152	152
C _M	61.43	-30.85	-40.54	50.94	233	233
V _M	25.93	26.15	-46.61	53.44	299	299
M _M	47.92	73.41	-7.8	73.82	354	354
N _M	20.41	0.28	0.64	0.7	66	66
W _M	94.64	-0.81	2.2	2.34	110	110
R _M	39.92	58.74	27.99	65.07	25	25
J _M	81.26	-2.89	71.56	71.62	92	92
G _M	52.23	-42.42	13.6	44.55	162	162
B _M	30.57	1.41	-46.47	46.49	272	272

Daten für Maximalfarbe (Ma):

$LAB^*LAB^*_Ma: 48\ 73\ -4$
 $LAB^*LCH^*_Ma: 48\ 73\ 357$
 $lab^*rgb^*_Ma: 1.0\ 0.0\ 0.5$
 $lab^*olv^*_Ma: 1.0\ 0.0\ 0.89$

Dreiecks-Helligkeit i^*
 %Umfang
 $u^*_{rel} = 87$
 %Regularität
 $g^*_{H,rel} = 67$
 $g^*_{C,rel} = 59$

ORS20_95a; adaptierte CIELAB-Daten							
	u^*_e	$L^*=L^*_a$	a^*_a	b^*_a	$C^*_{ab,a}$	$h^*_{ab,a}$	u^*_d
r00j	47.06	67.41	32.12	74.67	25	m84o	
r25j	53.95	53.38	48.38	72.04	42	o17y	
r50j	63.6	35.87	59.45	69.43	59	o42y	
r75j	73.37	18.14	70.66	72.95	76	o68y	
j00g	85.24	-3.4	84.28	84.35	92	o93y	
j25g	78.53	-25.99	72.23	76.76	110	y24l	
j50g	68.25	-42.61	56.0	70.37	127	y51l	
j75g	58.73	-57.99	40.99	71.02	145	y85l	
g00b	55.66	-58.35	18.71	61.27	162	l12c	
g25b	58.18	-46.2	-7.82	46.86	190	l45c	
g50b	60.08	-37.02	-27.87	46.34	217	l78c	
g75b	55.21	-20.63	-42.98	47.67	244	c16v	
b00r	41.38	1.37	-45.05	45.07	272	c58v	
b25r	26.43	27.03	-46.5	53.78	300	v03m	
b50r	36.22	48.22	-29.42	56.48	329	v54m	
b75r	47.81	72.75	-3.76	72.85	357	m10o	



Siehe ähnliche Dateien: <http://www.ps.bam.de/Eg39/>; [www.ps.bam.de/Version 2.1, io=1,1, Colspx=1](http://www.ps.bam.de/Version%201.1,io=1,1,Colspx=1)
 Technische Information: <http://www.ps.bam.de>

BAM-Registrierung: 20081001-Eg39/10L/L39G00NA.PS/.TXT BAM-Material: Code=rh4ta
 Anwendung für Beurteilung und Messung von Drucker- oder Monitorssystemen

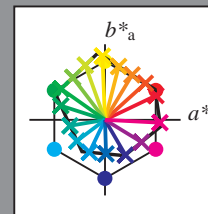
Siehe ähnliche Dateien: <http://www.ps.bam.de/Eg39/>; www.ps.bam.de/Eg39/10L/L39G00NA.PS/.TXT BAM-Material: Code=thata
Technische Information: <http://www.ps.bam.de> Version 2.1, io=1,1, ColSPx=1

	A	B	C	D	E	F	G	H	I	J	K	L	M	N	O	P	Q	R	S	T	U	V	W	X	Y	Z	a	b	c	d	e	f	g	h	i	j	k	LAB*LAB*																																																																																																																																																																																																																																																																																																																																																																																																																																																																																																																																																																																																																																																																																																																																																																																																																																																																																																																																																																																																																																																																																																							
01	20.4	24.6	28.9	33.1	37.3	41.5	45.8	50.0	54.2	58.4	62.6	66.8	71.0	75.2	79.4	83.6	87.8	92.0	96.2	100.4	104.6	108.8	113.0	117.2	121.4	125.6	129.8	134.0	138.2	142.4	146.6	150.8	155.0	159.2	163.4	167.6	171.8	176.0	180.2	184.4	188.6	192.8	197.0	201.2	205.4	209.6	213.8	218.0	222.2	226.4	230.6	234.8	239.0	243.2	247.4	251.6	255.8	260.0	264.2	268.4	272.6	276.8	281.0	285.2	289.4	293.6	297.8	302.0	306.2	310.4	314.6	318.8	323.0	327.2	331.4	335.6	339.8	344.0	348.2	352.4	356.6	360.8	365.0	369.2	373.4	377.6	381.8	386.0	390.2	394.4	398.6	402.8	407.0	411.2	415.4	419.6	423.8	428.0	432.2	436.4	440.6	444.8	449.0	453.2	457.4	461.6	465.8	470.0	474.2	478.4	482.6	486.8	491.0	495.2	499.4	503.6	507.8	512.0	516.2	520.4	524.6	528.8	533.0	537.2	541.4	545.6	549.8	554.0	558.2	562.4	566.6	570.8	575.0	579.2	583.4	587.6	591.8	596.0	600.2	604.4	608.6	612.8	617.0	621.2	625.4	629.6	633.8	638.0	642.2	646.4	650.6	654.8	659.0	663.2	667.4	671.6	675.8	680.0	684.2	688.4	692.6	696.8	701.0	705.2	709.4	713.6	717.8	722.0	726.2	730.4	734.6	738.8	743.0	747.2	751.4	755.6	759.8	764.0	768.2	772.4	776.6	780.8	785.0	789.2	793.4	797.6	801.8	806.0	810.2	814.4	818.6	822.8	827.0	831.2	835.4	839.6	843.8	848.0	852.2	856.4	860.6	864.8	869.0	873.2	877.4	881.6	885.8	890.0	894.2	898.4	902.6	906.8	911.0	915.2	919.4	923.6	927.8	932.0	936.2	940.4	944.6	948.8	953.0	957.2	961.4	965.6	969.8	974.0	978.2	982.4	986.6	990.8	995.0	999.2	1003.4	1007.6	1011.8	1016.0	1020.2	1024.4	1028.6	1032.8	1037.0	1041.2	1045.4	1049.6	1053.8	1058.0	1062.2	1066.4	1070.6	1074.8	1079.0	1083.2	1087.4	1091.6	1095.8	1100.0	1104.2	1108.4	1112.6	1116.8	1121.0	1125.2	1129.4	1133.6	1137.8	1142.0	1146.2	1150.4	1154.6	1158.8	1163.0	1167.2	1171.4	1175.6	1179.8	1184.0	1188.2	1192.4	1196.6	1200.8	1205.0	1209.2	1213.4	1217.6	1221.8	1226.0	1230.2	1234.4	1238.6	1242.8	1247.0	1251.2	1255.4	1259.6	1263.8	1268.0	1272.2	1276.4	1280.6	1284.8	1289.0	1293.2	1297.4	1301.6	1305.8	1310.0	1314.2	1318.4	1322.6	1326.8	1331.0	1335.2	1339.4	1343.6	1347.8	1352.0	1356.2	1360.4	1364.6	1368.8	1373.0	1377.2	1381.4	1385.6	1389.8	1394.0	1398.2	1402.4	1406.6	1410.8	1415.0	1419.2	1423.4	1427.6	1431.8	1436.0	1440.2	1444.4	1448.6	1452.8	1457.0	1461.2	1465.4	1469.6	1473.8	1478.0	1482.2	1486.4	1490.6	1494.8	1499.0	1503.2	1507.4	1511.6	1515.8	1520.0	1524.2	1528.4	1532.6	1536.8	1541.0	1545.2	1549.4	1553.6	1557.8	1562.0	1566.2	1570.4	1574.6	1578.8	1583.0	1587.2	1591.4	1595.6	1600.0	1604.2	1608.4	1612.6	1616.8	1621.0	1625.2	1629.4	1633.6	1637.8	1642.0	1646.2	1650.4	1654.6	1658.8	1663.0	1667.2	1671.4	1675.6	1679.8	1684.0	1688.2	1692.4	1696.6	1700.8	1705.0	1709.2	1713.4	1717.6	1721.8	1726.0	1730.2	1734.4	1738.6	1742.8	1747.0	1751.2	1755.4	1759.6	1763.8	1768.0	1772.2	1776.4	1780.6	1784.8	1789.0	1793.2	1797.4	1801.6	1805.8	1810.0	1814.2	1818.4	1822.6	1826.8	1831.0	1835.2	1839.4	1843.6	1847.8	1852.0	1856.2	1860.4	1864.6	1868.8	1873.0	1877.2	1881.4	1885.6	1889.8	1894.0	1898.2	1902.4	1906.6	1910.8	1915.0	1919.2	1923.4	1927.6	1931.8	1936.0	1940.2	1944.4	1948.6	1952.8	1957.0	1961.2	1965.4	1969.6	1973.8	1978.0	1982.2	1986.4	1990.6	1994.8	1999.0	2003.2	2007.4	2011.6	2015.8	2020.0	2024.2	2028.4	2032.6	2036.8	2041.0	2045.2	2049.4	2053.6	2057.8	2062.0	2066.2	2070.4	2074.6	2078.8	2083.0	2087.2	2091.4	2095.6	2100.0	2104.2	2108.4	2112.6	2116.8	2121.0	2125.2	2129.4	2133.6	2137.8	2142.0	2146.2	2150.4	2154.6	2158.8	2163.0	2167.2	2171.4	2175.6	2179.8	2184.0	2188.2	2192.4	2196.6	2200.8	2205.0	2209.2	2213.4	2217.6	2221.8	2226.0	2230.2	2234.4	2238.6	2242.8	2247.0	2251.2	2255.4	2259.6	2263.8	2268.0	2272.2	2276.4	2280.6	2284.8	2289.0	2293.2	2297.4	2301.6	2305.8	2310.0	2314.2	2318.4	2322.6	2326.8	2331.0	2335.2	2339.4	2343.6	2347.8	2352.0	2356.2	2360.4	2364.6	2368.8	2373.0	2377.2	2381.4	2385.6	2389.8	2394.0	2398.2	2402.4	2406.6	2410.8	2415.0	2419.2	2423.4	2427.6	2431.8	2436.0	2440.2	2444.4	2448.6	2452.8	2457.0	2461.2	2465.4	2469.6	2473.8	2478.0	2482.2	2486.4	2490.6	2494.8	2499.0	2503.2	2507.4	2511.6	2515.8	2520.0	2524.2	2528.4	2532.6	2536.8	2541.0	2545.2	2549.4	2553.6	2557.8	2562.0	2566.2	2570.4	2574.6	2578.8	2583.0	2587.2	2591.4	2595.6	2600.0	2604.2	2608.4	2612.6	2616.8	2621.0	2625.2	2629.4	2633.6	2637.8	2642.0	2646.2	2650.4	2654.6	2658.8	2663.0	2667.2	2671.4	2675.6	2679.8	2684.0	2688.2	2692.4	2696.6	2700.8	2705.0	2709.2	2713.4	2717.6	2721.8	2726.0	2730.2	2734.4	2738.6	2742.8	2747.0	2751.2	2755.4	2759.6	2763.8	2768.0	2772.2	2776.4	2780.6	2784.8	2789.0	2793.2	2797.4	2801.6	2805.8	2810.0	2814.2	2818.4	2822.6	2826.8	2831.0	2835.2	2839.4	2843.6	2847.8	2852.0	2856.2	2860.4	2864.6	2868.8	2873.0	2877.2	2881.4	2885.6	2889.8	2894.0	2898.2	2902.4	2906.6	2910.8	2915.0	2919.2	2923.4	2927.6	2931.8	2936.0	2940.2	2944.4	2948.6	2952.8	2957.0	2961.2	2965.4	2969.6	2973.8	2978.0	2982.2	2986.4	2990.6	2994.8	2999.0	3003.2	3007.4	3011.6	3015.8	3020.0	3024.2	3028.4	3032.6	3036.8	3041.0	3045.2	3049.4	3053.6	3057.8	3062.0	3066.2	3070.4	3074.6	3078.8	3083.0	3087.2	3091.4	3095.6	3100.0	3104.2	3108.4	3112.6	3116.8	3121.0	3125.2	3129.4	3133.6	3137.8	3142.0	3146.2	3150.4	3154.6	3158.8	3163.0	3167.2	3171.4	3175.6	3179.8	3184.0	3188.2	3192.4	3196.6	3200.8	3205.0	3209.2	3213.4	3217.6	3221.8	3226.0	3230.2	3234.4	3238.6	3242.8	3247.0	3251.2	3255.4	3259.6	3263.8	3268.0	3272.2	3276.4	3280.6	3284.8	3289.0	3293.2	3297.4	3301.6	3305.8	3310.0	3314.2	3318.4	3322.6	3326.8	3331.0	3335.2	3339.4	3343.6	3347.8	3352.0	3356.2	3360.4	3364.6	3368.8	3373.0	3377.2	3381.4	3385.6	3389.8	3394.0	3398.2	3402.4	3406.6	3410.8	3415.0	3419.2	3423.4	3427.6	3431.8	3436.0	3440.2	3444.4	3448.6	3452.8	3457.0	3461.2	3465.4	3469.6	3473.8	3478.0	3482.2	3486.4	3490.6	3494.8	3499.0	3503.2	3507.4	3511.6	3515.8	3520.0	3524.2	3528.4	3532.6	3536.8	3541.0	3545.2	3549.4	3553.6	3557.8	3562.0	3566.2	3570.4	3574.6	3578.8	3583.0	3587.2	3591.4	3595.6	3600.0	3604.2	3608.4	3612.6	3616.8	3621.0	3625.2	3629.4	3633.6	3637.8	3642.0	3646.2	3650.4	3654.6	3658.8	3663.0	3667.2	3671.4	3675.6	3679.8	3684.0	3688.2	3692.4	3696.6	3700.8	3705.0	3709.2	3713.4	3717.6	3721.8	3726.0	3730.2	3734.4	3738.6	3742.8	3747.0	3751.2	3755.4	3759.6	3763.8	3768.0	3772.2	3776.4	3780.6	3784.8	3789.0	3793.2	3797.4	3801.6	3805.8	3810.0	3814.2	3818.4	3822.6	3826.8	3831.0	3835.2	3839.4	3843.6	3847.8	3852.0	3856.2	3860.4	3864.6	3868.8	3873.0	3877.2	3881.4	3885.6	3889.8	3894.0	3898.2	3902.4	3906.6	3910.8	3915.0	3919.2	3923.4	3927.6	3931.8	3936.0	3940.2	3944.4	3948.6	3952.8	3957.0	3961.2	3965.4	3969.6	3973.8	3978.0	3982.2	3986.4	3990.6	3994.8	3999.0	4003.2	4007.4	4011.6	4015.8	4020.0	4024.2	4028.4	4032.6	4036.8	4041.0	4045.2	4049.4	4053.6	4057.8	4062.0	4066.2	4070.4	4074.6	4078.8	4083.0	4087.2	4091.4	4095.6	4100.0	4104.2	4108.4	4112.6	4116.8	4121.0	4125.2	4129.4	4133.6	4137.8	4142.0	4146.2	4150.4	4154.6	4158.8	4163.0	4167.2	4171.4	4175.6	4179.8	4184.0	4188.2	4192.4	4196.6	4200.8	4205.0	4209.2	4213.4	4217.6	4221.8	4226.0	4230.2	4234.4	4238.6	4242.8	4247.0	4251.2	4255.4	4259.6	4263.8	4268.0	4272.2	4276.4	4280.6	4284.8	4289.0	4293.2	4297.4	4301.6	4305.8	4310.0	4314.2	4318.4	4322.6	4326.8	4331.0	4335.2	4339.4	4343.6	4347.8	4352.0	4356.2	4360.4	4364.6	4368.8	4373.0	4377.2	4381.4	4385.6	4389.8	4394.0	4398.2	4402.4	4406.6	4410.8	4415.0	4419.2	4423.4	4427.6	4431.8	4436.0	4440.2	4444.4	4448.6	4452.8	4457.0	4461.2	4465.4	4469.6	4473.8	4478.0	4482.2	4486.4	4490.6	4494.8	4499.0	4503.2	4507.4	4511.6	4515.8	4520.0	4524.2	4528.4	4532.6	4536.8	4541.0	4545.2	4549.4	4553.6	4557.8	4562.0	4566.2	4570.4	4574.6	4578.8	4583.0	4587.2	4591.4	4595.6	4600.0	4604.2	4608.4	4612.6	4616.8	4621.0	4625.2	4629.4	4633.6	4637.8	4642.0

Ein und Ausgabe:
 Farbmetrisches Drucker-Reflektiv-System ORS20_95a
 Daten für jede Farbe:
 u^*_e und Nummer *Nr.* = 00 .. 15
 Elementar-Bunttextext:
 $u^*_e = 16$ Bunttoene *r00j, r25j, ..., b75r*
 Kontrastreduzierungsfaktor:
 $c_R = 1.0$

ORS20_95a; adaptierte CIELAB-Daten

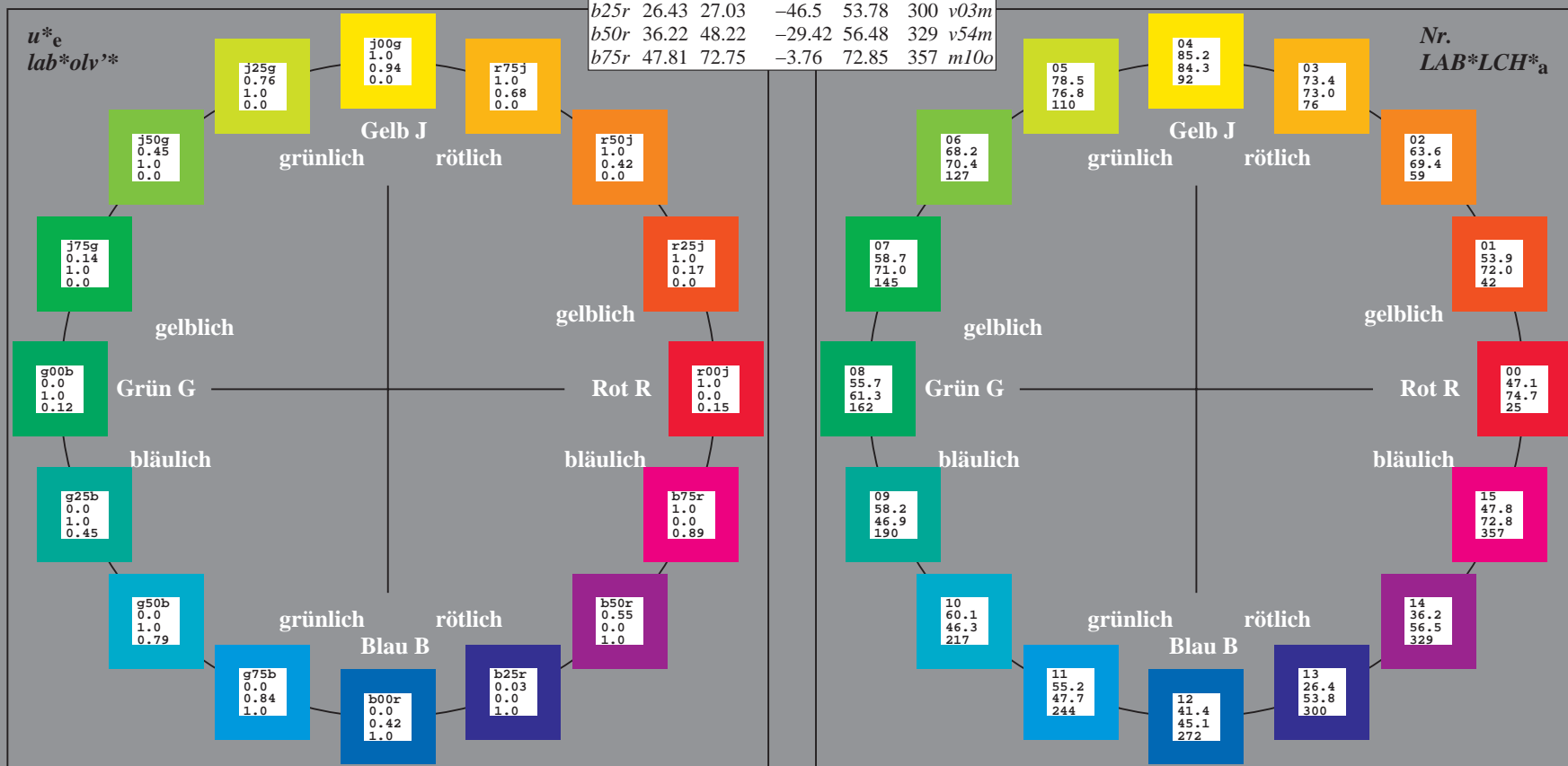
u^*_e	$L^*=L^*_a$	a^*_a	b^*_a	$C^*_{ab,a}$	$h^*_{ab,a}$	u^*_d
r00j	47.06	67.41	32.12	74.67	25	m84o
r25j	53.95	53.38	48.38	72.04	42	o17y
r50j	63.6	35.87	59.45	69.43	59	o42y
r75j	73.37	18.14	70.66	72.95	76	o68y
j00g	85.24	-3.4	84.28	84.35	92	o93y
j25g	78.53	-25.99	72.23	76.76	110	y24l
j50g	68.25	-42.61	56.0	70.37	127	y55l
j75g	58.73	-57.99	40.99	71.02	145	y85l
g00b	55.66	-58.35	18.71	61.27	162	l12c
g25b	58.18	-46.2	-7.82	46.86	190	l45c
g50b	60.08	-37.02	-27.87	46.34	217	l78c
g75b	55.21	-20.63	-42.98	47.67	244	c16v
b00r	41.38	1.37	-45.05	45.07	272	c58v
b25r	26.43	27.03	-46.5	53.78	300	v03m
b50r	36.22	48.22	-29.42	56.48	329	v54m
b75r	47.81	72.75	-3.76	72.85	357	m10o



%Umfang
 $u^*_{rel} = 87$
 %Regularität
 $g^*_{H,rel} = 67$
 $g^*_{C,rel} = 59$

ORS20_95a; CIELAB-Daten

Name	$L^*=L^*$	a^*	b^*	C^*_{ab}	h^*_{ab}
O _M	46.89	66.08	41.48	78.02	32
Y _M	88.66	-10.34	90.28	90.87	97
L _M	54.22	-65.51	35.22	74.38	152
C _M	61.43	-30.85	-40.54	50.94	233
V _M	25.93	26.15	-46.61	53.44	299
M _M	47.92	73.41	-7.8	73.82	354
N _M	20.41	0.28	0.64	0.7	66
W _M	94.64	-0.81	2.2	2.34	110
J _{CIE}	39.92	58.74	27.99	65.07	92
R _{CIE}	81.26	-2.89	71.56	71.62	25
G _{CIE}	52.23	-42.42	13.6	44.55	162
B _{CIE}	30.57	1.41	-46.47	46.49	272



Siehe ähnliche Dateien: <http://www.ps.bam.de/Eg39/>; www.ps.bam.de/Eg.HTM
 Technische Information: <http://www.ps.bam.de> Version 2.1, io=1,1, ColSpx=1

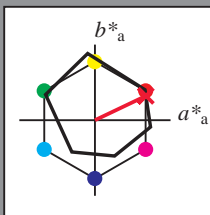
BAM-Registrierung: 20081001-Eg39/10L/L39G00NA.PS/.TXT BAM-Material: Code=rhatha
 Anwendung für Beurteilung und Messung von Drucker- oder Monitorssystemen

Ein und Ausgabe: Farbmetrisches Drucker-Reflektiv-System ORS20_95a für relativen CIELAB-Bunton $h^* = lab^*h^* = h_{ab}/360 = 0.071$

Daten für jede Farbe:
 lab^*tch^* und lab^*icu^*

Buntontexte:

$u^*_e = r00j$ $u^*_d = m84o$
 Kontrastreduzierungsfaktor:
 $c_R = 1.0$
 Dreiecks-Helligkeit i^*



ORS20_95a; CIELAB-Daten						
	u^*_e	$L^*=L^*_a$	a^*	b^*	C^*_{ab}	h^*_{ab}
O _M	46.89	66.08	41.48	78.02	78.02	97
Y _M	88.66	-10.34	90.28	90.87	90.87	32
L _M	54.22	-65.51	35.22	74.38	152	
C _M	61.43	-30.85	-40.54	50.94	233	
V _M	25.93	26.15	-46.61	53.44	299	
M _M	47.92	73.41	-7.8	73.82	354	
N _M	20.41	0.28	0.64	0.7	66	
W _M	94.64	-0.81	2.2	2.34	110	
R _M	39.92	58.74	27.99	65.07	25	
J _M	81.26	-2.89	71.56	71.62	92	
G _M	52.23	-42.42	13.6	44.55	162	
B _M	30.57	1.41	-46.47	46.49	272	

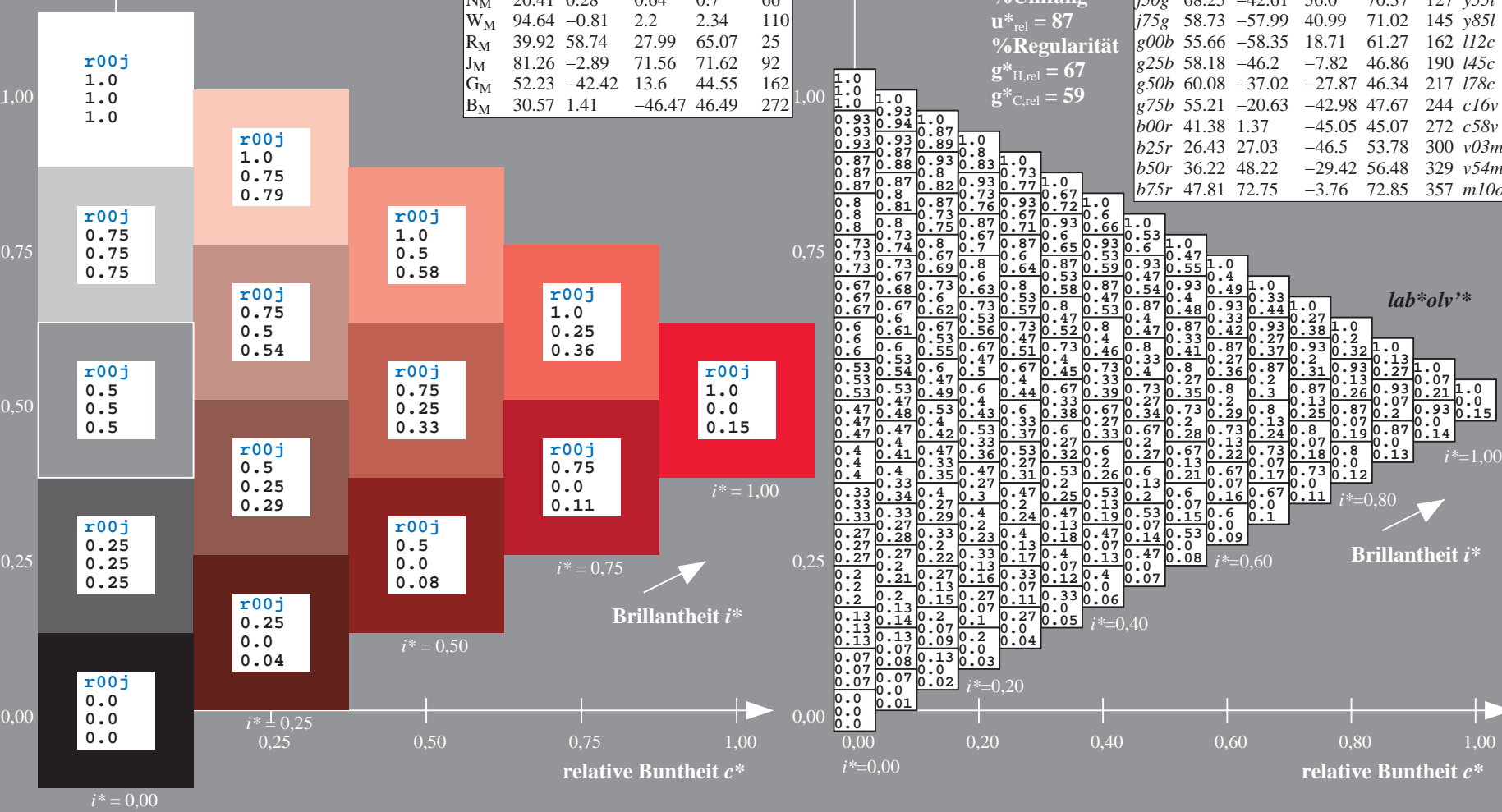
Daten für Maximalfarbe (Ma):

$LAB^*LAB^*_{Ma}$: 47 67 32
 $LAB^*LCH^*_{Ma}$: 47 75 25
 $lab^*rgb^*_{Ma}$: 1.0 0.0 0.0
 $lab^*olv^*_{Ma}$: 1.0 0.0 0.15

Dreiecks-Helligkeit i^*

%Umfang
 $u^*_{rel} = 87$
 %Regularität
 $g^*_{H,rel} = 67$
 $g^*_{C,rel} = 59$

ORS20_95a; adaptierte CIELAB-Daten							
	u^*_e	$L^*=L^*_a$	a^*_a	b^*_a	$C^*_{ab,a}$	$h^*_{ab,a}$	u^*_d
r00j	47.06	67.41	32.12	74.67	25	m84o	
r25j	53.95	53.38	48.38	72.04	42	o17y	
r50j	63.6	35.87	59.45	69.43	59	o42y	
r75j	73.37	18.14	70.66	72.95	76	o68y	
j00g	85.24	-3.4	84.28	84.35	92	o93y	
j25g	78.53	-25.99	72.23	76.76	110	y24l	
j50g	68.25	-42.61	56.0	70.37	127	y51l	
j75g	58.73	-57.99	40.99	71.02	145	y85l	
g00b	55.66	-58.35	18.71	61.27	162	l12c	
g25b	58.18	-46.2	-7.82	46.86	190	l45c	
g50b	60.08	-37.02	-27.87	46.34	217	l78c	
g75b	55.21	-20.63	-42.98	47.67	244	c16v	
b00r	41.38	1.37	-45.05	45.07	272	c58v	
b25r	26.43	27.03	-46.5	53.78	300	v03m	
b50r	36.22	48.22	-29.42	56.48	329	v54m	
b75r	47.81	72.75	-3.76	72.85	357	m10o	



Siehe ähnliche Dateien: <http://www.ps.bam.de/Eg39/>; www.ps.bam.de/Version 2.1, io=1,1, ColSpx=1
 Technische Information: <http://www.ps.bam.de>

BAM-Registrierung: 20081001-Eg39/10L/L39G00NA.PS/.TXT BAM-Material: Code=rh4ta
 Anwendung für Beurteilung und Messung von Drucker- oder Monitorssystemen

Ein und Ausgabe: Farbmetrisches Drucker-Reflektiv-System ORS20_95a für relativen CIELAB-Bunton $h^* = lab^*h^* = h_{ab}/360 = 0.117$

Daten für jede Farbe:

lab^*tch^* und lab^*icu^*

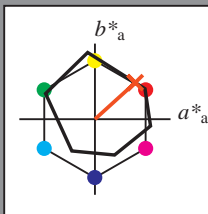
Buntontexte:

$u^*_e = r25j$ $u^*_d = o17y$

Kontrastreduzierungsfaktor:

$c_R = 1.0$

Dreiecks-Helligkeit i^*



ORS20_95a; CIELAB-Daten

	u^*_e	$L^*=L^*_a$	a^*	b^*	C^*_{ab}	h^*_{ab}
O _M	46.89	66.08	41.48	78.02	32	97
Y _M	88.66	-10.34	90.28	90.87	97	97
L _M	54.22	-65.51	35.22	74.38	152	152
C _M	61.43	-30.85	-40.54	50.94	233	233
V _M	25.93	26.15	-46.61	53.44	299	299
M _M	47.92	73.41	-7.8	73.82	354	354
N _M	20.41	0.28	0.64	0.7	66	66
W _M	94.64	-0.81	2.2	2.34	110	110
R _M	39.92	58.74	27.99	65.07	25	25
J _M	81.26	-2.89	71.56	71.62	92	92
G _M	52.23	-42.42	13.6	44.55	162	162
B _M	30.57	1.41	-46.47	46.49	272	272

Daten für Maximalfarbe (Ma):

$LAB^*LAB^*_Ma$: 54 53 48

$LAB^*LCH^*_Ma$: 54 72 42

$lab^*rgb^*_Ma$: 1.0 0.25 0.0

$lab^*olv^*_Ma$: 1.0 0.17 0.0

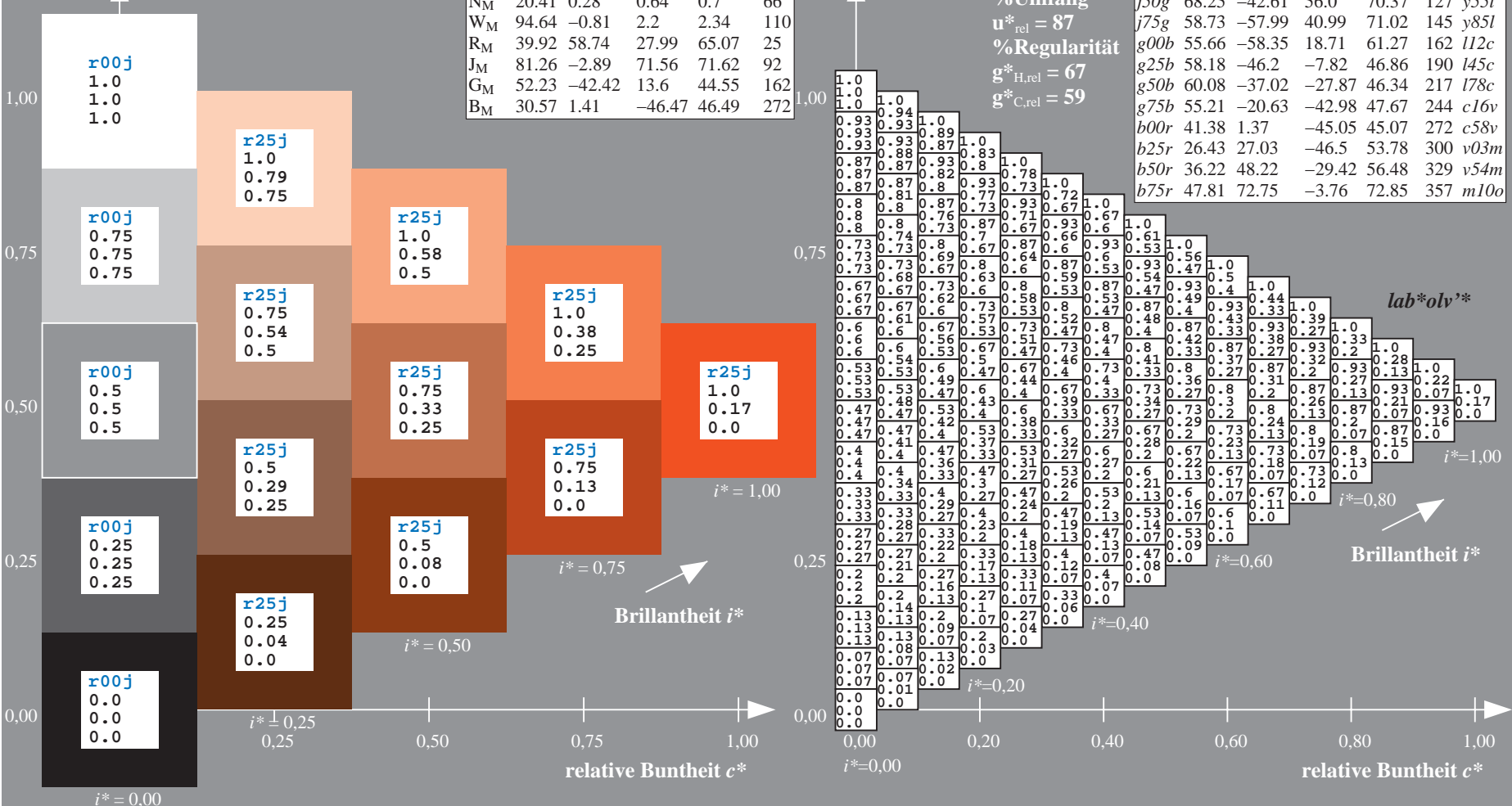
Dreiecks-Helligkeit i^*

%Umfang
 $u^*_{rel} = 87$
 %Regularität
 $g^*_{H,rel} = 67$
 $g^*_{C,rel} = 59$

$u^*_e = r25j$
 lab^*olv^*

ORS20_95a; adaptierte CIELAB-Daten

	u^*_e	$L^*=L^*_a$	a^*_a	b^*_a	$C^*_{ab,a}$	$h^*_{ab,a}$	u^*_d
r00j	47.06	67.41	32.12	74.67	25	m84o	
r25j	53.95	53.38	48.38	72.04	42	o17y	
r50j	63.6	35.87	59.45	69.43	59	o42y	
r75j	73.37	18.14	70.66	72.95	76	o68y	
j00g	85.24	-3.4	84.28	84.35	92	o93y	
j25g	78.53	-25.99	72.23	76.76	110	y24l	
j50g	68.25	-42.61	56.0	70.37	127	y51l	
j75g	58.73	-57.99	40.99	71.02	145	y85l	
g00b	55.66	-58.35	18.71	61.27	162	l12c	
g25b	58.18	-46.2	-7.82	46.86	190	l45c	
g50b	60.08	-37.02	-27.87	46.34	217	l78c	
g75b	55.21	-20.63	-42.98	47.67	244	c16v	
b00r	41.38	1.37	-45.05	45.07	272	c58v	
b25r	26.43	27.03	-46.5	53.78	300	v03m	
b50r	36.22	48.22	-29.42	56.48	329	v54m	
b75r	47.81	72.75	-3.76	72.85	357	m10o	



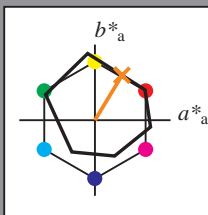
Ein und Ausgabe: Farbmetrisches Drucker-Reflektiv-System ORS20_95a für relativen CIELAB-Buntton $h^* = lab^*h^* = h_{ab}/360 = 0.164$

Daten für jede Farbe:
 lab^*tch^* und lab^*icu^*

Bunttontexte:
 $u^*_e = r50j$ $u^*_d = o42y$

Kontrastreduzierungsfaktor:
 $c_R = 1.0$

Dreiecks-Helligkeit i^*



ORS20_95a; CIELAB-Daten						
	u^*_e	$L^*=L^*_a$	a^*	b^*	C^*_{ab}	h^*_{ab}
O _M	46.89	66.08	41.48	78.02	78.02	32
Y _M	88.66	-10.34	90.28	90.87	90.87	97
L _M	54.22	-65.51	35.22	74.38	152	152
C _M	61.43	-30.85	-40.54	50.94	233	233
V _M	25.93	26.15	-46.61	53.44	299	299
M _M	47.92	73.41	-7.8	73.82	354	354
N _M	20.41	0.28	0.64	0.7	66	66
W _M	94.64	-0.81	2.2	2.34	110	110
R _M	39.92	58.74	27.99	65.07	25	25
J _M	81.26	-2.89	71.56	71.62	92	92
G _M	52.23	-42.42	13.6	44.55	162	162
B _M	30.57	1.41	-46.47	46.49	272	272

Daten für Maximalfarbe (Ma):

$LAB^*LAB^*_{Ma}$: 64 36 59

$LAB^*LCH^*_{Ma}$: 64 69 58

$lab^*rgb^*_{Ma}$: 1.0 0.5 0.0

$lab^*olv^*_{Ma}$: 1.0 0.42 0.0

Dreiecks-Helligkeit i^*

%Umfang

$u^*_{rel} = 87$

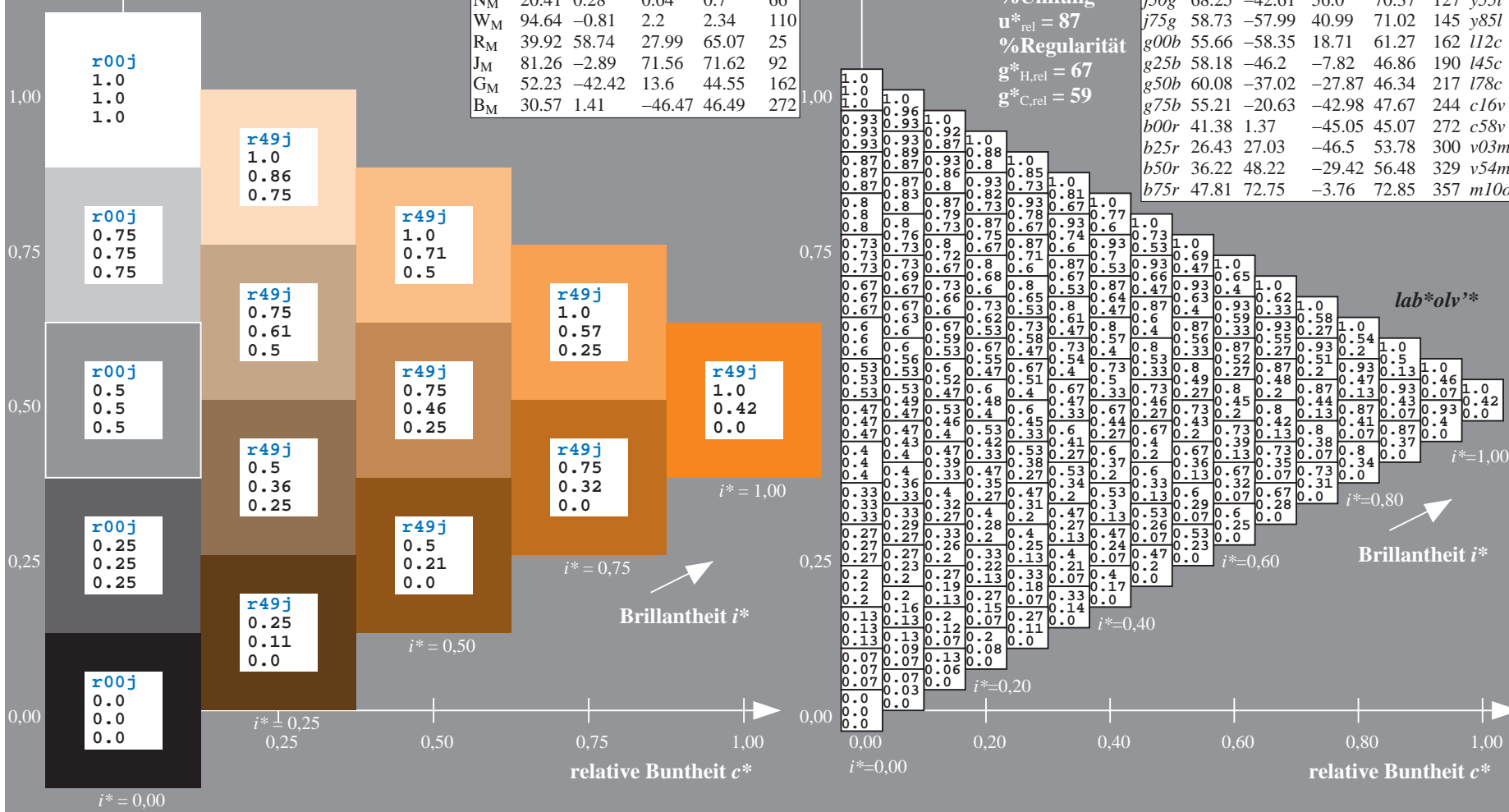
%Regularität

$g^*_{H,rel} = 67$

$g^*_{C,rel} = 59$

$u^*_e = r50j$
 lab^*olv^*

ORS20_95a; adaptierte CIELAB-Daten							
	u^*_e	$L^*=L^*_a$	a^*_a	b^*_a	$C^*_{ab,a}$	$h^*_{ab,a}$	u^*_d
r00j	47.06	67.41	32.12	74.67	25	m84o	
r25j	53.95	53.38	48.38	72.04	42	o17y	
r50j	63.6	35.87	59.45	69.43	59	o42y	
r75j	73.37	18.14	70.66	72.95	76	o68y	
j00g	85.24	-3.4	84.28	84.35	92	o93y	
j25g	78.53	-25.99	72.23	76.76	110	y24l	
j50g	68.25	-42.61	56.0	70.37	127	y51l	
j75g	58.73	-57.99	40.99	71.02	145	y85l	
g00b	55.66	-58.35	18.71	61.27	162	l12c	
g25b	58.18	-46.2	-7.82	46.86	190	l45c	
g50b	60.08	-37.02	-27.87	46.34	217	l78c	
g75b	55.21	-20.63	-42.98	47.67	244	c16v	
b00r	41.38	1.37	-45.05	45.07	272	c58v	
b25r	26.43	27.03	-46.5	53.78	300	v03m	
b50r	36.22	48.22	-29.42	56.48	329	v54m	
b75r	47.81	72.75	-3.76	72.85	357	m10o	



Siehe ähnliche Dateien: <http://www.ps.bam.de/Eg39/>; www.ps.bam.de/Eg39/HTM
 Technische Information: <http://www.ps.bam.de> Version 2.1, io=1,1, ColSpx=1

BAM-Registrierung: 20081001-Eg39/10L/L39G00NA.PS/.TXT BAM-Material: Code=rh4ta
 Anwendung für Beurteilung und Messung von Drucker- oder Monitorssystemen

Ein und Ausgabe: Farbmetrisches Drucker-Reflektiv-System ORS20_95a für relativen CIELAB-Buntton $h^* = lab^*h^* = h_{ab}/360 = 0.21$

Daten für jede Farbe:

lab^*tch^* und lab^*icu^*

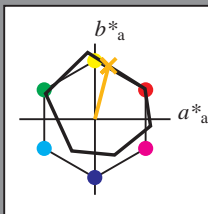
Bunttontexte:

$u^*_e = r75j$ $u^*_d = o68y$

Kontrastreduzierungsfaktor:

$c_R = 1.0$

Dreiecks-Helligkeit i^*



ORS20_95a; CIELAB-Daten

	u^*_e	$L^*=L^*_a$	a^*	b^*	C^*_{ab}	h^*_{ab}
O _M	46.89	66.08	41.48	78.02	32	
Y _M	88.66	-10.34	90.28	90.87	97	
L _M	54.22	-65.51	35.22	74.38	152	
C _M	61.43	-30.85	-40.54	50.94	233	
V _M	25.93	26.15	-46.61	53.44	299	
M _M	47.92	73.41	-7.8	73.82	354	
N _M	20.41	0.28	0.64	0.7	66	
W _M	94.64	-0.81	2.2	2.34	110	
R _M	39.92	58.74	27.99	65.07	25	
J _M	81.26	-2.89	71.56	71.62	92	
G _M	52.23	-42.42	13.6	44.55	162	
B _M	30.57	1.41	-46.47	46.49	272	

Daten für Maximalfarbe (Ma):

$LAB^*LAB^*_{Ma}$: 73 18 71

$LAB^*LCH^*_{Ma}$: 73 73 75

$lab^*rgb^*_{Ma}$: 1.0 0.75 0.0

$lab^*olv^*_{Ma}$: 1.0 0.68 0.0

Dreiecks-Helligkeit i^*

%Umfang

$u^*_{rel} = 87$

%Regularität

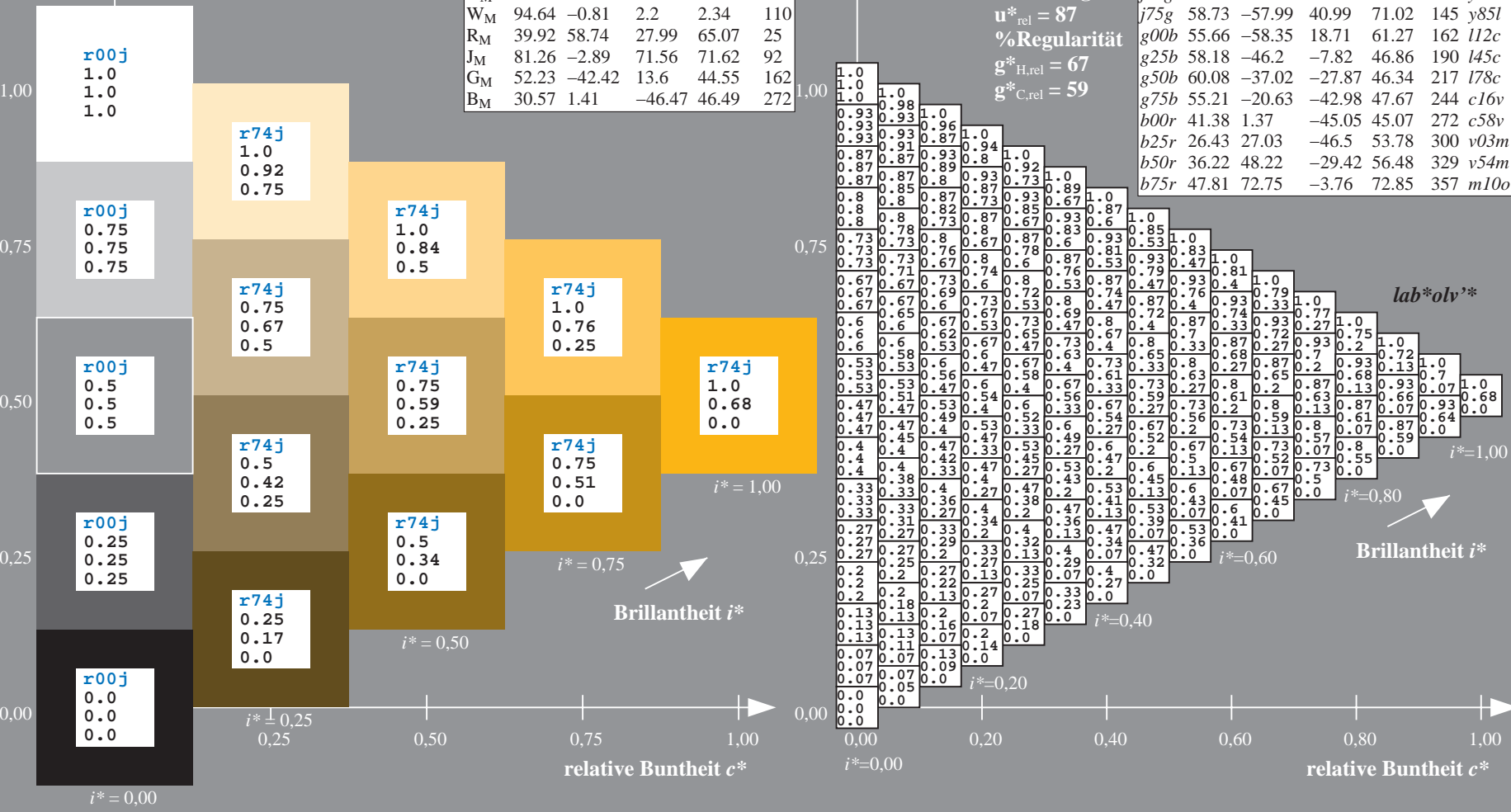
$g^*_{H,rel} = 67$

$g^*_{C,rel} = 59$

$u^*_e = r75j$
 lab^*olv^*

ORS20_95a; adaptierte CIELAB-Daten

	u^*_e	$L^*=L^*_a$	a^*_a	b^*_a	$C^*_{ab,a}$	$h^*_{ab,a}$	u^*_d
r00j	47.06	67.41	32.12	74.67	25	m84o	
r25j	53.95	53.38	48.38	72.04	42	o17y	
r50j	63.6	35.87	59.45	69.43	59	o42y	
r75j	73.37	18.14	70.66	72.95	76	o68y	
j00g	85.24	-3.4	84.28	84.35	92	o93y	
j25g	78.53	-25.99	72.23	76.76	110	y24l	
j50g	68.25	-42.61	56.0	70.37	127	y51l	
j75g	58.73	-57.99	40.99	71.02	145	y85l	
g00b	55.66	-58.35	18.71	61.27	162	l12c	
g25b	58.18	-46.2	-7.82	46.86	190	l45c	
g50b	60.08	-37.02	-27.87	46.34	217	l78c	
g75b	55.21	-20.63	-42.98	47.67	244	c16v	
b00r	41.38	1.37	-45.05	45.07	272	c58v	
b25r	26.43	27.03	-46.5	53.78	300	v03m	
b50r	36.22	48.22	-29.42	56.48	329	v54m	
b75r	47.81	72.75	-3.76	72.85	357	m10o	



Siehe ähnliche Dateien: <http://www.ps.bam.de/Eg39/>; www.ps.bam.de/Eg39/HTM
 Technische Information: <http://www.ps.bam.de> Version 2.1, io=1,1, ColSpx=1

BAM-Registrierung: 20081001-Eg39/10L/L39G00NA.PS/.TXT BAM-Material: Code=rh4ta
 Anwendung für Beurteilung und Messung von Drucker- oder Monitorssystemen

Ein und Ausgabe: Farbmetrisches Drucker-Reflektiv-System ORS20_95a für relativen CIELAB-Buntton $h^* = lab^*h^* = h_{ab}/360 = 0.256$

Daten für jede Farbe:

lab^*tch^* und lab^*icu^*

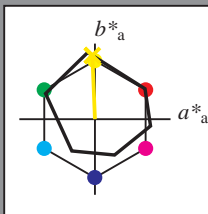
Bunttontexte:

$u^*_e = j00g$ $u^*_d = o93y$

Kontrastreduzierungsfaktor:

$c_R = 1.0$

Dreiecks-Helligkeit i^*



ORS20_95a; CIELAB-Daten

	u^*_e	$L^*=L^*_a$	a^*	b^*	C^*_{ab}	h^*_{ab}
O _M	46.89	66.08	41.48	78.02	32	97
Y _M	88.66	-10.34	90.28	90.87	97	37
L _M	54.22	-65.51	35.22	74.38	152	152
C _M	61.43	-30.85	-40.54	50.94	233	233
V _M	25.93	26.15	-46.61	53.44	299	299
M _M	47.92	73.41	-7.8	73.82	354	354
N _M	20.41	0.28	0.64	0.7	66	66
W _M	94.64	-0.81	2.2	2.34	110	110
R _M	39.92	58.74	27.99	65.07	25	25
J _M	81.26	-2.89	71.56	71.62	92	92
G _M	52.23	-42.42	13.6	44.55	162	162
B _M	30.57	1.41	-46.47	46.49	272	272

Daten für Maximalfarbe (Ma):

$LAB^*LAB^*_Ma$: 85 -3 84

$LAB^*LCH^*_Ma$: 85 84 92

$lab^*rgb^*_Ma$: 1.0 1.0 0.0

$lab^*olv^*_Ma$: 1.0 0.94 0.0

Dreiecks-Helligkeit i^*

%Umfang

$u^*_{rel} = 87$

%Regularität

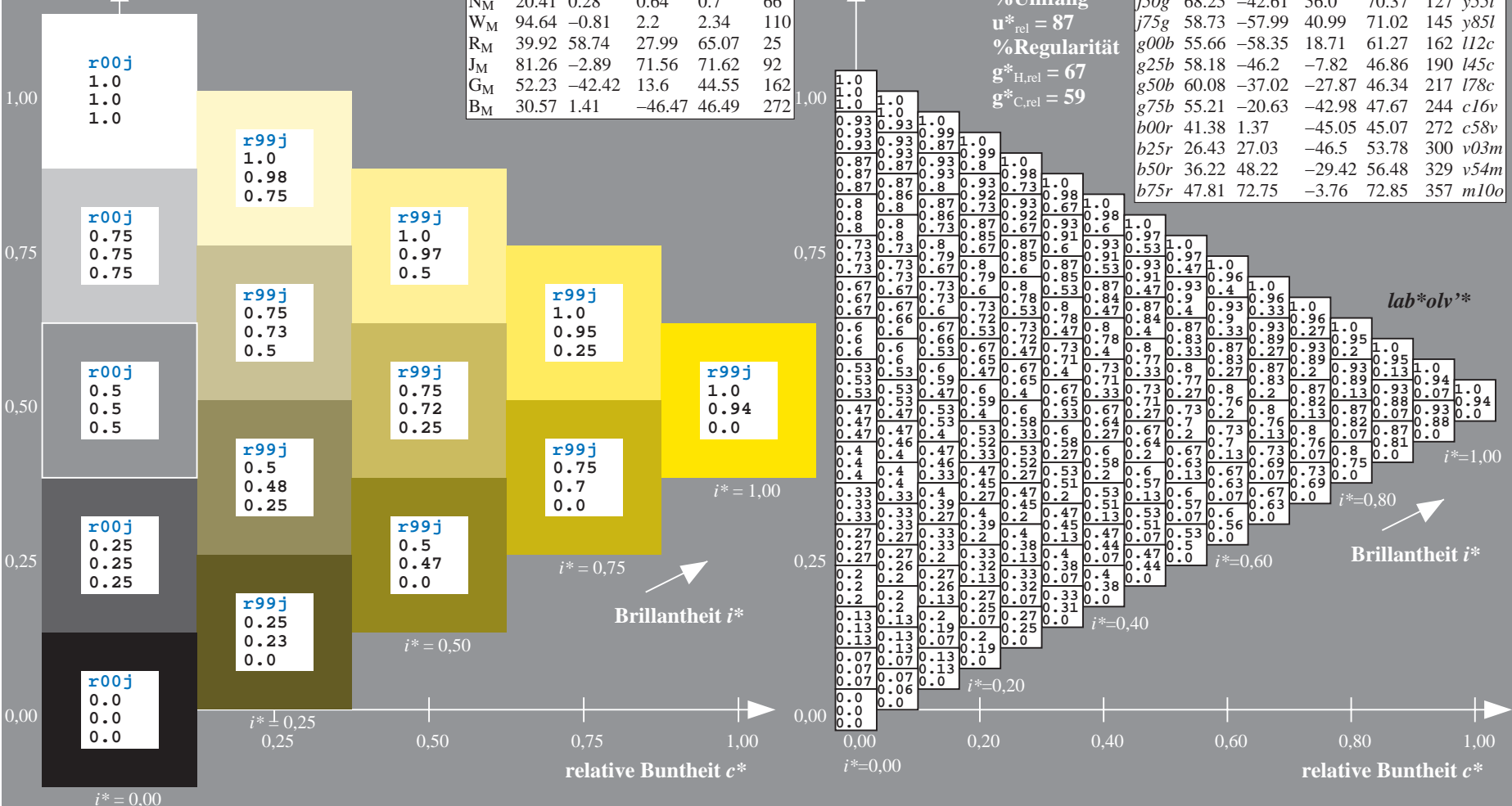
$g^*_{H,rel} = 67$

$g^*_{C,rel} = 59$

$u^*_e = j00g$
 lab^*olv^*

ORS20_95a; adaptierte CIELAB-Daten

	u^*_e	$L^*=L^*_a$	a^*_a	b^*_a	$C^*_{ab,a}$	$h^*_{ab,a}$	u^*_d
r00j	47.06	67.41	32.12	74.67	25	m84o	
r25j	53.95	53.38	48.38	72.04	42	o17y	
r50j	63.6	35.87	59.45	69.43	59	o42y	
r75j	73.37	18.14	70.66	72.95	76	o68y	
j00g	85.24	-3.4	84.28	84.35	92	o93y	
j25g	78.53	-25.99	72.23	76.76	110	y24l	
j50g	68.25	-42.61	56.0	70.37	127	y51l	
j75g	58.73	-57.99	40.99	71.02	145	y85l	
g00b	55.66	-58.35	18.71	61.27	162	l12c	
g25b	58.18	-46.2	-7.82	46.86	190	l45c	
g50b	60.08	-37.02	-27.87	46.34	217	l78c	
g75b	55.21	-20.63	-42.98	47.67	244	c16v	
b00r	41.38	1.37	-45.05	45.07	272	c58v	
b25r	26.43	27.03	-46.5	53.78	300	v03m	
b50r	36.22	48.22	-29.42	56.48	329	v54m	
b75r	47.81	72.75	-3.76	72.85	357	m10o	



Siehe ähnliche Dateien: <http://www.ps.bam.de/Eg39/>; www.ps.bam.de/Eg39/HTM
 Technische Information: <http://www.ps.bam.de> Version 2.1, io=1,1, ColSpx=1

BAM-Registrierung: 20081001-Eg39/10L/L39G00NA.PS/.TXT BAM-Material: Code=rh4ta
 Anwendung für Beurteilung und Messung von Drucker- oder Monitorssystemen

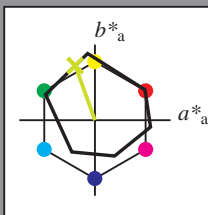
Ein und Ausgabe: Farbmetrisches Drucker-Reflektiv-System ORS20_95a für relativen CIELAB-Bunton $h^* = lab^*h^* = h_{ab}/360 = 0.305$

Daten für jede Farbe:
 lab^*tch^* und lab^*icu^*

Buntontexte:
 $u^*_e = j25g$ $u^*_d = y24l$

Kontrastreduzierungsfaktor:
 $c_R = 1.0$

Dreiecks-Helligkeit i^*



ORS20_95a; CIELAB-Daten						
	u^*_e	$L^*=L^*_a$	a^*	b^*	C^*_{ab}	h^*_{ab}
O _M	46.89	66.08	41.48	78.02	32	97
Y _M	88.66	-10.34	90.28	90.87	97	37
L _M	54.22	-65.51	35.22	74.38	152	152
C _M	61.43	-30.85	-40.54	50.94	233	233
V _M	25.93	26.15	-46.61	53.44	299	299
M _M	47.92	73.41	-7.8	73.82	354	354
N _M	20.41	0.28	0.64	0.7	66	66
W _M	94.64	-0.81	2.2	2.34	110	110
R _M	39.92	58.74	27.99	65.07	25	25
J _M	81.26	-2.89	71.56	71.62	92	92
G _M	52.23	-42.42	13.6	44.55	162	162
B _M	30.57	1.41	-46.47	46.49	272	272

Daten für Maximalfarbe (Ma):

$LAB^*LAB^*_{Ma}: 79 -26 72$

$LAB^*LCH^*_{Ma}: 79 77 109$

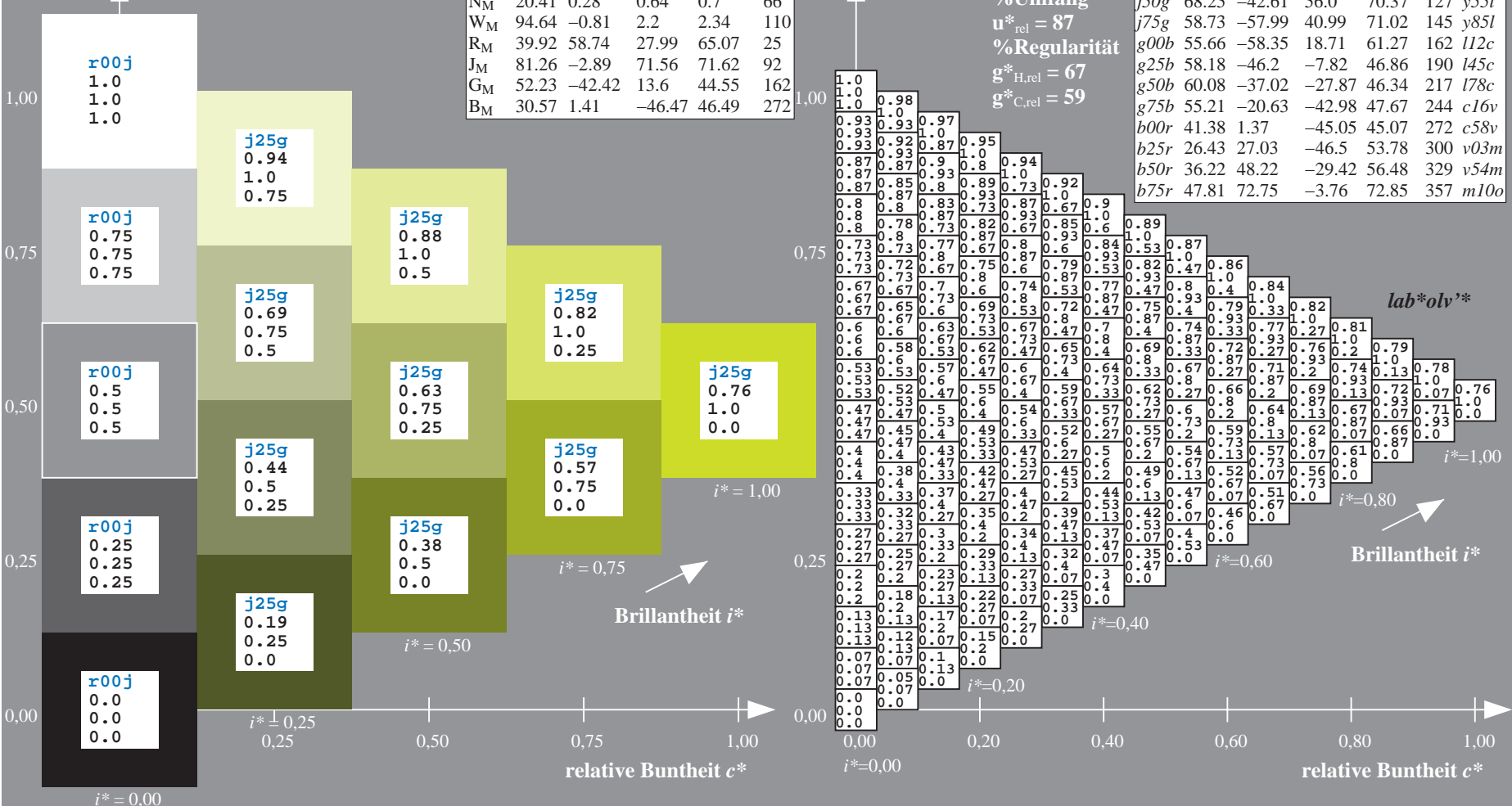
$lab^*rgb^*_{Ma}: 0.75 1.0 0.0$

$lab^*olv^*_{Ma}: 0.76 1.0 0.0$

Dreiecks-Helligkeit i^*

%Umfang
 $u^*_{rel} = 87$
 %Regularität
 $g^*_{H,rel} = 67$
 $g^*_{C,rel} = 59$

ORS20_95a; adaptierte CIELAB-Daten							
	u^*_e	$L^*=L^*_a$	a^*_a	b^*_a	$C^*_{ab,a}$	$h^*_{ab,a}$	u^*_d
r00j	47.06	67.41	32.12	74.67	25	m84o	
r25j	53.95	53.38	48.38	72.04	42	o17y	
r50j	63.6	35.87	59.45	69.43	59	o42y	
r75j	73.37	18.14	70.66	72.95	76	o68y	
j00g	85.24	-3.4	84.28	84.35	92	o93y	
j25g	78.53	-25.99	72.23	76.76	110	y24l	
j50g	68.25	-42.61	56.0	70.37	127	y51l	
j75g	58.73	-57.99	40.99	71.02	145	y85l	
g00b	55.66	-58.35	18.71	61.27	162	l12c	
g25b	58.18	-46.2	-7.82	46.86	190	l45c	
g50b	60.08	-37.02	-27.87	46.34	217	l78c	
g75b	55.21	-20.63	-42.98	47.67	244	c16v	
b00r	41.38	1.37	-45.05	45.07	272	c58v	
b25r	26.43	27.03	-46.5	53.78	300	v03m	
b50r	36.22	48.22	-29.42	56.48	329	v54m	
b75r	47.81	72.75	-3.76	72.85	357	m10o	



Siehe ähnliche Dateien: <http://www.ps.bam.de/Eg39/>; www.ps.bam.de/Eg39/HTM
 Technische Information: <http://www.ps.bam.de> Version 2.1, io=1,1, ColSpx=1

BAM-Registrierung: 20081001-Eg39/10L/L39G00NA.PS/.TXT BAM-Material: Code=rhatha
 Anwendung für Beurteilung und Messung von Drucker- oder Monitorssystemen

Ein und Ausgabe: Farbmetrisches Drucker-Reflektiv-System ORS20_95a für relativen CIELAB-Bunnton $h^* = lab^*h^* = h_{ab}/360 = 0.354$

Daten für jede Farbe:

lab^*tch^* und lab^*icu^*

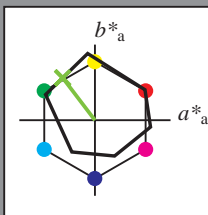
Bunntontexte:

$u^*_e = j50g$ $u^*_d = y55l$

Kontrastreduzierungsfaktor:

$c_R = 1.0$

Dreiecks-Helligkeit i^*



ORS20_95a; CIELAB-Daten						
	u^*_e	$L^*=L^*_a$	a^*	b^*	C^*_{ab}	h^*_{ab}
O _M	46.89	66.08	41.48	78.02	78.02	32
Y _M	88.66	-10.34	90.28	90.87	90.87	97
L _M	54.22	-65.51	35.22	74.38	74.38	152
C _M	61.43	-30.85	-40.54	50.94	50.94	233
V _M	25.93	26.15	-46.61	53.44	53.44	299
M _M	47.92	73.41	-7.8	73.82	73.82	354
N _M	20.41	0.28	0.64	0.7	0.7	66
W _M	94.64	-0.81	2.2	2.34	2.34	110
R _M	39.92	58.74	27.99	65.07	65.07	25
J _M	81.26	-2.89	71.56	71.62	71.62	92
G _M	52.23	-42.42	13.6	44.55	44.55	162
B _M	30.57	1.41	-46.47	46.49	46.49	272

Daten für Maximalfarbe (Ma):

$LAB^*LAB^*_Ma$: 68 -43 56

$LAB^*LCH^*_Ma$: 68 70 127

$lab^*rgb^*_Ma$: 0.5 1.0 0.0

$lab^*olv^*_Ma$: 0.45 1.0 0.0

Dreiecks-Helligkeit i^*

%Umfang

$u^*_{rel} = 87$

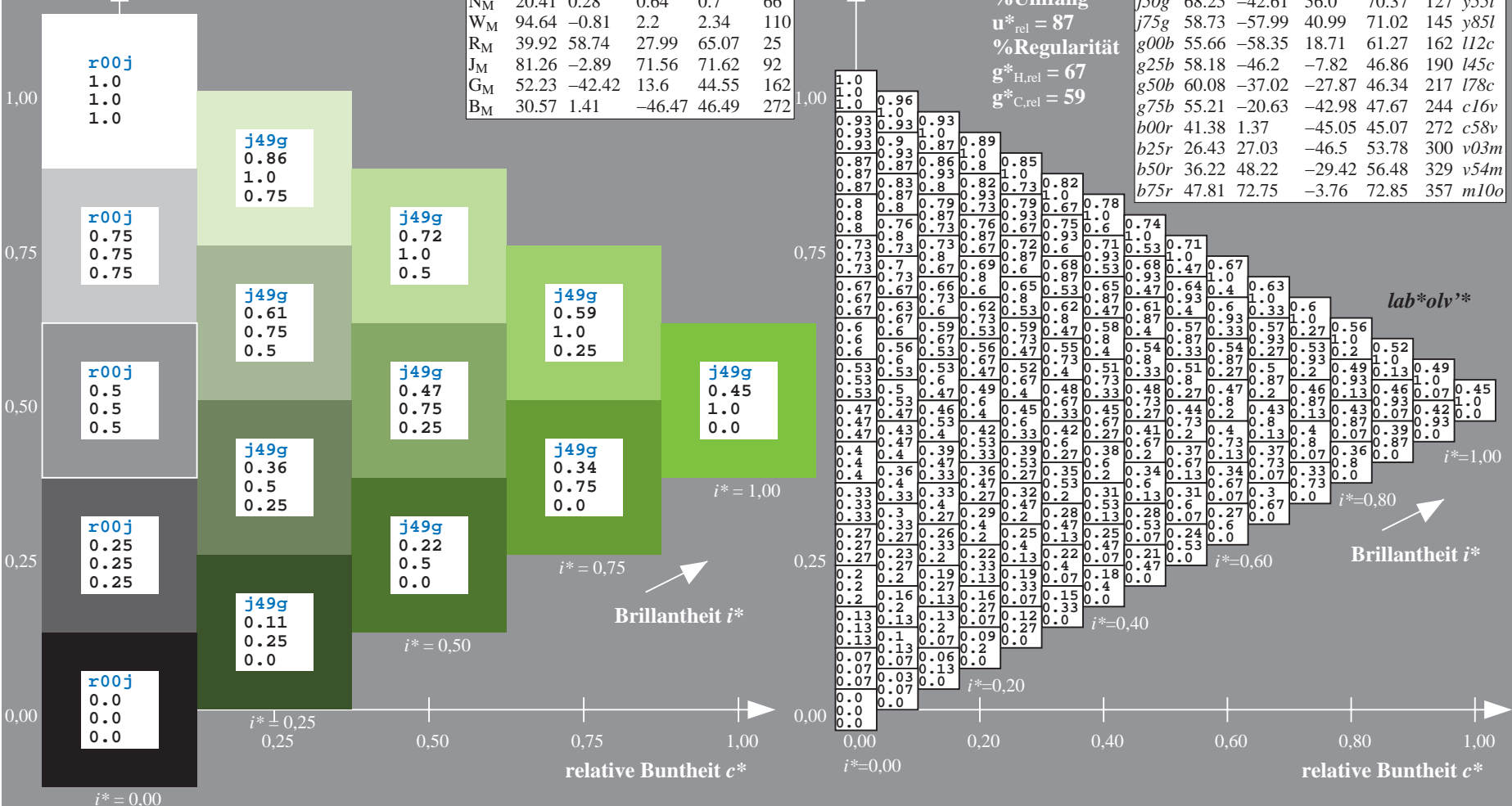
%Regularität

$g^*_{H,rel} = 67$

$g^*_{C,rel} = 59$

$u^*_e = j50g$
 lab^*olv^*

ORS20_95a; adaptierte CIELAB-Daten							
	u^*_e	$L^*=L^*_a$	a^*_a	b^*_a	$C^*_{ab,a}$	$h^*_{ab,a}$	u^*_d
r00j	47.06	67.41	32.12	74.67	25	m84o	
r25j	53.95	53.38	48.38	72.04	42	o17y	
r50j	63.6	35.87	59.45	69.43	59	o42y	
r75j	73.37	18.14	70.66	72.95	76	o68y	
j00g	85.24	-3.4	84.28	84.35	92	o93y	
j25g	78.53	-25.99	72.23	76.76	110	y24l	
j50g	68.25	-42.61	56.0	70.37	127	y55l	
j75g	58.73	-57.99	40.99	71.02	145	y85l	
g00b	55.66	-58.35	18.71	61.27	162	l12c	
g25b	58.18	-46.2	-7.82	46.86	190	l45c	
g50b	60.08	-37.02	-27.87	46.34	217	l78c	
g75b	55.21	-20.63	-42.98	47.67	244	c16v	
b00r	41.38	1.37	-45.05	45.07	272	c58v	
b25r	26.43	27.03	-46.5	53.78	300	v03m	
b50r	36.22	48.22	-29.42	56.48	329	v54m	
b75r	47.81	72.75	-3.76	72.85	357	m10o	



BAM-Registrierung: 20081001-Eg39/10L/L39G00NA.PS/.TXT BAM-Material: Code=rhatha
 Anwendung für Beurteilung und Messung von Drucker- oder Monitorssystemen

Ein und Ausgabe: Farbmetrisches Drucker-Reflektiv-System ORS20_95a für relativen CIELAB-Buntton $h^* = lab^*h^* = h_{ab}/360 = 0.402$

Daten für jede Farbe:

lab^*tch^* und lab^*icu^*

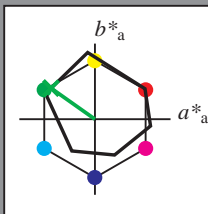
Bunttontexte:

$u^*_e = j75g$ $u^*_d = y85l$

Kontrastreduzierungsfaktor:

$c_R = 1.0$

Dreiecks-Helligkeit i^*



ORS20_95a; CIELAB-Daten

	u^*_e	$L^*=L^*_a$	a^*_a	b^*_a	C^*_{ab}	h^*_{ab}
O _M	46.89	66.08	41.48	78.02	32	97
Y _M	88.66	-10.34	90.28	90.87	97	97
L _M	54.22	-65.51	35.22	74.38	152	152
C _M	61.43	-30.85	-40.54	50.94	233	233
V _M	25.93	26.15	-46.61	53.44	299	299
M _M	47.92	73.41	-7.8	73.82	354	354
N _M	20.41	0.28	0.64	0.7	66	66
W _M	94.64	-0.81	2.2	2.34	110	110
R _M	39.92	58.74	27.99	65.07	25	25
J _M	81.26	-2.89	71.56	71.62	92	92
G _M	52.23	-42.42	13.6	44.55	162	162
B _M	30.57	1.41	-46.47	46.49	272	272

Daten für Maximalfarbe (Ma):

$LAB^*LAB^*_{Ma}$: 59 -58 41

$LAB^*LCH^*_{Ma}$: 59 71 144

$lab^*rgb^*_{Ma}$: 0.25 1.0 0.0

$lab^*olv^*_{Ma}$: 0.14 1.0 0.0

Dreiecks-Helligkeit i^*

%Umfang

$u^*_{rel} = 87$

%Regularität

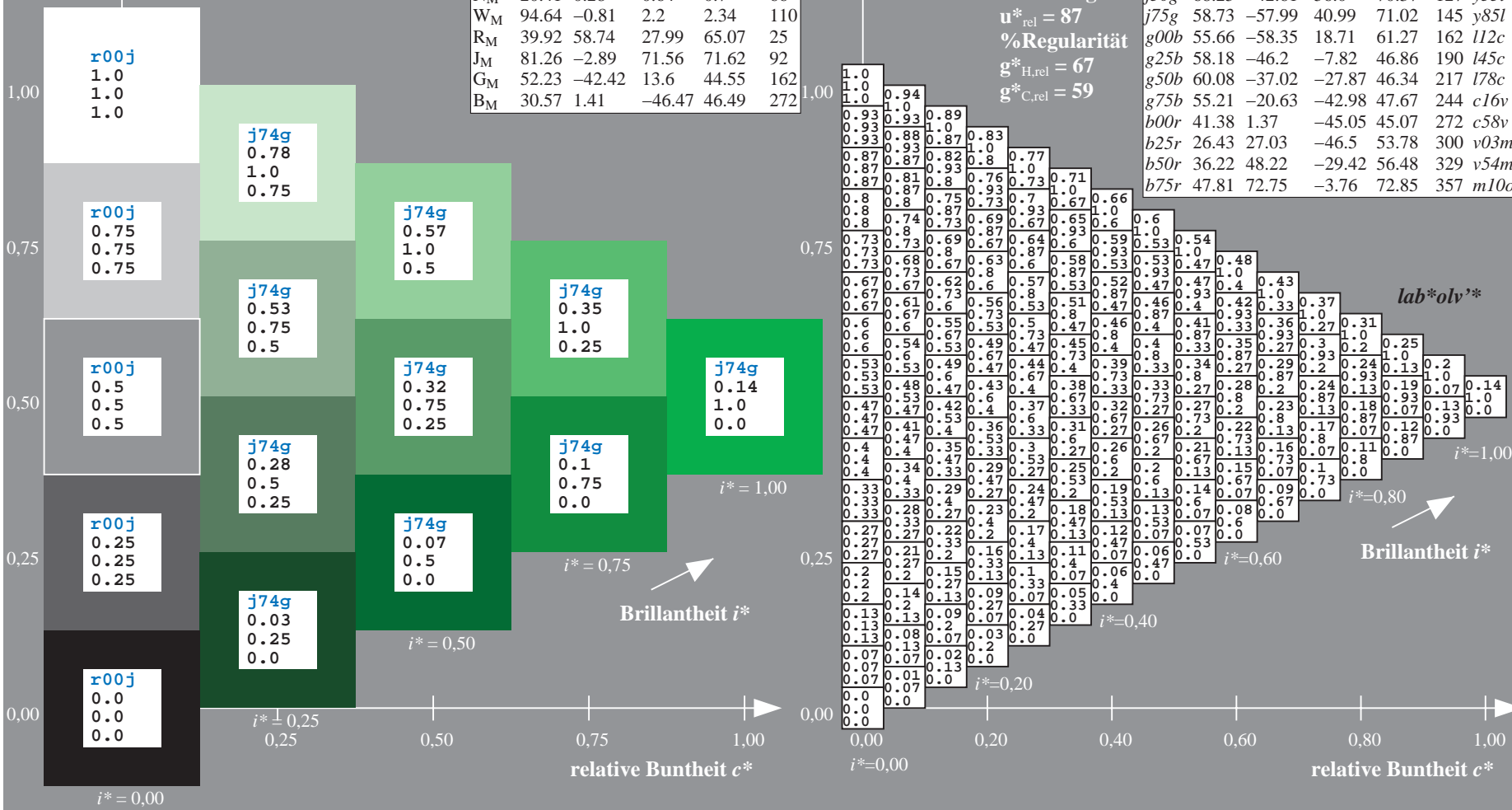
$g^*_{H,rel} = 67$

$g^*_{C,rel} = 59$

$u^*_e = j75g$
 lab^*olv^*

ORS20_95a; adaptierte CIELAB-Daten

	u^*_e	$L^*=L^*_a$	a^*_a	b^*_a	$C^*_{ab,a}$	$h^*_{ab,a}$	u^*_d
r00j	47.06	67.41	32.12	74.67	25	m84o	
r25j	53.95	53.38	48.38	72.04	42	o17y	
r50j	63.6	35.87	59.45	69.43	59	o42y	
r75j	73.37	18.14	70.66	72.95	76	o68y	
j00g	85.24	-3.4	84.28	84.35	92	o93y	
j25g	78.53	-25.99	72.23	76.76	110	y24l	
j50g	68.25	-42.61	56.0	70.37	127	y51l	
j75g	58.73	-57.99	40.99	71.02	145	y85l	
g00b	55.66	-58.35	18.71	61.27	162	l12c	
g25b	58.18	-46.2	-7.82	46.86	190	l45c	
g50b	60.08	-37.02	-27.87	46.34	217	l78c	
g75b	55.21	-20.63	-42.98	47.67	244	c16v	
b00r	41.38	1.37	-45.05	45.07	272	c58v	
b25r	26.43	27.03	-46.5	53.78	300	v03m	
b50r	36.22	48.22	-29.42	56.48	329	v54m	
b75r	47.81	72.75	-3.76	72.85	357	m10o	



Siehe ähnliche Dateien: <http://www.ps.bam.de/Eg39/>; www.ps.bam.de/Version 2.1, io=1,1, ColSpx=1
 Technische Information: <http://www.ps.bam.de>

BAM-Registrierung: 20081001-Eg39/10L/L39G00NA.PS/.TXT BAM-Material: Code=rh4ta
 Anwendung für Beurteilung und Messung von Drucker- oder Monitorssystemen

Ein und Ausgabe: Farbmetrisches Drucker-Reflektiv-System ORS20_95a für relativen CIELAB-Bunton $h^* = lab^*h^* = h_{ab}/360 = 0.451$

Daten für jede Farbe:

lab^*tch^* und lab^*icu^*

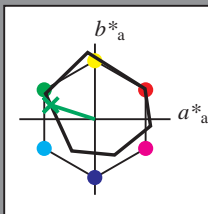
Buntontexte:

$u^*_e = g00b$ $u^*_d = l12c$

Kontrastreduzierungsfaktor:

$c_R = 1.0$

Dreiecks-Helligkeit i^*



ORS20_95a; CIELAB-Daten

	u^*_e	$L^*=L^*$	a^*	b^*	C^*_{ab}	h^*_{ab}
O _M	46.89	66.08	41.48	78.02	32	97
Y _M	88.66	-10.34	90.28	90.87	97	37
L _M	54.22	-65.51	35.22	74.38	152	152
C _M	61.43	-30.85	-40.54	50.94	233	233
V _M	25.93	26.15	-46.61	53.44	299	299
M _M	47.92	73.41	-7.8	73.82	354	354
N _M	20.41	0.28	0.64	0.7	66	66
W _M	94.64	-0.81	2.2	2.34	110	110
R _M	39.92	58.74	27.99	65.07	25	25
J _M	81.26	-2.89	71.56	71.62	92	92
G _M	52.23	-42.42	13.6	44.55	162	162
B _M	30.57	1.41	-46.47	46.49	272	272

Daten für Maximalfarbe (Ma):

$LAB^*LAB^*_{Ma}$: 56 -58 19

$LAB^*LCH^*_{Ma}$: 56 61 162

$lab^*rgb^*_{Ma}$: 0.0 1.0 0.0

$lab^*olv^*_{Ma}$: 0.0 1.0 0.12

Dreiecks-Helligkeit i^*

%Umfang

$u^*_{rel} = 87$

%Regularität

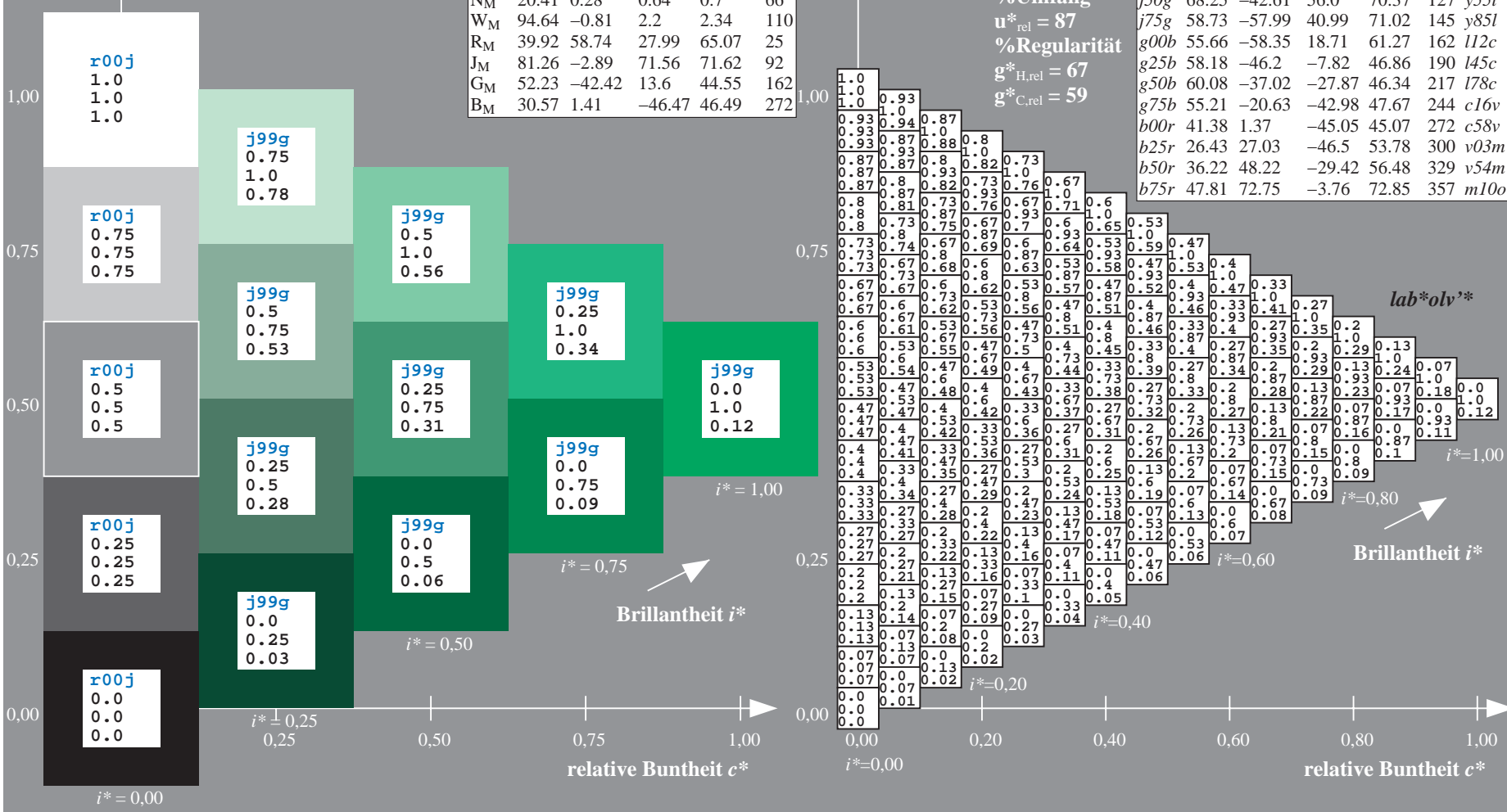
$g^*_{H,rel} = 67$

$g^*_{C,rel} = 59$

$u^*_e = g00b$
 lab^*olv^*

ORS20_95a; adaptierte CIELAB-Daten

	u^*_e	$L^*=L^*_a$	a^*_a	b^*_a	$C^*_{ab,a}$	$h^*_{ab,a}$	u^*_d
r00j	47.06	67.41	32.12	74.67	25	m84o	
r25j	53.95	53.38	48.38	72.04	42	o17y	
r50j	63.6	35.87	59.45	69.43	59	o42y	
r75j	73.37	18.14	70.66	72.95	76	o68y	
j00g	85.24	-3.4	84.28	84.35	92	o93y	
j25g	78.53	-25.99	72.23	76.76	110	y24l	
j50g	68.25	-42.61	56.0	70.37	127	y51l	
j75g	58.73	-57.99	40.99	71.02	145	y85l	
g00b	55.66	-58.35	18.71	61.27	162	l12c	
g25b	58.18	-46.2	-7.82	46.86	190	l45c	
g50b	60.08	-37.02	-27.87	46.34	217	l78c	
g75b	55.21	-20.63	-42.98	47.67	244	c16v	
b00r	41.38	1.37	-45.05	45.07	272	c58v	
b25r	26.43	27.03	-46.5	53.78	300	v03m	
b50r	36.22	48.22	-29.42	56.48	329	v54m	
b75r	47.81	72.75	-3.76	72.85	357	m10o	



Siehe ähnliche Dateien: <http://www.ps.bam.de/Eg39/>; www.ps.bam.de/Version 2.1, io=1,1, ColSpx=1
 Technische Information: <http://www.ps.bam.de>

BAM-Registrierung: 20081001-Eg39/10L/L39G00NA.PS/.TXT BAM-Material: Code=rh4ta
 Anwendung für Beurteilung und Messung von Drucker- oder Monitorssystemen

Ein und Ausgabe: Farbmetrisches Drucker-Reflektiv-System ORS20_95a für relativen CIELAB-Buntton $h^* = lab^*h^* = h_{ab}/360 = 0.527$

Daten für jede Farbe:

lab^*tch^* und lab^*icu^*

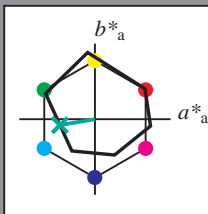
Bunttontexte:

$u^*_e = g25b$ $u^*_d = l45c$

Kontrastreduzierungsfaktor:

$c_R = 1.0$

Dreiecks-Helligkeit i^*



ORS20_95a; CIELAB-Daten						
	u^*_e	$L^*=L^*_a$	a^*	b^*	C^*_{ab}	h^*_{ab}
O _M	46.89	66.08	41.48	78.02	78.02	32
Y _M	88.66	-10.34	90.28	90.87	90.87	97
L _M	54.22	-65.51	35.22	74.38	74.38	152
C _M	61.43	-30.85	-40.54	50.94	50.94	233
V _M	25.93	26.15	-46.61	53.44	53.44	299
M _M	47.92	73.41	-7.8	73.82	73.82	354
N _M	20.41	0.28	0.64	0.7	0.7	66
W _M	94.64	-0.81	2.2	2.34	2.34	110
R _M	39.92	58.74	27.99	65.07	65.07	25
J _M	81.26	-2.89	71.56	71.62	71.62	92
G _M	52.23	-42.42	13.6	44.55	44.55	162
B _M	30.57	1.41	-46.47	46.49	46.49	272

Daten für Maximalfarbe (Ma):

$LAB^*LAB^*_{Ma}$: 58 -46 -8

$LAB^*LCH^*_{Ma}$: 58 47 189

$lab^*rgb^*_{Ma}$: 0.0 1.0 0.5

$lab^*olv^*_{Ma}$: 0.0 1.0 0.45

Dreiecks-Helligkeit i^*

%Umfang

$u^*_{rel} = 87$

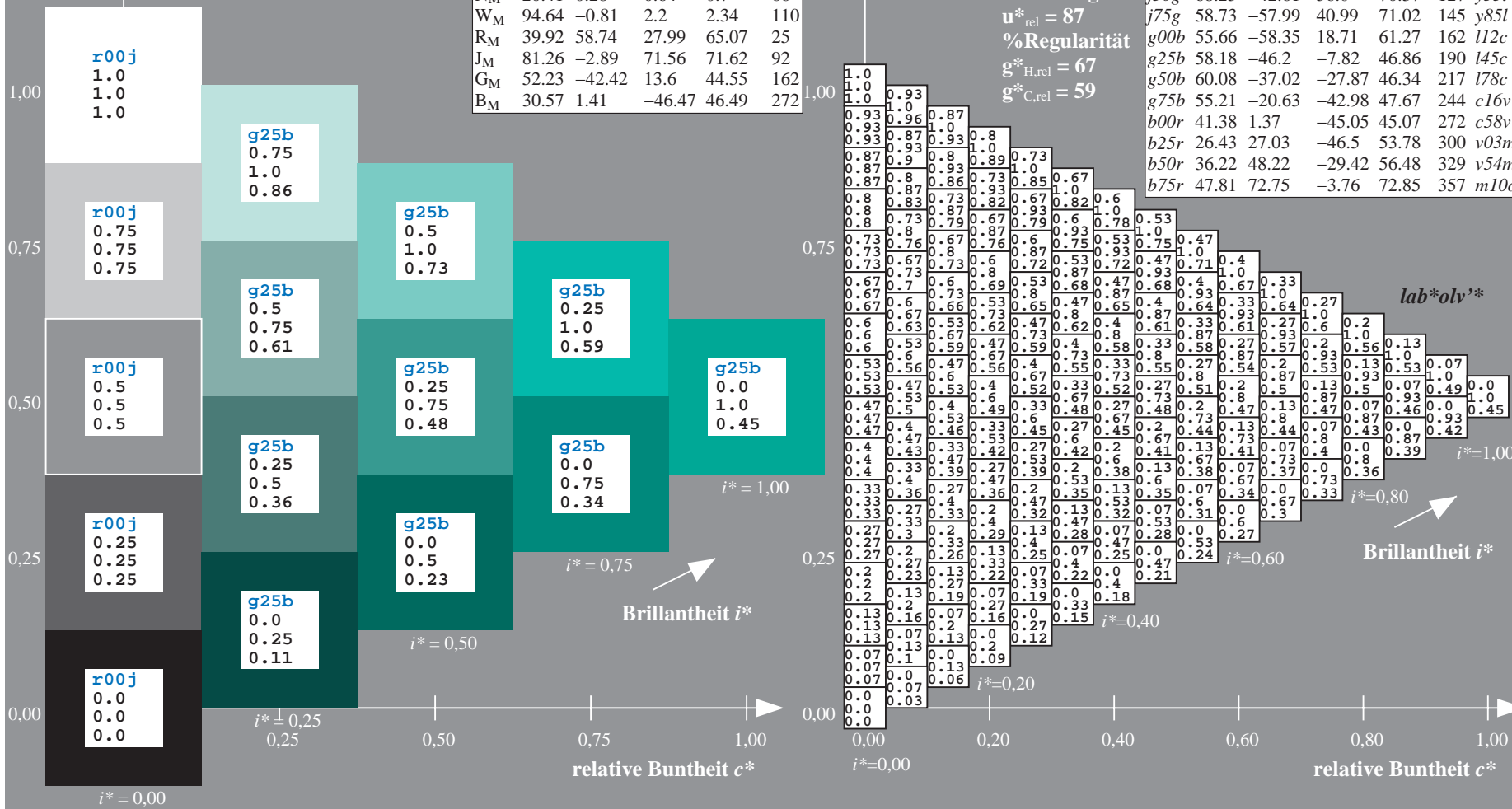
%Regularität

$g^*_{H,rel} = 67$

$g^*_{C,rel} = 59$

$u^*_e = g25b$
 lab^*olv^*

ORS20_95a; adaptierte CIELAB-Daten							
	u^*_e	$L^*=L^*_a$	a^*_a	b^*_a	$C^*_{ab,a}$	$h^*_{ab,a}$	u^*_d
r00j	47.06	67.41	32.12	74.67	25	m84o	
r25j	53.95	53.38	48.38	72.04	42	o17y	
r50j	63.6	35.87	59.45	69.43	59	o42y	
r75j	73.37	18.14	70.66	72.95	76	o68y	
j00g	85.24	-3.4	84.28	84.35	92	o93y	
j25g	78.53	-25.99	72.23	76.76	110	y24l	
j50g	68.25	-42.61	56.0	70.37	127	y51l	
j75g	58.73	-57.99	40.99	71.02	145	y85l	
g00b	55.66	-58.35	18.71	61.27	162	l12c	
g25b	58.18	-46.2	-7.82	46.86	190	l45c	
g50b	60.08	-37.02	-27.87	46.34	217	l78c	
g75b	55.21	-20.63	-42.98	47.67	244	c16v	
b00r	41.38	1.37	-45.05	45.07	272	c58v	
b25r	26.43	27.03	-46.5	53.78	300	v03m	
b50r	36.22	48.22	-29.42	56.48	329	v54m	
b75r	47.81	72.75	-3.76	72.85	357	m10o	



Siehe ähnliche Dateien: <http://www.ps.bam.de/Eg39/>; www.ps.bam.de/Version.2.1,io=1,1,Colspx=1
 Technische Information: <http://www.ps.bam.de>

BAM-Registrierung: 20081001-Eg39/10L/L39G00NA.PS/.TXT BAM-Material: Code=rh4ta
 Anwendung für Beurteilung und Messung von Drucker- oder Monitorssystemen

Ein und Ausgabe: Farbmetrisches Drucker-Reflektiv-System ORS20_95a für relativen CIELAB-Bunnton $h^* = lab^*h^* = h_{ab}/360 = 0.603$

Daten für jede Farbe:

lab^*tch^* und lab^*icu^*

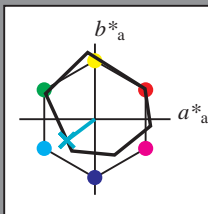
Bunntontexte:

$u^*_e = g50b$ $u^*_d = l78c$

Kontrastreduzierungsfaktor:

$c_R = 1.0$

Dreiecks-Helligkeit i^*



ORS20_95a; CIELAB-Daten						
	u^*_e	$L^*=L^*_a$	a^*	b^*	C^*_{ab}	h^*_{ab}
O _M	46.89	66.08	41.48	78.02	78.02	32
Y _M	88.66	-10.34	90.28	90.87	90.87	97
L _M	54.22	-65.51	35.22	74.38	74.38	152
C _M	61.43	-30.85	-40.54	50.94	50.94	233
V _M	25.93	26.15	-46.61	53.44	53.44	299
M _M	47.92	73.41	-7.8	73.82	73.82	354
N _M	20.41	0.28	0.64	0.7	0.7	66
W _M	94.64	-0.81	2.2	2.34	2.34	110
R _M	39.92	58.74	27.99	65.07	65.07	25
J _M	81.26	-2.89	71.56	71.62	71.62	92
G _M	52.23	-42.42	13.6	44.55	44.55	162
B _M	30.57	1.41	-46.47	46.49	46.49	272

Daten für Maximalfarbe (Ma):

$LAB^*LAB^*_{Ma}$: 60 -37 -28

$LAB^*LCH^*_{Ma}$: 60 46 216

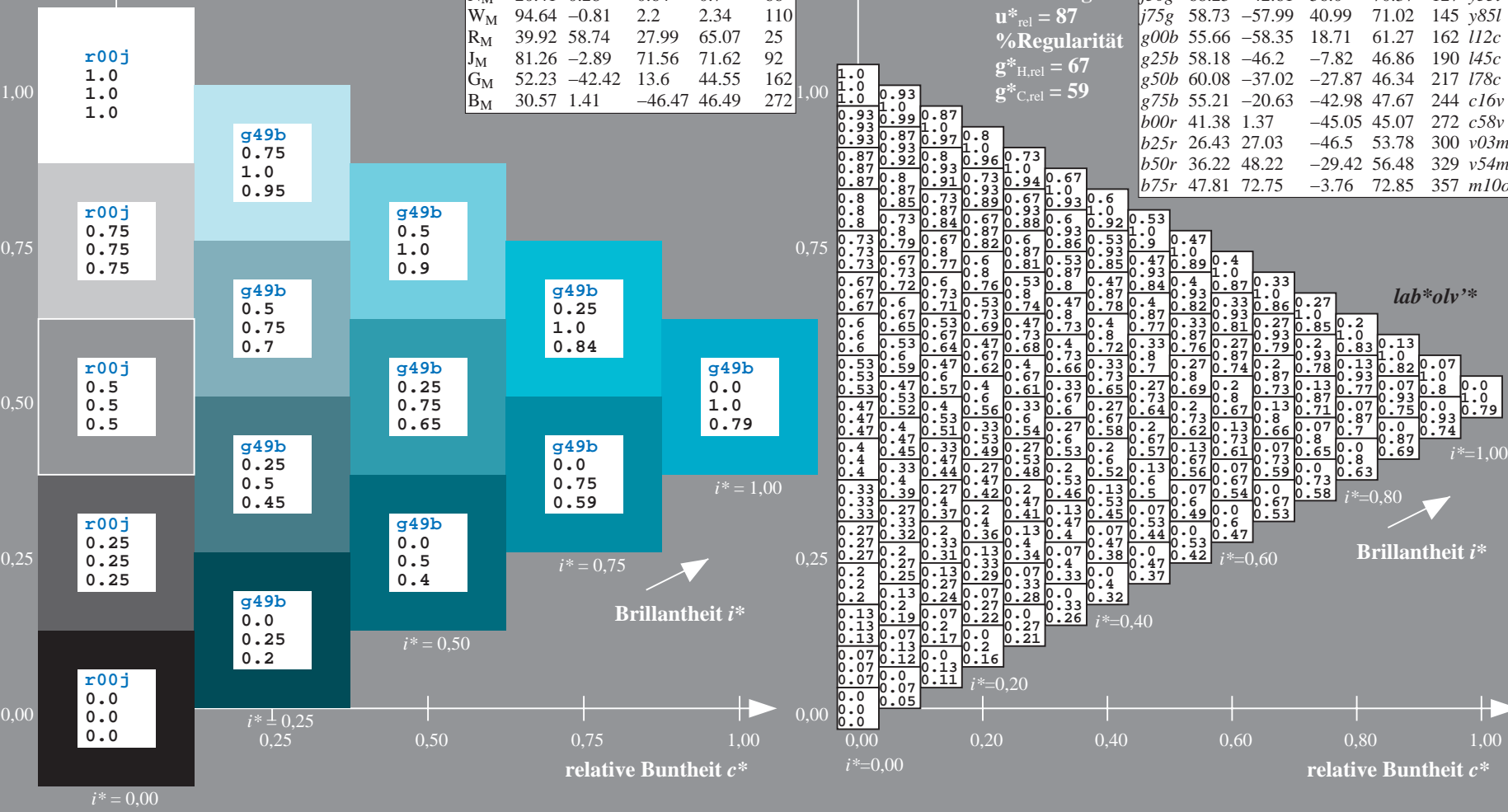
$lab^*rgb^*_{Ma}$: 0.0 1.0 1.0

$lab^*olv^*_{Ma}$: 0.0 1.0 0.79

Dreiecks-Helligkeit i^*

%Umfang
 $u^*_{rel} = 87$
 %Regularität
 $g^*_{H,rel} = 67$
 $g^*_{C,rel} = 59$

ORS20_95a; adaptierte CIELAB-Daten							
	u^*_e	$L^*=L^*_a$	a^*_a	b^*_a	$C^*_{ab,a}$	$h^*_{ab,a}$	u^*_d
r00j	47.06	67.41	32.12	74.67	25	m84o	
r25j	53.95	53.38	48.38	72.04	42	o17y	
r50j	63.6	35.87	59.45	69.43	59	o42y	
r75j	73.37	18.14	70.66	72.95	76	o68y	
j00g	85.24	-3.4	84.28	84.35	92	o93y	
j25g	78.53	-25.99	72.23	76.76	110	y24l	
j50g	68.25	-42.61	56.0	70.37	127	y51l	
j75g	58.73	-57.99	40.99	71.02	145	y85l	
g00b	55.66	-58.35	18.71	61.27	162	l12c	
g25b	58.18	-46.2	-7.82	46.86	190	l45c	
g50b	60.08	-37.02	-27.87	46.34	217	l78c	
g75b	55.21	-20.63	-42.98	47.67	244	c16v	
b00r	41.38	1.37	-45.05	45.07	272	c58v	
b25r	26.43	27.03	-46.5	53.78	300	v03m	
b50r	36.22	48.22	-29.42	56.48	329	v54m	
b75r	47.81	72.75	-3.76	72.85	357	m10o	



Siehe ähnliche Dateien: <http://www.ps.bam.de/Eg39/>; www.ps.bam.de/Version 2.1, io=1,1, ColSpX=1
 Technische Information: <http://www.ps.bam.de>

BAM-Registrierung: 20081001-Eg39/10L/L39G00NA.PS/.TXT BAM-Material: Code=rh4ta
 Anwendung für Beurteilung und Messung von Drucker- oder Monitorssystemen

Ein und Ausgabe: Farbmetrisches Drucker-Reflektiv-System ORS20_95a für relativen CIELAB-Bunnton $h^* = lab^*h^* = h_{ab}/360 = 0.679$

Daten für jede Farbe:

lab^*tch^* und lab^*icu^*

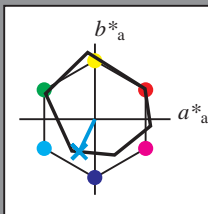
Bunntontexte:

$u^*_e = g75b$ $u^*_d = c16v$

Kontrastreduzierungsfaktor:

$c_R = 1.0$

Dreiecks-Helligkeit i^*



ORS20_95a; CIELAB-Daten

	u^*_e	$L^*=L^*_a$	a^*	b^*	C^*_{ab}	h^*_{ab}
O _M	46.89	66.08	41.48	78.02	32	97
Y _M	88.66	-10.34	90.28	90.87	97	97
L _M	54.22	-65.51	35.22	74.38	152	152
C _M	61.43	-30.85	-40.54	50.94	233	233
V _M	25.93	26.15	-46.61	53.44	299	299
M _M	47.92	73.41	-7.8	73.82	354	354
N _M	20.41	0.28	0.64	0.7	66	66
W _M	94.64	-0.81	2.2	2.34	110	110
R _M	39.92	58.74	27.99	65.07	25	25
J _M	81.26	-2.89	71.56	71.62	92	92
G _M	52.23	-42.42	13.6	44.55	162	162
B _M	30.57	1.41	-46.47	46.49	272	272

Daten für Maximalfarbe (Ma):

$LAB^*LAB^*_{Ma}$: 55 -21 -43

$LAB^*LCH^*_{Ma}$: 55 48 244

$lab^*rgb^*_{Ma}$: 0.0 0.5 1.0

$lab^*olv^*_{Ma}$: 0.0 0.84 1.0

Dreiecks-Helligkeit i^*

%Umfang

$u^*_{rel} = 87$

%Regularität

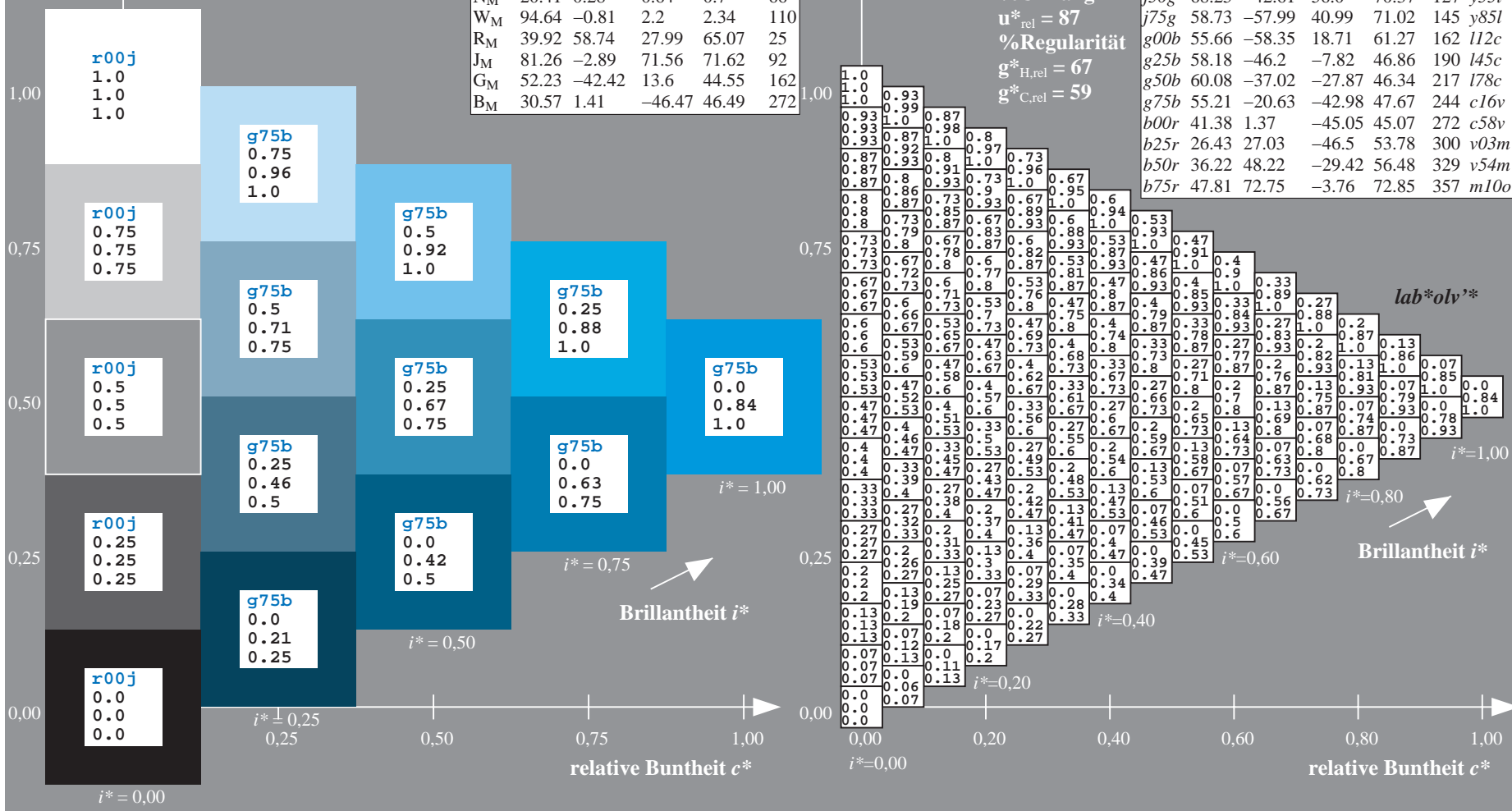
$g^*_{H,rel} = 67$

$g^*_{C,rel} = 59$

$u^*_e = g75b$
 lab^*olv^*

ORS20_95a; adaptierte CIELAB-Daten

	u^*_e	$L^*=L^*_a$	a^*_a	b^*_a	$C^*_{ab,a}$	$h^*_{ab,a}$	u^*_d
r00j	47.06	67.41	32.12	74.67	25	m84o	
r25j	53.95	53.38	48.38	72.04	42	o17y	
r50j	63.6	35.87	59.45	69.43	59	o42y	
r75j	73.37	18.14	70.66	72.95	76	o68y	
j00g	85.24	-3.4	84.28	84.35	92	o93y	
j25g	78.53	-25.99	72.23	76.76	110	y24l	
j50g	68.25	-42.61	56.0	70.37	127	y51l	
j75g	58.73	-57.99	40.99	71.02	145	y85l	
g00b	55.66	-58.35	18.71	61.27	162	l12c	
g25b	58.18	-46.2	-7.82	46.86	190	l45c	
g50b	60.08	-37.02	-27.87	46.34	217	l78c	
g75b	55.21	-20.63	-42.98	47.67	244	c16v	
b00r	41.38	1.37	-45.05	45.07	272	c58v	
b25r	26.43	27.03	-46.5	53.78	300	v03m	
b50r	36.22	48.22	-29.42	56.48	329	v54m	
b75r	47.81	72.75	-3.76	72.85	357	m10o	



Siehe ähnliche Dateien: <http://www.ps.bam.de/Eg39/>; www.ps.bam.de/Version.2.1,io=1,1,Colspx=1
 Technische Information: <http://www.ps.bam.de>

BAM-Registrierung: 20081001-Eg39/10L/L39G00NA.PS/.TXT BAM-Material: Code=rhatha
 Anwendung für Beurteilung und Messung von Drucker- oder Monitorssystemen

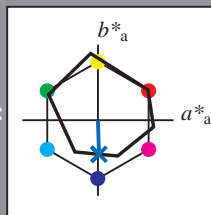
Ein und Ausgabe: Farbmetrisches Drucker-Reflektiv-System ORS20_95a für relativen CIELAB-Buntton $h^* = lab^*h^* = h_{ab}/360 = 0.755$

Daten für jede Farbe:
 lab^*ch^* und lab^*icu^*

Bunntontexte:
 $u^*_e = b00r$ $u^*_d = c58v$

Kontrastreduzierungsfaktor:
 $c_R = 1.0$

Dreiecks-Helligkeit i^*



ORS20_95a; CIELAB-Daten						
	u^*_e	$L^*=L^*_a$	a^*	b^*	C^*_{ab}	h^*_{ab}
O _M	46.89	66.08	41.48	78.02	32	97
Y _M	88.66	-10.34	90.28	90.87	97	97
L _M	54.22	-65.51	35.22	74.38	152	152
C _M	61.43	-30.85	-40.54	50.94	233	233
V _M	25.93	26.15	-46.61	53.44	299	299
M _M	47.92	73.41	-7.8	73.82	354	354
N _M	20.41	0.28	0.64	0.7	66	66
W _M	94.64	-0.81	2.2	2.34	110	110
R _M	39.92	58.74	27.99	65.07	25	25
J _M	81.26	-2.89	71.56	71.62	92	92
G _M	52.23	-42.42	13.6	44.55	162	162
B _M	30.57	1.41	-46.47	46.49	272	272

Daten für Maximalfarbe (Ma):

$LAB^*LAB^*_Ma$: 41 1 -45

$LAB^*LCH^*_Ma$: 41 45 271

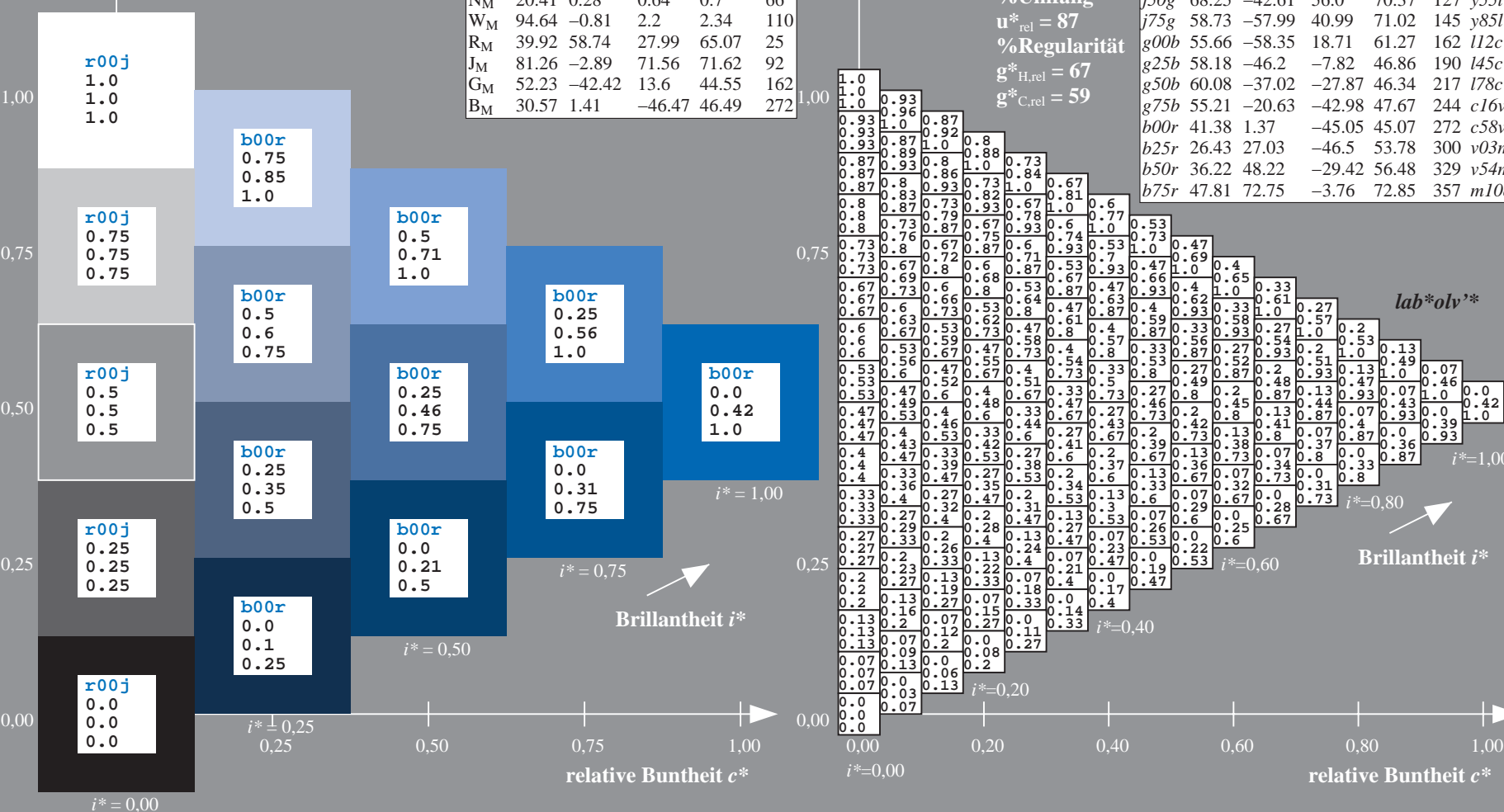
$lab^*rgb^*_Ma$: 0.0 0.0 1.0

$lab^*olv^*_Ma$: 0.0 0.42 1.0

Dreiecks-Helligkeit i^*

%Umfang
 $u^*_{rel} = 87$
 %Regularität
 $g^*_{H,rel} = 67$
 $g^*_{C,rel} = 59$

ORS20_95a; adaptierte CIELAB-Daten							
	u^*_e	$L^*=L^*_a$	a^*_a	b^*_a	$C^*_{ab,a}$	$h^*_{ab,a}$	u^*_d
r00j	47.06	67.41	32.12	74.67	25	m84o	
r25j	53.95	53.38	48.38	72.04	42	o17y	
r50j	63.6	35.87	59.45	69.43	59	o42y	
r75j	73.37	18.14	70.66	72.95	76	o68y	
j00g	85.24	-3.4	84.28	84.35	92	o93y	
j25g	78.53	-25.99	72.23	76.76	110	y24l	
j50g	68.25	-42.61	56.0	70.37	127	y51l	
j75g	58.73	-57.99	40.99	71.02	145	y85l	
g00b	55.66	-58.35	18.71	61.27	162	l12c	
g25b	58.18	-46.2	-7.82	46.86	190	l45c	
g50b	60.08	-37.02	-27.87	46.34	217	l78c	
g75b	55.21	-20.63	-42.98	47.67	244	c16v	
b00r	41.38	1.37	-45.05	45.07	272	c58v	
b25r	26.43	27.03	-46.5	53.78	300	v03m	
b50r	36.22	48.22	-29.42	56.48	329	v54m	
b75r	47.81	72.75	-3.76	72.85	357	m10o	



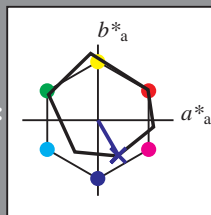
Ein und Ausgabe: Farbmetrisches Drucker-Reflektiv-System ORS20_95a für relativen CIELAB-Bunton $h^* = lab^*h^* = h_{ab}/360 = 0.834$

Daten für jede Farbe:
 lab^*tch^* und lab^*icu^*

Buntontexte:
 $u^*_e = b25r$ $u^*_d = v03m$

Kontrastreduzierungsfaktor:
 $c_R = 1.0$

Dreiecks-Helligkeit i^*



ORS20_95a; CIELAB-Daten						
	u^*_e	$L^*=L^*_a$	a^*	b^*	C^*_{ab}	h^*_{ab}
O _M	46.89	66.08	41.48	78.02	78.02	32
Y _M	88.66	-10.34	90.28	90.87	90.87	97
L _M	54.22	-65.51	35.22	74.38	74.38	152
C _M	61.43	-30.85	-40.54	50.94	50.94	233
V _M	25.93	26.15	-46.61	53.44	53.44	299
M _M	47.92	73.41	-7.8	73.82	73.82	354
N _M	20.41	0.28	0.64	0.7	0.66	66
W _M	94.64	-0.81	2.2	2.34	110	
R _M	39.92	58.74	27.99	65.07	25	
J _M	81.26	-2.89	71.56	71.62	92	
G _M	52.23	-42.42	13.6	44.55	162	
B _M	30.57	1.41	-46.47	46.49	272	

Daten für Maximalfarbe (Ma):

$LAB^*LAB^*_Ma$: 26 27 -46

$LAB^*LCH^*_Ma$: 26 54 300

$lab^*rgb^*_Ma$: 0.5 0.0 1.0

$lab^*olv^*_Ma$: 0.03 0.0 1.0

Dreiecks-Helligkeit i^*

%Umfang

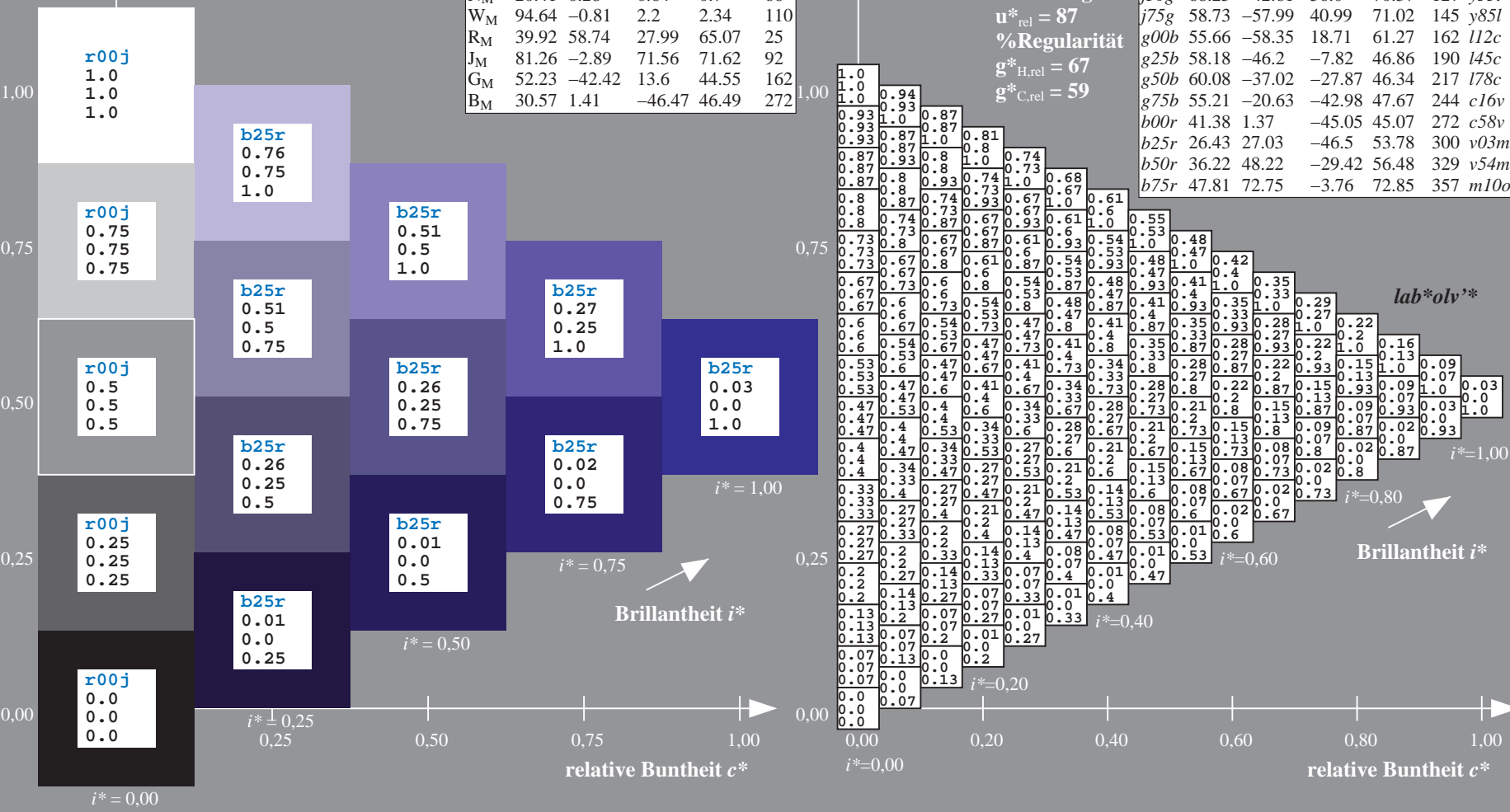
$u^*_{rel} = 87$

%Regularität

$g^*_{H,rel} = 67$

$g^*_{C,rel} = 59$

ORS20_95a; adaptierte CIELAB-Daten							
	u^*_e	$L^*=L^*_a$	a^*_a	b^*_a	$C^*_{ab,a}$	$h^*_{ab,a}$	u^*_d
r00j	47.06	67.41	32.12	74.67	25	m84o	
r25j	53.95	53.38	48.38	72.04	42	o17y	
r50j	63.6	35.87	59.45	69.43	59	o42y	
r75j	73.37	18.14	70.66	72.95	76	o68y	
j00g	85.24	-3.4	84.28	84.35	92	o93y	
j25g	78.53	-25.99	72.23	76.76	110	y24l	
j50g	68.25	-42.61	56.0	70.37	127	y51l	
j75g	58.73	-57.99	40.99	71.02	145	y85l	
g00b	55.66	-58.35	18.71	61.27	162	l12c	
g25b	58.18	-46.2	-7.82	46.86	190	l45c	
g50b	60.08	-37.02	-27.87	46.34	217	l78c	
g75b	55.21	-20.63	-42.98	47.67	244	c16v	
b00r	41.38	1.37	-45.05	45.07	272	c58v	
b25r	26.43	27.03	-46.5	53.78	300	v03m	
b50r	36.22	48.22	-29.42	56.48	329	v54m	
b75r	47.81	72.75	-3.76	72.85	357	m10o	

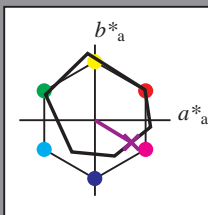


BAM-Registrierung: 20081001-Eg39/10L/L39G00NA.PS/.TXT BAM-Material: Code=rh4ta
 Anwendung für Beurteilung und Messung von Drucker- oder Monitorssystemen

Ein und Ausgabe: Farbmetrisches Drucker-Reflektiv-System ORS20_95a für relativen CIELAB-Bunton $h^* = lab^*h^* = h_{ab}/360 = 0.913$

Daten für jede Farbe:
 lab^*ch^* und lab^*icu^*

Buntontexte:
 $u^*_e = b50r$ $u^*_d = v54m$
 Kontrastreduzierungsfaktor:
 $c_R = 1.0$
 Dreiecks-Helligkeit i^*



ORS20_95a; CIELAB-Daten						
	u^*_e	$L^*=L^*_a$	a^*	b^*	C^*_{ab}	h^*_{ab}
O _M	46.89	66.08	41.48	78.02	78.02	32
Y _M	88.66	-10.34	90.28	90.87	90.87	97
L _M	54.22	-65.51	35.22	74.38	74.38	152
C _M	61.43	-30.85	-40.54	50.94	50.94	233
V _M	25.93	26.15	-46.61	53.44	53.44	299
M _M	47.92	73.41	-7.8	73.82	73.82	354
N _M	20.41	0.28	0.64	0.7	0.66	66
W _M	94.64	-0.81	2.2	2.34	110	110
R _M	39.92	58.74	27.99	65.07	25	25
J _M	81.26	-2.89	71.56	71.62	92	92
G _M	52.23	-42.42	13.6	44.55	162	162
B _M	30.57	1.41	-46.47	46.49	272	272

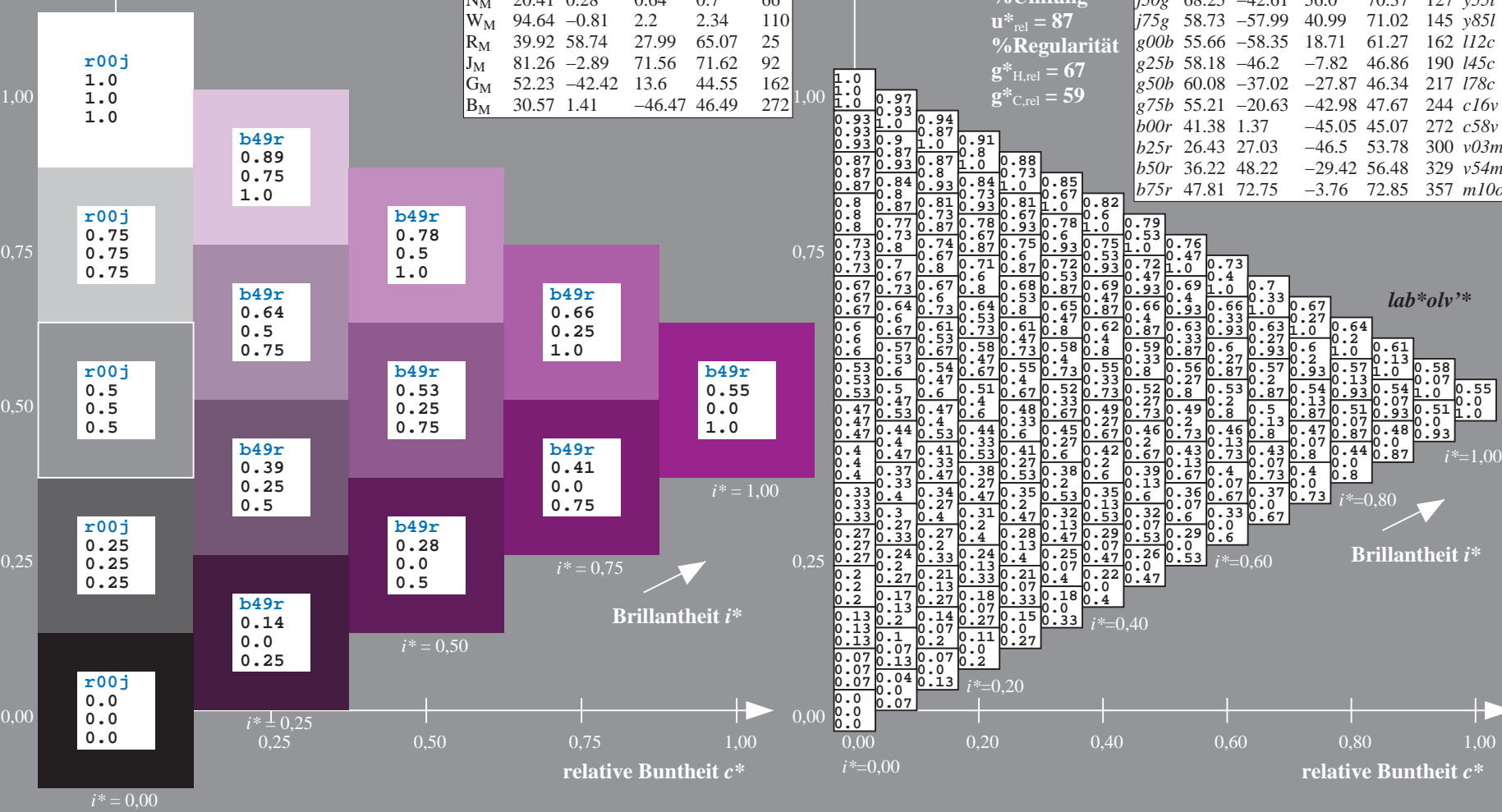
Daten für Maximalfarbe (Ma):

$LAB^*LAB^*_Ma$: 36 48 -29
 $LAB^*LCH^*_Ma$: 36 56 328
 $lab^*rgb^*_Ma$: 1.0 0.0 1.0
 $lab^*olv^*_Ma$: 0.55 0.0 1.0

Dreiecks-Helligkeit i^*

%Umfang
 $u^*_{rel} = 87$
 %Regularität
 $g^*_{H,rel} = 67$
 $g^*_{C,rel} = 59$

ORS20_95a; adaptierte CIELAB-Daten							
	u^*_e	$L^*=L^*_a$	a^*_a	b^*_a	$C^*_{ab,a}$	$h^*_{ab,a}$	u^*_d
r00j	47.06	67.41	32.12	74.67	25	m84o	
r25j	53.95	53.38	48.38	72.04	42	o17y	
r50j	63.6	35.87	59.45	69.43	59	o42y	
r75j	73.37	18.14	70.66	72.95	76	o68y	
j00g	85.24	-3.4	84.28	84.35	92	o93y	
j25g	78.53	-25.99	72.23	76.76	110	y24l	
j50g	68.25	-42.61	56.0	70.37	127	y51l	
j75g	58.73	-57.99	40.99	71.02	145	y85l	
g00b	55.66	-58.35	18.71	61.27	162	l12c	
g25b	58.18	-46.2	-7.82	46.86	190	l45c	
g50b	60.08	-37.02	-27.87	46.34	217	l78c	
g75b	55.21	-20.63	-42.98	47.67	244	c16v	
b00r	41.38	1.37	-45.05	45.07	272	c58v	
b25r	26.43	27.03	-46.5	53.78	300	v03m	
b50r	36.22	48.22	-29.42	56.48	329	v54m	
b75r	47.81	72.75	-3.76	72.85	357	m10o	



Siehe ähnliche Dateien: <http://www.ps.bam.de/Eg39/>; www.ps.bam.de/Eg39/HTM
 Technische Information: <http://www.ps.bam.de> Version 2.1, io=1,1, ColSpx=1

BAM-Registrierung: 20081001-Eg39/10L/L39G00NA.PS/.TXT BAM-Material: Code=rh4ta
 Anwendung für Beurteilung und Messung von Drucker- oder Monitorssystemen

Ein und Ausgabe: Farbmetrisches Drucker-Reflektiv-System ORS20_95a für relativen CIELAB-Buntton $h^* = lab^*h^* = h_{ab}/360 = 0.992$

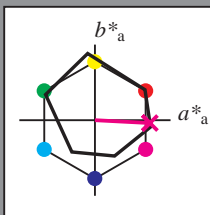
Daten für jede Farbe:
 lab^*tch^* und lab^*icu^*

Bunttontexte:

$u^*_e = b75r$ $u^*_d = m10o$

Kontrastreduzierungsfaktor:
 $c_R = 1.0$

Dreiecks-Helligkeit i^*



ORS20_95a; CIELAB-Daten						
	u^*_e	$L^*=L^*_a$	a^*	b^*	C^*_{ab}	h^*_{ab}
O _M	46.89	66.08	41.48	78.02	32	97
Y _M	88.66	-10.34	90.28	90.87	97	97
L _M	54.22	-65.51	35.22	74.38	152	152
C _M	61.43	-30.85	-40.54	50.94	233	233
V _M	25.93	26.15	-46.61	53.44	299	299
M _M	47.92	73.41	-7.8	73.82	354	354
N _M	20.41	0.28	0.64	0.7	66	66
W _M	94.64	-0.81	2.2	2.34	110	110
R _M	39.92	58.74	27.99	65.07	25	25
J _M	81.26	-2.89	71.56	71.62	92	92
G _M	52.23	-42.42	13.6	44.55	162	162
B _M	30.57	1.41	-46.47	46.49	272	272

Daten für Maximalfarbe (Ma):

$LAB^*LAB^*_{Ma}: 48\ 73\ -4$

$LAB^*LCH^*_{Ma}: 48\ 73\ 357$

$lab^*rgb^*_{Ma}: 1.0\ 0.0\ 0.5$

$lab^*olv^*_{Ma}: 1.0\ 0.0\ 0.89$

Dreiecks-Helligkeit i^*

%Umfang

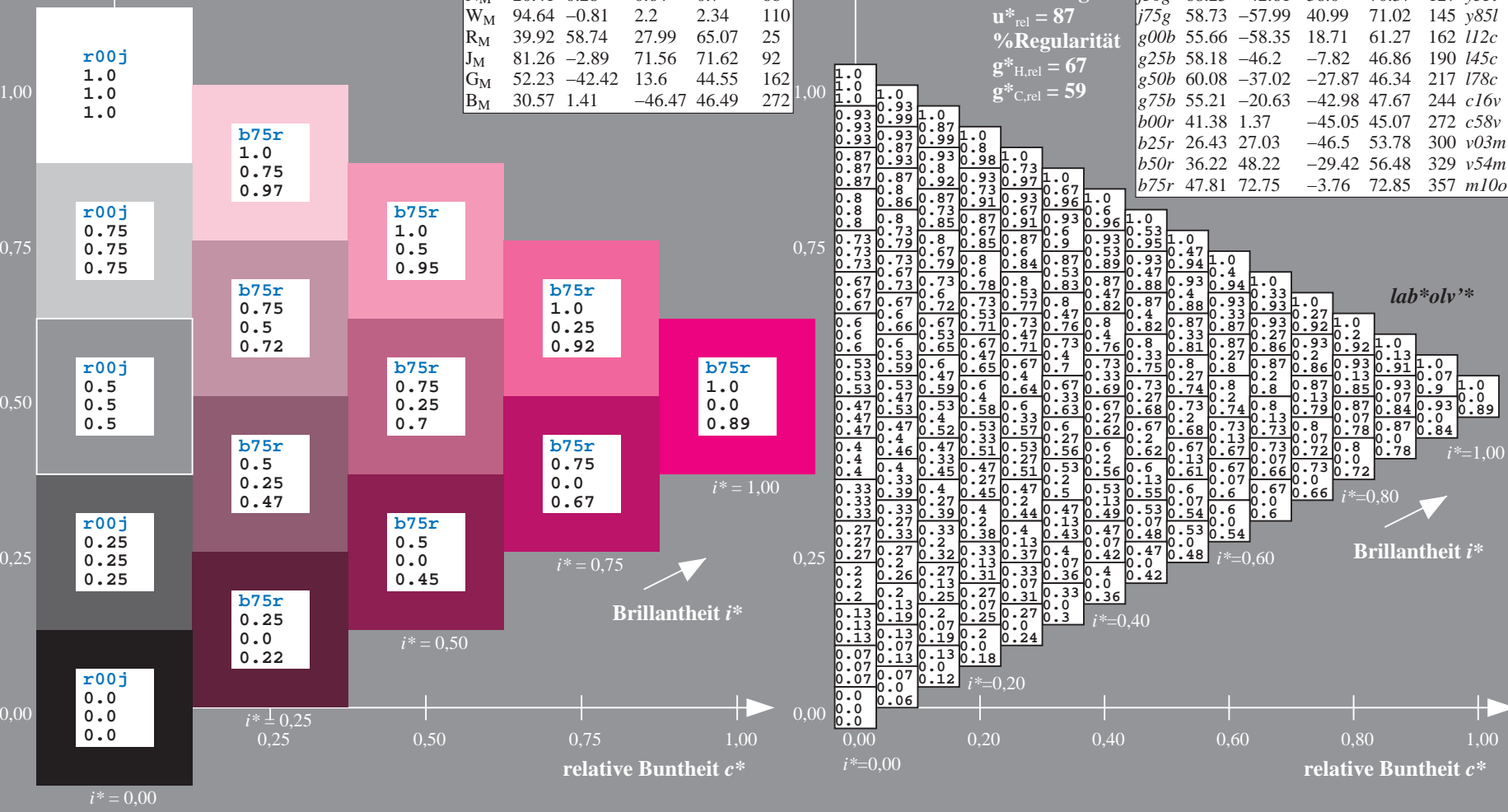
$u^*_{rel} = 87$

%Regularität

$g^*_{H,rel} = 67$

$g^*_{C,rel} = 59$

ORS20_95a; adaptierte CIELAB-Daten							
	u^*_e	$L^*=L^*_a$	a^*_a	b^*_a	$C^*_{ab,a}$	$h^*_{ab,a}$	u^*_d
r00j	47.06	67.41	32.12	74.67	25	m84o	
r25j	53.95	53.38	48.38	72.04	42	o17y	
r50j	63.6	35.87	59.45	69.43	59	o42y	
r75j	73.37	18.14	70.66	72.95	76	o68y	
j00g	85.24	-3.4	84.28	84.35	92	o93y	
j25g	78.53	-25.99	72.23	76.76	110	y24l	
j50g	68.25	-42.61	56.0	70.37	127	y51l	
j75g	58.73	-57.99	40.99	71.02	145	y85l	
g00b	55.66	-58.35	18.71	61.27	162	l12c	
g25b	58.18	-46.2	-7.82	46.86	190	l45c	
g50b	60.08	-37.02	-27.87	46.34	217	l78c	
g75b	55.21	-20.63	-42.98	47.67	244	c16v	
b00r	41.38	1.37	-45.05	45.07	272	c58v	
b25r	26.43	27.03	-46.5	53.78	300	v03m	
b50r	36.22	48.22	-29.42	56.48	329	v54m	
b75r	47.81	72.75	-3.76	72.85	357	m10o	



Siehe ähnliche Dateien: <http://www.ps.bam.de/Eg39/>; [www.ps.bam.de/Version 2.1, io=1,1, Colspx=1](http://www.ps.bam.de/Version2.1,io=1,1,Colspx=1)
Technische Information: <http://www.ps.bam.de>

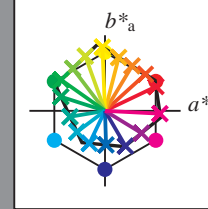
BAM-Registrierung: 20081001-Eg39/10L/L39G00NA.PS/.TXT BAM-Material: Code=thata
Anwendung für Beurteilung und Messung von Drucker- oder Monitorsystemen

	A	B	C	D	E	F	G	H	I	J	K	L	M	N	O	P	Q	R	S	T	U	V	W	X	Y	Z	a	b	c	d	e	f	g	h	i	j	k	lab*oly*			
01	0.0	0.0	0.0	0.0	0.0	0.0	0.0	0.0	0.0	0.13	0.12	0.12	0.12	0.12	0.12	0.12	0.12	0.12	0.25	0.25	0.25	0.25	0.25	0.25	0.25	0.25	0.25	1.0	1.0	1.0	1.0	1.0	1.0	1.0	1.0	1.0	1.0	0.0	0.0	0.0	0.0
02	0.0	0.13	0.25	0.38	0.5	0.63	0.75	0.88	1.0	0.0	0.13	0.12	0.12	0.12	0.12	0.12	0.12	0.12	0.25	0.25	0.25	0.25	0.25	0.25	0.25	0.25	0.25	1.0	1.0	1.0	1.0	1.0	1.0	1.0	1.0	1.0	1.0	0.0	0.0	0.0	0.0
03	0.0	0.0	0.0	0.0	0.0	0.0	0.0	0.0	0.0	0.0	0.13	0.13	0.13	0.13	0.13	0.13	0.13	0.13	0.25	0.25	0.25	0.25	0.25	0.25	0.25	0.25	0.25	1.0	1.0	1.0	1.0	1.0	1.0	1.0	1.0	1.0	1.0	0.0	0.0	0.0	0.0
04	0.0	0.12	0.25	0.38	0.5	0.63	0.75	0.88	1.0	0.0	0.13	0.13	0.13	0.13	0.13	0.13	0.13	0.13	0.25	0.25	0.25	0.25	0.25	0.25	0.25	0.25	0.25	1.0	1.0	1.0	1.0	1.0	1.0	1.0	1.0	1.0	1.0	0.0	0.0	0.0	0.0
05	0.0	0.0	0.0	0.0	0.0	0.0	0.0	0.0	0.0	0.0	0.13	0.13	0.13	0.13	0.13	0.13	0.13	0.13	0.25	0.25	0.25	0.25	0.25	0.25	0.25	0.25	0.25	1.0	1.0	1.0	1.0	1.0	1.0	1.0	1.0	1.0	1.0	0.0	0.0	0.0	0.0
06	0.0	0.12	0.25	0.37	0.5	0.63	0.75	0.88	1.0	0.0	0.13	0.13	0.13	0.13	0.13	0.13	0.13	0.13	0.25	0.25	0.25	0.25	0.25	0.25	0.25	0.25	0.25	1.0	1.0	1.0	1.0	1.0	1.0	1.0	1.0	1.0	1.0	0.0	0.0	0.0	0.0
07	0.0	0.0	0.0	0.0	0.0	0.0	0.0	0.0	0.0	0.0	0.13	0.13	0.13	0.13	0.13	0.13	0.13	0.13	0.25	0.25	0.25	0.25	0.25	0.25	0.25	0.25	0.25	1.0	1.0	1.0	1.0	1.0	1.0	1.0	1.0	1.0	1.0	0.0	0.0	0.0	0.0
08	0.0	0.12	0.25	0.37	0.5	0.62	0.75	0.87	1.0	0.0	0.13	0.13	0.13	0.13	0.13	0.13	0.13	0.13	0.25	0.25	0.25	0.25	0.25	0.25	0.25	0.25	0.25	1.0	1.0	1.0	1.0	1.0	1.0	1.0	1.0	1.0	1.0	0.0	0.0	0.0	0.0
09	0.0	0.0	0.0	0.0	0.0	0.0	0.0	0.0	0.0	0.0	0.13	0.13	0.13	0.13	0.13	0.13	0.13	0.13	0.25	0.25	0.25	0.25	0.25	0.25	0.25	0.25	0.25	1.0	1.0	1.0	1.0	1.0	1.0	1.0	1.0	1.0	1.0	0.0	0.0	0.0	0.0
10	0.38	0.38	0.38	0.37	0.37	0.37	0.37	0.37	0.37	0.5	0.5	0.5	0.5	0.5	0.5	0.5	0.5	0.5	0.63	0.63	0.63	0.63	0.63	0.63	0.63	0.63	0.63	1.0	1.0	1.0	1.0	1.0	1.0	1.0	1.0	1.0	1.0	0.0	0.0	0.0	0.0
11	0.38	0.38	0.38	0.37	0.37	0.37	0.37	0.37	0.37	0.5	0.5	0.5	0.5	0.5	0.5	0.5	0.5	0.5	0.63	0.63	0.63	0.63	0.63	0.63	0.63	0.63	0.63	1.0	1.0	1.0	1.0	1.0	1.0	1.0	1.0	1.0	1.0	0.0	0.0	0.0	0.0
12	0.38	0.38	0.38	0.37	0.37	0.37	0.37	0.37	0.37	0.5	0.5	0.5	0.5	0.5	0.5	0.5	0.5	0.5	0.63	0.63	0.63	0.63	0.63	0.63	0.63	0.63	0.63	1.0	1.0	1.0	1.0	1.0	1.0	1.0	1.0	1.0	1.0	0.0	0.0	0.0	0.0
13	0.25	0.25	0.25	0.25	0.25	0.25	0.25	0.25	0.25	0.25	0.25	0.25	0.25	0.25	0.25	0.25	0.25	0.25	0.25	0.25	0.25	0.25	0.25	0.25	0.25	0.25	0.25	1.0	1.0	1.0	1.0	1.0	1.0	1.0	1.0	1.0	1.0	0.0	0.0	0.0	0.0
14	0.37	0.37	0.37	0.38	0.38	0.38	0.38	0.38	0.38	0.5	0.5	0.5	0.5	0.5	0.5	0.5	0.5	0.5	0.63	0.63	0.63	0.63	0.63	0.63	0.63	0.63	0.63	1.0	1.0	1.0	1.0	1.0	1.0	1.0	1.0	1.0	1.0	0.0	0.0	0.0	0.0
15	0.37	0.37	0.37	0.38	0.38	0.38	0.38	0.38	0.38	0.5	0.5	0.5	0.5	0.5	0.5	0.5	0.5	0.5	0.62	0.62	0.62	0.62	0.63	0.63	0.63	0.63	0.63	1.0	1.0	1.0	1.0	1.0	1.0	1.0	1.0	1.0	1.0	0.0	0.0	0.0	0.0
16	0.37	0.37	0.37	0.38	0.38	0.38	0.38	0.38	0.38	0.5	0.5	0.5	0.5	0.5	0.5	0.5	0.5	0.5	0.62	0.62	0.62	0.62	0.63	0.63	0.63	0.63	0.63	1.0	1.0	1.0	1.0	1.0	1.0	1.0	1.0	1.0	1.0	0.0	0.0	0.0	0.0
17	0.37	0.37	0.37	0.38	0.38	0.38	0.38	0.38	0.38	0.5	0.5	0.5	0.5	0.5	0.5	0.5	0.5	0.5	0.62	0.62	0.62	0.62	0.63	0.63	0.63	0.63	0.63	1.0	1.0	1.0	1.0	1.0	1.0	1.0	1.0	1.0	1.0	0.0	0.0	0.0	0.0
18	0.37	0.37	0.37	0.38	0.38	0.38	0.38	0.38	0.38	0.5	0.5	0.5	0.5	0.5	0.5	0.5	0.5	0.5	0.62	0.62	0.62	0.62	0.63	0.63	0.63	0.63	0.63	1.0	1.0	1.0	1.0	1.0	1.0	1.0	1.0	1.0	1.0	0.0	0.0	0.0	0.0
19	0.75	0.75	0.75	0.75	0.75	0.75	0.75	0.75	0.75	0.75	0.75	0.75	0.75	0.75	0.75	0.75	0.75	0.75	0.75	0.75	0.75	0.75	0.75	0.75	0.75	0.75	0.75	1.0	1.0	1.0	1.0	1.0	1.0	1.0	1.0	1.0	1.0	0.0	0.0	0.0	0.0
20	0.75	0.75	0.75	0.75	0.75	0.75	0.75	0.75	0.75	0.75	0.75	0.75	0.75	0.75	0.75	0.75	0.75	0.75	0.75	0.75	0.75	0.75	0.75	0.75	0.75	0.75	0.75	1.0	1.0	1.0	1.0	1.0	1.0	1.0	1.0	1.0	1.0	0.0	0.0	0.0	0.0
21	0.25	0.25	0.25	0.25	0.25	0.25	0.25	0.25	0.25	0.25	0.25	0.25	0.25	0.25	0.25	0.25	0.25	0.25	0.25	0.25	0.25	0.25	0.25	0.25	0.25	0.25	0.25	1.0	1.0	1.0	1.0	1.0	1.0	1.0	1.0	1.0	1.0	0.0	0.0	0.0	0.0
22	0.0	0.13	0.25	0.38	0.5	0.62	0.75	0.88	1.0	0.0	0.13	0.13	0.13	0.13	0.13	0.13	0.13	0.13	0.25	0.25	0.25	0.25	0.25	0.25	0.25	0.25	0.25	1.0	1.0	1.0	1.0	1.0	1.0	1.0	1.0	1.0	1.0	0.0	0.0	0.0	0.0
23	0.37	0.37	0.37	0.38	0.38	0.38	0.38	0.38	0.38	0.5	0.5	0.5	0.5	0.5	0.5	0.5	0.5	0.5	0.62	0.62	0.62	0.62	0.63	0.63	0.63	0.63	0.63	1.0	1.0	1.0	1.0	1.0	1.0	1.0	1.0	1.0	1.0	0.0	0.0	0.0	0.0
24	0.75	0.75	0.75	0.75	0.75	0.75	0.75	0.75	0.75	0.75	0.75	0.75	0.75	0.75	0.75	0.75	0.75	0.75	0.75	0.75	0.75	0.75	0.75	0.75	0.75	0.75	0.75	1.0	1.0	1.0	1.0	1.0	1.0	1.0	1.0	1.0	1.0	0.0	0.0	0.0	0.0
25	0.62	0.62	0.62	0.62	0.62	0.63	0.63	0.63	0.63	0.62	0.62	0.62	0.62	0.62	0.62	0.62	0.62	0.62	0.62	0.62	0.62	0.62	0.62	0.62	0.62	0.62	0.62	1.0	1.0	1.0	1.0	1.0	1.0	1.0	1.0	1.0	1.0	0.0	0.0	0.0	0.0
26	0.75	0.75	0.75	0.75	0.75	0.75	0.75	0.75	0.75	0.75	0.75	0.75	0.75	0.75	0.75	0.75	0.75	0.75	0.75	0.75	0.75	0.75	0.75	0.75	0.75	0.75	0.75	1.0	1.0	1.0	1.0	1.0	1.0	1.0	1.0	1.0	1.0	0.0	0.0	0.0	0.0
27	0.75	0.75	0.75	0.75	0.75	0.75	0.75	0.75	0.75	0.75	0.75	0.75	0.75	0.75	0.75	0.75	0.75	0.75	0.75	0.75	0.75	0.75	0.75	0.75	0.75	0.75	0.75	1.0	1.0	1.0	1.0	1.0	1.0	1.0	1.0	1.0	1.0	0.0	0.0	0.0	0.0

Ein und Ausgabe:
 Farbmetrisches Drucker-Reflektiv-System ORS20_95a
 Daten für jede Farbe:
 u^*_e und Nummer *Nr.* = 00 .. 15
 Elementar-Bunttext:
 $u^*_e = 16$ Bunttoene *r00j, r25j, ..., b75r*
 Kontrastreduzierungsfaktor:
 $c_R = 1.0$

ORS20_95a; adaptierte CIELAB-Daten

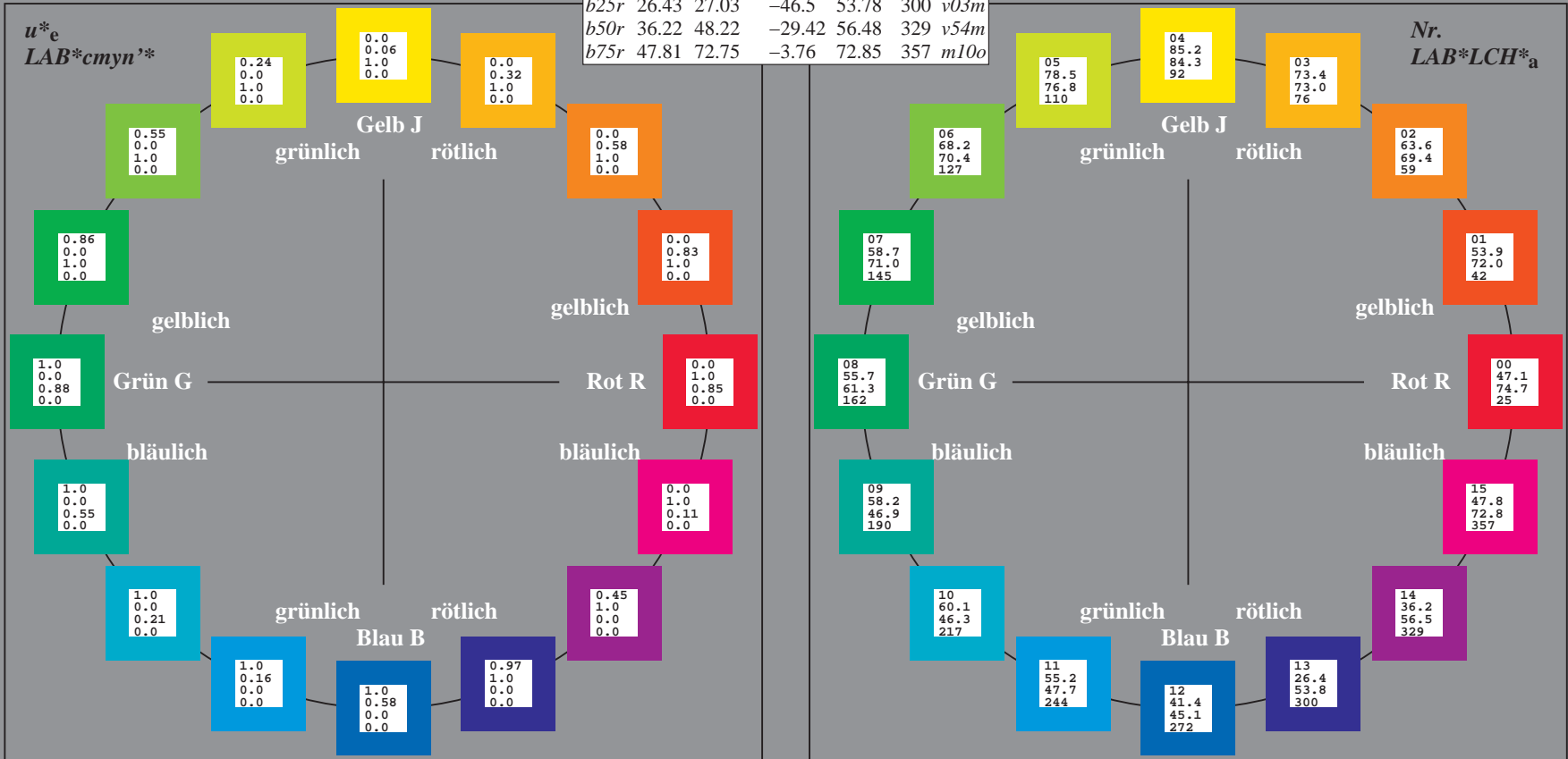
u^*_e	$L^*=L^*_a$	a^*_a	b^*_a	$C^*_{ab,a}$	$h^*_{ab,a}$	u^*_d
r00j	47.06	67.41	32.12	74.67	25	m84o
r25j	53.95	53.38	48.38	72.04	42	o17y
r50j	63.6	35.87	59.45	69.43	59	o42y
r75j	73.37	18.14	70.66	72.95	76	o68y
j00g	85.24	-3.4	84.28	84.35	92	o93y
j25g	78.53	-25.99	72.23	76.76	110	y24l
j50g	68.25	-42.61	56.0	70.37	127	y55l
j75g	58.73	-57.99	40.99	71.02	145	y85l
g00b	55.66	-58.35	18.71	61.27	162	l12c
g25b	58.18	-46.2	-7.82	46.86	190	l45c
g50b	60.08	-37.02	-27.87	46.34	217	l78c
g75b	55.21	-20.63	-42.98	47.67	244	c16v
b00r	41.38	1.37	-45.05	45.07	272	c58v
b25r	26.43	27.03	-46.5	53.78	300	v03m
b50r	36.22	48.22	-29.42	56.48	329	v54m
b75r	47.81	72.75	-3.76	72.85	357	m10o



%Umfang
 $u^*_{rel} = 87$
 %Regularität
 $g^*_{H,rel} = 67$
 $g^*_{C,rel} = 59$

ORS20_95a; CIELAB-Daten

Name	$L^*=L^*$	a^*	b^*	C^*_{ab}	h^*_{ab}
O _M	46.89	66.08	41.48	78.02	32
Y _M	88.66	-10.34	90.28	90.87	97
L _M	54.22	-65.51	35.22	74.38	152
C _M	61.43	-30.85	-40.54	50.94	233
V _M	25.93	26.15	-46.61	53.44	299
M _M	47.92	73.41	-7.8	73.82	354
N _M	20.41	0.28	0.64	0.7	66
W _M	94.64	-0.81	2.2	2.34	110
R _{CIE}	39.92	58.74	27.99	65.07	92
J _{CIE}	81.26	-2.89	71.56	71.62	25
G _{CIE}	52.23	-42.42	13.6	44.55	162
B _{CIE}	30.57	1.41	-46.47	46.49	272



Siehe ähnliche Dateien: <http://www.ps.bam.de/Eg39/>; www.ps.bam.de/Eg.HTM
 Technische Information: <http://www.ps.bam.de> Version 2.1, io=1,1, ColSpX=1

BAM-Registrierung: 20081001-Eg39/10L/L39G00NA.PS/ .TXT BAM-Material: Code=rhatha
 Anwendung für Beurteilung und Messung von Drucker- oder Monitorssystemen

Ein und Ausgabe: Farbmetrisches Drucker-Reflektiv-System ORS20_95a für relativen CIELAB-Bunton $h^* = lab^*h^* = h_{ab}/360 = 0.071$

Daten für jede Farbe:
 lab^*ch^* und lab^*icu^*

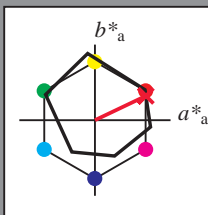
Buntontexte:

$u^*_e = r00j$ $u^*_d = m84o$

Kontrastreduzierungsfaktor:

$c_R = 1.0$

Dreiecks-Helligkeit i^*



ORS20_95a; CIELAB-Daten

u^*_e	$L^*=L^*$	a^*	b^*	C^*_{ab}	h^*_{ab}
O _M	46.89	66.08	41.48	78.02	32
Y _M	88.66	-10.34	90.28	90.87	97
L _M	54.22	-65.51	35.22	74.38	152
C _M	61.43	-30.85	-40.54	50.94	233
V _M	25.93	26.15	-46.61	53.44	299
M _M	47.92	73.41	-7.8	73.82	354
N _M	20.41	0.28	0.64	0.7	66
W _M	94.64	-0.81	2.2	2.34	110
R _M	39.92	58.74	27.99	65.07	25
J _M	81.26	-2.89	71.56	71.62	92
G _M	52.23	-42.42	13.6	44.55	162
B _M	30.57	1.41	-46.47	46.49	272

Daten für Maximalfarbe (Ma):

$LAB^*LAB^*_{Ma}$: 47 67 32

$LAB^*LCH^*_{Ma}$: 47 75 25

$lab^*rgb^*_{Ma}$: 1.0 0.0 0.0

$lab^*olv^*_{Ma}$: 1.0 0.0 0.15

Dreiecks-Helligkeit i^*

%Umfang

$u^*_{rel} = 87$

%Regularität

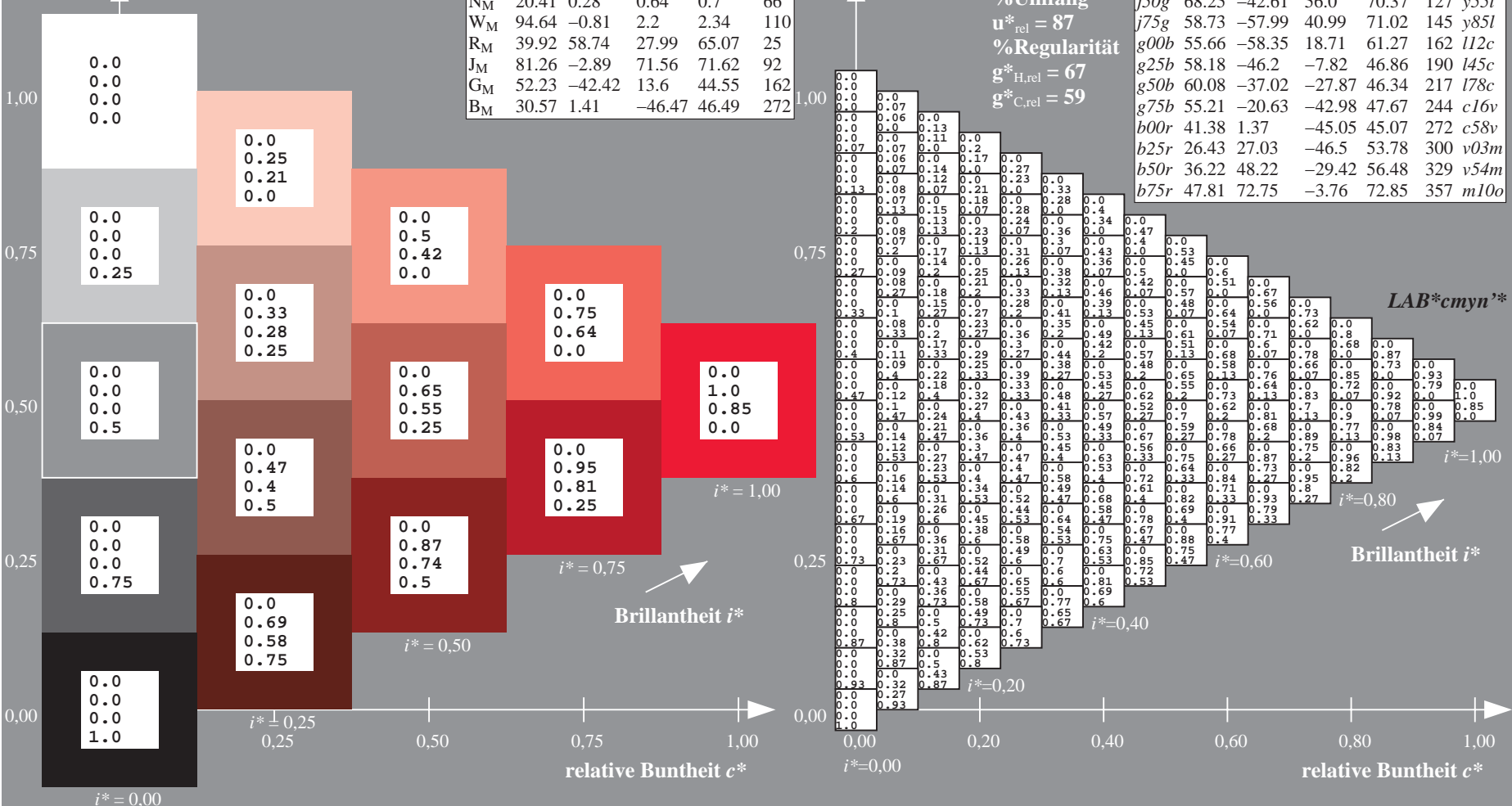
$g^*_{H,rel} = 67$

$g^*_{C,rel} = 59$

$u^*_e = r00j$
 $LAB^*cmy^n^*$

ORS20_95a; adaptierte CIELAB-Daten

u^*_e	$L^*=L^*_a$	a^*_a	b^*_a	$C^*_{ab,a}$	$h^*_{ab,a}$	u^*_d
r00j	47.06	67.41	32.12	74.67	25	m84o
r25j	53.95	53.38	48.38	72.04	42	o17y
r50j	63.6	35.87	59.45	69.43	59	o42y
r75j	73.37	18.14	70.66	72.95	76	o68y
j00g	85.24	-3.4	84.28	84.35	92	o93y
j25g	78.53	-25.99	72.23	76.76	110	y24l
j50g	68.25	-42.61	56.0	70.37	127	y51l
j75g	58.73	-57.99	40.99	71.02	145	y85l
g00b	55.66	-58.35	18.71	61.27	162	l12c
g25b	58.18	-46.2	-7.82	46.86	190	l45c
g50b	60.08	-37.02	-27.87	46.34	217	l78c
g75b	55.21	-20.63	-42.98	47.67	244	c16v
b00r	41.38	1.37	-45.05	45.07	272	c58v
b25r	26.43	27.03	-46.5	53.78	300	v03m
b50r	36.22	48.22	-29.42	56.48	329	v54m
b75r	47.81	72.75	-3.76	72.85	357	m10o



Siehe ähnliche Dateien: <http://www.ps.bam.de/Eg39/>; [www.ps.bam.de/Version 2.1, io=1,1, Colspx=1](http://www.ps.bam.de/Version2.1_io=1,1_Colspx=1)
 Technische Information: <http://www.ps.bam.de>

BAM-Registrierung: 20081001-Eg39/10L/L39G00NA.PS/ .TXT BAM-Material: Code=rhatha
 Anwendung für Beurteilung und Messung von Drucker- oder Monitorssystemen

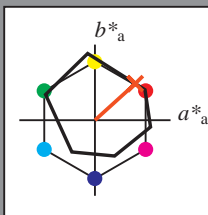
Ein und Ausgabe: Farbmetrisches Drucker-Reflektiv-System ORS20_95a für relativen CIELAB-Bunton $h^* = lab^*h^* = h_{ab}/360 = 0.117$

Daten für jede Farbe:
 lab^*ch^* und lab^*icu^*

Buntontexte:
 $u^*_e = r25j$ $u^*_d = o17y$

Kontrastreduzierungsfaktor:
 $c_R = 1.0$

Dreiecks-Helligkeit i^*



ORS20_95a; CIELAB-Daten						
u^*_e	$L^*=L^*$	a^*	b^*	C^*_{ab}	h^*_{ab}	
O _M	46.89	66.08	41.48	78.02	32	
Y _M	88.66	-10.34	90.28	90.87	97	
L _M	54.22	-65.51	35.22	74.38	152	
C _M	61.43	-30.85	-40.54	50.94	233	
V _M	25.93	26.15	-46.61	53.44	299	
M _M	47.92	73.41	-7.8	73.82	354	
N _M	20.41	0.28	0.64	0.7	66	
W _M	94.64	-0.81	2.2	2.34	110	
R _M	39.92	58.74	27.99	65.07	25	
J _M	81.26	-2.89	71.56	71.62	92	
G _M	52.23	-42.42	13.6	44.55	162	
B _M	30.57	1.41	-46.47	46.49	272	

Daten für Maximalfarbe (Ma):

$LAB^*LAB^*_{Ma}$: 54 53 48

$LAB^*LCH^*_{Ma}$: 54 72 42

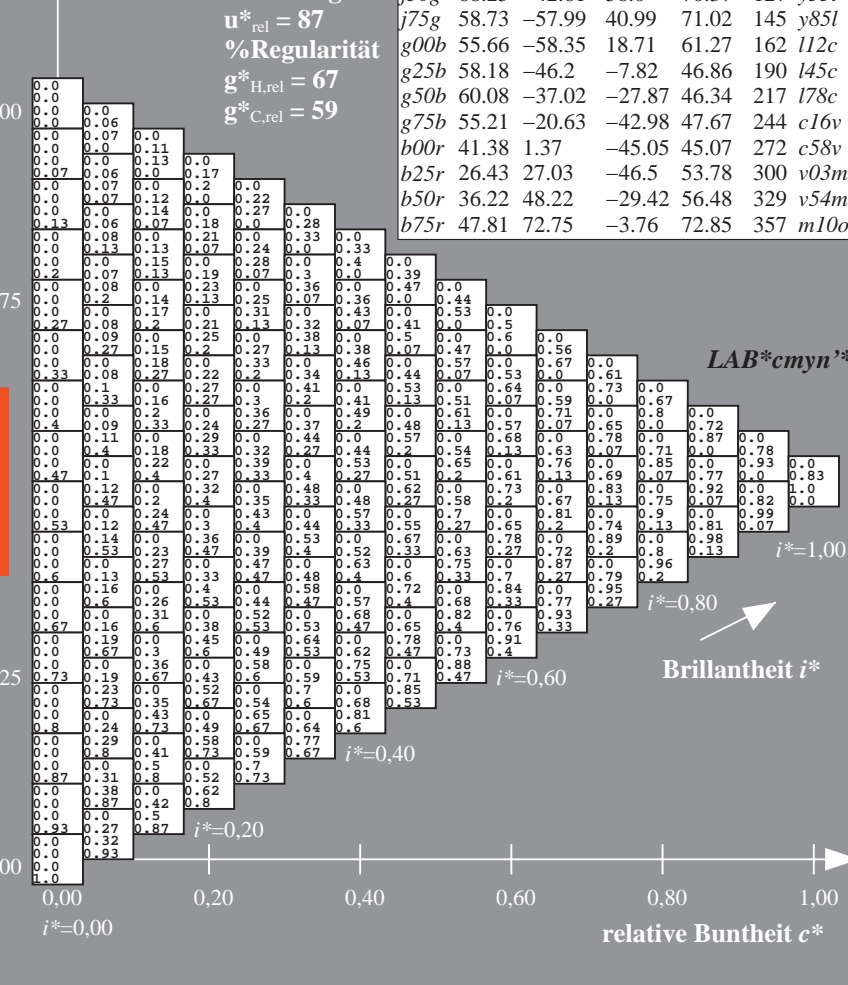
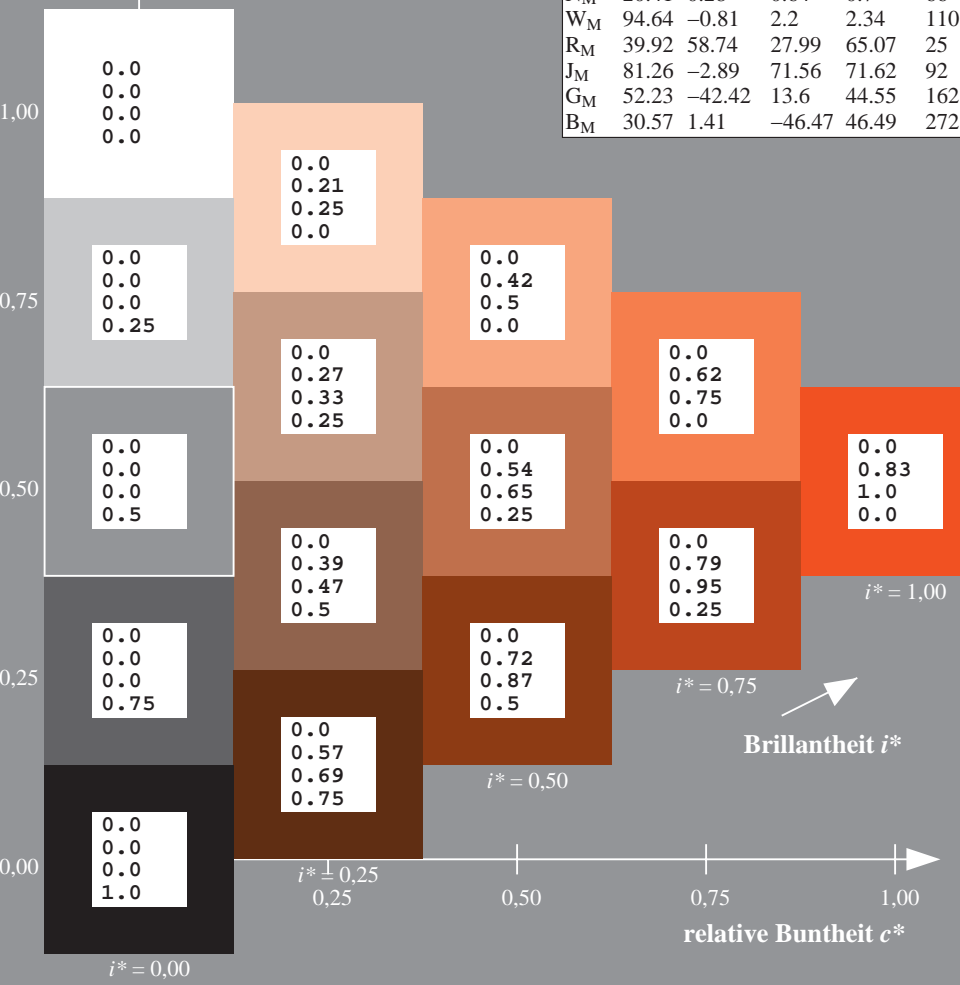
$lab^*rgb^*_{Ma}$: 1.0 0.25 0.0

$lab^*olv^*_{Ma}$: 1.0 0.17 0.0

Dreiecks-Helligkeit i^*

%Umfang
 $u^*_{rel} = 87$
 %Regularität
 $g^*_{H,rel} = 67$
 $g^*_{C,rel} = 59$

ORS20_95a; adaptierte CIELAB-Daten							
u^*_e	$L^*=L^*_a$	a^*_a	b^*_a	$C^*_{ab,a}$	$h^*_{ab,a}$	u^*_d	
r00j	47.06	67.41	32.12	74.67	25	m84o	
r25j	53.95	53.38	48.38	72.04	42	o17y	
r50j	63.6	35.87	59.45	69.43	59	o42y	
r75j	73.37	18.14	70.66	72.95	76	o68y	
j00g	85.24	-3.4	84.28	84.35	92	o93y	
j25g	78.53	-25.99	72.23	76.76	110	y24l	
j50g	68.25	-42.61	56.0	70.37	127	y55l	
j75g	58.73	-57.99	40.99	71.02	145	y85l	
g00b	55.66	-58.35	18.71	61.27	162	l12c	
g25b	58.18	-46.2	-7.82	46.86	190	l45c	
g50b	60.08	-37.02	-27.87	46.34	217	l78c	
g75b	55.21	-20.63	-42.98	47.67	244	c16v	
b00r	41.38	1.37	-45.05	45.07	272	c58v	
b25r	26.43	27.03	-46.5	53.78	300	v03m	
b50r	36.22	48.22	-29.42	56.48	329	v54m	
b75r	47.81	72.75	-3.76	72.85	357	m10o	



Siehe ähnliche Dateien: <http://www.ps.bam.de/Eg39/>; [www.ps.bam.de/Version 2.1, io=1,1, Colspx=1](http://www.ps.bam.de/Version2.1,io=1,1,Colspx=1)
 Technische Information: <http://www.ps.bam.de>

BAM-Registrierung: 20081001-Eg39/10L/L39G00NA.PS/.TXT BAM-Material: Code=rhatha
 Anwendung für Beurteilung und Messung von Drucker- oder Monitorssystemen

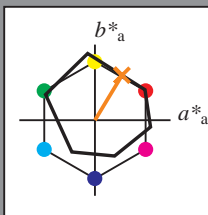
Ein und Ausgabe: Farbmetrisches Drucker-Reflektiv-System ORS20_95a für relativen CIELAB-Bunton $h^* = lab^*h^* = h_{ab}/360 = 0.164$

Daten für jede Farbe:
 lab^*ch^* und lab^*icu^*

Buntontexte:
 $u^*_e = r50j$ $u^*_d = o42y$

Kontrastreduzierungsfaktor:
 $c_R = 1.0$

Dreiecks-Helligkeit t^*



ORS20_95a; CIELAB-Daten						
u^*_e	$L^*=L^*$	a^*	b^*	C^*_{ab}	h^*_{ab}	
O _M	46.89	66.08	41.48	78.02	32	
Y _M	88.66	-10.34	90.28	90.87	97	
L _M	54.22	-65.51	35.22	74.38	152	
C _M	61.43	-30.85	-40.54	50.94	233	
V _M	25.93	26.15	-46.61	53.44	299	
M _M	47.92	73.41	-7.8	73.82	354	
N _M	20.41	0.28	0.64	0.7	66	
W _M	94.64	-0.81	2.2	2.34	110	
R _M	39.92	58.74	27.99	65.07	25	
J _M	81.26	-2.89	71.56	71.62	92	
G _M	52.23	-42.42	13.6	44.55	162	
B _M	30.57	1.41	-46.47	46.49	272	

Daten für Maximalfarbe (Ma):

$LAB^*LAB^*_{Ma}$: 64 36 59

$LAB^*LCH^*_{Ma}$: 64 69 58

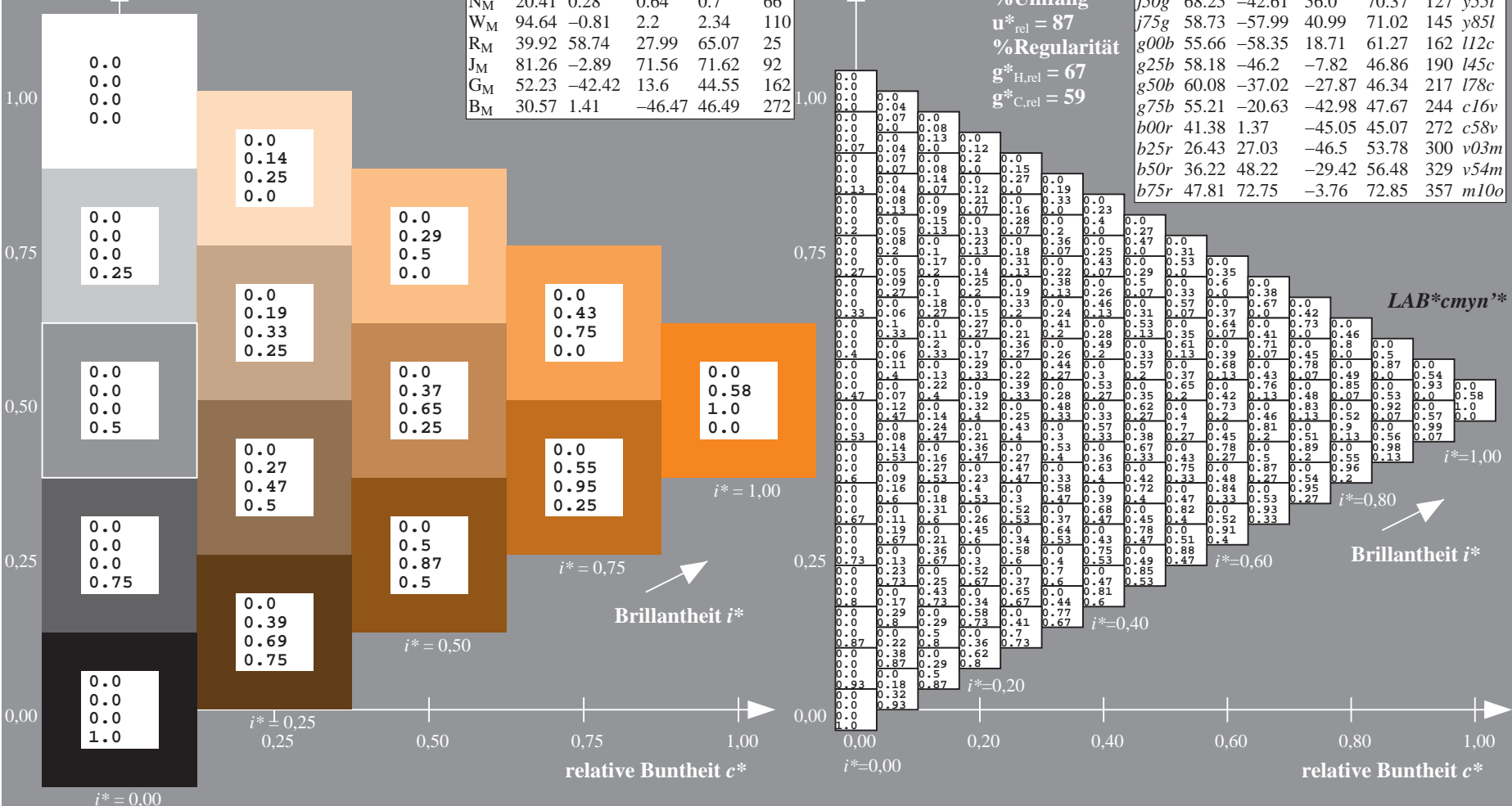
$lab^*rgb^*_{Ma}$: 1.0 0.5 0.0

$lab^*olv^*_{Ma}$: 1.0 0.42 0.0

Dreiecks-Helligkeit t^*

%Umfang
 $u^*_{rel} = 87$
 %Regularität
 $g^*_{H,rel} = 67$
 $g^*_{C,rel} = 59$

ORS20_95a; adaptierte CIELAB-Daten							
u^*_e	$L^*=L^*_a$	a^*_a	b^*_a	$C^*_{ab,a}$	$h^*_{ab,a}$	u^*_d	
r00j	47.06	67.41	32.12	74.67	25	m84o	
r25j	53.95	53.38	48.38	72.04	42	o17y	
r50j	63.6	35.87	59.45	69.43	59	o42y	
r75j	73.37	18.14	70.66	72.95	76	o68y	
j00g	85.24	-3.4	84.28	84.35	92	o93y	
j25g	78.53	-25.99	72.23	76.76	110	y24l	
j50g	68.25	-42.61	56.0	70.37	127	y55l	
j75g	58.73	-57.99	40.99	71.02	145	y85l	
g00b	55.66	-58.35	18.71	61.27	162	l12c	
g25b	58.18	-46.2	-7.82	46.86	190	l45c	
g50b	60.08	-37.02	-27.87	46.34	217	l78c	
g75b	55.21	-20.63	-42.98	47.67	244	c16v	
b00r	41.38	1.37	-45.05	45.07	272	c58v	
b25r	26.43	27.03	-46.5	53.78	300	v03m	
b50r	36.22	48.22	-29.42	56.48	329	v54m	
b75r	47.81	72.75	-3.76	72.85	357	m10o	



$LAB^*cmy^n^*$

Brillantheit i^*

Siehe ähnliche Dateien: <http://www.ps.bam.de/Eg39/>; [www.ps.bam.de/Version 2.1, io=1,1, Colspx=1](http://www.ps.bam.de/Version2.1,io=1,1,Colspx=1)
 Technische Information: [http://www.ps.bam.de/Version 2.1, io=1,1, Colspx=1](http://www.ps.bam.de/Version2.1,io=1,1,Colspx=1)

BAM-Registrierung: 20081001-Eg39/10L/L39G00NA.PS/ .TXT BAM-Material: Code=rhatha
 Anwendung für Beurteilung und Messung von Drucker- oder Monitorssystemen

Ein und Ausgabe: Farbmetrisches Drucker-Reflektiv-System ORS20_95a für relativen CIELAB-Bunton $h^* = lab^*h^* = h_{ab}/360 = 0.21$

Daten für jede Farbe:

lab^*tch^* und lab^*icu^*

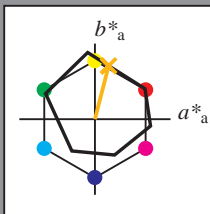
Buntontexte:

$u^*_e = r75j$ $u^*_d = o68y$

Kontrastreduzierungsfaktor:

$c_R = 1.0$

Dreiecks-Helligkeit t^*



ORS20_95a; CIELAB-Daten

u^*_e	$L^*=L^*$	a^*	b^*	C^*_{ab}	h^*_{ab}
O _M	46.89	66.08	41.48	78.02	32
Y _M	88.66	-10.34	90.28	90.87	97
L _M	54.22	-65.51	35.22	74.38	152
C _M	61.43	-30.85	-40.54	50.94	233
V _M	25.93	26.15	-46.61	53.44	299
M _M	47.92	73.41	-7.8	73.82	354
N _M	20.41	0.28	0.64	0.7	66
W _M	94.64	-0.81	2.2	2.34	110
R _M	39.92	58.74	27.99	65.07	25
J _M	81.26	-2.89	71.56	71.62	92
G _M	52.23	-42.42	13.6	44.55	162
B _M	30.57	1.41	-46.47	46.49	272

Daten für Maximalfarbe (Ma):

$LAB^*LAB^*_{Ma}$: 73 18 71

$LAB^*LCH^*_{Ma}$: 73 73 75

$lab^*rgb^*_{Ma}$: 1.0 0.75 0.0

$lab^*olv^*_{Ma}$: 1.0 0.68 0.0

Dreiecks-Helligkeit t^*

%Umfang

$u^*_{rel} = 87$

%Regularität

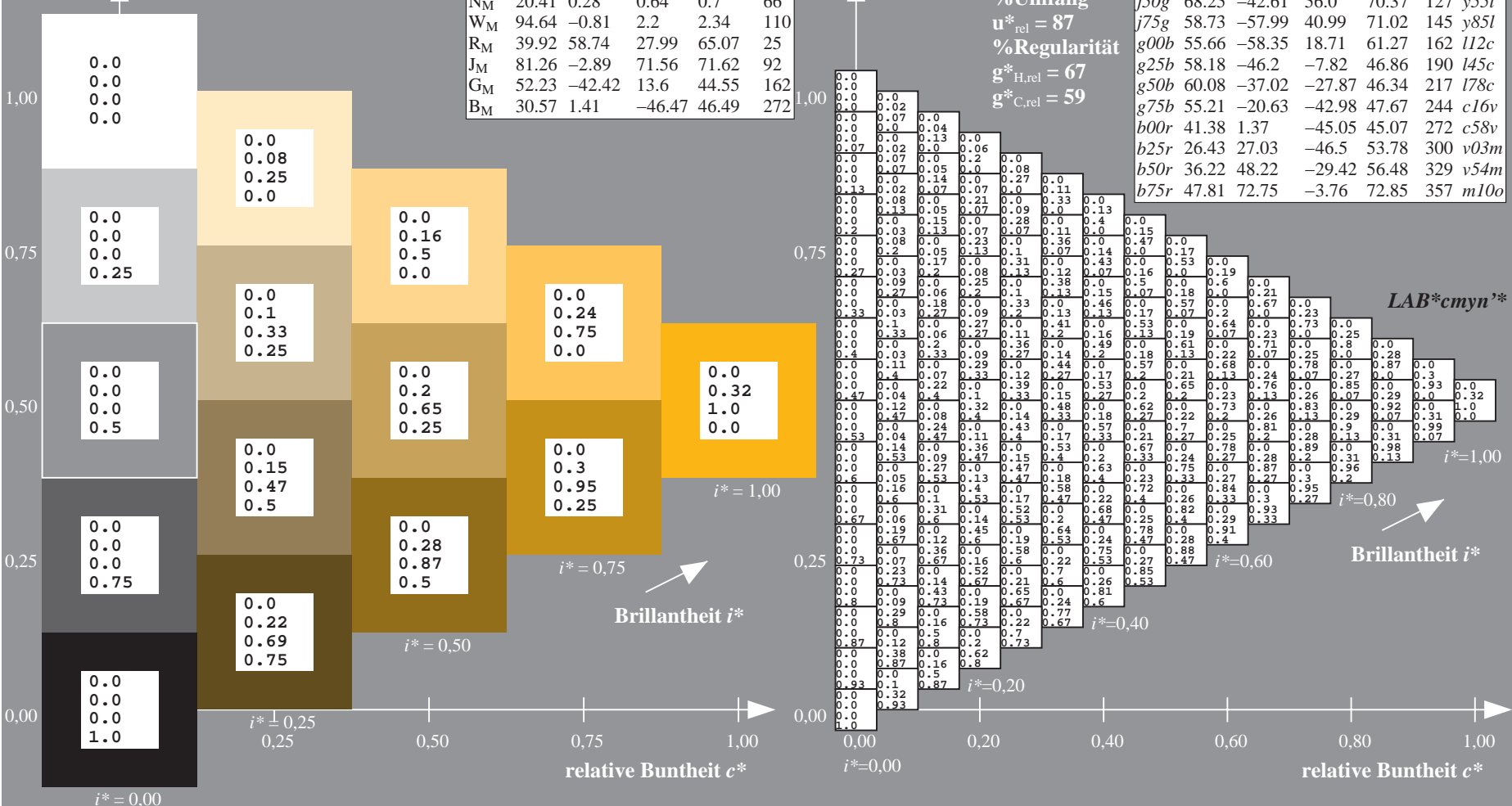
$g^*_{H,rel} = 67$

$g^*_{C,rel} = 59$

$u^*_e = r75j$
 $LAB^*cmy^n^*$

ORS20_95a; adaptierte CIELAB-Daten

u^*_e	$L^*=L^*_a$	a^*_a	b^*_a	$C^*_{ab,a}$	$h^*_{ab,a}$	u^*_d
r00j	47.06	67.41	32.12	74.67	25	m84o
r25j	53.95	53.38	48.38	72.04	42	o17y
r50j	63.6	35.87	59.45	69.43	59	o42y
r75j	73.37	18.14	70.66	72.95	76	o68y
j00g	85.24	-3.4	84.28	84.35	92	o93y
j25g	78.53	-25.99	72.23	76.76	110	y24l
j50g	68.25	-42.61	56.0	70.37	127	y55l
j75g	58.73	-57.99	40.99	71.02	145	y85l
g00b	55.66	-58.35	18.71	61.27	162	l12c
g25b	58.18	-46.2	-7.82	46.86	190	l45c
g50b	60.08	-37.02	-27.87	46.34	217	l78c
g75b	55.21	-20.63	-42.98	47.67	244	c16v
b00r	41.38	1.37	-45.05	45.07	272	c58v
b25r	26.43	27.03	-46.5	53.78	300	v03m
b50r	36.22	48.22	-29.42	56.48	329	v54m
b75r	47.81	72.75	-3.76	72.85	357	m10o



Siehe ähnliche Dateien: <http://www.ps.bam.de/Eg39/>; [www.ps.bam.de/Version 2.1, io=1,1, Colspx=1](http://www.ps.bam.de/Version2.1,io=1,1,Colspx=1)
 Technische Information: <http://www.ps.bam.de>

BAM-Registrierung: 20081001-Eg39/10L/L39G00NA.PS/.TXT BAM-Material: Code=rhatha
 Anwendung für Beurteilung und Messung von Drucker- oder Monitorssystemen

Ein und Ausgabe: Farbmetrisches Drucker-Reflektiv-System ORS20_95a für relativen CIELAB-Bunton $h^* = lab^*h^* = h_{ab}/360 = 0.256$

Daten für jede Farbe:

lab^*ch^* und lab^*icu^*

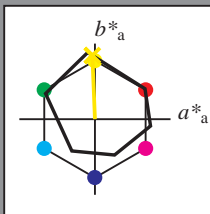
Buntontexte:

$u^*_e = j00g$ $u^*_d = o93y$

Kontrastreduzierungsfaktor:

$c_R = 1.0$

Dreiecks-Helligkeit i^*



ORS20_95a; CIELAB-Daten						
u^*_e	$L^*=L^*_a$	a^*	b^*	C^*_{ab}	h^*_{ab}	
O _M	46.89	66.08	41.48	78.02	32	
Y _M	88.66	-10.34	90.28	90.87	97	
L _M	54.22	-65.51	35.22	74.38	152	
C _M	61.43	-30.85	-40.54	50.94	233	
V _M	25.93	26.15	-46.61	53.44	299	
M _M	47.92	73.41	-7.8	73.82	354	
N _M	20.41	0.28	0.64	0.7	66	
W _M	94.64	-0.81	2.2	2.34	110	
R _M	39.92	58.74	27.99	65.07	25	
J _M	81.26	-2.89	71.56	71.62	92	
G _M	52.23	-42.42	13.6	44.55	162	
B _M	30.57	1.41	-46.47	46.49	272	

Daten für Maximalfarbe (Ma):

$LAB^*LAB^*_Ma$: 85 -3 84

$LAB^*LCH^*_Ma$: 85 84 92

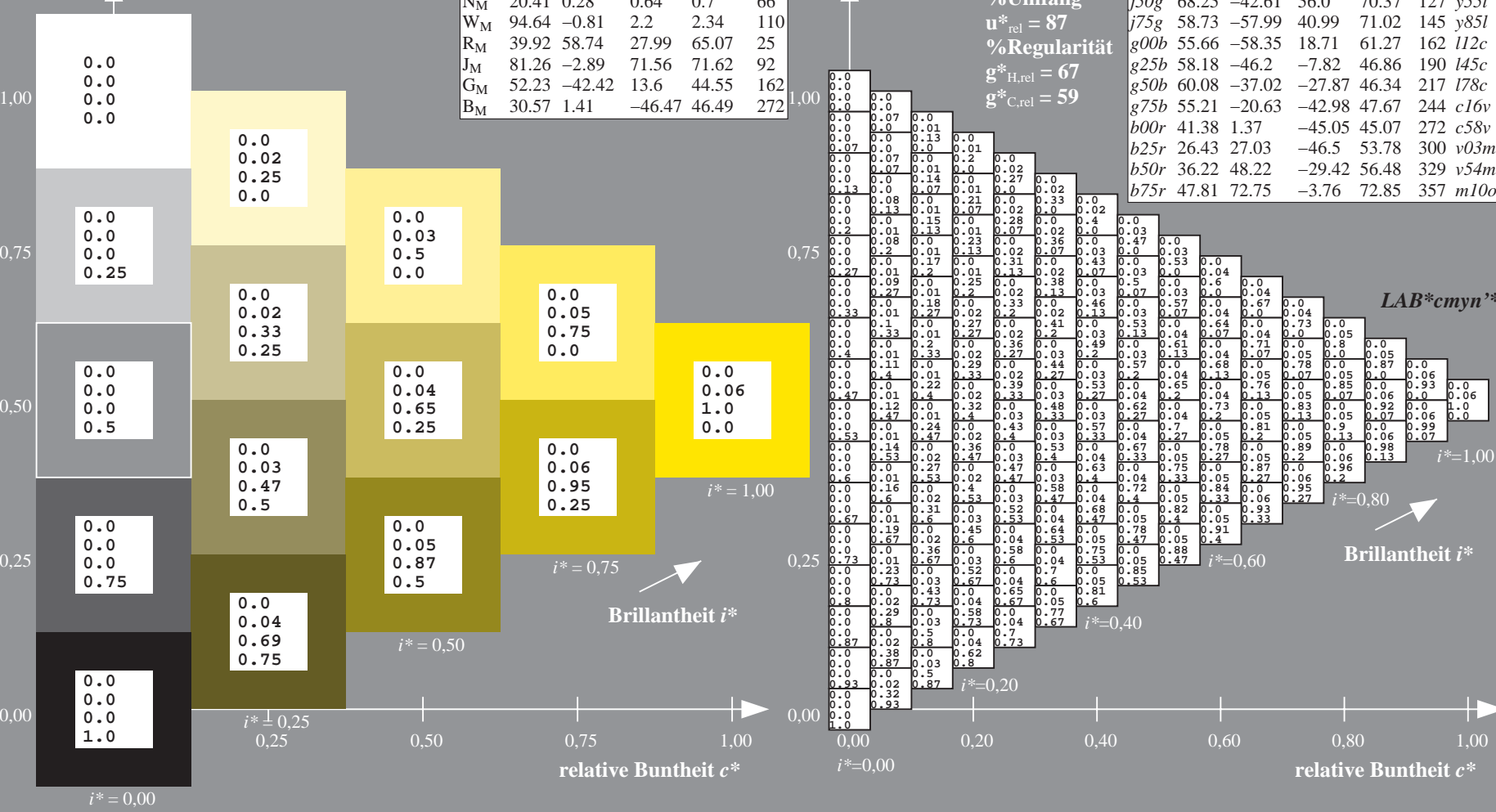
$lab^*rgb^*_Ma$: 1.0 1.0 0.0

$lab^*olv^*_Ma$: 1.0 0.94 0.0

Dreiecks-Helligkeit i^*

%Umfang
 $u^*_{rel} = 87$
 %Regularität
 $g^*_{H,rel} = 67$
 $g^*_{C,rel} = 59$

ORS20_95a; adaptierte CIELAB-Daten							
u^*_e	$L^*=L^*_a$	a^*_a	b^*_a	$C^*_{ab,a}$	$h^*_{ab,a}$	u^*_d	
r00j	47.06	67.41	32.12	74.67	25	m84o	
r25j	53.95	53.38	48.38	72.04	42	o17y	
r50j	63.6	35.87	59.45	69.43	59	o42y	
r75j	73.37	18.14	70.66	72.95	76	o68y	
j00g	85.24	-3.4	84.28	84.35	92	o93y	
j25g	78.53	-25.99	72.23	76.76	110	y24l	
j50g	68.25	-42.61	56.0	70.37	127	y55l	
j75g	58.73	-57.99	40.99	71.02	145	y85l	
g00b	55.66	-58.35	18.71	61.27	162	l12c	
g25b	58.18	-46.2	-7.82	46.86	190	l45c	
g50b	60.08	-37.02	-27.87	46.34	217	l78c	
g75b	55.21	-20.63	-42.98	47.67	244	c16v	
b00r	41.38	1.37	-45.05	45.07	272	c58v	
b25r	26.43	27.03	-46.5	53.78	300	v03m	
b50r	36.22	48.22	-29.42	56.48	329	v54m	
b75r	47.81	72.75	-3.76	72.85	357	m10o	



Siehe ähnliche Dateien: <http://www.ps.bam.de/Eg39/>; [www.ps.bam.de/Version 2.1, io=1,1, Colspx=1](http://www.ps.bam.de/Version2.1,io=1,1,Colspx=1)
 Technische Information: <http://www.ps.bam.de>

BAM-Registrierung: 20081001-Eg39/10L/L39G00NA.PS/.TXT BAM-Material: Code=rhatha
 Anwendung für Beurteilung und Messung von Drucker- oder Monitorssystemen

Ein und Ausgabe: Farbmetrisches Drucker-Reflektiv-System ORS20_95a für relativen CIELAB-Buntton $h^* = lab^*h^* = h_{ab}/360 = 0.305$

Daten für jede Farbe:

lab^*ch^* und lab^*icu^*

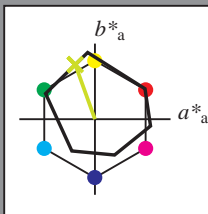
Bunttontexte:

$u^*_e = j25g$ $u^*_d = y24l$

Kontrastreduzierungsfaktor:

$c_R = 1.0$

Dreiecks-Helligkeit i^*



ORS20_95a; CIELAB-Daten

u^*_e	$L^*=L^*_a$	a^*	b^*	C^*_{ab}	h^*_{ab}
O _M	46.89	66.08	41.48	78.02	32
Y _M	88.66	-10.34	90.28	90.87	97
L _M	54.22	-65.51	35.22	74.38	152
C _M	61.43	-30.85	-40.54	50.94	233
V _M	25.93	26.15	-46.61	53.44	299
M _M	47.92	73.41	-7.8	73.82	354
N _M	20.41	0.28	0.64	0.7	66
W _M	94.64	-0.81	2.2	2.34	110
R _M	39.92	58.74	27.99	65.07	25
J _M	81.26	-2.89	71.56	71.62	92
G _M	52.23	-42.42	13.6	44.55	162
B _M	30.57	1.41	-46.47	46.49	272

Daten für Maximalfarbe (Ma):

$LAB^*LAB^*_{Ma}$: 79 -26 72

$LAB^*LCH^*_{Ma}$: 79 77 109

$lab^*rgb^*_{Ma}$: 0.75 1.0 0.0

$lab^*olv^*_{Ma}$: 0.76 1.0 0.0

Dreiecks-Helligkeit i^*

%Umfang

$u^*_{rel} = 87$

%Regularität

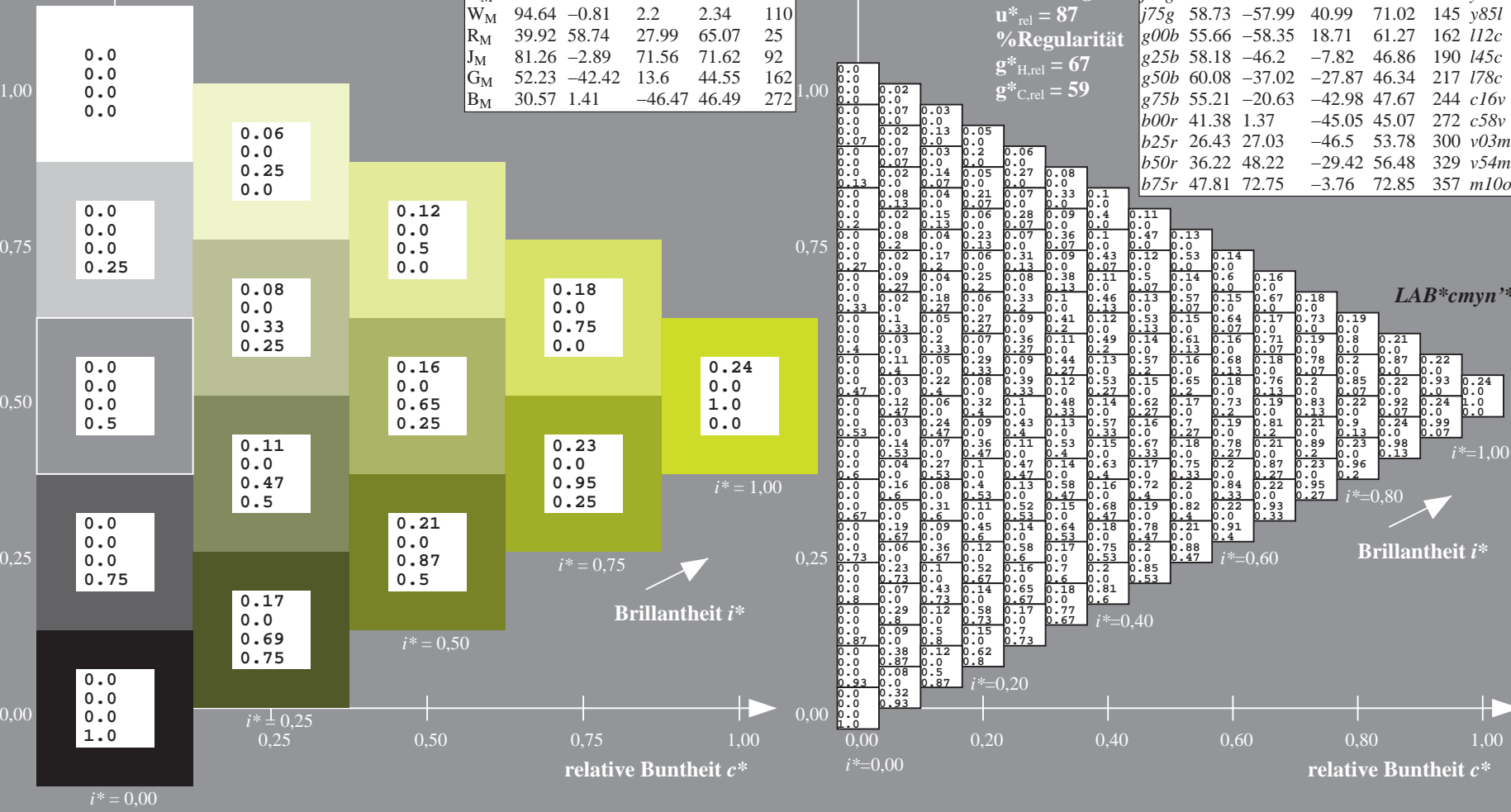
$g^*_{H,rel} = 67$

$g^*_{C,rel} = 59$

$u^*_e = j25g$
 $LAB^*cmy^n^*$

ORS20_95a; adaptierte CIELAB-Daten

u^*_e	$L^*=L^*_a$	a^*_a	b^*_a	$C^*_{ab,a}$	$h^*_{ab,a}$	u^*_d
r00j	47.06	67.41	32.12	74.67	25	m84o
r25j	53.95	53.38	48.38	72.04	42	o17y
r50j	63.6	35.87	59.45	69.43	59	o42y
r75j	73.37	18.14	70.66	72.95	76	o68y
j00g	85.24	-3.4	84.28	84.35	92	o93y
j25g	78.53	-25.99	72.23	76.76	110	y24l
j50g	68.25	-42.61	56.0	70.37	127	y55l
j75g	58.73	-57.99	40.99	71.02	145	y85l
g00b	55.66	-58.35	18.71	61.27	162	l12c
g25b	58.18	-46.2	-7.82	46.86	190	l45c
g50b	60.08	-37.02	-27.87	46.34	217	l78c
g75b	55.21	-20.63	-42.98	47.67	244	c16v
b00r	41.38	1.37	-45.05	45.07	272	c58v
b25r	26.43	27.03	-46.5	53.78	300	v03m
b50r	36.22	48.22	-29.42	56.48	329	v54m
b75r	47.81	72.75	-3.76	72.85	357	m10o



BAM-Registrierung: 20081001-Eg39/10L/L39G00NA.PS/.TXT BAM-Material: Code=rh4ta
 Anwendung für Beurteilung und Messung von Drucker- oder Monitorssystemen

Ein und Ausgabe: Farbmetrisches Drucker-Reflektiv-System ORS20_95a für relativen CIELAB-Buntton $h^* = lab^*h^* = h_{ab}/360 = 0.354$

Daten für jede Farbe:

lab^*tch^* und lab^*icu^*

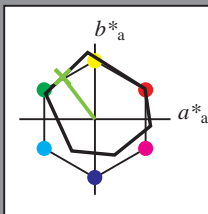
Bunttontexte:

$u^*_e = j50g$ $u^*_d = y55l$

Kontrastreduzierungsfaktor:

$c_R = 1.0$

Dreiecks-Helligkeit t^*



ORS20_95a; CIELAB-Daten						
u^*_e	$L^*=L^*_a$	a^*	b^*	C^*_{ab}	h^*_{ab}	
O _M	46.89	66.08	41.48	78.02	32	
Y _M	88.66	-10.34	90.28	90.87	97	
L _M	54.22	-65.51	35.22	74.38	152	
C _M	61.43	-30.85	-40.54	50.94	233	
V _M	25.93	26.15	-46.61	53.44	299	
M _M	47.92	73.41	-7.8	73.82	354	
N _M	20.41	0.28	0.64	0.7	66	
W _M	94.64	-0.81	2.2	2.34	110	
R _M	39.92	58.74	27.99	65.07	25	
J _M	81.26	-2.89	71.56	71.62	92	
G _M	52.23	-42.42	13.6	44.55	162	
B _M	30.57	1.41	-46.47	46.49	272	

Daten für Maximalfarbe (Ma):

$LAB^*LAB^*_Ma$: 68 -43 56

$LAB^*LCH^*_Ma$: 68 70 127

$lab^*rgb^*_Ma$: 0.5 1.0 0.0

$lab^*olv^*_Ma$: 0.45 1.0 0.0

Dreiecks-Helligkeit t^*

%Umfang

$u^*_{rel} = 87$

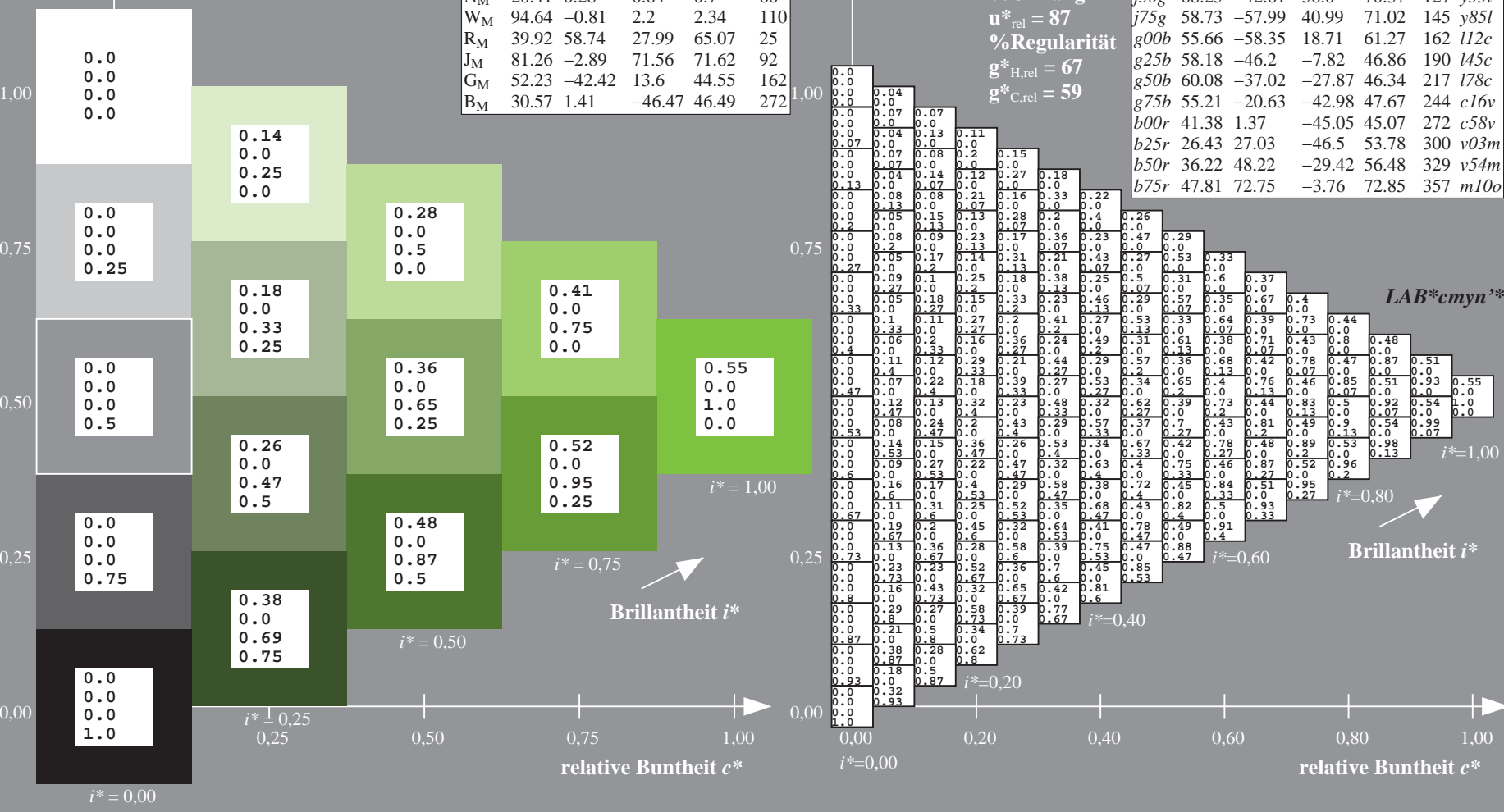
%Regularität

$g^*_{H,rel} = 67$

$g^*_{C,rel} = 59$

$u^*_e = j50g$
 $LAB^*cmy^n^*$

ORS20_95a; adaptierte CIELAB-Daten							
u^*_e	$L^*=L^*_a$	a^*_a	b^*_a	$C^*_{ab,a}$	$h^*_{ab,a}$	u^*_d	
r00j	47.06	67.41	32.12	74.67	25	m84o	
r25j	53.95	53.38	48.38	72.04	42	o17y	
r50j	63.6	35.87	59.45	69.43	59	o42y	
r75j	73.37	18.14	70.66	72.95	76	o68y	
j00g	85.24	-3.4	84.28	84.35	92	o93y	
j25g	78.53	-25.99	72.23	76.76	110	y24l	
j50g	68.25	-42.61	56.0	70.37	127	y55l	
j75g	58.73	-57.99	40.99	71.02	145	y85l	
g00b	55.66	-58.35	18.71	61.27	162	l12c	
g25b	58.18	-46.2	-7.82	46.86	190	l45c	
g50b	60.08	-37.02	-27.87	46.34	217	l78c	
g75b	55.21	-20.63	-42.98	47.67	244	c16v	
b00r	41.38	1.37	-45.05	45.07	272	c58v	
b25r	26.43	27.03	-46.5	53.78	300	v03m	
b50r	36.22	48.22	-29.42	56.48	329	v54m	
b75r	47.81	72.75	-3.76	72.85	357	m10o	



Siehe ähnliche Dateien: <http://www.ps.bam.de/Eg39/>; www.ps.bam.de/Version.2.1,io=1,1,Colspx=1
 Technische Information: <http://www.ps.bam.de>

BAM-Registrierung: 20081001-Eg39/10L/L39G00NA.PS/.TXT BAM-Material: Code=rh4ta
 Anwendung für Beurteilung und Messung von Drucker- oder Monitorssystemen

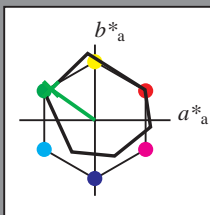
Ein und Ausgabe: Farbmetrisches Drucker-Reflektiv-System ORS20_95a für relativen CIELAB-Bunton $h^* = lab^*h^* = h_{ab}/360 = 0.402$

Daten für jede Farbe:
 lab^*ch^* und lab^*icu^*

Buntontexte:
 $u^*_e = j75g$ $u^*_d = y85l$

Kontrastreduzierungsfaktor:
 $c_R = 1.0$

Dreiecks-Helligkeit i^*



ORS20_95a; CIELAB-Daten						
u^*_e	$L^*=L^*_a$	a^*	b^*	C^*_{ab}	h^*_{ab}	
O _M	46.89	66.08	41.48	78.02	32	
Y _M	88.66	-10.34	90.28	90.87	97	
L _M	54.22	-65.51	35.22	74.38	152	
C _M	61.43	-30.85	-40.54	50.94	233	
V _M	25.93	26.15	-46.61	53.44	299	
M _M	47.92	73.41	-7.8	73.82	354	
N _M	20.41	0.28	0.64	0.7	66	
W _M	94.64	-0.81	2.2	2.34	110	
R _M	39.92	58.74	27.99	65.07	25	
J _M	81.26	-2.89	71.56	71.62	92	
G _M	52.23	-42.42	13.6	44.55	162	
B _M	30.57	1.41	-46.47	46.49	272	

Daten für Maximalfarbe (Ma):

$LAB^*LAB^*_{Ma}$: 59 -58 41

$LAB^*LCH^*_{Ma}$: 59 71 144

$lab^*rgb^*_{Ma}$: 0.25 1.0 0.0

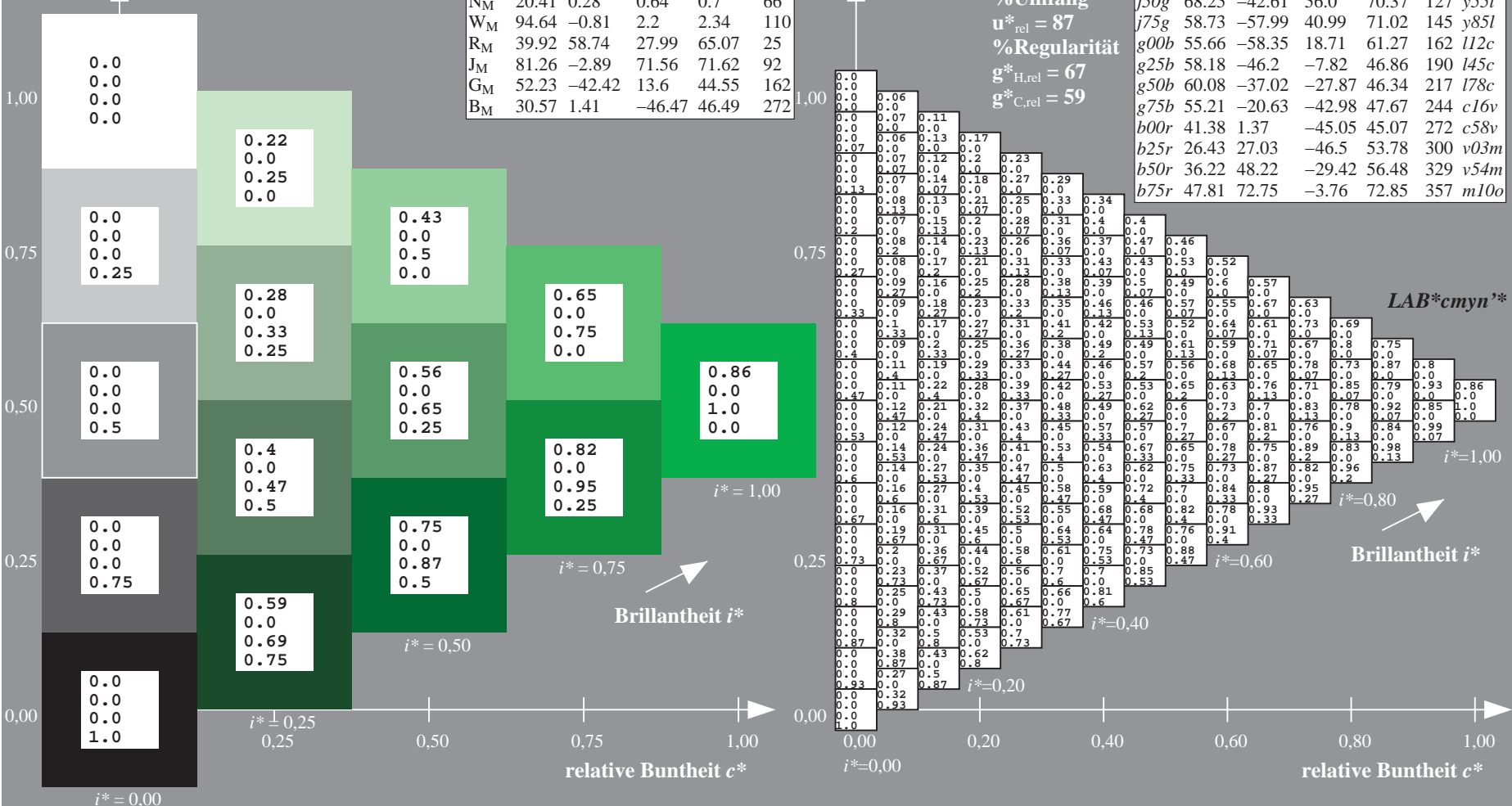
$lab^*olv^*_{Ma}$: 0.14 1.0 0.0

Dreiecks-Helligkeit i^*

%Umfang
 $u^*_{rel} = 87$
 %Regularität
 $g^*_{H,rel} = 67$
 $g^*_{C,rel} = 59$

$u^*_e = j75g$
 $LAB^*cmy^n^*$

ORS20_95a; adaptierte CIELAB-Daten							
u^*_e	$L^*=L^*_a$	a^*_a	b^*_a	$C^*_{ab,a}$	$h^*_{ab,a}$	u^*_d	
r00j	47.06	67.41	32.12	74.67	25	m84o	
r25j	53.95	53.38	48.38	72.04	42	o17y	
r50j	63.6	35.87	59.45	69.43	59	o42y	
r75j	73.37	18.14	70.66	72.95	76	o68y	
j00g	85.24	-3.4	84.28	84.35	92	o93y	
j25g	78.53	-25.99	72.23	76.76	110	y24l	
j50g	68.25	-42.61	56.0	70.37	127	y51l	
j75g	58.73	-57.99	40.99	71.02	145	y85l	
g00b	55.66	-58.35	18.71	61.27	162	l12c	
g25b	58.18	-46.2	-7.82	46.86	190	l45c	
g50b	60.08	-37.02	-27.87	46.34	217	l78c	
g75b	55.21	-20.63	-42.98	47.67	244	c16v	
b00r	41.38	1.37	-45.05	45.07	272	c58v	
b25r	26.43	27.03	-46.5	53.78	300	v03m	
b50r	36.22	48.22	-29.42	56.48	329	v54m	
b75r	47.81	72.75	-3.76	72.85	357	m10o	



Siehe ähnliche Dateien: <http://www.ps.bam.de/Eg39/>; www.ps.bam.de/Version.2.1,io=1,1,Colspx=1
 Technische Information: <http://www.ps.bam.de/Version.2.1,io=1,1,Colspx=1>

BAM-Registrierung: 20081001-Eg39/10L/L39G00NA.PS/.TXT BAM-Material: Code=rhatha
 Anwendung für Beurteilung und Messung von Drucker- oder Monitorssystemen

Ein und Ausgabe: Farbmetrisches Drucker-Reflektiv-System ORS20_95a für relativen CIELAB-Bunton $h^* = lab^*h^* = h_{ab}/360 = 0.451$

Daten für jede Farbe:

lab^*tch^* und lab^*icu^*

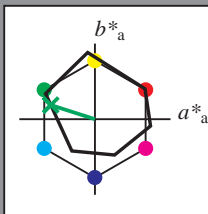
Buntontexte:

$u^*_e = g00b$ $u^*_d = l12c$

Kontrastreduzierungsfaktor:

$c_R = 1.0$

Dreiecks-Helligkeit t^*



ORS20_95a; CIELAB-Daten						
u^*_e	$L^*=L^*_a$	a^*	b^*	C^*_{ab}	h^*_{ab}	
O _M	46.89	66.08	41.48	78.02	32	
Y _M	88.66	-10.34	90.28	90.87	97	
L _M	54.22	-65.51	35.22	74.38	152	
C _M	61.43	-30.85	-40.54	50.94	233	
V _M	25.93	26.15	-46.61	53.44	299	
M _M	47.92	73.41	-7.8	73.82	354	
N _M	20.41	0.28	0.64	0.7	66	
W _M	94.64	-0.81	2.2	2.34	110	
R _M	39.92	58.74	27.99	65.07	25	
J _M	81.26	-2.89	71.56	71.62	92	
G _M	52.23	-42.42	13.6	44.55	162	
B _M	30.57	1.41	-46.47	46.49	272	

Daten für Maximalfarbe (Ma):

$LAB^*LAB^*_{Ma}$: 56 -58 19

$LAB^*LCH^*_{Ma}$: 56 61 162

$lab^*rgb^*_{Ma}$: 0.0 1.0 0.0

$lab^*olv^*_{Ma}$: 0.0 1.0 0.12

Dreiecks-Helligkeit t^*

%Umfang

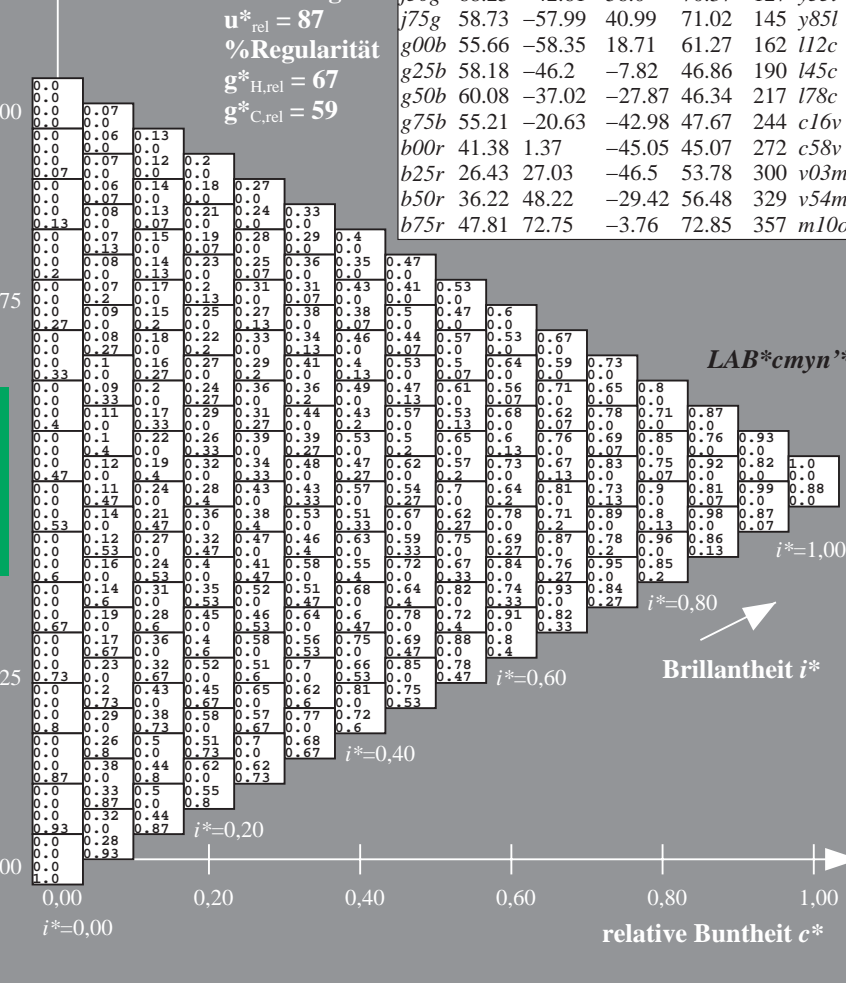
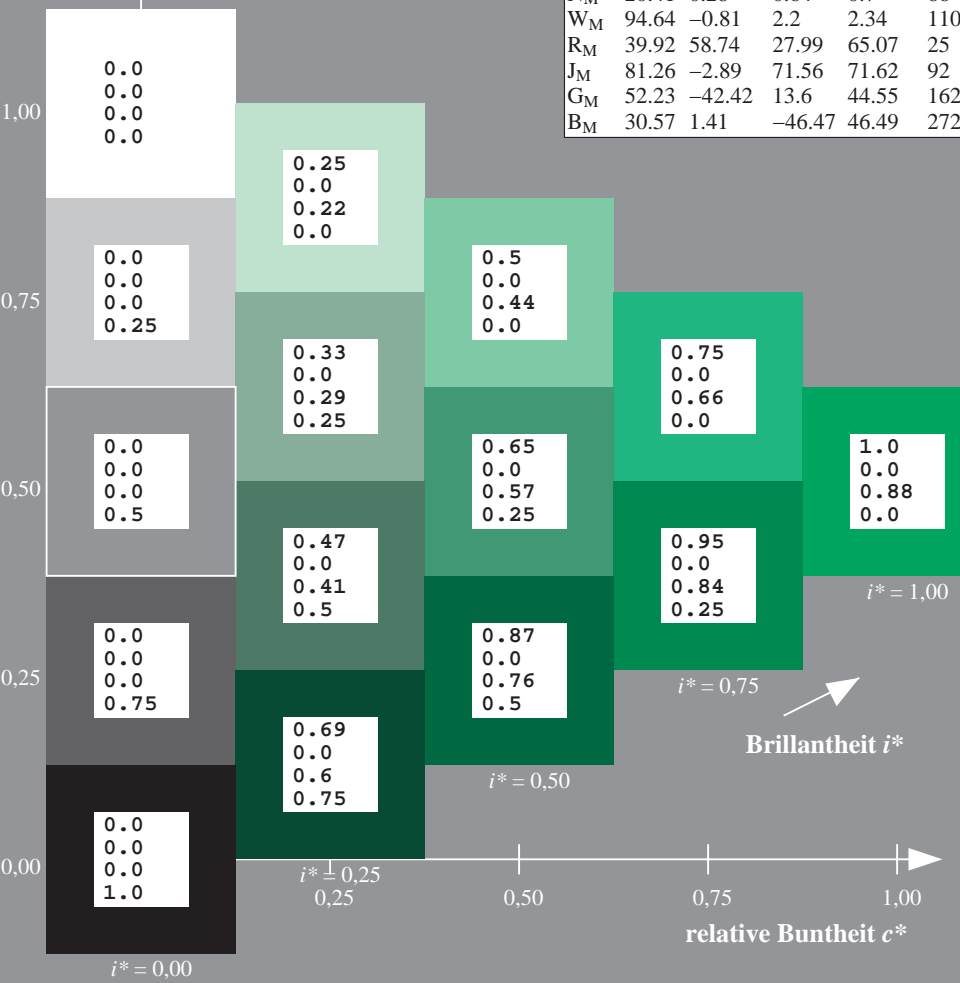
$u^*_{rel} = 87$

%Regularität

$g^*_{H,rel} = 67$

$g^*_{C,rel} = 59$

ORS20_95a; adaptierte CIELAB-Daten							
u^*_e	$L^*=L^*_a$	a^*_a	b^*_a	$C^*_{ab,a}$	$h^*_{ab,a}$	u^*_d	
r00j	47.06	67.41	32.12	74.67	25	m84o	
r25j	53.95	53.38	48.38	72.04	42	o17y	
r50j	63.6	35.87	59.45	69.43	59	o42y	
r75j	73.37	18.14	70.66	72.95	76	o68y	
j00g	85.24	-3.4	84.28	84.35	92	o93y	
j25g	78.53	-25.99	72.23	76.76	110	y24l	
j50g	68.25	-42.61	56.0	70.37	127	y55l	
j75g	58.73	-57.99	40.99	71.02	145	y85l	
g00b	55.66	-58.35	18.71	61.27	162	l12c	
g25b	58.18	-46.2	-7.82	46.86	190	l45c	
g50b	60.08	-37.02	-27.87	46.34	217	l78c	
g75b	55.21	-20.63	-42.98	47.67	244	c16v	
b00r	41.38	1.37	-45.05	45.07	272	c58v	
b25r	26.43	27.03	-46.5	53.78	300	v03m	
b50r	36.22	48.22	-29.42	56.48	329	v54m	
b75r	47.81	72.75	-3.76	72.85	357	m10o	



Siehe ähnliche Dateien: <http://www.ps.bam.de/Eg39/>; [www.ps.bam.de/Version 2.1, io=1,1, Colspx=1](http://www.ps.bam.de/Version2.1,io=1,1,Colspx=1)
 Technische Information: <http://www.ps.bam.de>

BAM-Registrierung: 20081001-Eg39/10L/L39G00NA.PS/ .TXT BAM-Material: Code=rhatha
 Anwendung für Beurteilung und Messung von Drucker- oder Monitorssystemen

Ein und Ausgabe: Farbmetrisches Drucker-Reflektiv-System ORS20_95a für relativen CIELAB-Buntton $h^* = lab^*h^* = h_{ab}/360 = 0.527$

Daten für jede Farbe:

lab^*tch^* und lab^*icu^*

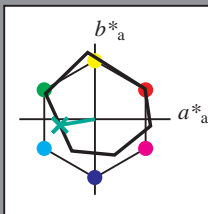
Bunttontexte:

$u^*_e = g25b$ $u^*_d = l45c$

Kontrastreduzierungsfaktor:

$c_R = 1.0$

Dreiecks-Helligkeit t^*



ORS20_95a; CIELAB-Daten						
u^*_e	$L^*=L^*_a$	a^*	b^*	C^*_{ab}	h^*_{ab}	
O _M	46.89	66.08	41.48	78.02	32	
Y _M	88.66	-10.34	90.28	90.87	97	
L _M	54.22	-65.51	35.22	74.38	152	
C _M	61.43	-30.85	-40.54	50.94	233	
V _M	25.93	26.15	-46.61	53.44	299	
M _M	47.92	73.41	-7.8	73.82	354	
N _M	20.41	0.28	0.64	0.7	66	
W _M	94.64	-0.81	2.2	2.34	110	
R _M	39.92	58.74	27.99	65.07	25	
J _M	81.26	-2.89	71.56	71.62	92	
G _M	52.23	-42.42	13.6	44.55	162	
B _M	30.57	1.41	-46.47	46.49	272	

Daten für Maximalfarbe (Ma):

$LAB^*LAB^*_{Ma}$: 58 -46 -8

$LAB^*LCH^*_{Ma}$: 58 47 189

$lab^*rgb^*_{Ma}$: 0.0 1.0 0.5

$lab^*olv^*_{Ma}$: 0.0 1.0 0.45

Dreiecks-Helligkeit t^*

%Umfang

$u^*_{rel} = 87$

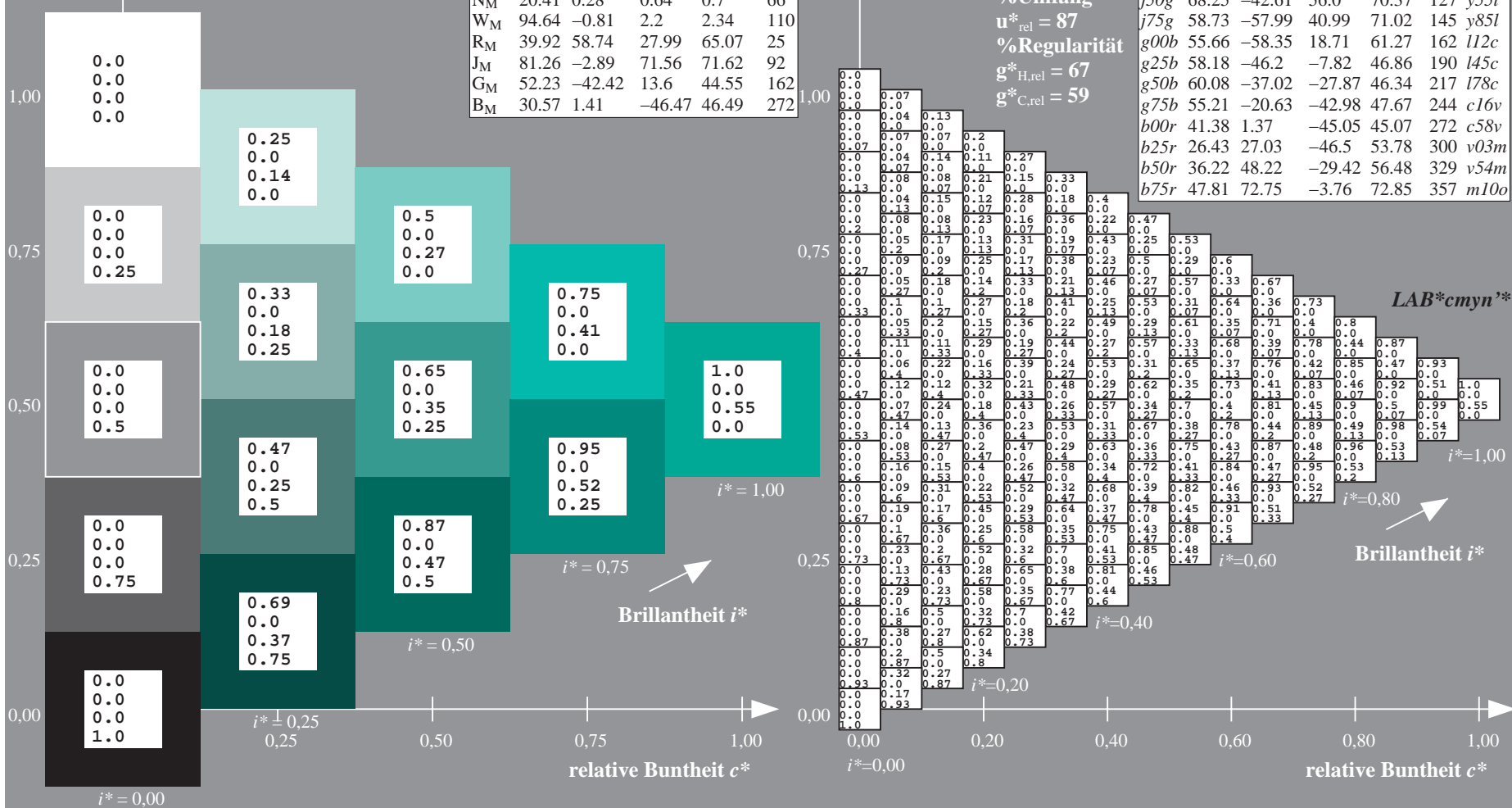
%Regularität

$g^*_{H,rel} = 67$

$g^*_{C,rel} = 59$

$u^*_e = g25b$
 $LAB^*cmy^n^*$

ORS20_95a; adaptierte CIELAB-Daten							
u^*_e	$L^*=L^*_a$	a^*_a	b^*_a	$C^*_{ab,a}$	$h^*_{ab,a}$	u^*_d	
r00j	47.06	67.41	32.12	74.67	25	m84o	
r25j	53.95	53.38	48.38	72.04	42	o17y	
r50j	63.6	35.87	59.45	69.43	59	o42y	
r75j	73.37	18.14	70.66	72.95	76	o68y	
j00g	85.24	-3.4	84.28	84.35	92	o93y	
j25g	78.53	-25.99	72.23	76.76	110	y24l	
j50g	68.25	-42.61	56.0	70.37	127	y51l	
j75g	58.73	-57.99	40.99	71.02	145	y85l	
g00b	55.66	-58.35	18.71	61.27	162	l12c	
g25b	58.18	-46.2	-7.82	46.86	190	l45c	
g50b	60.08	-37.02	-27.87	46.34	217	l78c	
g75b	55.21	-20.63	-42.98	47.67	244	c16v	
b00r	41.38	1.37	-45.05	45.07	272	c58v	
b25r	26.43	27.03	-46.5	53.78	300	v03m	
b50r	36.22	48.22	-29.42	56.48	329	v54m	
b75r	47.81	72.75	-3.76	72.85	357	m10o	



Siehe ähnliche Dateien: <http://www.ps.bam.de/Eg39/>; [www.ps.bam.de/Version 2.1, io=1,1, Colspx=1](http://www.ps.bam.de/Version2.1,io=1,1,Colspx=1)
 Technische Information: <http://www.ps.bam.de>

BAM-Registrierung: 20081001-Eg39/10L/L39G00NA.PS/ .TXT BAM-Material: Code=rhatha
 Anwendung für Beurteilung und Messung von Drucker- oder Monitorssystemen

Ein und Ausgabe: Farbmetrisches Drucker-Reflektiv-System ORS20_95a für relativen CIELAB-Bunton $h^* = lab^*h^* = h_{ab}/360 = 0.603$

Daten für jede Farbe:

lab^*tch^* und lab^*icu^*

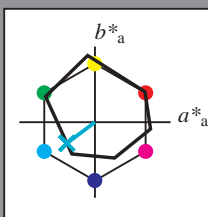
Buntontexte:

$u^*_e = g50b$ $u^*_d = l78c$

Kontrastreduzierungsfaktor:

$c_R = 1.0$

Dreiecks-Helligkeit i^*



ORS20_95a; CIELAB-Daten						
u^*_e	$L^*=L^*$	a^*	b^*	C^*_{ab}	h^*_{ab}	
O _M	46.89	66.08	41.48	78.02	32	
Y _M	88.66	-10.34	90.28	90.87	97	
L _M	54.22	-65.51	35.22	74.38	152	
C _M	61.43	-30.85	-40.54	50.94	233	
V _M	25.93	26.15	-46.61	53.44	299	
M _M	47.92	73.41	-7.8	73.82	354	
N _M	20.41	0.28	0.64	0.7	66	
W _M	94.64	-0.81	2.2	2.34	110	
R _M	39.92	58.74	27.99	65.07	25	
J _M	81.26	-2.89	71.56	71.62	92	
G _M	52.23	-42.42	13.6	44.55	162	
B _M	30.57	1.41	-46.47	46.49	272	

Daten für Maximalfarbe (Ma):

$LAB^*LAB^*_{Ma}$: 60 -37 -28

$LAB^*LCH^*_{Ma}$: 60 46 216

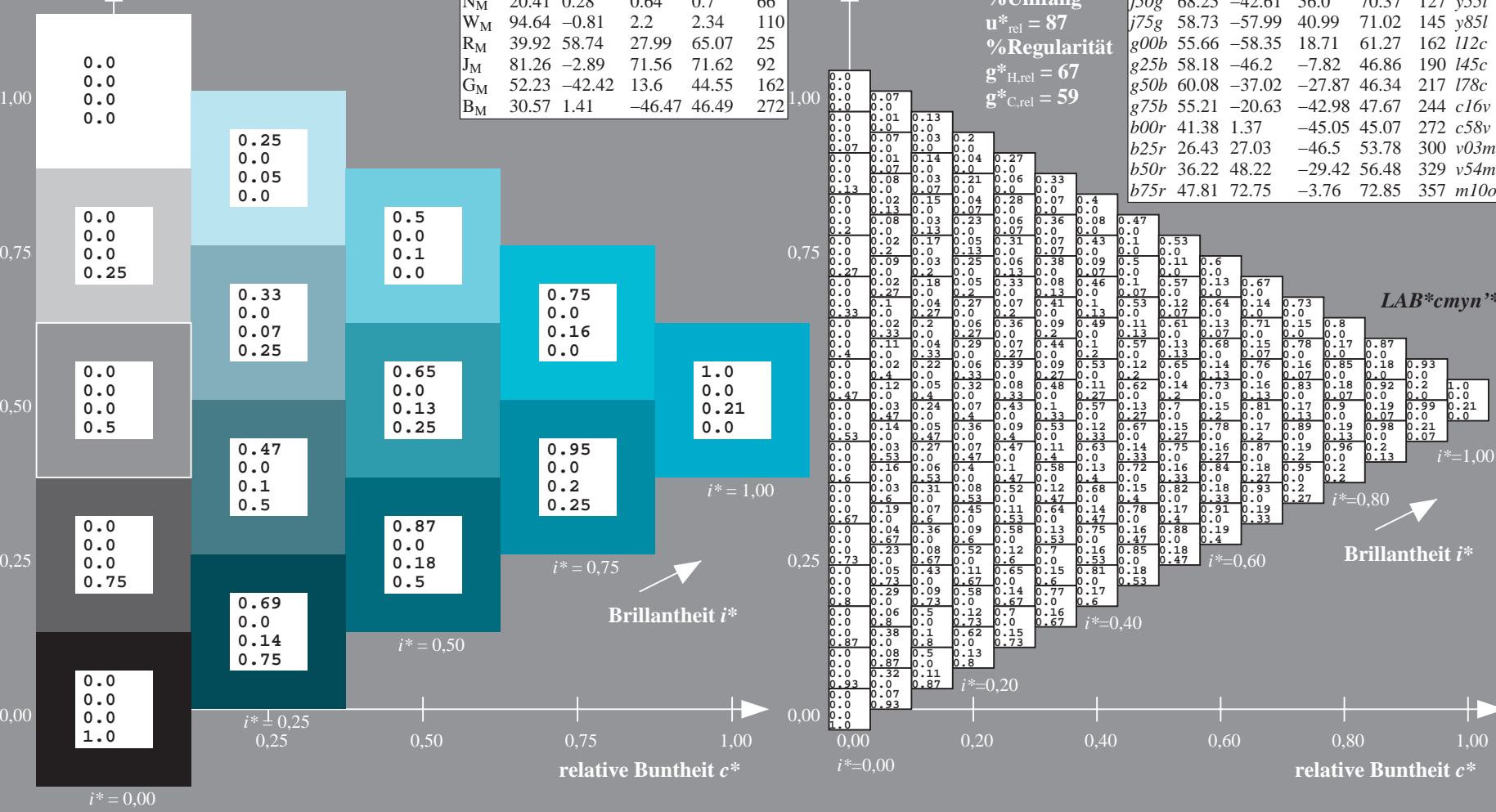
$lab^*rgb^*_{Ma}$: 0.0 1.0 1.0

$lab^*olv^*_{Ma}$: 0.0 1.0 0.79

Dreiecks-Helligkeit i^*

%Umfang
 $u^*_{rel} = 87$
 %Regularität
 $g^*_{H,rel} = 67$
 $g^*_{C,rel} = 59$

ORS20_95a; adaptierte CIELAB-Daten							
u^*_e	$L^*=L^*_a$	a^*_a	b^*_a	$C^*_{ab,a}$	$h^*_{ab,a}$	u^*_d	
r00j	47.06	67.41	32.12	74.67	25	m84o	
r25j	53.95	53.38	48.38	72.04	42	o17y	
r50j	63.6	35.87	59.45	69.43	59	o42y	
r75j	73.37	18.14	70.66	72.95	76	o68y	
j00g	85.24	-3.4	84.28	84.35	92	o93y	
j25g	78.53	-25.99	72.23	76.76	110	y24l	
j50g	68.25	-42.61	56.0	70.37	127	y55l	
j75g	58.73	-57.99	40.99	71.02	145	y85l	
g00b	55.66	-58.35	18.71	61.27	162	l12c	
g25b	58.18	-46.2	-7.82	46.86	190	l45c	
g50b	60.08	-37.02	-27.87	46.34	217	l78c	
g75b	55.21	-20.63	-42.98	47.67	244	c16v	
b00r	41.38	1.37	-45.05	45.07	272	c58v	
b25r	26.43	27.03	-46.5	53.78	300	v03m	
b50r	36.22	48.22	-29.42	56.48	329	v54m	
b75r	47.81	72.75	-3.76	72.85	357	m10o	



Siehe ähnliche Dateien: <http://www.ps.bam.de/Eg39/>; www.ps.bam.de/Eg39/HTM
 Technische Information: <http://www.ps.bam.de> Version 2.1, io=1,1, ColSpx=1

BAM-Registrierung: 20081001-Eg39/10L/L39G00NA.PS/.TXT BAM-Material: Code=rhatha
 Anwendung für Beurteilung und Messung von Drucker- oder Monitorssystemen

Ein und Ausgabe: Farbmetrisches Drucker-Reflektiv-System ORS20_95a für relativen CIELAB-Buntton $h^* = lab^*h^* = h_{ab}/360 = 0.679$

Daten für jede Farbe:

lab^*ch^* und lab^*icu^*

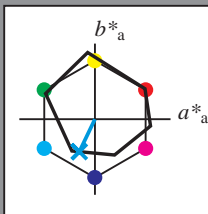
Bunttontexte:

$u^*_e = g75b$ $u^*_d = c16v$

Kontrastreduzierungsfaktor:

$c_R = 1.0$

Dreiecks-Helligkeit i^*



ORS20_95a; CIELAB-Daten

u^*_e	$L^*=L^*_a$	a^*	b^*	C^*_{ab}	h^*_{ab}
O _M	46.89	66.08	41.48	78.02	32
Y _M	88.66	-10.34	90.28	90.87	97
L _M	54.22	-65.51	35.22	74.38	152
C _M	61.43	-30.85	-40.54	50.94	233
V _M	25.93	26.15	-46.61	53.44	299
M _M	47.92	73.41	-7.8	73.82	354
N _M	20.41	0.28	0.64	0.7	66
W _M	94.64	-0.81	2.2	2.34	110
R _M	39.92	58.74	27.99	65.07	25
J _M	81.26	-2.89	71.56	71.62	92
G _M	52.23	-42.42	13.6	44.55	162
B _M	30.57	1.41	-46.47	46.49	272

Daten für Maximalfarbe (Ma):

$LAB^*LAB^*_Ma$: 55 -21 -43

$LAB^*LCH^*_Ma$: 55 48 244

$lab^*rgb^*_Ma$: 0.0 0.5 1.0

$lab^*olv^*_Ma$: 0.0 0.84 1.0

Dreiecks-Helligkeit i^*

%Umfang

$u^*_{rel} = 87$

%Regularität

$g^*_{H,rel} = 67$

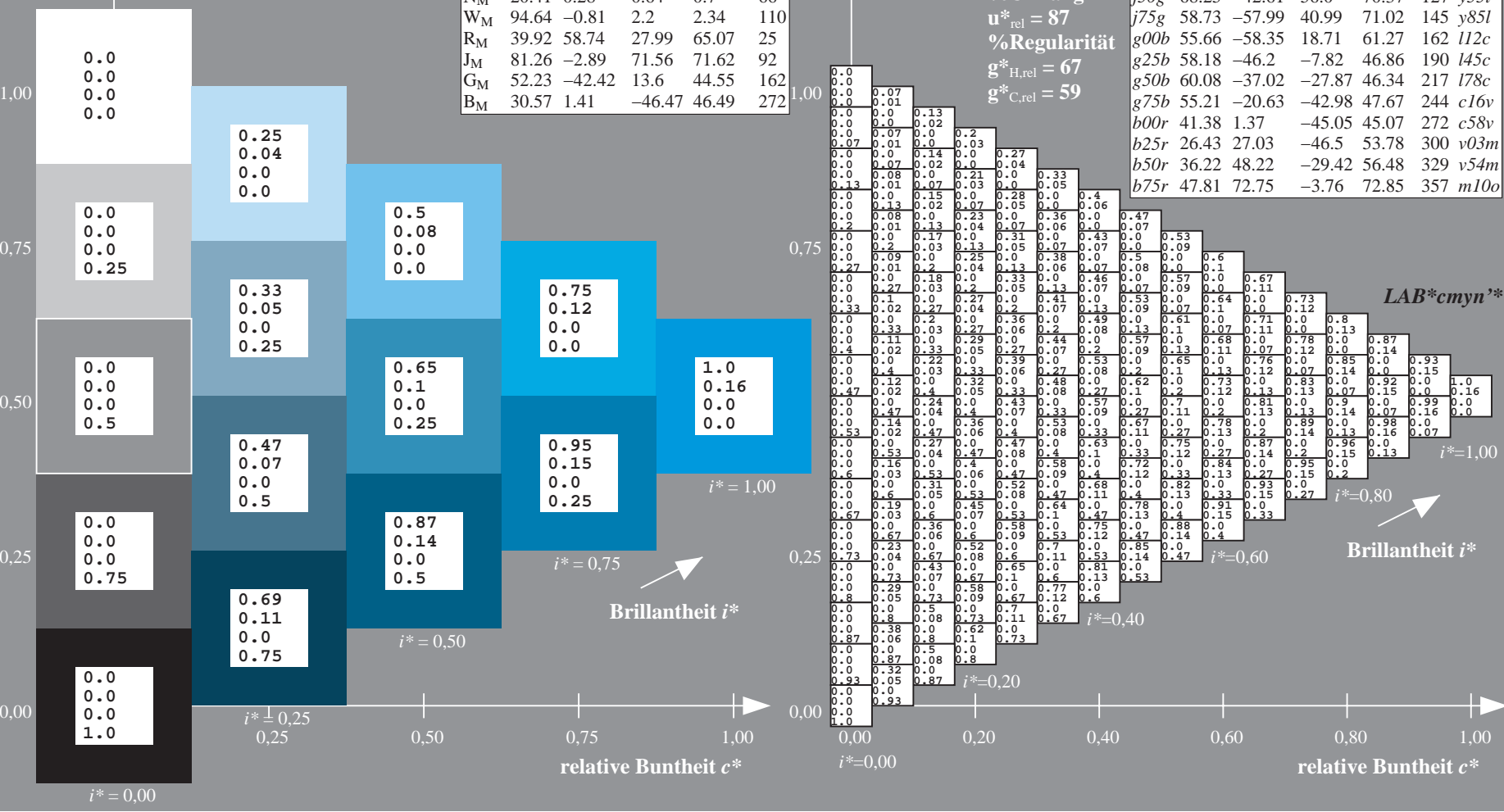
$g^*_{C,rel} = 59$

$u^*_e = g75b$

$LAB^*cmy^n^*$

ORS20_95a; adaptierte CIELAB-Daten

u^*_e	$L^*=L^*_a$	a^*_a	b^*_a	$C^*_{ab,a}$	$h^*_{ab,a}$	u^*_d
r00j	47.06	67.41	32.12	74.67	25	m84o
r25j	53.95	53.38	48.38	72.04	42	o17y
r50j	63.6	35.87	59.45	69.43	59	o42y
r75j	73.37	18.14	70.66	72.95	76	o68y
j00g	85.24	-3.4	84.28	84.35	92	o93y
j25g	78.53	-25.99	72.23	76.76	110	y24l
j50g	68.25	-42.61	56.0	70.37	127	y51l
j75g	58.73	-57.99	40.99	71.02	145	y85l
g00b	55.66	-58.35	18.71	61.27	162	l12c
g25b	58.18	-46.2	-7.82	46.86	190	l45c
g50b	60.08	-37.02	-27.87	46.34	217	l78c
g75b	55.21	-20.63	-42.98	47.67	244	c16v
b00r	41.38	1.37	-45.05	45.07	272	c58v
b25r	26.43	27.03	-46.5	53.78	300	v03m
b50r	36.22	48.22	-29.42	56.48	329	v54m
b75r	47.81	72.75	-3.76	72.85	357	m10o



Siehe ähnliche Dateien: <http://www.ps.bam.de/Eg39/>; [www.ps.bam.de/Version 2.1, io=1,1, Colspx=1](http://www.ps.bam.de/Version2.1,io=1,1,Colspx=1)
 Technische Information: <http://www.ps.bam.de>

BAM-Registrierung: 20081001-Eg39/10L/L39G00NA.PS/ .TXT BAM-Material: Code=rh4ta
 Anwendung für Beurteilung und Messung von Drucker- oder Monitorssystemen

Ein und Ausgabe: Farbmetrisches Drucker-Reflektiv-System ORS20_95a für relativen CIELAB-Buntton $h^* = lab^*h^* = h_{ab}/360 = 0.755$

Daten für jede Farbe:

lab^*tch^* und lab^*icu^*

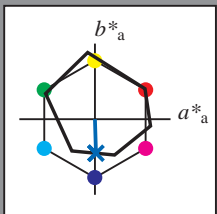
Bunttontexte:

$u^*_e = b00r$ $u^*_d = c58v$

Kontrastreduzierungsfaktor:

$c_R = 1.0$

Dreiecks-Helligkeit t^*



ORS20_95a; CIELAB-Daten						
u^*_e	$L^*=L^*$	a^*	b^*	C^*_{ab}	h^*_{ab}	
O _M	46.89	66.08	41.48	78.02	32	
Y _M	88.66	-10.34	90.28	90.87	97	
L _M	54.22	-65.51	35.22	74.38	152	
C _M	61.43	-30.85	-40.54	50.94	233	
V _M	25.93	26.15	-46.61	53.44	299	
M _M	47.92	73.41	-7.8	73.82	354	
N _M	20.41	0.28	0.64	0.7	66	
W _M	94.64	-0.81	2.2	2.34	110	
R _M	39.92	58.74	27.99	65.07	25	
J _M	81.26	-2.89	71.56	71.62	92	
G _M	52.23	-42.42	13.6	44.55	162	
B _M	30.57	1.41	-46.47	46.49	272	

$u^*_e = b00r$
 $LAB^*cmy^n^*$

Daten für Maximalfarbe (Ma):

$LAB^*LAB^*_{Ma}$: 41 1 -45

$LAB^*LCH^*_{Ma}$: 41 45 271

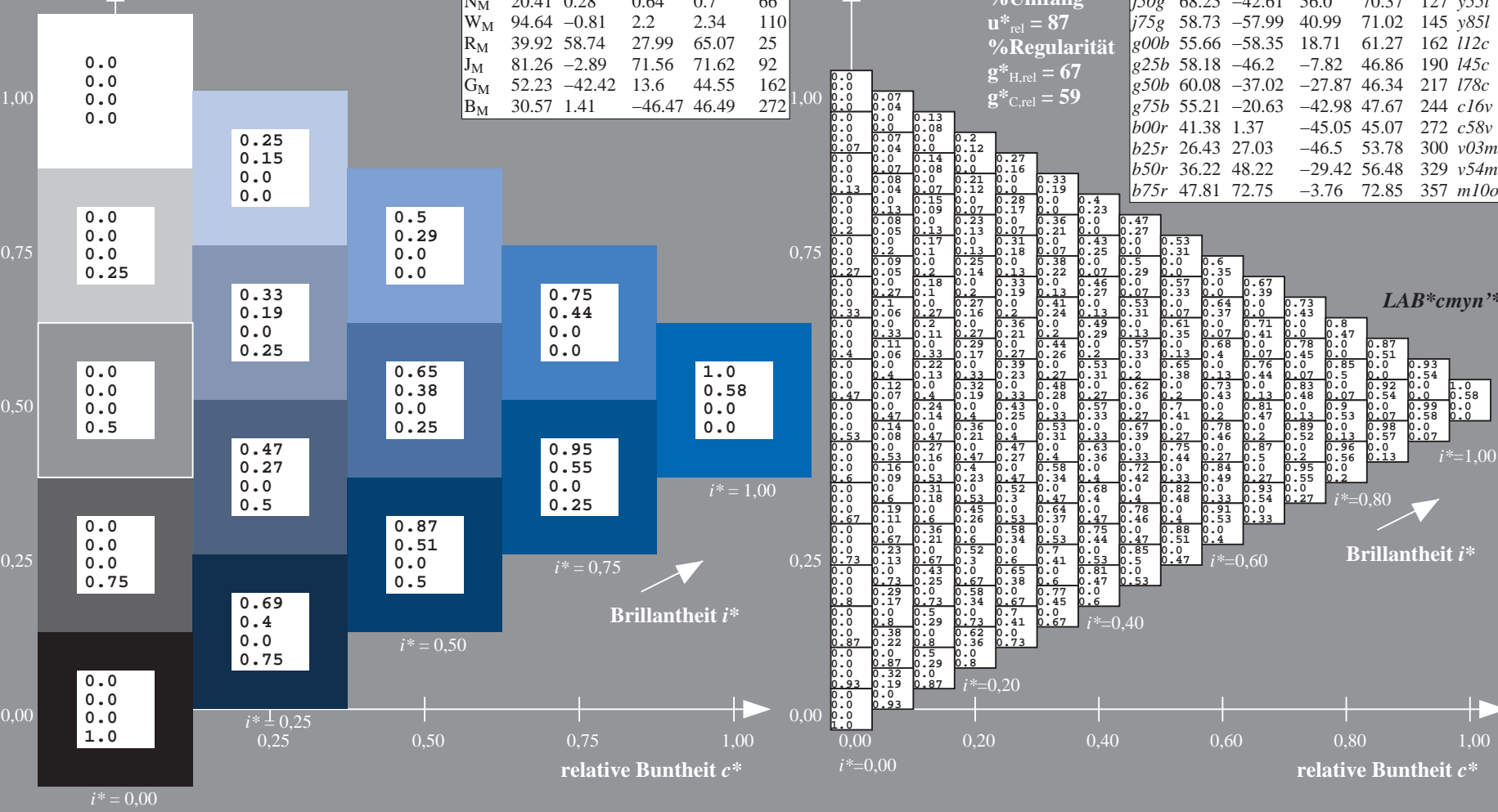
$lab^*rgb^*_{Ma}$: 0.0 0.0 1.0

$lab^*olv^*_{Ma}$: 0.0 0.42 1.0

Dreiecks-Helligkeit t^*

ORS20_95a; adaptierte CIELAB-Daten							
u^*_e	$L^*=L^*_a$	a^*_a	b^*_a	$C^*_{ab,a}$	$h^*_{ab,a}$	u^*_d	
r00j	47.06	67.41	32.12	74.67	25	m84o	
r25j	53.95	53.38	48.38	72.04	42	o17y	
r50j	63.6	35.87	59.45	69.43	59	o42y	
r75j	73.37	18.14	70.66	72.95	76	o68y	
j00g	85.24	-3.4	84.28	84.35	92	o93y	
j25g	78.53	-25.99	72.23	76.76	110	y24l	
j50g	68.25	-42.61	56.0	70.37	127	y55l	
j75g	58.73	-57.99	40.99	71.02	145	y85l	
g00b	55.66	-58.35	18.71	61.27	162	l12c	
g25b	58.18	-46.2	-7.82	46.86	190	l45c	
g50b	60.08	-37.02	-27.87	46.34	217	l78c	
g75b	55.21	-20.63	-42.98	47.67	244	c16v	
b00r	41.38	1.37	-45.05	45.07	272	c58v	
b25r	26.43	27.03	-46.5	53.78	300	v03m	
b50r	36.22	48.22	-29.42	56.48	329	v54m	
b75r	47.81	72.75	-3.76	72.85	357	m10o	

%Umfang
 $u^*_{rel} = 87$
 %Regularität
 $g^*_{H,rel} = 67$
 $g^*_{C,rel} = 59$



Siehe ähnliche Dateien: <http://www.ps.bam.de/Eg39/>; [www.ps.bam.de/Version 2.1, io=1,1, Colspx=1](http://www.ps.bam.de/Version2.1,io=1,1,Colspx=1)
 Technische Information: <http://www.ps.bam.de>

BAM-Registrierung: 20081001-Eg39/10L/L39G00NA.PS/.TXT BAM-Material: Code=rh4ta
 Anwendung für Beurteilung und Messung von Drucker- oder Monitorssystemen

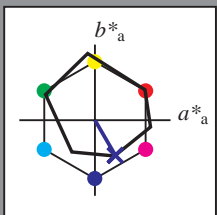
Ein und Ausgabe: Farbmetrisches Drucker-Reflektiv-System ORS20_95a für relativen CIELAB-Bunton $h^* = lab^*h^* = h_{ab}/360 = 0.834$

Daten für jede Farbe:
 lab^*ch^* und lab^*icu^*

Buntontexte:
 $u^*_e = b25r$ $u^*_d = v03m$

Kontrastreduzierungsfaktor:
 $c_R = 1.0$

Dreiecks-Helligkeit i^*



ORS20_95a; CIELAB-Daten						
u^*_e	$L^*=L^*$	a^*	b^*	C^*_{ab}	h^*_{ab}	
O _M	46.89	66.08	41.48	78.02	32	
Y _M	88.66	-10.34	90.28	90.87	97	
L _M	54.22	-65.51	35.22	74.38	152	
C _M	61.43	-30.85	-40.54	50.94	233	
V _M	25.93	26.15	-46.61	53.44	299	
M _M	47.92	73.41	-7.8	73.82	354	
N _M	20.41	0.28	0.64	0.7	66	
W _M	94.64	-0.81	2.2	2.34	110	
R _M	39.92	58.74	27.99	65.07	25	
J _M	81.26	-2.89	71.56	71.62	92	
G _M	52.23	-42.42	13.6	44.55	162	
B _M	30.57	1.41	-46.47	46.49	272	

Daten für Maximalfarbe (Ma):

$LAB^*LAB^*_{Ma}$: 26 27 -46

$LAB^*LCH^*_{Ma}$: 26 54 300

$lab^*rgb^*_{Ma}$: 0.5 0.0 1.0

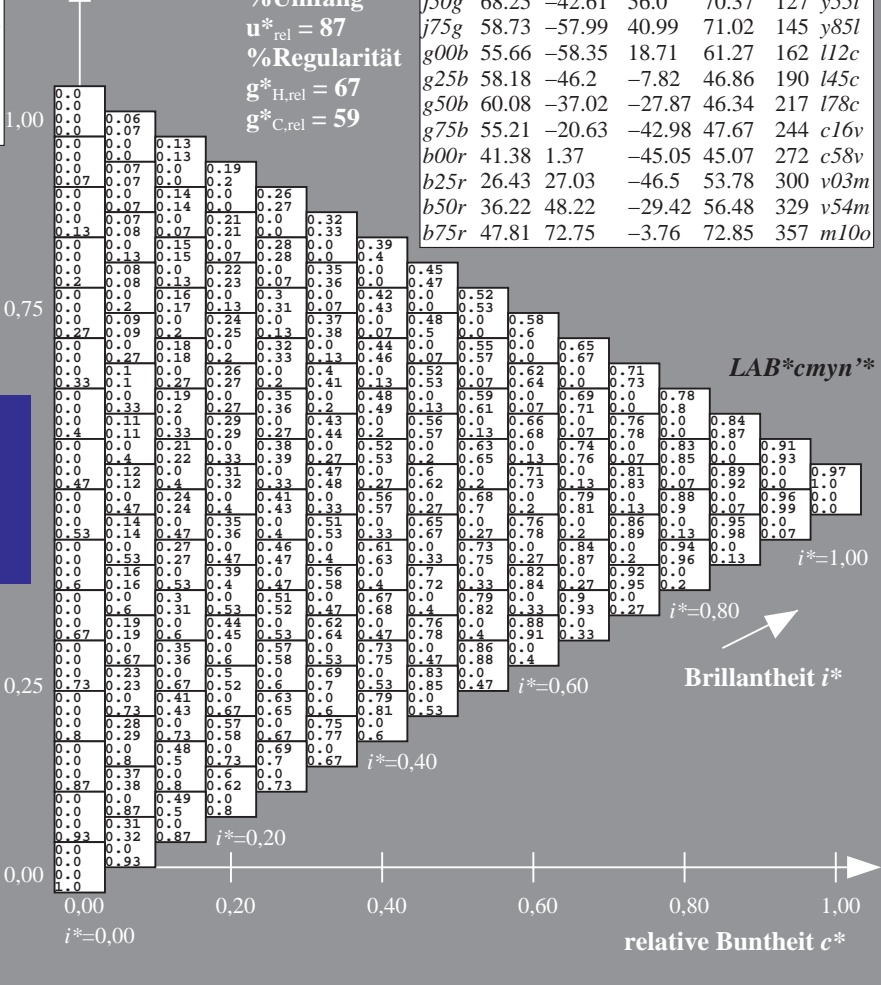
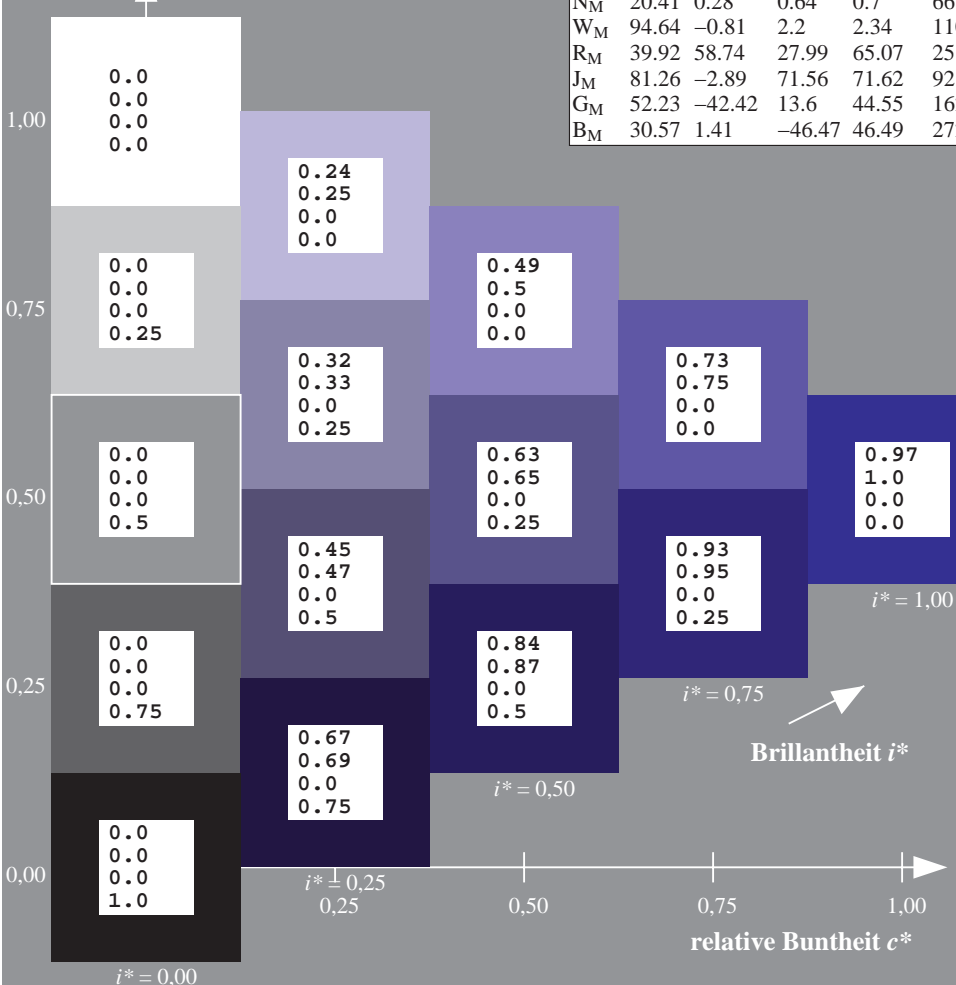
$lab^*olv^*_{Ma}$: 0.03 0.0 1.0

Dreiecks-Helligkeit i^*

%Umfang
 $u^*_{rel} = 87$
 %Regularität
 $g^*_{H,rel} = 67$
 $g^*_{C,rel} = 59$

$u^*_e = b25r$
 $LAB^*cmy^n^*$

ORS20_95a; adaptierte CIELAB-Daten							
u^*_e	$L^*=L^*_a$	a^*_a	b^*_a	$C^*_{ab,a}$	$h^*_{ab,a}$	u^*_d	
r00j	47.06	67.41	32.12	74.67	25	m84o	
r25j	53.95	53.38	48.38	72.04	42	o17y	
r50j	63.6	35.87	59.45	69.43	59	o42y	
r75j	73.37	18.14	70.66	72.95	76	o68y	
j00g	85.24	-3.4	84.28	84.35	92	o93y	
j25g	78.53	-25.99	72.23	76.76	110	y24l	
j50g	68.25	-42.61	56.0	70.37	127	y51l	
j75g	58.73	-57.99	40.99	71.02	145	y85l	
g00b	55.66	-58.35	18.71	61.27	162	l12c	
g25b	58.18	-46.2	-7.82	46.86	190	l45c	
g50b	60.08	-37.02	-27.87	46.34	217	l78c	
g75b	55.21	-20.63	-42.98	47.67	244	c16v	
b00r	41.38	1.37	-45.05	45.07	272	c58v	
b25r	26.43	27.03	-46.5	53.78	300	v03m	
b50r	36.22	48.22	-29.42	56.48	329	v54m	
b75r	47.81	72.75	-3.76	72.85	357	m10o	



Siehe ähnliche Dateien: <http://www.ps.bam.de/Eg39/>; [www.ps.bam.de/Version 2.1, io=1,1, Colspx=1](http://www.ps.bam.de/Version2.1,io=1,1,Colspx=1)
 Technische Information: <http://www.ps.bam.de>

BAM-Registrierung: 20081001-Eg39/10L/L39G00NA.PS/.TXT BAM-Material: Code=rh4ta
 Anwendung für Beurteilung und Messung von Drucker- oder Monitorssystemen

Ein und Ausgabe: Farbmetrisches Drucker-Reflektiv-System ORS20_95a für relativen CIELAB-Buntton $h^* = lab^*h^* = h_{ab}/360 = 0.913$

Daten für jede Farbe:

lab^*tch^* und lab^*icu^*

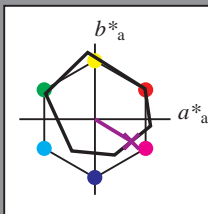
Bunttontexte:

$u^*_e = b50r$ $u^*_d = v54m$

Kontrastreduzierungsfaktor:

$c_R = 1.0$

Dreiecks-Helligkeit i^*



ORS20_95a; CIELAB-Daten

	u^*_e	$L^*=L^*_a$	a^*	b^*	C^*_{ab}	h^*_{ab}
O _M	46.89	66.08	41.48	78.02	32	
Y _M	88.66	-10.34	90.28	90.87	97	
L _M	54.22	-65.51	35.22	74.38	152	
C _M	61.43	-30.85	-40.54	50.94	233	
V _M	25.93	26.15	-46.61	53.44	299	
M _M	47.92	73.41	-7.8	73.82	354	
N _M	20.41	0.28	0.64	0.7	66	
W _M	94.64	-0.81	2.2	2.34	110	
R _M	39.92	58.74	27.99	65.07	25	
J _M	81.26	-2.89	71.56	71.62	92	
G _M	52.23	-42.42	13.6	44.55	162	
B _M	30.57	1.41	-46.47	46.49	272	

Daten für Maximalfarbe (Ma):

$LAB^*LAB^*_{Ma}$: 36 48 -29

$LAB^*LCH^*_{Ma}$: 36 56 328

$lab^*rgb^*_{Ma}$: 1.0 0.0 1.0

$lab^*olv^*_{Ma}$: 0.55 0.0 1.0

Dreiecks-Helligkeit i^*

%Umfang

$u^*_{rel} = 87$

%Regularität

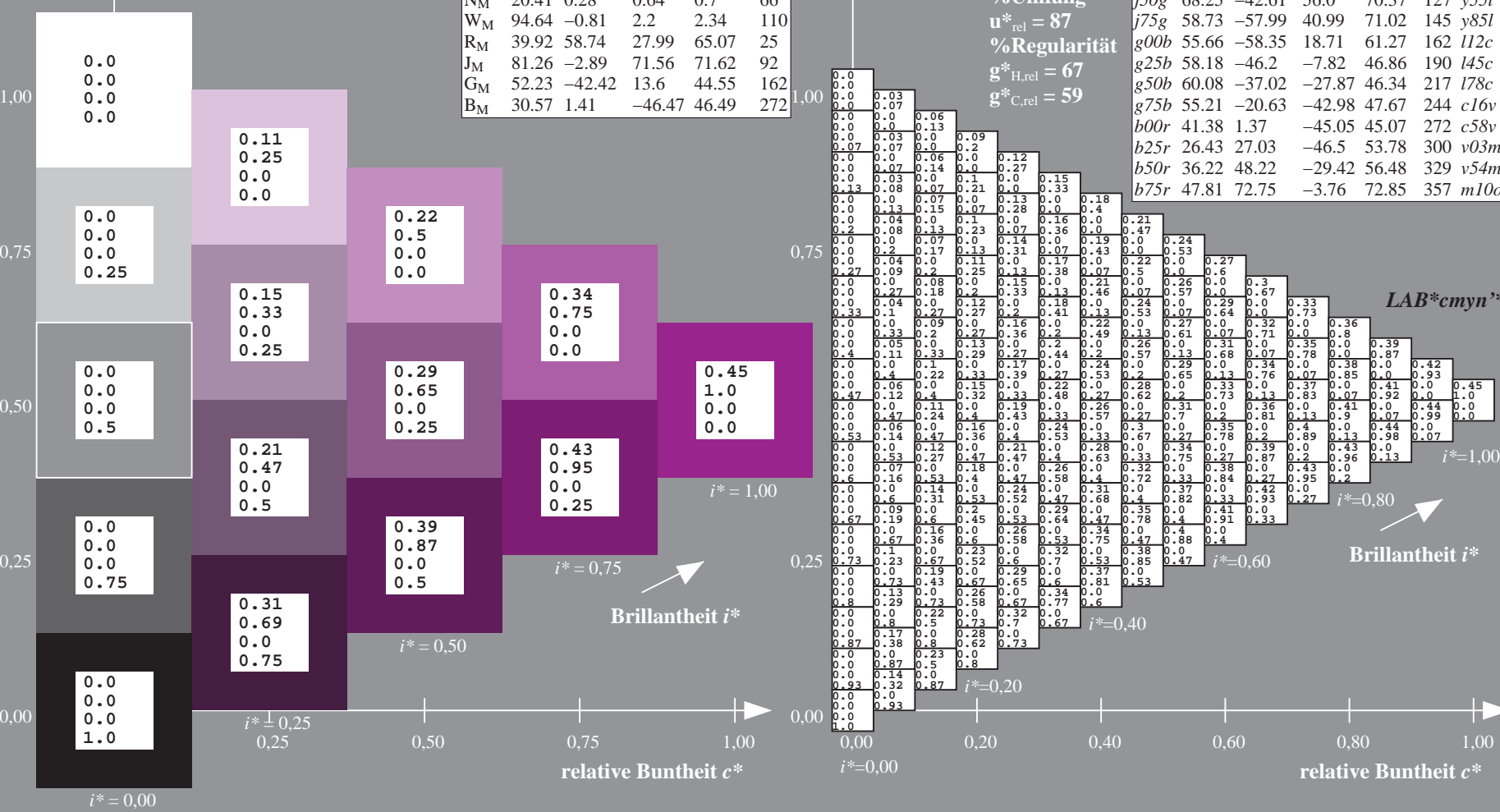
$g^*_{H,rel} = 67$

$g^*_{C,rel} = 59$

$u^*_e = b50r$
 $LAB^*cmy^n^*$

ORS20_95a; adaptierte CIELAB-Daten

	u^*_e	$L^*=L^*_a$	a^*_a	b^*_a	$C^*_{ab,a}$	$h^*_{ab,a}$	u^*_d
r00j	47.06	67.41	32.12	74.67	25	m84o	
r25j	53.95	53.38	48.38	72.04	42	o17y	
r50j	63.6	35.87	59.45	69.43	59	o42y	
r75j	73.37	18.14	70.66	72.95	76	o68y	
j00g	85.24	-3.4	84.28	84.35	92	o93y	
j25g	78.53	-25.99	72.23	76.76	110	y24l	
j50g	68.25	-42.61	56.0	70.37	127	y51l	
j75g	58.73	-57.99	40.99	71.02	145	y85l	
g00b	55.66	-58.35	18.71	61.27	162	l12c	
g25b	58.18	-46.2	-7.82	46.86	190	l45c	
g50b	60.08	-37.02	-27.87	46.34	217	l78c	
g75b	55.21	-20.63	-42.98	47.67	244	c16v	
b00r	41.38	1.37	-45.05	45.07	272	c58v	
b25r	26.43	27.03	-46.5	53.78	300	v03m	
b50r	36.22	48.22	-29.42	56.48	329	v54m	
b75r	47.81	72.75	-3.76	72.85	357	m10o	



Siehe ähnliche Dateien: <http://www.ps.bam.de/Eg39/>; [www.ps.bam.de/Version 2.1, io=1,1, Colspx=1](http://www.ps.bam.de/Version%202.1,io=1,1,Colspx=1)
 Technische Information: <http://www.ps.bam.de>

BAM-Registrierung: 20081001-Eg39/10L/L39G00NA.PS/ .TXT BAM-Material: Code=rh4ta
 Anwendung für Beurteilung und Messung von Drucker- oder Monitorssystemen

Ein und Ausgabe: Farbmetrisches Drucker-Reflektiv-System ORS20_95a für relativen CIELAB-Buntton $h^* = lab^*h^* = h_{ab}/360 = 0.992$

Daten für jede Farbe:
 lab^*ch^* und lab^*icu^*

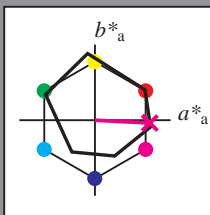
Bunttontexte:

$u^*_e = b75r$ $u^*_d = m10o$

Kontrastreduzierungsfaktor:

$c_R = 1.0$

Dreiecks-Helligkeit i^*



ORS20_95a; CIELAB-Daten						
u^*_e	$L^*=L^*$	a^*	b^*	C^*_{ab}	h^*_{ab}	
O _M	46.89	66.08	41.48	78.02	32	
Y _M	88.66	-10.34	90.28	90.87	97	
L _M	54.22	-65.51	35.22	74.38	152	
C _M	61.43	-30.85	-40.54	50.94	233	
V _M	25.93	26.15	-46.61	53.44	299	
M _M	47.92	73.41	-7.8	73.82	354	
N _M	20.41	0.28	0.64	0.7	66	
W _M	94.64	-0.81	2.2	2.34	110	
R _M	39.92	58.74	27.99	65.07	25	
J _M	81.26	-2.89	71.56	71.62	92	
G _M	52.23	-42.42	13.6	44.55	162	
B _M	30.57	1.41	-46.47	46.49	272	

Daten für Maximalfarbe (Ma):

$LAB^*LAB^*_{Ma}$: 48 73 -4

$LAB^*LCH^*_{Ma}$: 48 73 357

$lab^*rgb^*_{Ma}$: 1.0 0.0 0.5

$lab^*olv^*_{Ma}$: 1.0 0.0 0.89

Dreiecks-Helligkeit i^*

%Umfang

$u^*_{rel} = 87$

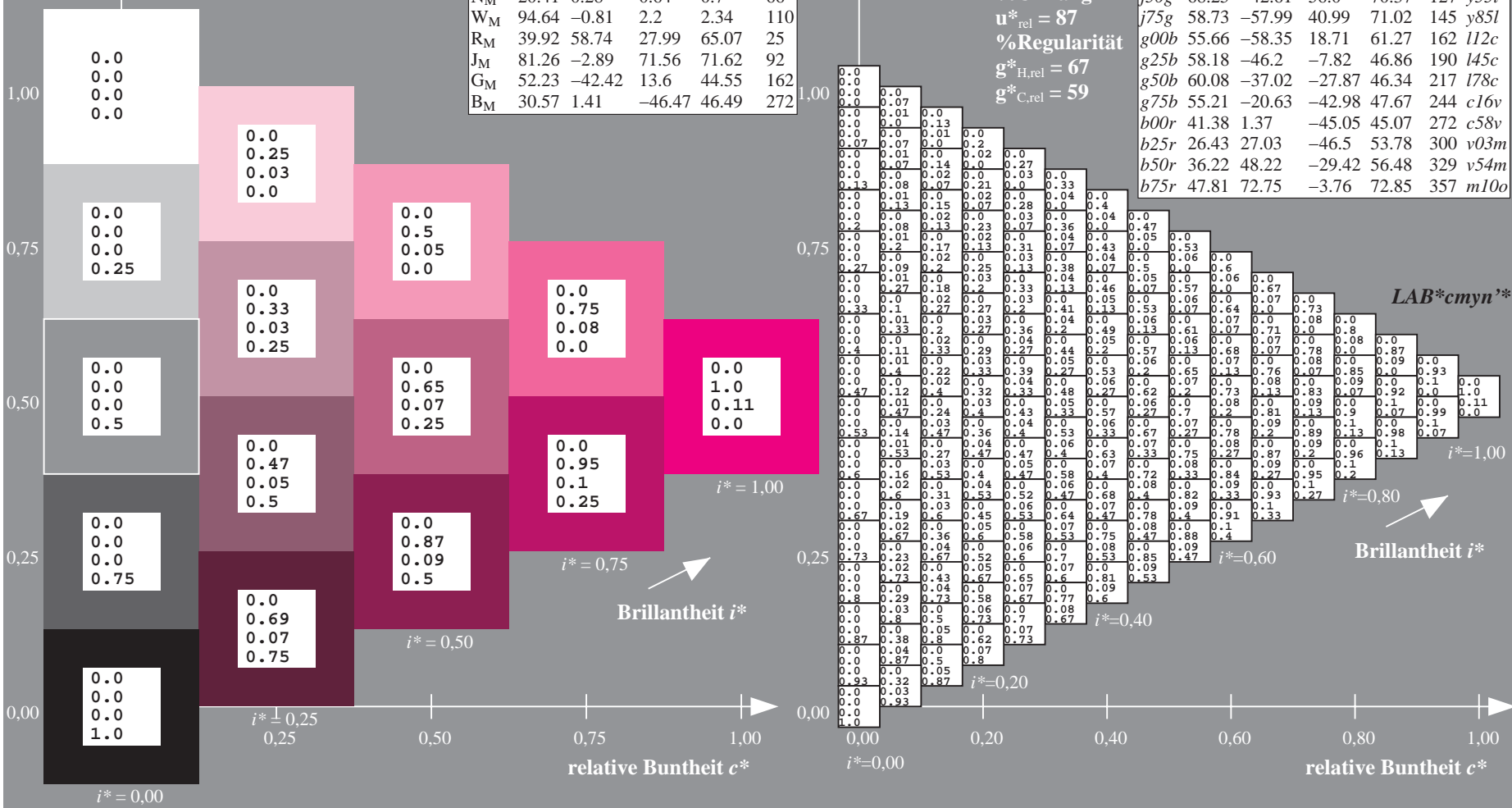
%Regularität

$g^*_{H,rel} = 67$

$g^*_{C,rel} = 59$

$u^*_e = b75r$
 $LAB^*cmy^n^*$

ORS20_95a; adaptierte CIELAB-Daten							
u^*_e	$L^*=L^*_a$	a^*_a	b^*_a	$C^*_{ab,a}$	$h^*_{ab,a}$	u^*_d	
r00j	47.06	67.41	32.12	74.67	25	m84o	
r25j	53.95	53.38	48.38	72.04	42	o17y	
r50j	63.6	35.87	59.45	69.43	59	o42y	
r75j	73.37	18.14	70.66	72.95	76	o68y	
j00g	85.24	-3.4	84.28	84.35	92	o93y	
j25g	78.53	-25.99	72.23	76.76	110	y24l	
j50g	68.25	-42.61	56.0	70.37	127	y51l	
j75g	58.73	-57.99	40.99	71.02	145	y85l	
g00b	55.66	-58.35	18.71	61.27	162	l12c	
g25b	58.18	-46.2	-7.82	46.86	190	l45c	
g50b	60.08	-37.02	-27.87	46.34	217	l78c	
g75b	55.21	-20.63	-42.98	47.67	244	c16v	
b00r	41.38	1.37	-45.05	45.07	272	c58v	
b25r	26.43	27.03	-46.5	53.78	300	v03m	
b50r	36.22	48.22	-29.42	56.48	329	v54m	
b75r	47.81	72.75	-3.76	72.85	357	m10o	



Siehe ähnliche Dateien: <http://www.ps.bam.de/Eg39/>; [www.ps.bam.de/Version 2.1, io=1,1, Colspx=1](http://www.ps.bam.de/Version2.1,io=1,1,Colspx=1)
 Technische Information: <http://www.ps.bam.de>

BAM-Registrierung: 20081001-Eg39/10L/L39G00NA.PS/.TXT BAM-Material: Code=rhatha
 Anwendung für Beurteilung und Messung von Drucker- oder Monitorssystemen

